



Universidade do Minho
Escola de Engenharia

Pedro Manuel da Costa Pereira

**Melhoria dos processos da secção de corte
através da aplicação de ferramentas Lean
Production numa empresa de componentes
para a indústria automóvel**

Dissertação de
Mestrado Integrado em Engenharia e Gestão Industrial

Trabalho efetuado sob a orientação da(s)
Professora Doutora Anabela Carvalho Alves
Professora Doutora Maria Sameiro Carvalho

Julho de 2020

DIREITOS DE AUTOR E CONDIÇÕES DE UTILIZAÇÃO DO TRABALHO POR TERCEIROS

Este é um trabalho académico que pode ser utilizado por terceiros desde que respeitadas as regras e boas práticas internacionalmente aceites, no que concerne aos direitos de autor e direitos conexos.

Assim, o presente trabalho pode ser utilizado nos termos previstos na licença abaixo indicada.

Caso o utilizador necessite de permissão para poder fazer um uso do trabalho em condições não previstas no licenciamento indicado, deverá contactar o autor, através do RepositóriUM da Universidade do Minho.

Licença concedida aos utilizadores deste trabalho



Atribuição-NãoComercial-SemDerivações

CC BY-NC-ND

<https://creativecommons.org/licenses/by-nc-nd/4.0/>

AGRADECIMENTOS

Com o fim do projeto de dissertação gostaria de agradecer a todos os envolvidos no desenvolvimento deste projeto.

Agradeço às orientadoras, Professora Anabela Carvalho Alves e Professora Maria Sameiro Carvalho, por toda a ajuda, orientação e disponibilidade na realização desta dissertação.

À Coindu S.A. pela oportunidade em realizar este projeto, bem como a todos os colaboradores pela ajuda prestada, um especial agradecimento ao Engenheiro Filipe Fernandes, orientador da empresa, por tudo o apoio, disponibilidade prestada e partilha de conhecimento.

Por último gostaria de agradecer à minha família e aos meus colegas de estágio, Sara Pires e José Costa, gostaria também de agradecer ao Engenheiro João Gonçalves e à Engenheira Sara Carvalho, por todos os bons conselhos e motivação na finalização desta etapa.

DECLARAÇÃO DE INTEGRIDADE

Declaro ter atuado com integridade na elaboração do presente trabalho académico e confirmo que não recorri à prática de plágio nem a qualquer forma de utilização indevida ou falsificação de informações ou resultados em nenhuma das etapas conducente à sua elaboração.

Mais declaro que conheço e que respeitei o Código de Conduta Ética da Universidade do Minho.

RESUMO

Este projeto de dissertação foi realizado no âmbito do quinto ano do Mestrado Integrado em Engenharia e Gestão Industrial da Universidade do Minho. Este projeto teve como objetivo a criação de um supermercado na área de corte de uma empresa de componentes para o ramo automóvel usando ferramentas Lean Production.

Para o desenvolver foi utilizada a metodologia *Action Research*, sendo a primeira fase desta metodologia a identificação dos problemas. Esta identificação foi realizada através de uma análise ao setor de corte de forma a identificar os possíveis problemas. Esta análise foi feita com recurso a ferramentas como o diagrama de circulação, equação NIOSH, análise ABC e através de entrevistas informais com os colaboradores do setor. Através destas entrevistas foram detetados vários problemas no que diz respeito às condições ergonómicas no setor, elevadas distâncias a percorrer no setor, ordens de fabrico de quantidades elevadas, desorganização do setor e elevadas quantidades de scrap.

Foram então analisadas e propostas várias soluções para ultrapassar os problemas identificados. Destaca-se o dimensionamento de novas estruturas para o setor e projeto de um supermercado para armazenamento temporário de produto semiacabado de apoio à produção. Neste foi determinado que seriam necessárias 2323 caixas para a criação do supermercado. Adicionalmente, foram projetados novos layouts para o setor do corte e da produção.

Com a implementação das propostas de melhorias foi possível resolver os problemas ergonómicos identificados no setor e simplificar os fluxos de materiais. Esta simplificação permitiu reduzir a distância a percorrer até 43% o que representou uma poupança de 21012,00€/ano e a obtenção de 177 m² de espaço livre avaliados em 88535,00€. Com a criação do supermercado foi assim possível a criação de um stock de segurança de dois dias, assegurando assim que a costura não parasse por falta de produto semiacabado. Desta forma, conseguiu-se reduzir o tamanho das ordens de fabrico, eliminar o *scrap* de cartão, reduzir o WIP, eliminar as movimentações extras de racks e dos colaboradores durante a preparação dos turnos o que representou uma poupança de 10045€/ano e a transição de um sistema *push* para um sistema *pull*. Por fim, com a transição da produção para o conceito CPS, foi possível poupar 732 m², o que representou um valor de 366020,00€.

PALAVRAS-CHAVE

Produção Lean; Layouts; Fluxo materiais; Supermercado; Ergonomia

ABSTRACT

This dissertation project was carried out within the scope fifth year of the Integrated Master in Engineering and Industrial Management at the University of Minho. This project aimed to create a supermarket in the cutting area of a component company for the automotive industry using Lean Production tools.

To develop it, the Action Research methodology was used, the first phase of this methodology being the identification of problems. This identification was carried out through an analysis of the cutting sector in order to identify possible problems. This analysis was performed using tools such as the circulation diagram, NIOSH equation, ABC analysis and through conversations with employees in the sector. Through these, several problems were detected related to the ergonomic conditions in the sector, long distances travelled in the sector, manufacturing orders of high quantities, disorganization of the sector and high amounts of scrap.

Several solutions were then analyzed and proposed to overcome the identified problems. It is worth highlighting the dimensioning of new structures for the sector and the design of a supermarket for temporary storage of semi-finished products to support production. Having determined that 2323 boxes would be needed for the creation of the supermarket. In addition, new layouts were designed for the cutting and production sector.

With the implementation of the improvements, it was possible to solve the ergonomic problems identified in the sector and simplify the material flows. This simplification allowed to reduce the distance to go up to 43%, which represents a saving of 21012,00€/year and the achievement of 177m² of free space valued at 88535,00€. With the creation of the supermarket, it was thus possible to create a two-day safety stock, thus ensuring that the sewing does not stop for lack of semi-finished product. In this way, it was possible to reduce the size of the manufacturing orders, eliminate the card scrap, reduce the WIP, eliminate the extra movements of racks and employees during the preparation of shifts, which represented a saving of 10045,00€/year and transition from a push system to a pull system. Finally, with the transition from production to the CPS concept, it was possible to save 732m², which represented a value of 366020,00€.

KEYWORDS

Layouts; Supermarket; Ergonomics; Material flow; Lean Production

ÍNDICE

| | |
|--|------|
| Agradecimentos..... | iii |
| Resumo..... | v |
| Abstract..... | vii |
| Índice de Figuras..... | xiii |
| Índice de Tabelas | xvii |
| Lista de Abreviaturas, Siglas e Acrónimos | xix |
| 1. Introdução | 1 |
| 1.1 Enquadramento | 1 |
| 1.2 Objetivos..... | 2 |
| 1.3 Metodologia de investigação | 3 |
| 1.4 Estrutura da dissertação..... | 4 |
| 2 Revisão bibliográfica | 7 |
| 2.1 Lean Production..... | 7 |
| 2.1.1 Casa TPS | 8 |
| 2.1.2 Sete desperdícios | 9 |
| 2.1.3 Ferramentas <i>Lean</i> | 10 |
| 2.2 Projeto de layouts para sistemas de produção | 13 |
| 2.2.1 Tipos de sistemas de produção..... | 13 |
| 2.2.2 Introdução a abordagens e métodos para projeto e planeamento de layouts | 14 |
| 3 Apresentação da empresa..... | 15 |
| 3.1 Identificação e localização | 15 |
| 3.2 História e evolução..... | 16 |
| 3.3 Matérias-primas e principais fornecedores | 17 |
| 3.4 Principais clientes e concorrentes..... | 17 |
| 3.5 Principais produtos..... | 18 |
| 3.5.1 Constituição do assento de um automóvel | 18 |
| 3.5.2 Modelos produzidos atualmente..... | 19 |
| 3.6 Descrição do sistema de produção | 20 |

| | | |
|-------|--|----|
| 3.6.1 | Armazém..... | 20 |
| 3.6.2 | Corte..... | 20 |
| 3.6.3 | Preparação..... | 21 |
| 3.6.4 | Produção..... | 22 |
| 3.6.5 | Expedição..... | 23 |
| 4 | Descrição e análise critica da situação atual..... | 25 |
| 4.1 | Descrição da secção de corte Joane I | 25 |
| 4.1.1 | Funcionamento do setor | 25 |
| 4.2 | Seleção do modelo para o projeto-piloto e das caixas | 33 |
| 4.3 | Análise crítica e identificação de problemas | 34 |
| 4.3.1 | Problemas ergonómicos no picking das ordens de fabrico e transportes | 34 |
| 4.3.2 | Ordens de fabrico com um elevado número de peças | 36 |
| 4.3.3 | Espaço ocupado por grandes quantidades de caixas de cartão..... | 38 |
| 4.3.4 | Layout desatualizado e elevadas movimentações de material | 39 |
| 4.3.5 | Desorganização da secção de corte | 46 |
| 4.3.6 | Estruturas desadequadas..... | 48 |
| 4.3.7 | Layout costura desadequado | 50 |
| 4.4 | Síntese dos problemas Identificados | 50 |
| 5 | Apresentação e implementação das propostas de melhoria | 53 |
| 5.1 | Projeto do supermercado | 53 |
| 5.1.1 | Determinação do número de caixas | 54 |
| 5.1.2 | Novas estruturas para a secção do corte..... | 56 |
| 5.2 | Alteração do layout da secção do corte | 58 |
| 5.2.1 | Proposta 1 | 59 |
| 5.2.2 | Proposta 2 | 63 |
| 5.2.3 | Síntese dos resultados das duas propostas | 67 |
| 5.3 | Transferência do modelo Mini F57 para Joane II e proposta de layout para a secção de corte Joane I 67 | |
| 5.4 | Implementação do conceito CPS no layout da costura Joane I | 71 |

| | | |
|-------|--|-----|
| 6 | Discussão e avaliação dos resultados | 77 |
| 6.1 | Melhoria das condições ergonómicas no setor | 77 |
| 6.2 | Redução do WIP, de paragens e de transportes na costura | 77 |
| 6.3 | Redução das distâncias percorridas, movimentações e deslocações..... | 78 |
| 6.3.1 | No setor do corte..... | 79 |
| 6.3.2 | No conceito CPS..... | 81 |
| 6.4 | Síntese dos resultados | 81 |
| 7 | Conclusão | 83 |
| 7.1 | Conclusões | 83 |
| 7.2 | Trabalho futuro | 84 |
| | Referências Bibliográficas | 85 |
| | Anexos | 87 |
| | Anexo I – Secção de Corte – Joane I..... | 89 |
| | Anexo II – Dados Antropométricos da População Portuguesa..... | 91 |
| | Anexo III – Equação de NIOSH..... | 93 |
| | Apêndices | 95 |
| | Apêndice I – Cálculos NIOSH..... | 97 |
| | Apêndice II – Estudo do número de caixas necessárias | 99 |
| | Apêndice III – Projeto das novas estruturas da secção de corte | 205 |
| | Apêndice IV – Alternativas de layouts para o setor de corte Joane I..... | 207 |
| | Apêndice V – Layouts no CPS para o setor da produção Joane I | 209 |

ÍNDICE DE FIGURAS

| | |
|--|----|
| Figura 1 - Modelo Action Research Detalhado – adaptado de Susman (1983)..... | 3 |
| Figura 2 - Casa TPS, adaptado de Liker (2004) | 8 |
| Figura 3 - Exemplo de um sistema pull – adaptado de (Chatzopoulos, Tsigkas, & Papantoniou, 2009) | 13 |
| Figura 4 - Coindu Joane..... | 15 |
| Figura 5 - Produtos Coindu | 18 |
| Figura 6 - Mini F57 - Assentos da Frente | 19 |
| Figura 7 - Mini F57 - Assentos Traseiros..... | 19 |
| Figura 8 - Armazém | 20 |
| Figura 9 - Lectra | 21 |
| Figura 10 - Mesa de preparação | 21 |
| Figura 11 - Operações preparatórias | 22 |
| Figura 12 - Ordem de fabrico | 22 |
| Figura 13 - Setor produção Joane I | 23 |
| Figura 14 - Posto de revista | 23 |
| Figura 15 – Expedição..... | 24 |
| Figura 16 – Exemplo de fluxo de materiais realizado pelos colaboradores do setor | 26 |
| Figura 17 - Fluxograma do setor de corte de Joane I | 27 |
| Figura 18 - Exemplo de stock de matéria-prima em sistema | 28 |
| Figura 19 - Mesa rallye | 29 |
| Figura 20 - Controlo das imagens de base | 30 |
| Figura 21 - Recipientes de resíduos da Lectra | 31 |
| Figura 22 - Exemplo de um fluxo de transporte de racks..... | 32 |
| Figura 23 - Exemplo de OF para picking..... | 35 |
| Figura 24 - Armazenamento temporário Mini F57 caixas | 36 |
| Figura 25 - Exemplo ordem de fabrico elevada | 37 |
| Figura 26 - Exemplo de kit couro..... | 38 |
| Figura 27 - Scrap caixas de cartão | 38 |
| Figura 28 - Exemplo de fluxo das caixas de cartão..... | 39 |
| Figura 29 – Fluxo das peças do projeto A1 sem enchimento | 40 |
| Figura 30 - Fluxo das peças do projeto A1 com enchimento | 41 |

| | |
|--|----|
| Figura 31 - Fluxo das peças do projeto B9 | 42 |
| Figura 32 - Fluxo das peças do projeto AB3 Tecido | 43 |
| Figura 33 - Fluxo das peças do projeto AB3 Couro | 43 |
| Figura 34 - Fluxo das peças do projeto Mini F57 com enchimento | 44 |
| Figura 35 - Fluxo das peças do projeto Mini F57 sem enchimento | 45 |
| Figura 36 - Armazenamento desorganizado das ordens de fabrico | 47 |
| Figura 37 - Área das espumas de enchimento A1..... | 47 |
| Figura 38 - Racks da secção de corte..... | 49 |
| Figura 39 - Carrinhos de transporte | 49 |
| Figura 40 – Layout atual da costura Joane I..... | 50 |
| Figura 41 - Caixa estudo supermercado | 54 |
| Figura 42 - Vista frontal e vista lateral da rack standard supermercado | 57 |
| Figura 43 - Vista lateral e frontal da rack supermercado standard menor | 57 |
| Figura 44 - Vista frontal e lateral da rack standard preparação..... | 58 |
| Figura 45 - Vista lateral e vista de topo do carrinho | 58 |
| Figura 46 - Primeira proposta layout - fluxo projeto A1 s/enchimento | 60 |
| Figura 47 - Primeira proposta layout - fluxo projeto A1 c/enchimento | 60 |
| Figura 48 - Primeira proposta layout - fluxo projeto B9..... | 61 |
| Figura 49 - Primeira proposta layout - fluxo projeto AB3 Tecido..... | 61 |
| Figura 50 - Primeira proposta layout - fluxo projeto AB3 Couro | 62 |
| Figura 51 - Primeira proposta layout - fluxo projeto Mini F57 s/enchimento | 62 |
| Figura 52 - Primeira proposta layout - fluxo projeto Mini F57 c/enchimento | 63 |
| Figura 53 - Segunda proposta layout - fluxo projeto A1 s/enchimento | 63 |
| Figura 54 - Segunda proposta layout - fluxo projeto A1 c/enchimento | 64 |
| Figura 55 - Segunda proposta layout - fluxo projeto B9 | 64 |
| Figura 56 - Segunda proposta layout - fluxo projeto AB3 Tecido | 65 |
| Figura 57 - Segunda proposta layout – fluxo projeto AB3 Couro | 65 |
| Figura 58 - Segunda proposta layout - fluxo projeto Mini F57 s/enchimento..... | 66 |
| Figura 59 - Segunda proposta layout - fluxo projeto Mini F57 c/enchimento..... | 66 |
| Figura 60 - Proposta futuro layout setor corte Joane I – fluxo projeto B9 | 68 |
| Figura 61 - Proposta futuro layout setor corte Joane I - fluxo projeto A1 s/enchimento | 69 |
| Figura 62 - Proposta futuro layout setor corte Joane I - fluxo projeto A1 c/enchimento | 69 |

| | |
|--|-----|
| Figura 63 - Proposta futuro layout setor corte Joane I - fluxo projeto AB3 Tecido | 70 |
| Figura 64 - Proposta futuro layout setor corte Joane I - fluxo projeto AB3 Couro..... | 70 |
| Figura 65 - Exemplo de uma equipa em conceito CPS..... | 72 |
| Figura 66 - Cubo CPS..... | 72 |
| Figura 67 - Primeira proposta layout produção Joane I conceito CPS..... | 73 |
| Figura 68 - Segunda proposta layout produção Joane I conceito CPS..... | 73 |
| Figura 69 - Terceira proposta layout produção Joane I conceito CPS..... | 73 |
| Figura 70 - Melhor opção de layout setor corte Joane I..... | 79 |
| Figura 71 - Layout de corte: a) antes b) depois..... | 80 |
| Figura 72 – Layout da costura: a) antes b) depois..... | 81 |
| Figura 73 - Layout Corte Joane | 89 |
| Figura 74 - Indicações para a definição da qualidade da pega - adaptado de (Garg & Saxena, 1980).. | 94 |
| Figura 75 - Fórmula para o cálculo do MMC..... | 99 |
| Figura 76 - Fórmula para o cálculo da QTD Efetiva | 99 |
| Figura 77 - Fórmula para o cálculo do EDI Diário Máximo..... | 99 |
| Figura 78 - Fórmula para o cálculo das caixas necessárias..... | 100 |
| Figura 79 - Terceira proposta layout secção corte Joane I..... | 207 |
| Figura 80 - Segunda proposta layout futuro secção corte Joane I | 207 |
| Figura 81 - Terceira proposta layout futuro secção corte Joane I..... | 208 |
| Figura 82 - Alternativa 4 layout conceito CPS | 209 |
| Figura 83 - Alternativa 5 layout conceito CPS | 210 |
| Figura 84 - Alternativa 6 layout conceito CPS | 211 |

ÍNDICE DE TABELAS

| | |
|--|----|
| Tabela 1- Principais Clientes Coindu | 17 |
| Tabela 2 - Principais concorrentes | 18 |
| Tabela 3 - Modelos Produzidos Joane I | 19 |
| Tabela 4 - Análise ABC Projetos Joane I | 33 |
| Tabela 5 - Estrutura dos Modelos de Joane I | 33 |
| Tabela 6 – Resultado da equação de NIOSH para o armazenamento do Mini F57 | 36 |
| Tabela 7 - Distâncias percorridas entre as secções das OFs sem enchimento do projeto A1..... | 40 |
| Tabela 8 - Distâncias percorridas entre as secções das OFs com enchimento do projeto A1 | 41 |
| Tabela 9 - Distância percorrida, movimentações e custos projetos Joane I | 45 |
| Tabela 10 - Custo anual da preparação das racks | 48 |
| Tabela 11 - Síntese dos problemas identificados | 50 |
| Tabela 12 - Plano de ações para as propostas de melhoria | 53 |
| Tabela 13 - Número de caixas necessárias projetos Joane I c/exceção do Mini F57 | 55 |
| Tabela 14 - Número de caixas necessárias supermercado Mini F57 | 55 |
| Tabela 15 - Número de caixas necessárias supermercado produto semi-acabado | 55 |
| Tabela 16 - Resultado da equação de NIOSH para o armazenamento de caixas vazias | 59 |
| Tabela 17 - Distâncias percorridas projetos Joane I novas propostas layout | 67 |
| Tabela 18 - Distância anual percorrida pelos projetos nos layouts futuros | 71 |
| Tabela 19 - Distâncias layouts produção conceito CPS | 74 |
| Tabela 20 - Ganhos ergonómicos no setor de corte Joane I | 77 |
| Tabela 21 - Ganhos da eliminação das operações de preparação das racks..... | 80 |
| Tabela 22 - Ganhos com as propostas de layouts do setor de corte | 80 |
| Tabela 23 - Ganhos do novo layout da costura | 81 |
| Tabela 24 - Síntese dos resultados..... | 81 |
| Tabela 25 - Dados antropométricos da população portuguesa – retirado de (Barroso, M.P., Arezes, P.M., Da Costa, L.G., Miguel, 2005)..... | 91 |
| Tabela 26 - Tabela da distribuição normal | 92 |
| Tabela 27 - Tabela MF – adaptado de (WATERS, PUTZ-ANDERSON, GARG, & FINE, 1993) | 93 |
| Tabela 28 - Tabela MP - adaptado de (WATERS et al., 1993) | 93 |
| Tabela 29 - Interpretação dos valores de IE | 94 |

| | |
|---|-----|
| Tabela 30 - Estudo das caixas necessárias A1..... | 101 |
| Tabela 31 - Análise ABC assentos da frente A1 | 105 |
| Tabela 32 - Análise ABC assentos traseiros A1..... | 105 |
| Tabela 33 - Análise ABC encostos da frente A1 | 106 |
| Tabela 34 - Análise ABC encostos traseiros A1..... | 107 |
| Tabela 35 - Estudo das caixas necessárias B9 | 108 |
| Tabela 36 - Análise ABC assentos da frente B9 | 116 |
| Tabela 37 - Análise ABC assentos traseiros B9..... | 116 |
| Tabela 38 - Análise ABC encostos da frente B9 | 117 |
| Tabela 39 - Análise ABC encostos traseiros B9..... | 118 |
| Tabela 40 - Estudo das caixas necessárias AB3 tecido | 120 |
| Tabela 41 - Análise ABC assentos da frente AB3 Tecido | 130 |
| Tabela 42 - Análise ABC assentos traseiros AB3 Tecido..... | 131 |
| Tabela 43 - Análise ABC encostos da frente AB3 Tecido | 132 |
| Tabela 44 - Análise ABC encostos traseiros AB3 Tecido..... | 135 |
| Tabela 45 - Estudo das caixas necessárias AB3 Couro | 137 |
| Tabela 46 - Análise ABC assentos da frente AB3 Couro | 169 |
| Tabela 47 - Análise ABC assentos traseiros AB3 Couro | 174 |
| Tabela 48 - Análise ABC encostos da frente AB3 Couro | 179 |
| Tabela 49 - Análise ABC encostos traseiros AB3 Couro | 188 |
| Tabela 50 - Estudo das caixas necessárias Mini F57 | 200 |
| Tabela 51 - Análise ABC variantes Mini F57 | 203 |

LISTA DE ABREVIATURAS, SIGLAS E ACRÓNIMOS

AF – Assento da Frente

AFD – Assento da Frente Direito

AFE – Assento da Frente Esquerdo

AT – Assento Traseiro

ATC – Assento Traseiro Central

ATD – Assento Traseiro Direito

ATE – Assento Traseiro Esquerdo

CAD – *Computer Aided Design*

CC – Constante de Carga

CPS – *Coindu Production System*

CRAFT - *Computerized Relative Allocation of Facilities Technique*

DA1ce – Distância percorrida pelas peças A1 com enchimento

DA1se – Distância percorrida pelas peças A1 sem enchimento

DAB3Cce – Distância percorrida pelas peças AB3 Couro com enchimento

DAB3Tse – Distância percorrida pelas peças AB3 Tecido sem enchimento

DB9se – Distância percorrida pelas peças B9 sem enchimento

DF57ce – Distância percorrida pelas peças Mini F57 com enchimento

DF57se – Distância percorrida pelas peças Mini F57 sem enchimento

EDI - *Electronic Data Interchange*

EF – Encosto da Frente

EFD – Encosto da Frente Direito

EFE – Encosto da Frente Esquerdo

ET – Encosto Traseiro

ETC – Encosto Traseiro Central

ETD – Encosto Traseiro Direito

ETE – Encosto Traseiro Esquerdo

ETC – Encosto Traseiro Central

FIFO – First In, First Out

IE – Índice Elevação

JIT – *Just in Time*

KPI – *Key Performance Indicator*

MA – Multiplicador de Assimetria

MD – Multiplicador de Distância

MF – Multiplicador de Frequência

MH – Multiplicador Horizontal

MMC – Mínimo Múltiplo Comum

MP – Multiplicador de Pega

MV – Multiplicador Vertical

NIOSH - *National Institute for Occupational Safety and Health*

OEM - *Original Equipment Manufacturer*

OF – Ordem de fabrico

PA – Produto Acabado

PLR – Peso Limite Recomendado

QTD - Quantidade

SA – Semiacabado

SPOF – Sistemas de produção orientados à função

SPOP – Sistemas de produção orientados ao produto

TPS – *Toyota Production System*

WIP – *Work in Process*

1. INTRODUÇÃO

Este capítulo tem como finalidade realizar uma breve introdução ao tema deste projeto de dissertação em Engenharia e Gestão Industrial sob o tema “Melhoria dos processos da secção de corte através da aplicação de ferramentas Lean Production numa empresa de componentes para a indústria automóvel”, bem como uma descrição dos objetivos, da metodologia de investigação utilizada e da estrutura da dissertação.

1.1 Enquadramento

Ultimamente, tem-se verificado um rápido desenvolvimento tecnológico, o que torna o mercado cada vez mais competitivo para as empresas. Para combater este constante aumento de concorrência, ou seja, ser mais competitivo, é necessário promover mudanças frequentes de modo a melhorar a produtividade, reduzir os custos e minimizar os *stocks*. Este aumento de competitividade transfere todo o poder para o consumidor, cada vez mais exigente a nível de preço e qualidade. A situação verificada hoje em dia, em que os produtos têm ciclos de vida comercial cada vez mais curtos, leva a que o lançamento de novos produtos seja constante. Enquanto algumas organizações continuam a crescer com base na estabilidade económica, outras sentem dificuldades por causa da falta de compreensão das novas mentalidades e práticas de custo orientadas para o cliente. Estes fatores representam um grande desafio para as organizações, havendo por isso a necessidade de procurar novas ferramentas e técnicas de forma a permanecerem competitivas (Bhamu & Sangwan, 2014).

É neste mercado global competitivo que surgem técnicas e ferramentas capazes de responder aos desafios acima mencionados, incluídas numa metodologia de gestão designada de *Lean Production* dada a conhecer pela primeira vez no ocidente no livro “*The Machine that Changed the World*” de Womack, Jones e Roos (Shah & Ward, 2007). Esta metodologia surgiu do denominado *Toyota Production System* (TPS) (Monden, 1998), onde o sistema produtivo passa a ser um sistema *pull* onde se produz apenas o que é necessário e quando necessário, ao contrário do que acontecia como por exemplo, nas empresas americanas onde os sistemas produtivos eram do tipo *push* orientados para a produção em massa.

Esta mudança de sistemas de controlo da atividade produtiva de *push* para *pull* (Spearman & Zazanis, 1992) implica então a eliminação de todo o tipo de desperdícios. Segundo Ohno (1988) existem no total

sete tipos de desperdícios, sendo estes a sobreprodução, processamento incorreto ou sobre processamento, esperas, transportes, movimentações, defeitos e inventário.

Para *Lean Production* quem define o valor do produto final é o cliente sendo os desperdícios todas as atividades que não acrescentam valor ao produto segundo a perspetiva do cliente (Womack & Jones, 1996). Para as empresas conseguirem implementar *Lean* precisam assim de seguir os cinco princípios *Lean Thinking* de Womack e Jones (1996): 1) Valor: 2) Cadeia de valor: 3) Fluxo contínuo: 4) Implementação da produção puxada: 5) Perseguir a perfeição, i.e., *Kaizen* (melhoria contínua).

O TPS baseia-se em quatro ideias base principais: JIT, Jidoka, trabalho flexível e o pensamento criativo (Monden, 1998). Para além destas quatro ideias base, o TPS pode ser representado por uma estrutura de casa designada “Casa do TPS” (Liker, 2004) onde estão apresentadas estas as ferramentas para a sustentar como o *Standard Work*, *Heijunka* (nivelamento), *Kaizen* (melhoria continua) e *Kanban* (Gross & McInnis, 2003), entre outras.

A empresa onde foi realizada esta dissertação, empresa Coindu S.A, que é uma empresa produtora de capas de assentos para a indústria automóvel, também pretende implementar este paradigma de competitividade querendo iniciar, em breve, uma fase de transição para um sistema produtivo mais flexível, sendo o principal objetivo a transição de um sistema *push* para um sistema *pull*. Assim, teve como objetivo para este projeto a implementação de um supermercado na zona da preparação para resolver os problemas relacionados com o elevado nível de *stocks*, elevado WIP e o número excessivo de transporte/manuseamento de materiais e deslocações realizadas pelos colaboradores na secção de corte. Com a implementação destas medidas, a Coindu S.A. pretende ganhar uma competitividade em relação aos seus concorrentes através da obtenção de um sistema de produção mais flexível, o que permitirá reduzir custos, *stocks*, operações que não acrescentam valor e obter prazos de entrega menores.

1.2 Objetivos

O objetivo principal da presente proposta de dissertação passou pela melhoria dos processos da secção de corte através da aplicação de ferramentas *Lean Production* em uma empresa que produz componentes para a indústria automóvel, a Coindu S.A., com o intuito de aumentar a produtividade e eficiência dos seus processos produtivos. Como objetivos específicos a este projeto pretendeu-se:

- Criação de supermercados na zona de preparação;
- Reconfiguração do *layout* do armazém da zona de preparação;

- Criação de racks para o supermercado e eliminação de paletes e caixas de cartão;

As medidas de desempenho/objetivos que se pretendiam melhorar foram:

- Reduzir o WIP;
- Simplificar os fluxos;
- Reduzir número de movimentações de materiais e colaboradores;
- Aumentar a produtividade e flexibilidade do sistema produtivo.

1.3 Metodologia de investigação

Para o desenvolvimento deste projeto de trabalho foi utilizada a metodologia *Action Research* (Wallace, Cutting, Sutcliffe, & Langley-Hobbs, 2008) que se caracteriza por ser uma metodologia onde um grupo de pessoas identifica um problema, faz algo para resolvê-lo, vê quais os resultados dos seus esforços e, se não estiver satisfeitos, tentam novamente, ou seja, resumidamente é uma abordagem que se resume por a expressão “*learning by doing*” (Wallace et al., 2008). Esta metodologia é caracterizada por um procedimento de cinco fases apresentado na Figura 1.

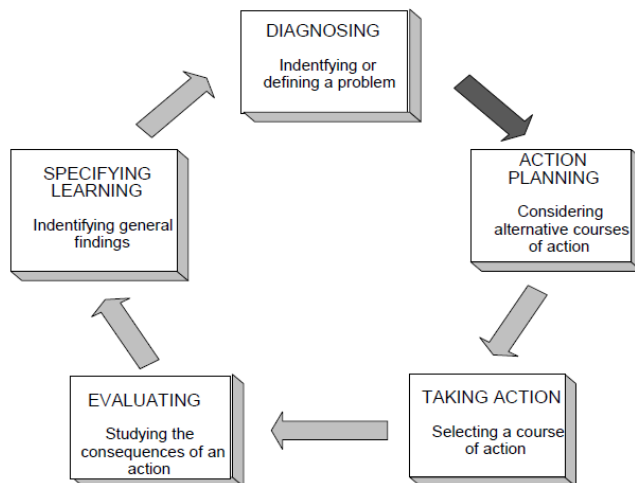


Figura 1 - Modelo Action Research Detalhado – adaptado de Susman (1983)

Este trabalho seguiu as cinco fases deste procedimento de investigação, que serão pormenorizadas a seguir. Na primeira fase de diagnóstico, identificou-se e definiu-se o problema, neste caso, alguns problemas já identificados são o elevado nível de *stock*, elevado WIP e um grande número de transporte/manuseamento de materiais. Após a identificação dos problemas foi realizado um levantamento dos indicadores de desempenho (KPI) atuais e análise do sistema produtivo, como por exemplo, WIP, níveis de stock, produtividade, etc. Para esta análise foram usadas algumas ferramentas, nomeadamente, análise ABC relativa aos projetos de Joane I, 5Why, diagramas de circulação, etc.

Adicionalmente, para identificar as causas destes problemas foram realizados estudos dos processos e postos de trabalho, de forma a entender quais as operações que cada operador realiza e se haveria possibilidade de automatizar algumas operações de trabalho, bem como um estudo do fluxo de materiais do armazém intermédio da zona de preparação para a produção.

Na segunda fase de planeamento de ações, foram estudadas quais as ações a tomar para resolver estes problemas, para isso analisou-se as alternativas e os seus impactos, tendo-se optado pelas que potencialmente dão melhores resultados. Neste caso as ações a implementar foram um sistema de supermercado para o armazém intermédio, bem como a definição de um novo *layout* para este armazém. Também foram implementadas ações para automatizar algumas operações das células de produção. Por fim, também foram implementadas ações relativas aos 5S e gestão visual.

Após escolhidas as ações a tomar, a próxima fase foi a sua implementação, isto é, implementação do sistema de supermercado e novo projeto de *layout* do setor de corte. Para isso foi feito o dimensionamento do supermercado, cálculo do número de caixas, etc.

Na fase de avaliação, foram comparados os resultados obtidos com a implementação das ações com os valores dos KPIs obtidos na primeira fase de diagnóstico, de forma a perceber qual o ganho que se obteve ou quanto se perdeu e quais as possíveis soluções para melhorar o desempenho do sistema.

Na quinta e última fase do projeto, foi realizada a especificação de aprendizagem onde se identificaram as principais conclusões, onde foram apresentados os resultados obtidos e foi feita uma reflexão da aprendizagem de forma a perceber qual o ganho que estas ações vão trazer ao sistema produtivo da Coindu e possíveis trabalhos para o futuro.

1.4 Estrutura da dissertação

A presente dissertação está dividida em sete capítulos, inicia-se pela introdução do projeto onde é feito um enquadramento ao tema, quais os objetivos e metodologia de investigação do projeto, bem como a estrutura da dissertação.

No segundo capítulo é realizada a revisão bibliográfica, mostrando quais os conceitos mais importantes do ponto de vista teórico para a realização desta dissertação.

No capítulo três é efetuada a apresentação e caracterização de empresa onde foi realizada esta dissertação, a Coindu. Inicia-se com a identificação e localização da mesma bem como a sua história e evolução. De seguida mostra-se todo o seu processo produtivo desde o armazém à expedição.

No capítulo quatro é feita a análise crítica da situação atual, onde são identificados os problemas existentes na secção de corte na unidade de Joane I.

No quinto capítulo são apresentadas as propostas de melhoria que tem como objetivo a eliminação, ou caso não seja possível, a redução dos problemas apresentados no capítulo anterior.

No capítulo seis é feita a apresentação, análise e discussão dos resultados obtidos através das implementações das propostas de melhoria.

Por fim, no sétimo capítulo são apresentadas as conclusões desta dissertação assim como algumas ideias para possíveis trabalhos futuros necessários para dar continuidade ao projeto.

2 REVISÃO BIBLIOGRÁFICA

Neste capítulo apresenta-se a revisão bibliográfica sobre *Lean Production* que será o tema principal abordado no desenvolvimento deste projeto de dissertação. Para isso será apresentado a origem do *lean production*, a sua definição e princípios. De seguida são definidos os vários desperdícios, bem como conceitos como a casa TPS e as ferramentas *lean* que serão aplicadas ao longo deste projeto. Por fim, serão desenvolvidos os conceitos dos diferentes tipos de sistemas produtivos existentes e os métodos para projeto e planeamento de layouts utilizados nesta dissertação.

2.1 Lean Production

O *Lean Production* nasce no Japão nos anos quarenta associada ao *Toyota Production System*. Nesta altura a indústria japonesa não era competitiva face à indústria ocidental, em destaque estavam as empresas americanas que através da produção em massa conseguiam produzir grandes quantidades de produtos a preços muito baixos. Face a este problema de competitividade, surge então no seio da Toyota um sistema produtivo diferente de todos os outros, o *Toyota Production System*. Este sistema produtivo é caracterizado pela sua flexibilidade em fazer face às mudanças de procura dos clientes podendo produzir uma maior variedade de produtos utilizando o menor número de recursos possíveis através da redução de todos os desperdícios.

Este sistema foi popularizado pela obra “*The Machine that Changed the World*” de Womack, Jones & Roos (1990) onde os autores descrevem os principais princípios do TPS, usando a designação “*Lean Production*” que foi o termo usado pelo investigador do MIT John Krafcik (Ohno, 1988) ao descrever o TPS. Assim, estes autores definiram *Lean Production* como um sistema de produção com um elevado nível de eficiência, devido ao número reduzido de recursos para produzir as mesmas quantidades de produtos com qualidade elevada a preços mais baixos, tornando assim indústria japonesa extremamente competitiva no mercado global. Por causa destas características, estes autores que *Lean Production* tinha como ideia chave: “fazer mais com menos” (Womack et al., 1990).

2.1.1 Casa TPS

De acordo com (Liker, 2004) a teoria do *Toyota Production System* pode ser representada através de uma estrutura em forma de casa, Figura 2, sendo os pilares que sustentam esta casa o *Just-in-Time* (JIT) e o *Jidoka* (autonomação ou automação com toque humano).

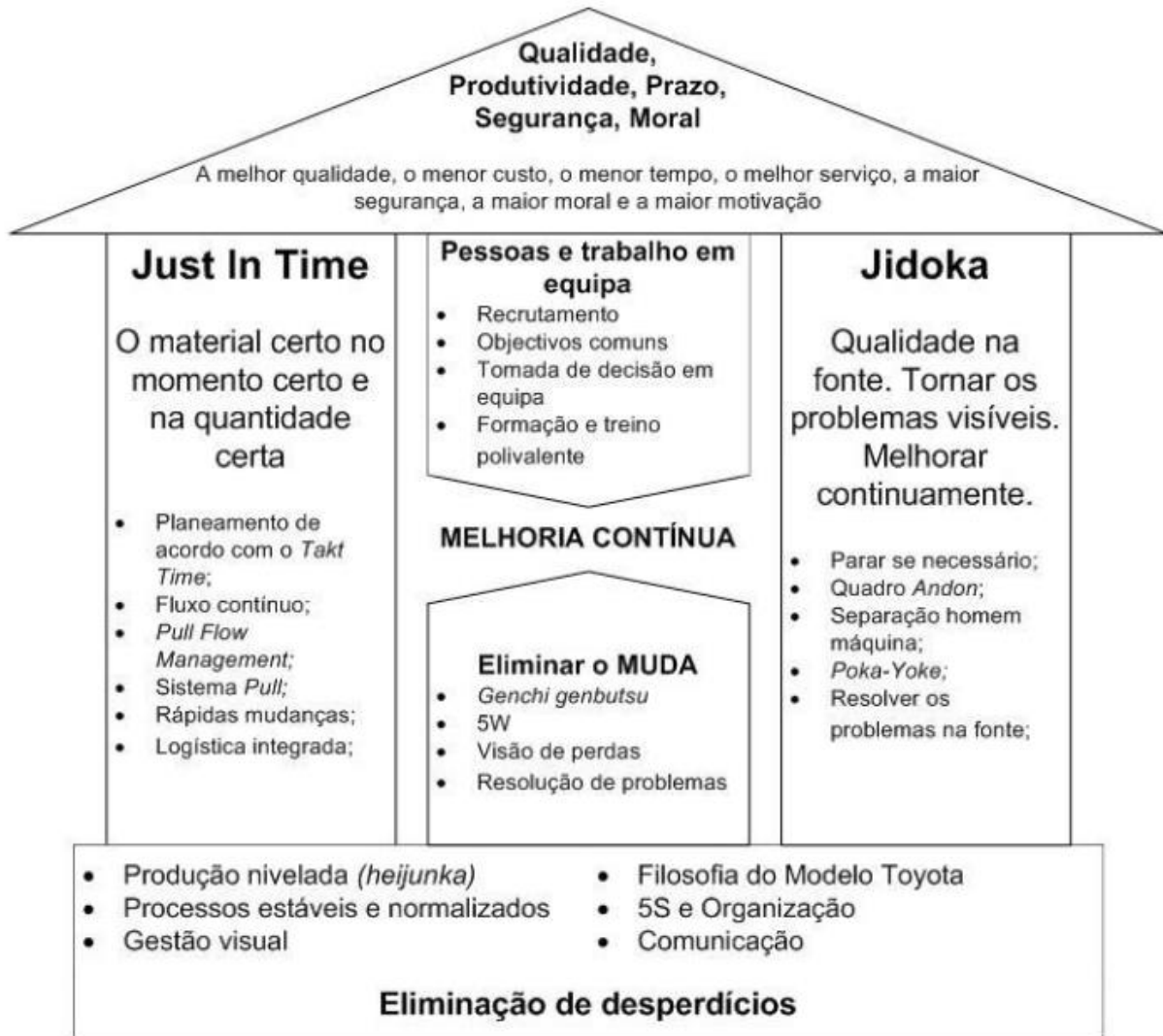


Figura 2 - Casa TPS, adaptado de Liker (2004)

A “Casa TPS” é assim constituída na sua base os processos estáveis e normalizados, pela gestão visual e produção nivelada ou *Heijunka*. Como pilares desta casa temos o *Just-in-Time* (JIT) e o *Jidoka*. O termo JIT remete para produzir apenas o necessário e no momento em que é preciso, de forma a reduzir os níveis de stock (Coimbra, 2009). Enquanto o termo *Jidoka* significa autonomação ou “automação com toque humano”, estando relacionado com a capacidade de deteção de existências de anomalias nos produtos, interrompendo a produção de imediato, de modo a evitar o fabrico de produtos sem qualidade (Liker & Meier, 2005). No centro da casa, tem-se a melhoria contínua, que é responsável pelo

envolvimento de todos os colaboradores para a importância do trabalho em equipa de forma a eliminar os desperdícios. Por fim, tem-se o telhado da casa com os objetivos do TPS, maior segurança e motivação dos colaboradores, tempos de entrega menores e produtos com maior qualidade e menor custo (Liker, 2004).

2.1.2 Sete desperdícios

A filosofia Lean tem como objetivo a eliminação total dos desperdícios (*muda* em japonês) na cadeia de valor de forma a acrescentar valor ao processo produtivo. Segundo Imai (2012) existe, para além do *muda*, mais dois tipos de desperdícios, sendo estes *muri* e *mura* que têm de ser eliminados/minimizados de forma a obter-se uma produção eficiente com o mínimo de defeitos possíveis. Assim, estes podem ser descritos como:

- *Muri* (sobrecarga): a sobrecarga dos operadores ou equipamentos, ou seja, é a necessidade de estes operarem a um nível de esforço superior durante um período de tempo que estes não conseguem suportar.
- *Mura* (variabilidade): a falta de regularidade no processo produtivo devido às existências de variações no sistema produtivo que geram uma distribuição desnivelada da carga de trabalho sobre os operadores envolvidos.

Segundo Ohno (1988) existem sete tipos de desperdícios que tem de ser eliminados da cadeia de valor que são: a sobreprodução, processamento incorreto ou sobre processamento, esperas, transportes, movimentações, defeitos e inventário. Estes desperdícios podem ser caracterizados como:

- Sobreprodução: significa produzir acima da procura do cliente, o que gera custos adicionais. Muitas vezes a superprodução é a causa-raiz que faz com que os outros seis defeitos apareçam. O motivo é que a produção em excesso exige transportes adicionais, movimentações excessivas, maior tempo de espera, maior nível de stock, aumento do número de defeitos e maior probabilidade de ocorrer sobre processamento/processamento incorreto da matéria-prima. Por esta razão este é considerado pela Toyota como o pior desperdício dos sete (Poppendieck & Llc, 2002).
- Processamento Incorreto ou Sobre Processamento: Este tipo de desperdício representa trabalho que não acrescenta valor adicional ou que acrescenta mais valor do que o necessário do ponto de vista do cliente. Geralmente este desperdício está associada à utilização de soluções complexas para a execução de operações simples, o que se traduz num aumento dos recursos utilizados, aumentando assim o preço final do produto por algo que os clientes não estão dispostos a pagar (Melton, 2005).
- Esperas: Sempre que os materiais não estão em movimento ou processos/tarefas não estão a ser executados, ocorre o desperdício de espera. É facilmente identificável porque o tempo perdido é o desperdício mais fácil de identificar. Por exemplo, matéria-prima à espera de ser entregue ou máquinas/equipamentos à espera de serem arranjadas (Smith, 2009).
- Transportes: Ocorrem quando se move recursos e o movimento não agrupa valor ao produto. A movimentação excessiva de materiais. Os transportes traduzem-se em gastos adicionais de capital, tempo, espaço e máquinas (Poppendieck, 2011).

- Movimentações: Este desperdício inclui deslocações de colaboradores (ou máquinas) desnecessárias. Estas deslocações podem causar um aumento do tempo de produção, sendo a principal causa deste problema o próprio layout do *shop floor* (Womack & Jones, 1996).
- Defeitos: Ocorrência de erros durante o processo produtivo, podendo causar retrabalho ou, pior ainda, *scrap*. Normalmente, o trabalho defeituoso deve voltar à produção novamente, o que custa tempo e impacta a produção “normal”. Além disso, em alguns casos, é necessária uma área de retrabalho extra, sendo assim necessário maior investimento o que se traduz num custo extra (Pinto, 2008).
- Inventário: A existência de stocks elevados de produto final, semiacabado e matéria-prima representa um aumento do capital empestado em stock e um aumento dos custos de armazenamento. Devido à existência de stocks elevados que podem nunca ser necessários face à procura do cliente, elevados níveis de inventario traduzem-se assim em um grande risco de produto final obsoleto (Moyano-Fuentes & Sacristán-Díaz, 2012).

2.1.3 Ferramentas *Lean*

Esta secção apresenta algumas das ferramentas *Lean Production* relevantes para este projeto de dissertação.

2.1.3.1 Gestão Visual

A gestão visual é uma ferramenta da casa TPS fundamental na atribuição de autonomia ao colaborador, pois permite a transmissão de informações e instruções de forma simples e clara, permitindo auxiliar os colaboradores nas tomadas de decisão autónomas. Permite também o controlo dos processos existentes no *shop floor* sem recurso a sistemas de gestão complexos.

Segundo Shingo (1989) a gestão visual consiste assim na utilização de indicadores visuais com o objetivo de informar, sinalizar ou delimitar de forma a informar todos os colaboradores envolvidos.

A gestão visual tem assim como objetivo a implementação de um sistema transparente de transmissão de informações aos colaboradores, pois é crucial o envolvimento de todos os colaboradores no processo produtivo, sendo por isso necessário que estes tenham conhecimento do estado global dos processos, de forma a envolver e motivar a participação dos mesmos.

Destacam-se assim como ferramentas de controlo visual os quadros de trabalho normalizado, delimitações de zonas, quadros informativos de indicadores chave de desempenho (Key performance Indicators – KPI) de e sistemas *Andon* (Shingo, 1989). Os sistemas Andon são ferramentas de gestão visual que recorrem a sinais luminosos/sonoros para alertar a ocorrência de uma anormalidade processo produtivo.

2.1.3.2 Metodologia 5S

A metodologia 5S teve origem na indústria japonesa, mais concretamente na Toyota. Esta metodologia foi desenvolvida após a visita do fundador da Toyota, Sakichi Toyoda, bem como do seu filho Kiichiro

Toyoda e Taiichi Ohno a várias empresas americanas no final da segunda guerra mundial. Através das observações realizadas nos Estados Unidos da América surge assim o desenvolvimento do *Toyota Production System*, onde se inclui a metodologia 5S bem como as restantes ferramentas e práticas *Lean*.

O nome desta metodologia devesse à primeira letra das cinco palavras japonesas que definem as etapas desta metodologia:

1. *Seiri* (Separação): a metodologia 5S começa pela separação do que é necessário daquilo que é desnecessário, mantendo apenas o que é necessário no posto de trabalho, tudo o que for considerado dispensável para a realização das atividades no posto de trabalho deve ser descartado ou realocado (Randhawa & Ahuja, 2017);
2. *Seiton* (Organização): organização do posto de trabalho é conseguida através da alocação de objetos a locais específicos, mantendo os objetos mais utilizados mais perto do trabalhador e mais perto possível do seu local de utilização (Gupta & Jain, 2015);
3. *Seiso* (Limpeza): a limpeza e inspeção do posto de trabalho define a importância da limpeza do posto de trabalho, bem como a deteção e eliminação de anomalias no mesmo (Falkowski & Kitowski, 2013);
4. *Seiketsu* (Padronização): esta etapa consiste na criação de regras, normas, procedimentos e *standards* que os colaboradores devem cumprir de forma a manter as três primeiras etapas da metodologia (Singh & Ahuja, 2015);
5. *Shitsuke* (Disciplina): sensibilização de todos os envolvidos nas mudanças do posto de trabalho, para que este não reverta ao seu estado inicial, sendo os colaboradores responsáveis pela manutenção do seu posto de trabalho (Gapp, Fisher, & Kobayashi, 2008);

A metodologia 5S pode assim trazer várias vantagens, como por exemplo, maior qualidade no processo produtivo, maior segurança, maior produtividade, mais envolvimento dos colaboradores e uma maior eficiência na utilização dos equipamentos (Michalska & Szewieczek, 2007).

2.1.3.3 JIT

Como o nome indica JIT (*Just in Time*) é uma ferramenta *lean* que permite um maior controlo da gestão nos sistemas produtivos do tipo *pull*, neste tipo de sistema produtivo, a necessidade de produção é iniciada pelo pedido do cliente, esta ferramenta permite assim a adaptação às mudanças da procura do cliente, permitindo a produção só do que é necessário no tempo necessário (Monden, 1998).

Segundo Monden (1998), para a implementação deste tipo de sistema é então necessário cumprir os vários processos segundo o conceito *Just in Time*, aplicando ferramentas como *kanban* e supermercados, devendo o material neste tipo de sistema fluir em pequenos lotes e/ou *one piece flow*, ou seja, cada setor processa apenas a peça necessária para o próximo setor e apenas quando este precisar dela, sendo as peças processadas uma de cada vez seguindo um fluxo contínuo.

Através da implementação do sistema *pull* é possível reduzir os níveis de stock pois a produção é limitada ao que é estritamente necessário para satisfazer a procura do cliente, permitindo também eliminar/reduzir o WIP e o desperdício de recursos, obtendo-se assim um sistema produtivo mais flexível, eficiente e produtivo.

Pelo contrário, nos sistemas produtivos do tipo *push* as várias peças vão sendo “empurradas” para a produção independentemente de haver uma necessidade de produção, esta produção em massa antecipando a procura por parte do cliente provoca assim um aumento do WIP e dos níveis de stock (Villa & Watanabe, 1993).

2.1.3.4 Supermercado

À semelhança de outros conceitos do *Toyota Production System*, o conceito de supermercado nasce após a visita da equipa da Toyota aos Estados Unidos da América nos anos cinquenta, depois da visita à cadeia de supermercados *Piggly Wiggly*. Durante a visita a esta cadeia de supermercados, Taiichi Ohno observou que existiam vários produtos expostos nas prateleiras do supermercado, e que à medida que estes eram retirados pelos clientes, havia um funcionário que reabastecia os produtos comprados (J. P. Womack et al., 1990).

O supermercado é então um sistema que permite controlar o excesso de stock, pois o stock do supermercado é controlado pela procura do cliente, o cliente compra o produto que necessita e essa compra vai desencadear a necessidade de repor esse produto na prateleira do supermercado, ou seja, o stock do supermercado vai de encontro com a procura do cliente final, sendo assim, é a compra do produto por parte do cliente que inicia todo o processo de produção, nascendo assim o conceito de *pull production*, ao contrário do que acontecia nas empresas americanas que operavam sobre o conceito de produção em massa, onde o produto final era empurrado para o cliente (Shingo, 1989).

Os supermercados são então áreas de armazenamento entre processos que permitem o fácil controlo de níveis de stock, e rápido abastecimento dos processos do sistema produtivo. A Figura 3 mostra a representação de um sistema pull usando kanbans e um supermercado.

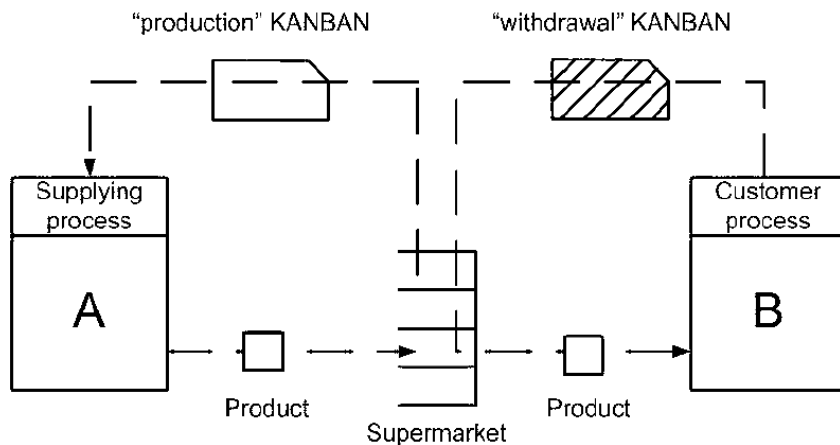


Figura 3 - Exemplo de um sistema pull – adaptado de (Chatzopoulos, Tsigkas, & Papantoniou, 2009)

2.2 Projeto de layouts para sistemas de produção

Esta secção apresenta a revisão dos conteúdos relativamente aos diferentes tipos de sistemas de produção existentes e diferentes tipos de configurações, apresenta também ferramentas/métodos utilizados para analisar e planear novos layouts.

2.2.1 Tipos de sistemas de produção

No que diz respeito aos diferentes tipos de sistemas de produção, estes apresentam duas configurações possíveis: sistemas de produção orientados à função (SPOF) e sistemas de produção orientados ao produto (SPOP) (Silva & Alves, 2002).

Os sistemas de produção do tipo SPOF, são caracterizados pela sua capacidade de produção de uma grande diversidade de artigos com diferentes processos produtivos e sequências de operações. É assim necessário equipamento com elevado grau de versatilidade para possibilitar a produção dos diferentes tipos de produto, sendo que neste tipo de sistema a produção é realizada em pequenos lotes que são transportados para as diferentes secções para executar os diferentes processos produtivos. Contudo, este tipo de sistema de produção apresenta algumas desvantagens, tais como, elevada quantidade de artigos diferentes a ser produzida, elevados tempos de produção, elevados níveis de *stock / WIP* e devido a estas desvantagens um maior risco de atraso da entrega do produto final ao cliente (Alves, 2007).

Ao contrário dos SPOF, os SPOP são caracterizados pela produção de um único artigo/família de artigos com processos produtivos semelhantes estando, por isso, neste tipo de sistema de produção o layout organizado em pequenas secções responsáveis pela execução de várias operações do artigo, sendo cada secção independente das restantes. Os SPOP permitem assim uma maior capacidade de resposta às variações da procura do cliente e uma resposta mais rápida e eficiente a esta variação (Alves, 2007).

2.2.2 Introdução a abordagens e métodos para projeto e planeamento de layouts

De forma a planear o projeto de um novo layout, é necessário segundo Muther (1956) ter em conta os vários fatores que podem afetar o planeamento de um novo layout, destacando-se o fluxo de materiais, equipamentos e operadores. De forma a analisar estes fatores, foi utilizado como ferramenta o diagrama de circulação.

O diagrama de circulação é uma ferramenta, utilizada durante a criação de novos layouts para o *shop floor*, que permite indicar a posição dos vários equipamentos e postos de trabalho presentes no *shop floor*, sendo assim possível avaliar o fluxo de materiais e pessoas do processo produtivo.

Diagrama de circulação permite então comparar vários layouts diferentes com o objetivo de escolher o que mais se adequa às operações presentes na unidade fabril, tendo esta ferramenta como finalidade a eliminação/redução de movimentações, de forma a reduzir o número de operações que não acrescentam valor, permitindo assim aos colaboradores focarem-se nas operações realmente importantes para o processo produtivo.

O design do layout de determinado sistema é feito através do arranjo mais eficaz das instalações físicas para permitir desta forma uma maior eficiência na combinação de recursos necessários para produzir determinado produto. É por isso fundamental que o layout seja capaz de responder às mudanças frequentes na procura, minimizando assim o custo de transporte do material (Deshpande & Chopade, 2005).

Nasce assim o método de *Computerized Relative Allocation of Facilities Technique* (CRAFT). Esta técnica foi desenvolvida para situações em que os custos de transporte de materiais eram uma consideração importante, sendo o principal objetivo minimizar o custo total da movimentação de itens entre processos/departamentos.

Para avaliar o custo total das movimentações, o método de CRAFT utilizada a seguinte fórmula (Deshpande & Chopade, 2005).

$$\text{Custo total} = \sum_{i=1}^n \sum_{j=1}^n f_{ij} * d_{ij} * c_{ij}$$

f_{ij} é o fluxo entre o departamento/processo i e j;

d_{ij} é a distância entre o departamento/processo i e j;

c_{ij} é o custo de transporte de uma unidade de material por unidade de distância entre o departamento/processo i e j.

3 APRESENTAÇÃO DA EMPRESA

Neste capítulo é apresentada a empresa onde foi realizado o projeto de dissertação, a Coindu S.A. Joane. Inicialmente será descrita a empresa, bem como a sua história e evolução ao longo do tempo, sendo depois identificados os principais fornecedores e matérias-primas, principais clientes e concorrentes e principais produtos da organização. Por fim, é realizada a descrição do sistema produtivo desde a receção da matéria-prima no armazém até à expedição do produto final.

3.1 Identificação e localização

A Coindu – Componentes para a Indústria Automóvel, S.A. encontra-se localizada em Joane, no concelho de Vila Nova de Famalicão, sendo uma empresa produtora de capas de assentos para a indústria automóvel.

A Coindu possui unidades fabris em Joane, Arcos de Valdevez, Curtici (Roménia) e Tetla (México). Para além das unidades fabris também possui dois centros de desenvolvimento na Alemanha em Ingolstadt e Braunschweig e uma plataforma logística em Senec na Eslováquia, bem como 51% de uma empresa produtora de couro Alemã a HEWA Leder GmbH.

A unidade de Joane encontra-se dividida em duas unidades, Joane I e Joane II, sendo este projeto de dissertação desenvolvido na unidade de Joane I. A Figura 4 apresenta as duas unidades de Joane.



Figura 4 - Coindu Joane

3.2 História e evolução

Antes de ser a empresa que é atualmente, a Coindu passou por várias etapas que a transformaram no que é hoje em dia.

A Coindu foi fundada por António Lourenço, Armindo Gomes e Günter Stichter Senior, em Joane, no ano de 1988 com o nome Conflex, tendo iniciado com a produção de pequenas peças de couro, tendo depois, em 1992, alterado o seu nome para Coindu – Componentes para a Indústria Automóvel S.A. e iniciado a produção em série de capas de assentos com cerca de 180 colaboradores.

Em 2001 é inaugurada a unidade produtiva dos Arcos de Valdevez, devido ao crescimento da empresa e da elevada disponibilidade de mão-de-obra na zona, tendo no final do ano de inauguração cerca de 400 colaboradores na unidade e sete linhas de produção.

Os anos que se seguiram foram de crescimento, o que se traduziu na conquista de novos clientes (Faurecia e Johnson Control). Por essa razão, a Coindu expandir o seu negócio além-fronteiras com a construção de uma nova unidade fabril em Curtici, na Roménia em 2005 com cerca de 300 colaboradores e 15 linhas de produção.

Em 2008 a empresa ultrapassa a fasquia dos 100 milhões de euros e em 2011 abre o primeiro centro de desenvolvimento na Alemanha, em Ingolstadt. No ano seguinte começa a fornecer diretamente a Volkswagen, o que motivou um segundo centro de desenvolvimento na Alemanha, em Braunschweig.

Em 2014, a organização diversificou o seu portfólio de produtos e apostou, além da indústria automóvel, na indústria do vestuário de luxo, passando a fornecer uma famosa casa de moda internacional, surge assim a Coindu Couture na unidade dos Arcos de Valdevez.

No ano seguinte, a Coindu prosseguiu a sua estratégia de internacionalização e abriu a sua primeira fábrica fora da Europa, em Tetla, no México. Além disso, passou a ser fornecedor direto da Porsche e da Mini e abriu uma plataforma logística em Senec na Eslováquia de 3400 metros quadrados com capacidade para 4000 carros por semana e um stock de 5 dias, tendo ainda a possibilidade de aumentar esta capacidade para 12000 carros por semana.

No ano de 2016 a organização adquiriu 51% das ações da empresa Alemã HEWA Leder GmbH, produtora de couro de alta qualidade.

Atualmente a Coindu emprega mais de 3000 pessoas em Portugal, tendo sido recentemente adquirida pelo grupo Richina.

3.3 Matérias-primas e principais fornecedores

As matérias-primas utilizadas na produção das capas para assentos podem variar dependendo do modelo a produzir, bem como a variante desse modelo. Assim, pode-se definir três tipos de matérias-primas principais: o couro, os tecidos e o pvc. Os principais fornecedores destas três matérias-primas são:

- Boxmark
- Gertex
- Aunde
- Benecke
- Bader
- Pasubio
- Magna
- Lear
- Faurecia

É de salientar que estes fornecedores são todos europeus. Para além do couro, tecidos e pvc, existem outro tipo de matérias-primas essenciais na costura do produto, como por exemplo: perfis, elásticos, etiquetas, linhas, espumas de enchimento, etc.

3.4 Principais clientes e concorrentes

A Coindu fornece capas de assentos para as maiores marcas do mercado automóvel, podendo ser fornecedor de 1º nível, ou seja, fornece diretamente o cliente ou, fornecedor de 2º nível, quando fornece outra marca, que depois irá fornecer o cliente principal. Na Tabela 1 estão representados os vários clientes da Coindu.

Tabela 1- Principais Clientes Coindu

| Clientes 1º Nível | Clientes 2º Nível |
|--------------------------|--------------------------|
| BMW | Lear |
| Audi | Magna |
| Porsche | Faurecia |
| Aston Martin | Fehrer |
| Lamborghini | Adient |
| Volkswagen | Grammer |
| Mini | Toyota Boshoku |
| Renault | Sitech |
| SEAT | |
| Mercedes-Benz | |
| Peugeot | |
| Rolls-Royce | |
| Skoda | |
| Volvo | |
| Citroën | |

Desta forma, os principais concorrentes da Coindu são também estas grandes empresas que fornecem diretamente as *Original Equipment Manufacturers* (OEM), como é o caso da Faurecia, Toyota Boshoku, etc. No entanto, nos casos em que a Coindu opera um fornecimento de segundo nível, os seus concorrentes diretos são os outros fornecedores de 2º nível (Tabela 2).

Tabela 2 - Principais concorrentes

| Fornecedor 1º Nível | Fornecedor 2º Nível |
|----------------------------|----------------------------|
| Faurecia | Hybel |
| Lear | Aunde Teknik |
| Magna | Prevent |
| Adient | Sunviauto |
| Fehrer | Treves |
| Grammer | Carint |
| Sitech | Intergroclin |
| Toyota Boshoku | Martur |
| | Boxmark |

3.5 Principais produtos

Como já foi referido anteriormente, a Coindu produz componentes para a indústria automóvel, mais concretamente, capas para assentos em couro, tecido e pvc (Figura 5).



Figura 5 - Produtos Coindu

3.5.1 Constituição do assento de um automóvel

A designação da capa do assento muda de acordo com a posição que o produto irá ocupar no carro, tornando assim mais fácil a sua identificação. No que diz respeito às posições frontais do carro, é possível identificar quais as várias partes que compõem o assento (Figura 6): assento da frente esquerdo e o assento da frente direito (AFE/AFD) e o encosto da frente esquerdo/encosto da frente direito (EFE/EFD).



Figura 6 - Mini F57 - Assentos da Frente

Em relação às posições traseiras do carro (Figura 7), tem-se o assento traseiro (AT 100%), se for produzido inteiro, ou, se for produzido por partes, o assento traseiro esquerdo (ATE), o assento traseiro direito (ATD) e o assento traseiro central (ATC). Por sua vez, tem-se os encostos do banco, que podem ser: encosto traseiro esquerdo (ETE), encosto traseiro direito (ETD) e o encosto traseiro central (ETC). No caso do Mini F57, o assento traseiro é um AT 100%.



Figura 7 - Mini F57 - Assentos Traseiros

3.5.2 Modelos produzidos atualmente

Os modelos produzidos atualmente na unidade de Joane I e respetivos clientes encontram-se abaixo na Tabela 3.

Tabela 3 - Modelos Produzidos Joane I

| Modelos | Clientes |
|------------|----------|
| AB3 Couro | |
| AB3 Tecido | Audi |
| A1 | |
| B9 | |
| Mini F57 | BMW |

3.6 Descrição do sistema de produção

Nesta secção é feita uma breve descrição do sistema produtivo da unidade de Joane I, estando este dividido em armazém, corte, preparação, produção e expedição. No Anexo I – Secção de Corte – Joane I na Figura 73, é apresentado o *layout* atual da secção de corte de Joane I.

3.6.1 Armazém

É no armazém (Figura 8) que se inicia todo o sistema produtivo da unidade de Joane I através da receção das matérias-primas (rolos, espumas, kits de couro, pequenos materiais, etc.) vindas dos vários fornecedores. Após a receção é feito o controlo de qualidade dos vários materiais e estes são inseridos no sistema interno da empresa, sendo no final de todo este processo, armazenados segundo o FIFO para mais tarde serem transferidos para os vários setores da empresa.



Figura 8 - Armazém

3.6.2 Corte

O processo no setor do Corte, inicia-se com a receção dos vários materiais necessários para a realização das tarefas no setor. Na unidade de Joane I não existe corte de couro, cortando-se apenas tecidos, espumas e pvc. Estes materiais são cortados em máquinas de corte automático designadas por Lectras (Figura 9). Após a colocação do material a cortar na Lectra, este é estendido e em seguida cortado segundo um plano de corte gerado por um sistema CAD. No fim do corte do material este segue para a preparação.



Figura 9 - Lectra

3.6.3 Preparação

Na preparação (Figura 10) dá-se o agrupamento das peças vindas das Lectras e do armazém (kits de couro), caso a OF (ordem de fabrico) tenha peças em couro. Nesta fase é feita uma inspeção de qualidade e contagem dos materiais.



Figura 10 - Mesa de preparação

Em algumas ordens de produção é necessário realizar algumas operações auxiliares, como por exemplo, as costuras de enchimento em algumas imagens de base que constituem a ordem de fabrico. Estas operações realizam-se nas operações preparatórias (Figura 11) que se encontram no setor do corte.



Figura 11 - Operações preparatórias

Terminado este processo é dado o “ok” em sistema da ordem de fabrico (Figura 12) e esta é alocada a uma palete, estando assim pronta para abastecer a produção.



Figura 12 - Ordem de fabrico

3.6.4 Produção

No caso de Joane I, Figura 13, a produção encontra-se dividida em cinco linhas tendo no total 35 equipas de costura. As ordens de fabrico preparadas no setor anterior são entregues à equipa de costura (podendo uma célula de costura ter mais de uma equipa) estando cada equipa responsável por produzir

um tipo de peça (AF, EF, AT, ET) de um determinado modelo (AB3 Couro, AB3 Tecido, Mini F57, A1, B9).



Figura 13 - Setor produção Joane I

Após a costura, a peça final é inspecionada e controlada no posto de revista Figura 14, onde também podem ser realizadas algumas operações adicionais.



Figura 14 - Posto de revista

3.6.5 Expedição

No setor da expedição, Figura 15, é armazenado o produto final antes de ser enviado para o cliente. É também neste setor que se realiza a embalagem do produto final, sendo o produto controlado e embalado de forma a garantir todos os requisitos do cliente. No fim deste processo são impressas as etiquetas de cada palete e é preparada a documentação necessária como por exemplo, listas de *picking*, guias de remessa, etc. dependendo do cliente final.



Figura 15 – Expedição

4 DESCRIÇÃO E ANÁLISE CRITICA DA SITUAÇÃO ATUAL

Neste capítulo é descrito o estado atual do setor de corte que foi o setor escolhido para estudo. Esta descrição centra-se no funcionamento do setor e dos postos de trabalho que existem no corte. Seguidamente é apresentado e descrito o modelo selecionado para o projeto. Por fim, é realizada uma análise critica e identificados os problemas existentes na área em estudo para o modelo selecionado.

4.1 Descrição da secção de corte Joane I

Nesta secção é descrito o setor de corte de Joane I, mostrando o funcionamento do setor e os vários postos de trabalho existentes.

4.1.1 Funcionamento do setor

A atividade do setor inicia-se com o planeamento da produção que é baseada nas informações, recebidas por correio eletrónico, contidas em um ficheiro Excel com a encomenda semanal de um determinado projeto, enviado pela logística de planeamento. Para realizar o planeamento da produção, a logística de planeamento, tem de ter em consideração diversos fatores que são determinantes para garantir o cumprimento do plano de produção, com o máximo de rentabilidade dos recursos existentes. Estes fatores são:

- Quantidades das encomendas;
- Capacidade da atividade de produção;
- Balanceamento do trabalho para a produção;
- Capacidade da atividade de corte;
- Balanceamento do trabalho para o corte;
- Disponibilidade de matéria-prima;
- Prazos de entrega das encomendas (incluindo antecipações, atrasos e prioridades).

O plano de produção tem como objetivo estabelecer as quantidades necessárias para produção semanal de um projeto, estando estas quantidades divididas pelos dias da semana e pelas várias equipas de produção do projeto, com o objetivo de garantir uma uniformização da carga de trabalho pela semana em questão, minimizando tempos de *setup* decorrentes da troca de variantes das diferentes ordens de fabrico a costurar. O setor de corte de Joane I tem assim como objetivo, cortar e preparar todas as ordens de fabrico presentes no plano de produção, de forma a garantir o abastecimento atempado da

produção, garantindo assim o cumprimento dos prazos de entrega das encomendas dos projetos ao cliente final. Na Figura 16 é apresentado o fluxo de materiais geral do setor do corte que os colaboradores realizam, identificado a verde o fluxo dos estendedores, a laranja o fluxo dos operadores de lectras, a preto o fluxo dos “tira-peças”, a vermelho o fluxo dos colaboradores da preparação e a roxo o fluxo das costureiras das operações auxiliares.



Figura 16 – Exemplo de fluxo de materiais realizado pelos colaboradores do setor

O fluxo das operações realizadas pelos distribuidores não está representado na Figura 16, uma vez que estes “pertencem” ao setor da costura. Apesar de trabalharem no setor do corte, os distribuidores são responsáveis pela receção dos kits de couro, transporte dos kits e das espumas para as operações auxiliares e *picking* das ordens de fabrico a fornecer à produção.

Na Figura 17 está apresentado o fluxograma do setor de corte de Joane I, desde a receção dos rolos de matéria-prima necessários para o corte dos tecidos até a colocação da ordem de fabrico preparada no monta-cargas pronta a abastecer a produção.

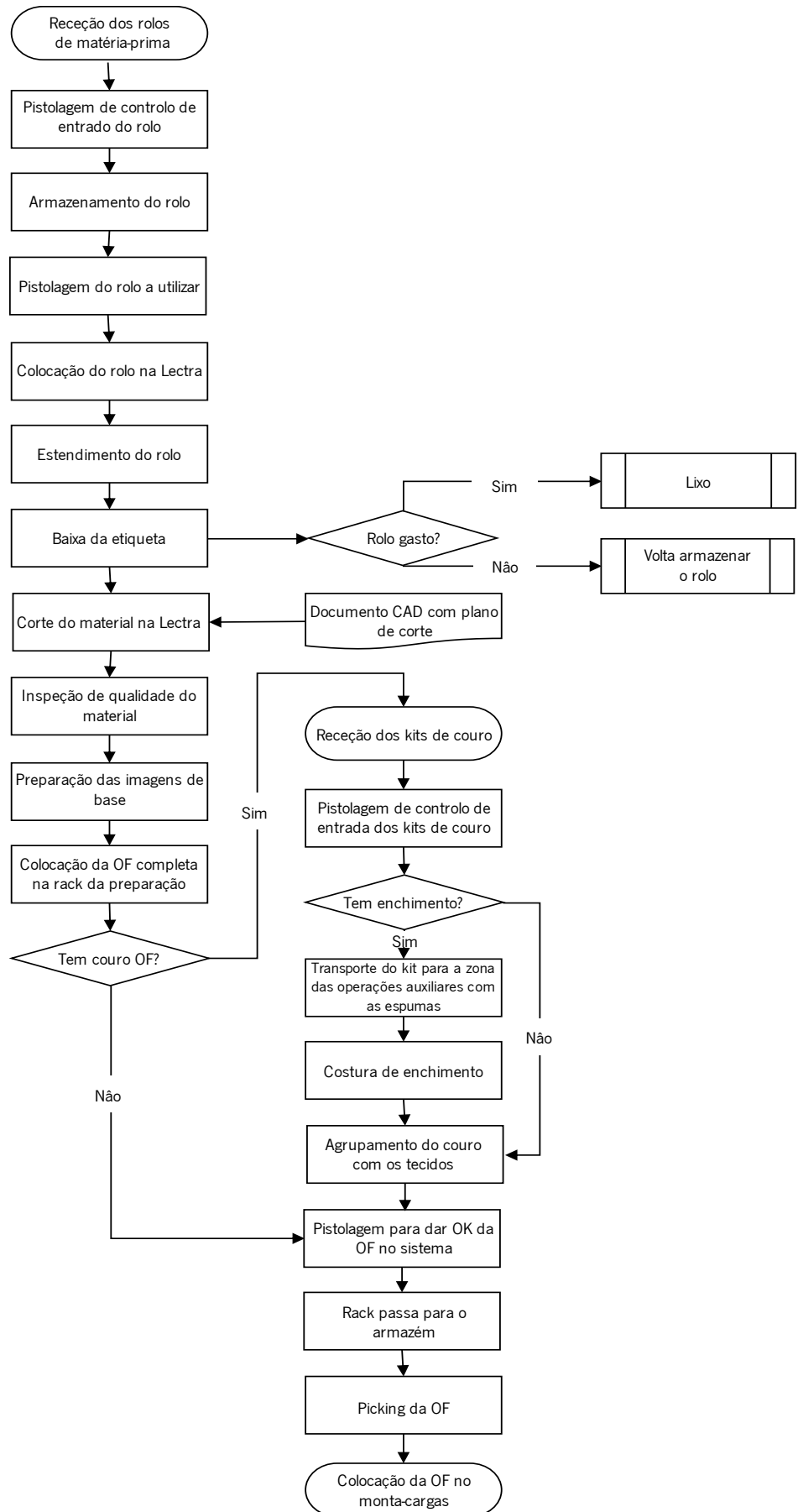


Figura 17 - Fluxograma do setor de corte de Joane I

Nas secções seguintes descrevem-se as principais funções e atividades dos colaboradores.

4.1.1.1 Estendedores

De acordo com as requisições de materiais necessárias para a realização do plano de produção, a atividade de corte de materiais irá receber as respetivas remessas de rolos do armazém. A receção dos rolos provenientes do armazém é feita pelos estendedores. Quando da receção dos rolos, os estendedores são responsáveis por realizar a leitura dos códigos de barras das etiquetas que acompanham os rolos, o que permite o lançamento em stock do material rececionado, na aplicação GestRem e são atualizadas as existências de matéria-prima no stock do depósito do setor (Figura 18).

| Visão geral de estoques: lista básica | | | | | | | |
|---|-----------------|-----------------|-----------|------------------|----------------|-----------|------------|
| Seleção | | | | | | | |
| Material 101C0000000094 CN VALCONA METROPOLGRAU Tp.material Z010 COINDU: Matéria-prima Unid.medida M2 Unid.medida básica M2 | | | | | | | |
| Visão geral de estoques | | | | | | | |
| Exibição detalhada | | | | | | | |
| Mandante / empresa / centro / depósito / lote / lote especial | De utiliz.livre | Utiliz.restrita | Reservado | Reserva entradas | Ctrl.qualidade | Bloqueado | Transfe... |
| ▼ Total | 337,400 | 8,060 | 61,818 | 7,920 | 285,740 | | |
| ▼ 1100 COINDU-COMP. IND. AUT. SA | 337,400 | 8,060 | 61,818 | 7,920 | 285,740 | | |
| ▼ 1102 Joane - Production Unit | 337,400 | 8,060 | 61,818 | 7,920 | 285,740 | | |
| ► 1100 Dep. Mat. Primas D0A/B | 289,200 | | | 7,920 | | | |
| ► 1119 Dep. MP Pele NOK | | | | | | | |
| ► 1120 Dep. Rejeitados | | | | | | | |
| ► 1200 Dep. Corte Couro | 48,200 | 8,060 | 61,818 | | | | |

Figura 18 - Exemplo de stock de matéria-prima em sistema

Os estendedores de rolos, têm como tarefa principal colocar os rolos na Lectras com o comprimento e o número de camadas requeridas para um determinado plano de corte. Esta tarefa requer cautela, de forma a minimizar desperdícios de matéria-prima, tais como: cumprir o comprimento das camadas de material rigorosamente, fazer o controlo e identificação de finais de rolos (camada incompleta derivada ao fim do rolo) e identificar e registar de defeitos da matéria-prima. Por fim, em GestRem é registado, para cada rolo estendido, o código e quantidade (comprimento) da matéria-prima estendida para corte, de forma a atualizar a quantidade em *stock* no depósito do setor.

4.1.1.2 Estendedor rallye

O estendedor rallye, realiza as mesmas tarefas que um estendedor “normal”, sendo a única diferença o facto de o corte do tecido rallye (tecido com padrão em riscas) ser feito manualmente, o rolo é estendido e preso sobre uma mesa adaptada para o corte dos rolos do tecido rallye (Figura 19). O estendedor tem assim como tarefa cortar as camadas de rallye com uma tesoura e tem de ter o cuidado especial de as

riscas do tecido do rolo estarem todas alinhadas nas diversas camadas do colchão (de forma, a garantir que as imagens base sejam todas iguais).

Após as camadas estarem todas cortadas e alinhadas, (10 camadas por rolo, o que corresponde a 10 carros) a mesa é transportada para junto da lectra e as camadas do tecido rallye são transferidas para a lectra para ser realizado o corte das imagens de base. Durante a transferência das camadas de tecido rallye para a máquina de corte automática, é necessário ter cuidado, de forma as camadas manterem-se todas alinhadas.



Figura 19 - Mesa rallye

4.1.1.3 Operadores Lectras

Os operadores das Lectras estão responsáveis por fazer o controlo do plano de corte, estando responsáveis pela operacionalidade da máquina de corte. Tem como função garantir o controlo da qualidade das imagens de base, para realizar este controlo de qualidade, aquando o corte das peças é feito o controlo da primeira e da última imagem de base de uma determinada posição, isto é, se um colchão tiver dez camadas, é feito o controlo da imagem de base da primeira e da décima camada.

Desta forma é garantido que as imagens de base da segunda à nona camada também se encontram dentro dos parâmetros estipulados. Este controlo é feito através da comparação da imagem de base com o molde dessa mesma peça representado em um desenho CAD. Este controlo é feito para as várias imagens de base cortadas no plano de corte desse colchão (Figura 20).

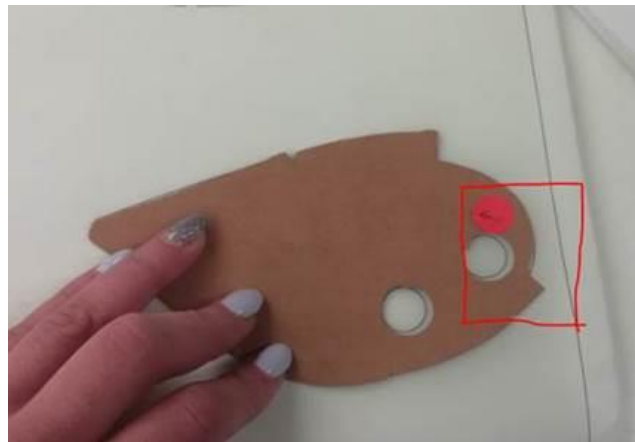


Figura 20 - Controlo das imagens de base

O operador da Lectra também tem de fazer o controlo do colchão, de forma a garantir que este se encontra alinhado, pois à medida que os colchões avançam na Lectra, vão ocorrendo pequenas deslocações, o operador é assim responsável por corrigir estas deslocações de forma a garantir o correto corte das imagens de base por parte da máquina.

4.1.1.4 Tira-peças

Os “tira-peças” são colaboradores que tem como função retirar as imagens de base da Lectra após o corte das mesmas e abastecer as mesas da preparação de forma a dar início ao processo de preparação das ordens de fabrico, bem como fazer a separação dos resíduos que resultam do processo de corte dos materiais da secção (papel, cartão e *scrap* de tecidos e outros materiais). Quando os recipientes existentes para a separação de resíduos estiverem cheios (Figura 21), é também da responsabilidade do “tira-peças” fazer o transporte dos resíduos para os contentores do lixo de cada tipo de resíduo.



Figura 21 - Recipientes de resíduos da Lectra

4.1.1.5 Preparação

Na preparação, o preparador tem como tarefa fazer o controlo de qualidade das imagens de base recebidas do “tira-peças” bem como a contagem, garantindo desta forma a qualidade e quantidade das peças cortadas. O preparador segue o plano de produção da semana, preparando as ordens de fabrico à medida que estas vão sendo cortadas, para isto, é necessário imprimir a folha que identifica a ordem de fabrico, e quando esta se encontra completa, o preparador faz a leitura do código de barras da ordem de fabrico, dando desta forma o “OK” em sistema, ficando assim a ordem de semiacabado (SA) pronta para entrar em produção.

Por fim, o preparador tem também como função fazer o transporte da paleta do armazém para junto da zona de preparação e quando está cheia com todas as ordens de fabrico preparadas, o transporte da mesma de volta para o armazém transferindo novamente uma paleta vazia para iniciar o processo novamente (Figura 22).

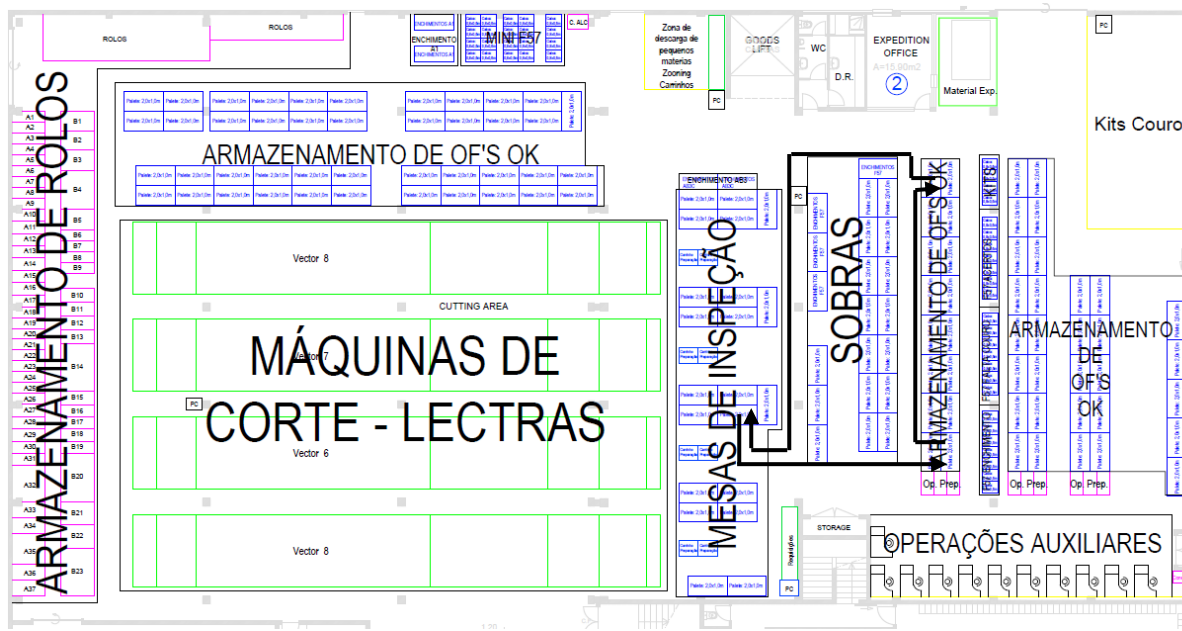


Figura 22 - Exemplo de um fluxo de transporte de racks

4.1.1.6 Preparação rallye

O preparador rallye realiza as mesmas operações que um preparador “normal”, sendo a única diferença que este só trabalha com kits de tecido rallye, de forma a garantir que as peças de rallye que se encontra a preparar fazem parte da mesma ordem de fabrico. Desta forma assegura que quando a ordem for transferida para a produção e se transformar em uma ordem de produto acabado (PA), após a costura, as riscas do tecido rallye vão ficar todas corretamente alinhadas, evitando desta forma problemas de qualidade e falhas de envio de peças desta referência.

4.1.1.7 Operações auxiliares

As operações auxiliares são operações de costura realizadas no setor de corte de forma a melhorar a produtividade do setor da produção. As costureiras presentes nas operações auxiliares são responsáveis pela costura de enchimento e de outras pequenas operações de costura como a costura de elásticos e guias de cinto.

Desta forma, o tempo de ciclo da costura no setor da produção é inferior ao tempo de ciclo previsto no simulador de costura, o que permite um ganho de produtividade, pois permite às costureiras da produção realizar um menor número de operações tornando-as mais especializadas nas operações que realizam. Tem também a vantagem de facilitar o balanceamento das operações de costura, visto que remove algumas operações à peça a costurar.

4.2 Seleção do modelo para o projeto-piloto e das caixas

Como objeto de estudo desta dissertação, a área em estudo foi o setor do corte de Joane I, sendo o projeto-piloto para a implementação do supermercado no setor do corte o projeto do Mini F57. A escolha deste modelo como projeto-piloto foi decidido pela empresa. Apesar do Mini F57 não ser um produto de alta rotação, como se pode verificar na Tabela 4, a decisão de escolher este modelo passou pelo facto deste ser o projeto mais recente na empresa e o primeiro projeto da BMW em Portugal, sendo por isso este um projeto mais importante para os futuros interesses da empresa, que passaram pela atribuição de mais projetos por parte da BMW.

Tabela 4 - Análise ABC Projetos Joane I

| Análise ABC S16-S39 | | | | | |
|---------------------|--------|-------|-----------|------------|--------|
| Modelo | QTD | QTD % | Ac. QTD % | Ac. Art. % | Classe |
| AB3 Couro | 262050 | 35,57 | 35,57 | 0,20 | A |
| AB3 Tecido | 186591 | 25,33 | 60,89 | 0,40 | B |
| F57 | 118041 | 16,02 | 76,91 | 0,60 | B |
| A1 | 88485 | 12,01 | 88,92 | 0,80 | C |
| B9 | 81597 | 11,08 | 100,00 | 1,00 | C |
| 736764 | | | | | |

De salientar também que os modelos do AB3 Couro e AB3 Tecido se encontravam quase em fim de produção (estava previsto acabarem no primeiro semestre de 2020) e que a quantidade de número de carros do Mini F57 estava prevista aumentar à medida que o projeto ganhava um nível de maturidade maior, sendo estes fatores importantes para a escolha deste modelo como o objeto de estudo.

Como já referido o projeto-piloto abordou o modelo do Mini F57. Na Tabela 5 apresentam-se as variantes e tipo de peças de cada modelo.

Tabela 5 - Estrutura dos Modelos de Joane I

| Projeto | Variante | Tipo Peças |
|----------|---|---|
| Mini F57 | <ul style="list-style-type: none"> • Chester • Leatherette • Cross Punch • Black Pearl • Yours • Fireworks • Lounge Pipping • Dinamic • Diamond • Double Strip • Cloth Dinamic | <ul style="list-style-type: none"> • AF • EF • AT • ET • STV |

| | | |
|------------|---|--|
| A1 | - | <ul style="list-style-type: none"> • AF • EF • AT • ET |
| B9 | <ul style="list-style-type: none"> • Basis Konzept • Sport System | <ul style="list-style-type: none"> • AF • EF • AT • ET |
| AB3 Couro | <ul style="list-style-type: none"> • Basis • Sport • Super Sport | <ul style="list-style-type: none"> • AF • EF • AT • ET |
| AB3 Tecido | <ul style="list-style-type: none"> • Basis IDX • Basis REG • Sport RAL | <ul style="list-style-type: none"> • AF • EF • AT • ET |

Esta tabela mostra que foi necessário analisar todas as variantes e o tipo de peças do modelo, pois ao contrário dos outros projetos de Joane I em que há semelhanças entre as variantes do modelo e o tipo de peças, no Mini F57 isto não se aplica, sendo assim necessário um estudo mais pormenorizado, enquanto que para os outros modelos não será necessário analisar todas as variantes ao pormenor, devido a serem semelhantes entre elas.

4.3 Análise crítica e identificação de problemas

Nesta secção são apresentados e analisados os problemas encontrados no setor de corte de Joane I, nomeadamente, problemas ergonómicos, ordens fabrico de quantidade elevada, grandes quantidades de cartão, desorganização do layout do corte, estruturas do setor de corte desadequadas e layout da costura desadequado.

4.3.1 Problemas ergonómicos no picking das ordens de fabrico e transportes

Em termos de ergonomia, foram identificados problemas no que diz respeito ao *picking* das ordens de fabrico e ao transporte das mesmas. Como se pode observar na Figura 23, é normal a existência de ordens de fabrico onde as imagens de base passam a altura máxima da rack, sendo a altura da rack de 1.90m, sendo por isso habitual a operação de *picking* destas imagens de base realizar-se a uma altura muito superior à recomendada, sendo a altura máxima recomendada a altura do ombro.



Figura 23 - Exemplo de OF para picking

A altura máxima recomendada para a realização do *picking* das imagens base pode assim ser definida através da aplicação da seguinte fórmula:

- $P_{(p)} = m + s * z_{(p)} + \text{fator de ajuste do calçado}$

onde m é a média, s é o desvio padrão e $z_{(p)}$ é a constante do percentil p considerado, dos dados antropométricos da população portuguesa - Anexo II – Dados Antropométricos da População Portuguesa - Tabela 25.

Define-se então a altura máxima recomendada só para homens (todos os distribuidores são homens), para um percentil de 5 e fator de ajuste do calçado de 25mm.

- $P_{(5)} = 1277 + 72 * 1,64 + 25 = 1420\text{mm}$

A altura máxima recomendada para as operações de *picking* fica assim estabelecida como 1,42m, não devendo esta ser excedida, havendo a necessidade de exceder esta altura, as operações de picking a realizar devem de ser só para objetos menores/mais leves e de baixa frequência e duração.

Devido ao projeto-piloto da implementação de um supermercado na zona da secção do corte do modelo Mini F57, a Coindu adquiriu algumas dezenas de caixas necessárias para o supermercado, como se pode ver na Figura 24.



Figura 24 - Armazenamento temporário Mini F57 caixas

Este tipo de armazenamento temporário acarretava dois problemas ergonómicos, primeiro tinha-se a existência do *picking* das caixas acima da altura dos ombros, sendo normal o empilhamento de 9 a 10 caixas (1,80-2,00m), estando a altura máxima recomendada para o *picking* definida para 1,42m.

O segundo problema dizia respeito à manipulação manual da carga a partir do nível do chão. De forma a validar se a manipulação manual da caixa era operação de risco, foi utilizada a equação de NIOSH, sendo considerado o peso da caixa de 16kg (peso máximo considerado pelo estudo). Os cálculos realizados estão no Apêndice I – Cálculos NIOSH.

Da aplicação da equação de NIOSH (Anexo III – Equação de NIOSH – Tabela 29) concluiu-se então que existia risco para alguns trabalhadores na manipulação das caixas (Tabela 6), pelo que foi necessário eliminar este fator de risco.

Tabela 6 – Resultado da equação de NIOSH para o armazenamento do Mini F57

| Valor IE | Nível de risco |
|----------|---------------------------------|
| 1,59 | Risco para alguns trabalhadores |

4.3.2 Ordens de fabrico com um elevado número de peças

Um dos problemas da secção de corte de Joane I eram as ordens de fabrico de quantidade elevada. No setor de corte de Joane I, existiam dois distribuidores por turno responsáveis pelo abastecimento da produção. Assim, quando a produção necessitava de uma ordem de fabrico, eram estes distribuidores que faziam o transporte da ordem de fabrico do armazém intermédio do corte para a produção. Para

realizar o transporte destas ordens, o distribuidor tinha de fazer o *picking* das imagens de base que compõem uma ordem de produção. Estas eram colocadas num carrinho, sendo este depois colocado no monta-cargas para fornecer a produção.

Devido à existência de ordens de fabrico de quantidade elevada, assinalada a vermelho na Figura 25, nos AT 100% do A3 onde existiam ordens de fabrico com quantidade 120, num tipo de peça com cerca de 40 imagens de base diferentes, isto representava um total de 4800 peças. Este número elevado de peças representava um problema para o distribuidor, pois necessitava de realizar múltiplos movimentos de *picking* para conseguir colocar a ordem de fabrico no carrinho. Este número de movimentos de picking representavam assim um maior tempo despendido a realizar esta operação.



Figura 25 - Exemplo ordem de fabrico elevada

Estas ordens de quantidade elevada representavam também um peso grande devido à quantidade de peças, sendo por isso normal que uma ordem de 120 peças pese mais de 100 Kg s. Isto representava uma dificuldade acrescida para realizar o *picking* da ordem, sendo habitual a necessidade de um distribuidor ajudar o outro quando era necessária uma ordem urgente para a produção. Como consequência havia tempos mortos onde os distribuidores estavam à espera um do outro. Em geral, estes tempos mortos foram cronometrados e rondavam entre dois a cinco minutos.

4.3.3 Espaço ocupado por grandes quantidades de caixas de cartão

As empresas OEM clientes da Coindu nomearam fornecedores externos de kits de couro necessários para o processo da costura da capa do assento do carro, como é o caso em alguns projetos da Audi (A1 e AB3 Couro) e mais recentemente da BMW com Mini F57 e F60. Isto obrigava a Coindu a utilizar estes kits de fornecedores externos, representados na Figura 26, no seu processo de costura, o que implicava a receção dos mesmos no armazém e, mais tarde, a transferência para o setor do corte para serem fornecidos à produção.



Figura 26 - Exemplo de kit couro

Desta forma, a Coindu recebia estes kits provenientes em caixas de cartão semanalmente para utilizar na produção, o que levava à existência de grandes quantidades de *scrap* de caixas de cartão vazias, sendo normal haver situações idênticas à da Figura 27.



Figura 27 - Scrap caixas de cartão

Este *scrap* tinha como consequência a falta de espaço no setor do corte e também no setor da produção. Tinha também como consequência a utilização de racks para armazenar *scrap* em vez de ordens de fabrico, o que causava constrangimentos no setor do corte, sendo, às vezes, necessário transferir racks para a produção de forma a ser possível armazenar estas caixas de cartão. Este acumular de caixas era também responsável pela desorganização do setor do corte, uma vez que obrigava a utilização das racks de armazenamento de ordens de fabrico para armazenar *scrap*, sendo estas racks movidas da sua posição do armazém para a produção ou para outra zona do setor do corte sem qualquer tipo de *zoning* definido enquanto aguardavam o transporte deste *scrap* para o lixo. Na Figura 28 é apresentado um exemplo do fluxo destas caixas de cartão.



Figura 28 - Exemplo de fluxo das caixas de cartão

4.3.4 Layout desatualizado e elevadas movimentações de material

Por fim, o problema principal do setor estava relacionado com as elevadas movimentações de material devido ao layout atual se encontrar desatualizado para as necessidades atuais do setor. De forma a analisar as distâncias percorridas pelos materiais no setor, recorreu-se à utilização de diagramas de circulação de forma a avaliar as distâncias percorridas dos cinco projetos apresentados, bem como o número de vezes que estas movimentações ocorriam.

4.3.4.1 Movimentações das peças do projeto A1

Na Figura 29 está representado o diagrama de circulação do projeto A1 sem enchimento, pois o projeto A1 é dependente do tipo de peça, neste caso nos assentos da frente e encostos da frente. Algumas das

imagens de base serem cortadas e depois transferidas de Joane II para Joane I, pois em Joane I não existia corte de couro.



Figura 29 – Fluxo das peças do projeto A1 sem enchimento

Na Tabela 7 estão representados os processos que as peças do A1 sem enchimento percorrem - DA1se - aplicando-se este fluxo também para os restantes projetos onde não existiam operações de enchimento, sendo a distância percorrida de 61,84 metros, ou seja, é a soma das distâncias do armazém de rolos à Lectra, da Lectra à preparação e por fim, da preparação ao armazém da ordem de fabrico.

Tabela 7 - Distâncias percorridas entre as secções das OFs sem enchimento do projeto A1

| | Lectra | Mesas da preparação | Armazenamento da OF |
|------------------------|--------|---------------------|---------------------|
| Armazenamento de rolos | 3,1 | | |
| Lectra | | 29,62 | |
| Mesas da preparação | | | 29,12 |

$$DA1se = 3,1 + 29,62 + 29,12 = 61,84m$$

Na Figura 30 está representado o fluxo do projeto A1 para as peças que levam enchimento.

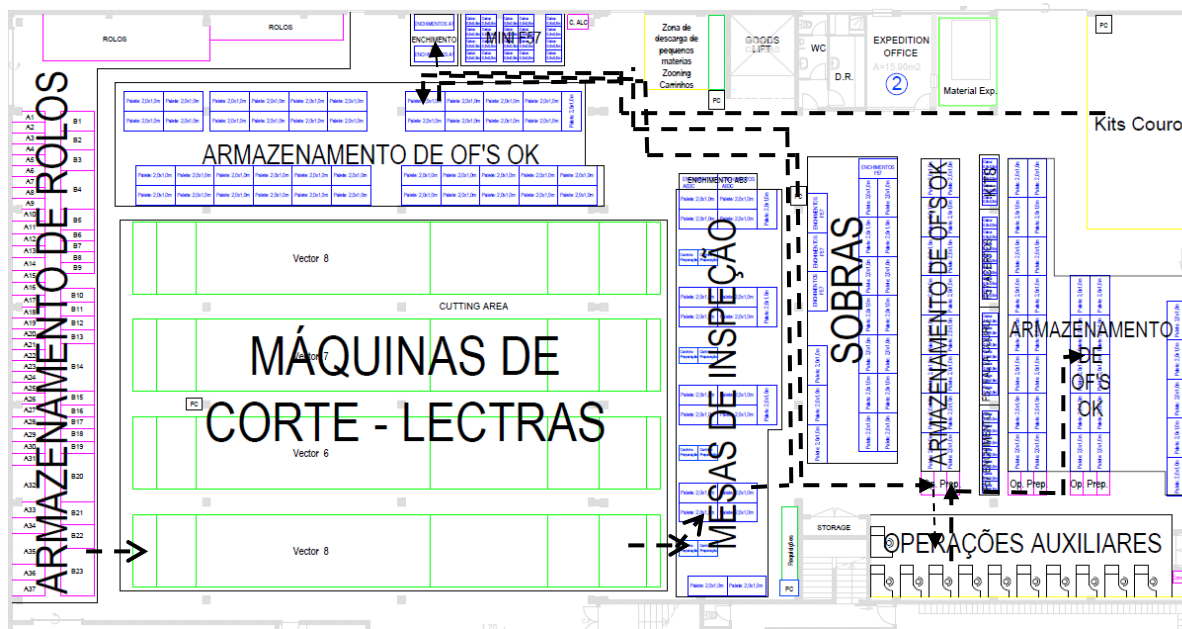


Figura 30 - Fluxo das peças do projeto A1 com enchimento

Na Tabela 8 encontra-se representado o fluxo das peças do Audi A1 onde eram efetuadas as operações de enchimento – DA1ce - sendo este fluxo igual para os restantes projetos onde se realizavam operações auxiliares de enchimento, sendo a distância destes processos a soma das distâncias do armazenamento de rolos à Lectra, da Lectra à preparação, da preparação ao armazenamento das espumas, da receção dos kits couro ao armazenamento das espumas, o transporte dos kits couro mais das espumas até às operações auxiliares e, por fim, o armazenamento de todos os materiais.

Tabela 8 - Distâncias percorridas entre as secções das OFs com enchimento do projeto A1

| | Lectra | Mesas da preparação | Armazenamento das espumas | Receção e junção das IBs de couro com as espumas | Operações auxiliares | Armazenamento da OF |
|--|--------|---------------------|---------------------------|--|----------------------|---------------------|
| Armazém de Rolos | 3,1 | | | | | |
| Lectra | | 29,62 | | | | |
| Mesas da preparação | | | 43,16 | | | |
| Armazenamento das espumas | | | | 39,7 | | |
| Receção e junção das IBs de couro com as espumas | | | | | 61,27 | |
| Operações auxiliares | | | | | | 44,01 |

$$DA1ce = 3,1 + 29,62 + 43,16 + 39,7 + 61,27 + 44,01 = 220,86 \text{ m}$$

É possível assim verificar que o material do projeto A1 percorria uma grande distância durante os vários processos de fabrico que tinha de completar até estar pronto para entrar em produção, percorrendo uma distância de 220,86 metros para as peças com enxerto e 61,84 metros para as peças sem enxerto.

4.3.4.2 Movimentações das peças do projeto B9

Na Figura 31 está representado o percurso das peças do projeto B9 – DB9se - sendo este igual ao fluxo descrito na Tabela 7, pois no B9 todas as peças do projeto são provenientes do corte interno que se realiza na secção de corte de Joane I.



Figura 31 - Fluxo das peças do projeto B9

Através do diagrama de circulação, obteve-se a seguinte distância que as peças do projeto B9 percorriam dentro do setor:

$$DB9se = 3,1 + 29,62 + 54,38 = 87,10$$

O projeto B9 percorria assim uma distância de 87,10 metros dentro do setor para completar os seus processos de fabrico.

4.3.4.3 Movimentações das peças do projeto AB3

O fluxo do projeto AB3 Tecido encontra-se representado na Figura 32, sendo este também um projeto sem operações de enchimento e sem receção de kits de fornecedores externos – DAB3Tse.



Figura 32 - Fluxo das peças do projeto AB3 Tecido

$$DAB3Tse = 3,1 + 29,62 + 45,74 = 78,46 \text{ m}$$

As ordens de fabrico percorriam assim uma distância de 78,46 metros dentro da secção de corte antes de ficarem prontas a ser fornecidas à produção.

O fluxo do projeto AB3 Couro encontra-se definido na Figura 33, neste projeto existiam imagens de base que eram cortadas no setor de corte de Joane II e kits com imagens de base provenientes de fornecedores externos, bem como a realização de algumas operações auxiliares em Joane II, sendo estas operações auxiliares finalizadas com a costura da espuma de enchimento em Joane I – DAB3Cce.



Figura 33 - Fluxo das peças do projeto AB3 Couro

$$DAB3Cce = 3,1 + 29,62 + 15,26 + 22,97 + 53,69 + 70,54 = 195,18 \text{ m}$$

Conclui-se assim que as ordens de fabrico do AB3 Couro percorriam uma distância de 195,18 metros dentro do setor de corte até estarem prontas para entrar em produção.

4.3.4.4 Movimentações das peças do projeto Mini F57

O fluxo do projeto do Mini F57 era semelhante ao projeto A1, existindo assim variantes onde eram recebidos kits de fornecedores externos e que realizavam corte interno em Joane II e operações auxiliares tanto em Joane II como em Joane I. Na Figura 34 está definido o fluxo para este tipo de variantes – DF57ce.

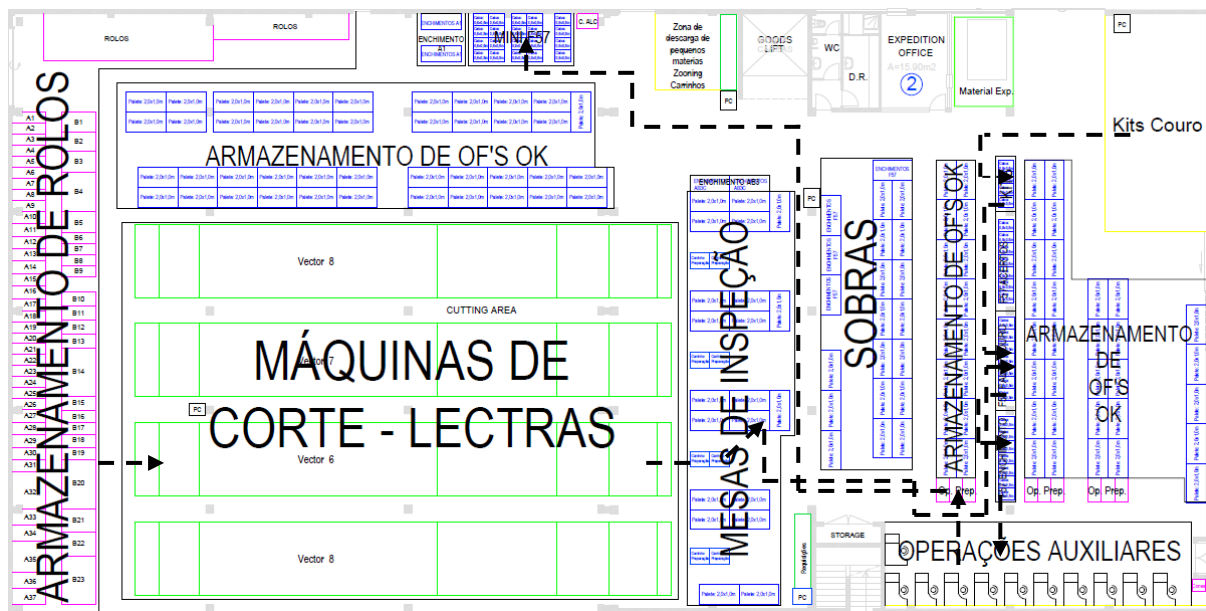


Figura 34 - Fluxo das peças do projeto Mini F57 com enchimento

$$DF57ce = 3,1 + 29,62 + 24,16 + 20,08 + 15,74 + 45,54 = 138,24m$$

Na Figura 35 está definido o fluxo para as variantes do projeto que só tinham corte interno de tecidos e outros materiais – DF57se.

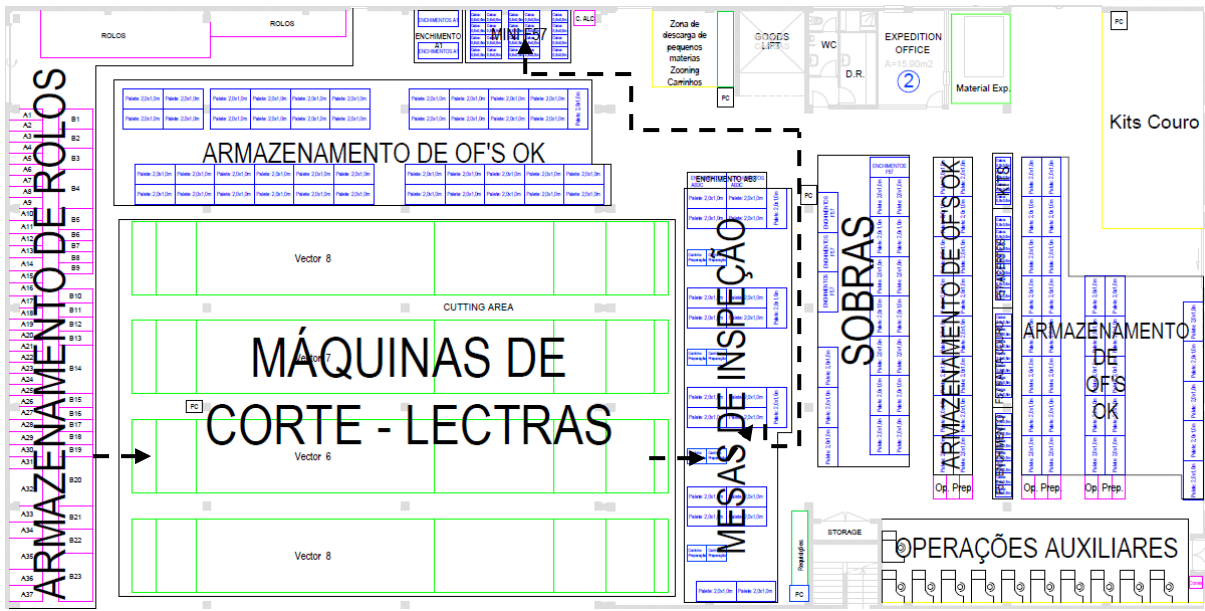


Figura 35 - Fluxo das peças do projeto Mini F57 sem enchimento

$$DF57se = 3,1 + 29,62 + 34,42 = 67,14m$$

4.3.4.5 Síntese das distâncias percorridas e movimentações

Foi assim possível concluir que no layout existente, as ordens de fabrico dos vários projetos percorriam uma grande distância dentro do setor de corte para concluir os vários processos de fabrico. Na Tabela 9 encontram-se as distâncias percorridas dos projetos em estudo e as respetivas movimentações por semana, tendo sido analisados os planos de produção semanal dos vários projetos para determinar o número de movimentações realizadas.

Tabela 9 - Distância percorrida, movimentações e custos projetos Joane I

| | Projetos | | | | | | | Total |
|--------------------------|---------------|---------------|---------|---------------|--------------|---------------------|---------------------|----------|
| | A1 c/ench. | A1 s/ench. | B9 | AB3 Tecido | AB3 Couro | Mini F57 c/ench. | Mini F57 s/ench. | |
| Distância (m) | 220,86 | 61,84 | 87,10 | 78,46 | 195,18 | 138,24 | 67,14 | 848,82 |
| Movimentações/ semana | 118 | 50 | 124 | 355 | 543 | 158 | 42 | 1390 |
| Distância anual (km) | 2710,39 | 321,57 | 1123,24 | 2896,74 | 11022,20 | 2271,56 | 293,27 | 20638,98 |
| Custo anual (€) | 7272,21 | 862,79 | 3013,75 | 7772,20 | 29573,47 | 6094,77 | 786,86 | 55376,05 |

Através do número de movimentações e da distância percorrida por cada projeto foi assim possível calcular a distância percorrida de cada projeto por semana, sendo este valor multiplicado por dois, visto que o colaborador realizava sempre o percurso com o material a transportar e o percurso inverso sem qualquer tipo de transporte. Após o cálculo da distância semanal, este valor foi multiplicado por 52 de forma a obter a distância anual atualmente percorrida no setor de corte de Joane I. De forma a calcular o valor atualmente despendido pela Coindu nestas operações de transporte manual, foi considerado que cada operador custava em média 850,00€/mês e que trabalhava em média 22 dias mensalmente, considerando também que percorria 1m a cada 2 segundos visto tratar-se de um transporte manual, o

custo por metro foi assim de 0,003€. Multiplicando o custo por metro pela soma das distâncias, foi assim possível concluir que a Coindu despendia com custos de transporte de materiais no setor de corte de Joane I 55376,00€/ano.

4.3.5 Desorganização da secção de corte

No que dizia respeito à organização da secção de corte, os principais problemas identificados foram a procura manual das ordens de produção, a falta de identificações de zonas para as racks/ordens de fabrico de determinado projeto, o que aumentava a dificuldade da procura das ordens para abastecer a produção bem como as elevadas deslocações de operadores/racks no setor.

Em conversa com os distribuidores e também durante a realização do estudo da capacidade para as caixas do supermercado de corte, foi possível perceber a dificuldade de encontrar determinadas ordens de produção no meio de centenas de ordens armazenadas. Em geral, era normal a ocorrência de os distribuidores passarem, por exemplo, entre uma a duas horas à procura de uma determinada ordem e, por vezes, só sendo a ordem encontrada no turno/dia seguinte. Este problema representava assim um desperdício de tempo na procura de material e um aumento desnecessário do número de deslocações a realizar, o que implicava percorrer o setor várias vezes até se encontrar a ordem de fabrico em falta. Com a agravante de este problema poder ocorrer entre duas a cinco vezes por semana. Isto consequentemente pode pôr em risco a paragem da produção e o envio do produto final para o cliente devido à incapacidade de encontrar o material necessário a abastecer à costura.

Este problema era amplificado devido à falta de identificações de zonas para as racks/ordens de fabrico de determinado projeto como se pode verificar na Figura 36. As ordens dos vários projetos encontravam-se espalhadas pelo setor de corte, à exceção do Mini F57 que se encontrava já armazenado em caixas, estando identificado a azul as ordens armazenadas do projeto AB3 couro, a vermelho do projeto AB3 tecido, a laranja as ordens do A1, a verde as ordens do B9, roxo o Mini F57, a preto as espumas de enchimento e a amarelo imagens de base que sobraram do processo de corte.

AB3 COURO A1
 AB3 TECIDO B9 SOBRAS
 F57 ENCHIMENTOS

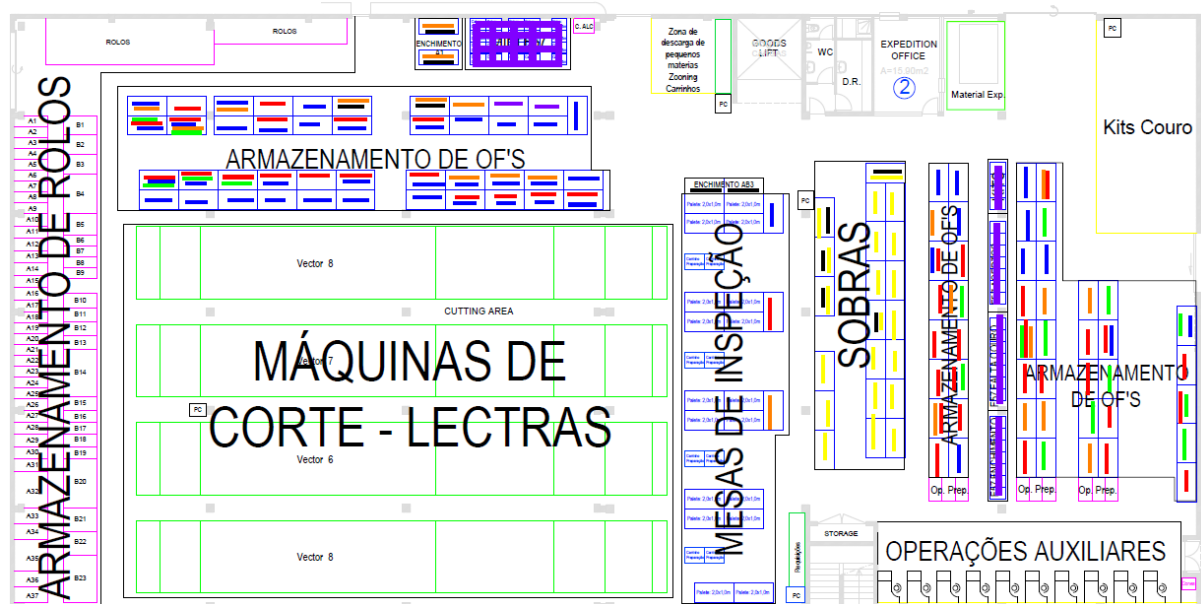


Figura 36 - Armazenamento desorganizado das ordens de fabrico

Esta situação aumentava a dificuldade da procura das ordens para abastecer a produção, sendo este problema o principal responsável pela desorganização do setor, destacando-se também em termos de desorganização a área das espumas de enchimento do projeto A1 com as caixas espalhadas pelo chão como se pode verificar na Figura 37.



Figura 37 - Área das espumas de enchimento A1

Por fim, em termos de desorganização do setor de corte é importante também referir que as racks no setor não estavam fixas, sendo por isso normal a ocorrência de movimentações de racks da preparação para a zona de armazenamento de ordens de fabrico e vice-versa, principalmente no início do turno,

onde eram colocadas racks vazias na preparação e as folhas de acompanhamento das ordens de fabrico a preparar durante o turno.

A necessidade de colocar racks vazias na preparação, implicava a necessidade de transferir ordens de fabrico para as racks ao lado de forma a ter uma rack vazia para fornecer à preparação, havendo assim um desperdício de tempo em movimentos/transporte de material que não acrescentavam valor ao produto final, bem como deslocações de colaboradores da zona de preparação para a zona de armazenamento de ordens de fabrico.

Estas operações de preparação das racks no início de turno demoravam, em média, 20 minutos, representando assim um custo anual de 10045€/ano. Na Tabela 10 encontram-se os cálculos realizados para a obtenção deste valor, foram consideradas 52 semanas por ano, 5 dias por semana e 3 turnos de trabalho cada um com 8 colaboradores na preparação das ordens de fabrico.

Tabela 10 - Custo anual da preparação das racks

| 850 €/Mês por colaborador 22 dias úteis/mês | €/hora Turnos 8h | €/20 min | Custo anual para 8 colaboradores 3 turnos trabalho |
|--|---------------------|--------------|---|
| 38,64 €/dia | 4,83 €/h | 1,61 €/20min | 10 045,45 € |

4.3.6 Estruturas desadequadas

As racks utilizadas no setor (Figura 38) eram maioritariamente de 2 metros de comprimento e 1 metro de largura com 1,90 metros de altura, pelo que também existiam algumas racks de 1,25 metros de comprimento com 0,80 metros de largura e 1,80 metros de altura.

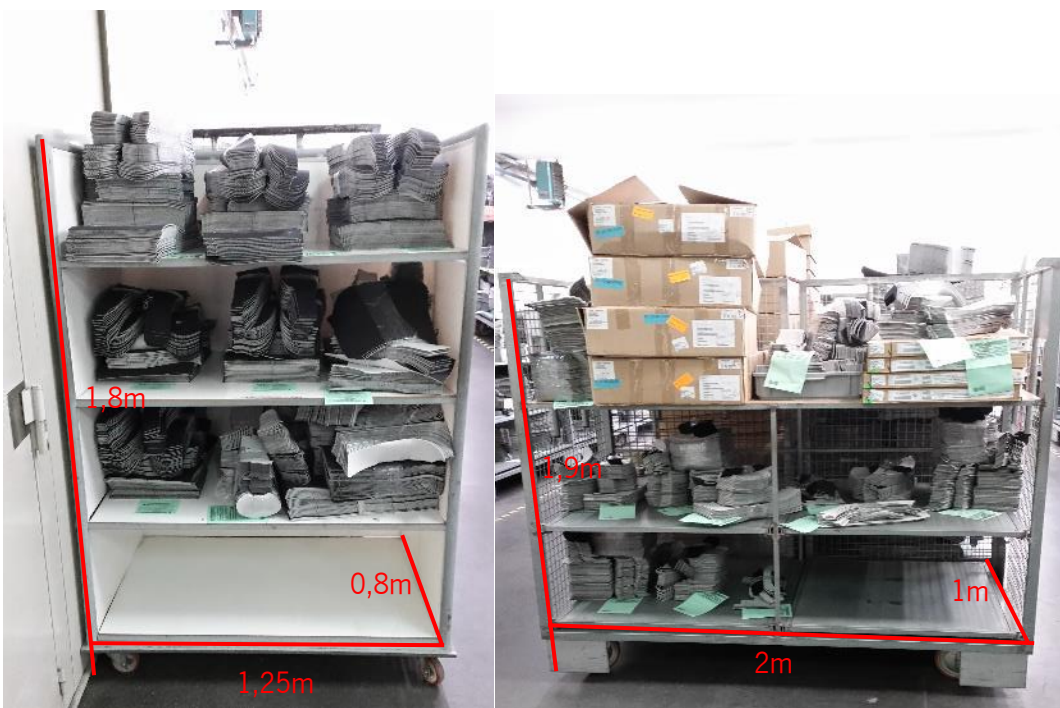


Figura 38 - Racks da secção de corte

Para além dos problemas ergonómicos presentes nas estruturas do setor abordados na secção 4.3.1, as racks que existiam não se encontravam preparadas para o armazenamento das caixas a utilizar no novo conceito de supermercado, pelo que seria necessário dimensionar novas racks de forma a ter um maior aproveitamento do espaço disponível a utilizar.

Também os carrinhos que existiam no setor (Figura 39) não se encontravam adequados para o transporte das caixas, mas sim para o transporte das caixas de cartão dos kits fornecidos pelos fornecedores externos.



Figura 39 - Carrinhos de transporte

4.3.7 Layout costura desadequado

Durante este projeto de dissertação, a empresa introduziu um novo conceito produtivo no processo de costura da empresa, o conceito *Coindu Production System* (CPS), onde a costura passou a ser realizada em pé, seguindo o conceito de *one-piece flow* com abastecimento ao posto (*frontal feeding*), passando as ordens de fabrico a serem transportadas em pequenos lotes dentro das caixas de supermercado utilizadas para realizar o estudo apresentado nesta dissertação.

Com a introdução desta nova forma de trabalhar na costura, foi então necessário projetar um novo layout para o setor da costura da unidade de Joane I, de forma a permitir que a costura passasse a realizar-se de pé, ao contrário do que acontecia, onde a costura era realizada sentada. Na Figura 40 encontra-se o layout atual do setor da costura de Joane I a alterar para este novo conceito.



Figura 40 – Layout atual da costura Joane I

4.4 Síntese dos problemas Identificados

Na Tabela 11 estão sintetizados os diferentes problemas identificados no capítulo 4, bem como as suas consequências e desperdícios associados.

Tabela 11 - Síntese dos problemas identificados

| Problema | Consequência | Desperdício |
|--------------------------------------|--|---|
| Problemas ergonómicos | Lesões e acidentes de trabalho; Absentismo; perda de capacidade | <i>Overburden</i> |
| Ordens fabrico de quantidade elevada | WIP elevado; Dificuldade para os distribuidores realizarem as operações de <i>picking</i> ; | Esperas, transporte, movimentações e stocks |
| Grandes quantidades de cartão | Ocupação de espaço; Transporte de scrap; | Stock de scrap, movimentações e transportes |
| Layout desorganizado | Fluxos de materiais inefficientes; Elevado transporte/movimentações de colaboradores/materiais/estruturas; Falta de definição de áreas próprias para os vários projetos; Procura manual das ordens de fabrico; Ocupação de espaço; perda de capacidade | Movimentações, transportes, esperas |

| | | |
|----------------------------|---|--|
| Estruturas desadequadas | Incompatibilidade com o conceito de supermercado a introduzir no setor; Utilização ineficiente do espaço | Sobrecarga (<i>overburden</i>), deslocações? |
| Layout costura desadequado | Incompatibilidade com o conceito CPS a introduzir no setor; Utilização ineficiente do espaço; perda de capacidade | Movimentações, transportes |

5 APRESENTAÇÃO E IMPLEMENTAÇÃO DAS PROPOSTAS DE MELHORIA

No presente capítulo são apresentadas as propostas desenvolvidas para a resolução dos problemas identificados no capítulo anterior. Estas propostas estão apresentadas na Tabela 12, tendo sido utilizada a ferramenta 5W2H para os apresentar e são discutidas nas seções seguintes.

Tabela 12 - Plano de ações para as propostas de melhoria

| What? | Why? | How? | Who? | Where? | When? | How much? |
|-------------------------------|---|--|---------------|---------------------------|-----------------------|-----------|
| Projeto do supermercado | Elevado WIP, elevados lead times, falta de controlo dos níveis de stock. | Estudo da capacidade das caixas supermercado, através da pesagem das OFs | Pedro Pereira | Secção de corte Joane I | Dezembro/Janeiro 2019 | 25553€ |
| Criação de novas estruturas | Estruturas desadequadas para o novo conceito de supermercado e não ergonómicas | Definição de novas estruturas com base em cálculos ergonómicos | Pedro Pereira | Secção de corte Joane I | Fevereiro 2019 | - |
| Novo layout secção de corte | Layout atualmente existente pouco otimizado, elevadas distâncias percorridas. | Através de simulação em "Draftsight" e avaliação método CRAFT | Pedro Pereira | Secção de corte Joane I | Março/Abril 2019 | 37000€ |
| Novo layout secção da costura | Necessidade de um novo layout para a introdução de um novo conceito de produção na costura. | Através de simulação em "Draftsight" e avaliação método CRAFT | Pedro Pereira | Secção de costura Joane I | Maio/ Junho 2019 | - |

5.1 Projeto do supermercado

Como já referido anteriormente na secção 4.2, um dos objetivos desta dissertação passou pela criação de um supermercado na secção de corte de Joane I de produto semiacabado pronto a abastecer à costura. Foi proposto pela empresa que este supermercado incluisse as referências dos *high-runners* e *mid-runners* para dois dias de stock e considerando uma possível variação na procura do cliente de 15%, de forma a determinar se a secção de corte de Joane I teria espaço suficiente para o armazenamento das caixas destas referências.

Para esta criação foi necessário proceder à determinação do número de caixas e à criação de novas estruturas para o supermercado, etapas descritas nas secções seguintes.

5.1.1 Determinação do número de caixas

Para determinar o número de caixas necessárias, foram realizados testes no chão de fábrica para as várias referências das variantes e diferentes tipos de peça dos projetos de Joane I. No Apêndice II – Estudo do número de caixas necessárias, encontram-se os resultados obtidos após a realização dos testes realizados para todos os projetos.

Como caixa para o estudo do supermercado, foi selecionada uma caixa com as dimensões 800x600x200mm, tendo sido a caixa pré-selecionada pela empresa para a realização do estudo. A caixa em questão, Figura 41, tem um peso de 4,2kg pelo que como restrições para o estudo do número de caixas necessárias para o supermercado o peso da caixa não deve superar os 16kg..



Figura 41 - Caixa estudo supermercado

De acordo com o Decreto-Lei nº330/93 de 25 de Setembro artigo 5º uma carga é demasiado pesada quando é superior a 30kg para operações ocasionais e 20kg para operações frequentes. Assim, os 16kg garantem uma segura manipulação manual da carga. Visto tratar-se de caixas empilháveis, as imagens de base não podem ultrapassar a altura da caixa, também foi feita a divisão entre caixas com imagens de base de couro e caixas com imagens de base de tecido e outros materiais, pois o setor de corte de Joane I não possui corte de couro. Neste caso, as imagens de base de couro eram transferidas já dentro da caixa de Joane II para Joane I. O mesmo se aplicava aos kits de couro, isto é, imagens de base que eram provenientes de fornecedor externo e que já vinham preparadas, sendo estes kits transferidos do armazém para o setor de corte de Joane I na caixa do supermercado em vez de virem em caixas de cartão.

Com os dados apresentados no Apêndice II – Estudo do número de caixas necessárias, foi possível determinar o número de caixas necessárias para a criação do supermercado. A Tabela 13 apresenta esse número de caixas para cada projeto e tipo de peça.

Tabela 13 - Número de caixas necessárias projetos Joane / c/exceção do Mini F57

| | A1 | B9 | AB3 Tecido | AB3 Couro |
|-------------------------|-----------|-----------|-------------------|------------------|
| Caixas Couro AF | 46 | 0 | 7 | 131 |
| Caixas Tecido AF | 46 | 38 | 75 | 131 |
| Caixas Couro AT | 0 | 0 | 0 | 84 |
| Caixas Tecido AT | 45 | 36 | 85 | 84 |
| Caixas Couro EF | 95 | 0 | 0 | 154 |
| Caixas Tecido EF | 95 | 38 | 102 | 154 |
| Caixas Couro ET | 0 | 0 | 0 | 73 |
| Caixas Tecido ET | 46 | 37 | 112 | 73 |
| Total | 373 | 149 | 381 | 884 |

Por fim na Tabela 14 estão os resultados obtidos para o projeto Mini F57, ao contrário dos outros projetos em que a análise foi feita para os diferentes tipos de peça, no Mini F57 a análise foi realizada para as diferentes variantes.

Tabela 14 - Número de caixas necessárias supermercado Mini F57

| Chester | | Leatherette | | Cross Punch | | Black Pearl | | Yours | | Fireworks | |
|--|-----------------|----------------|-----------------|----------------|-----------------|--------------------|-----------------|----------------|-----------------|----------------|-----------------|
| Caixa Couro | Caixa Tecido | Caixa Couro | Caixa Tecido | Caixa Couro | Caixa Tecido | Caixa Couro | Caixa Tecido | Caixa Couro | Caixa Tecido | Caixa Couro | Caixa Tecido |
| 73 | 73 | 0 | 112 | 44 | 44 | 0 | 81 | 37 | 37 | 0 | 35 |
| 146 | | 112 | | 88 | | 81 | | 74 | | 35 | |
| 154 caixas couro | | | | | | 382 caixas tecidos | | | | | |
| 536 caixas necessárias supermercado Mini F57 | | | | | | | | | | | |

Em suma serão necessárias 2323 caixas para a criação do supermercado de produto semi-acabado na secção de corte, destas 2323 caixas, 744 serão para imagens de base de couro e 1579 para imagens de base de tecidos, a Tabela 15 apresenta a síntese dos resultados obtidos.

Tabela 15 - Número de caixas necessárias supermercado produto semi-acabado

| A1 | | B9 | | AB3 Tecido | | AB3 Couro | | Mini F57 | |
|--|-------------------|-----------------|-------------------|-----------------|---------------------|-----------------|------------------|-----------------|-------------------|
| Caixas Couro | Caixas Tecidos | Caixas Couro | Caixas Tecidos | Caixas Couro | Caixas Tecidos | Caixas Couro | Caixa Tecidos | Caixas Couro | Caixas Tecidos |
| 141 | 232 | 0 | 149 | 7 | 374 | 442 | 442 | 154 | 382 |
| 744 caixas couro | | | | | 1579 caixas tecidos | | | | |
| 2323 caixas necessárias supermercado de produto semi-acabado | | | | | | | | | |

Através da passagem para este novo conceito de supermercado onde as ordens de fabrico poderiam ser armazenadas e transportadas dentro de caixas, passa a ser possível eliminar as ordens de fabrico de elevada quantidade e os problemas que elas originavam identificados na secção 4.3.2, pois o tamanho da ordem de fabrico ficaria limitado pela capacidade disponível de armazenar na caixa, respeitando as limitações impostas para este estudo (imagens de base não podem ultrapassar a altura máxima da caixa e a caixa não pode ultrapassar os 16kg).

Assim, seriam eliminados os problemas causados por estas ordens com quantidades elevadas. As operações de *picking* eram feitas em apenas um ou dois movimentos (caso as ordens de fabrico também tenham uma caixa com imagens de base de couro) eliminando assim a necessidade de realizar vários movimentos de *picking* para completar o *picking* completo de uma ordem de fabrico.

A necessidade de um distribuidor ter de esperar pelo outro para realizar o *picking* de ordens de fabrico muito pesadas também era eliminada, visto que as ordens de fabrico nunca passariam os 16kg definidos para o estudo da capacidade das caixas.

A passagem das ordens de fabrico para caixas também eliminaria o problema identificado na secção 4.3.3, pois os kits de fornecedores externos provenientes do armazém ou as imagens de base de couro da secção de corte de Joane II, deviam vir já preparadas dentro das caixas de supermercado, de forma a eliminar a grande acumulação de caixas de cartão atualmente existente na secção de corte e produção de Joane I.

O facto de os kits de fornecedores externos/imagens de base de couro virem já dentro das caixas a utilizar no supermercado, eliminaria a necessidade de haver uma operação que não acrescentaria valor ao produto final de transferência de kits de fornecedores externos/imagens de base de couro de caixas de cartão para as caixas de supermercado. Através da eliminação das caixas de cartão, seria ainda possível recuperar racks e espaço (16m^3) no setor de corte e na produção que estava a ser utilizado para armazenar este *scrap*, obtendo-se assim setores mais organizados.

5.1.2 Novas estruturas para a secção do corte

De forma a colmatar os problemas identificados na secção 4.3.6 e tendo em conta os problemas ergonómicos identificados na secção 4.3.1, foram projetadas novas estruturas para o setor de corte. Os cálculos efetuados para o projeto destas novas estruturas está apresentado no Apêndice III – Projeto das novas estruturas da secção de corte.

Na Figura 42 encontra-se a rack definida para o projeto do supermercado de produto semiacabado da secção de corte. Esta rack tem as seguintes dimensões 1.90x0.80x1.60m, sendo por isso uma rack ergonómica pois respeita a altura mínima/máxima de para realizar operações de manipulação de cargas, ao contrário das racks atualmente existentes apresentadas na secção 4.3.6. Esta rack teria capacidade para armazenar 18 caixas.

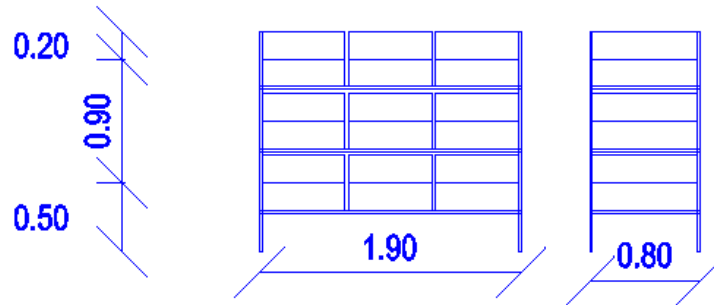


Figura 42 - Vista frontal e vista lateral da rack standard supermercado

À semelhança da rack anteriormente apresentada, a rack da Figura 43 foi dimensionada de forma a haver um melhor aproveitamento do espaço livre disponível para os casos em que não é possível a utilização da rack anterior, devido a restrições no comprimento/largura dos corredores. Assim com esta rack é possível uma utilização mais eficiente da área disponível para a criação do supermercado da secção de corte. Esta rack tem as dimensões 1.30x0.80x1.60m e capacidade para armazenar 12 caixas.

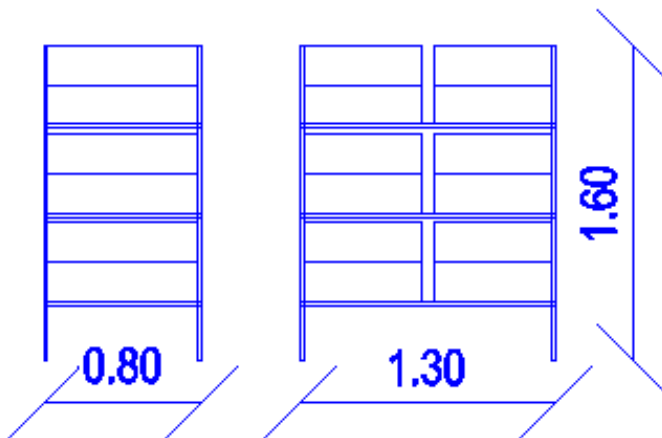


Figura 43 - Vista lateral e frontal da rack supermercado standard menor

Também foi definida uma nova rack para a área da preparação, pois era necessário começar a preparar as imagens de base das ordens de fabrico para as caixas de supermercado, o que não seria possível com as racks atualmente existentes na área da preparação (racks semelhantes às apresentadas na secção 4.3.6). Estas racks têm capacidade para 12 caixas e as seguintes dimensões 1.96x0.80x1.50m. Estas foram projetadas de forma a permitir que os colaboradores da zona da preparação não parem o seu trabalho durante o abastecimento de novas caixas vazias e durante o *picking* das caixas já preparadas por parte dos distribuidores. Na Figura 44 encontra-se a rack definida para a preparação.

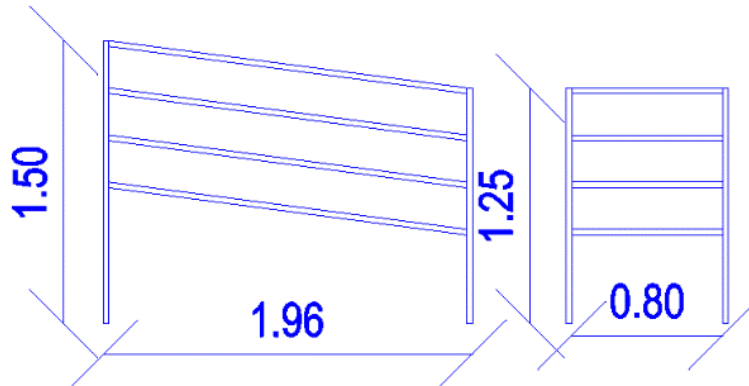


Figura 44 - Vista frontal e lateral da rack standard preparação

Devido à necessidade de transportar as caixas já preparadas para serem armazenadas e de caixas vazias para abastecer a preparação, foi dimensionado um carrinho para o transporte das caixas. Este carrinho tem capacidade para transportar 12 caixas e as seguintes dimensões 1.54x0.80x1.10m. Na Figura 45 - Vista lateral e vista de topo do carrinho Figura 45 pode ser visualizado o carrinho de transporte.

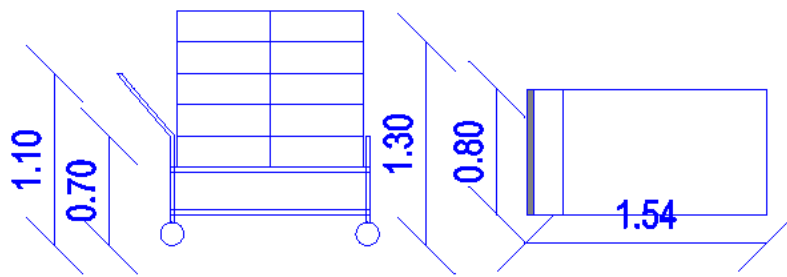


Figura 45 - Vista lateral e vista de topo do carrinho

5.2 Alteração do layout da secção do corte

A necessidade de um novo layout para o setor, devia-se à necessidade de se obter fluxos de trabalho mais eficientes, maior organização do espaço do setor e uma menor utilização da área disponível. Um novo layout é assim uma forma de melhorar internamente a empresa, melhorando os processos internos, de forma a obter um sistema produtivo mais flexível e mais eficiente, através da eliminação/redução de atividades que não acrescentavam valor ao produto final.

Com a definição do número de caixas necessárias para a criação do supermercado e com as novas estruturas da secção de corte definidas, estavam assim reunidas as condições necessárias para o projeto do novo layout da secção de corte de Joane I. Devido à necessidade de criar uma zona para armazenar as caixas vazias a abastecer à preparação e provenientes da produção após o fornecimento das ordens de fabrico, a área que estava a ser utilizada para armazenar temporariamente o projeto do Mini F57 foi convertida para o armazenamento de caixas vazias, sendo por isso necessário validar esta decisão através da aplicação da equação de NIOSH de forma a perceber se esta decisão apresenta algum risco

do ponto de vista ergonómico. No Apêndice I – Cálculos NIOSH encontram-se os cálculos realizados para a manipulação de caixas vazias utilizando a equação de NIOSH. Na Tabela 16 encontra-se o resultado obtido.

Tabela 16 - Resultado da equação de NIOSH para o armazenamento de caixas vazias

| Valor IE | Nível de risco |
|----------|-------------------|
| 0,42 | Ausência de risco |

Como o valor IE é inferior a 1, esta é uma solução viável do ponto de vista ergonómico, sendo por isso possível a conversão da área de armazenamento temporária do projeto Mini F57 para o armazenamento de caixas vazias.

Em termos de mudança de layout, devido a existirem restrições no que dizia respeito à mudança das máquinas de corte automático devido à dimensão das mesmas e devido às entradas existentes no setor para a receção de matéria-prima de rolos de tecido e armazenamento dos mesmos, foi então decidido não alterar o fluxo do setor de corte, uma vez que já se encontrava simplificado para o fluxo de materiais.

No entanto considerou-se que faltava, apenas do ponto de vista do fluxo de materiais, a definição de uma área para os vários enchimentos do setor de forma a simplificar o fluxo de materiais e ter em consideração quais os modelos com maior relevância para o setor, identificados na Tabela 4 da secção 4.2. Considerou-se que os modelos que recebiam kits de fornecedores externos e imagens de base de couro do setor de corte de Joane II deviam ficar o mais próximo possível da área de receção de kits couro e das operações auxiliares de enchimento devido ao elevado grau de relacionamento entre estes processos. A nova área a definir para os enchimentos também ficar o mais perto possível destes processos.

Assim, foram então simuladas três propostas de layouts com recurso ao software “*DraftSight*” (software disponível na empresa) de forma a analisar e decidir qual a melhor opção, sendo de seguida apresentadas as duas melhores opções com base no critério das distâncias a percorrer. No final desta secção apresenta-se uma síntese dos resultados destas duas propostas.

5.2.1 Proposta 1

Na Figura 46 é apresentada a primeira proposta para o novo layout do setor de corte. Este layout tinha capacidade para armazenar 2898 caixas, estando representado na Figura 46 o fluxo do projeto A1 sem operações de enchimento.

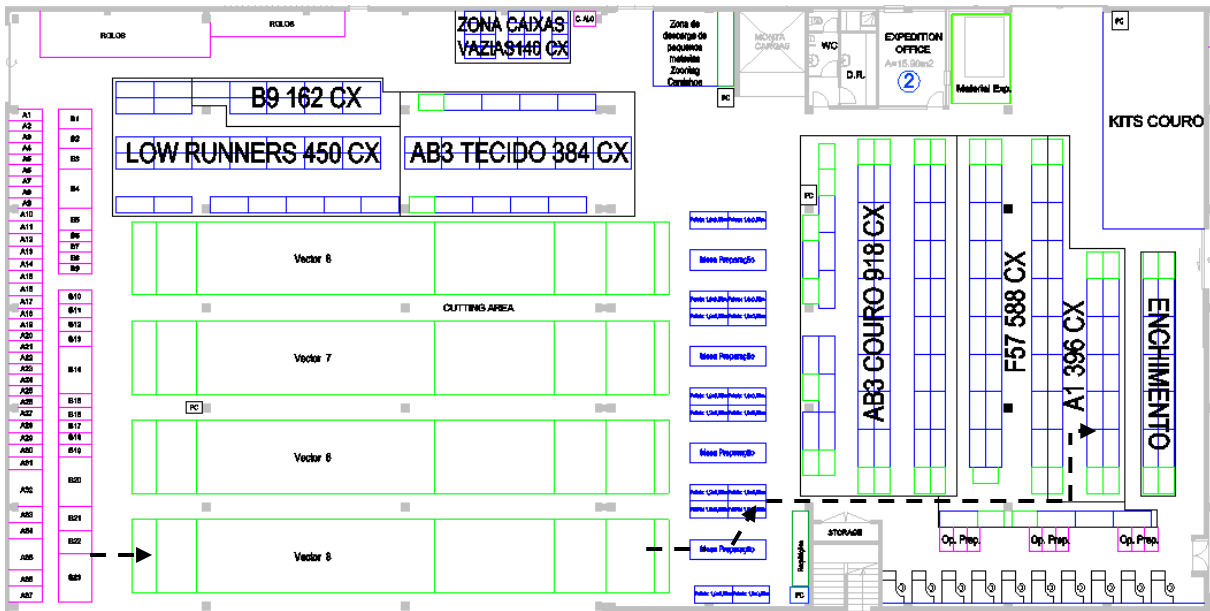


Figura 46 - Primeira proposta layout - fluxo projeto A1 s/enchimento

$$DA1se = 3,1 + 29,62 + 25,21 = 57,93m$$

As ordens de fabrico do projeto A1 que não levavam operações auxiliares de enchimento, percorriam assim uma distância de 57,93 metros dentro do setor de corte até estarem armazenadas no respetivo supermercado.

Na Figura 47 é apresentado o diagrama de circulação para as peças do projeto A1 que levavam enchimento.

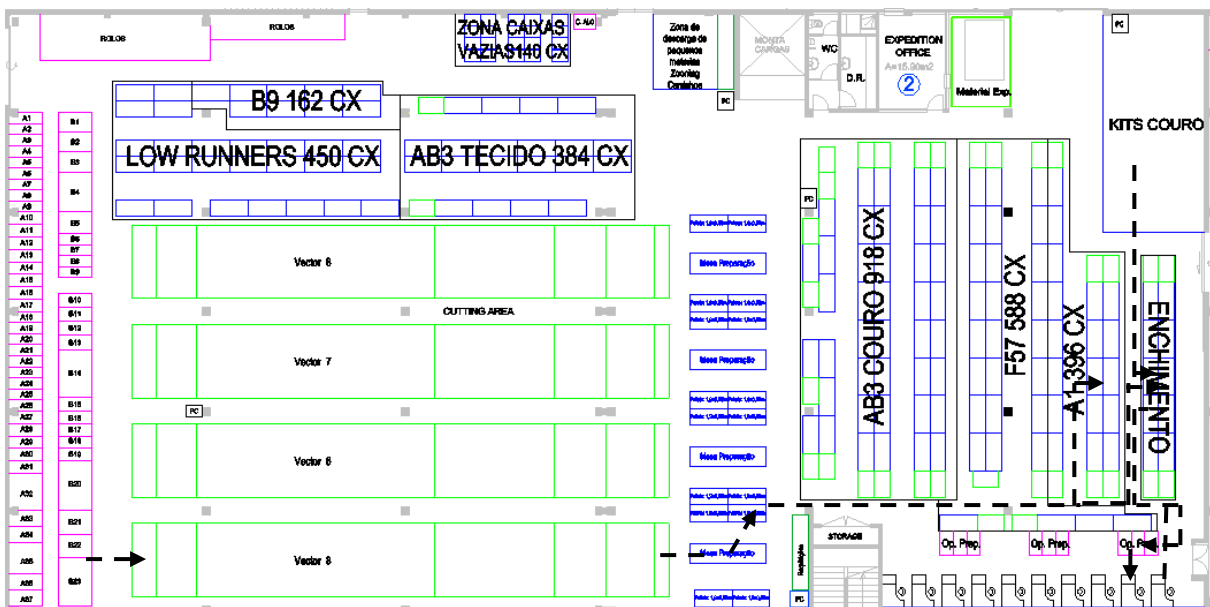


Figura 47 - Primeira proposta layout - fluxo projeto A1 c/enchimento

$$DA1ce = 3,1 + 29,62 + 27,66 + 13,39 + 18,02 + 48,81 = 140,60m$$

As ordens de fabrico com operações de enchimento do projeto A1 percorreriam uma distância de 140,60 metros até estarem prontas a serem fornecidas à produção.

Na Figura 48 é apresentado o fluxo do projeto B9 para a nova proposta de layout.

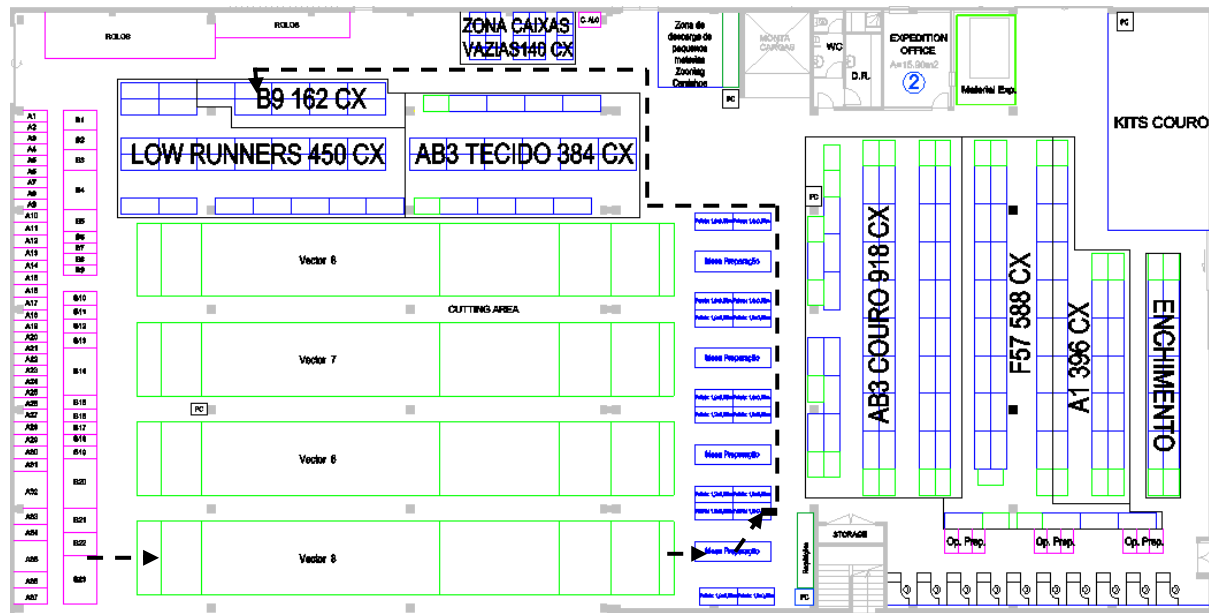


Figura 48 - Primeira proposta layout - fluxo projeto B9

$$DB9se = 3,1 + 29,62 + 45,64 = 78,36m$$

As peças do projeto B9 percorreriam uma distância de 78,36 metros dentro do setor antes de ficarem prontas a ser abastecidas à costura.

Na Figura 49 encontra-se definido o fluxo do projeto AB3 tecido.

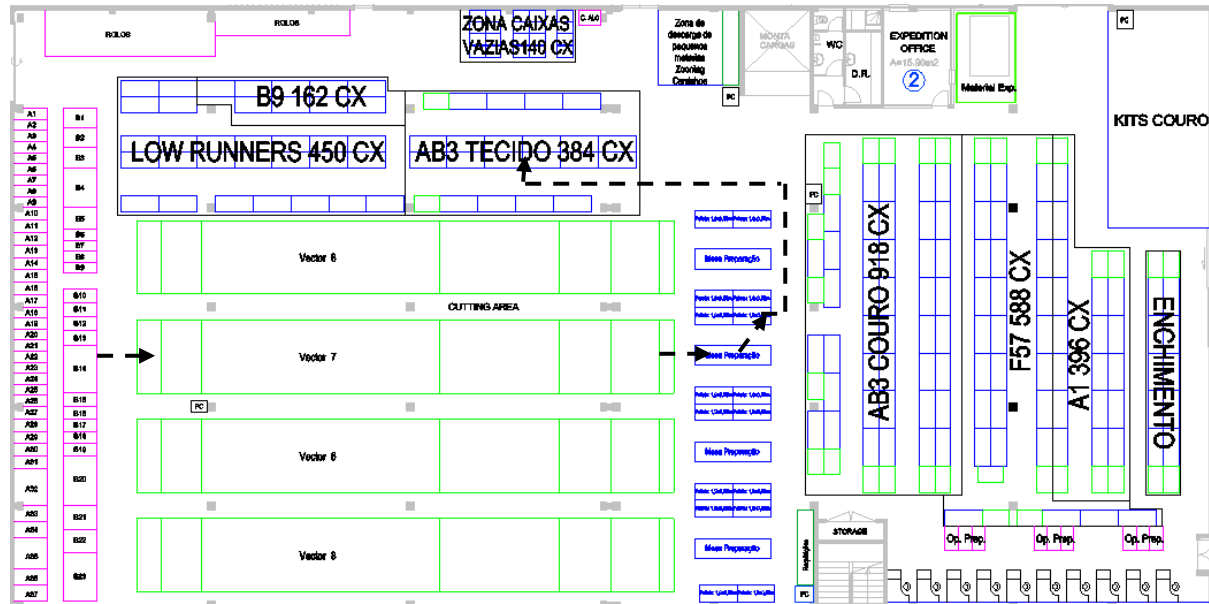


Figura 49 - Primeira proposta layout - fluxo projeto AB3 Tecido

$$DAB3Tse = 3,1 + 29,62 + 21,95 = 54,67m$$

Através do diagrama de circulação foi possível concluir que as peças deste projeto percorriam uma distância de 54,67 metros até estarem prontas.

O fluxo do projeto AB3 couro está apresentado na Figura 50.

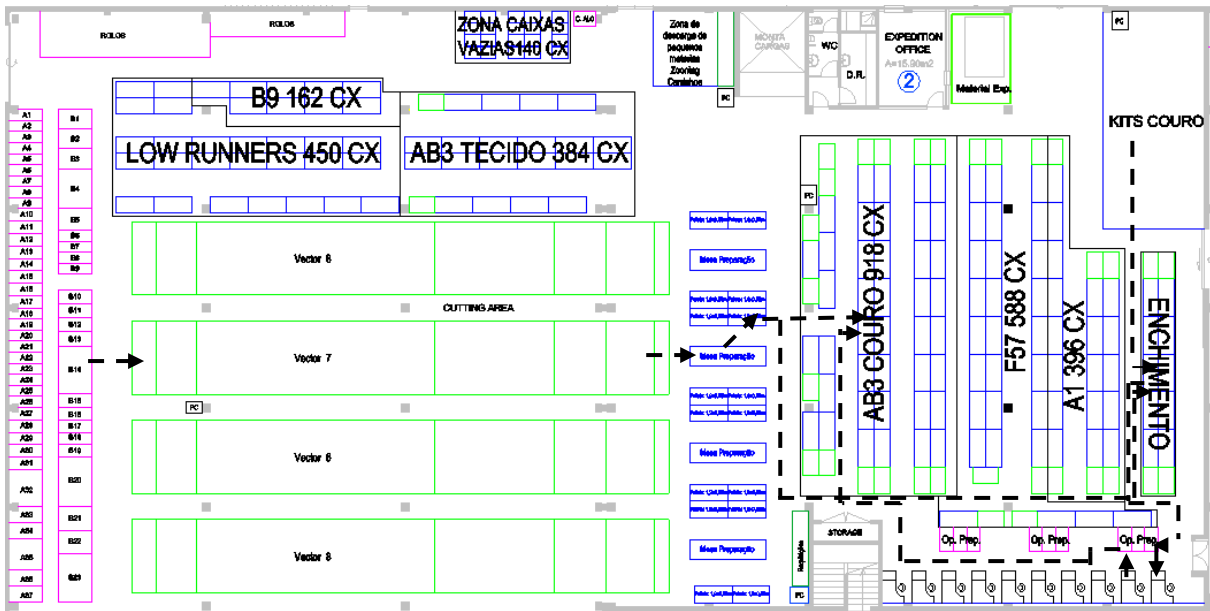


Figura 50 - Primeira proposta layout - fluxo projeto AB3 Couro

$$DAB3Cce = 3,1 + 29,62 + 33,51 + 11,91 + 18,25 + 25,7 = 122,09m$$

As peças do projeto AB3 Couro percorreriam uma distância de 122,09 metros até finalizarem os vários processos requeridos antes de serem abastecidas à produção.

Para o projeto Mini F57 encontra-se identificado o novo fluxo de materiais na Figura 51.

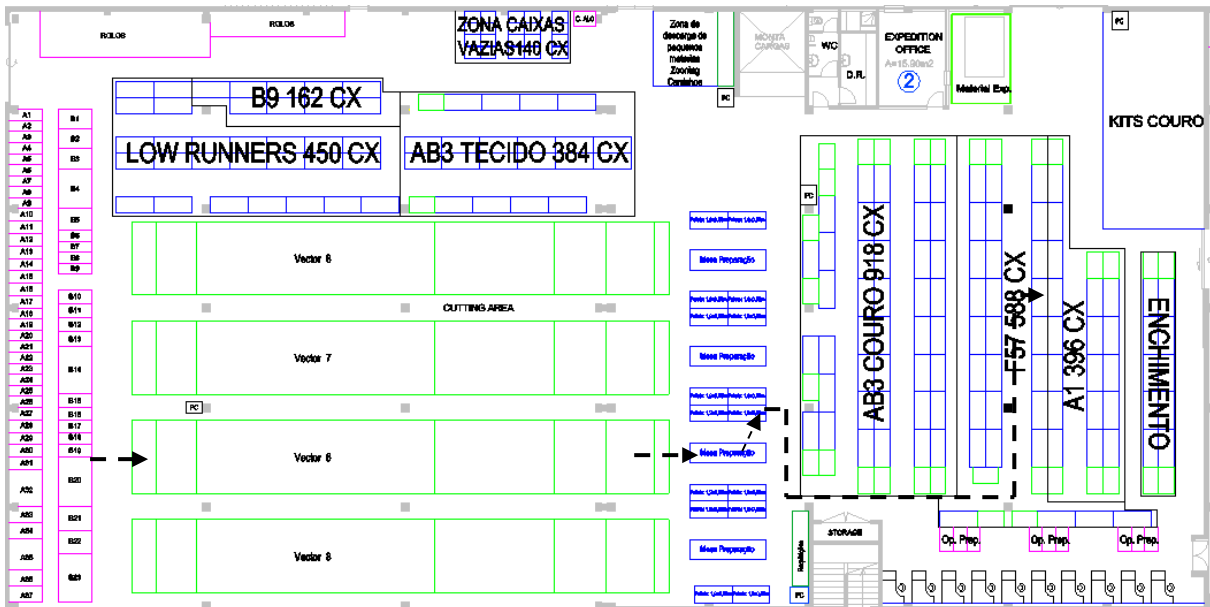


Figura 51 - Primeira proposta layout - fluxo projeto Mini F57 s/enchimento

$$DF57se = 3,1 + 29,62 + 25,67 = 58,39m$$

As peças do Mini F57 que não passavam no processo de enchimento percorreriam assim uma distância de 58,39 metros.

Na Figura 52 está definido o fluxo para as peças com enchimento.

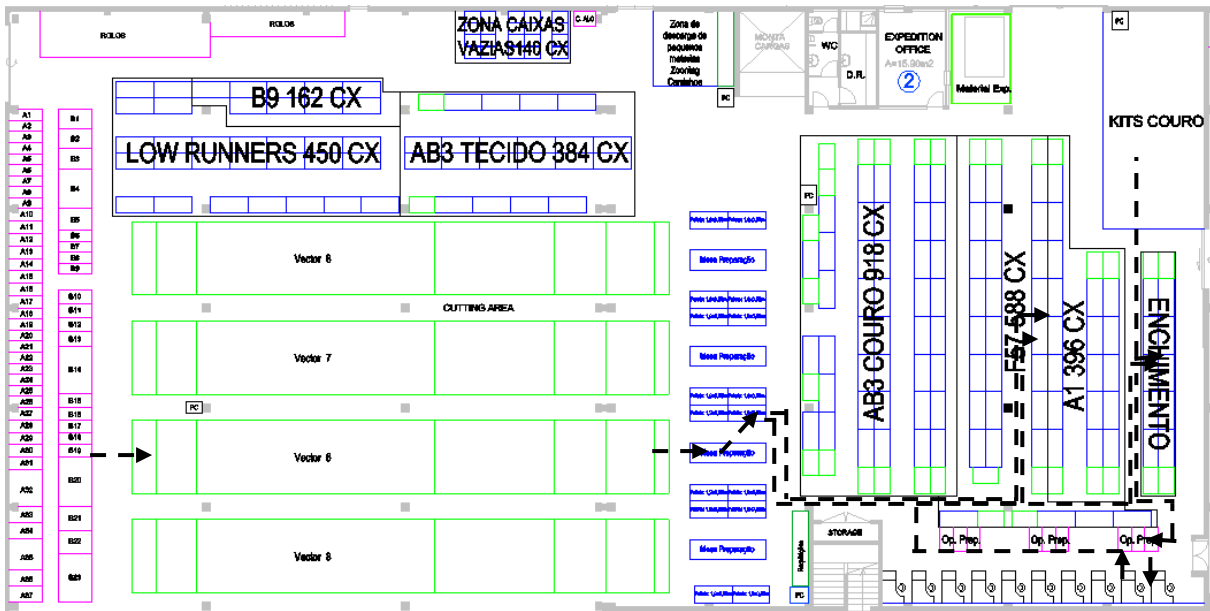


Figura 52 - Primeira proposta layout - fluxo projeto Mini F57 c/enchimento

$$DF57ce = 3,1 + 29,62 + 30,9 + 13,39 + 18,02 + 47,31 = 142,34m$$

As peças com enchimento percorreriam uma distância de 142,34 metros até estarem armazenadas no supermercado.

5.2.2 Proposta 2

Na Figura 53 é apresentado o fluxo do projeto A1 para a segunda proposta de layout, sendo este o fluxo das peças que não levam enchimento deste projeto, estando este layout projetado para armazenar 2970 caixas de produto semiacabado pronto a abastecer a produção.

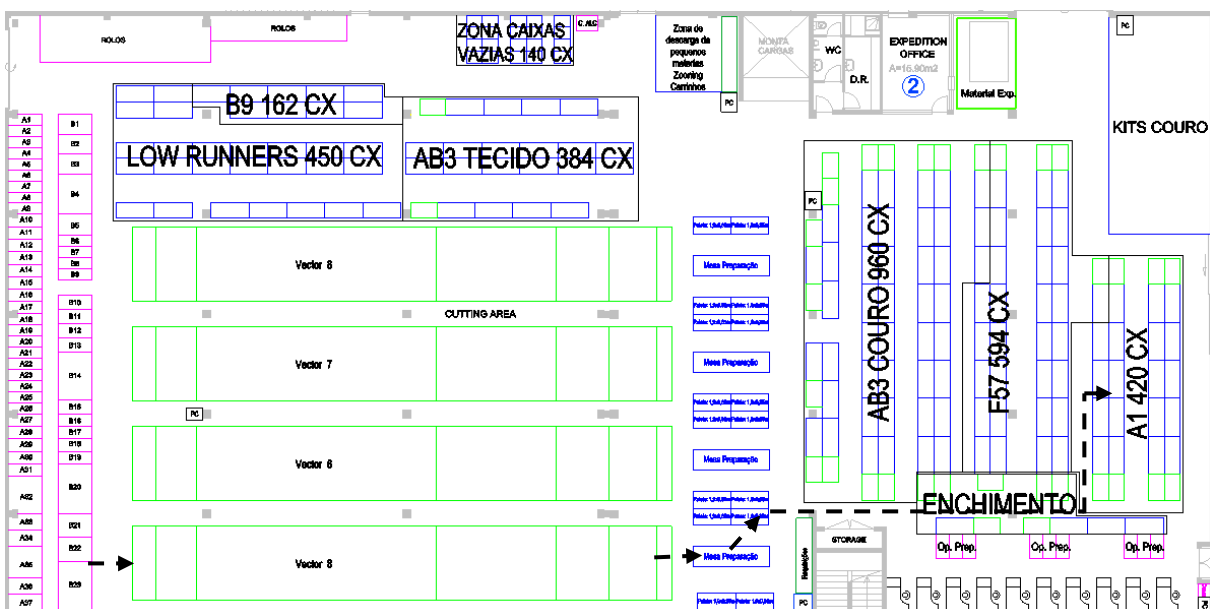


Figura 53 - Segunda proposta layout - fluxo projeto A1 s/enchimento

$$DA1se = 3,1 + 29,62 + 25,21 = 57,93m$$

A distância percorrida para a segunda proposta de layout para as peças sem enchimento do Audi A1 seria de 57,93 metros.

Para as peças do projeto A1 com enchimento o fluxo das peças está representado na Figura 54.

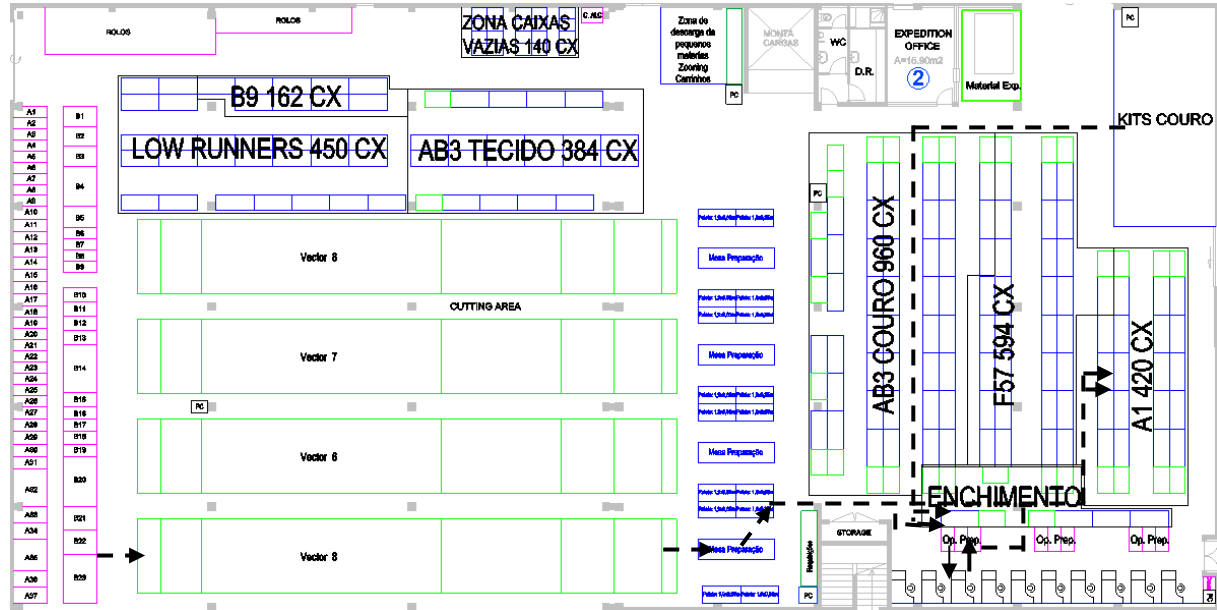


Figura 54 - Segunda proposta layout - fluxo projeto A1 c/enchimento

$$DA1ce = 3,1 + 29,62 + 15,89 + 22,70 + 14,45 + 41,18 = 126,94m$$

As peças com enchimento percorreriam uma distância de 126,94 metros até finalizarem os vários processos necessários.

Na Figura 55 está definido o fluxo do projeto B9 para a segunda alternativa proposta de layout da secção de corte.

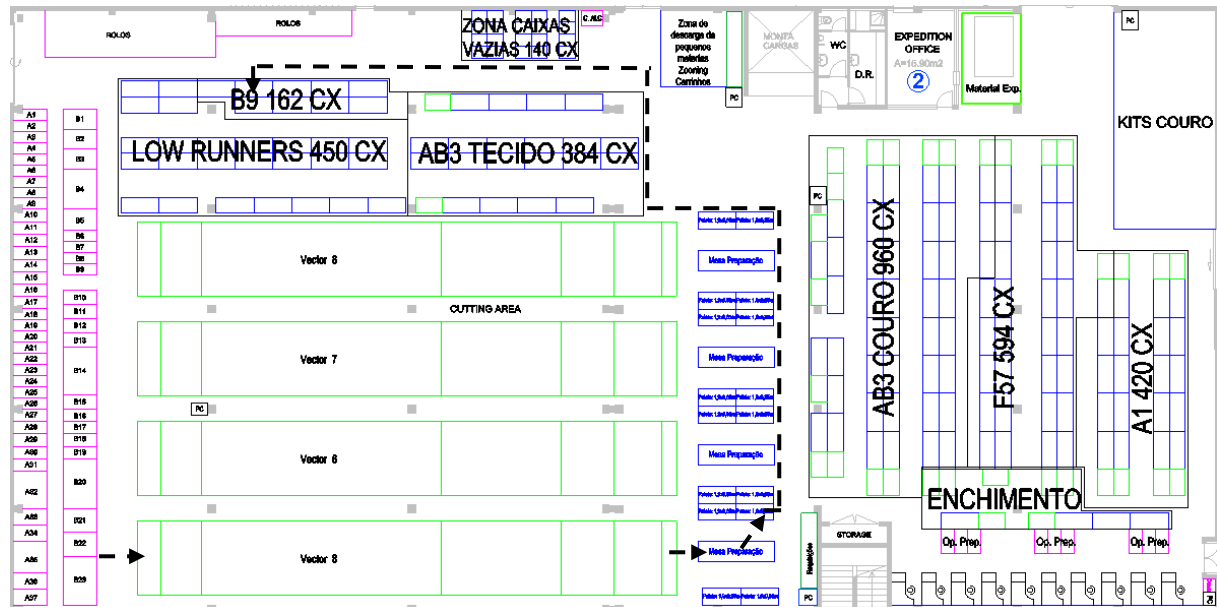


Figura 55 - Segunda proposta layout - fluxo projeto B9

$$DB9se = 3,1 + 29,62 + 45,64 = 78,36m$$

As peças do projeto percorreriam assim uma distância de 78,36 metros na secção de corte até concluir os processos requeridos.

Na Figura 56 está apresentado o fluxo do projeto AB3 tecido.

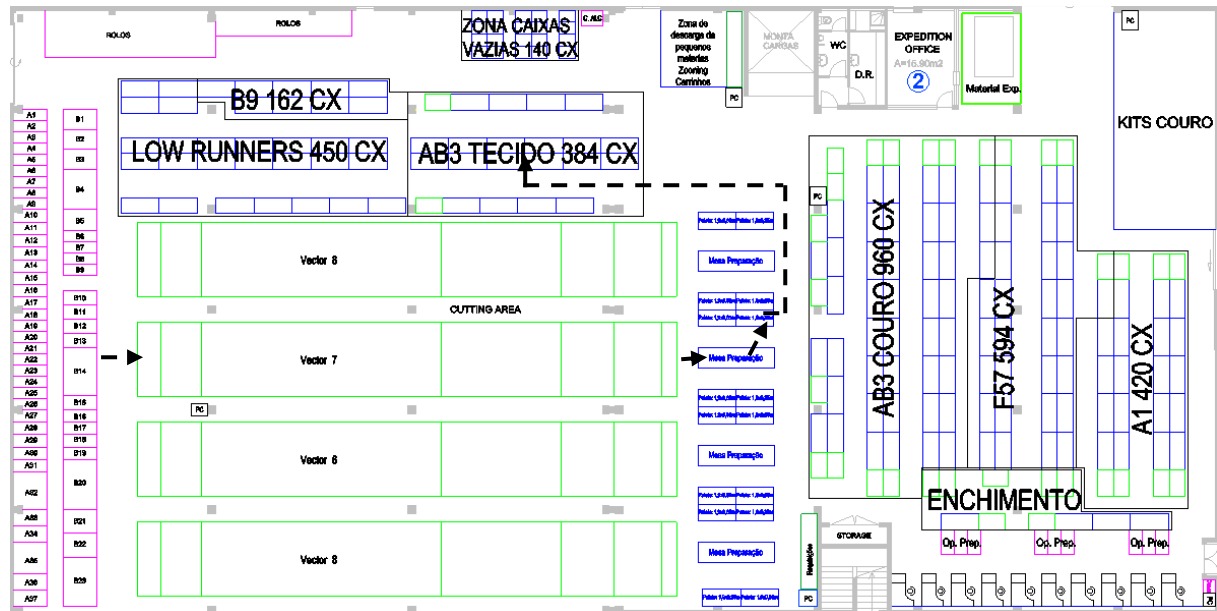


Figura 56 - Segunda proposta layout - fluxo projeto AB3 Tecido

$$DAB3Tse = 3,1 + 29,62 + 21,95 = 54,67m$$

As peças do projeto AB3 tecido percorreriam assim uma distância de 54,67 metros até estarem armazenadas no respetivo supermercado.

Na Figura 57 está representado o fluxo do projeto AB3 couro para a segunda proposta de layout.

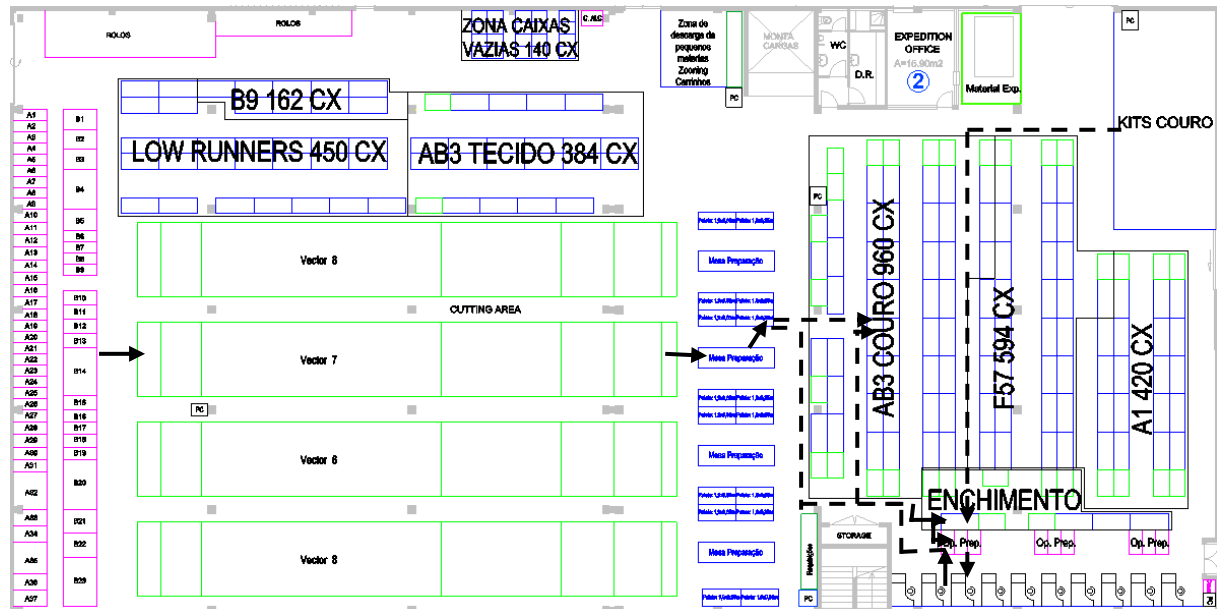


Figura 57 - Segunda proposta layout – fluxo projeto AB3 Couro

$$DAB3Cce = 3,1 + 29,62 + 18,97 + 28,55 + 12,12 + 25,81 = 118,17m$$

As peças do projeto AB3 couro percorreriam uma distância de 118,17 metros até finalizarem os vários processos necessários antes de serem fornecidas à costura.

Na Figura 58 está apresentado o fluxo do projeto Mini F57 sem enchimento para esta segunda proposta de layout.

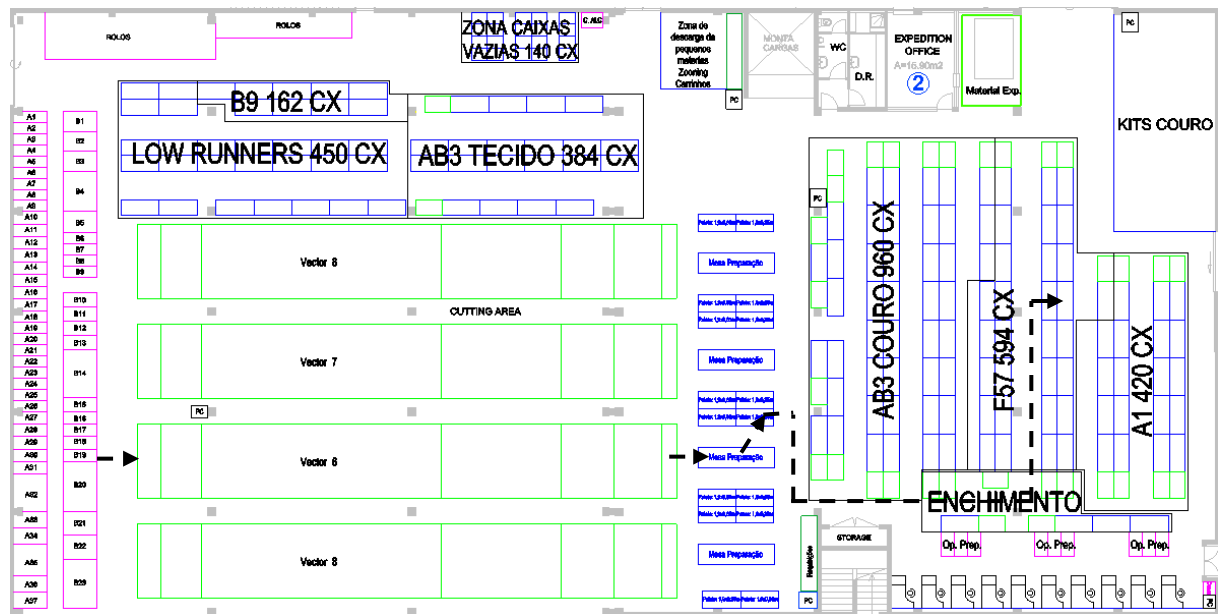


Figura 58 - Segunda proposta layout - fluxo projeto Mini F57 s/enchimento

$$DF57se = 3,1 + 29,62 + 25,67 = 58,39m$$

Através do diagrama de circulação foi possível determinar a distância percorrida pelas peças deste projeto, sendo esta de 58,39 metros.

O fluxo com enchimento do Mini F57 encontra-se apresentado na Figura 59.

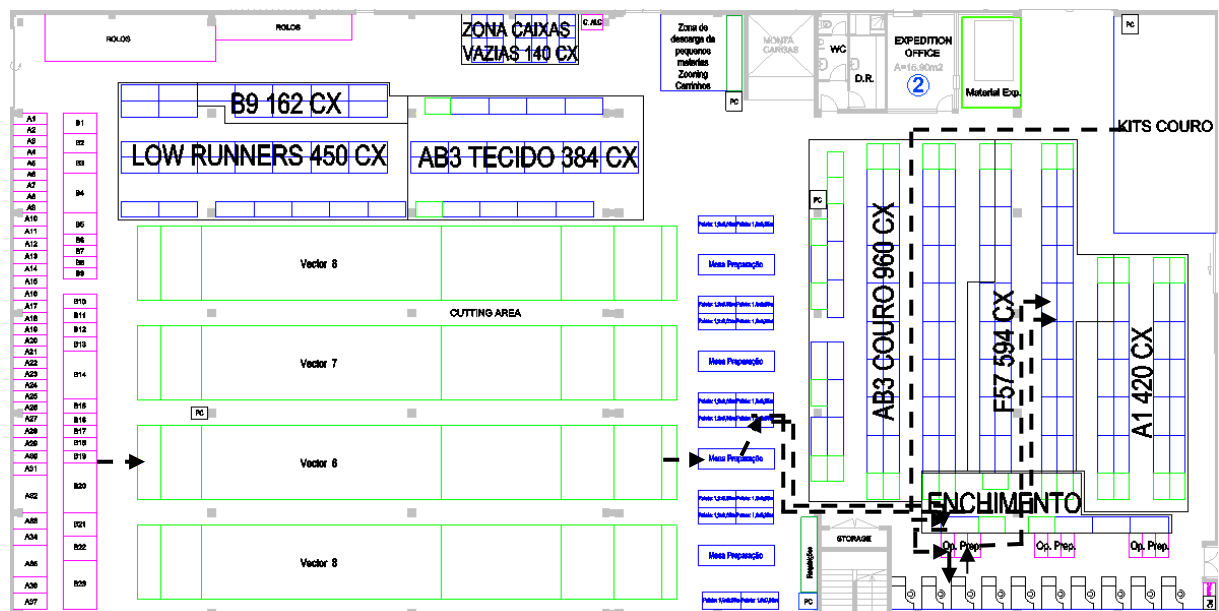


Figura 59 - Segunda proposta layout - fluxo projeto Mini F57 c/enchimento

$$DF57ce = 3,1 + 29,62 + 19,85 + 22,70 + 14,45 + 48,36 = 138,08 m$$

Era assim percorrida uma distância de 138,08 metros para as peças do Mini F57 que realizam operações de enchimento.

5.2.3 Síntese dos resultados das duas propostas

Na Tabela 17 estão apresentadas as distâncias percorridas pelos projetos de Joane I nas duas propostas de layout apresentadas.

Tabela 17 - Distâncias percorridas projetos Joane I novas propostas layout

| | Projetos | | | | | | | Capacidade caixas |
|-----------------------|-----------|----------|-----------|-----------|-----------|-----------|----------|-------------------|
| | DA1ce | DA1se | DB9se | DAB3Tse | DAB3Cce | DF57ce | DF57se | |
| 1ª proposta layout | 140,60m | 57,93m | 78,36m | 54,67m | 122,09m | 142,34m | 58,39m | 2898 |
| 2ª proposta layout | 126,94m | 57,93m | 78,36m | 54,67m | 118,17m | 138,08m | 58,39m | 2970 |
| Mov./semana | 118 | 50 | 124 | 355 | 543 | 158 | 42 | Total |
| Distância 1ª proposta | 1725,44km | 301,24km | 1010,53km | 2018,42km | 6894,67km | 2338,93km | 255,05km | 14544,28km |
| Distância 2ª proposta | 1557,81km | 301,24km | 1010,53km | 2018,41km | 6673,30km | 2268,93km | 255,04km | 14085,26km |

Concluiu-se que a segunda proposta de layout é superior à primeira, isto é, maior capacidade de armazenamento de caixas e menor distância a percorrer. De forma a comparar qual o ganho desta proposta em relação ao layout anterior, foi utilizado o mesmo número de movimentações semanais apresentados na Tabela 9 da secção 4.3.4.5 e calculada a distância total percorrida por cada projeto neste novo layout. Esta distância percorrida foi multiplicada pelo número de movimentações vezes dois, visto que o colaborador após o transporte manual do material realizava sempre o percurso inverso, sendo por fim este valor multiplicado por 52 de forma a obter a distância percorrida por ano. A distância foi calculada através do somatório das distâncias anuais de cada projeto, sendo este somatório de 14085,26 quilómetros.

5.3 Transferência do modelo Mini F57 para Joane II e proposta de layout para a secção de corte Joane I

Devido à passagem do processo de costura para o conceito CPS, uma das decisões da empresa foi a transferência do projeto Mini F57 para a unidade de Joane II, devido ao futuro aumento das encomendas do projeto e devido ao corte de couro se realizar no setor de corte de Joane II. Este setor também passou a realizar as operações auxiliares como, por exemplo, as costuras decorativas realizadas nas máquinas Portal ou KSL, por esta unidade ter uma maior capacidade produtiva do setor de preparação.

Desta forma, foi necessário realizar alterações no funcionamento de vários setores da empresa, que implicaram novos balanceamentos do trabalho dos setores de corte e costura das duas unidades.

Por causa desta transferência do projeto Mini F57, foi necessário a definição de um novo layout para o setor de corte de Joane I, tendo sido novamente utilizado o “*DraftSight*” para projetar o novo layout do setor. Na Figura 60 é apresentada a melhor proposta para o novo layout da secção de corte com o novo fluxo do projeto B9, estando as outras propostas estudadas como possíveis layouts da secção apresentadas no Apêndice IV – Alternativas de layouts para o setor de corte Joane I. As principais diferenças entre os três cenários analisados são o comprimento dos corredores, a localização das zonas de enchimento e *low runners*.

Esta proposta tinha capacidade para armazenar 2286 caixas, de realçar também que as operações auxiliares de enchimento estavam previstas passar para a produção neste novo conceito de sistema de produção.

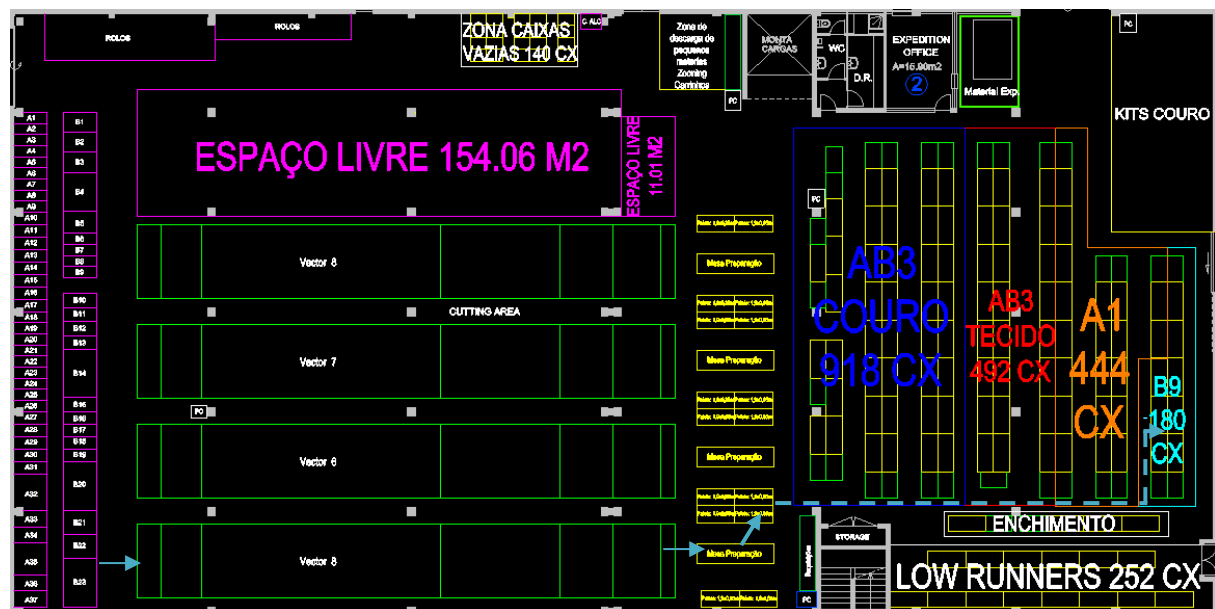


Figura 60 - Proposta futuro layout setor corte Joane I – fluxo projeto B9

$$DB9se = 3,1 + 29,62 + 24,66 = 57,38m$$

As peças do projeto B9 percorreriam assim uma distância de 57,38 metros até estarem armazenadas prontas a abastecer a produção neste futuro layout.

A proposta para as peças do projeto A1 sem operações de enchimento está apresentada na Figura 61.

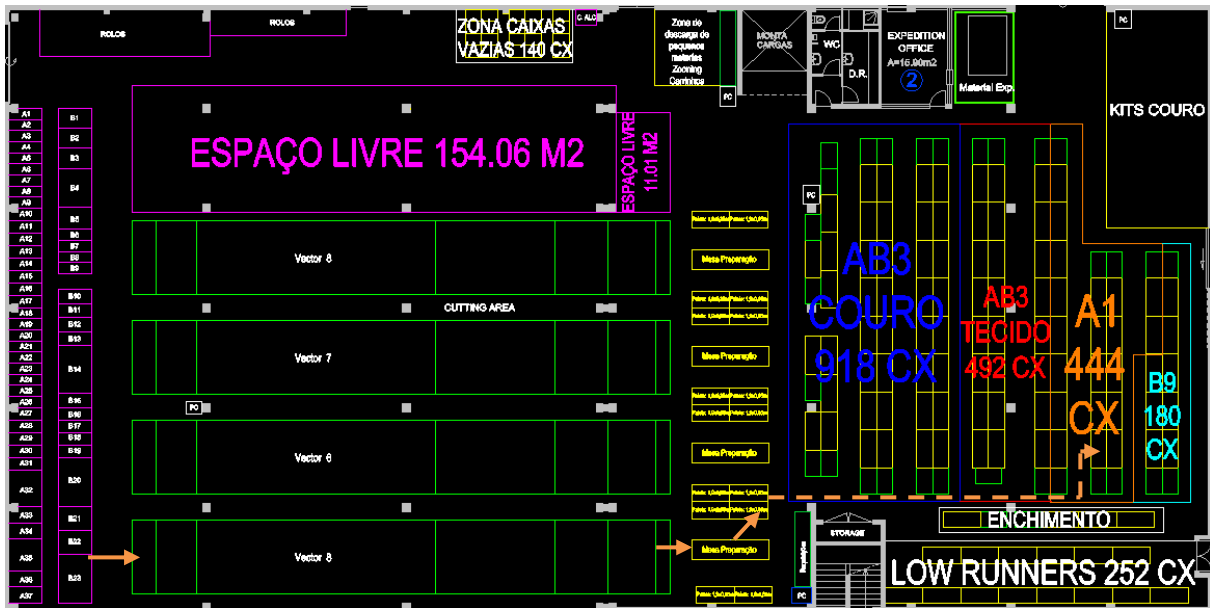


Figura 61 - Proposta futuro layout setor corte Joane I - fluxo projeto A1 s/enchimento

$$DA1se = 3,1 + 29,62 + 22,70 = 55,42m$$

As peças do projeto A1 sem enchimento percorreriam uma distância de 55,42 metros dentro do setor até estarem prontas a entrar em produção.

O fluxo do projeto A1 com enchimento está definido no diagrama de circulação da Figura 62.

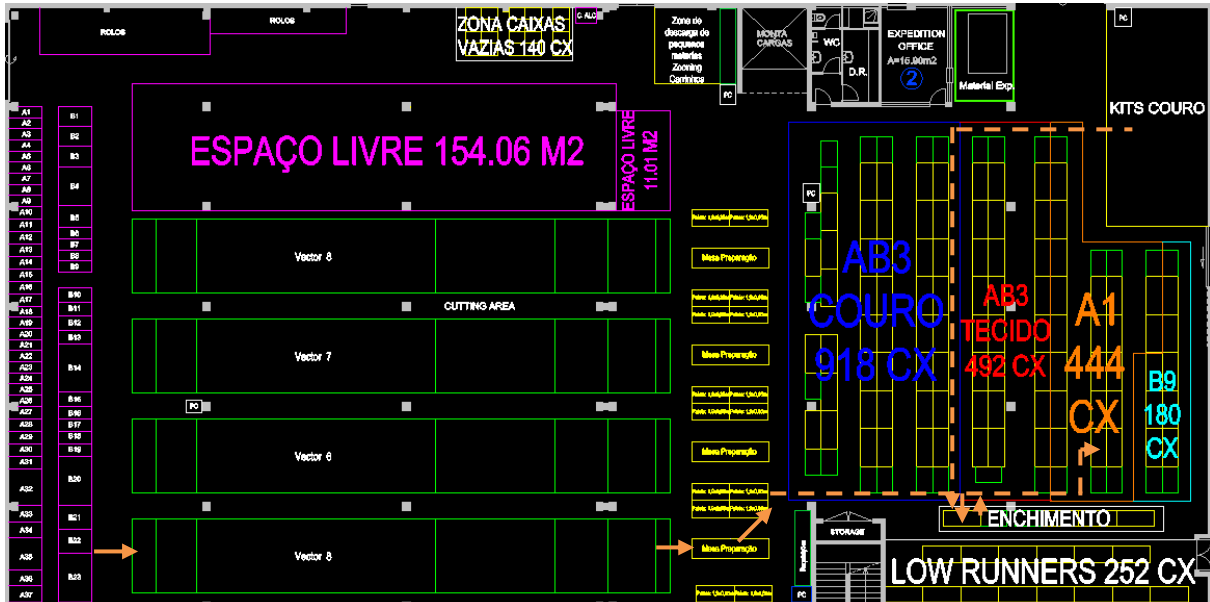


Figura 62 - Proposta futuro layout setor corte Joane I - fluxo projeto A1 c/enchimento

$$DA1ce = 3,1 + 29,62 + 16,62 + 15,83 + 22,7 + 7,53 = 95,40m$$

A partir do diagrama de circulação é possível concluir que as peças do projeto A1 com enchimento percorrem uma distância de 95,40 metros dentro do setor de corte de Joane I.

Na Figura 63 está apresentado o fluxo do projeto AB3 Tecido.

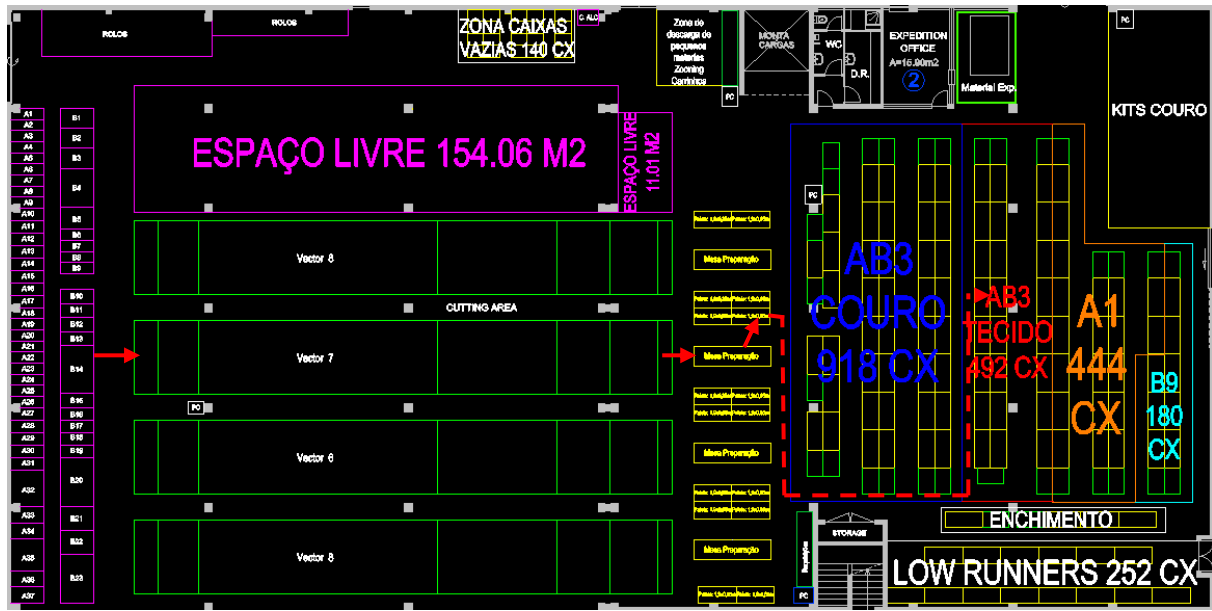


Figura 63 - Proposta futuro layout setor corte Joane I - fluxo projeto AB3 Tecido

$$DAB3Tse = 3,1 + 29,62 + 28,84 = 61,56m$$

As peças do projeto AB3 tecido percorreriam assim uma distância de 61,56 metros neste novo layout.

Por fim na Figura 64 está representado o fluxo do projeto AB3 couro.

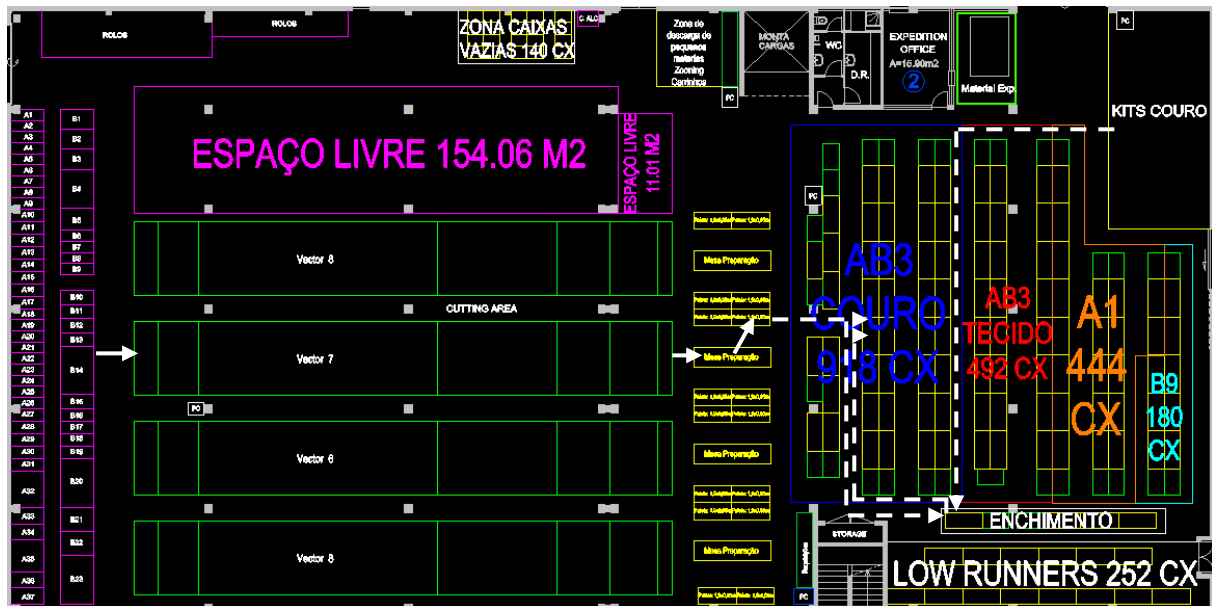


Figura 64 - Proposta futuro layout setor corte Joane I - fluxo projeto AB3 Couro

$$DAB3Cce = 3,1 + 29,62 + 20,47 + 28,52 + 4,67 + 15,81 = 102,19m$$

Este projeto percorreria uma distância de 102,19 metros dentro do setor até estar armazenado no respetivo supermercado pronto a abastecer a produção.

A distância percorrida pelos vários projetos anualmente encontra-se calculada na Tabela 18, tendo sido usado o mesmo procedimento utilizado na secção anterior.

Tabela 18 - Distância anual percorrida pelos projetos nos layouts futuros

| | Projetos | | | | | |
|-----------------------------------|-----------|----------|----------|-----------|-----------|-------------------|
| | DA1ce | DA1se | DB9se | DAB3Tse | DAB3Cce | Capacidade caixas |
| Melhor proposta layout | 95,4m | 55,42m | 57,38m | 61,56m | 102,19m | 2286 |
| 2 ^a alternativa | 116,45m | 55,42m | 57,38m | 61,56m | 117,16m | 2274 |
| 3 ^a alternativa | 146,92m | 60,04m | 57,38m | 69,58m | 116,10m | 2250 |
| Mov./semana | 118 | 50 | 124 | 355 | 543 | Total |
| Distância anual melhor proposta | 1170,75km | 288,18km | 739,97km | 2272,80km | 5770,87km | 10242,57km |
| Distância 2 ^a proposta | 1429,07km | 288,18km | 739,97km | 2272,80km | 6616,26km | 11346,28km |
| Distância 3 ^a proposta | 1803km | 312,21km | 739,97km | 2568,89km | 6556,40km | 11980,47km |

Para este novo layout seria assim percorrida uma distância de 10242,57 quilómetros anualmente, sendo que no layout anteriormente definido como solução ótima seria percorrida uma distância de 11561,29 quilómetros descontando a distância percorrida pelo projeto Mini F57.

5.4 Implementação do conceito CPS no layout da costura Joane I

Como se referiu na secção anterior, durante este projeto de dissertação o setor de costura sofreu uma completa reconfiguração, tendo sido introduzido um conceito novo CPS que implicou a criação de um novo layout para o setor de produção de Joane I como já referido anteriormente na secção 4.3.7.

Neste novo conceito o transporte das imagens de base seria feito dentro das caixas de supermercado utilizadas na realização do estudo apresentado na secção 5.1.1. Este processo foi iniciado no setor de corte com o fornecimento das caixas de supermercado já nas carruagens do *milkrun* à produção, após a receção das carruagens com as caixas no monta-cargas. Estas seriam acopladas ao *milkrun* e transportadas para a respetiva equipa, onde um distribuidor realizaria o abastecimento ao posto das imagens de base, de forma à produção não parar para realizar atividades que não acrescentavam valor ao produto final.

Desta forma, as costureiras ficariam apenas responsáveis por acrescentar valor ao produto final, o que não acontecia antes da introdução deste novo conceito, uma vez que também realizavam atividades de

distribuição de imagens de base e receção de ordens de fabrico, o que implicava parar o seu processo de costura.

O comboio logístico ficaria também responsável pelo retorno das caixas vazias ao setor de corte e pelo transporte de produto acabado para o monta-cargas do setor da embalagem. Na Figura 65 está representada uma equipa neste conceito CPS.



Figura 65 - Exemplo de uma equipa em conceito CPS

Cada equipa teria assim no início da equipa duas posições (assinalada a vermelho) para a receção de carruagens do comboio logístico com produto semiacabado e uma posição para as peças que se encontravam NOK. De seguida, teriam uma máquina para a *gap leader* realizar operações de reparação ou outras operações de costura. A seguir à *gap machine* da *gap leader* estavam as máquinas de costura necessárias para a costura da peça em questão, podendo uma costureira ser responsável até duas máquinas de costura, seguindo a peça sempre a mesma direção, respeitando assim o conceito de *one-piece-flow*.

No fim da linha tinha-se o posto de inspecção e duas posições com carruagens do comboio logístico com produto acabado, bem como um cubo (Figura 66) com informações de produtividade, tempos de ciclo, defeitos, elementos da equipa, modelo a ser produzido na respetiva equipa, etc.



Figura 66 - Cubo CPS

De seguida são apresentadas três propostas de novos layouts para a secção da produção cuja diferença entre eles reside no posicionamento das equipas. Estas propostas foram projetadas tendo em conta os

modelos com maior relevância para o processo produtivo (ficando estes mais perto do monta-cargas de forma a minimizar as distâncias a percorrer), estando estes identificados na Tabela 4 da secção 4.2. De forma a avaliar qual seria a melhor proposta, foi escolhida aquela que ocuparia menos espaço e a menor distância a percorrer. No Apêndice V – Layouts no CPS para o setor da produção Joane Iestão apresentadas outras propostas também consideradas para este estudo, mas que obtiveram piores resultados que as propostas apresentadas nesta secção. Na Figura 67, Figura 68 e Figura 69 estão apresentadas as três melhores propostas para um novo layout da produção.

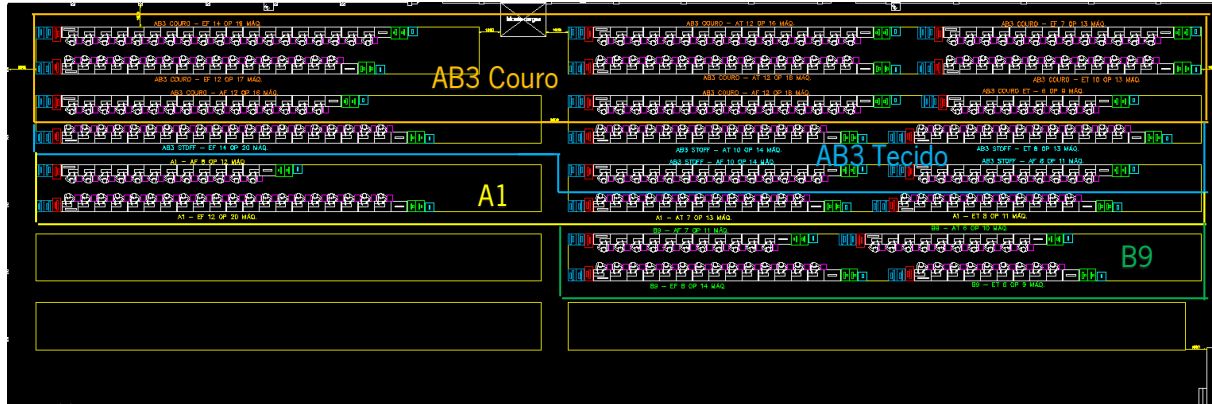


Figura 67 - Primeira proposta layout produção Joane I conceito CPS

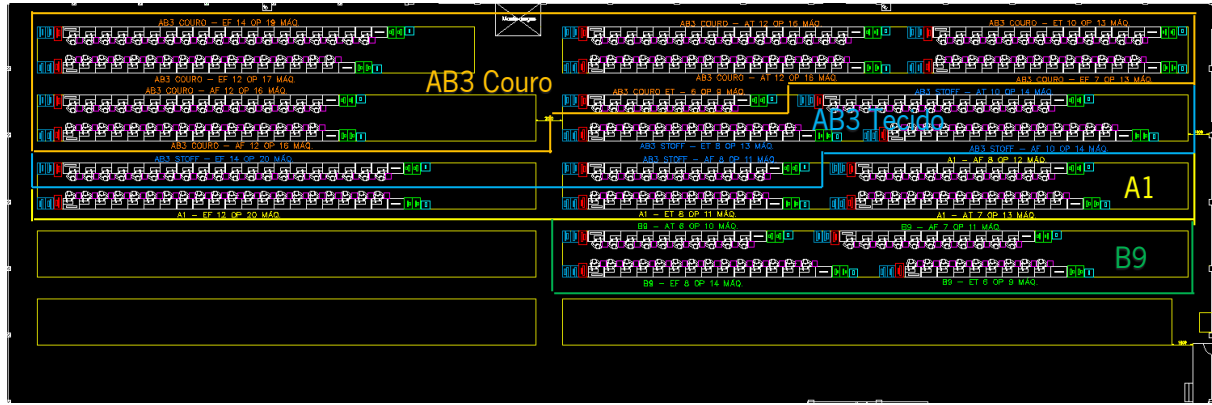


Figura 68 - Segunda proposta layout produção Joane I conceito CPS

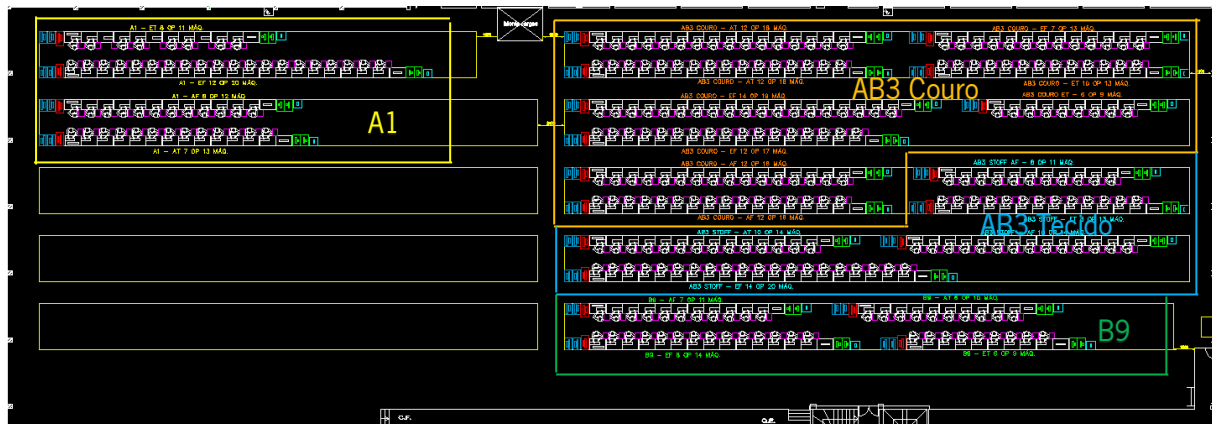


Figura 69 - Terceira proposta layout produção Joane I conceito CPS

Na Tabela 19 estão as distâncias a percorrer para abastecer cada equipa nos respetivos layouts, bem como o número de movimentações, distância anual percorrida, custo das distâncias a percorrer e o espaço livre ganho de cada layout.

Tabela 19 - Distâncias layouts produção conceito CPS

| EQUIPAS | Distâncias dos Layouts (metros) | | | Mov. | Distâncias dos Layouts (anual-metros) | | |
|-----------------------------------|--|-----------|-----------|-------------|--|------------|------------|
| | V1 | V2 | V3 | | V1 | V2 | V3 |
| AB3 COURO AF 12 OP 16 M. | 8,14 | 40,25 | 13,24 | 129 | 27301,56 | 134998,50 | 44406,96 |
| AB3 COURO AF 12 OP 16 M. | 40,99 | 46,35 | 15,87 | 129 | 137480,46 | 155457,90 | 53227,98 |
| AB3 COURO EF 14 OP 19 M. | 36,55 | 36,55 | 8,14 | 145 | 116915,70 | 116915,70 | 26038,13 |
| AB3 COURO EF 12 OP 17 M. | 38,65 | 38,65 | 10,77 | 145 | 105971,27 | 105971,27 | 29529,38 |
| AB3 COURO EF 7 OP 13 M. | 30,23 | 32,33 | 30,23 | 145 | 48349,68 | 51708,41 | 48349,68 |
| AB3 COURO AT 12 OP 16 M. | 3,3 | 3,3 | 5,67 | 78 | 6692,40 | 6692,40 | 11498,76 |
| AB3 COURO AT 12 OP 16 M. | 5,67 | 5,67 | 3,3 | 78 | 11498,76 | 11498,76 | 6692,40 |
| AB3 COURO ET 10 OP 13 M. | 32,34 | 30,23 | 32,34 | 178 | 187086,90 | 174880,55 | 187086,90 |
| AB3 COURO ET 6 OP 9 M. | 33,94 | 8,14 | 37,89 | 178 | 117805,74 | 28253,94 | 131516,19 |
| AB3 STOFF AF 10 OP 14 M. | 13,24 | 34,08 | 41,97 | 73 | 27921,69 | 71870,93 | 88510,07 |
| AB3 STOFF AF 8 OP 11 M. | 36,89 | 13,24 | 39,33 | 73 | 62237,53 | 22337,35 | 66354,08 |
| AB3 STOFF EF 14 OP 20 M. | 46,35 | 43,35 | 20,97 | 72 | 173534,40 | 162302,40 | 78511,68 |
| AB3 STOFF AT 10 OP 14 M. | 10,77 | 25,69 | 18,34 | 73 | 40882,92 | 97519,24 | 69618,64 |
| AB3 STOFF ET 8 OP 13 M. | 35,3 | 10,77 | 42,54 | 145 | 266162,00 | 81205,80 | 320751,60 |
| A1 AF 8 OP 12 M. | 47,95 | 33,23 | 40,25 | 42 | 104722,80 | 72574,32 | 87906,00 |
| A1 EF 12 OP 20 M. | 51,45 | 51,45 | 38,65 | 42 | 112366,80 | 112366,80 | 84411,60 |
| A1 AT 7 OP 13 M. | 18,87 | 39,18 | 46,35 | 10 | 9812,40 | 20373,60 | 24102,00 |
| A1 ET 8 OP 12 M. | 42,18 | 15,87 | 36,55 | 46 | 100894,56 | 37961,04 | 87427,60 |
| B9 AF 7 OP 11 M. | 18,34 | 37,11 | 23,44 | 31 | 29564,08 | 59821,32 | 37785,28 |
| B9 EF 8 OP 14 M. | 20,97 | 20,97 | 26,07 | 35 | 38165,40 | 38165,40 | 47447,40 |
| B9 AT 6 OP 10 M. | 38,33 | 18,5 | 43,43 | 25 | 49829,00 | 24050,00 | 56459,00 |
| B9 ET 6 OP 9 M. | 45,5 | 45,5 | 50,6 | 38 | 89908,00 | 89908,00 | 99985,60 |
| Distância Total Anual | | | | | 1865104,05 | 1676833,63 | 1687616,93 |
| Custos Mov./Ano | | | | | 10 008,45 € | 8 998,16 € | 9 056,03 € |
| Espaço Livre m² | | | | | 732,04 | 732,04 | 689,57 |

Com o número de movimentações para cada equipa e distância a percorrer falta apenas calcular a distância anual percorrida para cada layout, nos casos em que existem duas equipas com igual número de operadoras, foi considerado que cada equipa realizava 50% das ordens de fabrico, no caso em que existiam três equipas, como por exemplo os EF do AB3 couro, a distância foi calculada tendo em conta o número de operadoras de cada equipa, por exemplo, para equipa com 14 operadores a distância foi calculada da seguinte forma:

$$\text{Distância anual} = \text{Distância percorrer} \times \text{Média ordens fabrico} \times 52 \times (14 \div 33)$$

Aplicando-se o mesmo procedimento para a equipa com 12 operadores e para a equipa com 7 operadores. Para calcular o custo das distâncias a percorrer foi considerado que um colaborador representava um custo de 850 euros por mês à empresa.

Desta forma conclui-se que a melhor opção foi a segunda proposta de layout, uma vez que apresentava um custo menor e menor distância a percorrer quando comparada com as outras opções e igual ganho de área livre à primeira proposta.

6 DISCUSSÃO E AVALIAÇÃO DOS RESULTADOS

Neste capítulo são apresentados os resultados obtidos para as propostas de melhoria apresentadas no capítulo 0.

6.1 Melhoria das condições ergonómicas no setor

No que dizia respeito às condições ergonómicas no setor de corte de Joane I, a zona de armazenamento das caixas do projeto Mini F57 apresentava um risco para alguns trabalhadores com um índice de elevação de 1,59, tendo sido esta zona convertida para o armazenamento de caixas vazias verificando-se uma diminuição do índice de elevação para 0,42 eliminando assim o fator de risco associado à manipulação manual de caixas nesta área.

O dimensionamento das novas estruturas também eliminou o problema identificado na secção 4.3.1. com base nos cálculos ergonómicos apresentados no Apêndice III – Projeto das novas estruturas da secção de corte. Desta forma, foi possível eliminar as operações de picking manual das ordens de fabrico acima da altura dos ombros e abaixo da altura dos joelhos.

Através da melhoria das condições ergonómicas no setor de corte, foi possível a obtenção de um local de trabalho mais seguro, diminuindo o fator de risco de possíveis lesões de trabalho associadas às tarefas a realizar bem como uma maior valorização dos colaboradores. Na Tabela 20 encontram-se resumidos os ganhos ergonómicos no setor.

Tabela 20 - Ganhos ergonómicos no setor de corte Joane I

| Antes | Depois |
|---|---|
| Índice de elevação 1,59 | Índice de elevação 0,42 |
| Risco para alguns trabalhadores na manipulação manual das cargas | Eliminação do fator de risco na manipulação manual das cargas |
| Operações de <i>picking</i> acima da altura dos ombros/abaixo da altura dos joelhos | Eliminação do <i>picking</i> de ordens de fabrico acima da altura dos ombros/abaixo da altura dos joelhos |

6.2 Redução do WIP, de paragens e de transportes na costura

Após a realização dos testes em chão de fábrica de forma a determinar o número de caixas necessárias para a criação do supermercado, chegou-se a conclusão de que seriam necessárias 2323 caixas, das quais 744 são para imagens de base de couro e 1579 para tecidos e outros materiais, ou seja, seriam necessárias as seguintes caixas para os cinco projetos de Joane I:

- A1 – 141 caixas para couro e 232 para tecidos;
- B9 – 0 caixas para couro e 149 para tecidos;
- AB3 Tecido – 7 caixas para couro e 374 para tecidos;
- AB3 Couro – 442 caixas para couro e 442 caixas para tecidos;
- Mini F57 – 154 caixas para couro e 382 para tecidos.

Com a passagem para este conceito de supermercado foi possível um maior nível de controlo de stocks, bem como stocks mais baixos tanto de produto acabado como de matéria-prima, havendo por isso uma redução dos desperdícios associados ao processo de corte e do valor monetário parado em stock, estando o supermercado dimensionado para dois dias de stock com uma previsão de 15% na variação da procura do cliente.

Com a passagem das ordens de fabrico para dentro de caixas, estando estas limitadas pela altura da caixa e pelo peso máximo de 16kg, eram eliminadas por completo as grandes ordens de fabrico existentes, sendo assim possível começar a trabalhar com pequenos lotes o que permitiria reduzir WIP existente na costura. A criação do supermercado iria também permitir um fluxo constante de abastecimento de produto semiacabado à produção, reduzindo assim o risco da paragem da costura por falta de trabalho.

Por fim, com a passagem das ordens para dentro das caixas de supermercado, aquando da receção dos kits de fornecedores externos, após ser feito o controlo de qualidade destes kits, estes deveriam ser transferidos para caixas vazias em vez de voltarem a serem guardados nas caixas de cartão, eliminando assim o transporte sucessivo deste *scrap* de cartão entre os vários setores envolvidos no processo produtivo, permitindo poupar 16 m² o que correspondia a uma poupança de 8000€. É de notar que com base nos valores da Tabela 12 da secção 5, é necessário um investimento de 62553,00€ para a implementação do supermercado (racks e caixas).

6.3 Redução das distâncias percorridas, movimentações e deslocações

Esta secção apresenta a redução das distâncias percorridas, movimentações e deslocações no setor de corte e no novo sistema CPS.

6.3.1 No setor do corte

Como apresentado na secção 4.3.4.5, para o layout existente na secção de corte eram percorridos, por ano, 20638,98 quilómetros o que representava um custo de 55376,00€/ano. Após a simulação e análise de vários possíveis layouts, ficou definido como melhor opção o layout da Figura 70.

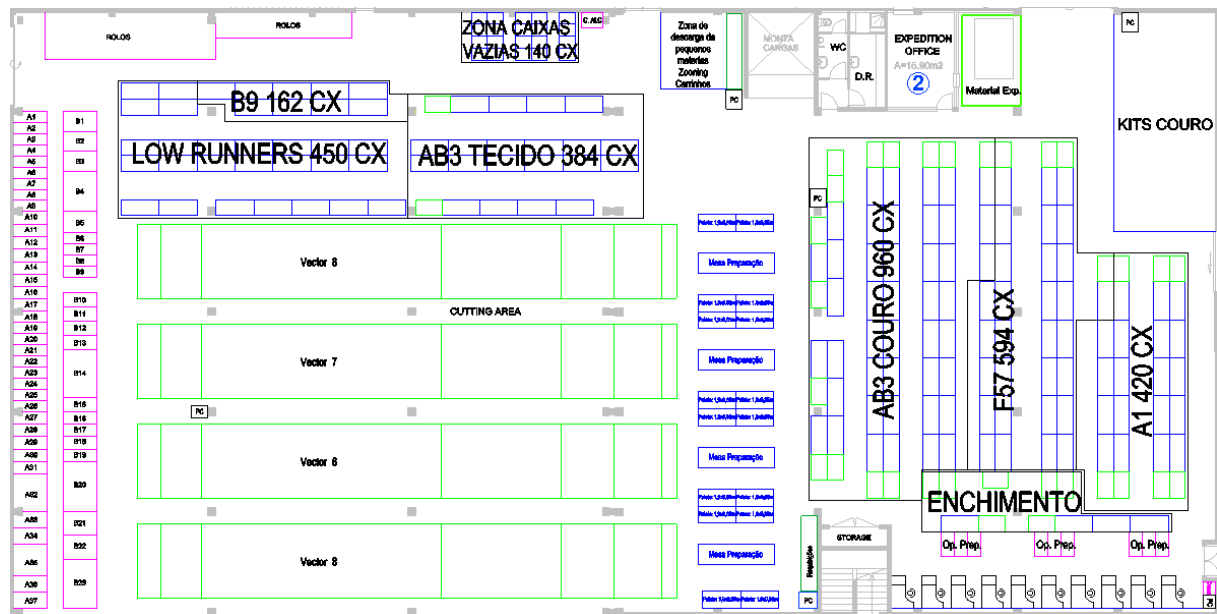


Figura 70 - Melhor opção de layout setor corte Joane I

Para esta opção de layout seria possível reduzir a distância a percorrer no setor para 14085,26 km/ano, o que representava uma redução das distâncias a percorrer em 32% e uma redução para um custo de cerca de 37791,00€/ano, ou seja, uma poupança de 17584,00€/ano.

A definição de diferentes áreas para os vários projetos permitiu também uma melhor organização do layout e eliminou a dificuldade de procurar uma determinada ordem de um determinado projeto, eliminando assim o problema exposto na Figura 36 da secção 4.3.5.

Na altura de realização deste projeto era necessário esvaziar racks no armazém transferindo ordens de fabrico de uma rack para a outra de forma a ter racks vazias para preparar novas ordens de fabrico na preparação. Com a criação do supermercado no setor de corte de Joane I e novas estruturas (Figura 44 da secção 5.1.2), seria possível a eliminação das deslocações de operários da zona de preparação para a zona do armazenamento de OF e eliminação de movimentações extras de material para diferentes racks, bem como a eliminação da movimentação das racks o que permitiria uma melhor organização do espaço de armazenagem, não havendo assim necessidade de preparar racks só de abastecer caixas vazias à preparação o que deveria ser feito ao longo do turno pelos distribuidores.

A eliminação desta atividade representava assim uma poupança de 10045,00€/ano, como se pode verificar na Tabela 10 da secção 4.3.5. Na Tabela 21 está apresentado o ganho da eliminação desta atividade.

Tabela 21 - Ganhos da eliminação das operações de preparação das racks

| Antes | Depois |
|--|--|
| Preparação das racks | Eliminação da operação de preparação das racks |
| Custo da preparação das racks - 10045€/ano | Poupança 10045€/ano |

Como layout futuro para a secção de corte foi definido o layout apresentado na Figura 71b) como melhor opção.

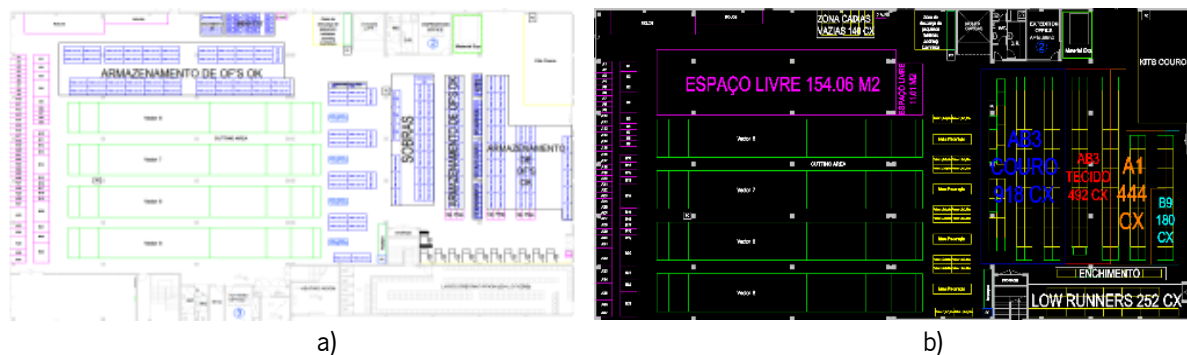


Figura 71 - Layout de corte: a) antes b) depois

No layout futuro da secção seria percorrida uma distância de 10242,57km/ano, o que representava uma melhoria de 11% em relação ao layout anterior, ou seja, uma redução das distâncias percorridas de 43% face ao layout atual, esta redução das distâncias a percorrer representava um custo de 27481,00€/ano, sendo assim possível poupar 3535,00€/ano face ao layout da Figura 70, ou seja, 21012,00€/ano face ao layout atual do setor quando o projeto Mini F57 não é contabilizado.

É também possível poupar 177,07 m², estando o metro quadrado avaliado em cerca de 500,00€ o que representaria uma poupança de 88535€. Na Tabela 22 estão apresentados os ganhos dos novos layouts.

Tabela 22 - Ganhos com as propostas de layouts do setor de corte

| | Antes | Depois | Futuro |
|----------------------------|------------------|---|---|
| Distância | 20638,98km | 14085,26km | 10242,57km |
| Custo movimentações | 55376€/ano | 37791€/ano | 27481€/ano |
| Capacidade | - | 2970 caixas | 2286 caixas |
| Espaço ganho | 0 m ² | 16 m ² | 177,07m ² |
| Ganhos | - | 8000€ espaço 17584€/ano Redução distância em 32% face ao layout atual | 88535€ espaço 3535€/ano face ao layout anterior e 21012€/ano face ao layout atual Redução distância em 11% face ao layout anterior e 43% ao atual |

6.3.2 No conceito CPS

Para o setor da costura foi definido o layout da Figura 72.



Figura 72 – Layout da costura: a) antes b) depois

Este layout apresentou os melhores resultados quando comparado com as outras opções como se pode verificar na Tabela 19, ou seja, uma distância de 1676,83km/ano e um custo de 8998,00€/ano, representaria também uma poupança de 732,04 metros quadrados, o que representaria um valor de 366020,00€. Na Tabela 23 estão apresentados os ganhos do novo layout da costura no conceito CPS.

Tabela 23 - Ganhos do novo layout da costura

| Antes | Depois | Ganho |
|----------------------|------------------------------------|--------------|
| Layout 100% ocupação | 732,04 m ² espaço livre | 366020€ |

6.4 Síntese dos resultados

Na Tabela 24 é apresentada a síntese destes resultados.

Tabela 24 - Síntese dos resultados

| Critérios | Ganhos |
|--|-----------------------|
| Espaço | 909,11 m ² |
| Valor monetário do espaço | 454555€ |
| Poupança anual | 31058€/ano |
| Redução das distâncias no corte | 43% |
| Redução do valor IE | 0,42 |
| Investimento | -62553€ |
| Melhorias ergonómicas no setor de corte, eliminação do picking acima da altura dos ombros/abaixo dos joelhos | |

7 CONCLUSÃO

Este capítulo visa a apresentar as principais conclusões do projeto de dissertação, bem como possíveis propostas para desenvolver em futuros trabalhos na secção de corte de Joane I.

7.1 Conclusões

Esta dissertação tinha como principal objetivo o estudo da criação de um supermercado de produto semiacabado no setor do corte de Joane I para dois dias de stock, tendo em conta uma possível variação da procura do cliente em 15%, bem como possíveis melhorias no setor de corte.

Desta forma foi feita uma análise ao setor de corte de Joane I identificando-se vários problemas no que dizia respeito às condições ergonómicas no setor, às estruturas presentes no setor nomeadamente as racks de armazenamento, tamanho das ordens de fabrico, distâncias a percorrer, fluxo dos materiais, movimentações de colaboradores/racks, *scrap* e desorganização do layout.

Assim após a identificação dos problemas do setor a eliminar/reduzir foram propostas melhorias a realizar. Estas melhorias consistiram na introdução de novas racks de armazenamento no setor para combater os problemas ergonómicos identificados, novos fluxos de materiais através do projeto de uma nova configuração de layout para o setor para reduzir as distâncias a percorrer, realização do estudo do número de caixas necessárias à criação do supermercado e uma nova configuração de layout do setor de costura para a produção para introduzir o conceito CPS.

Estas melhorias permitiram a eliminação/redução dos problemas identificados, através da criação do supermercado com uma capacidade de 2323 caixas. Desta forma, foi possível reduzir o tamanho das ordens de fabrico, eliminar o *scrap* de cartão proveniente dos kits de fornecedores externos, obter um maior controlo do nível de stocks, assegurando que a costura não parasse por rotura de produto semiacabado. Foi ainda possível uma redução do WIP, a eliminação das movimentações extras de racks/colaboradores durante a preparação dos turnos o que representou uma poupança de 10045€/ano e a transição de um sistema *push* para um sistema *pull*.

Através do projeto de novas estruturas foi possível a eliminação dos problemas ergonómicos relacionados com o *picking* das ordens de fabrico, bem como a realização do *picking* de caixas em vez de imagens de base, reduzindo assim as movimentações a efetuar durante a operação de *picking*, ou seja, reduzindo assim o tempo despendido para estas operações.

Com a nova configuração do layout do setor de corte foi possível a simplificação do fluxo de materiais e a redução das distâncias a percorrer, tendo sido definidas áreas para cada projeto, bem como uma área para as caixas vazias e para as espumas de enchimento, obtendo-se assim um setor mais organizado, o que facilitou a procura das ordens de fabrico.

Com esta proposta foi também possível reduzir a distância a percorrer de 20638,98 quilómetros para 14085,26 quilómetros o que representou uma diminuição em 32% e uma diminuição dos custos associados ao transporte de materiais de 55376€/ano para 37791€/ano, ou seja, uma poupança de 17584€/ano.

Na futura configuração do layout após a transferência do projeto Mini F57 para a unidade de Joane II, a distância a percorrer poderá vir a ser de 10242,57 quilómetros, apresentando esta configuração uma melhoria de 43% face ao layout atual e de 11% face ao layout a implementar para a criação do supermercado (não tendo em conta a distância do projeto Mini F57), apresentando um custo de 27481,00€/ano, ou seja, uma poupança de 21012,00€/ano face ao layout atual do setor e uma poupança de 3535,00€/ano em relação ao layout a implementar na criação do supermercado, sendo possível poupar 177,07 metros quadrados avaliados em 88535,00€.

Por fim, com a nova configuração do layout da secção de costura para o conceito CPS seria possível poupar 732,04 m², ou seja 366020,00€.

Por último, é importante referir que este projeto de dissertação permitiu a aplicação dos conhecimentos adquiridos no curso de MIEGI em ambiente industrial, de salientar a capacidade de identificação de problemas e resolução dos mesmos, através de implementação de propostas de melhoria e avaliação destas mesmas.

7.2 Trabalho futuro

Como trabalho futuro sugere-se o acompanhamento das implementações do conceito CPS na costura e da criação do supermercado no setor de corte de Joane I, bem como a formação das colaboradoras para estes novos conceitos. Adicionalmente sugere-se também um estudo mais aprofundado no que diz respeito às condições ergonómicas no setor de corte, principalmente em relação às tarefas realizadas pelos estendedores e pelos “tira-peças”, de forma a validar se estas são seguras do ponto de vista ergonómico.

REFERÊNCIAS BIBLIOGRÁFICAS

- Alves, A. C. (2007). Projecto Dinâmico de Sistemas de Produção Orientados ao Produto [University of Minho]. Retrieved from <https://repository.sdm.uminho.pt/handle/1822/7606>
- Barroso, M.P., Arezes, P.M., Da Costa, L.G., Miguel, A. S. (2005). Anthropometric study of Portuguese workers. *International Journal of Industrial Ergonomics*, 35(5), 401–410.
- Bhamu, J., & Sangwan, K. S. (2014). Lean manufacturing: Literature review and research issues. *International Journal of Operations and Production Management*, 34(7), 876–940. <https://doi.org/10.1108/IJOPM-08-2012-0315>
- Chatzopoulos, C., Tsigkas, A., & Papantoniou, A. (2009). "An Approach of a Flexible Manufacturing Thinking System for Lean-Flow Implementation for Mass\Customization Industries." *5th World Conference on Mass Customization & Personalization MCPC*, (January 2009). Retrieved from <http://www.mcpc2009.fi/program/sessions/231/>
- Coimbra, E. A. (2009). *Total Flow Management: Achieving Excellence with Kaizen and Lean Supply Chains*. Kainzen Institute.
- Deshpande, V. A., & Chopade, I. K. (2005). *Facility Layout Design by CRAFT Technique*. (September).
- Falkowski, P., & Kitowski, P. (2013). The 5S methodology as a tool for improving organization of production. *PhD Interdisciplinary Journal*.
- Gapp, R., Fisher, R., & Kobayashi, K. (2008). Implementing 5S within a Japanese context: an integrated management system. *Management Decision*, 46(4), 565–579. <https://doi.org/10.1108/00251740810865067>
- Garg, A., & Saxena, U. (1980). Container Characteristics and Maximum Acceptable Weight of Lift 1. *Human Factors: The Journal of the Human Factors and Ergonomics Society*, 22(4), 487–495. <https://doi.org/10.1177/001872088002200409>
- Gross, J., & McInnis, K. (2003). *Kanban made simple: demystifying and applying Toyota's legendary manufacturing process*. New York: AMACOM.
- Gupta, S., & Jain, S. K. (2015). An application of 5S concept to organize the workplace at a scientific instruments manufacturing company. *International Journal of Lean Six Sigma*. <https://doi.org/10.1108/IJLSS-08-2013-0047>
- Imai, M. (2012). *Gemba Kaizen : A commonsense approach to a continuous improvement strategy 2 edition. (2nd ed.)*. McGraw-Hill Education.
- Liker, J. (2004). The Toyota Way: Fourteen Management Principles From the World's Greatest Manufacturer. In *McGraw-Hill*.
- Liker, J., & Meier, D. (2005). *The Toyota Way Fieldbook- A Practical Guide for Implementing Toyota's 4Ps*. McGraw-Hill Education.
- Melton, T. (2005). The benefits of lean manufacturing: What lean thinking has to offer the process industries. *Chemical Engineering Research and Design*. <https://doi.org/10.1205/cherd.04351>
- Michalska, J., & Szewieczek, D. (2007). The 5S methodology as a tool for improving the organization. *Journal of Achievements in Materials and Manufacturing Engineering*.
- Monden, Y. (1998). *Toyota Production System: An Integrated Approach to Just-In-Time 3th ed.* Engineering & Management Press.
- Moyano-Fuentes, J., & Sacristán-Díaz, M. (2012). Learning on lean: a review of thinking and research. *International Journal of Operations and Production Management*, 32(5), 551–582. <https://doi.org/10.1108/01443571211226498>
- Muther, R. (1956). *Practical plant layout*. McGraw-Hill Education.
- Ohno, T. (1988). *Toyota Production System: Beyond Large-Scale Production*. New York: Productivity

Press.

- Pheasant, S. (1986). *Bodyspace, Anthropometry, Ergonomics and Design*. London: Taylor & Francis.
- Pinto, J. P. (2008). Lean Thinking - Introdução ao pensamento magro. *Comunidade Lean Thinking*.
- Poppendieck, M. (2011). Principles of lean thinking. *IT Management Select*.
- Poppendieck, M., & Llc, P. (2002). Principles of Lean Thinking Origins of Lean Thinking. *System*.
- Randhawa, J. S., & Ahuja, I. S. (2017). 5S – a quality improvement tool for sustainable performance: literature review and directions. *International Journal of Quality and Reliability Management*. <https://doi.org/10.1108/IJQRM-03-2015-0045>
- Shah, R., & Ward, P. T. (2007). Defining and developing measures of lean production. *Journal of Operations Management*, 25(4), 785–805. <https://doi.org/10.1016/j.jom.2007.01.019>
- Shingo, S. (1989). A Study of the Toyota Production System: From an Industrial Engineering Viewpoint. *Productivity Press*.
- Silva, S. C., & Alves, A. (2002). Design of Product Oriented Manufacturing Systems. *Knowledge and Technology Integration in Production and Services*, 359–366. https://doi.org/10.1007/978-0-387-35613-6_40
- Singh, A., & Ahuja, I. S. (2015). Review of 5S methodology and its contributions towards manufacturing performance. *International Journal of Process Management and Benchmarking*. <https://doi.org/10.1504/IJPMB.2015.072320>
- Smith, S. C. (2009). Lean thinking. *Insight - Journal of the American Society of Ophthalmic Registered Nurses*. <https://doi.org/10.4324/9781351276603-11>
- Spearman, M. L., & Zazanis, M. A. (1992). Push and pull production systems. Issues and comparisons. *Operations Research*, 40(3), 521–532. <https://doi.org/10.1287/opre.40.3.521>
- Villa, A., & Watanabe, T. (1993). Production management: Beyond the dichotomy between ‘push’ and ‘pull.’ *Computer Integrated Manufacturing Systems*, 6(1), 53–63. [https://doi.org/10.1016/0951-5240\(93\)90028-0](https://doi.org/10.1016/0951-5240(93)90028-0)
- Wallace, A. M., Cutting, E. D., Sutcliffe, M. P. F., & Langley-Hobbs, S. J. (2008). A biomechanical comparison of six different double loop configurations for use in the lateral fabella suture technique. *Veterinary and Comparative Orthopaedics and Traumatology*, 21(5), 391–399. <https://doi.org/10.3415/VCOT-07-10-0095>
- Waters, T. R., Putz-Anderson, V., Garg, A., & Fine, L. J. (1993). Revised NIOSH equation for the design and evaluation of manual lifting tasks. *Ergonomics*, 36(7), 749–776. <https://doi.org/10.1080/00140139308967940>
- Womack, J., & Jones, D. (1996). *Lean Thinking: Banish waste and create wealth in your corporation*. Simon & Schuster.
- Womack, J. P., Jones, D. T., & Roos, D. (1990). *The machine that changed the world*. Free Press.

ANEXOS

ANEXO I – SECÇÃO DE CORTE – JOANE I

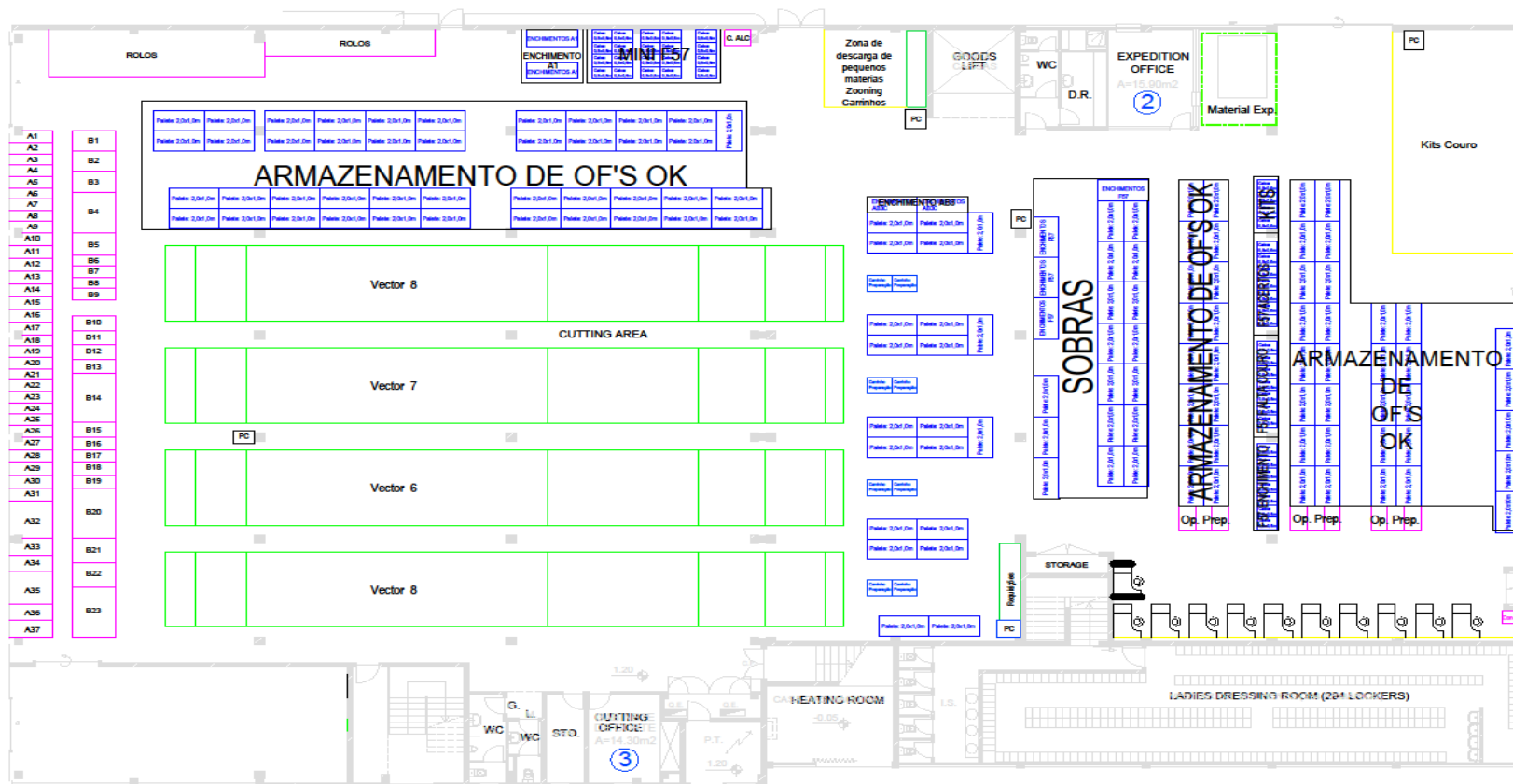


Figura 73 - Layout Corte Joane

ANEXO II – DADOS ANTROPOMÉTRICOS DA POPULAÇÃO PORTUGUESA

Tabela 25 - Dados antropométricos da população portuguesa – retirado de (Barroso, M.P., Arezes, P.M., Da Costa, L.G., Miguel, 2005)

| DIMENSÃO ANTROPOMÉTRICA | PERCENTIS MASCULINOS | | | | PERCENTIS FEMININOS | | | |
|--|----------------------|------|------|----|---------------------|------|------|----|
| | 5 | 50 | 95 | dp | 5 | 50 | 95 | dp |
| 1. Altura de pé | 1565 | 1690 | 1815 | 76 | 1456 | 1565 | 1674 | 66 |
| 2. Altura dos olhos (rel. ao solo) | 1463 | 1585 | 1707 | 74 | 1355 | 1465 | 1575 | 67 |
| 3. Altura do ombro (rel. ao solo) | 1277 | 1395 | 1513 | 72 | 1181 | 1290 | 1399 | 66 |
| 4. Altura do punho (rel. ao solo) | 664 | 735 | 806 | 43 | 619 | 685 | 751 | 40 |
| 5. Altura do cotovelo (rel. ao solo) | 966 | 1050 | 1134 | 51 | 889 | 965 | 1041 | 46 |
| 6. Distância cotovelo-punho | 320 | 350 | 380 | 18 | 292 | 320 | 348 | 17 |
| 7. Alcance funcional anterior | 628 | 730 | 832 | 62 | 621 | 675 | 729 | 33 |
| 8. Alcance funcional vertical (de pé) | 1875 | 2030 | 2185 | 94 | 1719 | 1860 | 2001 | 86 |
| 9. Altura sentado (rel. ao assento) | 818 | 920 | 1022 | 62 | 799 | 865 | 931 | 40 |
| 10. Distância olhos-assento | 716 | 810 | 904 | 57 | 696 | 760 | 824 | 39 |
| 11. Altura lombar (rel. ao assento) | 166 | 215 | 264 | 30 | 174 | 220 | 266 | 28 |
| 12. Espessura da coxa | 134 | 180 | 226 | 28 | 124 | 165 | 206 | 25 |
| 13. Altura do joelho (rel. ao solo) | 459 | 525 | 591 | 40 | 434 | 480 | 526 | 28 |
| 14. Altura do poplíteo (rel. ao solo) | 347 | 400 | 453 | 32 | 327 | 365 | 403 | 23 |
| 15. Distância coxa-poplíteo | 419 | 485 | 551 | 40 | 421 | 470 | 519 | 30 |
| 16. Comprimento máximo da coxa | 518 | 590 | 662 | 44 | 517 | 570 | 623 | 32 |
| 17. Espessura do peito (busto) | 221 | 265 | 309 | 27 | 226 | 275 | 324 | 30 |
| 18. Espessura abdominal | 204 | 260 | 316 | 34 | 201 | 260 | 319 | 36 |
| 19. Alcance funcional vertical (sentado) | 1117 | 1250 | 1383 | 81 | 1071 | 1165 | 1259 | 57 |
| 20. Distância ombro-assento | 576 | 630 | 684 | 33 | 496 | 590 | 684 | 57 |
| 21. Distância cotovelo-assento | 206 | 255 | 304 | 30 | 191 | 250 | 309 | 36 |
| 22. Largura dos ombros (biacromial) | 299 | 335 | 371 | 22 | 251 | 300 | 349 | 30 |
| 23. Largura dos ombros (bideltóide) | 426 | 475 | 524 | 30 | 379 | 445 | 511 | 40 |
| 24. Largura das ancas | 341 | 380 | 419 | 24 | 342 | 400 | 458 | 35 |
| Peso (Kg) | 57 | 75 | 93 | 11 | 49 | 65 | 81 | 10 |

Tabela 26 - Tabela da distribuição normal

| p (%) | z | | p (%) | z | | p (%) | z | | p (%) | z |
|-------|-------|--|-------|-------|--|-------|------|--|-------|------|
| 1 | -2,33 | | 26 | -0,64 | | 51 | 0,03 | | 76 | 0,71 |
| 2 | -2,05 | | 27 | -0,61 | | 52 | 0,05 | | 77 | 0,74 |
| 3 | -1,88 | | 28 | -0,58 | | 53 | 0,08 | | 78 | 0,77 |
| 4 | -1,75 | | 29 | -0,55 | | 54 | 0,10 | | 79 | 0,81 |
| 5 | -1,64 | | 30 | -0,52 | | 55 | 0,13 | | 80 | 0,84 |
| 6 | -1,55 | | 31 | -0,50 | | 56 | 0,15 | | 81 | 0,88 |
| 7 | -1,48 | | 32 | -0,47 | | 57 | 0,18 | | 82 | 0,92 |
| 8 | -1,41 | | 33 | -0,44 | | 58 | 0,20 | | 83 | 0,95 |
| 9 | -1,34 | | 34 | -0,41 | | 59 | 0,23 | | 84 | 0,99 |
| 10 | -1,28 | | 35 | -0,39 | | 60 | 0,25 | | 85 | 1,04 |
| 11 | -1,23 | | 36 | -0,36 | | 61 | 0,28 | | 86 | 1,08 |
| 12 | -1,17 | | 37 | -0,33 | | 62 | 0,31 | | 87 | 1,13 |
| 13 | -1,13 | | 38 | -0,31 | | 63 | 0,33 | | 88 | 1,17 |
| 14 | -1,08 | | 39 | -0,28 | | 64 | 0,36 | | 89 | 1,23 |
| 15 | -1,04 | | 40 | -0,25 | | 65 | 0,39 | | 90 | 1,28 |
| 16 | -0,99 | | 41 | -0,23 | | 66 | 0,41 | | 91 | 1,34 |
| 17 | -0,95 | | 42 | -0,20 | | 67 | 0,44 | | 92 | 1,41 |
| 18 | -0,92 | | 43 | -0,18 | | 68 | 0,47 | | 93 | 1,48 |
| 19 | -0,88 | | 44 | -0,15 | | 69 | 0,50 | | 94 | 1,55 |
| 20 | -0,84 | | 45 | -0,13 | | 70 | 0,52 | | 95 | 1,64 |
| 21 | -0,81 | | 46 | -0,10 | | 71 | 0,55 | | 96 | 1,75 |
| 22 | -0,77 | | 47 | -0,08 | | 72 | 0,58 | | 97 | 1,88 |
| 23 | -0,74 | | 48 | -0,05 | | 73 | 0,61 | | 98 | 2,05 |
| 24 | -0,71 | | 49 | -0,03 | | 74 | 0,64 | | 99 | 2,33 |
| 25 | -0,67 | | 50 | 0,00 | | 75 | 0,67 | | | |

ANEXO III – EQUAÇÃO DE NIOSH

Para o parâmetro MF foi considerado um período de elevação de 2-8h, ou seja, um turno de trabalho e frequência de 0,2 elevações/minuto (cerca de 100 elevações por turno). Sendo assim MF = 0,85.

Tabela 27 - Tabela MF – adaptado de (WATERS, PUTZ-ANDERSON, GARG, & FINE, 1993)

| Frequência (em elevações por minuto) ⁽¹⁾ | Duração do período com tarefas de elevação | | | | | |
|---|--|------|---------|------|---------|------|
| | < 1 h | | 1 - 2 h | | 2 - 8 h | |
| | V<75 | V≥75 | V<75 | V≥75 | V<75 | V≥75 |
| 0,2 | 1,00 | 1,00 | 0,95 | 0,95 | 0,85 | 0,85 |
| 0,5 | 0,97 | 0,97 | 0,92 | 0,92 | 0,81 | 0,81 |
| 1 | 0,94 | 0,94 | 0,88 | 0,88 | 0,75 | 0,75 |
| 2 | 0,91 | 0,91 | 0,84 | 0,84 | 0,65 | 0,65 |
| 3 | 0,88 | 0,88 | 0,79 | 0,79 | 0,55 | 0,55 |
| 4 | 0,84 | 0,84 | 0,72 | 0,72 | 0,45 | 0,45 |
| 5 | 0,80 | 0,80 | 0,60 | 0,60 | 0,35 | 0,35 |
| 6 | 0,75 | 0,75 | 0,50 | 0,50 | 0,27 | 0,27 |
| 7 | 0,70 | 0,70 | 0,42 | 0,42 | 0,22 | 0,22 |
| 8 | 0,60 | 0,60 | 0,35 | 0,35 | 0,18 | 0,18 |
| 9 | 0,52 | 0,52 | 0,30 | 0,30 | 0,00 | 0,15 |
| 10 | 0,45 | 0,45 | 0,26 | 0,26 | 0,00 | 0,13 |
| 11 | 0,41 | 0,41 | 0,00 | 0,23 | 0,00 | 0,00 |
| 12 | 0,37 | 0,37 | 0,00 | 0,21 | 0,00 | 0,00 |
| 13 | 0,00 | 0,34 | 0,00 | 0,00 | 0,00 | 0,00 |
| 14 | 0,00 | 0,31 | 0,00 | 0,00 | 0,00 | 0,00 |
| 15 | 0,00 | 0,28 | 0,00 | 0,00 | 0,00 | 0,00 |
| >15 | 0,00 | 0,00 | 0,00 | 0,00 | 0,00 | 0,00 |

Para o parâmetro MP foi considerasse que a qualidade da pega da caixa é boa e de fácil manipulação (Figura 74), sendo assim MP = 1.

Tabela 28 - Tabela MP - adaptado de (WATERS et al., 1993)

| Qualidade da pega | Multiplicadores de pega | |
|-------------------|-------------------------|-----------|
| | V < 75 cm | V ≥ 75 cm |
| Boa | 1,00 | 1,00 |
| Aceitável | 0,95 | 1,00 |
| Má | 0,90 | 0,90 |

| Qualidade da pega | Condições |
|--------------------------|---|
| Boa | $W \leq 40 \text{ cm}$, $H \leq 30 \text{ cm}$ e boas pegas ou recortes Pega com comprimento $\geq 11,5 \text{ cm}$ e $2 < \varnothing < 4 \text{ cm}$ Fácil de manipular com pontos que sejam fáceis de agarrar |
| Aceitável | $W \leq 40 \text{ cm}$, $H \leq 30 \text{ cm}$ e más pegas ou recortes $W \leq 40 \text{ cm}$, $H \leq 30 \text{ cm}$ e ângulo dos dedos com a palma da mão $\leq 90^\circ$ |
| Má | $W > 40 \text{ cm}$ ou $H > 30 \text{ cm}$ ou dificuldade em pegar ou centro de gravidade instável (líquidos, materiais granulosos, etc.) ou centro de gravidade assimétrico |

Figura 74 - Indicações para a definição da qualidade da pega - adaptado de (Garg & Saxena, 1980)
 O resultado do parâmetro IE é interpretado segundo a Tabela 29.

Tabela 29 - Interpretação dos valores de IE

| IE | Nível Risco |
|-----------|--|
| ≤ 1 | Ausência de Risco |
| 1,1-2,9 | Risco para alguns trabalhadores |
| ≥ 3 | Risco para a maioria dos trabalhadores |

APÊNDICES

APÊNDICE I – CÁLCULOS NIOSH

Neste apêndice é apresentado os cálculos realizados de forma a analisar/validar as operações manuais de manipulação de cargas, tendo sido utilizada a equação de NIOSH.

Resultado da equação de NIOSH para a situação do armazenamento do Mini F57 em caixas manipuladas a partir do nível do chão:

- $PLR = CC * MH * MV * MD * MA * MP * MF$
- $IE = Peso\ cargo/PLR$

$$CC = 23\ kg$$

$$MH = \frac{25}{H} = \frac{25}{35} = 0,714$$

$$MV = 1 - (0,003) * |V - 75| = 1 - (0,003) * |17 - 75| = 0,826$$

$$MD = 0,82 + \left(\frac{4,5}{D}\right) = 0,82 + \left(\frac{4,5}{82}\right) = 0,875$$

$$MA = 1 - (0,0032 * A) = 1 - (0,0032 * 0) = 1$$

$$MP = Anexo\ III = 1$$

$$MF = Anexo\ III = 0,85$$

$$PLR = 23 * 0,714 * 0,826 * 0,875 * 1 * 1 * 0,85 = 10,09$$

$$IE = \frac{16}{10,09} = 1,59$$

Resultado da equação de NIOSH para a validação do armazenamento de caixas vazias em caixas manipuladas a partir do nível do chão:

$$CC = 23\ kg$$

$$MH = \frac{25}{H} = \frac{25}{35} = 0,714$$

$$MV = 1 - (0,003) * |V - 75| = 1 - (0,003) * |17 - 75| = 0,826$$

$$MD = 0,82 + \left(\frac{4,5}{D}\right) = 0,82 + \left(\frac{4,5}{82}\right) = 0,875$$

$$MA = 1 - (0,0032 * A) = 1 - (0,0032 * 0) = 1$$

$$MP = Anexo\ III = 1$$

$$MF = Anexo\ III = 0,85$$

$$PLR = 23 * 0,714 * 0,826 * 0,875 * 1 * 1 * 0,85 = 10,09$$

$$IE = \frac{4,2}{10,09} = 0,42$$

APÊNDICE II – ESTUDO DO NÚMERO DE CAIXAS NECESSÁRIAS

Para calcular o número de caixas necessárias para cada projeto, foi necessário realizar testes no chão de fábrica para tipo de peça de cada projeto, por exemplo, na Tabela 30 para os assentos da frente do A1 verificou-se uma ordem de fabrico de 40, sendo o peso da caixa de couro de 9,9 kg e da caixa de tecidos de 19,8 kg, como o peso máximo do estudo é de 16kg por caixa, a quantidade máxima que a caixa de couro pode levar é uma ordem de fabrico de 65 ($40 \times 16 \div 9,9 = 65$) e a caixa de tecidos uma ordem de fabrico de 32.

Como as ordens de fabrico seguem os módulos de embalagem acordados com os clientes, sendo o módulo de embalagem de 20 para os assentos da frente, a coluna do mínimo múltiplo comum (MMC) calcula o mínimo múltiplo comum do módulo de embalagem, a fórmula utilizada para calcular o MMC encontra-se na Figura 75. Caso o valor na coluna QTD Máx. seja zero, o valor na coluna MMC também será zero, isto acontece quando a ordem de fabrico não tem imagens base de couro, como é o caso dos assentos traseiros do A1, se o valor da QTD Máx for superior ao módulo de embalagem, então o valor do MMC é igual ao arredondamento para baixo da divisão da QTD Máx pelo módulo de embalagem, sendo no fim este valor multiplicado pelo módulo de embalagem ($65 \div 20 \approx 3 \times 20 = 60$), por fim caso a QTD Máx seja inferior ao módulo de embalagem, como acontece para a caixa de tecidos dos encostos da frente, então a MMC é igual ao módulo de embalagem dividido por 2.

$$=SE(AK4=0;0;SE(AK4>=AJ4;ARRED.PARA.BAIXO(AK4/AJ4;0)*AJ4;SE(AK4<AJ4;AJ4/2)))$$

Figura 75 - Fórmula para o cálculo do MMC

Estando definido o MMC, foi necessário calcular a QTD efetiva que cada caixa podia levar. Para realizar este cálculo utilizou-se a fórmula da Figura 76, ou seja, se a MMC for zero, então a quantidade efetiva também seria zero e se o MMC for superior a zero, a QTD efetiva seria definida pelo menor MMC.

$$\{=SE(E(AM4=0;AN4<>0);0;MÍNIMO(SE(AM4:AN4>0;AM4:AN4)))\}$$

Figura 76 - Fórmula para o cálculo da QTD Efetiva

Por fim, tem-se a coluna do *Electronic Data Interchange* - EDI - diário máximo, que foi calculado através da definição do valor máximo das semanas 16 à 39 dividir por 5 (Figura 77), tendo sido este estudo realizado para uma variação do cliente de 15%, ou seja, EDI diário máximo multiplicado por 15% ($18 \times 1,15 = 21$) e para dois dias de stock ($21 \times 2 = 42$).

$$=(MÁXIMO(F4:AC4)/5)$$

Figura 77 - Fórmula para o cálculo do EDI Diário Máximo

Sendo assim, o número de caixas necessárias foi calculado através da fórmula da Figura 78, ou seja, se a quantidade efetiva for zero, então o número de caixas necessárias também seria zero, senão seria igual ao arredondamento para cima do stock a dividir pela quantidade efetiva ($42 \div 20 \approx 3$).

=SE.ERRO(ARRED.PARA.CIMA(AS4/AO4;0);0)

Figura 78 - Fórmula para o cálculo das caixas necessárias

Tabela 30 - Estudo das caixas necessárias A1

| | EDI FORECAST | | | | | | | | | | | | | | | 192 | 301 | | |
|-----------------|-----------------|-----|------|------|-------|-----------|----------------|------------------|------------------|---------------|-----------------|-----------|-------------|-------------------|---------------------|-------------------|------------------------|---------------|--------------------------|
| | 16 | 39 | 2900 | 7160 | Tipos | QTD teste | Caixa Couro kg | Caixa Tecidos kg | Módulo embalagem | QTD Máx Couro | QTD Máx Tecidos | MMC Couro | MMC Tecidos | QTD Efetiva Couro | QTD Efetiva Tecidos | EDI Diário Máximo | Variação Cliente (15%) | Stock (2dias) | Caixas Couro Necessárias |
| PN COINDU | | | | | | | | | | | | | | | | | | | |
| 30711E0C00C1CAE | 20 | 70 | AF | 40 | 9,9 | 19,8 | 20 | 65 | 32 | 60 | 20 | 20 | 20 | 18 | 21 | 42 | 3 | 3 | |
| 30711E0B00C1CAE | 20 | 70 | AF | 40 | 9,9 | 19,8 | 20 | 65 | 32 | 60 | 20 | 20 | 20 | 18 | 21 | 42 | 3 | 3 | |
| 30711D0C00C0TAE | 0 | 10 | AF | 40 | 9,9 | 19,8 | 20 | 65 | 32 | 60 | 20 | 20 | 20 | 4 | 5 | 10 | 1 | 1 | |
| 30711D0B00C0TAE | 0 | 20 | AF | 40 | 9,9 | 19,8 | 20 | 65 | 32 | 60 | 20 | 20 | 20 | 4 | 5 | 10 | 1 | 1 | |
| 30711F0C00I2CAE | 240 | 720 | AF | 40 | 9,9 | 19,8 | 20 | 65 | 32 | 60 | 20 | 20 | 20 | 149 | 172 | 344 | 18 | 18 | |
| 30711F0B00I2CAE | 240 | 710 | AF | 40 | 9,9 | 19,8 | 20 | 65 | 32 | 60 | 20 | 20 | 20 | 149 | 172 | 344 | 18 | 18 | |
| 30711E0C00C1TAE | 0 | 10 | AF | 40 | 9,9 | 19,8 | 20 | 65 | 32 | 60 | 20 | 20 | 20 | 8 | 10 | 20 | 1 | 1 | |
| 30711E0B00C1TAE | 0 | 10 | AF | 40 | 9,9 | 19,8 | 20 | 65 | 32 | 60 | 20 | 20 | 20 | 8 | 10 | 20 | 1 | 1 | |
| 30711G0C00I2CAE | 60 | 210 | AF | 40 | 9,9 | 19,8 | 20 | 65 | 32 | 60 | 20 | 20 | 20 | 42 | 49 | 98 | 5 | 5 | |
| 30711G0B00I2CAE | 60 | 210 | AF | 40 | 9,9 | 19,8 | 20 | 65 | 32 | 60 | 20 | 20 | 20 | 42 | 49 | 98 | 5 | 5 | |
| 30711F0C00I0UAE | 0 | 0 | AF | 40 | 9,9 | 19,8 | 20 | 65 | 32 | 60 | 20 | 20 | 20 | 0 | 0 | 0 | 0 | 0 | |
| 30711F0B00I0UAE | 0 | 0 | AF | 40 | 9,9 | 19,8 | 20 | 65 | 32 | 60 | 20 | 20 | 20 | 0 | 0 | 0 | 0 | 0 | |
| 30711E0K14C1CAI | 40 | 80 | AT | 20 | - | 27,3 | 10 | 0 | 12 | 0 | 10 | 0 | 10 | 19 | 22 | 44 | 0 | 5 | |
| 30711D0K04C0TAI | 20 | 10 | AT | 20 | - | 27,3 | 10 | 0 | 12 | 0 | 10 | 0 | 10 | 4 | 5 | 10 | 0 | 1 | |
| 30711F0K04I2CAI | 420 | 710 | AT | 20 | - | 27,3 | 10 | 0 | 12 | 0 | 10 | 0 | 10 | 149 | 171 | 342 | 0 | 35 | |
| 30711E0K04C1TAI | 20 | 10 | AT | 20 | - | 27,3 | 10 | 0 | 12 | 0 | 10 | 0 | 10 | 8 | 10 | 20 | 0 | 2 | |
| 30711G0K04I2CAI | 40 | 210 | AT | 20 | - | 27,3 | 10 | 0 | 12 | 0 | 10 | 0 | 10 | 42 | 49 | 98 | 0 | 10 | |

| | | | | | | | | | | | | | | | | | | |
|-----------------|-----|-----|----|----|-----|------|----|----|----|----|----|----|----|----|----|-----|----|----|
| 30711F0K04I0UAI | 0 | 0 | AT | 20 | - | 27,3 | 10 | 0 | 12 | 0 | 10 | 0 | 10 | 0 | 0 | 0 | 0 | 0 |
| 30711E0G04C1CAD | 0 | 0 | EF | 20 | 8,9 | 20,6 | 20 | 36 | 16 | 20 | 10 | 10 | 10 | 1 | 2 | 4 | 1 | 1 |
| 30711E0G05C1CAD | 0 | 0 | EF | 20 | 8,9 | 20,6 | 20 | 36 | 16 | 20 | 10 | 10 | 10 | 0 | 0 | 0 | 0 | 0 |
| 30711E0G02C1CAD | 20 | 40 | EF | 20 | 8,9 | 20,6 | 20 | 36 | 16 | 20 | 10 | 10 | 10 | 13 | 16 | 32 | 4 | 4 |
| 30711E0G03C1CAD | 0 | 20 | EF | 20 | 8,9 | 20,6 | 20 | 36 | 16 | 20 | 10 | 10 | 10 | 5 | 6 | 12 | 2 | 2 |
| 30711E0F04C1CAD | 20 | 20 | EF | 20 | 8,9 | 20,6 | 20 | 36 | 16 | 20 | 10 | 10 | 10 | 13 | 16 | 32 | 4 | 4 |
| 30711E0F05C1CAD | 0 | 10 | EF | 20 | 8,9 | 20,6 | 20 | 36 | 16 | 20 | 10 | 10 | 10 | 5 | 6 | 12 | 2 | 2 |
| 30711E0F02C1CAD | 0 | 30 | EF | 20 | 8,9 | 20,6 | 20 | 36 | 16 | 20 | 10 | 10 | 10 | 6 | 7 | 14 | 2 | 2 |
| 30711E0F03C1CAD | 0 | 10 | EF | 20 | 8,9 | 20,6 | 20 | 36 | 16 | 20 | 10 | 10 | 10 | 2 | 3 | 6 | 1 | 1 |
| 30711D0G04C0TAD | 0 | 10 | EF | 20 | 8,9 | 20,6 | 20 | 36 | 16 | 20 | 10 | 10 | 10 | 2 | 3 | 6 | 1 | 1 |
| 30711D0G05C0TAD | 0 | 0 | EF | 20 | 8,9 | 20,6 | 20 | 36 | 16 | 20 | 10 | 10 | 10 | 0 | 0 | 0 | 0 | 0 |
| 30711D0G02C0TAD | 0 | 10 | EF | 20 | 8,9 | 20,6 | 20 | 36 | 16 | 20 | 10 | 10 | 10 | 4 | 5 | 10 | 1 | 1 |
| 30711D0G03C0TAD | 0 | 0 | EF | 20 | 8,9 | 20,6 | 20 | 36 | 16 | 20 | 10 | 10 | 10 | 1 | 1 | 2 | 1 | 1 |
| 30711D0F04C0TAD | 0 | 10 | EF | 20 | 8,9 | 20,6 | 20 | 36 | 16 | 20 | 10 | 10 | 10 | 4 | 5 | 10 | 1 | 1 |
| 30711D0F05C0TAD | 0 | 0 | EF | 20 | 8,9 | 20,6 | 20 | 36 | 16 | 20 | 10 | 10 | 10 | 1 | 1 | 2 | 1 | 1 |
| 30711D0F02C0TAD | 0 | 0 | EF | 20 | 8,9 | 20,6 | 20 | 36 | 16 | 20 | 10 | 10 | 10 | 0 | 0 | 0 | 0 | 0 |
| 30711D0F03C0TAD | 0 | 0 | EF | 20 | 8,9 | 20,6 | 20 | 36 | 16 | 20 | 10 | 10 | 10 | 0 | 0 | 0 | 0 | 0 |
| 30711F0G04I2CAD | 120 | 330 | EF | 20 | 8,9 | 20,6 | 20 | 36 | 16 | 20 | 10 | 10 | 10 | 83 | 96 | 192 | 20 | 20 |
| 30711F0G05I2CAD | 0 | 10 | EF | 20 | 8,9 | 20,6 | 20 | 36 | 16 | 20 | 10 | 10 | 10 | 2 | 3 | 6 | 1 | 1 |
| 30711F0G02I2CAD | 80 | 240 | EF | 20 | 8,9 | 20,6 | 20 | 36 | 16 | 20 | 10 | 10 | 10 | 62 | 72 | 144 | 15 | 15 |

| | | | | | | | | | | | | | | | | | | |
|-----------------|-----|-----|----|----|-----|------|----|----|----|----|----|----|----|----|----|-----|----|----|
| 30711F0G03I2CAD | 40 | 130 | EF | 20 | 8,9 | 20,6 | 20 | 36 | 16 | 20 | 10 | 10 | 10 | 26 | 30 | 60 | 6 | 6 |
| 30711F0F04I2CAD | 80 | 230 | EF | 20 | 8,9 | 20,6 | 20 | 36 | 16 | 20 | 10 | 10 | 10 | 62 | 72 | 144 | 15 | 15 |
| 30711F0F05I2CAD | 40 | 120 | EF | 20 | 8,9 | 20,6 | 20 | 36 | 16 | 20 | 10 | 10 | 10 | 24 | 28 | 56 | 6 | 6 |
| 30711F0F02I2CAD | 120 | 340 | EF | 20 | 8,9 | 20,6 | 20 | 36 | 16 | 20 | 10 | 10 | 10 | 83 | 96 | 192 | 20 | 20 |
| 30711F0F03I2CAD | 0 | 20 | EF | 20 | 8,9 | 20,6 | 20 | 36 | 16 | 20 | 10 | 10 | 10 | 4 | 5 | 10 | 1 | 1 |
| 30711E0G04C1TAD | 0 | 0 | EF | 20 | 8,9 | 20,6 | 20 | 36 | 16 | 20 | 10 | 10 | 10 | 4 | 5 | 10 | 1 | 1 |
| 30711E0G05C1TAD | 0 | 0 | EF | 20 | 8,9 | 20,6 | 20 | 36 | 16 | 20 | 10 | 10 | 10 | 0 | 0 | 0 | 0 | 0 |
| 30711E0G02C1TAD | 0 | 20 | EF | 20 | 8,9 | 20,6 | 20 | 36 | 16 | 20 | 10 | 10 | 10 | 4 | 5 | 10 | 1 | 1 |
| 30711E0G03C1TAD | 0 | 0 | EF | 20 | 8,9 | 20,6 | 20 | 36 | 16 | 20 | 10 | 10 | 10 | 0 | 0 | 0 | 0 | 0 |
| 30711E0F04C1TAD | 0 | 10 | EF | 20 | 8,9 | 20,6 | 20 | 36 | 16 | 20 | 10 | 10 | 10 | 4 | 5 | 10 | 1 | 1 |
| 30711E0F05C1TAD | 0 | 0 | EF | 20 | 8,9 | 20,6 | 20 | 36 | 16 | 20 | 10 | 10 | 10 | 0 | 0 | 0 | 0 | 0 |
| 30711E0F02C1TAD | 0 | 0 | EF | 20 | 8,9 | 20,6 | 20 | 36 | 16 | 20 | 10 | 10 | 10 | 4 | 5 | 10 | 1 | 1 |
| 30711E0F03C1TAD | 0 | 0 | EF | 20 | 8,9 | 20,6 | 20 | 36 | 16 | 20 | 10 | 10 | 10 | 0 | 0 | 0 | 0 | 0 |
| 30711G0G04I2CAD | 0 | 20 | EF | 20 | 8,9 | 20,6 | 20 | 36 | 16 | 20 | 10 | 10 | 10 | 4 | 5 | 10 | 1 | 1 |
| 30711G0G05I2CAD | 20 | 0 | EF | 20 | 8,9 | 20,6 | 20 | 36 | 16 | 20 | 10 | 10 | 10 | 4 | 5 | 10 | 1 | 1 |
| 30711G0G02I2CAD | 40 | 150 | EF | 20 | 8,9 | 20,6 | 20 | 36 | 16 | 20 | 10 | 10 | 10 | 30 | 35 | 70 | 7 | 7 |
| 30711G0G03I2CAD | 0 | 60 | EF | 20 | 8,9 | 20,6 | 20 | 36 | 16 | 20 | 10 | 10 | 10 | 12 | 14 | 28 | 3 | 3 |
| 30711G0F04I2CAD | 40 | 110 | EF | 20 | 8,9 | 20,6 | 20 | 36 | 16 | 20 | 10 | 10 | 10 | 22 | 26 | 52 | 6 | 6 |
| 30711G0F05I2CAD | 0 | 20 | EF | 20 | 8,9 | 20,6 | 20 | 36 | 16 | 20 | 10 | 10 | 10 | 8 | 10 | 20 | 2 | 2 |

| | | | | | | | | | | | | | | | | | | |
|-----------------|-----|-----|----|----|-----|------|----|----|----|----|----|----|----|-----|-----|-----|---|----|
| 30711G0F02I2CAD | 0 | 50 | EF | 20 | 8,9 | 20,6 | 20 | 36 | 16 | 20 | 10 | 10 | 10 | 10 | 12 | 24 | 3 | 3 |
| 30711G0F03I2CAD | 20 | 30 | EF | 20 | 8,9 | 20,6 | 20 | 36 | 16 | 20 | 10 | 10 | 10 | 6 | 7 | 14 | 2 | 2 |
| 30711F0G04I0UAD | 0 | 0 | EF | 20 | 8,9 | 20,6 | 20 | 36 | 16 | 20 | 10 | 10 | 10 | 0 | 0 | 0 | 0 | 0 |
| 30711F0G05I0UAD | 0 | 0 | EF | 20 | 8,9 | 20,6 | 20 | 36 | 16 | 20 | 10 | 10 | 10 | 0 | 0 | 0 | 0 | 0 |
| 30711F0G02I0UAD | 0 | 10 | EF | 20 | 8,9 | 20,6 | 20 | 36 | 16 | 20 | 10 | 10 | 10 | 2 | 3 | 6 | 1 | 1 |
| 30711F0G03I0UAD | 0 | 0 | EF | 20 | 8,9 | 20,6 | 20 | 36 | 16 | 20 | 10 | 10 | 10 | 0 | 0 | 0 | 0 | 0 |
| 30711F0F04I0UAD | 0 | 10 | EF | 20 | 8,9 | 20,6 | 20 | 36 | 16 | 20 | 10 | 10 | 10 | 2 | 3 | 6 | 1 | 1 |
| 30711F0F05I0UAD | 0 | 0 | EF | 20 | 8,9 | 20,6 | 20 | 36 | 16 | 20 | 10 | 10 | 10 | 0 | 0 | 0 | 0 | 0 |
| 30711F0F02I0UAD | 0 | 0 | EF | 20 | 8,9 | 20,6 | 20 | 36 | 16 | 20 | 10 | 10 | 10 | 0 | 0 | 0 | 0 | 0 |
| 30711F0F03I0UAD | 0 | 0 | EF | 20 | 8,9 | 20,6 | 20 | 36 | 16 | 20 | 10 | 10 | 10 | 0 | 0 | 0 | 0 | 0 |
| 30711E0R01C1CAF | 40 | 70 | ET | 40 | - | 23,8 | 20 | 0 | 27 | 0 | 20 | 0 | 20 | 19 | 22 | 44 | 0 | 3 |
| 30711E0Q01C1CAF | 40 | 70 | ET | 40 | - | 23,8 | 20 | 0 | 27 | 0 | 20 | 0 | 20 | 19 | 22 | 44 | 0 | 3 |
| 30711D0R01C0TAF | 20 | 10 | ET | 40 | - | 23,8 | 20 | 0 | 27 | 0 | 20 | 0 | 20 | 4 | 5 | 10 | 0 | 1 |
| 30711D0Q01C0TAF | 20 | 10 | ET | 40 | - | 23,8 | 20 | 0 | 27 | 0 | 20 | 0 | 20 | 4 | 5 | 10 | 0 | 1 |
| 30711F0R01I2CAF | 420 | 720 | ET | 40 | - | 23,8 | 20 | 0 | 27 | 0 | 20 | 0 | 20 | 149 | 171 | 342 | 0 | 18 |
| 30711F0Q01I2CAF | 420 | 710 | ET | 40 | - | 23,8 | 20 | 0 | 27 | 0 | 20 | 0 | 20 | 149 | 171 | 342 | 0 | 18 |
| 30711E0R01C1TAF | 20 | 10 | ET | 40 | - | 23,8 | 20 | 0 | 27 | 0 | 20 | 0 | 20 | 8 | 10 | 20 | 0 | 1 |
| 30711E0Q01C1TAF | 20 | 10 | ET | 40 | - | 23,8 | 20 | 0 | 27 | 0 | 20 | 0 | 20 | 8 | 10 | 20 | 0 | 1 |
| 30711G0R01I2CAF | 40 | 210 | ET | 40 | - | 23,8 | 20 | 0 | 27 | 0 | 20 | 0 | 20 | 42 | 49 | 98 | 0 | 5 |
| 30711G0Q01I2CAF | 40 | 210 | ET | 40 | - | 23,8 | 20 | 0 | 27 | 0 | 20 | 0 | 20 | 42 | 49 | 98 | 0 | 5 |
| 30711F0R01I0UAF | 0 | 0 | ET | 40 | - | 23,8 | 20 | 0 | 27 | 0 | 20 | 0 | 20 | 0 | 0 | 0 | 0 | 0 |
| 30711F0Q01I0UAF | 0 | 0 | ET | 40 | - | 23,8 | 20 | 0 | 27 | 0 | 20 | 0 | 20 | 0 | 0 | 0 | 0 | 0 |

Após o cálculo das caixas necessárias para o projeto, foi necessário definir quais os *high-runners* e *mid-runners* para cada tipo de peça, de forma a definir as caixas necessárias para o supermercado do projeto A1. Para definir quais as referências do tipo A e B, realizou-se a análise ABC para cada tipo de peça do projeto. Na Tabela 31 encontra-se a análise ABC dos assentos da frente do A1.

Tabela 31 - Análise ABC assentos da frente A1

| | | | | | | 24728 | | | | 56 | 56 | |
|----|-----------------|------|-----------------------------|----------------------|------|-------|-------|-----------|-----------|--------|-----------------|------------------|
| | PN COINDU | Part | Variant | COLOR | TYPE | QTD | QTD % | ac. QTD % | ac. art % | Classe | Caixas Couro AF | Caixas Tecido AF |
| 1 | 30711F0C00I2CAE | AF | S-LINE STANDARD | SOUL/FEINSILBER | SP | 9228 | 37,32 | 37,32 | 8,33 | A | 18 | 18 |
| 2 | 30711F0B00I2CAE | AF | S-LINE STANDARD | SOUL/FEINSILBER | SP | 9218 | 37,28 | 74,60 | 16,67 | A | 18 | 18 |
| 3 | 30711G0B00I2CAE | AF | S-LINE HIGH | SOUL/FEINSILBER | SP | 1776 | 7,18 | 81,78 | 25,00 | B | 5 | 5 |
| 4 | 30711G0C00I2CAE | AF | S-LINE HIGH | SOUL/FEINSILBER | SP | 1776 | 7,18 | 88,96 | 33,33 | B | 5 | 5 |
| 5 | 30711E0C00C1CAE | AF | PROGRESSIVE TWINLEDER | GRANITGRAU/STAHLGRAU | SP | 1003 | 4,06 | 93,02 | 41,67 | C | 3 | 3 |
| 6 | 30711E0B00C1CAE | AF | PROGRESSIVE TWINLEDER | GRANITGRAU/STAHLGRAU | SP | 1003 | 4,06 | 97,07 | 50,00 | C | 3 | 3 |
| 7 | 30711E0B00C1TAE | AF | PROGRESSIVE TWINLEDER | TITANGRAU/KUPFER | SP | 189 | 0,76 | 97,84 | 58,33 | C | 1 | 1 |
| 8 | 30711E0C00C1TAE | AF | PROGRESSIVE TWINLEDER | TITANGRAU/KUPFER | SP | 189 | 0,76 | 98,60 | 66,67 | C | 1 | 1 |
| 9 | 30711D0B00C0TAE | AF | DESIGN SELECTION | GRANITGRAU/KUPFER | SP | 178 | 0,72 | 99,32 | 75,00 | C | 1 | 1 |
| 10 | 30711D0C00C0TAE | AF | DESIGN SELECTION | GRANITGRAU/KUPFER | SP | 168 | 0,68 | 100,00 | 83,33 | C | 1 | 1 |
| 11 | 30711F0C00I0UAE | AF | S-LINE STANDARD CITY CARVER | SOUL/PULSORANGE | SP | 0 | 0,00 | 100,00 | 91,67 | C | 0 | 0 |
| 12 | 30711F0B00I0UAE | AF | S-LINE STANDARD CITY CARVER | SOUL/PULSORANGE | SP | 0 | 0,00 | 100,00 | 100,00 | C | 0 | 0 |

Na Tabela 32 encontra-se a análise ABC dos assentos traseiros do A1.

Tabela 32 - Análise ABC assentos traseiros A1

| | | | | | | 13003 | | | | 0 | 53 | |
|---|-----------------|------|-----------------------|----------------------|------|-------|-------|-----------|-----------|--------|-----------------|------------------|
| | PN COINDU | Part | Variant | COLOR | TYPE | QTD | QTD % | ac. QTD % | ac. art % | Classe | Caixas Couro AF | Caixas Tecido AF |
| 1 | 30711F0K04I2CAI | AT | S-LINE STANDARD | SOUL/FEINSILBER | SP | 9370 | 72,06 | 72,06 | 16,667 | A | 0 | 35 |
| 2 | 30711G0K04I2CAI | AT | S-LINE HIGH | SOUL/FEINSILBER | SP | 2059 | 15,83 | 87,90 | 33,333 | B | 0 | 10 |
| 3 | 30711E0K14C1CAI | AT | PROGRESSIVE TWINLEDER | GRANITGRAU/STAHLGRAU | SP | 1116 | 8,58 | 96,48 | 50,000 | C | 0 | 5 |
| 4 | 30711E0K04C1TAI | AT | PROGRESSIVE TWINLEDER | TITANGRAU/KUPFER | SP | 250 | 1,92 | 98,40 | 66,667 | C | 0 | 2 |

| | | | | | | | | | | | | |
|---|-----------------|----|-----------------------------|-------------------|----|-----|------|--------|---------|---|---|---|
| 5 | 30711D0K04C0TAI | AT | DESIGN SELECTION | GRANITGRAU/KUPFER | SP | 208 | 1,60 | 100,00 | 83,333 | C | 0 | 1 |
| 6 | 30711F0K04I0UAI | AT | S-LINE STANDARD CITY CARVER | SOUL/PULSORANGE | SP | 0 | 0,00 | 100,00 | 100,000 | C | 0 | 0 |

Na Tabela 33 encontra-se a análise ABC dos encostos da frente do A1.

Tabela 33 - Análise ABC encostos da frente A1

| PN COINDU | Part | Variant | COLOR | TYPE | QTD | QTD % | ac. QTD % | ac. art % | Classe | 24758 | 136 | 136 |
|-----------|-----------------|---------|-----------------------|----------------------|-----|-------|-----------|-----------|--------|-------|-----|-----|
| | | | | | | | | | | 24758 | 136 | 136 |
| 1 | 30711F0G02I2CAD | EF | S-LINE STANDARD | SOUL/FEINSILBER | SP | 3817 | 15,42 | 15,42 | 2,08 | A | 15 | 15 |
| 2 | 30711F0F04I2CAD | EF | S-LINE STANDARD | SOUL/FEINSILBER | SP | 3807 | 15,38 | 30,79 | 4,17 | A | 15 | 15 |
| 3 | 30711F0F02I2CAD | EF | S-LINE STANDARD | SOUL/FEINSILBER | SP | 3753 | 15,16 | 45,95 | 6,25 | A | 20 | 20 |
| 4 | 30711F0G04I2CAD | EF | S-LINE STANDARD | SOUL/FEINSILBER | SP | 3743 | 15,12 | 61,07 | 8,33 | A | 20 | 20 |
| 5 | 30711F0G03I2CAD | EF | S-LINE STANDARD | SOUL/FEINSILBER | SP | 1602 | 6,47 | 67,54 | 10,42 | B | 6 | 6 |
| 6 | 30711F0F05I2CAD | EF | S-LINE STANDARD | SOUL/FEINSILBER | SP | 1592 | 6,43 | 73,97 | 12,50 | B | 6 | 6 |
| 7 | 30711G0G02I2CAD | EF | S-LINE HIGH | SOUL/FEINSILBER | SP | 1204 | 4,86 | 78,84 | 14,58 | B | 7 | 7 |
| 8 | 30711G0F04I2CAD | EF | S-LINE HIGH | SOUL/FEINSILBER | SP | 1164 | 4,70 | 83,54 | 16,67 | B | 6 | 6 |
| 9 | 30711E0G02C1CAD | EF | PROGRESSIVE TWINLEDER | GRANITGRAU/STAHLGRAU | SP | 725 | 2,93 | 86,46 | 18,75 | C | 4 | 4 |
| 10 | 30711E0F04C1CAD | EF | PROGRESSIVE TWINLEDER | GRANITGRAU/STAHLGRAU | SP | 705 | 2,85 | 89,31 | 20,83 | C | 4 | 4 |
| 11 | 30711G0G03I2CAD | EF | S-LINE HIGH | SOUL/FEINSILBER | SP | 485 | 1,96 | 91,27 | 22,92 | C | 3 | 3 |
| 12 | 30711G0F05I2CAD | EF | S-LINE HIGH | SOUL/FEINSILBER | SP | 445 | 1,80 | 93,07 | 25,00 | C | 2 | 2 |
| 13 | 30711E0G03C1CAD | EF | PROGRESSIVE TWINLEDER | GRANITGRAU/STAHLGRAU | SP | 234 | 0,95 | 94,01 | 27,08 | C | 2 | 2 |
| 14 | 30711E0F05C1CAD | EF | PROGRESSIVE TWINLEDER | GRANITGRAU/STAHLGRAU | SP | 224 | 0,90 | 94,92 | 29,17 | C | 2 | 2 |
| 15 | 30711D0G02C0TAD | EF | DESIGN SELECTION | GRANITGRAU/KUPFER | SP | 156 | 0,63 | 95,55 | 31,25 | C | 1 | 1 |
| 16 | 30711D0F04C0TAD | EF | DESIGN SELECTION | GRANITGRAU/KUPFER | SP | 156 | 0,63 | 96,18 | 33,33 | C | 1 | 1 |
| 17 | 30711E0G02C1TAD | EF | PROGRESSIVE TWINLEDER | TITANGRAU/KUPFER | SP | 132 | 0,53 | 96,71 | 35,42 | C | 1 | 1 |
| 18 | 30711E0F04C1TAD | EF | PROGRESSIVE TWINLEDER | TITANGRAU/KUPFER | SP | 122 | 0,49 | 97,20 | 37,50 | C | 1 | 1 |
| 19 | 30711G0F02I2CAD | EF | S-LINE HIGH | SOUL/FEINSILBER | SP | 110 | 0,44 | 97,65 | 39,58 | C | 3 | 3 |
| 20 | 30711G0G04I2CAD | EF | S-LINE HIGH | SOUL/FEINSILBER | SP | 80 | 0,32 | 97,97 | 41,67 | C | 1 | 1 |
| 21 | 30711E0F02C1TAD | EF | PROGRESSIVE TWINLEDER | TITANGRAU/KUPFER | SP | 67 | 0,27 | 98,24 | 43,75 | C | 1 | 1 |
| 22 | 30711E0G04C1TAD | EF | PROGRESSIVE TWINLEDER | TITANGRAU/KUPFER | SP | 67 | 0,27 | 98,51 | 45,83 | C | 1 | 1 |
| 23 | 30711F0F03I2CAD | EF | S-LINE STANDARD | SOUL/FEINSILBER | SP | 66 | 0,27 | 98,78 | 47,92 | C | 1 | 1 |
| 24 | 30711E0F02C1CAD | EF | PROGRESSIVE TWINLEDER | GRANITGRAU/STAHLGRAU | SP | 64 | 0,26 | 99,04 | 50,00 | C | 2 | 2 |
| 25 | 30711G0F03I2CAD | EF | S-LINE HIGH | SOUL/FEINSILBER | SP | 57 | 0,23 | 99,27 | 52,08 | C | 2 | 2 |
| 26 | 30711F0G05I2CAD | EF | S-LINE STANDARD | SOUL/FEINSILBER | SP | 56 | 0,23 | 99,50 | 54,17 | C | 1 | 1 |
| 27 | 30711E0G04C1CAD | EF | PROGRESSIVE TWINLEDER | GRANITGRAU/STAHLGRAU | SP | 34 | 0,14 | 99,63 | 56,25 | C | 1 | 1 |
| 28 | 30711G0G05I2CAD | EF | S-LINE HIGH | SOUL/FEINSILBER | SP | 27 | 0,11 | 99,74 | 58,33 | C | 1 | 1 |

| | | | | | | | | | | | | |
|----|-----------------|----|-----------------------------|----------------------|----|----|------|--------|--------|---|---|---|
| 29 | 30711D0G03C0TAD | EF | DESIGN SELECTION | GRANITGRAU/KUPFER | SP | 12 | 0,05 | 99,79 | 60,42 | C | 1 | 1 |
| 30 | 30711D0F05C0TAD | EF | DESIGN SELECTION | GRANITGRAU/KUPFER | SP | 12 | 0,05 | 99,84 | 62,50 | C | 1 | 1 |
| 31 | 30711E0F03C1CAD | EF | PROGRESSIVE TWINLEDER | GRANITGRAU/STAHLGRAU | SP | 10 | 0,04 | 99,88 | 64,58 | C | 1 | 1 |
| 32 | 30711D0G04C0TAD | EF | DESIGN SELECTION | GRANITGRAU/KUPFER | SP | 10 | 0,04 | 99,92 | 66,67 | C | 1 | 1 |
| 33 | 30711F0G02I0UAD | EF | S-LINE STANDARD CITY CARVER | SOUL/PULSORANGE | SP | 10 | 0,04 | 99,96 | 68,75 | C | 1 | 1 |
| 34 | 30711F0F04I0UAD | EF | S-LINE STANDARD CITY CARVER | SOUL/PULSORANGE | SP | 10 | 0,04 | 100,00 | 70,83 | C | 1 | 1 |
| 35 | 30711E0G03C1TAD | EF | PROGRESSIVE TWINLEDER | TITANGRAU/KUPFER | SP | 0 | 0,00 | 100,00 | 72,92 | C | 0 | 0 |
| 36 | 30711D0F02C0TAD | EF | DESIGN SELECTION | GRANITGRAU/KUPFER | SP | 0 | 0,00 | 100,00 | 75,00 | C | 0 | 0 |
| 37 | 30711E0F05C1TAD | EF | PROGRESSIVE TWINLEDER | TITANGRAU/KUPFER | SP | 0 | 0,00 | 100,00 | 77,08 | C | 0 | 0 |
| 38 | 30711D0F03C0TAD | EF | DESIGN SELECTION | GRANITGRAU/KUPFER | SP | 0 | 0,00 | 100,00 | 79,17 | C | 0 | 0 |
| 39 | 30711F0G03I0UAD | EF | S-LINE STANDARD CITY CARVER | SOUL/PULSORANGE | SP | 0 | 0,00 | 100,00 | 81,25 | C | 0 | 0 |
| 40 | 30711F0F05I0UAD | EF | S-LINE STANDARD CITY CARVER | SOUL/PULSORANGE | SP | 0 | 0,00 | 100,00 | 83,33 | C | 0 | 0 |
| 41 | 30711E0F03C1TAD | EF | PROGRESSIVE TWINLEDER | TITANGRAU/KUPFER | SP | 0 | 0,00 | 100,00 | 85,42 | C | 0 | 0 |
| 42 | 30711E0G05C1CAD | EF | PROGRESSIVE TWINLEDER | GRANITGRAU/STAHLGRAU | SP | 0 | 0,00 | 100,00 | 87,50 | C | 0 | 0 |
| 43 | 30711D0G05C0TAD | EF | DESIGN SELECTION | GRANITGRAU/KUPFER | SP | 0 | 0,00 | 100,00 | 89,58 | C | 0 | 0 |
| 44 | 30711E0G05C1TAD | EF | PROGRESSIVE TWINLEDER | TITANGRAU/KUPFER | SP | 0 | 0,00 | 100,00 | 91,67 | C | 0 | 0 |
| 45 | 30711F0G04I0UAD | EF | S-LINE STANDARD CITY CARVER | SOUL/PULSORANGE | SP | 0 | 0,00 | 100,00 | 93,75 | C | 0 | 0 |
| 46 | 30711F0G05I0UAD | EF | S-LINE STANDARD CITY CARVER | SOUL/PULSORANGE | SP | 0 | 0,00 | 100,00 | 95,83 | C | 0 | 0 |
| 47 | 30711F0F02I0UAD | EF | S-LINE STANDARD CITY CARVER | SOUL/PULSORANGE | SP | 0 | 0,00 | 100,00 | 97,92 | C | 0 | 0 |
| 48 | 30711F0F03I0UAD | EF | S-LINE STANDARD CITY CARVER | SOUL/PULSORANGE | SP | 0 | 0,00 | 100,00 | 100,00 | C | 0 | 0 |

Por fim, na Tabela 34 encontra-se a análise ABC dos encostos traseiros do A1.

Tabela 34 - Análise ABC encostos traseiros A1

| | PN COINDU | Part | Variant | COLOR | TYPE | QTD | QTD % | ac. QTD % | ac. art % | Classe | 25996 | 0 | 56 |
|----|-----------------|------|-----------------------|----------------------|------|------|-------|-----------|-----------|--------|-------|----|----|
| | | | | | | | | | | | | | |
| 1 | 30711F0Q01I2CAF | ET | S-LINE STANDARD | SOUL/FEINSILBER | SP | 9370 | 36,04 | 36,04 | 8,33 | A | 0 | 18 | |
| 2 | 30711F0R01I2CAF | ET | S-LINE STANDARD | SOUL/FEINSILBER | SP | 9380 | 36,08 | 72,13 | 16,67 | A | 0 | 18 | |
| 3 | 30711G0R01I2CAF | ET | S-LINE HIGH | SOUL/FEINSILBER | SP | 2059 | 7,92 | 80,05 | 25,00 | B | 0 | 5 | |
| 4 | 30711G0Q01I2CAF | ET | S-LINE HIGH | SOUL/FEINSILBER | SP | 2059 | 7,92 | 87,97 | 33,33 | B | 0 | 5 | |
| 5 | 30711E0Q01C1CAF | ET | PROGRESSIVE TWINLEDER | GRANITGRAU/STAHLGRAU | SP | 1106 | 4,25 | 92,22 | 41,67 | C | 0 | 3 | |
| 6 | 30711E0R01C1CAF | ET | PROGRESSIVE TWINLEDER | GRANITGRAU/STAHLGRAU | SP | 1106 | 4,25 | 96,48 | 50,00 | C | 0 | 3 | |
| 7 | 30711D0Q01C0TAF | ET | DESIGN SELECTION | GRANITGRAU/KUPFER | SP | 208 | 0,80 | 97,28 | 58,33 | C | 0 | 1 | |
| 8 | 30711D0R01C0TAF | ET | DESIGN SELECTION | GRANITGRAU/KUPFER | SP | 208 | 0,80 | 98,08 | 66,67 | C | 0 | 1 | |
| 9 | 30711E0Q01C1TAF | ET | PROGRESSIVE TWINLEDER | TITANGRAU/KUPFER | SP | 250 | 0,96 | 99,04 | 75,00 | C | 0 | 1 | |
| 10 | 30711E0R01C1TAF | ET | PROGRESSIVE TWINLEDER | TITANGRAU/KUPFER | SP | 250 | 0,96 | 100,00 | 83,33 | C | 0 | 1 | |

| | | | | | | | | | | | | |
|----|-----------------|----|-----------------------------|-----------------|----|---|------|--------|--------|---|---|---|
| 11 | 30711F0R01I0UAF | ET | S-LINE STANDARD CITY CARVER | SOUL/PULSORANGE | SP | 0 | 0,00 | 100,00 | 91,67 | C | 0 | 0 |
| 12 | 30711F0Q01I0UAF | ET | S-LINE STANDARD CITY CARVER | SOUL/PULSORANGE | SP | 0 | 0,00 | 100,00 | 100,00 | C | 0 | 0 |

O mesmo procedimento foi replicado para os restantes projetos. Na Tabela 35 encontra-se o estudo das caixas necessárias para o projeto B9, no B9 foi necessário fazer a distinção entre variantes *basis* e *sport*, pois existem diferenças significativas entre estas duas variantes.

Tabela 35 - Estudo das caixas necessárias B9

| PN COINDU | EDI FORECAST | | Variante | Tipo | QTD teste | Caixa Couro kg | Caixa Tecidos kg | Módulo embalagem | QTD Máx Couro | QTD Máx Tecidos | MMC Couro | MMC Tecidos | QTD Efetiva Couro | QTD Efetiva Tecidos | EDI Diário Máximo | Variação Cliente (15%) | Stock (2dias) | Caixas Tecido Necessárias | 213 |
|-----------------|--------------|-----|---------------|------|-----------|----------------|------------------|------------------|---------------|-----------------|-----------|-------------|-------------------|---------------------|-------------------|------------------------|---------------|---------------------------|-----|
| | 16 | 39 | | | | | | | | | | | | | | | | | |
| 2719 | 1552 | | | | | | | | | | | | | | | | | | |
| 30715E0A00C0CAA | 4 | 0 | Basis Konzept | AF | 60 | - | 23,9 | 60 | 0 | 40 | 0 | 30 | 0 | 30 | 4 | 5 | 10 | 1 | |
| 30715E0A00I0IAA | 116 | 0 | Basis Konzept | AF | 60 | - | 23,9 | 60 | 0 | 40 | 0 | 30 | 0 | 30 | 84 | 97 | 194 | 7 | |
| 30715E0A00C0TAA | 0 | 0 | Basis Konzept | AF | 60 | - | 23,9 | 60 | 0 | 40 | 0 | 30 | 0 | 30 | 0 | 0 | 0 | 0 | |
| 30715M0A00I0IAA | 0 | 0 | Basis Konzept | AF | 60 | - | 23,9 | 60 | 0 | 40 | 0 | 30 | 0 | 30 | 0 | 0 | 0 | 0 | |
| 30715E1A00C0CAA | 0 | 0 | Basis Konzept | AF | 60 | - | 23,9 | 15 | 0 | 40 | 0 | 30 | 0 | 30 | 0,8 | 1 | 2 | 1 | |
| 30715E1A00I0IAA | 20 | 0 | Basis Konzept | AF | 60 | - | 23,9 | 15 | 0 | 40 | 0 | 30 | 0 | 30 | 10,8 | 13 | 26 | 1 | |
| 30715E0A01I0HAC | 10 | 180 | Sport System | AF | 60 | - | 23,8 | 60 | 0 | 40 | 0 | 30 | 0 | 30 | 92 | 106 | 212 | 8 | |
| 30715E0A01I0FAC | 14 | 0 | Sport System | AF | 60 | - | 23,8 | 60 | 0 | 40 | 0 | 30 | 0 | 30 | 4,8 | 6 | 12 | 1 | |
| 30715E0A01I0IAC | 480 | 300 | Sport System | AF | 60 | - | 23,8 | 60 | 0 | 40 | 0 | 30 | 0 | 30 | 288 | 332 | 664 | 23 | |
| 30715E1A01I0HAC | 0 | 0 | Sport System | AF | 60 | - | 23,8 | 15 | 0 | 40 | 0 | 30 | 0 | 30 | 10,4 | 12 | 24 | 1 | |
| 30715E1A01I0IAC | 90 | 0 | Sport System | AF | 60 | - | 23,8 | 15 | 0 | 40 | 0 | 30 | 0 | 30 | 26,8 | 31 | 62 | 3 | |

| | | | | | | | | | | | | | | | | | | |
|-----------------|---|---|---------------|----|----|---|------|----|---|----|---|----|---|----|-----|----|----|---|
| 30715E0K00C0CAA | 0 | 0 | Basis Konzept | AT | 30 | - | 28,0 | 30 | 0 | 17 | 0 | 15 | 0 | 15 | 2 | 3 | 6 | 1 |
| 30715E0K03C0CAB | 0 | 0 | Basis Konzept | AT | 30 | - | 28,0 | 30 | 0 | 17 | 0 | 15 | 0 | 15 | 0 | 0 | 0 | 0 |
| 30715E0K03C0CAC | 0 | 0 | Basis Konzept | AT | 30 | - | 28,0 | 30 | 0 | 17 | 0 | 15 | 0 | 15 | 0 | 0 | 0 | 0 |
| 30715E0K07C0CAB | 0 | 0 | Basis Konzept | AT | 30 | - | 28,0 | 30 | 0 | 17 | 0 | 15 | 0 | 15 | 0 | 0 | 0 | 0 |
| 30715E0K00I0IAA | 0 | 0 | Basis Konzept | AT | 30 | - | 28,0 | 30 | 0 | 17 | 0 | 15 | 0 | 15 | 30 | 35 | 70 | 5 |
| 30715E0K02I0IAA | 0 | 0 | Basis Konzept | AT | 30 | - | 28,0 | 30 | 0 | 17 | 0 | 15 | 0 | 15 | 0 | 0 | 0 | 0 |
| 30715E0K02I0IAB | 6 | 0 | Basis Konzept | AT | 30 | - | 28,0 | 30 | 0 | 17 | 0 | 15 | 0 | 15 | 1,2 | 2 | 4 | 1 |
| 30715E0K03I0IAB | 0 | 0 | Basis Konzept | AT | 30 | - | 28,0 | 30 | 0 | 17 | 0 | 15 | 0 | 15 | 0 | 0 | 0 | 0 |
| 30715E0K03I0IAC | 0 | 0 | Basis Konzept | AT | 30 | - | 28,0 | 30 | 0 | 17 | 0 | 15 | 0 | 15 | 0 | 0 | 0 | 0 |
| 30715E0K06I0IAA | 0 | 0 | Basis Konzept | AT | 30 | - | 28,0 | 30 | 0 | 17 | 0 | 15 | 0 | 15 | 1,2 | 2 | 4 | 1 |
| 30715E0K07I0IAC | 0 | 0 | Basis Konzept | AT | 30 | - | 28,0 | 30 | 0 | 17 | 0 | 15 | 0 | 15 | 1 | 2 | 4 | 1 |
| 30715E0K02C0TAB | 0 | 0 | Basis Konzept | AT | 30 | - | 28,0 | 30 | 0 | 17 | 0 | 15 | 0 | 15 | 0 | 0 | 0 | 0 |
| 30715E0K03C0TAB | 0 | 0 | Basis Konzept | AT | 30 | - | 28,0 | 30 | 0 | 17 | 0 | 15 | 0 | 15 | 0 | 0 | 0 | 0 |

| | | | | | | | | | | | | | | | | | | | |
|-----------------|-----|-----|---------------|----|----|---|------|----|---|----|---|----|---|----|-----|-----|-----|----|---|
| 30715E0K03C0TAC | 0 | 0 | Basis Konzept | AT | 30 | - | 28,0 | 30 | 0 | 17 | 0 | 15 | 0 | 15 | 0 | 0 | 0 | 0 | 0 |
| 30715E0K06C0TAA | 0 | 0 | Basis Konzept | AT | 30 | - | 28,0 | 30 | 0 | 17 | 0 | 15 | 0 | 15 | 0 | 0 | 0 | 0 | 0 |
| 30715E0K07C0TAC | 0 | 0 | Basis Konzept | AT | 30 | - | 28,0 | 30 | 0 | 17 | 0 | 15 | 0 | 15 | 0 | 0 | 0 | 0 | 0 |
| 30715M0K00I0IAA | 0 | 0 | Basis Konzept | AT | 30 | - | 28,0 | 30 | 0 | 17 | 0 | 15 | 0 | 15 | 0 | 0 | 0 | 0 | 0 |
| 30715E1K00C0CAA | 0 | 0 | Basis Konzept | AT | 30 | - | 28,0 | 10 | 0 | 17 | 0 | 10 | 0 | 10 | 0 | 0 | 0 | 0 | 0 |
| 30715E1K00I0IAA | 10 | 0 | Basis Konzept | AT | 30 | - | 28,0 | 10 | 0 | 17 | 0 | 10 | 0 | 10 | 4 | 5 | 10 | 1 | |
| 30715E0K01I0HAB | 6 | 90 | Sport System | AT | 20 | - | 18,4 | 30 | 0 | 17 | 0 | 15 | 0 | 15 | 46 | 53 | 106 | 8 | |
| 30715E0K04I0FAB | 0 | 0 | Sport System | AT | 20 | - | 18,4 | 30 | 0 | 17 | 0 | 15 | 0 | 15 | 0,6 | 1 | 2 | 1 | |
| 30715E0K05I0FAB | 0 | 0 | Sport System | AT | 20 | - | 18,4 | 30 | 0 | 17 | 0 | 15 | 0 | 15 | 0 | 0 | 0 | 0 | |
| 30715E0K05I0FAC | 0 | 0 | Sport System | AT | 20 | - | 18,4 | 30 | 0 | 17 | 0 | 15 | 0 | 15 | 0 | 0 | 0 | 0 | |
| 30715E0K08I0FAB | 0 | 0 | Sport System | AT | 20 | - | 18,4 | 30 | 0 | 17 | 0 | 15 | 0 | 15 | 1 | 2 | 4 | 1 | |
| 30715E0K09I0FAD | 0 | 0 | Sport System | AT | 20 | - | 18,4 | 30 | 0 | 17 | 0 | 15 | 0 | 15 | 1,8 | 3 | 6 | 1 | |
| 30715E0K01I0IAB | 180 | 120 | Sport System | AT | 20 | - | 18,4 | 30 | 0 | 17 | 0 | 15 | 0 | 15 | 126 | 145 | 290 | 20 | |
| 30715E0K04I0IAB | 1 | 0 | Sport System | AT | 20 | - | 18,4 | 30 | 0 | 17 | 0 | 15 | 0 | 15 | 1,2 | 2 | 4 | 1 | |
| 30715E0K05I0IAB | 0 | 0 | Sport System | AT | 20 | - | 18,4 | 30 | 0 | 17 | 0 | 15 | 0 | 15 | 0 | 0 | 0 | 0 | |
| 30715E0K05I0IAC | 0 | 0 | Sport System | AT | 20 | - | 18,4 | 30 | 0 | 17 | 0 | 15 | 0 | 15 | 0,2 | 1 | 2 | 1 | |

| | | | | | | | | | | | | | | | | | | |
|-----------------|-----|----|---------------|----|----|---|------|----|---|----|---|----|---|----|-----|----|----|---|
| 30715E0K08I0IAB | 18 | 2 | Sport System | AT | 20 | - | 18,4 | 30 | 0 | 17 | 0 | 15 | 0 | 15 | 5,2 | 6 | 12 | 1 |
| 30715E0K04I0HAB | 0 | 0 | Sport System | AT | 20 | - | 18,4 | 30 | 0 | 17 | 0 | 15 | 0 | 15 | 0 | 0 | 0 | 0 |
| 30715E0K05I0HAC | 0 | 0 | Sport System | AT | 20 | - | 18,4 | 30 | 0 | 17 | 0 | 15 | 0 | 15 | 0 | 0 | 0 | 0 |
| 30715E0K08I0HAB | 0 | 0 | Sport System | AT | 20 | - | 18,4 | 30 | 0 | 17 | 0 | 15 | 0 | 15 | 0 | 0 | 0 | 0 |
| 30715E0K09I0HAD | 0 | 0 | Sport System | AT | 20 | - | 18,4 | 30 | 0 | 17 | 0 | 15 | 0 | 15 | 0 | 0 | 0 | 0 |
| 30715E0K09I0IAD | 85 | 14 | Sport System | AT | 20 | - | 18,4 | 30 | 0 | 17 | 0 | 15 | 0 | 15 | 17 | 20 | 40 | 3 |
| 30715E1K01I0HAB | 0 | 0 | Sport System | AT | 20 | - | 18,4 | 10 | 0 | 17 | 0 | 10 | 0 | 10 | 5 | 6 | 12 | 2 |
| 30715E1K01I0IAB | 80 | 0 | Sport System | AT | 20 | - | 18,4 | 10 | 0 | 17 | 0 | 10 | 0 | 10 | 16 | 19 | 38 | 4 |
| 30715E0F00C0CAD | 4 | 0 | Basis Konzept | EF | 60 | - | 32,5 | 60 | 0 | 30 | 0 | 30 | 0 | 30 | 2 | 3 | 6 | 1 |
| 30715E0G00C0CAD | 2 | 0 | Basis Konzept | EF | 60 | - | 32,5 | 60 | 0 | 30 | 0 | 30 | 0 | 30 | 2 | 3 | 6 | 1 |
| 30715E0F00I0IAD | 120 | 0 | Basis Konzept | EF | 60 | - | 32,5 | 60 | 0 | 30 | 0 | 30 | 0 | 30 | 36 | 42 | 84 | 3 |
| 30715E0F02I0IAC | 16 | 0 | Basis Konzept | EF | 60 | - | 32,5 | 60 | 0 | 30 | 0 | 30 | 0 | 30 | 3,2 | 4 | 8 | 1 |
| 30715E0G00I0IAD | 0 | 0 | Basis Konzept | EF | 60 | - | 32,5 | 60 | 0 | 30 | 0 | 30 | 0 | 30 | 36 | 42 | 84 | 3 |
| 30715E0G02I0IAC | 16 | 0 | Basis Konzept | EF | 60 | - | 32,5 | 60 | 0 | 30 | 0 | 30 | 0 | 30 | 3,2 | 4 | 8 | 1 |
| 30715E0F00C0TAD | 0 | 0 | Basis Konzept | EF | 60 | - | 32,5 | 60 | 0 | 30 | 0 | 30 | 0 | 30 | 0 | 0 | 0 | 0 |
| 30715E0F02C0TAC | 0 | 0 | Basis Konzept | EF | 60 | - | 32,5 | 60 | 0 | 30 | 0 | 30 | 0 | 30 | 0 | 0 | 0 | 0 |
| 30715E0G00C0TAD | 0 | 0 | Basis Konzept | EF | 60 | - | 32,5 | 60 | 0 | 30 | 0 | 30 | 0 | 30 | 0 | 0 | 0 | 0 |
| 30715E0G02C0TAC | 0 | 0 | Basis Konzept | EF | 60 | - | 32,5 | 60 | 0 | 30 | 0 | 30 | 0 | 30 | 0 | 0 | 0 | 0 |
| 30715M0F00I0IAA | 0 | 0 | Basis Konzept | EF | 60 | - | 32,5 | 60 | 0 | 30 | 0 | 30 | 0 | 30 | 0 | 0 | 0 | 0 |

| | | | | | | | | | | | | | | | | | | | |
|-----------------|-----|-----|---------------|----|----|---|------|----|---|----|---|----|---|----|-----|-----|-----|----|---|
| 30715M0G00I0IAA | 0 | 0 | Basis Konzept | EF | 60 | - | 32,5 | 60 | 0 | 30 | 0 | 30 | 0 | 30 | 0 | 0 | 0 | 0 | 0 |
| 30715E1F00C0CAC | 0 | 0 | Basis Konzept | EF | 60 | - | 32,5 | 20 | 0 | 30 | 0 | 20 | 0 | 20 | 0 | 0 | 0 | 0 | 0 |
| 30715E1F00C0CAD | 0 | 0 | Basis Konzept | EF | 60 | - | 32,5 | 20 | 0 | 30 | 0 | 20 | 0 | 20 | 0 | 0 | 0 | 0 | 0 |
| 30715E1G00C0CAC | 0 | 0 | Basis Konzept | EF | 60 | - | 32,5 | 20 | 0 | 30 | 0 | 20 | 0 | 20 | 0 | 0 | 0 | 0 | 0 |
| 30715E1G00C0CAD | 0 | 0 | Basis Konzept | EF | 60 | - | 32,5 | 20 | 0 | 30 | 0 | 20 | 0 | 20 | 0 | 0 | 0 | 0 | 0 |
| 30715E1F00I0IAC | 0 | 0 | Basis Konzept | EF | 60 | - | 32,5 | 20 | 0 | 30 | 0 | 20 | 0 | 20 | 0 | 0 | 0 | 0 | 0 |
| 30715E1F00I0IAD | 13 | 0 | Basis Konzept | EF | 60 | - | 32,5 | 20 | 0 | 30 | 0 | 20 | 0 | 20 | 7,8 | 9 | 18 | 1 | |
| 30715E1G00I0IAC | 0 | 0 | Basis Konzept | EF | 60 | - | 32,5 | 20 | 0 | 30 | 0 | 20 | 0 | 20 | 0 | 0 | 0 | 0 | 0 |
| 30715E1G00I0IAD | 13 | 0 | Basis Konzept | EF | 60 | - | 32,5 | 20 | 0 | 30 | 0 | 20 | 0 | 20 | 7,8 | 9 | 18 | 1 | |
| 30715E0F01I0HAE | 5 | 90 | Sport System | EF | 60 | - | 31,7 | 60 | 0 | 30 | 0 | 30 | 0 | 30 | 46 | 53 | 106 | 4 | |
| 30715E0G01I0HAE | 5 | 90 | Sport System | EF | 60 | - | 31,7 | 60 | 0 | 30 | 0 | 30 | 0 | 30 | 46 | 53 | 106 | 4 | |
| 30715E0F01I0FAE | 12 | 0 | Sport System | EF | 60 | - | 31,7 | 60 | 0 | 30 | 0 | 30 | 0 | 30 | 2,4 | 3 | 6 | 1 | |
| 30715E0F03I0FAD | 0 | 0 | Sport System | EF | 60 | - | 31,7 | 60 | 0 | 30 | 0 | 30 | 0 | 30 | 0,8 | 1 | 2 | 1 | |
| 30715E0G01I0FAE | 12 | 0 | Sport System | EF | 60 | - | 31,7 | 60 | 0 | 30 | 0 | 30 | 0 | 30 | 2,4 | 3 | 6 | 1 | |
| 30715E0G03I0FAD | 0 | 0 | Sport System | EF | 60 | - | 31,7 | 60 | 0 | 30 | 0 | 30 | 0 | 30 | 0,8 | 1 | 2 | 1 | |
| 30715E0F01I0IAE | 240 | 120 | Sport System | EF | 60 | - | 31,7 | 60 | 0 | 30 | 0 | 30 | 0 | 30 | 144 | 166 | 332 | 12 | |
| 30715E0F03I0IAD | 1 | 1 | Sport System | EF | 60 | - | 31,7 | 60 | 0 | 30 | 0 | 30 | 0 | 30 | 1,2 | 2 | 4 | 1 | |
| 30715E0G01I0IAE | 180 | 120 | Sport System | EF | 60 | - | 31,7 | 60 | 0 | 30 | 0 | 30 | 0 | 30 | 144 | 166 | 332 | 12 | |
| 30715E0F03I0HAD | 0 | 0 | Sport System | EF | 60 | - | 31,7 | 60 | 0 | 30 | 0 | 30 | 0 | 30 | 0 | 0 | 0 | 0 | |

| | | | | | | | | | | | | | | | | | | | |
|-----------------|----|---|---------------|----|----|---|------|----|---|----|---|----|---|----|------|----|----|---|---|
| 30715E0G03I0HAD | 0 | 0 | Sport System | EF | 60 | - | 31,7 | 60 | 0 | 30 | 0 | 30 | 0 | 30 | 0 | 0 | 0 | 0 | 0 |
| 30715E0G03I0IAD | 1 | 1 | Sport System | EF | 60 | - | 31,7 | 60 | 0 | 30 | 0 | 30 | 0 | 30 | 1,2 | 2 | 4 | 1 | |
| 30715E1F01I0HAD | 0 | 0 | Sport System | EF | 60 | - | 31,7 | 20 | 0 | 30 | 0 | 20 | 0 | 20 | 0 | 0 | 0 | 0 | 0 |
| 30715E1F01I0HAE | 0 | 0 | Sport System | EF | 60 | - | 31,7 | 20 | 0 | 30 | 0 | 20 | 0 | 20 | 5,2 | 6 | 12 | 1 | |
| 30715E1G01I0HAD | 0 | 0 | Sport System | EF | 60 | - | 31,7 | 20 | 0 | 30 | 0 | 20 | 0 | 20 | 0 | 0 | 0 | 0 | 0 |
| 30715E1G01I0HAE | 0 | 0 | Sport System | EF | 60 | - | 31,7 | 20 | 0 | 30 | 0 | 20 | 0 | 20 | 5,2 | 6 | 12 | 1 | |
| 30715E1F01I0IAD | 0 | 0 | Sport System | EF | 60 | - | 31,7 | 20 | 0 | 30 | 0 | 20 | 0 | 20 | 0 | 0 | 0 | 0 | 0 |
| 30715E1F01I0IAE | 45 | 0 | Sport System | EF | 60 | - | 31,7 | 20 | 0 | 30 | 0 | 20 | 0 | 20 | 13,4 | 16 | 32 | 2 | |
| 30715E1G01I0IAD | 0 | 0 | Sport System | EF | 60 | - | 31,7 | 20 | 0 | 30 | 0 | 20 | 0 | 20 | 0 | 0 | 0 | 0 | 0 |
| 30715E1G01I0IAE | 45 | 0 | Sport System | EF | 60 | - | 31,7 | 20 | 0 | 30 | 0 | 20 | 0 | 20 | 13,4 | 16 | 32 | 2 | |
| 30715E0P00C0CAA | 0 | 0 | Basis Konzept | ET | 60 | - | 26,4 | 30 | 0 | 36 | 0 | 30 | 0 | 30 | 0 | 0 | 0 | 0 | 0 |
| 30715E0Q00C0CAB | 4 | 0 | Basis Konzept | ET | 60 | - | 26,4 | 60 | 0 | 36 | 0 | 30 | 0 | 30 | 2 | 3 | 6 | 1 | |
| 30715E0R00C0CAB | 2 | 0 | Basis Konzept | ET | 60 | - | 26,4 | 60 | 0 | 36 | 0 | 30 | 0 | 30 | 2 | 3 | 6 | 1 | |
| 30715E0P00I0IAA | 2 | 0 | Basis Konzept | ET | 60 | - | 26,4 | 30 | 0 | 36 | 0 | 30 | 0 | 30 | 0,6 | 1 | 2 | 1 | |
| 30715E0Q00I0IAB | 60 | 0 | Basis Konzept | ET | 60 | - | 26,4 | 60 | 0 | 36 | 0 | 30 | 0 | 30 | 36 | 42 | 84 | 3 | |
| 30715E0Q04I0IAA | 19 | 0 | Basis Konzept | ET | 60 | - | 26,4 | 60 | 0 | 36 | 0 | 30 | 0 | 30 | 3,8 | 5 | 10 | 1 | |
| 30715E0R00I0IAB | 60 | 0 | Basis Konzept | ET | 60 | - | 26,4 | 60 | 0 | 36 | 0 | 30 | 0 | 30 | 36 | 42 | 84 | 3 | |
| 30715E0R03I0IAA | 20 | 0 | Basis Konzept | ET | 60 | - | 26,4 | 60 | 0 | 36 | 0 | 30 | 0 | 30 | 4 | 5 | 10 | 1 | |
| 30715E0Q00C0TAB | 0 | 0 | Basis Konzept | ET | 60 | - | 26,4 | 60 | 0 | 36 | 0 | 30 | 0 | 30 | 0 | 0 | 0 | 0 | 0 |

| | | | | | | | | | | | | | | | | | | |
|-----------------|----|----|---------------|----|----|---|------|----|---|----|---|----|---|----|-----|----|-----|---|
| 30715E0Q04C0TAA | 0 | 0 | Basis Konzept | ET | 60 | - | 26,4 | 60 | 0 | 36 | 0 | 30 | 0 | 30 | 0 | 0 | 0 | 0 |
| 30715E0R00C0TAB | 0 | 0 | Basis Konzept | ET | 60 | - | 26,4 | 60 | 0 | 36 | 0 | 30 | 0 | 30 | 0 | 0 | 0 | 0 |
| 30715E0R03C0TAA | 0 | 0 | Basis Konzept | ET | 60 | - | 26,4 | 60 | 0 | 36 | 0 | 30 | 0 | 30 | 0 | 0 | 0 | 0 |
| 30715M0Q00I0IAA | 0 | 0 | Basis Konzept | ET | 60 | - | 26,4 | 60 | 0 | 36 | 0 | 30 | 0 | 30 | 0 | 0 | 0 | 0 |
| 30715M0R00I0IAA | 0 | 0 | Basis Konzept | ET | 60 | - | 26,4 | 60 | 0 | 36 | 0 | 30 | 0 | 30 | 0 | 0 | 0 | 0 |
| 30715E1P00C0CAA | 0 | 0 | Basis Konzept | ET | 60 | - | 26,4 | 10 | 0 | 36 | 0 | 30 | 0 | 30 | 0 | 0 | 0 | 0 |
| 30715E1Q00C0CAB | 0 | 0 | Basis Konzept | ET | 60 | - | 26,4 | 20 | 0 | 36 | 0 | 20 | 0 | 20 | 0 | 0 | 0 | 0 |
| 30715E1R00C0CAB | 0 | 0 | Basis Konzept | ET | 60 | - | 26,4 | 20 | 0 | 36 | 0 | 20 | 0 | 20 | 0 | 0 | 0 | 0 |
| 30715E1P00I0IAA | 0 | 0 | Basis Konzept | ET | 60 | - | 26,4 | 10 | 0 | 36 | 0 | 30 | 0 | 30 | 0 | 0 | 0 | 0 |
| 30715E1Q00I0IAB | 10 | 0 | Basis Konzept | ET | 60 | - | 26,4 | 20 | 0 | 36 | 0 | 20 | 0 | 20 | 4 | 5 | 10 | 1 |
| 30715E1R00I0IAB | 0 | 0 | Basis Konzept | ET | 60 | - | 26,4 | 20 | 0 | 36 | 0 | 20 | 0 | 20 | 4 | 5 | 10 | 1 |
| 30715E0P01I0HAB | 0 | 0 | Sport System | ET | 60 | - | 23,3 | 30 | 0 | 41 | 0 | 30 | 0 | 30 | 0,4 | 1 | 2 | 1 |
| 30715E0Q01I0HAC | 5 | 89 | Sport System | ET | 60 | - | 23,3 | 60 | 0 | 41 | 0 | 30 | 0 | 30 | 46 | 53 | 106 | 4 |
| 30715E0R02I0HAC | 5 | 89 | Sport System | ET | 60 | - | 23,3 | 60 | 0 | 41 | 0 | 30 | 0 | 30 | 46 | 53 | 106 | 4 |
| 30715E0Q05I0FAB | 0 | 0 | Sport System | ET | 60 | - | 23,3 | 60 | 0 | 41 | 0 | 30 | 0 | 30 | 1,6 | 2 | 4 | 1 |
| 30715E0R04I0FAB | 0 | 0 | Sport System | ET | 60 | - | 23,3 | 60 | 0 | 41 | 0 | 30 | 0 | 30 | 1,6 | 2 | 4 | 1 |
| 30715E0Q01I0FAC | 0 | 0 | Sport System | ET | 60 | - | 23,3 | 60 | 0 | 41 | 0 | 30 | 0 | 30 | 1 | 2 | 4 | 1 |
| 30715E0R02I0FAC | 0 | 0 | Sport System | ET | 60 | - | 23,3 | 60 | 0 | 41 | 0 | 30 | 0 | 30 | 1 | 2 | 4 | 1 |
| 30715E0P01I0IAB | 4 | 0 | Sport System | ET | 60 | - | 23,3 | 30 | 0 | 41 | 0 | 30 | 0 | 30 | 1,4 | 2 | 4 | 1 |

| | | | | | | | | | | | | | | | | | | |
|-----------------|-----|-----|--------------|----|----|---|------|----|---|----|---|----|---|----|-----|-----|-----|----|
| 30715E0Q01I0IAC | 240 | 120 | Sport System | ET | 60 | - | 23,3 | 60 | 0 | 41 | 0 | 30 | 0 | 30 | 144 | 166 | 332 | 12 |
| 30715E0Q05I0IAB | 19 | 3 | Sport System | ET | 60 | - | 23,3 | 60 | 0 | 41 | 0 | 30 | 0 | 30 | 5,6 | 7 | 14 | 1 |
| 30715E0R02I0IAC | 240 | 120 | Sport System | ET | 60 | - | 23,3 | 60 | 0 | 41 | 0 | 30 | 0 | 30 | 132 | 152 | 304 | 11 |
| 30715E0Q05I0HAB | 0 | 0 | Sport System | ET | 60 | - | 23,3 | 60 | 0 | 41 | 0 | 30 | 0 | 30 | 0 | 0 | 0 | 0 |
| 30715E0R04I0HAB | 0 | 0 | Sport System | ET | 60 | - | 23,3 | 60 | 0 | 41 | 0 | 30 | 0 | 30 | 0 | 0 | 0 | 0 |
| 30715E0R04I0IAB | 19 | 3 | Sport System | ET | 60 | - | 23,3 | 60 | 0 | 41 | 0 | 30 | 0 | 30 | 5,6 | 7 | 14 | 1 |
| 30715E1P01I0HAB | 0 | 0 | Sport System | ET | 60 | - | 23,3 | 10 | 0 | 41 | 0 | 40 | 0 | 40 | 1 | 2 | 4 | 1 |
| 30715E1Q01I0HAC | 0 | 0 | Sport System | ET | 60 | - | 23,3 | 20 | 0 | 41 | 0 | 40 | 0 | 40 | 4 | 5 | 10 | 1 |
| 30715E1R02I0HAC | 0 | 0 | Sport System | ET | 60 | - | 23,3 | 20 | 0 | 41 | 0 | 40 | 0 | 40 | 4 | 5 | 10 | 1 |
| 30715E1P01I0IAB | 0 | 0 | Sport System | ET | 60 | - | 23,3 | 10 | 0 | 41 | 0 | 40 | 0 | 40 | 1 | 2 | 4 | 1 |
| 30715E1Q01I0IAC | 80 | 0 | Sport System | ET | 60 | - | 23,3 | 20 | 0 | 41 | 0 | 40 | 0 | 40 | 16 | 19 | 38 | 1 |
| 30715E1R02I0IAC | 80 | 0 | Sport System | ET | 60 | - | 23,3 | 20 | 0 | 41 | 0 | 40 | 0 | 40 | 16 | 19 | 38 | 1 |

Como no projeto A1, também no projeto B9 foi necessário realizar a análise ABC para definir as referências de classe A e B de cada tipo de peça para o supermercado de semi-acabado, a análise ABC para os assentos da frente encontra-se na Tabela 36, para os assentos traseiros na Tabela 37, para os encostos da frente na Tabela 38 e para os encostos traseiros na Tabela 39.

Tabela 36 - Análise ABC assentos da frente B9

| | | | | | | 23469 | | | | 46 | |
|----|-----------------|------|---------|------------|------|-------|-------|-----------|-----------|--------|--------|
| | PN COINDU | Part | Variant | COLOR | TYPE | QTD | QTD % | Ac. QTD % | Ac. Art % | Classe | Caixas |
| 1 | 30715E0A010IAC | AF | SYSTEM | ANTHRAZIT | SP | 17100 | 72,9 | 72,9 | 9,1 | A | 23 |
| 2 | 30715E0A010HAC | AF | SYSTEM | ROT | SP | 2313 | 9,9 | 82,7 | 18,2 | B | 8 |
| 3 | 30715E0A001IAA | AF | KONZEPT | ANTHRAZIT | BS | 2216 | 9,4 | 92,2 | 27,3 | B | 7 |
| 4 | 30715E1A010IAC | AF | SYSTEM | ANTHRAZIT | SP | 1116 | 4,8 | 96,9 | 36,4 | C | 3 |
| 5 | 30715E1A010HAC | AF | SYSTEM | ROT | SP | 267 | 1,1 | 98,1 | 45,5 | C | 1 |
| 6 | 30715E0A010FAC | AF | SYSTEM | BLAU | SP | 212 | 0,9 | 99,0 | 54,5 | C | 1 |
| 7 | 30715E1A001IAA | AF | KONZEPT | ANTHRAZIT | BS | 152 | 0,6 | 99,6 | 63,6 | C | 1 |
| 8 | 30715E0A00C0CAA | AF | KONZEPT | FELSGRAU | BS | 85 | 0,4 | 100,0 | 72,7 | C | 1 |
| 9 | 30715E1A00C0CAA | AF | KONZEPT | FELSGRAU | BS | 8 | 0,0 | 100,0 | 81,8 | C | 1 |
| 10 | 30715E0A00C0TAA | AF | KONZEPT | DUNKELGRAU | BS | 0 | 0,0 | 100,0 | 90,9 | C | 0 |
| 11 | 30715M0A001IAA | AF | INDEX | ANTHRAZIT | BS | 0 | 0,0 | 100,0 | 100,0 | C | 0 |

Tabela 37 - Análise ABC assentos traseiros B9

| | | | | | | 11574 | | | | 53 | |
|----|-----------------|------|---------|-----------|------|-------|-------|---------|-----------|--------|--------|
| | PN COINDU | Part | Variant | COLOR | TYPE | QTD | QTD % | Ac. QTD | Ac. Art % | Classe | Caixas |
| 1 | 30715E0K010IAB | AT | SYSTEM | ANTHRAZIT | SP | 7157 | 61,8 | 61,8 | 2,7 | A | 20 |
| 2 | 30715E0K010HAB | AT | SYSTEM | ROT | SP | 1162 | 10,0 | 71,9 | 5,4 | B | 8 |
| 3 | 30715E0K0910IAD | AT | SYSTEM | ANTHRAZIT | SP | 1044 | 9,0 | 80,9 | 8,1 | B | 3 |
| 4 | 30715E0K0010IAA | AT | KONZEPT | ANTHRAZIT | BS | 930 | 8,0 | 88,9 | 10,8 | B | 5 |
| 5 | 30715E1K010IAB | AT | SYSTEM | ANTHRAZIT | SP | 530 | 4,6 | 93,5 | 13,5 | C | 4 |
| 6 | 30715E0K0810IAB | AT | SYSTEM | ANTHRAZIT | SP | 296 | 2,6 | 96,1 | 16,2 | C | 1 |
| 7 | 30715E1K0110HAB | AT | SYSTEM | ROT | SP | 115 | 1,0 | 97,1 | 18,9 | C | 2 |
| 8 | 30715E0K0410IAB | AT | SYSTEM | ANTHRAZIT | SP | 69 | 0,6 | 97,7 | 21,6 | C | 1 |
| 9 | 30715E1K0010IAA | AT | KONZEPT | ANTHRAZIT | BS | 50 | 0,4 | 98,1 | 24,3 | C | 1 |
| 10 | 30715E0K0910FAD | AT | SYSTEM | BLAU | SP | 46 | 0,4 | 98,5 | 27,0 | C | 1 |
| 11 | 30715E0K00C0CAA | AT | KONZEPT | FELSGRAU | BS | 42 | 0,4 | 98,9 | 29,7 | C | 1 |
| 12 | 30715E0K0610IAA | AT | KONZEPT | ANTHRAZIT | BS | 37 | 0,3 | 99,2 | 32,4 | C | 1 |
| 13 | 30715E0K0210IAB | AT | KONZEPT | ANTHRAZIT | BS | 36 | 0,3 | 99,5 | 35,1 | C | 1 |
| 14 | 30715E0K0710IAC | AT | KONZEPT | ANTHRAZIT | BS | 23 | 0,2 | 99,7 | 37,8 | C | 1 |
| 15 | 30715E0K0810FAB | AT | SYSTEM | BLAU | SP | 20 | 0,2 | 99,9 | 40,5 | C | 1 |

| | | | | | | | | | | | |
|----|-----------------|----|---------|------------|----|----|-----|-------|-------|---|---|
| 16 | 30715E0K04I0FAB | AT | SYSTEM | BLAU | SP | 13 | 0,1 | 100,0 | 43,2 | C | 1 |
| 17 | 30715E0K05I0IAC | AT | SYSTEM | ANTHRAZIT | SP | 4 | 0,0 | 100,0 | 45,9 | C | 1 |
| 18 | 30715E0K03C0CAB | AT | KONZEPT | FELSGRAU | BS | 0 | 0,0 | 100,0 | 48,6 | C | 0 |
| 19 | 30715E0K03C0CAC | AT | KONZEPT | FELSGRAU | BS | 0 | 0,0 | 100,0 | 51,4 | C | 0 |
| 20 | 30715E0K07C0CAB | AT | KONZEPT | FELSGRAU | BS | 0 | 0,0 | 100,0 | 54,1 | C | 0 |
| 21 | 30715E0K02I0IAA | AT | KONZEPT | ANTHRAZIT | BS | 0 | 0,0 | 100,0 | 56,8 | C | 0 |
| 22 | 30715E0K03I0IAB | AT | KONZEPT | ANTHRAZIT | BS | 0 | 0,0 | 100,0 | 59,5 | C | 0 |
| 23 | 30715E0K03I0IAC | AT | KONZEPT | ANTHRAZIT | BS | 0 | 0,0 | 100,0 | 62,2 | C | 0 |
| 24 | 30715E0K02C0TAB | AT | KONZEPT | DUNKELGRAU | BS | 0 | 0,0 | 100,0 | 64,9 | C | 0 |
| 25 | 30715E0K03C0TAB | AT | KONZEPT | DUNKELGRAU | BS | 0 | 0,0 | 100,0 | 67,6 | C | 0 |
| 26 | 30715E0K03C0TAC | AT | KONZEPT | DUNKELGRAU | BS | 0 | 0,0 | 100,0 | 70,3 | C | 0 |
| 27 | 30715E0K06C0TAA | AT | KONZEPT | DUNKELGRAU | BS | 0 | 0,0 | 100,0 | 73,0 | C | 0 |
| 28 | 30715E0K07C0TAC | AT | KONZEPT | DUNKELGRAU | BS | 0 | 0,0 | 100,0 | 75,7 | C | 0 |
| 29 | 30715M0K00I0IAA | AT | INDEX | ANTHRAZIT | BS | 0 | 0,0 | 100,0 | 78,4 | C | 0 |
| 30 | 30715E1K00C0CAA | AT | KONZEPT | FELSGRAU | BS | 0 | 0,0 | 100,0 | 81,1 | C | 0 |
| 31 | 30715E0K05I0FAB | AT | SYSTEM | BLAU | SP | 0 | 0,0 | 100,0 | 83,8 | C | 0 |
| 32 | 30715E0K05I0FAC | AT | SYSTEM | BLAU | SP | 0 | 0,0 | 100,0 | 86,5 | C | 0 |
| 33 | 30715E0K05I0IAB | AT | SYSTEM | ANTHRAZIT | SP | 0 | 0,0 | 100,0 | 89,2 | C | 0 |
| 34 | 30715E0K04I0HAB | AT | SYSTEM | ROT | SP | 0 | 0,0 | 100,0 | 91,9 | C | 0 |
| 35 | 30715E0K05I0HAC | AT | SYSTEM | ROT | SP | 0 | 0,0 | 100,0 | 94,6 | C | 0 |
| 36 | 30715E0K08I0HAB | AT | SYSTEM | ROT | SP | 0 | 0,0 | 100,0 | 97,3 | C | 0 |
| 37 | 30715E0K09I0HAD | AT | SYSTEM | ROT | SP | 0 | 0,0 | 100,0 | 100,0 | C | 0 |

Tabela 38 - Análise ABC encostos da frente B9

| | PN COINDU | Part | Variant | COLOR | TYPE | QTD | QTD % | Ac. QTD % | Ac. Art. % | Classe | Caixas |
|----|-----------------|------|---------|-----------|------|------|-------|-----------|------------|--------|--------|
| | | | | | | | | | | 23478 | 56 |
| 1 | 30715E0F01I0IAE | EF | SYSTEM | ANTHRAZIT | SP | 8516 | 36,3 | 36,3 | 2,5 | A | 12 |
| 2 | 30715E0G01I0IAE | EF | SYSTEM | ANTHRAZIT | SP | 8460 | 36,0 | 72,3 | 5,0 | A | 12 |
| 3 | 30715E0F01I0HAE | EF | SYSTEM | ROT | SP | 1159 | 4,9 | 77,2 | 7,5 | B | 4 |
| 4 | 30715E0G01I0HAE | EF | SYSTEM | ROT | SP | 1159 | 4,9 | 82,2 | 10,0 | B | 4 |
| 5 | 30715E0F00I0IAD | EF | KONZEPT | ANTHRAZIT | BS | 1080 | 4,6 | 86,8 | 12,5 | B | 3 |
| 6 | 30715E0G00I0IAD | EF | KONZEPT | ANTHRAZIT | BS | 1020 | 4,3 | 91,1 | 15,0 | B | 3 |
| 7 | 30715E1F01I0IAE | EF | SYSTEM | ANTHRAZIT | SP | 558 | 2,4 | 93,5 | 17,5 | C | 2 |
| 8 | 30715E1G01I0IAE | EF | SYSTEM | ANTHRAZIT | SP | 558 | 2,4 | 95,9 | 20,0 | C | 2 |
| 9 | 30715E1F01I0HAE | EF | SYSTEM | ROT | SP | 133 | 0,6 | 96,4 | 22,5 | C | 1 |
| 10 | 30715E1G01I0HAE | EF | SYSTEM | ROT | SP | 132 | 0,6 | 97,0 | 25,0 | C | 1 |

| | | | | | | | | | | | |
|----|-----------------|----|---------|------------|----|----|-----|-------|-------|---|---|
| 11 | 30715E0F01I0FAE | EF | SYSTEM | BLAU | SP | 94 | 0,4 | 97,4 | 27,5 | C | 1 |
| 12 | 30715E0G01I0FAE | EF | SYSTEM | BLAU | SP | 94 | 0,4 | 97,8 | 30,0 | C | 1 |
| 13 | 30715E1F00I0IAD | EF | KONZEPT | ANTHRAZIT | BS | 79 | 0,3 | 98,1 | 32,5 | C | 1 |
| 14 | 30715E1G00I0IAD | EF | KONZEPT | ANTHRAZIT | BS | 79 | 0,3 | 98,5 | 35,0 | C | 1 |
| 15 | 30715E0F03I0IAD | EF | SYSTEM | ANTHRAZIT | SP | 72 | 0,3 | 98,8 | 37,5 | C | 1 |
| 16 | 30715E0G03I0IAD | EF | SYSTEM | ANTHRAZIT | SP | 71 | 0,3 | 99,1 | 40,0 | C | 1 |
| 17 | 30715E0G02I0IAC | EF | KONZEPT | ANTHRAZIT | BS | 53 | 0,2 | 99,3 | 42,5 | C | 1 |
| 18 | 30715E0F02I0IAC | EF | KONZEPT | ANTHRAZIT | BS | 52 | 0,2 | 99,5 | 45,0 | C | 1 |
| 19 | 30715E0F00C0CAD | EF | KONZEPT | FELSGRAU | BS | 43 | 0,2 | 99,7 | 47,5 | C | 1 |
| 20 | 30715E0G00C0CAD | EF | KONZEPT | FELSGRAU | BS | 40 | 0,2 | 99,9 | 50,0 | C | 1 |
| 21 | 30715E0F03I0FAD | EF | SYSTEM | BLAU | SP | 13 | 0,1 | 99,9 | 52,5 | C | 1 |
| 22 | 30715E0G03I0FAD | EF | SYSTEM | BLAU | SP | 13 | 0,1 | 100,0 | 55,0 | C | 1 |
| 23 | 30715E0F00C0TAD | EF | KONZEPT | DUNKELGRAU | BS | 0 | 0,0 | 100,0 | 57,5 | C | 0 |
| 24 | 30715E0F02C0TAC | EF | KONZEPT | DUNKELGRAU | BS | 0 | 0,0 | 100,0 | 60,0 | C | 0 |
| 25 | 30715E0G00C0TAD | EF | KONZEPT | DUNKELGRAU | BS | 0 | 0,0 | 100,0 | 62,5 | C | 0 |
| 26 | 30715E0G02C0TAC | EF | KONZEPT | DUNKELGRAU | BS | 0 | 0,0 | 100,0 | 65,0 | C | 0 |
| 27 | 30715M0F00I0IAA | EF | INDEX | ANTHRAZIT | BS | 0 | 0,0 | 100,0 | 67,5 | C | 0 |
| 28 | 30715M0G00I0IAA | EF | INDEX | ANTHRAZIT | BS | 0 | 0,0 | 100,0 | 70,0 | C | 0 |
| 29 | 30715E1F00C0CAC | EF | KONZEPT | FELSGRAU | BS | 0 | 0,0 | 100,0 | 72,5 | C | 0 |
| 30 | 30715E1F00C0CAD | EF | KONZEPT | FELSGRAU | BS | 0 | 0,0 | 100,0 | 75,0 | C | 0 |
| 31 | 30715E1G00C0CAC | EF | KONZEPT | FELSGRAU | BS | 0 | 0,0 | 100,0 | 77,5 | C | 0 |
| 32 | 30715E1G00C0CAD | EF | KONZEPT | FELSGRAU | BS | 0 | 0,0 | 100,0 | 80,0 | C | 0 |
| 33 | 30715E1F00I0IAC | EF | KONZEPT | ANTHRAZIT | BS | 0 | 0,0 | 100,0 | 82,5 | C | 0 |
| 34 | 30715E1G00I0IAC | EF | KONZEPT | ANTHRAZIT | BS | 0 | 0,0 | 100,0 | 85,0 | C | 0 |
| 35 | 30715E0F03I0HAD | EF | SYSTEM | ROT | SP | 0 | 0,0 | 100,0 | 87,5 | C | 0 |
| 36 | 30715E0G03I0HAD | EF | SYSTEM | ROT | SP | 0 | 0,0 | 100,0 | 90,0 | C | 0 |
| 37 | 30715E1F01I0HAD | EF | SYSTEM | ROT | SP | 0 | 0,0 | 100,0 | 92,5 | C | 0 |
| 38 | 30715E1G01I0HAD | EF | SYSTEM | ROT | SP | 0 | 0,0 | 100,0 | 95,0 | C | 0 |
| 39 | 30715E1F01I0IAD | EF | SYSTEM | ANTHRAZIT | SP | 0 | 0,0 | 100,0 | 97,5 | C | 0 |
| 40 | 30715E1G01I0IAD | EF | SYSTEM | ANTHRAZIT | SP | 0 | 0,0 | 100,0 | 100,0 | C | 0 |

Tabela 39 - Análise ABC encostos traseiros B9

| | 23076 | | | | | | | | 58 | | |
|---|-----------------|------|---------|-----------|------|------|-------|-----------|-----------|--------|--------|
| | PN COINDU | Part | Variant | COLOR | TYPE | QTD | QTD % | Ac. QTD % | Ac. Art % | Classe | Caixas |
| 1 | 30715E0Q01I0IAC | ET | SYSTEM | ANTHRAZIT | SP | 8100 | 35,1 | 35,1 | 2,5 | A | 12 |
| 2 | 30715E0R02I0IAC | ET | SYSTEM | ANTHRAZIT | SP | 8100 | 35,1 | 70,2 | 5,0 | A | 11 |

| | | | | | | | | | | | |
|----|-----------------|----|---------|------------|----|------|-----|-------|-------|---|---|
| 3 | 30715E0R02I0HAC | ET | SYSTEM | ROT | SP | 1153 | 5,0 | 75,2 | 7,5 | B | 4 |
| 4 | 30715E0Q01I0HAC | ET | SYSTEM | ROT | SP | 1151 | 5,0 | 80,2 | 10,0 | B | 4 |
| 5 | 30715E0Q00I0IAB | ET | KONZEPT | ANTHRAZIT | BS | 1020 | 4,4 | 84,6 | 12,5 | B | 3 |
| 6 | 30715E0R00I0IAB | ET | KONZEPT | ANTHRAZIT | BS | 1020 | 4,4 | 89,0 | 15,0 | B | 3 |
| 7 | 30715E1Q01I0IAC | ET | SYSTEM | ANTHRAZIT | SP | 500 | 2,2 | 91,2 | 17,5 | C | 1 |
| 8 | 30715E1R02I0IAC | ET | SYSTEM | ANTHRAZIT | SP | 500 | 2,2 | 93,4 | 20,0 | C | 1 |
| 9 | 30715E0Q05I0IAB | ET | SYSTEM | ANTHRAZIT | SP | 372 | 1,6 | 95,0 | 22,5 | C | 1 |
| 10 | 30715E0R04I0IAB | ET | SYSTEM | ANTHRAZIT | SP | 369 | 1,6 | 96,6 | 25,0 | C | 1 |
| 11 | 30715E1R02I0HAC | ET | SYSTEM | ROT | SP | 99 | 0,4 | 97,0 | 27,5 | C | 1 |
| 12 | 30715E1Q01I0HAC | ET | SYSTEM | ROT | SP | 97 | 0,4 | 97,4 | 30,0 | C | 1 |
| 13 | 30715E0Q04I0IAA | ET | KONZEPT | ANTHRAZIT | BS | 96 | 0,4 | 97,8 | 32,5 | C | 1 |
| 14 | 30715E0R03I0IAA | ET | KONZEPT | ANTHRAZIT | BS | 82 | 0,4 | 98,2 | 35,0 | C | 1 |
| 15 | 30715E0P01I0IAB | ET | SYSTEM | ANTHRAZIT | SP | 57 | 0,2 | 98,4 | 37,5 | C | 1 |
| 16 | 30715E1Q00I0IAB | ET | KONZEPT | ANTHRAZIT | BS | 50 | 0,2 | 98,7 | 40,0 | C | 1 |
| 17 | 30715E0R04I0FAB | ET | SYSTEM | BLAU | SP | 42 | 0,2 | 98,8 | 42,5 | C | 1 |
| 18 | 30715E0Q00C0CAB | ET | KONZEPT | FELSGRAU | BS | 41 | 0,2 | 99,0 | 45,0 | C | 1 |
| 19 | 30715E1R00I0IAB | ET | KONZEPT | ANTHRAZIT | BS | 40 | 0,2 | 99,2 | 47,5 | C | 1 |
| 20 | 30715E0R00C0CAB | ET | KONZEPT | FELSGRAU | BS | 37 | 0,2 | 99,3 | 50,0 | C | 1 |
| 21 | 30715E1P01I0IAB | ET | SYSTEM | ANTHRAZIT | SP | 35 | 0,2 | 99,5 | 52,5 | C | 1 |
| 22 | 30715E0R02I0FAC | ET | SYSTEM | BLAU | SP | 32 | 0,1 | 99,6 | 55,0 | C | 1 |
| 23 | 30715E0Q05I0FAB | ET | SYSTEM | BLAU | SP | 31 | 0,1 | 99,8 | 57,5 | C | 1 |
| 24 | 30715E0Q01I0FAC | ET | SYSTEM | BLAU | SP | 30 | 0,1 | 99,9 | 60,0 | C | 1 |
| 25 | 30715E1P01I0HAB | ET | SYSTEM | ROT | SP | 11 | 0,0 | 100,0 | 62,5 | C | 1 |
| 26 | 30715E0P00I0IAA | ET | KONZEPT | ANTHRAZIT | BS | 9 | 0,0 | 100,0 | 65,0 | C | 1 |
| 27 | 30715E0P01I0HAB | ET | SYSTEM | ROT | SP | 2 | 0,0 | 100,0 | 67,5 | C | 1 |
| 28 | 30715E0P00C0CAA | ET | KONZEPT | FELSGRAU | BS | 0 | 0,0 | 100,0 | 70,0 | C | 0 |
| 29 | 30715E0Q00C0TAB | ET | KONZEPT | DUNKELGRAU | BS | 0 | 0,0 | 100,0 | 72,5 | C | 0 |
| 30 | 30715E0Q04C0TAA | ET | KONZEPT | DUNKELGRAU | BS | 0 | 0,0 | 100,0 | 75,0 | C | 0 |
| 31 | 30715E0R00C0TAB | ET | KONZEPT | DUNKELGRAU | BS | 0 | 0,0 | 100,0 | 77,5 | C | 0 |
| 32 | 30715E0R03C0TAA | ET | KONZEPT | DUNKELGRAU | BS | 0 | 0,0 | 100,0 | 80,0 | C | 0 |
| 33 | 30715M0Q00I0IAA | ET | INDEX | ANTHRAZIT | BS | 0 | 0,0 | 100,0 | 82,5 | C | 0 |
| 34 | 30715M0R00I0IAA | ET | INDEX | ANTHRAZIT | BS | 0 | 0,0 | 100,0 | 85,0 | C | 0 |
| 35 | 30715E1P00C0CAA | ET | KONZEPT | FELSGRAU | BS | 0 | 0,0 | 100,0 | 87,5 | C | 0 |
| 36 | 30715E1Q00C0CAB | ET | KONZEPT | FELSGRAU | BS | 0 | 0,0 | 100,0 | 90,0 | C | 0 |
| 37 | 30715E1R00C0CAB | ET | KONZEPT | FELSGRAU | BS | 0 | 0,0 | 100,0 | 92,5 | C | 0 |
| 38 | 30715E1P00I0IAA | ET | KONZEPT | ANTHRAZIT | BS | 0 | 0,0 | 100,0 | 95,0 | C | 0 |
| 39 | 30715E0Q05I0HAB | ET | SYSTEM | ROT | SP | 0 | 0,0 | 100,0 | 97,5 | C | 0 |
| 40 | 30715E0R04I0HAB | ET | SYSTEM | ROT | SP | 0 | 0,0 | 100,0 | 100,0 | C | 0 |

No projeto AB3 tecido é necessário fazer a distinção entre as variantes *index*, *rallye* e *reggata* para cada tipo de peça, encontrando-se na Tabela 40 o estudo realizado para este projeto.

Tabela 40 - Estudo das caixas necessárias AB3 tecido

| PN COINDU | EDI FORECAST | | Variante | Tipo | QTD teste | Caixa Couro kg | Caixa Tecidos kg | Módulo embalagem | QTD Máx Couro | QTD Máx Tecidos | MMC Couro | MMC Tecidos | QTD Efetiva Couro | QTD Efetiva Tecidos | EDI Diário Máximo | Variação Cliente (15%) | Stock (2dias) | 9 | 555 | |
|-----------------|--------------|-----|-----------|------|-----------|----------------|------------------|------------------|---------------|-----------------|-----------|-------------|-------------------|---------------------|-------------------|------------------------|---------------|---|-----|---|
| | 16 | 39 | | | | | | | | | | | | | | | | | | |
| 30708F4A00I0IAA | 0 | 0 | Basis IDX | AF | 48 | - | 16,5 | 0 | 0 | 47 | 0 | 0 | 0 | 0 | 9,6 | 12 | 24 | 0 | 0 | |
| 30708G4A00I1IAA | 0 | 0 | Sport Ral | AF | 60 | - | 22,3 | 0 | 0 | 43 | 0 | 0 | 0 | 0 | 0 | 0 | 0 | 0 | 0 | 0 |
| 30708G4A00I1IAB | 0 | 0 | Sport Ral | AF | 60 | - | 22,3 | 0 | 0 | 43 | 0 | 0 | 0 | 0 | 29,6 | 35 | 70 | 0 | 0 | |
| 30708G4A00I2IAA | 48 | 0 | Sport Ral | AF | 60 | - | 22,3 | 0 | 0 | 43 | 0 | 0 | 0 | 0 | 9,6 | 12 | 24 | 0 | 0 | |
| 30708G4A00I3IAA | 0 | 0 | Sport Ral | AF | 60 | - | 22,3 | 0 | 0 | 43 | 0 | 0 | 0 | 0 | 0 | 0 | 0 | 0 | 0 | 0 |
| 30708H4B00I0IAA | 0 | 0 | Basis Reg | AF | 28 | - | 16,0 | 0 | 0 | 28 | 0 | 0 | 0 | 0 | 2 | 3 | 6 | 0 | 0 | 0 |
| 30708H4B00C0CAA | 0 | 0 | Basis Reg | AF | 28 | - | 16,0 | 0 | 0 | 28 | 0 | 0 | 0 | 0 | 0,4 | 1 | 2 | 0 | 0 | 0 |
| 30708H4B00T0TAA | 0 | 0 | Basis Reg | AF | 28 | - | 16,0 | 0 | 0 | 28 | 0 | 0 | 0 | 0 | 0 | 0 | 0 | 0 | 0 | 0 |
| 30708H4C00I0IAA | 0 | 0 | Basis Reg | AF | 28 | 7,4 | 15,2 | 0 | 61 | 29 | 0 | 0 | 0 | 0 | 1,8 | 3 | 6 | 0 | 0 | 0 |
| 30708H4C00C0CAA | 5 | 0 | Basis Reg | AF | 28 | 7,4 | 15,2 | 0 | 61 | 29 | 0 | 0 | 0 | 0 | 1 | 2 | 4 | 0 | 0 | 0 |
| 30708H4C00T0TAA | 0 | 0 | Basis Reg | AF | 28 | 7,4 | 15,2 | 0 | 61 | 29 | 0 | 0 | 0 | 0 | 0,2 | 1 | 2 | 0 | 0 | 0 |
| 30708F1A00I0IAA | 1600 | 576 | Basis IDX | AF | 48 | - | 16,5 | 16 | 0 | 47 | 0 | 32 | 0 | 32 | 486,4 | 560 | 1120 | 0 | 35 | |
| 30708G1A00I1IAB | 768 | 512 | Sport Ral | AF | 60 | - | 22,3 | 16 | 0 | 43 | 0 | 32 | 0 | 32 | 358,4 | 413 | 826 | 0 | 26 | |
| 30708H1B00I0IAA | 3 | 91 | Basis Reg | AF | 28 | - | 16,0 | 7 | 0 | 28 | 0 | 28 | 0 | 28 | 81,2 | 94 | 188 | 0 | 7 | |

| | | | | | | | | | | | | | | | | | | | |
|-----------------|-----|----|-----------|----|----|-----|------|----|----|----|----|----|----|----|------|----|-----|---|---|
| 30708H1C00I0IAA | 182 | 91 | Basis Reg | AF | 28 | 7,4 | 15,2 | 7 | 61 | 29 | 56 | 28 | 28 | 28 | 81,2 | 94 | 188 | 7 | 7 |
| 30708H1B00C0CAA | 28 | 7 | Basis Reg | AF | 28 | - | 16,0 | 7 | 0 | 28 | 0 | 28 | 0 | 28 | 9,8 | 12 | 24 | 0 | 1 |
| 30708H1C00C0CAA | 7 | 7 | Basis Reg | AF | 28 | 7,4 | 15,2 | 7 | 61 | 29 | 56 | 28 | 28 | 28 | 9,8 | 12 | 24 | 1 | 1 |
| 30708H1B00T0TAA | 0 | 7 | Basis Reg | AF | 28 | - | 16,0 | 7 | 0 | 28 | 0 | 28 | 0 | 28 | 11,2 | 13 | 26 | 0 | 1 |
| 30708H1C00T0TAA | 14 | 7 | Basis Reg | AF | 28 | 7,4 | 15,2 | 7 | 61 | 29 | 56 | 28 | 28 | 28 | 11,2 | 13 | 26 | 1 | 1 |
| 30708F4K00I0IAA | 0 | 0 | Basis IDX | AT | 30 | - | 20,1 | 0 | 0 | 24 | 0 | 0 | 0 | 0 | 0 | 0 | 0 | 0 | 0 |
| 30708F4K01I0IAA | 0 | 0 | Basis IDX | AT | 30 | - | 20,1 | 0 | 0 | 24 | 0 | 0 | 0 | 0 | 0 | 0 | 0 | 0 | 0 |
| 30708F3L00I0IAA | 7 | 0 | Basis IDX | AT | 30 | - | 20,1 | 12 | 0 | 24 | 0 | 24 | 0 | 24 | 4,8 | 6 | 12 | 0 | 1 |
| 30708F3M00I0IAA | 7 | 0 | Basis IDX | AT | 30 | - | 20,1 | 12 | 0 | 24 | 0 | 24 | 0 | 24 | 4,8 | 6 | 12 | 0 | 1 |
| 30708G4K00I1IAA | 0 | 0 | Sport Ral | AT | 24 | - | 18,8 | 0 | 0 | 20 | 0 | 0 | 0 | 0 | 0 | 0 | 0 | 0 | 0 |
| 30708G4K00I2IAA | 0 | 0 | Sport Ral | AT | 24 | - | 18,8 | 0 | 0 | 20 | 0 | 0 | 0 | 0 | 0 | 0 | 0 | 0 | 0 |
| 30708G4K00I3IAA | 0 | 0 | Sport Ral | AT | 24 | - | 18,8 | 0 | 0 | 20 | 0 | 0 | 0 | 0 | 0 | 0 | 0 | 0 | 0 |
| 30708G4K01I1IAA | 0 | 0 | Sport Ral | AT | 24 | - | 18,8 | 0 | 0 | 20 | 0 | 0 | 0 | 0 | 0 | 0 | 0 | 0 | 0 |
| 30708G4K01I2IAA | 0 | 0 | Sport Ral | AT | 24 | - | 18,8 | 0 | 0 | 20 | 0 | 0 | 0 | 0 | 0 | 0 | 0 | 0 | 0 |
| 30708G4K01I3IAA | 0 | 0 | Sport Ral | AT | 24 | - | 18,8 | 0 | 0 | 20 | 0 | 0 | 0 | 0 | 0 | 0 | 0 | 0 | 0 |
| 30708G3L00I1IAA | 0 | 0 | Sport Ral | AT | 24 | - | 18,8 | 12 | 0 | 20 | 0 | 12 | 0 | 12 | 15 | 18 | 36 | 0 | 3 |
| 30708G3L00I2IAA | 24 | 0 | Sport Ral | AT | 24 | - | 18,8 | 12 | 0 | 20 | 0 | 12 | 0 | 12 | 4,8 | 6 | 12 | 0 | 1 |
| 30708G3L00I3IAA | 0 | 0 | Sport Ral | AT | 24 | - | 18,8 | 12 | 0 | 20 | 0 | 12 | 0 | 12 | 0 | 0 | 0 | 0 | 0 |
| 30708G3M00I1IAA | 0 | 0 | Sport Ral | AT | 24 | - | 18,8 | 12 | 0 | 20 | 0 | 12 | 0 | 12 | 15 | 18 | 36 | 0 | 3 |
| 30708G3M00I2IAA | 24 | 0 | Sport Ral | AT | 24 | - | 18,8 | 12 | 0 | 20 | 0 | 12 | 0 | 12 | 4,8 | 6 | 12 | 0 | 1 |
| 30708G3M00I3IAA | 0 | 0 | Sport Ral | AT | 24 | - | 18,8 | 12 | 0 | 20 | 0 | 12 | 0 | 12 | 0 | 0 | 0 | 0 | 0 |
| 30708H4K02I0IAA | 0 | 0 | Basis Reg | AT | 24 | - | 30,6 | 0 | 0 | 13 | 0 | 0 | 0 | 0 | 0 | 0 | 0 | 0 | 0 |

| | | | | | | | | | | | | | | | | | | | | |
|-----------------|-----|-----|-----------|----|----|---|------|----|---|----|---|----|---|----|------|-----|-----|---|----|---|
| 30708H4K02C0CAA | 0 | 0 | Basis Reg | AT | 24 | - | 30,6 | 0 | 0 | 13 | 0 | 0 | 0 | 0 | 0 | 0 | 0 | 0 | 0 | 0 |
| 30708H4K02T0TAA | 0 | 0 | Basis Reg | AT | 24 | - | 30,6 | 0 | 0 | 13 | 0 | 0 | 0 | 0 | 0 | 0 | 0 | 0 | 0 | 0 |
| 30708H4K03I0IAA | 0 | 0 | Basis Reg | AT | 24 | - | 30,6 | 0 | 0 | 13 | 0 | 0 | 0 | 0 | 0 | 0 | 0 | 0 | 0 | 0 |
| 30708H4K03C0CAA | 0 | 0 | Basis Reg | AT | 24 | - | 30,6 | 0 | 0 | 13 | 0 | 0 | 0 | 0 | 0 | 0 | 0 | 0 | 0 | 0 |
| 30708H4K03T0TAA | 0 | 0 | Basis Reg | AT | 24 | - | 30,6 | 0 | 0 | 13 | 0 | 0 | 0 | 0 | 0 | 0 | 0 | 0 | 0 | 0 |
| 30708H3L00I0IAA | 0 | 0 | Basis Reg | AT | 24 | - | 30,6 | 5 | 0 | 13 | 0 | 10 | 0 | 10 | 2,2 | 3 | 6 | 0 | 0 | 1 |
| 30708H3L00C0CAA | 3 | 0 | Basis Reg | AT | 24 | - | 30,6 | 1 | 0 | 13 | 0 | 13 | 0 | 13 | 0,6 | 1 | 2 | 0 | 0 | 1 |
| 30708H3L00T0TAA | 0 | 0 | Basis Reg | AT | 24 | - | 30,6 | 1 | 0 | 13 | 0 | 13 | 0 | 13 | 0 | 0 | 0 | 0 | 0 | 0 |
| 30708H3M00I0IAA | 0 | 0 | Basis Reg | AT | 24 | - | 30,6 | 5 | 0 | 13 | 0 | 10 | 0 | 10 | 2,2 | 3 | 6 | 0 | 0 | 1 |
| 30708H3M00C0CAA | 3 | 0 | Basis Reg | AT | 24 | - | 30,6 | 1 | 0 | 13 | 0 | 13 | 0 | 13 | 0,6 | 1 | 2 | 0 | 0 | 1 |
| 30708H3M00T0TAA | 0 | 0 | Basis Reg | AT | 24 | - | 30,6 | 1 | 0 | 13 | 0 | 13 | 0 | 13 | 0 | 0 | 0 | 0 | 0 | 0 |
| 30708F1K00I0IAA | 0 | 0 | Basis IDX | AT | 30 | - | 20,1 | 35 | 0 | 24 | 0 | 20 | 0 | 20 | 28 | 33 | 66 | 0 | 4 | |
| 30708F1K01I0IAA | 630 | 210 | Basis IDX | AT | 30 | - | 20,1 | 35 | 0 | 24 | 0 | 20 | 0 | 20 | 182 | 210 | 420 | 0 | 21 | |
| 30708F1K02I0IAA | 0 | 0 | Basis IDX | AT | 30 | - | 20,1 | 35 | 0 | 24 | 0 | 20 | 0 | 20 | 7 | 9 | 18 | 0 | 1 | |
| 30708F1K03I0IAA | 70 | 0 | Basis IDX | AT | 30 | - | 20,1 | 35 | 0 | 24 | 0 | 20 | 0 | 20 | 56 | 65 | 130 | 0 | 7 | |
| 30708G1K00I1IAA | 352 | 70 | Sport Ral | AT | 24 | - | 18,8 | 35 | 0 | 20 | 0 | 20 | 0 | 20 | 70,4 | 81 | 162 | 0 | 9 | |
| 30708G1K01I1IAA | 70 | 140 | Sport Ral | AT | 24 | - | 18,8 | 35 | 0 | 20 | 0 | 20 | 0 | 20 | 126 | 145 | 290 | 0 | 15 | |
| 30708G1K02I1IAA | 210 | 0 | Sport Ral | AT | 24 | - | 18,8 | 35 | 0 | 20 | 0 | 20 | 0 | 20 | 42 | 49 | 98 | 0 | 5 | |
| 30708G1K03I1IAA | 0 | 0 | Sport Ral | AT | 24 | - | 18,8 | 35 | 0 | 20 | 0 | 20 | 0 | 20 | 28 | 33 | 66 | 0 | 4 | |
| 30708H1K02I0IAA | 0 | 14 | Basis Reg | AT | 24 | - | 30,6 | 14 | 0 | 13 | 0 | 7 | 0 | 7 | 14 | 17 | 34 | 0 | 5 | |
| 30708H1K03I0IAA | 14 | 70 | Basis Reg | AT | 24 | - | 30,6 | 14 | 0 | 13 | 0 | 7 | 0 | 7 | 44,8 | 52 | 104 | 0 | 15 | |
| 30708H1K04I0IAA | 84 | 0 | Basis Reg | AT | 24 | - | 30,6 | 14 | 0 | 13 | 0 | 7 | 0 | 7 | 16,8 | 20 | 40 | 0 | 6 | |

| | | | | | | | | | | | | | | | | | | | |
|-----------------|----|---|-----------|----|----|---|------|----|---|----|---|----|---|----|------|----|----|---|----|
| 30708H1K05I0IAA | 0 | 0 | Basis Reg | AT | 24 | - | 30,6 | 14 | 0 | 13 | 0 | 7 | 0 | 7 | 39,2 | 46 | 92 | 0 | 14 |
| 30708H1K02C0CAA | 0 | 0 | Basis Reg | AT | 24 | - | 30,6 | 14 | 0 | 13 | 0 | 7 | 0 | 7 | 2,8 | 4 | 8 | 0 | 2 |
| 30708H1K03C0CAA | 0 | 0 | Basis Reg | AT | 24 | - | 30,6 | 14 | 0 | 13 | 0 | 7 | 0 | 7 | 8,4 | 10 | 20 | 0 | 3 |
| 30708H1K04C0CAA | 14 | 0 | Basis Reg | AT | 24 | - | 30,6 | 14 | 0 | 13 | 0 | 7 | 0 | 7 | 2,8 | 4 | 8 | 0 | 2 |
| 30708H1K05C0CAA | 0 | 0 | Basis Reg | AT | 24 | - | 30,6 | 14 | 0 | 13 | 0 | 7 | 0 | 7 | 0,8 | 1 | 2 | 0 | 1 |
| 30708H1K02T0TAA | 0 | 0 | Basis Reg | AT | 24 | - | 30,6 | 14 | 0 | 13 | 0 | 7 | 0 | 7 | 1,2 | 2 | 4 | 0 | 1 |
| 30708H1K03T0TAA | 0 | 0 | Basis Reg | AT | 24 | - | 30,6 | 14 | 0 | 13 | 0 | 7 | 0 | 7 | 8,4 | 10 | 20 | 0 | 3 |
| 30708H1K04T0TAA | 0 | 0 | Basis Reg | AT | 24 | - | 30,6 | 14 | 0 | 13 | 0 | 7 | 0 | 7 | 5,6 | 7 | 14 | 0 | 2 |
| 30708H1K05T0TAA | 14 | 0 | Basis Reg | AT | 24 | - | 30,6 | 14 | 0 | 13 | 0 | 7 | 0 | 7 | 2,8 | 4 | 8 | 0 | 2 |
| 30708F4F01I0IAA | 14 | 0 | Basis IDX | EF | 56 | - | 24,7 | 0 | 0 | 36 | 0 | 0 | 0 | 0 | 2,8 | 4 | 8 | 0 | 0 |
| 30708F4G01I0IAA | 0 | 0 | Basis IDX | EF | 56 | - | 24,7 | 0 | 0 | 36 | 0 | 0 | 0 | 0 | 0 | 0 | 0 | 0 | 0 |
| 30708F3F00I0IAA | 1 | 0 | Basis IDX | EF | 56 | - | 24,7 | 12 | 0 | 36 | 0 | 36 | 0 | 36 | 4,8 | 6 | 12 | 0 | 1 |
| 30708F3G00I0IAA | 7 | 0 | Basis IDX | EF | 56 | - | 24,7 | 12 | 0 | 36 | 0 | 36 | 0 | 36 | 4,8 | 6 | 12 | 0 | 1 |
| 30708G4F01I1IAA | 0 | 0 | Sport Ral | EF | 11 | - | 8,9 | 0 | 0 | 20 | 0 | 0 | 0 | 0 | 0 | 0 | 0 | 0 | 0 |
| 30708G4F01I2IAA | 0 | 0 | Sport Ral | EF | 11 | - | 8,9 | 0 | 0 | 20 | 0 | 0 | 0 | 0 | 0 | 0 | 0 | 0 | 0 |
| 30708G4F01I3IAA | 0 | 0 | Sport Ral | EF | 11 | - | 8,9 | 0 | 0 | 20 | 0 | 0 | 0 | 0 | 0 | 0 | 0 | 0 | 0 |
| 30708G4G01I1IAA | 0 | 0 | Sport Ral | EF | 11 | - | 8,9 | 0 | 0 | 20 | 0 | 0 | 0 | 0 | 0 | 0 | 0 | 0 | 0 |
| 30708G4G01I2IAA | 0 | 0 | Sport Ral | EF | 11 | - | 8,9 | 0 | 0 | 20 | 0 | 0 | 0 | 0 | 0 | 0 | 0 | 0 | 0 |
| 30708G4G01I3IAA | 0 | 0 | Sport Ral | EF | 11 | - | 8,9 | 0 | 0 | 20 | 0 | 0 | 0 | 0 | 0 | 0 | 0 | 0 | 0 |
| 30708G3F00I1IAA | 0 | 0 | Sport Ral | EF | 11 | - | 8,9 | 12 | 0 | 20 | 0 | 12 | 0 | 12 | 7,6 | 9 | 18 | 0 | 2 |
| 30708G3F00I2IAA | 12 | 0 | Sport Ral | EF | 11 | - | 8,9 | 1 | 0 | 20 | 0 | 20 | 0 | 20 | 2,4 | 3 | 6 | 0 | 1 |
| 30708G3F00I3IAA | 0 | 0 | Sport Ral | EF | 11 | - | 8,9 | 5 | 0 | 20 | 0 | 20 | 0 | 20 | 1 | 2 | 4 | 0 | 1 |

| | | | | | | | | | | | | | | | | | | | |
|-----------------|----|---|-----------|----|----|---|------|----|---|----|---|----|---|----|-----|---|----|---|---|
| 30708G3F03I1IAA | 0 | 0 | Sport Ral | EF | 11 | - | 8,9 | 5 | 0 | 20 | 0 | 20 | 0 | 20 | 6 | 7 | 14 | 0 | 1 |
| 30708G3F03I2IAA | 10 | 0 | Sport Ral | EF | 11 | - | 8,9 | 1 | 0 | 20 | 0 | 20 | 0 | 20 | 2 | 3 | 6 | 0 | 1 |
| 30708G3F03I3IAA | 0 | 0 | Sport Ral | EF | 11 | - | 8,9 | 1 | 0 | 20 | 0 | 20 | 0 | 20 | 0,4 | 1 | 2 | 0 | 1 |
| 30708G3F60I1IAA | 0 | 0 | Sport Ral | EF | 11 | - | 8,9 | 1 | 0 | 20 | 0 | 20 | 0 | 20 | 0,6 | 1 | 2 | 0 | 1 |
| 30708G3F60I2IAA | 0 | 0 | Sport Ral | EF | 11 | - | 8,9 | 1 | 0 | 20 | 0 | 20 | 0 | 20 | 0 | 0 | 0 | 0 | 0 |
| 30708G3F60I3IAA | 0 | 0 | Sport Ral | EF | 11 | - | 8,9 | 1 | 0 | 20 | 0 | 20 | 0 | 20 | 0 | 0 | 0 | 0 | 0 |
| 30708G3F63I1IAA | 0 | 0 | Sport Ral | EF | 11 | - | 8,9 | 1 | 0 | 20 | 0 | 20 | 0 | 20 | 0,4 | 1 | 2 | 0 | 1 |
| 30708G3F63I2IAA | 0 | 0 | Sport Ral | EF | 11 | - | 8,9 | 1 | 0 | 20 | 0 | 20 | 0 | 20 | 0 | 0 | 0 | 0 | 0 |
| 30708G3F63I3IAA | 0 | 0 | Sport Ral | EF | 11 | - | 8,9 | 1 | 0 | 20 | 0 | 20 | 0 | 20 | 0 | 0 | 0 | 0 | 0 |
| 30708G3G00I1IAA | 0 | 0 | Sport Ral | EF | 11 | - | 8,9 | 12 | 0 | 20 | 0 | 12 | 0 | 12 | 6,8 | 8 | 16 | 0 | 2 |
| 30708G3G00I2IAA | 10 | 0 | Sport Ral | EF | 11 | - | 8,9 | 1 | 0 | 20 | 0 | 20 | 0 | 20 | 2 | 3 | 6 | 0 | 1 |
| 30708G3G00I3IAA | 1 | 0 | Sport Ral | EF | 11 | - | 8,9 | 5 | 0 | 20 | 0 | 20 | 0 | 20 | 0,8 | 1 | 2 | 0 | 1 |
| 30708G3G03I1IAA | 0 | 0 | Sport Ral | EF | 11 | - | 8,9 | 5 | 0 | 20 | 0 | 20 | 0 | 20 | 6 | 7 | 14 | 0 | 1 |
| 30708G3G03I2IAA | 10 | 0 | Sport Ral | EF | 11 | - | 8,9 | 1 | 0 | 20 | 0 | 20 | 0 | 20 | 2 | 3 | 6 | 0 | 1 |
| 30708G3G03I3IAA | 0 | 0 | Sport Ral | EF | 11 | - | 8,9 | 1 | 0 | 20 | 0 | 20 | 0 | 20 | 0,4 | 1 | 2 | 0 | 1 |
| 30708G3G60I1IAA | 0 | 0 | Sport Ral | EF | 11 | - | 8,9 | 1 | 0 | 20 | 0 | 20 | 0 | 20 | 0,8 | 1 | 2 | 0 | 1 |
| 30708G3G60I2IAA | 0 | 0 | Sport Ral | EF | 11 | - | 8,9 | 1 | 0 | 20 | 0 | 20 | 0 | 20 | 0 | 0 | 0 | 0 | 0 |
| 30708G3G60I3IAA | 0 | 0 | Sport Ral | EF | 11 | - | 8,9 | 1 | 0 | 20 | 0 | 20 | 0 | 20 | 0 | 0 | 0 | 0 | 0 |
| 30708G3G63I1IAA | 0 | 0 | Sport Ral | EF | 11 | - | 8,9 | 1 | 0 | 20 | 0 | 20 | 0 | 20 | 0,6 | 1 | 2 | 0 | 1 |
| 30708G3G63I2IAA | 1 | 0 | Sport Ral | EF | 11 | - | 8,9 | 1 | 0 | 20 | 0 | 20 | 0 | 20 | 0,2 | 1 | 2 | 0 | 1 |
| 30708G3G63I3IAA | 0 | 0 | Sport Ral | EF | 11 | - | 8,9 | 1 | 0 | 20 | 0 | 20 | 0 | 20 | 0 | 0 | 0 | 0 | 0 |
| 30708H4F01I0IAA | 0 | 0 | Basis Reg | EF | 56 | - | 47,9 | 0 | 0 | 19 | 0 | 0 | 0 | 0 | 0 | 0 | 0 | 0 | 0 |

| | | | | | | | | | | | | | | | | | | | | |
|-----------------|---|---|-----------|----|----|---|------|---|---|----|---|----|---|----|-----|---|---|---|---|---|
| 30708H4F01C0CAA | 0 | 0 | Basis Reg | EF | 56 | - | 47,9 | 0 | 0 | 19 | 0 | 0 | 0 | 0 | 0 | 0 | 0 | 0 | 0 | 0 |
| 30708H4F01T0TAA | 0 | 0 | Basis Reg | EF | 56 | - | 47,9 | 0 | 0 | 19 | 0 | 0 | 0 | 0 | 0 | 0 | 0 | 0 | 0 | 0 |
| 30708H4G01I0IAA | 0 | 0 | Basis Reg | EF | 56 | - | 47,9 | 0 | 0 | 19 | 0 | 0 | 0 | 0 | 0 | 0 | 0 | 0 | 0 | 0 |
| 30708H4G01C0CAA | 0 | 0 | Basis Reg | EF | 56 | - | 47,9 | 0 | 0 | 19 | 0 | 0 | 0 | 0 | 0 | 0 | 0 | 0 | 0 | 0 |
| 30708H4G01T0TAA | 0 | 0 | Basis Reg | EF | 56 | - | 47,9 | 0 | 0 | 19 | 0 | 0 | 0 | 0 | 0 | 0 | 0 | 0 | 0 | 0 |
| 30708H3F00I0IAA | 7 | 0 | Basis Reg | EF | 56 | - | 47,9 | 5 | 0 | 19 | 0 | 15 | 0 | 15 | 1,8 | 3 | 6 | 0 | 0 | 1 |
| 30708H3F00C0CAA | 0 | 0 | Basis Reg | EF | 56 | - | 47,9 | 1 | 0 | 19 | 0 | 19 | 0 | 19 | 0,4 | 1 | 2 | 0 | 0 | 1 |
| 30708H3F00T0TAA | 2 | 0 | Basis Reg | EF | 56 | - | 47,9 | 1 | 0 | 19 | 0 | 19 | 0 | 19 | 0,4 | 1 | 2 | 0 | 0 | 1 |
| 30708H3F03I0IAA | 0 | 0 | Basis Reg | EF | 56 | - | 47,9 | 1 | 0 | 19 | 0 | 19 | 0 | 19 | 0 | 0 | 0 | 0 | 0 | 0 |
| 30708H3F03C0CAA | 0 | 0 | Basis Reg | EF | 56 | - | 47,9 | 1 | 0 | 19 | 0 | 19 | 0 | 19 | 0 | 0 | 0 | 0 | 0 | 0 |
| 30708H3F03T0TAA | 0 | 0 | Basis Reg | EF | 56 | - | 47,9 | 1 | 0 | 19 | 0 | 19 | 0 | 19 | 0,2 | 1 | 2 | 0 | 0 | 1 |
| 30708H3F60I0IAA | 0 | 0 | Basis Reg | EF | 56 | - | 47,9 | 1 | 0 | 19 | 0 | 19 | 0 | 19 | 0 | 0 | 0 | 0 | 0 | 0 |
| 30708H3F60C0CAA | 0 | 0 | Basis Reg | EF | 56 | - | 47,9 | 1 | 0 | 19 | 0 | 19 | 0 | 19 | 0 | 0 | 0 | 0 | 0 | 0 |
| 30708H3F60T0TAA | 0 | 0 | Basis Reg | EF | 56 | - | 47,9 | 1 | 0 | 19 | 0 | 19 | 0 | 19 | 0 | 0 | 0 | 0 | 0 | 0 |
| 30708H3G00I0IAA | 0 | 0 | Basis Reg | EF | 56 | - | 47,9 | 5 | 0 | 19 | 0 | 15 | 0 | 15 | 1,8 | 3 | 6 | 0 | 0 | 1 |
| 30708H3G00C0CAA | 2 | 0 | Basis Reg | EF | 56 | - | 47,9 | 1 | 0 | 19 | 0 | 19 | 0 | 19 | 0,4 | 1 | 2 | 0 | 0 | 1 |
| 30708H3G00T0TAA | 1 | 0 | Basis Reg | EF | 56 | - | 47,9 | 1 | 0 | 19 | 0 | 19 | 0 | 19 | 0,2 | 1 | 2 | 0 | 0 | 1 |
| 30708H3G03I0IAA | 0 | 0 | Basis Reg | EF | 56 | - | 47,9 | 1 | 0 | 19 | 0 | 19 | 0 | 19 | 0,2 | 1 | 2 | 0 | 0 | 1 |
| 30708H3G03C0CAA | 0 | 0 | Basis Reg | EF | 56 | - | 47,9 | 1 | 0 | 19 | 0 | 19 | 0 | 19 | 0 | 0 | 0 | 0 | 0 | 0 |
| 30708H3G03T0TAA | 0 | 0 | Basis Reg | EF | 56 | - | 47,9 | 1 | 0 | 19 | 0 | 19 | 0 | 19 | 0,2 | 1 | 2 | 0 | 0 | 1 |
| 30708H3G60I0IAA | 0 | 0 | Basis Reg | EF | 56 | - | 47,9 | 1 | 0 | 19 | 0 | 19 | 0 | 19 | 0 | 0 | 0 | 0 | 0 | 0 |
| 30708H3G60C0CAA | 0 | 0 | Basis Reg | EF | 56 | - | 47,9 | 1 | 0 | 19 | 0 | 19 | 0 | 19 | 0 | 0 | 0 | 0 | 0 | 0 |

| | | | | | | | | | | | | | | | | | | | |
|-----------------|-----|-----|-----------|----|----|---|------|----|---|----|---|----|---|----|-------|-----|-----|---|----|
| 30708H3G60T0TAA | 0 | 0 | Basis Reg | EF | 56 | - | 47,9 | 1 | 0 | 19 | 0 | 19 | 0 | 19 | 0 | 0 | 0 | 0 | 0 |
| 30708F1F01I0IAB | 800 | 288 | Basis IDX | EF | 56 | - | 24,7 | 16 | 0 | 36 | 0 | 32 | 0 | 32 | 243,2 | 280 | 560 | 0 | 18 |
| 30708F1G01I0IAB | 800 | 288 | Basis IDX | EF | 56 | - | 24,7 | 16 | 0 | 36 | 0 | 32 | 0 | 32 | 243,2 | 280 | 560 | 0 | 18 |
| 30708G1F01I1IAB | 0 | 224 | Sport Ral | EF | 11 | - | 8,9 | 16 | 0 | 20 | 0 | 16 | 0 | 16 | 128 | 148 | 296 | 0 | 19 |
| 30708G1F01I2IAB | 0 | 0 | Sport Ral | EF | 11 | - | 8,9 | 16 | 0 | 20 | 0 | 16 | 0 | 16 | 0 | 0 | 0 | 0 | 0 |
| 30708G1G01I2IAB | 0 | 0 | Sport Ral | EF | 11 | - | 8,9 | 16 | 0 | 20 | 0 | 16 | 0 | 16 | 0 | 0 | 0 | 0 | 0 |
| 30708G1G01I1IAB | 352 | 224 | Sport Ral | EF | 11 | - | 8,9 | 16 | 0 | 20 | 0 | 16 | 0 | 16 | 128 | 148 | 296 | 0 | 19 |
| 30708G1F01I2IAA | 70 | 0 | Sport Ral | EF | 11 | - | 8,9 | 16 | 0 | 20 | 0 | 16 | 0 | 16 | 32 | 37 | 74 | 0 | 5 |
| 30708G1G01I2IAA | 0 | 0 | Sport Ral | EF | 11 | - | 8,9 | 16 | 0 | 20 | 0 | 16 | 0 | 16 | 32 | 37 | 74 | 0 | 5 |
| 30708G1F01I3IAB | 0 | 0 | Sport Ral | EF | 11 | - | 8,9 | 16 | 0 | 20 | 0 | 16 | 0 | 16 | 0 | 0 | 0 | 0 | 0 |
| 30708G1G01I3IAB | 0 | 0 | Sport Ral | EF | 11 | - | 8,9 | 16 | 0 | 20 | 0 | 16 | 0 | 16 | 0 | 0 | 0 | 0 | 0 |
| 30708G1F01I3IAA | 0 | 32 | Sport Ral | EF | 11 | - | 8,9 | 16 | 0 | 20 | 0 | 16 | 0 | 16 | 25,6 | 30 | 60 | 0 | 4 |
| 30708G1G01I3IAA | 0 | 32 | Sport Ral | EF | 11 | - | 8,9 | 16 | 0 | 20 | 0 | 16 | 0 | 16 | 25,6 | 30 | 60 | 0 | 4 |
| 30708H1F01I0IAA | 175 | 91 | Basis Reg | EF | 56 | - | 47,9 | 7 | 0 | 19 | 0 | 14 | 0 | 14 | 81,2 | 94 | 188 | 0 | 14 |
| 30708H1G01I0IAA | 182 | 91 | Basis Reg | EF | 56 | - | 47,9 | 7 | 0 | 19 | 0 | 14 | 0 | 14 | 81,2 | 94 | 188 | 0 | 14 |
| 30708H1F01I0IAB | 175 | 0 | Basis Reg | EF | 56 | - | 47,9 | 7 | 0 | 19 | 0 | 14 | 0 | 14 | 35 | 41 | 82 | 0 | 6 |
| 30708H1G01I0IAB | 0 | 0 | Basis Reg | EF | 56 | - | 47,9 | 7 | 0 | 19 | 0 | 14 | 0 | 14 | 0 | 0 | 0 | 0 | 0 |
| 30708H1F01C0CAA | 7 | 7 | Basis Reg | EF | 56 | - | 47,9 | 7 | 0 | 19 | 0 | 14 | 0 | 14 | 9,8 | 12 | 24 | 0 | 2 |
| 30708H1G01C0CAA | 7 | 7 | Basis Reg | EF | 56 | - | 47,9 | 7 | 0 | 19 | 0 | 14 | 0 | 14 | 9,8 | 12 | 24 | 0 | 2 |
| 30708H1F01C0CAB | 7 | 0 | Basis Reg | EF | 56 | - | 47,9 | 7 | 0 | 19 | 0 | 14 | 0 | 14 | 1,4 | 2 | 4 | 0 | 1 |
| 30708H1G01C0CAB | 0 | 0 | Basis Reg | EF | 56 | - | 47,9 | 7 | 0 | 19 | 0 | 14 | 0 | 14 | 0 | 0 | 0 | 0 | 0 |
| 30708H1F01T0TAA | 14 | 7 | Basis Reg | EF | 56 | - | 47,9 | 7 | 0 | 19 | 0 | 14 | 0 | 14 | 11,2 | 13 | 26 | 0 | 2 |

| | | | | | | | | | | | | | | | | | | | |
|-----------------|----|---|-----------|----|----|---|------|----|---|----|---|----|---|----|------|----|----|---|---|
| 30708H1G01T0TAA | 14 | 7 | Basis Reg | EF | 56 | - | 47,9 | 7 | 0 | 19 | 0 | 14 | 0 | 14 | 11,2 | 13 | 26 | 0 | 2 |
| 30708H1F01T0TAB | 14 | 0 | Basis Reg | EF | 56 | - | 47,9 | 7 | 0 | 19 | 0 | 14 | 0 | 14 | 2,8 | 4 | 8 | 0 | 1 |
| 30708H1G01T0TAB | 0 | 0 | Basis Reg | EF | 56 | - | 47,9 | 7 | 0 | 19 | 0 | 14 | 0 | 14 | 0 | 0 | 0 | 0 | 0 |
| 30708F4Q00I0IAA | 0 | 0 | Basis IDX | ET | 24 | - | 12,7 | 0 | 0 | 30 | 0 | 0 | 0 | 0 | 0 | 0 | 0 | 0 | 0 |
| 30708F4R00I0IAA | 0 | 0 | Basis IDX | ET | 24 | - | 12,7 | 0 | 0 | 30 | 0 | 0 | 0 | 0 | 0 | 0 | 0 | 0 | 0 |
| 30708F4H00I0IAA | 0 | 0 | Basis IDX | ET | 24 | - | 12,7 | 0 | 0 | 30 | 0 | 0 | 0 | 0 | 0 | 0 | 0 | 0 | 0 |
| 30708F4H02I0IAA | 0 | 0 | Basis IDX | ET | 24 | - | 12,7 | 0 | 0 | 30 | 0 | 0 | 0 | 0 | 0 | 0 | 0 | 0 | 0 |
| 30708F3Q02I0IAA | 7 | 0 | Basis IDX | ET | 24 | - | 12,7 | 12 | 0 | 30 | 0 | 24 | 0 | 24 | 4,8 | 6 | 12 | 0 | 1 |
| 30708F3R02I0IAA | 7 | 0 | Basis IDX | ET | 24 | - | 12,7 | 12 | 0 | 30 | 0 | 24 | 0 | 24 | 4,8 | 6 | 12 | 0 | 1 |
| 30708G4Q00I1IAA | 0 | 0 | Sport Ral | ET | 11 | - | 7,6 | 0 | 0 | 23 | 0 | 0 | 0 | 0 | 0 | 0 | 0 | 0 | 0 |
| 30708G4Q00I2IAA | 0 | 0 | Sport Ral | ET | 11 | - | 7,6 | 0 | 0 | 23 | 0 | 0 | 0 | 0 | 0 | 0 | 0 | 0 | 0 |
| 30708G4Q00I3IAA | 0 | 0 | Sport Ral | ET | 11 | - | 7,6 | 0 | 0 | 23 | 0 | 0 | 0 | 0 | 0 | 0 | 0 | 0 | 0 |
| 30708G4R00I1IAA | 0 | 0 | Sport Ral | ET | 11 | - | 7,6 | 0 | 0 | 23 | 0 | 0 | 0 | 0 | 0 | 0 | 0 | 0 | 0 |
| 30708G4R00I2IAA | 0 | 0 | Sport Ral | ET | 11 | - | 7,6 | 0 | 0 | 23 | 0 | 0 | 0 | 0 | 0 | 0 | 0 | 0 | 0 |
| 30708G4R00I3IAA | 0 | 0 | Sport Ral | ET | 11 | - | 7,6 | 0 | 0 | 23 | 0 | 0 | 0 | 0 | 0 | 0 | 0 | 0 | 0 |
| 30708G4H00I1IAA | 0 | 0 | Sport Ral | ET | 11 | - | 7,6 | 0 | 0 | 23 | 0 | 0 | 0 | 0 | 0 | 0 | 0 | 0 | 0 |
| 30708G4H00I2IAA | 0 | 0 | Sport Ral | ET | 11 | - | 7,6 | 0 | 0 | 23 | 0 | 0 | 0 | 0 | 0 | 0 | 0 | 0 | 0 |
| 30708G4H00I3IAA | 0 | 0 | Sport Ral | ET | 11 | - | 7,6 | 0 | 0 | 23 | 0 | 0 | 0 | 0 | 0 | 0 | 0 | 0 | 0 |
| 30708G4H02I1IAA | 0 | 0 | Sport Ral | ET | 11 | - | 7,6 | 0 | 0 | 23 | 0 | 0 | 0 | 0 | 0 | 0 | 0 | 0 | 0 |
| 30708G4H02I2IAA | 0 | 0 | Sport Ral | ET | 11 | - | 7,6 | 0 | 0 | 23 | 0 | 0 | 0 | 0 | 0 | 0 | 0 | 0 | 0 |
| 30708G4H02I3IAA | 0 | 0 | Sport Ral | ET | 11 | - | 7,6 | 0 | 0 | 23 | 0 | 0 | 0 | 0 | 0 | 0 | 0 | 0 | 0 |
| 30708G3Q02I1IAA | 0 | 0 | Sport Ral | ET | 11 | - | 7,6 | 24 | 0 | 23 | 0 | 12 | 0 | 12 | 13,6 | 16 | 32 | 0 | 3 |

| | | | | | | | | | | | | | | | | | | | |
|-----------------|----|---|-----------|----|----|---|------|----|---|----|---|----|---|----|------|----|----|---|---|
| 30708G3Q02I2IAA | 22 | 0 | Sport Ral | ET | 11 | - | 7,6 | 1 | 0 | 23 | 0 | 23 | 0 | 23 | 4,4 | 6 | 12 | 0 | 1 |
| 30708G3Q02I3IAA | 1 | 0 | Sport Ral | ET | 11 | - | 7,6 | 5 | 0 | 23 | 0 | 20 | 0 | 20 | 1,2 | 2 | 4 | 0 | 1 |
| 30708G3R02I1IAA | 1 | 0 | Sport Ral | ET | 11 | - | 7,6 | 24 | 0 | 23 | 0 | 12 | 0 | 12 | 13,6 | 16 | 32 | 0 | 3 |
| 30708G3R02I2IAA | 22 | 0 | Sport Ral | ET | 11 | - | 7,6 | 1 | 0 | 23 | 0 | 23 | 0 | 23 | 4,4 | 6 | 12 | 0 | 1 |
| 30708G3R02I3IAA | 1 | 0 | Sport Ral | ET | 11 | - | 7,6 | 5 | 0 | 23 | 0 | 20 | 0 | 20 | 1,2 | 2 | 4 | 0 | 1 |
| 30708H4Q00I0IAA | 0 | 0 | Basis Reg | ET | 28 | - | 22,6 | 0 | 0 | 20 | 0 | 0 | 0 | 0 | 0 | 0 | 0 | 0 | 0 |
| 30708H4Q00C0CAA | 0 | 0 | Basis Reg | ET | 28 | - | 22,6 | 0 | 0 | 20 | 0 | 0 | 0 | 0 | 0 | 0 | 0 | 0 | 0 |
| 30708H4Q00T0TAA | 0 | 0 | Basis Reg | ET | 28 | - | 22,6 | 0 | 0 | 20 | 0 | 0 | 0 | 0 | 0 | 0 | 0 | 0 | 0 |
| 30708H4R00I0IAA | 0 | 0 | Basis Reg | ET | 28 | - | 22,6 | 0 | 0 | 20 | 0 | 0 | 0 | 0 | 0 | 0 | 0 | 0 | 0 |
| 30708H4R00C0CAA | 0 | 0 | Basis Reg | ET | 28 | - | 22,6 | 0 | 0 | 20 | 0 | 0 | 0 | 0 | 0 | 0 | 0 | 0 | 0 |
| 30708H4R00T0TAA | 0 | 0 | Basis Reg | ET | 28 | - | 22,6 | 0 | 0 | 20 | 0 | 0 | 0 | 0 | 0 | 0 | 0 | 0 | 0 |
| 30708H4H00I0IAA | 0 | 0 | Basis Reg | ET | 28 | - | 22,6 | 0 | 0 | 20 | 0 | 0 | 0 | 0 | 0 | 0 | 0 | 0 | 0 |
| 30708H4H00C0CAA | 0 | 0 | Basis Reg | ET | 28 | - | 22,6 | 0 | 0 | 20 | 0 | 0 | 0 | 0 | 0 | 0 | 0 | 0 | 0 |
| 30708H4H00T0TAA | 0 | 0 | Basis Reg | ET | 28 | - | 22,6 | 0 | 0 | 20 | 0 | 0 | 0 | 0 | 0 | 0 | 0 | 0 | 0 |
| 30708H4H02I0IAA | 0 | 0 | Basis Reg | ET | 28 | - | 22,6 | 0 | 0 | 20 | 0 | 0 | 0 | 0 | 0 | 0 | 0 | 0 | 0 |
| 30708H4H02C0CAA | 0 | 0 | Basis Reg | ET | 28 | - | 22,6 | 0 | 0 | 20 | 0 | 0 | 0 | 0 | 0 | 0 | 0 | 0 | 0 |
| 30708H4H02T0TAA | 0 | 0 | Basis Reg | ET | 28 | - | 22,6 | 0 | 0 | 20 | 0 | 0 | 0 | 0 | 0 | 0 | 0 | 0 | 0 |
| 30708H3Q02I0IAA | 0 | 0 | Basis Reg | ET | 28 | - | 22,6 | 5 | 0 | 20 | 0 | 20 | 0 | 20 | 2,2 | 3 | 6 | 0 | 1 |
| 30708H3Q02C0CAA | 3 | 0 | Basis Reg | ET | 28 | - | 22,6 | 1 | 0 | 20 | 0 | 20 | 0 | 20 | 0,6 | 1 | 2 | 0 | 1 |
| 30708H3Q02T0TAA | 0 | 0 | Basis Reg | ET | 28 | - | 22,6 | 1 | 0 | 20 | 0 | 20 | 0 | 20 | 0 | 0 | 0 | 0 | 0 |
| 30708H3R02I0IAA | 0 | 0 | Basis Reg | ET | 28 | - | 22,6 | 5 | 0 | 20 | 0 | 20 | 0 | 20 | 2,2 | 3 | 6 | 0 | 1 |
| 30708H3R02C0CAA | 3 | 0 | Basis Reg | ET | 28 | - | 22,6 | 1 | 0 | 20 | 0 | 20 | 0 | 20 | 0,6 | 1 | 2 | 0 | 1 |

| | | | | | | | | | | | | | | | | | | | | |
|-----------------|-----|-----|-----------|----|----|---|------|----|---|----|---|----|---|----|------|-----|-----|---|----|---|
| 30708H3R02T0TAA | 0 | 0 | Basis Reg | ET | 28 | - | 22,6 | 1 | 0 | 20 | 0 | 20 | 0 | 20 | 0 | 0 | 0 | 0 | 0 | 0 |
| 30708F1Q00I0IAA | 770 | 280 | Basis IDX | ET | 24 | - | 12,7 | 35 | 0 | 30 | 0 | 20 | 0 | 20 | 224 | 258 | 516 | 0 | 26 | |
| 30708F1R00I0IAA | 770 | 280 | Basis IDX | ET | 24 | - | 12,7 | 35 | 0 | 30 | 0 | 20 | 0 | 20 | 210 | 242 | 484 | 0 | 25 | |
| 30708F1H00I0IAA | 70 | 0 | Basis IDX | ET | 24 | - | 12,7 | 35 | 0 | 30 | 0 | 20 | 0 | 20 | 21 | 25 | 50 | 0 | 3 | |
| 30708F1H02I0IAA | 70 | 0 | Basis IDX | ET | 24 | - | 12,7 | 35 | 0 | 30 | 0 | 20 | 0 | 20 | 21 | 25 | 50 | 0 | 3 | |
| 30708G1Q00I1IAA | 140 | 210 | Sport Ral | ET | 11 | - | 7,6 | 35 | 0 | 23 | 0 | 20 | 0 | 20 | 112 | 129 | 258 | 0 | 13 | |
| 30708G1R00I1IAA | 280 | 210 | Sport Ral | ET | 11 | - | 7,6 | 35 | 0 | 23 | 0 | 20 | 0 | 20 | 112 | 129 | 258 | 0 | 13 | |
| 30708G1H00I1IAA | 280 | 70 | Sport Ral | ET | 11 | - | 7,6 | 35 | 0 | 23 | 0 | 20 | 0 | 20 | 56 | 65 | 130 | 0 | 7 | |
| 30708G1H02I1IAA | 70 | 70 | Sport Ral | ET | 11 | - | 7,6 | 35 | 0 | 23 | 0 | 20 | 0 | 20 | 28 | 33 | 66 | 0 | 4 | |
| 30708G1Q00I2IAA | 0 | 0 | Sport Ral | ET | 11 | - | 7,6 | 35 | 0 | 23 | 0 | 20 | 0 | 20 | 28 | 33 | 66 | 0 | 4 | |
| 30708G1R00I2IAA | 0 | 0 | Sport Ral | ET | 11 | - | 7,6 | 35 | 0 | 23 | 0 | 20 | 0 | 20 | 28 | 33 | 66 | 0 | 4 | |
| 30708G1H00I2IAA | 0 | 0 | Sport Ral | ET | 11 | - | 7,6 | 35 | 0 | 23 | 0 | 20 | 0 | 20 | 2,8 | 4 | 8 | 0 | 1 | |
| 30708G1H02I2IAA | 0 | 0 | Sport Ral | ET | 11 | - | 7,6 | 35 | 0 | 23 | 0 | 20 | 0 | 20 | 2,8 | 4 | 8 | 0 | 1 | |
| 30708G1Q00I3IAA | 0 | 0 | Sport Ral | ET | 11 | - | 7,6 | 35 | 0 | 23 | 0 | 20 | 0 | 20 | 21 | 25 | 50 | 0 | 3 | |
| 30708G1R00I3IAA | 101 | 0 | Sport Ral | ET | 11 | - | 7,6 | 35 | 0 | 23 | 0 | 20 | 0 | 20 | 21 | 25 | 50 | 0 | 3 | |
| 30708G1H00I3IAA | 101 | 0 | Sport Ral | ET | 11 | - | 7,6 | 35 | 0 | 23 | 0 | 20 | 0 | 20 | 20,2 | 24 | 48 | 0 | 3 | |
| 30708G1H02I3IAA | 3 | 0 | Sport Ral | ET | 11 | - | 7,6 | 35 | 0 | 23 | 0 | 20 | 0 | 20 | 4,6 | 6 | 12 | 0 | 1 | |
| 30708H1Q00I0IAA | 42 | 84 | Basis Reg | ET | 28 | - | 22,6 | 14 | 0 | 20 | 0 | 14 | 0 | 14 | 72,8 | 84 | 168 | 0 | 12 | |
| 30708H1R00I0IAA | 154 | 98 | Basis Reg | ET | 28 | - | 22,6 | 14 | 0 | 20 | 0 | 14 | 0 | 14 | 72,8 | 84 | 168 | 0 | 12 | |
| 30708H1H00I0IAA | 154 | 14 | Basis Reg | ET | 28 | - | 22,6 | 14 | 0 | 20 | 0 | 14 | 0 | 14 | 30,8 | 36 | 72 | 0 | 6 | |
| 30708H1H02I0IAA | 28 | 14 | Basis Reg | ET | 28 | - | 22,6 | 14 | 0 | 20 | 0 | 14 | 0 | 14 | 8,4 | 10 | 20 | 0 | 2 | |
| 30708H1Q00C0CAA | 0 | 14 | Basis Reg | ET | 28 | - | 22,6 | 14 | 0 | 20 | 0 | 14 | 0 | 14 | 8,4 | 10 | 20 | 0 | 2 | |

| | | | | | | | | | | | | | | | | | | | |
|-----------------|---|----|-----------|----|----|---|------|----|---|----|---|----|---|----|------|----|----|---|---|
| 30708H1R00C0CAA | 0 | 14 | Basis Reg | ET | 28 | - | 22,6 | 14 | 0 | 20 | 0 | 14 | 0 | 14 | 8,4 | 10 | 20 | 0 | 2 |
| 30708H1H00C0CAA | 0 | 0 | Basis Reg | ET | 28 | - | 22,6 | 14 | 0 | 20 | 0 | 14 | 0 | 14 | 0,4 | 1 | 2 | 0 | 1 |
| 30708H1H02C0CAA | 0 | 0 | Basis Reg | ET | 28 | - | 22,6 | 14 | 0 | 20 | 0 | 14 | 0 | 14 | 0,4 | 1 | 2 | 0 | 1 |
| 30708H1Q00T0TAA | 0 | 14 | Basis Reg | ET | 28 | - | 22,6 | 14 | 0 | 20 | 0 | 14 | 0 | 14 | 11,2 | 13 | 26 | 0 | 2 |
| 30708H1R00T0TAA | 0 | 14 | Basis Reg | ET | 28 | - | 22,6 | 14 | 0 | 20 | 0 | 14 | 0 | 14 | 11,2 | 13 | 26 | 0 | 2 |
| 30708H1H00T0TAA | 0 | 0 | Basis Reg | ET | 28 | - | 22,6 | 14 | 0 | 20 | 0 | 14 | 0 | 14 | 1,6 | 2 | 4 | 0 | 1 |
| 30708H1H02T0TAA | 0 | 0 | Basis Reg | ET | 28 | - | 22,6 | 14 | 0 | 20 | 0 | 14 | 0 | 14 | 1,6 | 2 | 4 | 0 | 1 |

A análise ABC deste projeto para os assentos da frente encontra-se na Tabela 41, para os assentos traseiros na Tabela 42, para os encostos da frente na Tabela 43 e para os encostos traseiros na Tabela 44.

Tabela 41 - Análise ABC assentos da frente AB3 Tecido

| | PN COINDU | Part | Variant | COLOR | TYPE | QTD | QTD % | Ac. QTD % | Ac. Art % | Classe | 53167 | | 9 | 79 |
|----|-----------------|------|---------|----------------|-------|-------|-------|-----------|-----------|--------|--------------|---------------|---|----|
| | | | | | | | | | | | Caixas Couro | Caixas Tecido | | |
| 1 | 30708F1A00I0IAA | AF | INDEX | SOUL | STOFF | 25216 | 47,4 | 47,4 | 5,3 | A | 0 | 35 | | |
| 2 | 30708G1A00I1IAB | AF | RALLYE | SL/SB | STOFF | 17152 | 32,3 | 79,7 | 10,5 | A | 0 | 26 | | |
| 3 | 30708H1C00I0IAA | AF | REGATTA | SOUL | STOFF | 4018 | 7,6 | 87,2 | 15,8 | B | 7 | 7 | | |
| 4 | 30708H1B00I0IAA | AF | REGATTA | SOUL | STOFF | 3832 | 7,2 | 94,5 | 21,1 | B | 0 | 7 | | |
| 5 | 30708G4A00I1IAB | AF | RALLYE | SOUL/SILBER | STOFF | 828 | 1,6 | 96,0 | 26,3 | C | 0 | 0 | | |
| 6 | 30708H1C00T0TAA | AF | REGATTA | KASTANIENBRAUN | STOFF | 539 | 1,0 | 97,0 | 31,6 | C | 1 | 1 | | |
| 7 | 30708H1B00T0TAA | AF | REGATTA | KASTANIENBRAUN | STOFF | 525 | 1,0 | 98,0 | 36,8 | C | 0 | 1 | | |
| 8 | 30708H1B00C0CAA | AF | REGATTA | FELSGRAU | STOFF | 357 | 0,7 | 98,7 | 42,1 | C | 0 | 1 | | |
| 9 | 30708H1C00C0CAA | AF | REGATTA | FELSGRAU | STOFF | 336 | 0,6 | 99,3 | 47,4 | C | 1 | 1 | | |
| 10 | 30708F4A00I0IAA | AF | INDEX | SOUL | STOFF | 204 | 0,4 | 99,7 | 52,6 | C | 0 | 0 | | |
| 11 | 30708H4B00I0IAA | AF | REGATTA | SOUL | STOFF | 51 | 0,1 | 99,8 | 57,9 | C | 0 | 0 | | |
| 12 | 30708G4A00I2IAB | AF | RALLYE | SOUL/ARABLAU | STOFF | 48 | 0,1 | 99,9 | 63,2 | C | 0 | 0 | | |
| 13 | 30708H4C00I0IAA | AF | REGATTA | SOUL | STOFF | 40 | 0,1 | 100,0 | 68,4 | C | 0 | 0 | | |
| 14 | 30708H4C00C0CAA | AF | REGATTA | FELSGRAU | STOFF | 14 | 0,0 | 100,0 | 73,7 | C | 0 | 0 | | |
| 15 | 30708H4B00C0CAA | AF | REGATTA | FELSGRAU | STOFF | 6 | 0,0 | 100,0 | 78,9 | C | 0 | 0 | | |
| 16 | 30708H4C00T0TAA | AF | REGATTA | KASTANIENBRAUN | STOFF | 1 | 0,0 | 100,0 | 84,2 | C | 0 | 0 | | |

| | | | | | | | | | | | | |
|----|-----------------|----|---------|----------------|-------|---|-----|-------|-------|---|---|---|
| 17 | 30708G4A00I1IAA | AF | RALLYE | SOUL/SILBER | STOFF | 0 | 0,0 | 100,0 | 89,5 | C | 0 | 0 |
| 18 | 30708G4A00I3IAA | AF | RALLYE | SOUL/ROTORGRAU | STOFF | 0 | 0,0 | 100,0 | 94,7 | C | 0 | 0 |
| 19 | 30708H4B00T0TAA | AF | REGATTA | KASTANIENBRAUN | STOFF | 0 | 0,0 | 100,0 | 100,0 | C | 0 | 0 |

Tabela 42 - Análise ABC assentos traseiros AB3 Tecido

| | | | | | | 26973 | | | | 0 | 136 | |
|----|-----------------|------|---------|----------------|-------|-------|-------|-----------|-----------|--------|-------------|--------------|
| | PN COINDU | Part | Variant | COLOR | TYPE | QTD | QTD % | Ac. QTD % | Ac. Art % | Classe | Caixa Couro | Caixa Tecido |
| 1 | 30708F1K01I0IAA | AT | INDEX | SOUL | STOFF | 9030 | 33,5 | 33,5 | 2,1 | A | 0 | 21 |
| 2 | 30708G1K01I1IAA | AT | RALLYE | SL/SB | STOFF | 5320 | 19,7 | 53,2 | 4,2 | A | 0 | 15 |
| 3 | 30708F1K03I0IAA | AT | INDEX | SOUL | STOFF | 2063 | 7,6 | 60,8 | 6,3 | B | 0 | 7 |
| 4 | 30708H1K03I0IAA | AT | REGATTA | SOUL | STOFF | 1932 | 7,2 | 68,0 | 8,3 | B | 0 | 15 |
| 5 | 30708G1K00I1IAA | AT | RALLYE | SL/SB | STOFF | 1542 | 5,7 | 73,7 | 10,4 | B | 0 | 9 |
| 6 | 30708G1K03I1IAA | AT | RALLYE | SL/SB | STOFF | 1309 | 4,9 | 78,6 | 12,5 | B | 0 | 4 |
| 7 | 30708H1K05I0IAA | AT | REGATTA | SOUL | STOFF | 1192 | 4,4 | 83,0 | 14,6 | B | 0 | 14 |
| 8 | 30708F1K00I0IAA | AT | INDEX | SOUL | STOFF | 980 | 3,6 | 86,6 | 16,7 | C | 0 | 4 |
| 9 | 30708G1K02I1IAA | AT | RALLYE | SL/SB | STOFF | 529 | 2,0 | 88,6 | 18,8 | C | 0 | 5 |
| 10 | 30708G3L00I1IAA | AT | RALLYE | SOUL/SILBER | STOFF | 415 | 1,5 | 90,1 | 20,8 | C | 0 | 3 |
| 11 | 30708G3M00I1IAA | AT | RALLYE | SOUL/SILBER | STOFF | 415 | 1,5 | 91,7 | 22,9 | C | 0 | 3 |
| 12 | 30708H1K02I0IAA | AT | REGATTA | SOUL | STOFF | 406 | 1,5 | 93,2 | 25,0 | C | 0 | 5 |
| 13 | 30708H1K04I0IAA | AT | REGATTA | SOUL | STOFF | 354 | 1,3 | 94,5 | 27,1 | C | 0 | 6 |
| 14 | 30708F1K02I0IAA | AT | INDEX | SOUL | STOFF | 279 | 1,0 | 95,5 | 29,2 | C | 0 | 1 |
| 15 | 30708H1K03C0CAA | AT | REGATTA | FELSGRAU | STOFF | 252 | 0,9 | 96,5 | 31,3 | C | 0 | 3 |
| 16 | 30708H1K03T0TAA | AT | REGATTA | KASTANIENBRAUN | STOFF | 238 | 0,9 | 97,3 | 33,3 | C | 0 | 3 |
| 17 | 30708H1K04T0TAA | AT | REGATTA | KASTANIENBRAUN | STOFF | 209 | 0,8 | 98,1 | 35,4 | C | 0 | 2 |
| 18 | 30708F3L00I0IAA | AT | INDEX | SOUL | STOFF | 109 | 0,4 | 98,5 | 37,5 | C | 0 | 1 |
| 19 | 30708F3M00I0IAA | AT | INDEX | SOUL | STOFF | 109 | 0,4 | 98,9 | 39,6 | C | 0 | 1 |
| 20 | 30708H3L00I0IAA | AT | REGATTA | SOUL | STOFF | 55 | 0,2 | 99,1 | 41,7 | C | 0 | 1 |
| 21 | 30708H3M00I0IAA | AT | REGATTA | SOUL | STOFF | 55 | 0,2 | 99,3 | 43,8 | C | 0 | 1 |
| 22 | 30708H1K05T0TAA | AT | REGATTA | KASTANIENBRAUN | STOFF | 35 | 0,1 | 99,5 | 45,8 | C | 0 | 2 |
| 23 | 30708H1K02C0CAA | AT | REGATTA | FELSGRAU | STOFF | 26 | 0,1 | 99,6 | 47,9 | C | 0 | 2 |
| 24 | 30708G3L00I2IAA | AT | RALLYE | SOUL/ARABLAU | STOFF | 24 | 0,1 | 99,6 | 50,0 | C | 0 | 1 |
| 25 | 30708G3M00I2IAA | AT | RALLYE | SOUL/ARABLAU | STOFF | 24 | 0,1 | 99,7 | 52,1 | C | 0 | 1 |
| 26 | 30708H1K05C0CAA | AT | REGATTA | FELSGRAU | STOFF | 23 | 0,1 | 99,8 | 54,2 | C | 0 | 1 |
| 27 | 30708H1K04C0CAA | AT | REGATTA | FELSGRAU | STOFF | 21 | 0,1 | 99,9 | 56,3 | C | 0 | 2 |
| 28 | 30708H3L00C0CAA | AT | REGATTA | FELSGRAU | STOFF | 10 | 0,0 | 99,9 | 58,3 | C | 0 | 1 |
| 29 | 30708H3M00C0CAA | AT | REGATTA | FELSGRAU | STOFF | 10 | 0,0 | 100,0 | 60,4 | C | 0 | 1 |

| | | | | | | | | | | | | |
|----|-----------------|----|---------|----------------|-------|---|-----|-------|-------|---|---|---|
| 30 | 30708H1K02T0TAA | AT | REGATTA | KASTANIENBRAUN | STOFF | 7 | 0,0 | 100,0 | 62,5 | C | 0 | 1 |
| 31 | 30708F4K00I0IAA | AT | INDEX | SOUL | STOFF | 0 | 0,0 | 100,0 | 64,6 | C | 0 | 0 |
| 32 | 30708F4K01I0IAA | AT | INDEX | SOUL | STOFF | 0 | 0,0 | 100,0 | 66,7 | C | 0 | 0 |
| 33 | 30708G4K00I1IAA | AT | RALLYE | SOUL/SILBER | STOFF | 0 | 0,0 | 100,0 | 68,8 | C | 0 | 0 |
| 34 | 30708G4K00I2IAA | AT | RALLYE | SOUL/ARABLAU | STOFF | 0 | 0,0 | 100,0 | 70,8 | C | 0 | 0 |
| 35 | 30708G4K00I3IAA | AT | RALLYE | SOUL/ROTGRAU | STOFF | 0 | 0,0 | 100,0 | 72,9 | C | 0 | 0 |
| 36 | 30708G4K01I1IAA | AT | RALLYE | SOUL/SILBER | STOFF | 0 | 0,0 | 100,0 | 75,0 | C | 0 | 0 |
| 37 | 30708G4K01I2IAA | AT | RALLYE | SOUL/ARABLAU | STOFF | 0 | 0,0 | 100,0 | 77,1 | C | 0 | 0 |
| 38 | 30708G4K01I3IAA | AT | RALLYE | SOUL/ROTGRAU | STOFF | 0 | 0,0 | 100,0 | 79,2 | C | 0 | 0 |
| 39 | 30708G3L00I3IAA | AT | RALLYE | SOUL/ROTGRAU | STOFF | 0 | 0,0 | 100,0 | 81,3 | C | 0 | 0 |
| 40 | 30708G3M00I3IAA | AT | RALLYE | SOUL/ROTGRAU | STOFF | 0 | 0,0 | 100,0 | 83,3 | C | 0 | 0 |
| 41 | 30708H4K02I0IAA | AT | REGATTA | SOUL | STOFF | 0 | 0,0 | 100,0 | 85,4 | C | 0 | 0 |
| 42 | 30708H4K02C0CAA | AT | REGATTA | FELSGRAU | STOFF | 0 | 0,0 | 100,0 | 87,5 | C | 0 | 0 |
| 43 | 30708H4K02T0TAA | AT | REGATTA | KASTANIENBRAUN | STOFF | 0 | 0,0 | 100,0 | 89,6 | C | 0 | 0 |
| 44 | 30708H4K03I0IAA | AT | REGATTA | SOUL | STOFF | 0 | 0,0 | 100,0 | 91,7 | C | 0 | 0 |
| 45 | 30708H4K03C0CAA | AT | REGATTA | FELSGRAU | STOFF | 0 | 0,0 | 100,0 | 93,8 | C | 0 | 0 |
| 46 | 30708H4K03T0TAA | AT | REGATTA | KASTANIENBRAUN | STOFF | 0 | 0,0 | 100,0 | 95,8 | C | 0 | 0 |
| 47 | 30708H3L00T0TAA | AT | REGATTA | KASTANIENBRAUN | STOFF | 0 | 0,0 | 100,0 | 97,9 | C | 0 | 0 |
| 48 | 30708H3M00T0TAA | AT | REGATTA | KASTANIENBRAUN | STOFF | 0 | 0,0 | 100,0 | 100,0 | C | 0 | 0 |

Tabela 43 - Análise ABC encostos da frente AB3 Tecido

| | PN COINDU | Part | Variant | COLOR | TYPE | QTD | QTD % | Ac. QTD % | Ac. Art % | 53146 | 0 | 166 |
|----|-----------------|------|---------|----------------|-------|-------|-------|-----------|-----------|--------|--------------|---------------|
| | | | | | | | | | | Classe | Caixas Couro | Caixas Tecido |
| 1 | 30708F1F01I0IAB | EF | INDEX | SOUL | STOFF | 12608 | 23,7 | 23,7 | 1,2 | A | 0 | 18 |
| 2 | 30708F1G01I0IAB | EF | INDEX | SOUL | STOFF | 12608 | 23,7 | 47,4 | 2,4 | A | 0 | 18 |
| 3 | 30708G1G01I1IAB | EF | RALLYE | SL/SB | STOFF | 7136 | 13,4 | 60,9 | 3,7 | B | 0 | 19 |
| 4 | 30708G1F01I1IAB | EF | RALLYE | SL/SB | STOFF | 6784 | 12,8 | 73,6 | 4,9 | B | 0 | 19 |
| 5 | 30708H1G01I0IAA | EF | REGATTA | SOUL | STOFF | 4011 | 7,5 | 81,2 | 6,1 | B | 0 | 14 |
| 6 | 30708H1F01I0IAA | EF | REGATTA | SOUL | STOFF | 4004 | 7,5 | 88,7 | 7,3 | B | 0 | 14 |
| 7 | 30708G1F01I2IAA | EF | RALLYE | SL/AB | STOFF | 774 | 1,5 | 90,2 | 8,5 | C | 0 | 5 |
| 8 | 30708G1F01I3IAA | EF | RALLYE | SL/TR | STOFF | 706 | 1,3 | 91,5 | 9,8 | C | 0 | 4 |
| 9 | 30708G1G01I3IAA | EF | RALLYE | SL/TR | STOFF | 706 | 1,3 | 92,8 | 11,0 | C | 0 | 4 |
| 10 | 30708G1G01I2IAA | EF | RALLYE | SL/AB | STOFF | 704 | 1,3 | 94,2 | 12,2 | C | 0 | 5 |
| 11 | 30708H1F01T0TAA | EF | REGATTA | KASTANIENBRAUN | STOFF | 539 | 1,0 | 95,2 | 13,4 | C | 0 | 2 |
| 12 | 30708H1G01T0TAA | EF | REGATTA | KASTANIENBRAUN | STOFF | 539 | 1,0 | 96,2 | 14,6 | C | 0 | 2 |
| 13 | 30708H1F01C0CAA | EF | REGATTA | FELSGRAU | STOFF | 336 | 0,6 | 96,8 | 15,9 | C | 0 | 2 |

| | | | | | | | | | | | | |
|----|-----------------|----|---------|----------------|-------|-----|-----|-------|------|---|---|---|
| 14 | 30708H1G01C0CAA | EF | REGATTA | FELSGRAU | STOFF | 336 | 0,6 | 97,5 | 17,1 | C | 0 | 2 |
| 15 | 30708G3F00I1IAA | EF | RALLYE | SOUL/SILBER | STOFF | 177 | 0,3 | 97,8 | 18,3 | C | 0 | 2 |
| 16 | 30708H1F01I0IAB | EF | REGATTA | SOUL | STOFF | 175 | 0,3 | 98,1 | 19,5 | C | 0 | 6 |
| 17 | 30708G3F03I1IAA | EF | RALLYE | SOUL/SILBER | STOFF | 173 | 0,3 | 98,4 | 20,7 | C | 0 | 1 |
| 18 | 30708G3G00I1IAA | EF | RALLYE | SOUL/SILBER | STOFF | 173 | 0,3 | 98,8 | 22,0 | C | 0 | 2 |
| 19 | 30708G3G03I1IAA | EF | RALLYE | SOUL/SILBER | STOFF | 172 | 0,3 | 99,1 | 23,2 | C | 0 | 1 |
| 20 | 30708F3G00I0IAA | EF | INDEX | SOUL | STOFF | 109 | 0,2 | 99,3 | 24,4 | C | 0 | 1 |
| 21 | 30708F3F00I0IAA | EF | INDEX | SOUL | STOFF | 103 | 0,2 | 99,5 | 25,6 | C | 0 | 1 |
| 22 | 30708H3F00I0IAA | EF | REGATTA | SOUL | STOFF | 44 | 0,1 | 99,6 | 26,8 | C | 0 | 1 |
| 23 | 30708H3G00I0IAA | EF | REGATTA | SOUL | STOFF | 35 | 0,1 | 99,6 | 28,0 | C | 0 | 1 |
| 24 | 30708G3G00I3IAA | EF | RALLYE | SOUL/ROTGRAU | STOFF | 21 | 0,0 | 99,7 | 29,3 | C | 0 | 1 |
| 25 | 30708G3F00I3IAA | EF | RALLYE | SOUL/ROTGRAU | STOFF | 20 | 0,0 | 99,7 | 30,5 | C | 0 | 1 |
| 26 | 30708G3G00I2IAA | EF | RALLYE | SOUL/ARABLAU | STOFF | 20 | 0,0 | 99,7 | 31,7 | C | 0 | 1 |
| 27 | 30708G3F00I2IAA | EF | RALLYE | SOUL/ARABLAU | STOFF | 18 | 0,0 | 99,8 | 32,9 | C | 0 | 1 |
| 28 | 30708F4F01I0IAA | EF | INDEX | SOUL | STOFF | 14 | 0,0 | 99,8 | 34,1 | C | 0 | 0 |
| 29 | 30708H1F01T0TAB | EF | REGATTA | KASTANIENBRAUN | STOFF | 14 | 0,0 | 99,8 | 35,4 | C | 0 | 1 |
| 30 | 30708G3F03I2IAA | EF | RALLYE | SOUL/ARABLAU | STOFF | 12 | 0,0 | 99,9 | 36,6 | C | 0 | 1 |
| 31 | 30708G3G03I2IAA | EF | RALLYE | SOUL/ARABLAU | STOFF | 11 | 0,0 | 99,9 | 37,8 | C | 0 | 1 |
| 32 | 30708G3G60I1IAA | EF | RALLYE | SOUL/SILBER | STOFF | 9 | 0,0 | 99,9 | 39,0 | C | 0 | 1 |
| 33 | 30708G3F60I1IAA | EF | RALLYE | SOUL/SILBER | STOFF | 8 | 0,0 | 99,9 | 40,2 | C | 0 | 1 |
| 34 | 30708G3F03I3IAA | EF | RALLYE | SOUL/ROTGRAU | STOFF | 7 | 0,0 | 99,9 | 41,5 | C | 0 | 1 |
| 35 | 30708G3G03I3IAA | EF | RALLYE | SOUL/ROTGRAU | STOFF | 7 | 0,0 | 99,9 | 42,7 | C | 0 | 1 |
| 36 | 30708H1F01C0CAB | EF | REGATTA | FELSGRAU | STOFF | 7 | 0,0 | 100,0 | 43,9 | C | 0 | 1 |
| 37 | 30708G3G63I1IAA | EF | RALLYE | SOUL/SILBER | STOFF | 6 | 0,0 | 100,0 | 45,1 | C | 0 | 1 |
| 38 | 30708H3G00C0CAA | EF | REGATTA | FELSGRAU | STOFF | 5 | 0,0 | 100,0 | 46,3 | C | 0 | 1 |
| 39 | 30708G3F63I1IAA | EF | RALLYE | SOUL/SILBER | STOFF | 4 | 0,0 | 100,0 | 47,6 | C | 0 | 1 |
| 40 | 30708H3F00C0CAA | EF | REGATTA | FELSGRAU | STOFF | 3 | 0,0 | 100,0 | 48,8 | C | 0 | 1 |
| 41 | 30708H3F00T0TAA | EF | REGATTA | KASTANIENBRAUN | STOFF | 3 | 0,0 | 100,0 | 50,0 | C | 0 | 1 |
| 42 | 30708G3G63I2IAA | EF | RALLYE | SOUL/ARABLAU | STOFF | 1 | 0,0 | 100,0 | 51,2 | C | 0 | 1 |
| 43 | 30708H3F03T0TAA | EF | REGATTA | KASTANIENBRAUN | STOFF | 1 | 0,0 | 100,0 | 52,4 | C | 0 | 1 |
| 44 | 30708H3G00T0TAA | EF | REGATTA | KASTANIENBRAUN | STOFF | 1 | 0,0 | 100,0 | 53,7 | C | 0 | 1 |
| 45 | 30708H3G03I0IAA | EF | REGATTA | SOUL | STOFF | 1 | 0,0 | 100,0 | 54,9 | C | 0 | 1 |
| 46 | 30708H3G03T0TAA | EF | REGATTA | KASTANIENBRAUN | STOFF | 1 | 0,0 | 100,0 | 56,1 | C | 0 | 1 |
| 47 | 30708F4G01I0IAA | EF | INDEX | SOUL | STOFF | 0 | 0,0 | 100,0 | 57,3 | C | 0 | 0 |
| 48 | 30708G4F01I1IAA | EF | RALLYE | SOUL/SILBER | STOFF | 0 | 0,0 | 100,0 | 58,5 | C | 0 | 0 |
| 49 | 30708G4F01I2IAA | EF | RALLYE | SOUL/ARABLAU | STOFF | 0 | 0,0 | 100,0 | 59,8 | C | 0 | 0 |
| 50 | 30708G4F01I3IAA | EF | RALLYE | SOUL/ROTGRAU | STOFF | 0 | 0,0 | 100,0 | 61,0 | C | 0 | 0 |
| 51 | 30708G4G01I1IAA | EF | RALLYE | SOUL/SILBER | STOFF | 0 | 0,0 | 100,0 | 62,2 | C | 0 | 0 |

| | | | | | | | | | | | | |
|----|-----------------|----|---------|----------------|-------|---|-----|-------|-------|---|---|---|
| 52 | 30708G4G01I2IAA | EF | RALLYE | SOUL/ARABLAU | STOFF | 0 | 0,0 | 100,0 | 63,4 | C | 0 | 0 |
| 53 | 30708G4G01I3IAA | EF | RALLYE | SOUL/ROTORGRAU | STOFF | 0 | 0,0 | 100,0 | 64,6 | C | 0 | 0 |
| 54 | 30708G3F60I2IAA | EF | RALLYE | SOUL/ARABLAU | STOFF | 0 | 0,0 | 100,0 | 65,9 | C | 0 | 0 |
| 55 | 30708G3F60I3IAA | EF | RALLYE | SOUL/ROTORGRAU | STOFF | 0 | 0,0 | 100,0 | 67,1 | C | 0 | 0 |
| 56 | 30708G3F63I2IAA | EF | RALLYE | SOUL/ARABLAU | STOFF | 0 | 0,0 | 100,0 | 68,3 | C | 0 | 0 |
| 57 | 30708G3F63I3IAA | EF | RALLYE | SOUL/ROTORGRAU | STOFF | 0 | 0,0 | 100,0 | 69,5 | C | 0 | 0 |
| 58 | 30708G3G60I2IAA | EF | RALLYE | SOUL/ARABLAU | STOFF | 0 | 0,0 | 100,0 | 70,7 | C | 0 | 0 |
| 59 | 30708G3G60I3IAA | EF | RALLYE | SOUL/ROTORGRAU | STOFF | 0 | 0,0 | 100,0 | 72,0 | C | 0 | 0 |
| 60 | 30708G3G63I3IAA | EF | RALLYE | SOUL/ROTORGRAU | STOFF | 0 | 0,0 | 100,0 | 73,2 | C | 0 | 0 |
| 61 | 30708H4F01I0IAA | EF | REGATTA | SOUL | STOFF | 0 | 0,0 | 100,0 | 74,4 | C | 0 | 0 |
| 62 | 30708H4F01C0CAA | EF | REGATTA | FELSGRAU | STOFF | 0 | 0,0 | 100,0 | 75,6 | C | 0 | 0 |
| 63 | 30708H4F01T0TAA | EF | REGATTA | KASTANIENBRAUN | STOFF | 0 | 0,0 | 100,0 | 76,8 | C | 0 | 0 |
| 64 | 30708H4G01I0IAA | EF | REGATTA | SOUL | STOFF | 0 | 0,0 | 100,0 | 78,0 | C | 0 | 0 |
| 65 | 30708H4G01C0CAA | EF | REGATTA | FELSGRAU | STOFF | 0 | 0,0 | 100,0 | 79,3 | C | 0 | 0 |
| 66 | 30708H4G01T0TAA | EF | REGATTA | KASTANIENBRAUN | STOFF | 0 | 0,0 | 100,0 | 80,5 | C | 0 | 0 |
| 67 | 30708H3F03I0IAA | EF | REGATTA | SOUL | STOFF | 0 | 0,0 | 100,0 | 81,7 | C | 0 | 0 |
| 68 | 30708H3F03C0CAA | EF | REGATTA | FELSGRAU | STOFF | 0 | 0,0 | 100,0 | 82,9 | C | 0 | 0 |
| 69 | 30708H3F60I0IAA | EF | REGATTA | SOUL | STOFF | 0 | 0,0 | 100,0 | 84,1 | C | 0 | 0 |
| 70 | 30708H3F60C0CAA | EF | REGATTA | FELSGRAU | STOFF | 0 | 0,0 | 100,0 | 85,4 | C | 0 | 0 |
| 71 | 30708H3F60T0TAA | EF | REGATTA | KASTANIENBRAUN | STOFF | 0 | 0,0 | 100,0 | 86,6 | C | 0 | 0 |
| 72 | 30708H3G03C0CAA | EF | REGATTA | FELSGRAU | STOFF | 0 | 0,0 | 100,0 | 87,8 | C | 0 | 0 |
| 73 | 30708H3G60I0IAA | EF | REGATTA | SOUL | STOFF | 0 | 0,0 | 100,0 | 89,0 | C | 0 | 0 |
| 74 | 30708H3G60C0CAA | EF | REGATTA | FELSGRAU | STOFF | 0 | 0,0 | 100,0 | 90,2 | C | 0 | 0 |
| 75 | 30708H3G60T0TAA | EF | REGATTA | KASTANIENBRAUN | STOFF | 0 | 0,0 | 100,0 | 91,5 | C | 0 | 0 |
| 76 | 30708G1F01I2IAB | EF | RALLYE | SL/AB | STOFF | 0 | 0,0 | 100,0 | 92,7 | C | 0 | 0 |
| 77 | 30708G1G01I2IAB | EF | RALLYE | SL/AB | STOFF | 0 | 0,0 | 100,0 | 93,9 | C | 0 | 0 |
| 78 | 30708G1F01I3IAB | EF | RALLYE | SL/TR | STOFF | 0 | 0,0 | 100,0 | 95,1 | C | 0 | 0 |
| 79 | 30708G1G01I3IAB | EF | RALLYE | SL/TR | STOFF | 0 | 0,0 | 100,0 | 96,3 | C | 0 | 0 |
| 80 | 30708H1G01I0IAB | EF | REGATTA | SOUL | STOFF | 0 | 0,0 | 100,0 | 97,6 | C | 0 | 0 |
| 81 | 30708H1G01C0CAB | EF | REGATTA | FELSGRAU | STOFF | 0 | 0,0 | 100,0 | 98,8 | C | 0 | 0 |
| 82 | 30708H1G01T0TAB | EF | REGATTA | KASTANIENBRAUN | STOFF | 0 | 0,0 | 100,0 | 100,0 | C | 0 | 0 |

Tabela 44 - Análise ABC encostos traseiros AB3 Tecido

| | | | | | | 53305 | | | | 0 | 174 | |
|----|-----------------|------|---------|----------------|-------|-------|-------|-----------|-----------|--------|--------------|---------------|
| | PN COINDU | Part | Variant | COLOR | TYPE | QTD | QTD % | Ac. QTD % | Ac. Art % | Classe | Caixas Couro | Caixas Tecido |
| 1 | 30708F1Q00I0IAA | ET | INDEX | SOUL | STOFF | 11970 | 22,5 | 22,5 | 1,4 | A | 0 | 26 |
| 2 | 30708F1R00I0IAA | ET | INDEX | SOUL | STOFF | 11970 | 22,5 | 44,9 | 2,9 | A | 0 | 25 |
| 3 | 30708G1R00I1IAA | ET | RALLYE | SL/SB | STOFF | 6160 | 11,6 | 56,5 | 4,3 | A | 0 | 13 |
| 4 | 30708G1Q00I1IAA | ET | RALLYE | SL/SB | STOFF | 6020 | 11,3 | 67,8 | 5,7 | A | 0 | 13 |
| 5 | 30708H1R00I0IAA | ET | REGATTA | SOUL | STOFF | 3710 | 7,0 | 74,7 | 7,1 | B | 0 | 12 |
| 6 | 30708H1Q00I0IAA | ET | REGATTA | SOUL | STOFF | 3584 | 6,7 | 81,4 | 8,6 | B | 0 | 12 |
| 7 | 30708G1H00I1IAA | ET | RALLYE | SL/SB | STOFF | 1260 | 2,4 | 83,8 | 10,0 | B | 0 | 7 |
| 8 | 30708G1H02I1IAA | ET | RALLYE | SL/SB | STOFF | 1050 | 2,0 | 85,8 | 11,4 | B | 0 | 4 |
| 9 | 30708F1H00I0IAA | ET | INDEX | SOUL | STOFF | 665 | 1,2 | 87,0 | 12,9 | C | 0 | 3 |
| 10 | 30708F1H02I0IAA | ET | INDEX | SOUL | STOFF | 665 | 1,2 | 88,3 | 14,3 | C | 0 | 3 |
| 11 | 30708G1R00I3IAA | ET | RALLYE | SL/TR | STOFF | 661 | 1,2 | 89,5 | 15,7 | C | 0 | 3 |
| 12 | 30708G1Q00I2IAA | ET | RALLYE | SL/AB | STOFF | 560 | 1,1 | 90,6 | 17,1 | C | 0 | 4 |
| 13 | 30708G1R00I2IAA | ET | RALLYE | SL/AB | STOFF | 560 | 1,1 | 91,6 | 18,6 | C | 0 | 4 |
| 14 | 30708G1Q00I3IAA | ET | RALLYE | SL/TR | STOFF | 560 | 1,1 | 92,7 | 20,0 | C | 0 | 3 |
| 15 | 30708H1Q00T0TAA | ET | REGATTA | KASTANIENBRAUN | STOFF | 518 | 1,0 | 93,6 | 21,4 | C | 0 | 2 |
| 16 | 30708H1R00T0TAA | ET | REGATTA | KASTANIENBRAUN | STOFF | 518 | 1,0 | 94,6 | 22,9 | C | 0 | 2 |
| 17 | 30708H1H00I0IAA | ET | REGATTA | SOUL | STOFF | 434 | 0,8 | 95,4 | 24,3 | C | 0 | 6 |
| 18 | 30708G3R02I1IAA | ET | RALLYE | SOUL/SILBER | STOFF | 366 | 0,7 | 96,1 | 25,7 | C | 0 | 3 |
| 19 | 30708G3Q02I1IAA | ET | RALLYE | SOUL/SILBER | STOFF | 365 | 0,7 | 96,8 | 27,1 | C | 0 | 3 |
| 20 | 30708H1H02I0IAA | ET | REGATTA | SOUL | STOFF | 308 | 0,6 | 97,4 | 28,6 | C | 0 | 2 |
| 21 | 30708H1Q00C0CAA | ET | REGATTA | FELSGRAU | STOFF | 308 | 0,6 | 97,9 | 30,0 | C | 0 | 2 |
| 22 | 30708H1R00C0CAA | ET | REGATTA | FELSGRAU | STOFF | 308 | 0,6 | 98,5 | 31,4 | C | 0 | 2 |
| 23 | 30708G1H00I3IAA | ET | RALLYE | SL/TR | STOFF | 167 | 0,3 | 98,8 | 32,9 | C | 0 | 3 |
| 24 | 30708F3Q02I0IAA | ET | INDEX | SOUL | STOFF | 109 | 0,2 | 99,0 | 34,3 | C | 0 | 1 |
| 25 | 30708F3R02I0IAA | ET | INDEX | SOUL | STOFF | 109 | 0,2 | 99,2 | 35,7 | C | 0 | 1 |
| 26 | 30708G1H02I3IAA | ET | RALLYE | SL/TR | STOFF | 69 | 0,1 | 99,4 | 37,1 | C | 0 | 1 |
| 27 | 30708H3Q02I0IAA | ET | REGATTA | SOUL | STOFF | 55 | 0,1 | 99,5 | 38,6 | C | 0 | 1 |
| 28 | 30708H3R02I0IAA | ET | REGATTA | SOUL | STOFF | 55 | 0,1 | 99,6 | 40,0 | C | 0 | 1 |
| 29 | 30708G3Q02I3IAA | ET | RALLYE | SOUL/ROTGRAU | STOFF | 36 | 0,1 | 99,7 | 41,4 | C | 0 | 1 |
| 30 | 30708G3R02I3IAA | ET | RALLYE | SOUL/ROTGRAU | STOFF | 34 | 0,1 | 99,7 | 42,9 | C | 0 | 1 |
| 31 | 30708G3Q02I2IAA | ET | RALLYE | SOUL/ARABLAU | STOFF | 32 | 0,1 | 99,8 | 44,3 | C | 0 | 1 |
| 32 | 30708G3R02I2IAA | ET | RALLYE | SOUL/ARABLAU | STOFF | 32 | 0,1 | 99,8 | 45,7 | C | 0 | 1 |
| 33 | 30708G1H00I2IAA | ET | RALLYE | SL/AB | STOFF | 22 | 0,0 | 99,9 | 47,1 | C | 0 | 1 |
| 34 | 30708G1H02I2IAA | ET | RALLYE | SL/AB | STOFF | 22 | 0,0 | 99,9 | 48,6 | C | 0 | 1 |

| | | | | | | | | | | | | |
|----|-----------------|----|---------|----------------|-------|----|-----|-------|-------|---|---|---|
| 35 | 30708H1H00T0TAA | ET | REGATTA | KASTANIENBRAUN | STOFF | 10 | 0,0 | 99,9 | 50,0 | C | 0 | 1 |
| 36 | 30708H1H02T0TAA | ET | REGATTA | KASTANIENBRAUN | STOFF | 10 | 0,0 | 100,0 | 51,4 | C | 0 | 1 |
| 37 | 30708H3Q02C0CAA | ET | REGATTA | FELSGRAU | STOFF | 9 | 0,0 | 100,0 | 52,9 | C | 0 | 1 |
| 38 | 30708H3R02C0CAA | ET | REGATTA | FELSGRAU | STOFF | 6 | 0,0 | 100,0 | 54,3 | C | 0 | 1 |
| 39 | 30708H1H00C0CAA | ET | REGATTA | FELSGRAU | STOFF | 4 | 0,0 | 100,0 | 55,7 | C | 0 | 1 |
| 40 | 30708H1H02C0CAA | ET | REGATTA | FELSGRAU | STOFF | 4 | 0,0 | 100,0 | 57,1 | C | 0 | 1 |
| 41 | 30708F4Q00I0IAA | ET | INDEX | SOUL | STOFF | 0 | 0,0 | 100,0 | 58,6 | C | 0 | 0 |
| 42 | 30708F4R00I0IAA | ET | INDEX | SOUL | STOFF | 0 | 0,0 | 100,0 | 60,0 | C | 0 | 0 |
| 43 | 30708F4H00I0IAA | ET | INDEX | SOUL | STOFF | 0 | 0,0 | 100,0 | 61,4 | C | 0 | 0 |
| 44 | 30708F4H02I0IAA | ET | INDEX | SOUL | STOFF | 0 | 0,0 | 100,0 | 62,9 | C | 0 | 0 |
| 45 | 30708G4Q00I1IAA | ET | RALLYE | SOUL/SILBER | STOFF | 0 | 0,0 | 100,0 | 64,3 | C | 0 | 0 |
| 46 | 30708G4Q00I2IAA | ET | RALLYE | SOUL/ARABLAU | STOFF | 0 | 0,0 | 100,0 | 65,7 | C | 0 | 0 |
| 47 | 30708G4Q00I3IAA | ET | RALLYE | SOUL/ROTGRAU | STOFF | 0 | 0,0 | 100,0 | 67,1 | C | 0 | 0 |
| 48 | 30708G4R00I1IAA | ET | RALLYE | SOUL/SILBER | STOFF | 0 | 0,0 | 100,0 | 68,6 | C | 0 | 0 |
| 49 | 30708G4R00I2IAA | ET | RALLYE | SOUL/ARABLAU | STOFF | 0 | 0,0 | 100,0 | 70,0 | C | 0 | 0 |
| 50 | 30708G4R00I3IAA | ET | RALLYE | SOUL/ROTGRAU | STOFF | 0 | 0,0 | 100,0 | 71,4 | C | 0 | 0 |
| 51 | 30708G4H00I1IAA | ET | RALLYE | SOUL/SILBER | STOFF | 0 | 0,0 | 100,0 | 72,9 | C | 0 | 0 |
| 52 | 30708G4H00I2IAA | ET | RALLYE | SOUL/ARABLAU | STOFF | 0 | 0,0 | 100,0 | 74,3 | C | 0 | 0 |
| 53 | 30708G4H00I3IAA | ET | RALLYE | SOUL/ROTGRAU | STOFF | 0 | 0,0 | 100,0 | 75,7 | C | 0 | 0 |
| 54 | 30708G4H02I1IAA | ET | RALLYE | SOUL/SILBER | STOFF | 0 | 0,0 | 100,0 | 77,1 | C | 0 | 0 |
| 55 | 30708G4H02I2IAA | ET | RALLYE | SOUL/ARABLAU | STOFF | 0 | 0,0 | 100,0 | 78,6 | C | 0 | 0 |
| 56 | 30708G4H02I3IAA | ET | RALLYE | SOUL/ROTGRAU | STOFF | 0 | 0,0 | 100,0 | 80,0 | C | 0 | 0 |
| 57 | 30708H4Q00I0IAA | ET | REGATTA | SOUL | STOFF | 0 | 0,0 | 100,0 | 81,4 | C | 0 | 0 |
| 58 | 30708H4Q00C0CAA | ET | REGATTA | FELSGRAU | STOFF | 0 | 0,0 | 100,0 | 82,9 | C | 0 | 0 |
| 59 | 30708H4Q00T0TAA | ET | REGATTA | KASTANIENBRAUN | STOFF | 0 | 0,0 | 100,0 | 84,3 | C | 0 | 0 |
| 60 | 30708H4R00I0IAA | ET | REGATTA | SOUL | STOFF | 0 | 0,0 | 100,0 | 85,7 | C | 0 | 0 |
| 61 | 30708H4R00C0CAA | ET | REGATTA | FELSGRAU | STOFF | 0 | 0,0 | 100,0 | 87,1 | C | 0 | 0 |
| 62 | 30708H4R00T0TAA | ET | REGATTA | KASTANIENBRAUN | STOFF | 0 | 0,0 | 100,0 | 88,6 | C | 0 | 0 |
| 63 | 30708H4H00I0IAA | ET | REGATTA | SOUL | STOFF | 0 | 0,0 | 100,0 | 90,0 | C | 0 | 0 |
| 64 | 30708H4H00C0CAA | ET | REGATTA | FELSGRAU | STOFF | 0 | 0,0 | 100,0 | 91,4 | C | 0 | 0 |
| 65 | 30708H4H00T0TAA | ET | REGATTA | KASTANIENBRAUN | STOFF | 0 | 0,0 | 100,0 | 92,9 | C | 0 | 0 |
| 66 | 30708H4H02I0IAA | ET | REGATTA | SOUL | STOFF | 0 | 0,0 | 100,0 | 94,3 | C | 0 | 0 |
| 67 | 30708H4H02C0CAA | ET | REGATTA | FELSGRAU | STOFF | 0 | 0,0 | 100,0 | 95,7 | C | 0 | 0 |
| 68 | 30708H4H02T0TAA | ET | REGATTA | KASTANIENBRAUN | STOFF | 0 | 0,0 | 100,0 | 97,1 | C | 0 | 0 |
| 69 | 30708H3Q02T0TAA | ET | REGATTA | KASTANIENBRAUN | STOFF | 0 | 0,0 | 100,0 | 98,6 | C | 0 | 0 |
| 70 | 30708H3R02T0TAA | ET | REGATTA | KASTANIENBRAUN | STOFF | 0 | 0,0 | 100,0 | 100,0 | C | 0 | 0 |

Para o projeto AB3 couro, foi realizado o estudo de cada tipo de peça para as variantes *basis*, *sport* e *super sport*, na Tabela 45 encontra-se o estudo realizado para este projeto.

Tabela 45 - Estudo das caixas necessárias AB3 Couro

| PN COINDU | EDI FORECAST | | 16 | 39 | 12964 | 5506 | | | | | | | | | | | | | 1293 | 1293 |
|-----------------|-----------------|------|-------|----|-------|-------|-----------|----------------|------------------|------------------|---------------|-----------------|-----------|-------------|-------------------|---------------------|-------------------|------------------------|---------------|------|
| | Variante | Tipo | | | | | QTD teste | Caixa Couro kg | Caixa Tecidos kg | Módulo embalagem | QTD Máx Couro | QTD Máx Tecidos | MMC Couro | MMC Tecidos | QTD Efetiva Couro | QTD Efetiva Tecidos | EDI Diário Máximo | Variação Cliente (15%) | Stock (2dias) | |
| 30708J5B00I0IAA | 0 | 0 | Basis | AF | 10 | 10,39 | 4,86 | 10 | 15 | 33 | 10 | 30 | 10 | 10 | 0,0 | 0 | 0 | 0 | 0 | 0 |
| 30708J5C00I0IAA | 0 | 0 | Basis | AF | 10 | 10,39 | 4,86 | 10 | 15 | 33 | 10 | 30 | 10 | 10 | 0,0 | 0 | 0 | 0 | 0 | 0 |
| 30708M5B00T0TAA | 0 | 0 | Basis | AF | 10 | 10,39 | 4,86 | 10 | 15 | 33 | 10 | 30 | 10 | 10 | 0,0 | 0 | 0 | 0 | 0 | 0 |
| 30708M5C00T0TAA | 0 | 0 | Basis | AF | 10 | 10,39 | 4,86 | 10 | 15 | 33 | 10 | 30 | 10 | 10 | 0,0 | 0 | 0 | 0 | 0 | 0 |
| 30708M5B00I0IAA | 0 | 0 | Basis | AF | 10 | 10,39 | 4,86 | 10 | 15 | 33 | 10 | 30 | 10 | 10 | 0,0 | 0 | 0 | 0 | 0 | 0 |
| 30708M5C00I0IAA | 0 | 0 | Basis | AF | 10 | 10,39 | 4,86 | 10 | 15 | 33 | 10 | 30 | 10 | 10 | 0,0 | 0 | 0 | 0 | 0 | 0 |
| 30708M5B00C0CAA | 0 | 0 | Basis | AF | 10 | 10,39 | 4,86 | 10 | 15 | 33 | 10 | 30 | 10 | 10 | 0,0 | 0 | 0 | 0 | 0 | 0 |
| 30708M5C00C0CAA | 0 | 0 | Basis | AF | 10 | 10,39 | 4,86 | 10 | 15 | 33 | 10 | 30 | 10 | 10 | 0,0 | 0 | 0 | 0 | 0 | 0 |
| 30708Q5B00I0IAA | 0 | 0 | Basis | AF | 10 | 10,39 | 4,86 | 10 | 15 | 33 | 10 | 30 | 10 | 10 | 2,0 | 3 | 6 | 1 | 1 | |
| 30708Q5C00I0IAA | 0 | 0 | Basis | AF | 10 | 10,39 | 4,86 | 10 | 15 | 33 | 10 | 30 | 10 | 10 | 2,0 | 3 | 6 | 1 | 1 | |
| 30708W5B00T0TAA | 0 | 0 | Basis | AF | 10 | 10,39 | 4,86 | 10 | 15 | 33 | 10 | 30 | 10 | 10 | 2,0 | 3 | 6 | 1 | 1 | |
| 30708W5C00T0TAA | 0 | 0 | Basis | AF | 10 | 10,39 | 4,86 | 10 | 15 | 33 | 10 | 30 | 10 | 10 | 2,0 | 3 | 6 | 1 | 1 | |
| 30708W5B00I0IAA | 0 | 0 | Basis | AF | 10 | 10,39 | 4,86 | 24 | 15 | 33 | 12 | 24 | 12 | 12 | 9,6 | 12 | 24 | 2 | 2 | |
| 30708W5C00I0IAA | 0 | 0 | Basis | AF | 10 | 10,39 | 4,86 | 24 | 15 | 33 | 12 | 24 | 12 | 12 | 9,6 | 12 | 24 | 2 | 2 | |
| 30708W5B00C0CAA | 10 | 0 | Basis | AF | 10 | 10,39 | 4,86 | 10 | 15 | 33 | 10 | 30 | 10 | 10 | 4,0 | 5 | 10 | 1 | 1 | |
| 30708W5C00C0CAA | 0 | 0 | Basis | AF | 10 | 10,39 | 4,86 | 10 | 15 | 33 | 10 | 30 | 10 | 10 | 4,0 | 5 | 10 | 1 | 1 | |
| 30708A5B20I0FAA | 0 | 0 | Sport | AF | 20 | 8,39 | 10,3 | 10 | 38 | 31 | 30 | 30 | 30 | 30 | 0,0 | 0 | 0 | 0 | 0 | |
| 30708A5C20I0FAA | 0 | 0 | Sport | AF | 20 | 8,39 | 10,3 | 10 | 38 | 31 | 30 | 30 | 30 | 30 | 0,0 | 0 | 0 | 0 | 0 | |
| 30708B5B20T0TAA | 0 | 0 | Sport | AF | 20 | 8,39 | 10,3 | 10 | 38 | 31 | 30 | 30 | 30 | 30 | 0,0 | 0 | 0 | 0 | 0 | |
| 30708B5C20T0TAA | 0 | 0 | Sport | AF | 20 | 8,39 | 10,3 | 10 | 38 | 31 | 30 | 30 | 30 | 30 | 0,0 | 0 | 0 | 0 | 0 | |
| 30708B5B20I0IAA | 0 | 0 | Sport | AF | 20 | 8,39 | 10,3 | 10 | 38 | 31 | 30 | 30 | 30 | 30 | 0,0 | 0 | 0 | 0 | 0 | |
| 30708B5C20I0IAA | 0 | 0 | Sport | AF | 20 | 8,39 | 10,3 | 10 | 38 | 31 | 30 | 30 | 30 | 30 | 0,0 | 0 | 0 | 0 | 0 | |
| 30708B5B20C0CAA | 0 | 0 | Sport | AF | 20 | 8,39 | 10,3 | 10 | 38 | 31 | 30 | 30 | 30 | 30 | 0,0 | 0 | 0 | 0 | 0 | |
| 30708B5C20C0CAA | 0 | 0 | Sport | AF | 20 | 8,39 | 10,3 | 10 | 38 | 31 | 30 | 30 | 30 | 30 | 0,0 | 0 | 0 | 0 | 0 | |
| 30708C5B20T0TAA | 0 | 0 | Sport | AF | 20 | 8,39 | 10,3 | 10 | 38 | 31 | 30 | 30 | 30 | 30 | 0,0 | 0 | 0 | 0 | 0 | |

| | | | | | | | | | | | | | | | | | | | |
|-----------------|----|---|--------|----|----|-------|------|----|----|----|----|----|----|----|------|----|----|---|---|
| 30708F5C20TOTAA | 5 | 0 | Sport | AF | 20 | 8,39 | 10,3 | 10 | 38 | 31 | 30 | 30 | 30 | 30 | 1,0 | 2 | 4 | 1 | 1 |
| 30708F5B20I0IAA | 20 | 0 | Sport | AF | 20 | 8,39 | 10,3 | 10 | 38 | 31 | 30 | 30 | 30 | 30 | 4,0 | 5 | 10 | 1 | 1 |
| 30708F5C20I0IAA | 20 | 0 | Sport | AF | 20 | 8,39 | 10,3 | 10 | 38 | 31 | 30 | 30 | 30 | 30 | 4,0 | 5 | 10 | 1 | 1 |
| 30708F5B20C0CAA | 4 | 0 | Sport | AF | 20 | 8,39 | 10,3 | 10 | 38 | 31 | 30 | 30 | 30 | 30 | 1,2 | 2 | 4 | 1 | 1 |
| 30708F5C20C0CAA | 4 | 0 | Sport | AF | 20 | 8,39 | 10,3 | 10 | 38 | 31 | 30 | 30 | 30 | 30 | 1,2 | 2 | 4 | 1 | 1 |
| 30708G5B20T0TAA | 0 | 0 | Sport | AF | 20 | 8,39 | 10,3 | 10 | 38 | 31 | 30 | 30 | 30 | 30 | 0,2 | 1 | 2 | 1 | 1 |
| 30708G5C20T0TAA | 0 | 0 | Sport | AF | 20 | 8,39 | 10,3 | 10 | 38 | 31 | 30 | 30 | 30 | 30 | 0,2 | 1 | 2 | 1 | 1 |
| 30708G5B20I0IAA | 0 | 0 | Sport | AF | 20 | 8,39 | 10,3 | 10 | 38 | 31 | 30 | 30 | 30 | 30 | 2,0 | 3 | 6 | 1 | 1 |
| 30708G5C20I0IAA | 0 | 0 | Sport | AF | 20 | 8,39 | 10,3 | 10 | 38 | 31 | 30 | 30 | 30 | 30 | 2,0 | 3 | 6 | 1 | 1 |
| 30708G5B20C0CAA | 0 | 0 | Sport | AF | 20 | 8,39 | 10,3 | 10 | 38 | 31 | 30 | 30 | 30 | 30 | 0,0 | 0 | 0 | 0 | 0 |
| 30708G5C20C0CAA | 0 | 0 | Sport | AF | 20 | 8,39 | 10,3 | 10 | 38 | 31 | 30 | 30 | 30 | 30 | 0,2 | 1 | 2 | 1 | 1 |
| 30708R5B20C1IAA | 1 | 0 | Sport | AF | 20 | 8,39 | 10,3 | 10 | 38 | 31 | 30 | 30 | 30 | 30 | 1,0 | 2 | 4 | 1 | 1 |
| 30708R5C20C1IAA | 0 | 0 | Sport | AF | 20 | 8,39 | 10,3 | 10 | 38 | 31 | 30 | 30 | 30 | 30 | 1,0 | 2 | 4 | 1 | 1 |
| 30708R5B20I0CAA | 20 | 0 | Sport | AF | 20 | 8,39 | 10,3 | 10 | 38 | 31 | 30 | 30 | 30 | 30 | 6,0 | 7 | 14 | 1 | 1 |
| 30708R5C20I0CAA | 10 | 0 | Sport | AF | 20 | 8,39 | 10,3 | 10 | 38 | 31 | 30 | 30 | 30 | 30 | 6,0 | 7 | 14 | 1 | 1 |
| 30708R5B20I1HAA | 2 | 0 | Sport | AF | 20 | 8,39 | 10,3 | 10 | 38 | 31 | 30 | 30 | 30 | 30 | 1,0 | 2 | 4 | 1 | 1 |
| 30708R5C20I1HAA | 2 | 0 | Sport | AF | 20 | 8,39 | 10,3 | 10 | 38 | 31 | 30 | 30 | 30 | 30 | 1,0 | 2 | 4 | 1 | 1 |
| 30708R5B20I4TAA | 0 | 0 | Sport | AF | 20 | 8,39 | 10,3 | 10 | 38 | 31 | 30 | 30 | 30 | 30 | 0,0 | 0 | 0 | 0 | 0 |
| 30708R5C20I4TAA | 0 | 0 | Sport | AF | 20 | 8,39 | 10,3 | 10 | 38 | 31 | 30 | 30 | 30 | 30 | 0,0 | 0 | 0 | 0 | 0 |
| 30708S5B20I0IAA | 10 | 0 | Sport | AF | 20 | 8,39 | 10,3 | 10 | 38 | 31 | 30 | 30 | 30 | 30 | 4,0 | 5 | 10 | 1 | 1 |
| 30708S5C20I0IAA | 0 | 0 | Sport | AF | 20 | 8,39 | 10,3 | 10 | 38 | 31 | 30 | 30 | 30 | 30 | 4,0 | 5 | 10 | 1 | 1 |
| 30708S5B20C0CAA | 0 | 0 | Sport | AF | 20 | 8,39 | 10,3 | 10 | 38 | 31 | 30 | 30 | 30 | 30 | 0,8 | 1 | 2 | 1 | 1 |
| 30708S5C20C0CAA | 0 | 0 | Sport | AF | 20 | 8,39 | 10,3 | 10 | 38 | 31 | 30 | 30 | 30 | 30 | 0,8 | 1 | 2 | 1 | 1 |
| 30708T5B20C1IAA | 3 | 0 | Sport | AF | 20 | 8,39 | 10,3 | 10 | 38 | 31 | 30 | 30 | 30 | 30 | 1,4 | 2 | 4 | 1 | 1 |
| 30708T5C20C1IAA | 0 | 0 | Sport | AF | 20 | 8,39 | 10,3 | 10 | 38 | 31 | 30 | 30 | 30 | 30 | 1,4 | 2 | 4 | 1 | 1 |
| 30708T5B20I0CAA | 20 | 0 | Sport | AF | 20 | 8,39 | 10,3 | 10 | 38 | 31 | 30 | 30 | 30 | 30 | 8,0 | 10 | 20 | 1 | 1 |
| 30708T5C20I0CAA | 20 | 0 | Sport | AF | 20 | 8,39 | 10,3 | 10 | 38 | 31 | 30 | 30 | 30 | 30 | 8,0 | 10 | 20 | 1 | 1 |
| 30708U5B20I0CAA | 40 | 0 | Sport | AF | 20 | 8,39 | 10,3 | 10 | 38 | 31 | 30 | 30 | 30 | 30 | 14,0 | 17 | 34 | 2 | 2 |
| 30708U5C20I0CAA | 30 | 0 | Sport | AF | 20 | 8,39 | 10,3 | 10 | 38 | 31 | 30 | 30 | 30 | 30 | 12,0 | 14 | 28 | 1 | 1 |
| 30708V5B20I0HAA | 2 | 0 | Sport | AF | 20 | 8,39 | 10,3 | 10 | 38 | 31 | 30 | 30 | 30 | 30 | 0,4 | 1 | 2 | 1 | 1 |
| 30708V5C20I0HAA | 2 | 0 | Sport | AF | 20 | 8,39 | 10,3 | 10 | 38 | 31 | 30 | 30 | 30 | 30 | 0,4 | 1 | 2 | 1 | 1 |
| 30708I5B20I2HAA | 0 | 0 | Sport | AF | 20 | 8,39 | 10,3 | 10 | 38 | 31 | 30 | 30 | 30 | 30 | 0,0 | 0 | 0 | 0 | 0 |
| 30708I5C20I2HAA | 0 | 0 | Sport | AF | 20 | 8,39 | 10,3 | 10 | 38 | 31 | 30 | 30 | 30 | 30 | 0,0 | 0 | 0 | 0 | 0 |
| 30708P5B40I1CAA | 0 | 0 | SSport | AF | 24 | 19,87 | 5,13 | 10 | 19 | 75 | 10 | 70 | 10 | 10 | 0,0 | 0 | 0 | 0 | 0 |
| 30708P5C40I1CAA | 0 | 0 | SSport | AF | 24 | 19,87 | 5,13 | 10 | 19 | 75 | 10 | 70 | 10 | 10 | 0,0 | 0 | 0 | 0 | 0 |
| 30708P5B40I3HAA | 0 | 0 | SSport | AF | 24 | 19,87 | 5,13 | 10 | 19 | 75 | 10 | 70 | 10 | 10 | 0,0 | 0 | 0 | 0 | 0 |

| | | | | | | | | | | | | | | | | | | | |
|-----------------|-----|-----|--------|----|----|-------|-------|----|----|----|----|----|----|----|-------|-----|-----|----|----|
| 30708P5C40I3HAA | 0 | 0 | SSport | AF | 24 | 19,87 | 5,13 | 10 | 19 | 75 | 10 | 70 | 10 | 10 | 0,0 | 0 | 0 | 0 | 0 |
| 30708P5B40C2IAA | 0 | 0 | SSport | AF | 24 | 19,87 | 5,13 | 10 | 19 | 75 | 10 | 70 | 10 | 10 | 0,0 | 0 | 0 | 0 | 0 |
| 30708P5C40C2IAA | 0 | 0 | SSport | AF | 24 | 19,87 | 5,13 | 10 | 19 | 75 | 10 | 70 | 10 | 10 | 0,0 | 0 | 0 | 0 | 0 |
| 30708J2B00I0IAA | 0 | 0 | Basis | AF | 10 | 10,39 | 4,86 | 4 | 15 | 33 | 12 | 32 | 12 | 12 | 4,8 | 6 | 12 | 1 | 1 |
| 30708J2C00I0IAA | 4 | 0 | Basis | AF | 10 | 10,39 | 4,86 | 4 | 15 | 33 | 12 | 32 | 12 | 12 | 4,8 | 6 | 12 | 1 | 1 |
| 30708M2B00I0IAA | 64 | 2 | Basis | AF | 10 | 10,39 | 4,86 | 4 | 15 | 33 | 12 | 32 | 12 | 12 | 35,2 | 41 | 82 | 7 | 7 |
| 30708M2C00I0IAA | 64 | 0 | Basis | AF | 10 | 10,39 | 4,86 | 4 | 15 | 33 | 12 | 32 | 12 | 12 | 35,2 | 41 | 82 | 7 | 7 |
| 30708M2B00T0TAA | 8 | 8 | Basis | AF | 10 | 10,39 | 4,86 | 4 | 15 | 33 | 12 | 32 | 12 | 12 | 16,0 | 19 | 38 | 4 | 4 |
| 30708M2C00T0TAA | 8 | 8 | Basis | AF | 10 | 10,39 | 4,86 | 4 | 15 | 33 | 12 | 32 | 12 | 12 | 16,0 | 19 | 38 | 4 | 4 |
| 30708M2B00C0CAA | 4 | 8 | Basis | AF | 10 | 10,39 | 4,86 | 4 | 15 | 33 | 12 | 32 | 12 | 12 | 12,8 | 15 | 30 | 3 | 3 |
| 30708M2C00C0CAA | 4 | 8 | Basis | AF | 10 | 10,39 | 4,86 | 4 | 15 | 33 | 12 | 32 | 12 | 12 | 12,8 | 15 | 30 | 3 | 3 |
| 30708L7B00I0IAA | 224 | 31 | Basis | AF | 10 | 10,39 | 4,86 | 4 | 15 | 33 | 12 | 32 | 12 | 12 | 70,4 | 81 | 162 | 14 | 14 |
| 30708L7C00I0IAA | 224 | 31 | Basis | AF | 10 | 10,39 | 4,86 | 4 | 15 | 33 | 12 | 32 | 12 | 12 | 70,4 | 81 | 162 | 14 | 14 |
| 30708L7B00C0CAA | 40 | 5 | Basis | AF | 10 | 10,39 | 4,86 | 4 | 15 | 33 | 12 | 32 | 12 | 12 | 12,0 | 14 | 28 | 3 | 3 |
| 30708L7C00C0CAA | 40 | 5 | Basis | AF | 10 | 10,39 | 4,86 | 4 | 15 | 33 | 12 | 32 | 12 | 12 | 12,0 | 14 | 28 | 3 | 3 |
| 30708L7B00T0TAA | 28 | 3 | Basis | AF | 10 | 10,39 | 4,86 | 4 | 15 | 33 | 12 | 32 | 12 | 12 | 11,2 | 13 | 26 | 3 | 3 |
| 30708L7C00T0TAA | 28 | 3 | Basis | AF | 10 | 10,39 | 4,86 | 4 | 15 | 33 | 12 | 32 | 12 | 12 | 11,2 | 13 | 26 | 3 | 3 |
| 30708C2B20I0IAA | 48 | 48 | Sport | AF | 20 | 8,39 | 10,33 | 4 | 38 | 31 | 36 | 28 | 28 | 28 | 28,8 | 34 | 68 | 3 | 3 |
| 30708C2C20I0IAA | 48 | 45 | Sport | AF | 20 | 8,39 | 10,33 | 4 | 38 | 31 | 36 | 28 | 28 | 28 | 28,8 | 34 | 68 | 3 | 3 |
| 30708C2B20T0TAA | 4 | 26 | Sport | AF | 20 | 8,39 | 10,33 | 4 | 38 | 31 | 36 | 28 | 28 | 28 | 20,0 | 23 | 46 | 2 | 2 |
| 30708C2C20T0TAA | 4 | 26 | Sport | AF | 20 | 8,39 | 10,33 | 4 | 38 | 31 | 36 | 28 | 28 | 28 | 20,0 | 23 | 46 | 2 | 2 |
| 30708C2B20C0CAA | 4 | 12 | Sport | AF | 20 | 8,39 | 10,33 | 4 | 38 | 31 | 36 | 28 | 28 | 28 | 10,4 | 12 | 24 | 1 | 1 |
| 30708C2C20C0CAA | 4 | 11 | Sport | AF | 20 | 8,39 | 10,33 | 4 | 38 | 31 | 36 | 28 | 28 | 28 | 10,4 | 12 | 24 | 1 | 1 |
| 30708E2B20I0IAA | 32 | 20 | Sport | AF | 20 | 8,39 | 10,33 | 4 | 38 | 31 | 36 | 28 | 28 | 28 | 19,2 | 23 | 46 | 2 | 2 |
| 30708E2C20I0IAA | 32 | 5 | Sport | AF | 20 | 8,39 | 10,33 | 4 | 38 | 31 | 36 | 28 | 28 | 28 | 19,2 | 23 | 46 | 2 | 2 |
| 30708E2B20C0CAA | 4 | 3 | Sport | AF | 20 | 8,39 | 10,33 | 4 | 38 | 31 | 36 | 28 | 28 | 28 | 10,4 | 12 | 24 | 1 | 1 |
| 30708E2C20C0CAA | 4 | 4 | Sport | AF | 20 | 8,39 | 10,33 | 4 | 38 | 31 | 36 | 28 | 28 | 28 | 10,4 | 12 | 24 | 1 | 1 |
| 30708K2B20I0HAA | 0 | 7 | Sport | AF | 20 | 8,39 | 10,33 | 4 | 38 | 31 | 36 | 28 | 28 | 28 | 4,8 | 6 | 12 | 1 | 1 |
| 30708K2C20I0HAA | 0 | 7 | Sport | AF | 20 | 8,39 | 10,33 | 4 | 38 | 31 | 36 | 28 | 28 | 28 | 4,8 | 6 | 12 | 1 | 1 |
| 30708B2B20I0IAA | 32 | 2 | Sport | AF | 20 | 8,39 | 10,33 | 4 | 38 | 31 | 36 | 28 | 28 | 28 | 22,4 | 26 | 52 | 2 | 2 |
| 30708B2C20I0IAA | 32 | 1 | Sport | AF | 20 | 8,39 | 10,33 | 4 | 38 | 31 | 36 | 28 | 28 | 28 | 22,4 | 26 | 52 | 2 | 2 |
| 30708B2B20T0TAA | 4 | 2 | Sport | AF | 20 | 8,39 | 10,33 | 4 | 38 | 31 | 36 | 28 | 28 | 28 | 5,6 | 7 | 14 | 1 | 1 |
| 30708B2C20T0TAA | 4 | 2 | Sport | AF | 20 | 8,39 | 10,33 | 4 | 38 | 31 | 36 | 28 | 28 | 28 | 5,6 | 7 | 14 | 1 | 1 |
| 30708B2B20C0CAA | 4 | 0 | Sport | AF | 20 | 8,39 | 10,33 | 4 | 38 | 31 | 36 | 28 | 28 | 28 | 5,6 | 7 | 14 | 1 | 1 |
| 30708B2C20C0CAA | 4 | 0 | Sport | AF | 20 | 8,39 | 10,33 | 4 | 38 | 31 | 36 | 28 | 28 | 28 | 5,6 | 7 | 14 | 1 | 1 |
| 30708N2B20I0CAA | 400 | 415 | Sport | AF | 20 | 8,39 | 10,33 | 4 | 38 | 31 | 36 | 28 | 28 | 28 | 179,2 | 207 | 414 | 15 | 15 |

| | | | | | | | | | | | | | | | | | | | |
|-----------------|-----|-----|-------|----|----|------|-------|---|----|----|----|----|----|----|-------|-----|-----|----|----|
| 30708N2C20I0CAA | 400 | 414 | Sport | AF | 20 | 8,39 | 10,33 | 4 | 38 | 31 | 36 | 28 | 28 | 28 | 179,2 | 207 | 414 | 15 | 15 |
| 30708O2B20I0CAA | 48 | 33 | Sport | AF | 20 | 8,39 | 10,33 | 4 | 38 | 31 | 36 | 28 | 28 | 28 | 25,6 | 30 | 60 | 3 | 3 |
| 30708O2C20I0CAA | 48 | 33 | Sport | AF | 20 | 8,39 | 10,33 | 4 | 38 | 31 | 36 | 28 | 28 | 28 | 25,6 | 30 | 60 | 3 | 3 |
| 30708O2B20C1IAA | 0 | 9 | Sport | AF | 20 | 8,39 | 10,33 | 4 | 38 | 31 | 36 | 28 | 28 | 28 | 8,8 | 11 | 22 | 1 | 1 |
| 30708O2C20C1IAA | 0 | 9 | Sport | AF | 20 | 8,39 | 10,33 | 4 | 38 | 31 | 36 | 28 | 28 | 28 | 8,8 | 11 | 22 | 1 | 1 |
| 30708I2B20C1IAA | 7 | 0 | Sport | AF | 20 | 8,39 | 10,33 | 4 | 38 | 31 | 36 | 28 | 28 | 28 | 2,8 | 4 | 8 | 1 | 1 |
| 30708I2C20C1IAA | 7 | 0 | Sport | AF | 20 | 8,39 | 10,33 | 4 | 38 | 31 | 36 | 28 | 28 | 28 | 2,6 | 3 | 6 | 1 | 1 |
| 30708I2B20I0CAA | 96 | 66 | Sport | AF | 20 | 8,39 | 10,33 | 4 | 38 | 31 | 36 | 28 | 28 | 28 | 28,8 | 34 | 68 | 3 | 3 |
| 30708I2C20I0CAA | 112 | 63 | Sport | AF | 20 | 8,39 | 10,33 | 4 | 38 | 31 | 36 | 28 | 28 | 28 | 32,0 | 37 | 74 | 3 | 3 |
| 30708I2B20I1HAA | 12 | 0 | Sport | AF | 20 | 8,39 | 10,33 | 4 | 38 | 31 | 36 | 28 | 28 | 28 | 4,8 | 6 | 12 | 1 | 1 |
| 30708I2C20I1HAA | 12 | 0 | Sport | AF | 20 | 8,39 | 10,33 | 4 | 38 | 31 | 36 | 28 | 28 | 28 | 4,8 | 6 | 12 | 1 | 1 |
| 30708I2B20I2HAA | 20 | 10 | Sport | AF | 20 | 8,39 | 10,33 | 4 | 38 | 31 | 36 | 28 | 28 | 28 | 11,2 | 13 | 26 | 1 | 1 |
| 30708I2C20I2HAA | 20 | 10 | Sport | AF | 20 | 8,39 | 10,33 | 4 | 38 | 31 | 36 | 28 | 28 | 28 | 11,2 | 13 | 26 | 1 | 1 |
| 30708Y7B20T0TAA | 0 | 1 | Sport | AF | 20 | 8,39 | 10,33 | 4 | 38 | 31 | 36 | 28 | 28 | 28 | 3,2 | 4 | 8 | 1 | 1 |
| 30708Y7C20T0TAA | 0 | 1 | Sport | AF | 20 | 8,39 | 10,33 | 4 | 38 | 31 | 36 | 28 | 28 | 28 | 3,2 | 4 | 8 | 1 | 1 |
| 30708Y7B20I0IAA | 32 | 5 | Sport | AF | 20 | 8,39 | 10,33 | 4 | 38 | 31 | 36 | 28 | 28 | 28 | 16,0 | 19 | 38 | 2 | 2 |
| 30708Y7C20I0IAA | 32 | 3 | Sport | AF | 20 | 8,39 | 10,33 | 4 | 38 | 31 | 36 | 28 | 28 | 28 | 16,0 | 19 | 38 | 2 | 2 |
| 30708Y7B20C0CAA | 4 | 0 | Sport | AF | 20 | 8,39 | 10,33 | 4 | 38 | 31 | 36 | 28 | 28 | 28 | 2,4 | 3 | 6 | 1 | 1 |
| 30708Y7C20C0CAA | 4 | 0 | Sport | AF | 20 | 8,39 | 10,33 | 4 | 38 | 31 | 36 | 28 | 28 | 28 | 2,4 | 3 | 6 | 1 | 1 |
| 30708Y7B20H1IAA | 12 | 0 | Sport | AF | 20 | 8,39 | 10,33 | 4 | 38 | 31 | 36 | 28 | 28 | 28 | 2,4 | 3 | 6 | 1 | 1 |
| 30708Y7C20H1IAA | 12 | 0 | Sport | AF | 20 | 8,39 | 10,33 | 4 | 38 | 31 | 36 | 28 | 28 | 28 | 2,4 | 3 | 6 | 1 | 1 |
| 30708Y7B20I0CAA | 8 | 0 | Sport | AF | 20 | 8,39 | 10,33 | 4 | 38 | 31 | 36 | 28 | 28 | 28 | 4,8 | 6 | 12 | 1 | 1 |
| 30708Y7C20I0CAA | 12 | 0 | Sport | AF | 20 | 8,39 | 10,33 | 4 | 38 | 31 | 36 | 28 | 28 | 28 | 4,0 | 5 | 10 | 1 | 1 |
| 30708Y7B20C0IAA | 0 | 0 | Sport | AF | 20 | 8,39 | 10,33 | 4 | 38 | 31 | 36 | 28 | 28 | 28 | 0,0 | 0 | 0 | 0 | 0 |
| 30708Y7C20C0IAA | 0 | 0 | Sport | AF | 20 | 8,39 | 10,33 | 4 | 38 | 31 | 36 | 28 | 28 | 28 | 0,0 | 0 | 0 | 0 | 0 |
| 30708Y7B20I2HAA | 0 | 0 | Sport | AF | 20 | 8,39 | 10,33 | 4 | 38 | 31 | 36 | 28 | 28 | 28 | 0,8 | 1 | 2 | 1 | 1 |
| 30708Y7C20I2HAA | 0 | 0 | Sport | AF | 20 | 8,39 | 10,33 | 4 | 38 | 31 | 36 | 28 | 28 | 28 | 0,8 | 1 | 2 | 1 | 1 |
| 30708B7B20T0TAA | 0 | 0 | Sport | AF | 20 | 8,39 | 10,33 | 4 | 38 | 31 | 36 | 28 | 28 | 28 | 2,4 | 3 | 6 | 1 | 1 |
| 30708B7C20T0TAA | 0 | 0 | Sport | AF | 20 | 8,39 | 10,33 | 4 | 38 | 31 | 36 | 28 | 28 | 28 | 2,4 | 3 | 6 | 1 | 1 |
| 30708B7B20I0IAA | 0 | 0 | Sport | AF | 20 | 8,39 | 10,33 | 4 | 38 | 31 | 36 | 28 | 28 | 28 | 2,4 | 3 | 6 | 1 | 1 |
| 30708B7C20I0IAA | 0 | 0 | Sport | AF | 20 | 8,39 | 10,33 | 4 | 38 | 31 | 36 | 28 | 28 | 28 | 2,4 | 3 | 6 | 1 | 1 |
| 30708B7B20C0CAA | 0 | 0 | Sport | AF | 20 | 8,39 | 10,33 | 4 | 38 | 31 | 36 | 28 | 28 | 28 | 0,8 | 1 | 2 | 1 | 1 |
| 30708B7C20C0CAA | 0 | 0 | Sport | AF | 20 | 8,39 | 10,33 | 4 | 38 | 31 | 36 | 28 | 28 | 28 | 0,8 | 1 | 2 | 1 | 1 |
| 30708J7B00I0IAA | 0 | 0 | Sport | AF | 20 | 8,39 | 10,33 | 4 | 38 | 31 | 36 | 28 | 28 | 28 | 3,2 | 4 | 8 | 1 | 1 |
| 30708J7C00I0IAA | 0 | 0 | Sport | AF | 20 | 8,39 | 10,33 | 4 | 38 | 31 | 36 | 28 | 28 | 28 | 3,2 | 4 | 8 | 1 | 1 |
| 30708E7B20I0IAA | 16 | 0 | Sport | AF | 20 | 8,39 | 10,33 | 4 | 38 | 31 | 36 | 28 | 28 | 28 | 3,2 | 4 | 8 | 1 | 1 |

| | | | | | | | | | | | | | | | | | | | |
|-----------------|-----|----|--------|----|----|-------|-------|----|----|----|----|----|----|----|------|----|-----|---|---|
| 30708E7C20I0IAA | 16 | 0 | Sport | AF | 20 | 8,39 | 10,33 | 4 | 38 | 31 | 36 | 28 | 28 | 28 | 3,2 | 4 | 8 | 1 | 1 |
| 30708E7B20C0CAA | 4 | 0 | Sport | AF | 20 | 8,39 | 10,33 | 4 | 38 | 31 | 36 | 28 | 28 | 28 | 0,8 | 1 | 2 | 1 | 1 |
| 30708E7C20C0CAA | 4 | 0 | Sport | AF | 20 | 8,39 | 10,33 | 4 | 38 | 31 | 36 | 28 | 28 | 28 | 0,8 | 1 | 2 | 1 | 1 |
| 30708K7B20I0HAA | 8 | 0 | Sport | AF | 20 | 8,39 | 10,33 | 4 | 38 | 31 | 36 | 28 | 28 | 28 | 3,2 | 4 | 8 | 1 | 1 |
| 30708K7C20I0HAA | 8 | 0 | Sport | AF | 20 | 8,39 | 10,33 | 4 | 38 | 31 | 36 | 28 | 28 | 28 | 3,2 | 4 | 8 | 1 | 1 |
| 30708N7B20I0CAA | 160 | 52 | Sport | AF | 20 | 8,39 | 10,33 | 4 | 38 | 31 | 36 | 28 | 28 | 28 | 48,0 | 56 | 112 | 4 | 4 |
| 30708N7C20I0CAA | 160 | 37 | Sport | AF | 20 | 8,39 | 10,33 | 4 | 38 | 31 | 36 | 28 | 28 | 28 | 48,0 | 56 | 112 | 4 | 4 |
| 30708O7B20C1IAA | 0 | 0 | Sport | AF | 20 | 8,39 | 10,33 | 4 | 38 | 31 | 36 | 28 | 28 | 28 | 0,8 | 1 | 2 | 1 | 1 |
| 30708O7C20C1IAA | 0 | 0 | Sport | AF | 20 | 8,39 | 10,33 | 4 | 38 | 31 | 36 | 28 | 28 | 28 | 0,8 | 1 | 2 | 1 | 1 |
| 30708O7B20I0CAA | 16 | 9 | Sport | AF | 20 | 8,39 | 10,33 | 4 | 38 | 31 | 36 | 28 | 28 | 28 | 12,8 | 15 | 30 | 2 | 2 |
| 30708O7C20I0CAA | 16 | 9 | Sport | AF | 20 | 8,39 | 10,33 | 4 | 38 | 31 | 36 | 28 | 28 | 28 | 12,8 | 15 | 30 | 2 | 2 |
| 30708I7B20C1IAA | 4 | 0 | Sport | AF | 20 | 8,39 | 10,33 | 4 | 38 | 31 | 36 | 28 | 28 | 28 | 1,6 | 2 | 4 | 1 | 1 |
| 30708I7C20C1IAA | 4 | 0 | Sport | AF | 20 | 8,39 | 10,33 | 4 | 38 | 31 | 36 | 28 | 28 | 28 | 1,6 | 2 | 4 | 1 | 1 |
| 30708I7B20I0CAA | 64 | 25 | Sport | AF | 20 | 8,39 | 10,33 | 4 | 38 | 31 | 36 | 28 | 28 | 28 | 16,0 | 19 | 38 | 2 | 2 |
| 30708I7C20I0CAA | 64 | 25 | Sport | AF | 20 | 8,39 | 10,33 | 4 | 38 | 31 | 36 | 28 | 28 | 28 | 16,0 | 19 | 38 | 2 | 2 |
| 30708I7B20I1HAA | 4 | 0 | Sport | AF | 20 | 8,39 | 10,33 | 4 | 38 | 31 | 36 | 28 | 28 | 28 | 2,4 | 3 | 6 | 1 | 1 |
| 30708I7C20I1HAA | 4 | 0 | Sport | AF | 20 | 8,39 | 10,33 | 4 | 38 | 31 | 36 | 28 | 28 | 28 | 2,4 | 3 | 6 | 1 | 1 |
| 30708I7B20I2HAA | 4 | 12 | Sport | AF | 20 | 8,39 | 10,33 | 4 | 38 | 31 | 36 | 28 | 28 | 28 | 5,6 | 7 | 14 | 1 | 1 |
| 30708I7C20I2HAA | 4 | 12 | Sport | AF | 20 | 8,39 | 10,33 | 4 | 38 | 31 | 36 | 28 | 28 | 28 | 5,6 | 7 | 14 | 1 | 1 |
| 30708P2B40I1CAA | 76 | 24 | SSport | AF | 24 | 19,87 | 5,13 | 4 | 19 | 75 | 16 | 72 | 16 | 16 | 32,0 | 37 | 74 | 5 | 5 |
| 30708P2C40I1CAA | 76 | 24 | SSport | AF | 24 | 19,87 | 5,13 | 4 | 19 | 75 | 16 | 72 | 16 | 16 | 32,0 | 37 | 74 | 5 | 5 |
| 30708P2B40I3HAA | 88 | 21 | SSport | AF | 24 | 19,87 | 5,13 | 4 | 19 | 75 | 16 | 72 | 16 | 16 | 38,4 | 45 | 90 | 6 | 6 |
| 30708P2C40I3HAA | 84 | 20 | SSport | AF | 24 | 19,87 | 5,13 | 4 | 19 | 75 | 16 | 72 | 16 | 16 | 38,4 | 45 | 90 | 6 | 6 |
| 30708P2B40C2IAA | 4 | 0 | SSport | AF | 24 | 19,87 | 5,13 | 4 | 19 | 75 | 16 | 72 | 16 | 16 | 1,6 | 2 | 4 | 1 | 1 |
| 30708P2C40C2IAA | 4 | 0 | SSport | AF | 24 | 19,87 | 5,13 | 4 | 19 | 75 | 16 | 72 | 16 | 16 | 1,6 | 2 | 4 | 1 | 1 |
| 30708P7B40I1CAA | 52 | 18 | SSport | AF | 24 | 19,87 | 5,13 | 4 | 19 | 75 | 16 | 72 | 16 | 16 | 16,0 | 19 | 38 | 3 | 3 |
| 30708P7C40I1CAA | 52 | 17 | SSport | AF | 24 | 19,87 | 5,13 | 4 | 19 | 75 | 16 | 72 | 16 | 16 | 16,0 | 19 | 38 | 3 | 3 |
| 30708P7B40I3HAA | 80 | 25 | SSport | AF | 24 | 19,87 | 5,13 | 4 | 19 | 75 | 16 | 72 | 16 | 16 | 19,2 | 23 | 46 | 3 | 3 |
| 30708P7C40I3HAA | 80 | 21 | SSport | AF | 24 | 19,87 | 5,13 | 4 | 19 | 75 | 16 | 72 | 16 | 16 | 22,4 | 26 | 52 | 4 | 4 |
| 30708P7B40C2IAA | 4 | 0 | SSport | AF | 24 | 19,87 | 5,13 | 4 | 19 | 75 | 16 | 72 | 16 | 16 | 0,8 | 1 | 2 | 1 | 1 |
| 30708P7C40C2IAA | 4 | 0 | SSport | AF | 24 | 19,87 | 5,13 | 4 | 19 | 75 | 16 | 72 | 16 | 16 | 0,8 | 1 | 2 | 1 | 1 |
| 30708J5K10I0IAA | 0 | 0 | Basis | AT | 15 | 12,90 | 15,04 | 10 | 19 | 16 | 10 | 10 | 10 | 10 | 0,0 | 0 | 0 | 0 | 0 |
| 30708M5K10T0CAA | 0 | 0 | Basis | AT | 15 | 12,90 | 15,04 | 10 | 19 | 16 | 10 | 10 | 10 | 10 | 0,0 | 0 | 0 | 0 | 0 |
| 30708M5K11T0CAA | 0 | 0 | Basis | AT | 15 | 12,90 | 15,04 | 10 | 19 | 16 | 10 | 10 | 10 | 10 | 0,0 | 0 | 0 | 0 | 0 |
| 30708M5K10I0IAA | 0 | 0 | Basis | AT | 15 | 12,90 | 15,04 | 10 | 19 | 16 | 10 | 10 | 10 | 10 | 0,0 | 0 | 0 | 0 | 0 |
| 30708M5K11I0IAA | 0 | 0 | Basis | AT | 15 | 12,90 | 15,04 | 10 | 19 | 16 | 10 | 10 | 10 | 10 | 0,0 | 0 | 0 | 0 | 0 |

| | | | | | | | | | | | | | | | | | | | |
|-----------------|----|---|-------|----|----|-------|-------|----|----|----|----|----|----|----|-----|----|----|---|---|
| 30708M5K10C0CAA | 0 | 0 | Basis | AT | 15 | 12,90 | 15,04 | 10 | 19 | 16 | 10 | 10 | 10 | 10 | 0,0 | 0 | 0 | 0 | 0 |
| 30708M5K11C0CAA | 0 | 0 | Basis | AT | 15 | 12,90 | 15,04 | 10 | 19 | 16 | 10 | 10 | 10 | 10 | 0,0 | 0 | 0 | 0 | 0 |
| 30708Q5L00I0IAA | 0 | 0 | Basis | AT | 15 | 12,90 | 15,04 | 10 | 19 | 16 | 10 | 10 | 10 | 10 | 2,0 | 3 | 6 | 1 | 1 |
| 30708Q5M00I0IAA | 0 | 0 | Basis | AT | 15 | 12,90 | 15,04 | 10 | 19 | 16 | 10 | 10 | 10 | 10 | 2,0 | 3 | 6 | 1 | 1 |
| 30708W5L00T0TAA | 10 | 0 | Basis | AT | 15 | 12,90 | 15,04 | 10 | 19 | 16 | 10 | 10 | 10 | 10 | 2,0 | 3 | 6 | 1 | 1 |
| 30708W5M00T0TAA | 0 | 0 | Basis | AT | 15 | 12,90 | 15,04 | 10 | 19 | 16 | 10 | 10 | 10 | 10 | 4,0 | 5 | 10 | 1 | 1 |
| 30708W5L00I0IAA | 24 | 0 | Basis | AT | 15 | 12,90 | 15,04 | 24 | 19 | 16 | 12 | 12 | 12 | 12 | 9,6 | 12 | 24 | 2 | 2 |
| 30708W5M00I0IAA | 24 | 0 | Basis | AT | 15 | 12,90 | 15,04 | 24 | 19 | 16 | 12 | 12 | 12 | 12 | 9,6 | 12 | 24 | 2 | 2 |
| 30708W5L00C0CAA | 10 | 0 | Basis | AT | 15 | 12,90 | 15,04 | 10 | 19 | 16 | 10 | 10 | 10 | 10 | 6,0 | 7 | 14 | 2 | 2 |
| 30708W5M00C0CAA | 10 | 0 | Basis | AT | 15 | 12,90 | 15,04 | 10 | 19 | 16 | 10 | 10 | 10 | 10 | 4,0 | 5 | 10 | 1 | 1 |
| 30708A5K30I0FAA | 0 | 0 | Sport | AT | 30 | 26,63 | 23,33 | 10 | 18 | 21 | 10 | 20 | 10 | 10 | 0,0 | 0 | 0 | 0 | 0 |
| 30708B5K30T0TAA | 0 | 0 | Sport | AT | 30 | 26,63 | 23,33 | 10 | 18 | 21 | 10 | 20 | 10 | 10 | 0,0 | 0 | 0 | 0 | 0 |
| 30708B5K30I0IAA | 0 | 0 | Sport | AT | 30 | 26,63 | 23,33 | 10 | 18 | 21 | 10 | 20 | 10 | 10 | 0,0 | 0 | 0 | 0 | 0 |
| 30708B5K30C0CAA | 0 | 0 | Sport | AT | 30 | 26,63 | 23,33 | 10 | 18 | 21 | 10 | 20 | 10 | 10 | 0,0 | 0 | 0 | 0 | 0 |
| 30708C5K30T0TAA | 0 | 0 | Sport | AT | 30 | 26,63 | 23,33 | 10 | 18 | 21 | 10 | 20 | 10 | 10 | 0,0 | 0 | 0 | 0 | 0 |
| 30708C5K31T0TAA | 0 | 0 | Sport | AT | 30 | 26,63 | 23,33 | 10 | 18 | 21 | 10 | 20 | 10 | 10 | 0,0 | 0 | 0 | 0 | 0 |
| 30708C5K31I0IAA | 0 | 0 | Sport | AT | 30 | 26,63 | 23,33 | 10 | 18 | 21 | 10 | 20 | 10 | 10 | 0,0 | 0 | 0 | 0 | 0 |
| 30708C5K31I0IAA | 0 | 0 | Sport | AT | 30 | 26,63 | 23,33 | 10 | 18 | 21 | 10 | 20 | 10 | 10 | 0,0 | 0 | 0 | 0 | 0 |
| 30708C5K30C0CAA | 0 | 0 | Sport | AT | 30 | 26,63 | 23,33 | 10 | 18 | 21 | 10 | 20 | 10 | 10 | 0,0 | 0 | 0 | 0 | 0 |
| 30708C5K31C0CAA | 0 | 0 | Sport | AT | 30 | 26,63 | 23,33 | 10 | 18 | 21 | 10 | 20 | 10 | 10 | 0,0 | 0 | 0 | 0 | 0 |
| 30708C5K30H1IAA | 0 | 0 | Sport | AT | 30 | 26,63 | 23,33 | 10 | 18 | 21 | 10 | 20 | 10 | 10 | 0,0 | 0 | 0 | 0 | 0 |
| 30708C5K31H1IAA | 0 | 0 | Sport | AT | 30 | 26,63 | 23,33 | 10 | 18 | 21 | 10 | 20 | 10 | 10 | 0,0 | 0 | 0 | 0 | 0 |
| 30708C5K30I0CAA | 0 | 0 | Sport | AT | 30 | 26,63 | 23,33 | 10 | 18 | 21 | 10 | 20 | 10 | 10 | 0,0 | 0 | 0 | 0 | 0 |
| 30708C5K31I0CAA | 0 | 0 | Sport | AT | 30 | 26,63 | 23,33 | 10 | 18 | 21 | 10 | 20 | 10 | 10 | 0,0 | 0 | 0 | 0 | 0 |
| 30708C5K30C0IAA | 0 | 0 | Sport | AT | 30 | 26,63 | 23,33 | 10 | 18 | 21 | 10 | 20 | 10 | 10 | 0,0 | 0 | 0 | 0 | 0 |
| 30708C5K31C0IAA | 0 | 0 | Sport | AT | 30 | 26,63 | 23,33 | 10 | 18 | 21 | 10 | 20 | 10 | 10 | 0,0 | 0 | 0 | 0 | 0 |
| 30708C5K31I2HAA | 0 | 0 | Sport | AT | 30 | 26,63 | 23,33 | 10 | 18 | 21 | 10 | 20 | 10 | 10 | 0,0 | 0 | 0 | 0 | 0 |
| 30708E5K30I0IAA | 0 | 0 | Sport | AT | 30 | 26,63 | 23,33 | 10 | 18 | 21 | 10 | 20 | 10 | 10 | 0,0 | 0 | 0 | 0 | 0 |
| 30708E5K30C0CAA | 0 | 0 | Sport | AT | 30 | 26,63 | 23,33 | 10 | 18 | 21 | 10 | 20 | 10 | 10 | 0,0 | 0 | 0 | 0 | 0 |
| 30708K5K30I0HAA | 0 | 0 | Sport | AT | 30 | 26,63 | 23,33 | 10 | 18 | 21 | 10 | 20 | 10 | 10 | 0,0 | 0 | 0 | 0 | 0 |
| 30708N5K30I0CAA | 0 | 0 | Sport | AT | 30 | 26,63 | 23,33 | 10 | 18 | 21 | 10 | 20 | 10 | 10 | 0,0 | 0 | 0 | 0 | 0 |
| 30708O5K30C1IAA | 0 | 0 | Sport | AT | 30 | 26,63 | 23,33 | 10 | 18 | 21 | 10 | 20 | 10 | 10 | 0,0 | 0 | 0 | 0 | 0 |
| 30708O5K30I0CAA | 0 | 0 | Sport | AT | 30 | 26,63 | 23,33 | 10 | 18 | 21 | 10 | 20 | 10 | 10 | 0,0 | 0 | 0 | 0 | 0 |
| 30708I5K30C1IAA | 0 | 0 | Sport | AT | 30 | 26,63 | 23,33 | 10 | 18 | 21 | 10 | 20 | 10 | 10 | 0,0 | 0 | 0 | 0 | 0 |
| 30708I5K31C1IAA | 0 | 0 | Sport | AT | 30 | 26,63 | 23,33 | 10 | 18 | 21 | 10 | 20 | 10 | 10 | 0,0 | 0 | 0 | 0 | 0 |
| 30708I5K30I0CAA | 0 | 0 | Sport | AT | 30 | 26,63 | 23,33 | 10 | 18 | 21 | 10 | 20 | 10 | 10 | 0,0 | 0 | 0 | 0 | 0 |

| | | | | | | | | | | | | | | | | | | | |
|-----------------|----|---|-------|----|----|-------|-------|----|----|----|----|----|----|----|------|----|----|---|---|
| 30708P5K52I0CAA | 0 | 0 | Sport | AT | 30 | 26,63 | 23,33 | 10 | 18 | 21 | 10 | 20 | 10 | 10 | 0,0 | 0 | 0 | 0 | 0 |
| 30708I5K30I1HAA | 0 | 0 | Sport | AT | 30 | 26,63 | 23,33 | 10 | 18 | 21 | 10 | 20 | 10 | 10 | 0,0 | 0 | 0 | 0 | 0 |
| 30708I5K31I1HAA | 0 | 0 | Sport | AT | 30 | 26,63 | 23,33 | 10 | 18 | 21 | 10 | 20 | 10 | 10 | 0,0 | 0 | 0 | 0 | 0 |
| 30708I5K30I4TAA | 0 | 0 | Sport | AT | 30 | 26,63 | 23,33 | 10 | 18 | 21 | 10 | 20 | 10 | 10 | 0,0 | 0 | 0 | 0 | 0 |
| 30708I5K31I4TAA | 0 | 0 | Sport | AT | 30 | 26,63 | 23,33 | 10 | 18 | 21 | 10 | 20 | 10 | 10 | 0,0 | 0 | 0 | 0 | 0 |
| 30708D5L20I0FAA | 0 | 0 | Sport | AT | 30 | 26,63 | 23,33 | 10 | 18 | 21 | 10 | 20 | 10 | 10 | 0,0 | 0 | 0 | 0 | 0 |
| 30708D5M20I0FAA | 0 | 0 | Sport | AT | 30 | 26,63 | 23,33 | 10 | 18 | 21 | 10 | 20 | 10 | 10 | 0,0 | 0 | 0 | 0 | 0 |
| 30708F5L20T0TAA | 5 | 0 | Sport | AT | 30 | 26,63 | 23,33 | 10 | 18 | 21 | 10 | 20 | 10 | 10 | 1,0 | 2 | 4 | 1 | 1 |
| 30708F5M20T0TAA | 5 | 0 | Sport | AT | 30 | 26,63 | 23,33 | 10 | 18 | 21 | 10 | 20 | 10 | 10 | 1,0 | 2 | 4 | 1 | 1 |
| 30708F5L20I0IAA | 20 | 0 | Sport | AT | 30 | 26,63 | 23,33 | 10 | 18 | 21 | 10 | 20 | 10 | 10 | 4,0 | 5 | 10 | 1 | 1 |
| 30708F5M20I0IAA | 20 | 0 | Sport | AT | 30 | 26,63 | 23,33 | 10 | 18 | 21 | 10 | 20 | 10 | 10 | 6,0 | 7 | 14 | 2 | 2 |
| 30708F5L20C0CAA | 4 | 0 | Sport | AT | 30 | 26,63 | 23,33 | 10 | 18 | 21 | 10 | 20 | 10 | 10 | 1,2 | 2 | 4 | 1 | 1 |
| 30708F5M20C0CAA | 4 | 0 | Sport | AT | 30 | 26,63 | 23,33 | 10 | 18 | 21 | 10 | 20 | 10 | 10 | 1,2 | 2 | 4 | 1 | 1 |
| 30708G5L20T0TAA | 0 | 0 | Sport | AT | 30 | 26,63 | 23,33 | 10 | 18 | 21 | 10 | 20 | 10 | 10 | 0,2 | 1 | 2 | 1 | 1 |
| 30708G5M20T0TAA | 0 | 0 | Sport | AT | 30 | 26,63 | 23,33 | 10 | 18 | 21 | 10 | 20 | 10 | 10 | 0,2 | 1 | 2 | 1 | 1 |
| 30708G5L20I0IAA | 0 | 0 | Sport | AT | 30 | 26,63 | 23,33 | 10 | 18 | 21 | 10 | 20 | 10 | 10 | 2,0 | 3 | 6 | 1 | 1 |
| 30708G5M20I0IAA | 0 | 0 | Sport | AT | 30 | 26,63 | 23,33 | 10 | 18 | 21 | 10 | 20 | 10 | 10 | 2,0 | 3 | 6 | 1 | 1 |
| 30708G5L20C0CAA | 0 | 0 | Sport | AT | 30 | 26,63 | 23,33 | 10 | 18 | 21 | 10 | 20 | 10 | 10 | 0,2 | 1 | 2 | 1 | 1 |
| 30708G5M20C0CAA | 0 | 0 | Sport | AT | 30 | 26,63 | 23,33 | 10 | 18 | 21 | 10 | 20 | 10 | 10 | 0,2 | 1 | 2 | 1 | 1 |
| 30708R5L20C1IAA | 1 | 0 | Sport | AT | 30 | 26,63 | 23,33 | 10 | 18 | 21 | 10 | 20 | 10 | 10 | 1,0 | 2 | 4 | 1 | 1 |
| 30708R5M20C1IAA | 1 | 0 | Sport | AT | 30 | 26,63 | 23,33 | 10 | 18 | 21 | 10 | 20 | 10 | 10 | 1,0 | 2 | 4 | 1 | 1 |
| 30708R5L20I0CAA | 20 | 0 | Sport | AT | 30 | 26,63 | 23,33 | 10 | 18 | 21 | 10 | 20 | 10 | 10 | 8,0 | 10 | 20 | 2 | 2 |
| 30708R5M20I0CAA | 20 | 0 | Sport | AT | 30 | 26,63 | 23,33 | 10 | 18 | 21 | 10 | 20 | 10 | 10 | 6,0 | 7 | 14 | 2 | 2 |
| 30708R5L20I1HAA | 0 | 0 | Sport | AT | 30 | 26,63 | 23,33 | 10 | 18 | 21 | 10 | 20 | 10 | 10 | 0,0 | 0 | 0 | 0 | 0 |
| 30708R5M20I1HAA | 0 | 0 | Sport | AT | 30 | 26,63 | 23,33 | 10 | 18 | 21 | 10 | 20 | 10 | 10 | 0,0 | 0 | 0 | 0 | 0 |
| 30708R5L20I4TAA | 0 | 0 | Sport | AT | 30 | 26,63 | 23,33 | 10 | 18 | 21 | 10 | 20 | 10 | 10 | 0,0 | 0 | 0 | 0 | 0 |
| 30708R5M20I4TAA | 0 | 0 | Sport | AT | 30 | 26,63 | 23,33 | 10 | 18 | 21 | 10 | 20 | 10 | 10 | 0,0 | 0 | 0 | 0 | 0 |
| 30708S5L20I0IAA | 10 | 0 | Sport | AT | 30 | 26,63 | 23,33 | 10 | 18 | 21 | 10 | 20 | 10 | 10 | 4,0 | 5 | 10 | 1 | 1 |
| 30708S5M20I0IAA | 10 | 0 | Sport | AT | 30 | 26,63 | 23,33 | 10 | 18 | 21 | 10 | 20 | 10 | 10 | 4,0 | 5 | 10 | 1 | 1 |
| 30708S5L20C0CAA | 0 | 0 | Sport | AT | 30 | 26,63 | 23,33 | 10 | 18 | 21 | 10 | 20 | 10 | 10 | 0,8 | 1 | 2 | 1 | 1 |
| 30708S5M20C0CAA | 0 | 0 | Sport | AT | 30 | 26,63 | 23,33 | 10 | 18 | 21 | 10 | 20 | 10 | 10 | 0,8 | 1 | 2 | 1 | 1 |
| 30708T5L20C1IAA | 3 | 0 | Sport | AT | 30 | 26,63 | 23,33 | 10 | 18 | 21 | 10 | 20 | 10 | 10 | 1,4 | 2 | 4 | 1 | 1 |
| 30708T5M20C1IAA | 3 | 0 | Sport | AT | 30 | 26,63 | 23,33 | 10 | 18 | 21 | 10 | 20 | 10 | 10 | 1,4 | 2 | 4 | 1 | 1 |
| 30708T5L20I0CAA | 20 | 0 | Sport | AT | 30 | 26,63 | 23,33 | 10 | 18 | 21 | 10 | 20 | 10 | 10 | 6,0 | 7 | 14 | 2 | 2 |
| 30708T5M20I0CAA | 20 | 0 | Sport | AT | 30 | 26,63 | 23,33 | 10 | 18 | 21 | 10 | 20 | 10 | 10 | 6,0 | 7 | 14 | 2 | 2 |
| 30708U5L20I0CAA | 30 | 0 | Sport | AT | 30 | 26,63 | 23,33 | 10 | 18 | 21 | 10 | 20 | 10 | 10 | 14,0 | 17 | 34 | 4 | 4 |

| | | | | | | | | | | | | | | | | | | | |
|-----------------|-----|----|--------|----|----|-------|-------|----|----|----|----|----|----|----|------|----|-----|----|----|
| 30708U5M20I0CAA | 30 | 0 | Sport | AT | 30 | 26,63 | 23,33 | 10 | 18 | 21 | 10 | 20 | 10 | 10 | 14,0 | 17 | 34 | 4 | 4 |
| 30708V5L20I0HAA | 2 | 0 | Sport | AT | 30 | 26,63 | 23,33 | 10 | 18 | 21 | 10 | 20 | 10 | 10 | 0,4 | 1 | 2 | 1 | 1 |
| 30708V5M20I0HAA | 2 | 0 | Sport | AT | 30 | 26,63 | 23,33 | 10 | 18 | 21 | 10 | 20 | 10 | 10 | 0,4 | 1 | 2 | 1 | 1 |
| 30708I5K30I2HAA | 0 | 0 | Sport | AT | 30 | 26,63 | 23,33 | 10 | 18 | 21 | 10 | 20 | 10 | 10 | 0,0 | 0 | 0 | 0 | 0 |
| 30708P5K52C1IAA | 0 | 0 | SSport | AT | 15 | 23,04 | 6,55 | 10 | 10 | 37 | 10 | 30 | 10 | 10 | 0,0 | 0 | 0 | 0 | 0 |
| 30708P5K52I0HAA | 0 | 0 | SSport | AT | 15 | 23,04 | 6,55 | 10 | 10 | 37 | 10 | 30 | 10 | 10 | 0,0 | 0 | 0 | 0 | 0 |
| 30708P5K50I1CAA | 0 | 0 | SSport | AT | 15 | 23,04 | 6,55 | 10 | 10 | 37 | 10 | 30 | 10 | 10 | 0,0 | 0 | 0 | 0 | 0 |
| 30708P5K51I1CAA | 0 | 0 | SSport | AT | 15 | 23,04 | 6,55 | 10 | 10 | 37 | 10 | 30 | 10 | 10 | 0,0 | 0 | 0 | 0 | 0 |
| 30708P5K50I3HAA | 0 | 0 | SSport | AT | 15 | 23,04 | 6,55 | 10 | 10 | 37 | 10 | 30 | 10 | 10 | 0,0 | 0 | 0 | 0 | 0 |
| 30708P5K51I3HAA | 0 | 0 | SSport | AT | 15 | 23,04 | 6,55 | 10 | 10 | 37 | 10 | 30 | 10 | 10 | 0,0 | 0 | 0 | 0 | 0 |
| 30708P5K50C2IAA | 0 | 0 | SSport | AT | 15 | 23,04 | 6,55 | 10 | 10 | 37 | 10 | 30 | 10 | 10 | 0,0 | 0 | 0 | 0 | 0 |
| 30708P5K51C2IAA | 0 | 0 | SSport | AT | 15 | 23,04 | 6,55 | 10 | 10 | 37 | 10 | 30 | 10 | 10 | 0,0 | 0 | 0 | 0 | 0 |
| 30708J2K10I0IAA | 0 | 0 | Basis | AT | 15 | 12,90 | 15,04 | 15 | 19 | 16 | 15 | 15 | 15 | 15 | 5,0 | 6 | 12 | 1 | 1 |
| 30708M2K10I0IAA | 60 | 3 | Basis | AT | 15 | 12,90 | 15,04 | 15 | 19 | 16 | 15 | 15 | 15 | 15 | 33,0 | 38 | 76 | 6 | 6 |
| 30708M2K11I0IAA | 0 | 0 | Basis | AT | 15 | 12,90 | 15,04 | 15 | 19 | 16 | 15 | 15 | 15 | 15 | 0,0 | 0 | 0 | 0 | 0 |
| 30708M2K10T0TAA | 0 | 1 | Basis | AT | 15 | 12,90 | 15,04 | 15 | 19 | 16 | 15 | 15 | 15 | 15 | 18,0 | 21 | 42 | 3 | 3 |
| 30708M2K11T0TAA | 0 | 0 | Basis | AT | 15 | 12,90 | 15,04 | 15 | 19 | 16 | 15 | 15 | 15 | 15 | 0,0 | 0 | 0 | 0 | 0 |
| 30708M2K10C0CAA | 0 | 0 | Basis | AT | 15 | 12,90 | 15,04 | 15 | 19 | 16 | 15 | 15 | 15 | 15 | 15,0 | 18 | 36 | 3 | 3 |
| 30708M2K11C0CAA | 0 | 0 | Basis | AT | 15 | 12,90 | 15,04 | 15 | 19 | 16 | 15 | 15 | 15 | 15 | 0,0 | 0 | 0 | 0 | 0 |
| 30708L7K10I0IAA | 30 | 0 | Basis | AT | 15 | 12,90 | 15,04 | 15 | 19 | 16 | 15 | 15 | 15 | 15 | 18,0 | 21 | 42 | 3 | 3 |
| 30708L7K11I0IAA | 180 | 0 | Basis | AT | 15 | 12,90 | 15,04 | 15 | 19 | 16 | 15 | 15 | 15 | 15 | 63,0 | 73 | 146 | 10 | 10 |
| 30708L7K10C0CAA | 0 | 0 | Basis | AT | 15 | 12,90 | 15,04 | 15 | 19 | 16 | 15 | 15 | 15 | 15 | 0,8 | 1 | 2 | 1 | 1 |
| 30708L7K11C0CAA | 45 | 0 | Basis | AT | 15 | 12,90 | 15,04 | 15 | 19 | 16 | 15 | 15 | 15 | 15 | 12,0 | 14 | 28 | 2 | 2 |
| 30708L7K10T0TAA | 0 | 0 | Basis | AT | 15 | 12,90 | 15,04 | 15 | 19 | 16 | 15 | 15 | 15 | 15 | 3,2 | 4 | 8 | 1 | 1 |
| 30708L7K11T0TAA | 30 | 0 | Basis | AT | 15 | 12,90 | 15,04 | 15 | 19 | 16 | 15 | 15 | 15 | 15 | 12,0 | 14 | 28 | 2 | 2 |
| 30708C2K30I0IAA | 45 | 48 | Sport | AT | 30 | 26,63 | 23,33 | 15 | 18 | 21 | 15 | 15 | 15 | 15 | 27,0 | 32 | 64 | 5 | 5 |
| 30708C2K31I0IAA | 0 | 0 | Sport | AT | 30 | 26,63 | 23,33 | 15 | 18 | 21 | 15 | 15 | 15 | 15 | 0,0 | 0 | 0 | 0 | 0 |
| 30708C2K30T0TAA | 0 | 26 | Sport | AT | 30 | 26,63 | 23,33 | 15 | 18 | 21 | 15 | 15 | 15 | 15 | 21,0 | 25 | 50 | 4 | 4 |
| 30708C2K31T0TAA | 0 | 0 | Sport | AT | 30 | 26,63 | 23,33 | 15 | 18 | 21 | 15 | 15 | 15 | 15 | 0,0 | 0 | 0 | 0 | 0 |
| 30708C2K30C0CAA | 15 | 6 | Sport | AT | 30 | 26,63 | 23,33 | 15 | 18 | 21 | 15 | 15 | 15 | 15 | 9,0 | 11 | 22 | 2 | 2 |
| 30708C2K31C0CAA | 0 | 0 | Sport | AT | 30 | 26,63 | 23,33 | 15 | 18 | 21 | 15 | 15 | 15 | 15 | 0,0 | 0 | 0 | 0 | 0 |
| 30708E2K30I0IAA | 30 | 0 | Sport | AT | 30 | 26,63 | 23,33 | 15 | 18 | 21 | 15 | 15 | 15 | 15 | 18,0 | 21 | 42 | 3 | 3 |
| 30708E2K30C0CAA | 15 | 3 | Sport | AT | 30 | 26,63 | 23,33 | 15 | 18 | 21 | 15 | 15 | 15 | 15 | 9,0 | 11 | 22 | 2 | 2 |
| 30708K2K30I0HAA | 0 | 3 | Sport | AT | 30 | 26,63 | 23,33 | 15 | 18 | 21 | 15 | 15 | 15 | 15 | 6,0 | 7 | 14 | 1 | 1 |
| 30708B2K30I0IAA | 30 | 0 | Sport | AT | 30 | 26,63 | 23,33 | 15 | 18 | 21 | 15 | 15 | 15 | 15 | 24,0 | 28 | 56 | 4 | 4 |
| 30708B2K30T0TAA | 0 | 2 | Sport | AT | 30 | 26,63 | 23,33 | 15 | 18 | 21 | 15 | 15 | 15 | 15 | 6,2 | 8 | 16 | 2 | 2 |

| | | | | | | | | | | | | | | | | | | | |
|-----------------|-----|-----|--------|----|----|-------|-------|----|----|----|----|----|----|----|-------|-----|-----|----|----|
| 30708B2K30C0CAA | 15 | 2 | Sport | AT | 30 | 26,63 | 23,33 | 15 | 18 | 21 | 15 | 15 | 15 | 15 | 6,0 | 7 | 14 | 1 | 1 |
| 30708N2K30I0CAA | 420 | 412 | Sport | AT | 30 | 26,63 | 23,33 | 15 | 18 | 21 | 15 | 15 | 15 | 15 | 180,0 | 207 | 414 | 28 | 28 |
| 30708O2K30I0CAA | 60 | 12 | Sport | AT | 30 | 26,63 | 23,33 | 15 | 18 | 21 | 15 | 15 | 15 | 15 | 24,0 | 28 | 56 | 4 | 4 |
| 30708O2K30C1IAA | 0 | 9 | Sport | AT | 30 | 26,63 | 23,33 | 15 | 18 | 21 | 15 | 15 | 15 | 15 | 9,0 | 11 | 22 | 2 | 2 |
| 30708I2K30C1IAA | 0 | 0 | Sport | AT | 30 | 26,63 | 23,33 | 15 | 18 | 21 | 15 | 15 | 15 | 15 | 2,8 | 4 | 8 | 1 | 1 |
| 30708I2K30I0CAA | 90 | 70 | Sport | AT | 30 | 26,63 | 23,33 | 15 | 18 | 21 | 15 | 15 | 15 | 15 | 30,0 | 35 | 70 | 5 | 5 |
| 30708I2K30I1HAA | 0 | 0 | Sport | AT | 30 | 26,63 | 23,33 | 15 | 18 | 21 | 15 | 15 | 15 | 15 | 6,0 | 7 | 14 | 1 | 1 |
| 30708I2K30I2HAA | 30 | 2 | Sport | AT | 30 | 26,63 | 23,33 | 15 | 18 | 21 | 15 | 15 | 15 | 15 | 9,0 | 11 | 22 | 2 | 2 |
| 30708Y7K30T0TAA | 0 | 0 | Sport | AT | 30 | 26,63 | 23,33 | 15 | 18 | 21 | 15 | 15 | 15 | 15 | 3,0 | 4 | 8 | 1 | 1 |
| 30708Y7K31T0TAA | 0 | 0 | Sport | AT | 30 | 26,63 | 23,33 | 15 | 18 | 21 | 15 | 15 | 15 | 15 | 0,4 | 1 | 2 | 1 | 1 |
| 30708Y7K30I0IAA | 30 | 0 | Sport | AT | 30 | 26,63 | 23,33 | 15 | 18 | 21 | 15 | 15 | 15 | 15 | 18,0 | 21 | 42 | 3 | 3 |
| 30708Y7K31I0IAA | 0 | 0 | Sport | AT | 30 | 26,63 | 23,33 | 15 | 18 | 21 | 15 | 15 | 15 | 15 | 6,0 | 7 | 14 | 1 | 1 |
| 30708Y7K30C0CAA | 0 | 0 | Sport | AT | 30 | 26,63 | 23,33 | 15 | 18 | 21 | 15 | 15 | 15 | 15 | 1,8 | 3 | 6 | 1 | 1 |
| 30708Y7K31C0CAA | 0 | 0 | Sport | AT | 30 | 26,63 | 23,33 | 15 | 18 | 21 | 15 | 15 | 15 | 15 | 0,6 | 1 | 2 | 1 | 1 |
| 30708Y7K31H1IAA | 15 | 0 | Sport | AT | 30 | 26,63 | 23,33 | 15 | 18 | 21 | 15 | 15 | 15 | 15 | 3,0 | 4 | 8 | 1 | 1 |
| 30708Y7K31I0CAA | 15 | 0 | Sport | AT | 30 | 26,63 | 23,33 | 15 | 18 | 21 | 15 | 15 | 15 | 15 | 6,0 | 7 | 14 | 1 | 1 |
| 30708Y7K31C0IAA | 0 | 0 | Sport | AT | 30 | 26,63 | 23,33 | 15 | 18 | 21 | 15 | 15 | 15 | 15 | 0,0 | 0 | 0 | 0 | 0 |
| 30708Y7K31I2HAA | 1 | 0 | Sport | AT | 30 | 26,63 | 23,33 | 15 | 18 | 21 | 15 | 15 | 15 | 15 | 0,6 | 1 | 2 | 1 | 1 |
| 30708B7K30T0TAA | 0 | 0 | Sport | AT | 30 | 26,63 | 23,33 | 15 | 18 | 21 | 15 | 15 | 15 | 15 | 2,0 | 3 | 6 | 1 | 1 |
| 30708B7K30I0IAA | 0 | 0 | Sport | AT | 30 | 26,63 | 23,33 | 15 | 18 | 21 | 15 | 15 | 15 | 15 | 3,2 | 4 | 8 | 1 | 1 |
| 30708B7K30C0CAA | 0 | 0 | Sport | AT | 30 | 26,63 | 23,33 | 15 | 18 | 21 | 15 | 15 | 15 | 15 | 0,6 | 1 | 2 | 1 | 1 |
| 30708J7K10I0IAA | 0 | 0 | Sport | AT | 30 | 26,63 | 23,33 | 15 | 18 | 21 | 15 | 15 | 15 | 15 | 3,2 | 4 | 8 | 1 | 1 |
| 30708E7K30I0IAA | 0 | 0 | Sport | AT | 30 | 26,63 | 23,33 | 15 | 18 | 21 | 15 | 15 | 15 | 15 | 3,0 | 4 | 8 | 1 | 1 |
| 30708E7K30C0CAA | 0 | 0 | Sport | AT | 30 | 26,63 | 23,33 | 15 | 18 | 21 | 15 | 15 | 15 | 15 | 0,8 | 1 | 2 | 1 | 1 |
| 30708K7K30I0HAA | 0 | 0 | Sport | AT | 30 | 26,63 | 23,33 | 15 | 18 | 21 | 15 | 15 | 15 | 15 | 6,0 | 7 | 14 | 1 | 1 |
| 30708N7K30I0CAA | 150 | 0 | Sport | AT | 30 | 26,63 | 23,33 | 15 | 18 | 21 | 15 | 15 | 15 | 15 | 60,0 | 69 | 138 | 10 | 10 |
| 30708O7K30C1IAA | 1 | 0 | Sport | AT | 30 | 26,63 | 23,33 | 15 | 18 | 21 | 15 | 15 | 15 | 15 | 0,6 | 1 | 2 | 1 | 1 |
| 30708O7K30I0CAA | 0 | 0 | Sport | AT | 30 | 26,63 | 23,33 | 15 | 18 | 21 | 15 | 15 | 15 | 15 | 12,0 | 14 | 28 | 2 | 2 |
| 30708I7K30C1IAA | 0 | 0 | Sport | AT | 30 | 26,63 | 23,33 | 15 | 18 | 21 | 15 | 15 | 15 | 15 | 0,6 | 1 | 2 | 1 | 1 |
| 30708I7K30I0CAA | 45 | 0 | Sport | AT | 30 | 26,63 | 23,33 | 15 | 18 | 21 | 15 | 15 | 15 | 15 | 21,0 | 25 | 50 | 4 | 4 |
| 30708I7K30I1HAA | 0 | 0 | Sport | AT | 30 | 26,63 | 23,33 | 15 | 18 | 21 | 15 | 15 | 15 | 15 | 3,0 | 4 | 8 | 1 | 1 |
| 30708I7K30I2HAA | 13 | 12 | Sport | AT | 30 | 26,63 | 23,33 | 15 | 18 | 21 | 15 | 15 | 15 | 15 | 5,6 | 7 | 14 | 1 | 1 |
| 30708P2K50I1CAA | 75 | 15 | SSport | AT | 15 | 23,04 | 6,55 | 15 | 10 | 37 | 10 | 30 | 10 | 10 | 30,0 | 35 | 70 | 7 | 7 |
| 30708P2K50I3HAA | 75 | 19 | SSport | AT | 15 | 23,04 | 6,55 | 15 | 10 | 37 | 10 | 30 | 10 | 10 | 39,0 | 45 | 90 | 9 | 9 |
| 30708P2K50C2IAA | 0 | 0 | SSport | AT | 15 | 23,04 | 6,55 | 15 | 10 | 37 | 10 | 30 | 10 | 10 | 1,0 | 2 | 4 | 1 | 1 |
| 30708P7K52C1IAA | 5 | 0 | SSport | AT | 15 | 23,04 | 6,55 | 3 | 10 | 37 | 9 | 36 | 9 | 9 | 1,0 | 2 | 4 | 1 | 1 |

| | | | | | | | | | | | | | | | | | | | |
|-----------------|----|---|--------|----|----|-------|-------|----|----|----|----|----|----|----|------|----|----|---|---|
| 30708P7K52I0CAA | 0 | 0 | SSport | AT | 15 | 23,04 | 6,55 | 15 | 10 | 37 | 10 | 30 | 10 | 10 | 6,0 | 7 | 14 | 2 | 2 |
| 30708P7K52I0HAA | 0 | 0 | SSport | AT | 15 | 23,04 | 6,55 | 15 | 10 | 37 | 10 | 30 | 10 | 10 | 0,6 | 1 | 2 | 1 | 1 |
| 30708P7K50I1CAA | 15 | 0 | SSport | AT | 15 | 23,04 | 6,55 | 15 | 10 | 37 | 10 | 30 | 10 | 10 | 9,0 | 11 | 22 | 3 | 3 |
| 30708P7K51I1CAA | 30 | 0 | SSport | AT | 15 | 23,04 | 6,55 | 15 | 10 | 37 | 10 | 30 | 10 | 10 | 12,0 | 14 | 28 | 3 | 3 |
| 30708P7K50I3HAA | 30 | 0 | SSport | AT | 15 | 23,04 | 6,55 | 15 | 10 | 37 | 10 | 30 | 10 | 10 | 12,0 | 14 | 28 | 3 | 3 |
| 30708P7K51I3HAA | 30 | 0 | SSport | AT | 15 | 23,04 | 6,55 | 15 | 10 | 37 | 10 | 30 | 10 | 10 | 21,0 | 25 | 50 | 5 | 5 |
| 30708P7K50C2IAA | 0 | 0 | SSport | AT | 15 | 23,04 | 6,55 | 15 | 10 | 37 | 10 | 30 | 10 | 10 | 0,6 | 1 | 2 | 1 | 1 |
| 30708P7K51C2IAA | 0 | 0 | SSport | AT | 15 | 23,04 | 6,55 | 15 | 10 | 37 | 10 | 30 | 10 | 10 | 0,0 | 0 | 0 | 0 | 0 |
| 30708J5F10I0IAA | 0 | 0 | Basis | EF | 20 | 12,04 | 14,29 | 10 | 27 | 22 | 20 | 20 | 20 | 20 | 0,0 | 0 | 0 | 0 | 0 |
| 30708J5G10I0IAA | 0 | 0 | Basis | EF | 20 | 12,04 | 14,29 | 10 | 27 | 22 | 20 | 20 | 20 | 20 | 0,0 | 0 | 0 | 0 | 0 |
| 30708M5F10T0TAA | 0 | 0 | Basis | EF | 20 | 12,04 | 14,29 | 10 | 27 | 22 | 20 | 20 | 20 | 20 | 0,0 | 0 | 0 | 0 | 0 |
| 30708M5G10T0TAA | 0 | 0 | Basis | EF | 20 | 12,04 | 14,29 | 10 | 27 | 22 | 20 | 20 | 20 | 20 | 0,0 | 0 | 0 | 0 | 0 |
| 30708M5F10I0IAA | 0 | 0 | Basis | EF | 20 | 12,04 | 14,29 | 10 | 27 | 22 | 20 | 20 | 20 | 20 | 0,0 | 0 | 0 | 0 | 0 |
| 30708M5G10I0IAA | 0 | 0 | Basis | EF | 20 | 12,04 | 14,29 | 10 | 27 | 22 | 20 | 20 | 20 | 20 | 0,0 | 0 | 0 | 0 | 0 |
| 30708M5F10C0CAA | 0 | 0 | Basis | EF | 20 | 12,04 | 14,29 | 10 | 27 | 22 | 20 | 20 | 20 | 20 | 0,0 | 0 | 0 | 0 | 0 |
| 30708M5G10C0CAA | 0 | 0 | Basis | EF | 20 | 12,04 | 14,29 | 10 | 27 | 22 | 20 | 20 | 20 | 20 | 0,0 | 0 | 0 | 0 | 0 |
| 30708Q5F00I0IAA | 0 | 0 | Basis | EF | 20 | 12,04 | 14,29 | 10 | 27 | 22 | 20 | 20 | 20 | 20 | 2,0 | 3 | 6 | 1 | 1 |
| 30708Q5F03I0IAA | 0 | 0 | Basis | EF | 20 | 12,04 | 14,29 | 10 | 27 | 22 | 20 | 20 | 20 | 20 | 0,2 | 1 | 2 | 1 | 1 |
| 30708Q5G00I0IAA | 0 | 0 | Basis | EF | 20 | 12,04 | 14,29 | 10 | 27 | 22 | 20 | 20 | 20 | 20 | 2,0 | 3 | 6 | 1 | 1 |
| 30708Q5G03I0IAA | 0 | 0 | Basis | EF | 20 | 12,04 | 14,29 | 10 | 27 | 22 | 20 | 20 | 20 | 20 | 0,2 | 1 | 2 | 1 | 1 |
| 30708Q5F60I0IAA | 0 | 0 | Basis | EF | 20 | 12,04 | 14,29 | 10 | 27 | 22 | 20 | 20 | 20 | 20 | 0,0 | 0 | 0 | 0 | 0 |
| 30708Q5G60I0IAA | 0 | 0 | Basis | EF | 20 | 12,04 | 14,29 | 10 | 27 | 22 | 20 | 20 | 20 | 20 | 0,0 | 0 | 0 | 0 | 0 |
| 30708W5F00T0TAA | 0 | 0 | Basis | EF | 20 | 12,04 | 14,29 | 10 | 27 | 22 | 20 | 20 | 20 | 20 | 0,0 | 0 | 0 | 0 | 0 |
| 30708W5G00T0TAA | 0 | 0 | Basis | EF | 20 | 12,04 | 14,29 | 10 | 27 | 22 | 20 | 20 | 20 | 20 | 0,0 | 0 | 0 | 0 | 0 |
| 30708W5F60T0TAA | 0 | 0 | Basis | EF | 20 | 12,04 | 14,29 | 10 | 27 | 22 | 20 | 20 | 20 | 20 | 2,0 | 3 | 6 | 1 | 1 |
| 30708W5G60T0TAA | 0 | 0 | Basis | EF | 20 | 12,04 | 14,29 | 10 | 27 | 22 | 20 | 20 | 20 | 20 | 2,0 | 3 | 6 | 1 | 1 |
| 30708W5F00I0IAA | 0 | 0 | Basis | EF | 20 | 12,04 | 14,29 | 10 | 27 | 22 | 20 | 20 | 20 | 20 | 0,0 | 0 | 0 | 0 | 0 |
| 30708W5G00I0IAA | 0 | 0 | Basis | EF | 20 | 12,04 | 14,29 | 10 | 27 | 22 | 20 | 20 | 20 | 20 | 0,0 | 0 | 0 | 0 | 0 |
| 30708W5F60I0IAA | 10 | 0 | Basis | EF | 20 | 12,04 | 14,29 | 10 | 27 | 22 | 20 | 20 | 20 | 20 | 10,0 | 12 | 24 | 2 | 2 |
| 30708W5G60I0IAA | 10 | 0 | Basis | EF | 20 | 12,04 | 14,29 | 10 | 27 | 22 | 20 | 20 | 20 | 20 | 10,0 | 12 | 24 | 2 | 2 |
| 30708W5F00C0CAA | 0 | 0 | Basis | EF | 20 | 12,04 | 14,29 | 10 | 27 | 22 | 20 | 20 | 20 | 20 | 0,0 | 0 | 0 | 0 | 0 |
| 30708W5G00C0CAA | 0 | 0 | Basis | EF | 20 | 12,04 | 14,29 | 10 | 27 | 22 | 20 | 20 | 20 | 20 | 0,0 | 0 | 0 | 0 | 0 |
| 30708W5F60C0CAA | 0 | 0 | Basis | EF | 20 | 12,04 | 14,29 | 10 | 27 | 22 | 20 | 20 | 20 | 20 | 4,0 | 5 | 10 | 1 | 1 |
| 30708W5G60C0CAA | 10 | 0 | Basis | EF | 20 | 12,04 | 14,29 | 10 | 27 | 22 | 20 | 20 | 20 | 20 | 4,0 | 5 | 10 | 1 | 1 |
| 30708A5F30I0FAA | 0 | 0 | Sport | EF | 37 | 28,23 | 16,57 | 10 | 21 | 36 | 20 | 30 | 20 | 20 | 0,0 | 0 | 0 | 0 | 0 |
| 30708A5G30I0FAA | 0 | 0 | Sport | EF | 37 | 28,23 | 16,57 | 10 | 21 | 36 | 20 | 30 | 20 | 20 | 0,0 | 0 | 0 | 0 | 0 |

| | | | | | | | | | | | | | | | | | | | |
|-----------------|----|---|-------|----|----|-------|-------|----|----|----|----|----|----|----|-----|---|----|---|---|
| 30708I5F35I1HAA | 0 | 0 | Sport | EF | 37 | 28,23 | 16,57 | 10 | 21 | 36 | 20 | 30 | 20 | 20 | 0,0 | 0 | 0 | 0 | 0 |
| 30708I5G35I1HAA | 0 | 0 | Sport | EF | 37 | 28,23 | 16,57 | 10 | 21 | 36 | 20 | 30 | 20 | 20 | 0,0 | 0 | 0 | 0 | 0 |
| 30708I5F31I4TAA | 0 | 0 | Sport | EF | 37 | 28,23 | 16,57 | 10 | 21 | 36 | 20 | 30 | 20 | 20 | 0,0 | 0 | 0 | 0 | 0 |
| 30708I5G31I4TAA | 0 | 0 | Sport | EF | 37 | 28,23 | 16,57 | 10 | 21 | 36 | 20 | 30 | 20 | 20 | 0,0 | 0 | 0 | 0 | 0 |
| 30708D5F20I0FAA | 0 | 0 | Sport | EF | 37 | 28,23 | 16,57 | 10 | 21 | 36 | 20 | 30 | 20 | 20 | 0,0 | 0 | 0 | 0 | 0 |
| 30708D5F23I0FAA | 0 | 0 | Sport | EF | 37 | 28,23 | 16,57 | 10 | 21 | 36 | 20 | 30 | 20 | 20 | 0,0 | 0 | 0 | 0 | 0 |
| 30708D5G20I0FAA | 0 | 0 | Sport | EF | 37 | 28,23 | 16,57 | 10 | 21 | 36 | 20 | 30 | 20 | 20 | 0,0 | 0 | 0 | 0 | 0 |
| 30708D5G23I0FAA | 0 | 0 | Sport | EF | 37 | 28,23 | 16,57 | 10 | 21 | 36 | 20 | 30 | 20 | 20 | 0,0 | 0 | 0 | 0 | 0 |
| 30708D5F60I0FAA | 0 | 0 | Sport | EF | 37 | 28,23 | 16,57 | 10 | 21 | 36 | 20 | 30 | 20 | 20 | 0,0 | 0 | 0 | 0 | 0 |
| 30708D5F63I0FAA | 0 | 0 | Sport | EF | 37 | 28,23 | 16,57 | 10 | 21 | 36 | 20 | 30 | 20 | 20 | 0,0 | 0 | 0 | 0 | 0 |
| 30708D5G60I0FAA | 0 | 0 | Sport | EF | 37 | 28,23 | 16,57 | 10 | 21 | 36 | 20 | 30 | 20 | 20 | 0,0 | 0 | 0 | 0 | 0 |
| 30708D5G63I0FAA | 0 | 0 | Sport | EF | 37 | 28,23 | 16,57 | 10 | 21 | 36 | 20 | 30 | 20 | 20 | 0,0 | 0 | 0 | 0 | 0 |
| 30708D5G63I0FAA | 0 | 0 | Sport | EF | 37 | 28,23 | 16,57 | 10 | 21 | 36 | 20 | 30 | 20 | 20 | 0,0 | 0 | 0 | 0 | 0 |
| 30708F5F20T0TAA | 2 | 0 | Sport | EF | 37 | 28,23 | 16,57 | 10 | 21 | 36 | 20 | 30 | 20 | 20 | 0,8 | 1 | 2 | 1 | 1 |
| 30708F5F23T0TAA | 1 | 0 | Sport | EF | 37 | 28,23 | 16,57 | 10 | 21 | 36 | 20 | 30 | 20 | 20 | 0,2 | 1 | 2 | 1 | 1 |
| 30708F5G20T0TAA | 2 | 0 | Sport | EF | 37 | 28,23 | 16,57 | 10 | 21 | 36 | 20 | 30 | 20 | 20 | 0,8 | 1 | 2 | 1 | 1 |
| 30708F5G23T0TAA | 1 | 0 | Sport | EF | 37 | 28,23 | 16,57 | 10 | 21 | 36 | 20 | 30 | 20 | 20 | 0,2 | 1 | 2 | 1 | 1 |
| 30708F5F60T0TAA | 1 | 0 | Sport | EF | 37 | 28,23 | 16,57 | 10 | 21 | 36 | 20 | 30 | 20 | 20 | 0,2 | 1 | 2 | 1 | 1 |
| 30708F5F63T0TAA | 1 | 0 | Sport | EF | 37 | 28,23 | 16,57 | 10 | 21 | 36 | 20 | 30 | 20 | 20 | 0,2 | 1 | 2 | 1 | 1 |
| 30708F5G60T0TAA | 0 | 0 | Sport | EF | 37 | 28,23 | 16,57 | 10 | 21 | 36 | 20 | 30 | 20 | 20 | 0,0 | 0 | 0 | 0 | 0 |
| 30708F5G63T0TAA | 0 | 0 | Sport | EF | 37 | 28,23 | 16,57 | 10 | 21 | 36 | 20 | 30 | 20 | 20 | 0,2 | 1 | 2 | 1 | 1 |
| 30708F5F20I0IAA | 10 | 0 | Sport | EF | 37 | 28,23 | 16,57 | 10 | 21 | 36 | 20 | 30 | 20 | 20 | 4,0 | 5 | 10 | 1 | 1 |
| 30708F5F23I0IAA | 10 | 0 | Sport | EF | 37 | 28,23 | 16,57 | 10 | 21 | 36 | 20 | 30 | 20 | 20 | 4,0 | 5 | 10 | 1 | 1 |
| 30708F5G20I0IAA | 0 | 0 | Sport | EF | 37 | 28,23 | 16,57 | 10 | 21 | 36 | 20 | 30 | 20 | 20 | 4,0 | 5 | 10 | 1 | 1 |
| 30708F5G23I0IAA | 10 | 0 | Sport | EF | 37 | 28,23 | 16,57 | 10 | 21 | 36 | 20 | 30 | 20 | 20 | 2,0 | 3 | 6 | 1 | 1 |
| 30708F5F60I0IAA | 0 | 0 | Sport | EF | 37 | 28,23 | 16,57 | 10 | 21 | 36 | 20 | 30 | 20 | 20 | 0,0 | 0 | 0 | 0 | 0 |
| 30708F5F63I0IAA | 0 | 0 | Sport | EF | 37 | 28,23 | 16,57 | 10 | 21 | 36 | 20 | 30 | 20 | 20 | 0,2 | 1 | 2 | 1 | 1 |
| 30708F5G60I0IAA | 0 | 0 | Sport | EF | 37 | 28,23 | 16,57 | 10 | 21 | 36 | 20 | 30 | 20 | 20 | 2,0 | 3 | 6 | 1 | 1 |
| 30708F5G63I0IAA | 0 | 0 | Sport | EF | 37 | 28,23 | 16,57 | 10 | 21 | 36 | 20 | 30 | 20 | 20 | 0,2 | 1 | 2 | 1 | 1 |
| 30708F5F20C0CAA | 3 | 0 | Sport | EF | 37 | 28,23 | 16,57 | 10 | 21 | 36 | 20 | 30 | 20 | 20 | 1,0 | 2 | 4 | 1 | 1 |
| 30708F5F23C0CAA | 0 | 0 | Sport | EF | 37 | 28,23 | 16,57 | 10 | 21 | 36 | 20 | 30 | 20 | 20 | 0,4 | 1 | 2 | 1 | 1 |
| 30708F5G20C0CAA | 3 | 0 | Sport | EF | 37 | 28,23 | 16,57 | 10 | 21 | 36 | 20 | 30 | 20 | 20 | 1,0 | 2 | 4 | 1 | 1 |
| 30708F5G23C0CAA | 0 | 0 | Sport | EF | 37 | 28,23 | 16,57 | 10 | 21 | 36 | 20 | 30 | 20 | 20 | 0,2 | 1 | 2 | 1 | 1 |
| 30708F5F60C0CAA | 0 | 0 | Sport | EF | 37 | 28,23 | 16,57 | 10 | 21 | 36 | 20 | 30 | 20 | 20 | 0,2 | 1 | 2 | 1 | 1 |
| 30708F5F63C0CAA | 0 | 0 | Sport | EF | 37 | 28,23 | 16,57 | 10 | 21 | 36 | 20 | 30 | 20 | 20 | 0,2 | 1 | 2 | 1 | 1 |
| 30708F5G60C0CAA | 0 | 0 | Sport | EF | 37 | 28,23 | 16,57 | 10 | 21 | 36 | 20 | 30 | 20 | 20 | 0,2 | 1 | 2 | 1 | 1 |
| 30708F5G63C0CAA | 0 | 0 | Sport | EF | 37 | 28,23 | 16,57 | 10 | 21 | 36 | 20 | 30 | 20 | 20 | 0,2 | 1 | 2 | 1 | 1 |

| | | | | | | | | | | | | | | | | | | | |
|-----------------|----|---|-------|----|----|-------|-------|----|----|----|----|----|----|----|-----|---|---|---|---|
| 30708G5F20TOTAA | 0 | 0 | Sport | EF | 37 | 28,23 | 16,57 | 10 | 21 | 36 | 20 | 30 | 20 | 20 | 0,0 | 0 | 0 | 0 | 0 |
| 30708G5G20TOTAA | 0 | 0 | Sport | EF | 37 | 28,23 | 16,57 | 10 | 21 | 36 | 20 | 30 | 20 | 20 | 0,0 | 0 | 0 | 0 | 0 |
| 30708G5F60TOTAA | 0 | 0 | Sport | EF | 37 | 28,23 | 16,57 | 10 | 21 | 36 | 20 | 30 | 20 | 20 | 0,2 | 1 | 2 | 1 | 1 |
| 30708G5G60TOTAA | 0 | 0 | Sport | EF | 37 | 28,23 | 16,57 | 10 | 21 | 36 | 20 | 30 | 20 | 20 | 0,2 | 1 | 2 | 1 | 1 |
| 30708G5F20I0IAA | 0 | 0 | Sport | EF | 37 | 28,23 | 16,57 | 10 | 21 | 36 | 20 | 30 | 20 | 20 | 0,0 | 0 | 0 | 0 | 0 |
| 30708G5G20I0IAA | 0 | 0 | Sport | EF | 37 | 28,23 | 16,57 | 10 | 21 | 36 | 20 | 30 | 20 | 20 | 0,0 | 0 | 0 | 0 | 0 |
| 30708G5F60I0IAA | 0 | 0 | Sport | EF | 37 | 28,23 | 16,57 | 10 | 21 | 36 | 20 | 30 | 20 | 20 | 2,0 | 3 | 6 | 1 | 1 |
| 30708G5G60I0IAA | 10 | 0 | Sport | EF | 37 | 28,23 | 16,57 | 10 | 21 | 36 | 20 | 30 | 20 | 20 | 2,0 | 3 | 6 | 1 | 1 |
| 30708G5F20C0CAA | 0 | 0 | Sport | EF | 37 | 28,23 | 16,57 | 10 | 21 | 36 | 20 | 30 | 20 | 20 | 0,0 | 0 | 0 | 0 | 0 |
| 30708G5G20C0CAA | 0 | 0 | Sport | EF | 37 | 28,23 | 16,57 | 10 | 21 | 36 | 20 | 30 | 20 | 20 | 0,0 | 0 | 0 | 0 | 0 |
| 30708G5F60C0CAA | 0 | 0 | Sport | EF | 37 | 28,23 | 16,57 | 10 | 21 | 36 | 20 | 30 | 20 | 20 | 0,0 | 0 | 0 | 0 | 0 |
| 30708G5G60C0CAA | 0 | 0 | Sport | EF | 37 | 28,23 | 16,57 | 10 | 21 | 36 | 20 | 30 | 20 | 20 | 0,2 | 1 | 2 | 1 | 1 |
| 30708R5F22C1IAA | 1 | 0 | Sport | EF | 37 | 28,23 | 16,57 | 10 | 21 | 36 | 20 | 30 | 20 | 20 | 0,8 | 1 | 2 | 1 | 1 |
| 30708R5F24C1IAA | 0 | 0 | Sport | EF | 37 | 28,23 | 16,57 | 10 | 21 | 36 | 20 | 30 | 20 | 20 | 0,2 | 1 | 2 | 1 | 1 |
| 30708R5G22C1IAA | 1 | 0 | Sport | EF | 37 | 28,23 | 16,57 | 10 | 21 | 36 | 20 | 30 | 20 | 20 | 0,8 | 1 | 2 | 1 | 1 |
| 30708R5G24C1IAA | 0 | 0 | Sport | EF | 37 | 28,23 | 16,57 | 10 | 21 | 36 | 20 | 30 | 20 | 20 | 0,2 | 1 | 2 | 1 | 1 |
| 30708R5F62C1IAA | 0 | 0 | Sport | EF | 37 | 28,23 | 16,57 | 10 | 21 | 36 | 20 | 30 | 20 | 20 | 0,0 | 0 | 0 | 0 | 0 |
| 30708R5F64C1IAA | 0 | 0 | Sport | EF | 37 | 28,23 | 16,57 | 10 | 21 | 36 | 20 | 30 | 20 | 20 | 0,0 | 0 | 0 | 0 | 0 |
| 30708R5G62C1IAA | 0 | 0 | Sport | EF | 37 | 28,23 | 16,57 | 10 | 21 | 36 | 20 | 30 | 20 | 20 | 0,0 | 0 | 0 | 0 | 0 |
| 30708R5G64C1IAA | 0 | 0 | Sport | EF | 37 | 28,23 | 16,57 | 10 | 21 | 36 | 20 | 30 | 20 | 20 | 0,2 | 1 | 2 | 1 | 1 |
| 30708R5F22I0CAA | 7 | 0 | Sport | EF | 37 | 28,23 | 16,57 | 10 | 21 | 36 | 20 | 30 | 20 | 20 | 2,4 | 3 | 6 | 1 | 1 |
| 30708R5F24I0CAA | 0 | 0 | Sport | EF | 37 | 28,23 | 16,57 | 10 | 21 | 36 | 20 | 30 | 20 | 20 | 1,6 | 2 | 4 | 1 | 1 |
| 30708R5G22I0CAA | 7 | 0 | Sport | EF | 37 | 28,23 | 16,57 | 10 | 21 | 36 | 20 | 30 | 20 | 20 | 2,4 | 3 | 6 | 1 | 1 |
| 30708R5G24I0CAA | 0 | 0 | Sport | EF | 37 | 28,23 | 16,57 | 10 | 21 | 36 | 20 | 30 | 20 | 20 | 1,4 | 2 | 4 | 1 | 1 |
| 30708R5F62I0CAA | 0 | 0 | Sport | EF | 37 | 28,23 | 16,57 | 10 | 21 | 36 | 20 | 30 | 20 | 20 | 0,2 | 1 | 2 | 1 | 1 |
| 30708R5F64I0CAA | 0 | 0 | Sport | EF | 37 | 28,23 | 16,57 | 10 | 21 | 36 | 20 | 30 | 20 | 20 | 0,4 | 1 | 2 | 1 | 1 |
| 30708R5G62I0CAA | 0 | 0 | Sport | EF | 37 | 28,23 | 16,57 | 10 | 21 | 36 | 20 | 30 | 20 | 20 | 0,2 | 1 | 2 | 1 | 1 |
| 30708R5G64I0CAA | 0 | 0 | Sport | EF | 37 | 28,23 | 16,57 | 10 | 21 | 36 | 20 | 30 | 20 | 20 | 0,6 | 1 | 2 | 1 | 1 |
| 30708R5F25I1HAA | 0 | 0 | Sport | EF | 37 | 28,23 | 16,57 | 10 | 21 | 36 | 20 | 30 | 20 | 20 | 0,0 | 0 | 0 | 0 | 0 |
| 30708R5F27I1HAA | 0 | 0 | Sport | EF | 37 | 28,23 | 16,57 | 10 | 21 | 36 | 20 | 30 | 20 | 20 | 0,0 | 0 | 0 | 0 | 0 |
| 30708R5G25I1HAA | 0 | 0 | Sport | EF | 37 | 28,23 | 16,57 | 10 | 21 | 36 | 20 | 30 | 20 | 20 | 0,0 | 0 | 0 | 0 | 0 |
| 30708R5G27I1HAA | 0 | 0 | Sport | EF | 37 | 28,23 | 16,57 | 10 | 21 | 36 | 20 | 30 | 20 | 20 | 0,0 | 0 | 0 | 0 | 0 |
| 30708R5F65I1HAA | 0 | 0 | Sport | EF | 37 | 28,23 | 16,57 | 10 | 21 | 36 | 20 | 30 | 20 | 20 | 0,0 | 0 | 0 | 0 | 0 |
| 30708R5F67I1HAA | 0 | 0 | Sport | EF | 37 | 28,23 | 16,57 | 10 | 21 | 36 | 20 | 30 | 20 | 20 | 0,2 | 1 | 2 | 1 | 1 |
| 30708R5G65I1HAA | 0 | 0 | Sport | EF | 37 | 28,23 | 16,57 | 10 | 21 | 36 | 20 | 30 | 20 | 20 | 0,2 | 1 | 2 | 1 | 1 |
| 30708R5G67I1HAA | 0 | 0 | Sport | EF | 37 | 28,23 | 16,57 | 10 | 21 | 36 | 20 | 30 | 20 | 20 | 0,2 | 1 | 2 | 1 | 1 |

| | | | | | | | | | | | | | | | | | | | |
|-----------------|----|---|-------|----|----|-------|-------|----|----|----|----|----|----|----|-----|---|----|---|---|
| 30708R5F21I4TAA | 0 | 0 | Sport | EF | 37 | 28,23 | 16,57 | 10 | 21 | 36 | 20 | 30 | 20 | 20 | 0,0 | 0 | 0 | 0 | 0 |
| 30708R5F26I4TAA | 0 | 0 | Sport | EF | 37 | 28,23 | 16,57 | 10 | 21 | 36 | 20 | 30 | 20 | 20 | 0,0 | 0 | 0 | 0 | 0 |
| 30708R5G21I4TAA | 0 | 0 | Sport | EF | 37 | 28,23 | 16,57 | 10 | 21 | 36 | 20 | 30 | 20 | 20 | 0,0 | 0 | 0 | 0 | 0 |
| 30708R5G26I4TAA | 0 | 0 | Sport | EF | 37 | 28,23 | 16,57 | 10 | 21 | 36 | 20 | 30 | 20 | 20 | 0,0 | 0 | 0 | 0 | 0 |
| 30708R5F61I4TAA | 0 | 0 | Sport | EF | 37 | 28,23 | 16,57 | 10 | 21 | 36 | 20 | 30 | 20 | 20 | 0,0 | 0 | 0 | 0 | 0 |
| 30708R5F66I4TAA | 0 | 0 | Sport | EF | 37 | 28,23 | 16,57 | 10 | 21 | 36 | 20 | 30 | 20 | 20 | 0,0 | 0 | 0 | 0 | 0 |
| 30708R5G61I4TAA | 0 | 0 | Sport | EF | 37 | 28,23 | 16,57 | 10 | 21 | 36 | 20 | 30 | 20 | 20 | 0,0 | 0 | 0 | 0 | 0 |
| 30708R5G66I4TAA | 0 | 0 | Sport | EF | 37 | 28,23 | 16,57 | 10 | 21 | 36 | 20 | 30 | 20 | 20 | 0,0 | 0 | 0 | 0 | 0 |
| 30708S5F20I0IAA | 0 | 0 | Sport | EF | 37 | 28,23 | 16,57 | 10 | 21 | 36 | 20 | 30 | 20 | 20 | 2,0 | 3 | 6 | 1 | 1 |
| 30708S5F23I0IAA | 0 | 0 | Sport | EF | 37 | 28,23 | 16,57 | 10 | 21 | 36 | 20 | 30 | 20 | 20 | 2,0 | 3 | 6 | 1 | 1 |
| 30708S5G20I0IAA | 10 | 0 | Sport | EF | 37 | 28,23 | 16,57 | 10 | 21 | 36 | 20 | 30 | 20 | 20 | 2,0 | 3 | 6 | 1 | 1 |
| 30708S5G23I0IAA | 0 | 0 | Sport | EF | 37 | 28,23 | 16,57 | 10 | 21 | 36 | 20 | 30 | 20 | 20 | 2,0 | 3 | 6 | 1 | 1 |
| 30708S5F60I0IAA | 0 | 0 | Sport | EF | 37 | 28,23 | 16,57 | 10 | 21 | 36 | 20 | 30 | 20 | 20 | 0,4 | 1 | 2 | 1 | 1 |
| 30708S5F63I0IAA | 0 | 0 | Sport | EF | 37 | 28,23 | 16,57 | 10 | 21 | 36 | 20 | 30 | 20 | 20 | 0,4 | 1 | 2 | 1 | 1 |
| 30708S5G60I0IAA | 0 | 0 | Sport | EF | 37 | 28,23 | 16,57 | 10 | 21 | 36 | 20 | 30 | 20 | 20 | 0,4 | 1 | 2 | 1 | 1 |
| 30708S5G63I0IAA | 0 | 0 | Sport | EF | 37 | 28,23 | 16,57 | 10 | 21 | 36 | 20 | 30 | 20 | 20 | 0,2 | 1 | 2 | 1 | 1 |
| 30708S5F20C0CAA | 0 | 0 | Sport | EF | 37 | 28,23 | 16,57 | 10 | 21 | 36 | 20 | 30 | 20 | 20 | 0,4 | 1 | 2 | 1 | 1 |
| 30708S5F23C0CAA | 0 | 0 | Sport | EF | 37 | 28,23 | 16,57 | 10 | 21 | 36 | 20 | 30 | 20 | 20 | 0,4 | 1 | 2 | 1 | 1 |
| 30708S5G20C0CAA | 0 | 0 | Sport | EF | 37 | 28,23 | 16,57 | 10 | 21 | 36 | 20 | 30 | 20 | 20 | 0,4 | 1 | 2 | 1 | 1 |
| 30708S5G23C0CAA | 0 | 0 | Sport | EF | 37 | 28,23 | 16,57 | 10 | 21 | 36 | 20 | 30 | 20 | 20 | 0,4 | 1 | 2 | 1 | 1 |
| 30708S5F60C0CAA | 0 | 0 | Sport | EF | 37 | 28,23 | 16,57 | 10 | 21 | 36 | 20 | 30 | 20 | 20 | 0,0 | 0 | 0 | 0 | 0 |
| 30708S5F63C0CAA | 0 | 0 | Sport | EF | 37 | 28,23 | 16,57 | 10 | 21 | 36 | 20 | 30 | 20 | 20 | 0,0 | 0 | 0 | 0 | 0 |
| 30708S5G60C0CAA | 0 | 0 | Sport | EF | 37 | 28,23 | 16,57 | 10 | 21 | 36 | 20 | 30 | 20 | 20 | 0,0 | 0 | 0 | 0 | 0 |
| 30708S5G63C0CAA | 0 | 0 | Sport | EF | 37 | 28,23 | 16,57 | 10 | 21 | 36 | 20 | 30 | 20 | 20 | 0,0 | 0 | 0 | 0 | 0 |
| 30708T5F22C1IAA | 0 | 0 | Sport | EF | 37 | 28,23 | 16,57 | 10 | 21 | 36 | 20 | 30 | 20 | 20 | 0,8 | 1 | 2 | 1 | 1 |
| 30708T5F24C1IAA | 2 | 0 | Sport | EF | 37 | 28,23 | 16,57 | 10 | 21 | 36 | 20 | 30 | 20 | 20 | 0,6 | 1 | 2 | 1 | 1 |
| 30708T5G22C1IAA | 1 | 0 | Sport | EF | 37 | 28,23 | 16,57 | 10 | 21 | 36 | 20 | 30 | 20 | 20 | 0,8 | 1 | 2 | 1 | 1 |
| 30708T5G24C1IAA | 1 | 0 | Sport | EF | 37 | 28,23 | 16,57 | 10 | 21 | 36 | 20 | 30 | 20 | 20 | 0,6 | 1 | 2 | 1 | 1 |
| 30708T5F62C1IAA | 0 | 0 | Sport | EF | 37 | 28,23 | 16,57 | 10 | 21 | 36 | 20 | 30 | 20 | 20 | 0,2 | 1 | 2 | 1 | 1 |
| 30708T5F64C1IAA | 0 | 0 | Sport | EF | 37 | 28,23 | 16,57 | 10 | 21 | 36 | 20 | 30 | 20 | 20 | 0,2 | 1 | 2 | 1 | 1 |
| 30708T5G62C1IAA | 0 | 0 | Sport | EF | 37 | 28,23 | 16,57 | 10 | 21 | 36 | 20 | 30 | 20 | 20 | 0,2 | 1 | 2 | 1 | 1 |
| 30708T5G64C1IAA | 1 | 0 | Sport | EF | 37 | 28,23 | 16,57 | 10 | 21 | 36 | 20 | 30 | 20 | 20 | 0,2 | 1 | 2 | 1 | 1 |
| 30708T5F22I0CAA | 10 | 0 | Sport | EF | 37 | 28,23 | 16,57 | 10 | 21 | 36 | 20 | 30 | 20 | 20 | 2,0 | 3 | 6 | 1 | 1 |
| 30708T5F24I0CAA | 10 | 0 | Sport | EF | 37 | 28,23 | 16,57 | 10 | 21 | 36 | 20 | 30 | 20 | 20 | 4,0 | 5 | 10 | 1 | 1 |
| 30708T5G22I0CAA | 0 | 0 | Sport | EF | 37 | 28,23 | 16,57 | 10 | 21 | 36 | 20 | 30 | 20 | 20 | 2,0 | 3 | 6 | 1 | 1 |
| 30708T5G24I0CAA | 10 | 0 | Sport | EF | 37 | 28,23 | 16,57 | 10 | 21 | 36 | 20 | 30 | 20 | 20 | 4,0 | 5 | 10 | 1 | 1 |

| | | | | | | | | | | | | | | | | | | | |
|-----------------|----|---|--------|----|----|-------|-------|----|----|----|----|----|----|----|------|----|----|---|---|
| 30708T5F62I0CAA | 0 | 0 | Sport | EF | 37 | 28,23 | 16,57 | 10 | 21 | 36 | 20 | 30 | 20 | 20 | 0,8 | 1 | 2 | 1 | 1 |
| 30708T5F64I0CAA | 4 | 0 | Sport | EF | 37 | 28,23 | 16,57 | 10 | 21 | 36 | 20 | 30 | 20 | 20 | 0,8 | 1 | 2 | 1 | 1 |
| 30708T5G62I0CAA | 0 | 0 | Sport | EF | 37 | 28,23 | 16,57 | 10 | 21 | 36 | 20 | 30 | 20 | 20 | 1,0 | 2 | 4 | 1 | 1 |
| 30708T5G64I0CAA | 5 | 0 | Sport | EF | 37 | 28,23 | 16,57 | 10 | 21 | 36 | 20 | 30 | 20 | 20 | 1,2 | 2 | 4 | 1 | 1 |
| 30708U5F22I0CAA | 30 | 0 | Sport | EF | 37 | 28,23 | 16,57 | 10 | 21 | 36 | 20 | 30 | 20 | 20 | 10,0 | 12 | 24 | 2 | 2 |
| 30708U5F24I0CAA | 0 | 0 | Sport | EF | 37 | 28,23 | 16,57 | 10 | 21 | 36 | 20 | 30 | 20 | 20 | 4,0 | 5 | 10 | 1 | 1 |
| 30708U5G22I0CAA | 20 | 0 | Sport | EF | 37 | 28,23 | 16,57 | 10 | 21 | 36 | 20 | 30 | 20 | 20 | 8,0 | 10 | 20 | 1 | 1 |
| 30708U5G24I0CAA | 0 | 0 | Sport | EF | 37 | 28,23 | 16,57 | 10 | 21 | 36 | 20 | 30 | 20 | 20 | 4,0 | 5 | 10 | 1 | 1 |
| 30708U5F62I0CAA | 0 | 0 | Sport | EF | 37 | 28,23 | 16,57 | 10 | 21 | 36 | 20 | 30 | 20 | 20 | 0,4 | 1 | 2 | 1 | 1 |
| 30708U5F64I0CAA | 0 | 0 | Sport | EF | 37 | 28,23 | 16,57 | 10 | 21 | 36 | 20 | 30 | 20 | 20 | 0,2 | 1 | 2 | 1 | 1 |
| 30708U5G62I0CAA | 0 | 0 | Sport | EF | 37 | 28,23 | 16,57 | 10 | 21 | 36 | 20 | 30 | 20 | 20 | 0,4 | 1 | 2 | 1 | 1 |
| 30708U5G64I0CAA | 0 | 0 | Sport | EF | 37 | 28,23 | 16,57 | 10 | 21 | 36 | 20 | 30 | 20 | 20 | 0,2 | 1 | 2 | 1 | 1 |
| 30708V5F22I0HAA | 1 | 0 | Sport | EF | 37 | 28,23 | 16,57 | 10 | 21 | 36 | 20 | 30 | 20 | 20 | 0,2 | 1 | 2 | 1 | 1 |
| 30708V5F24I0HAA | 0 | 0 | Sport | EF | 37 | 28,23 | 16,57 | 10 | 21 | 36 | 20 | 30 | 20 | 20 | 0,2 | 1 | 2 | 1 | 1 |
| 30708V5G22I0HAA | 0 | 0 | Sport | EF | 37 | 28,23 | 16,57 | 10 | 21 | 36 | 20 | 30 | 20 | 20 | 0,0 | 0 | 0 | 0 | 0 |
| 30708V5G24I0HAA | 0 | 0 | Sport | EF | 37 | 28,23 | 16,57 | 10 | 21 | 36 | 20 | 30 | 20 | 20 | 0,2 | 1 | 2 | 1 | 1 |
| 30708V5F62I0HAA | 0 | 0 | Sport | EF | 37 | 28,23 | 16,57 | 10 | 21 | 36 | 20 | 30 | 20 | 20 | 0,0 | 0 | 0 | 0 | 0 |
| 30708V5F64I0HAA | 0 | 0 | Sport | EF | 37 | 28,23 | 16,57 | 10 | 21 | 36 | 20 | 30 | 20 | 20 | 0,2 | 1 | 2 | 1 | 1 |
| 30708V5G62I0HAA | 0 | 0 | Sport | EF | 37 | 28,23 | 16,57 | 10 | 21 | 36 | 20 | 30 | 20 | 20 | 0,0 | 0 | 0 | 0 | 0 |
| 30708V5G64I0HAA | 0 | 0 | Sport | EF | 37 | 28,23 | 16,57 | 10 | 21 | 36 | 20 | 30 | 20 | 20 | 0,2 | 1 | 2 | 1 | 1 |
| 30708I5F38I2HAB | 0 | 0 | Sport | EF | 37 | 28,23 | 16,57 | 10 | 21 | 36 | 20 | 30 | 20 | 20 | 0,0 | 0 | 0 | 0 | 0 |
| 30708I5G38I2HAB | 0 | 0 | Sport | EF | 37 | 28,23 | 16,57 | 10 | 21 | 36 | 20 | 30 | 20 | 20 | 0,0 | 0 | 0 | 0 | 0 |
| 30708I5F38I0CAB | 0 | 0 | Sport | EF | 37 | 28,23 | 16,57 | 10 | 21 | 36 | 20 | 30 | 20 | 20 | 0,0 | 0 | 0 | 0 | 0 |
| 30708I5G38I0CAB | 0 | 0 | Sport | EF | 37 | 28,23 | 16,57 | 10 | 21 | 36 | 20 | 30 | 20 | 20 | 0,0 | 0 | 0 | 0 | 0 |
| 30708C5F38I0CAA | 0 | 0 | Sport | EF | 37 | 28,23 | 16,57 | 10 | 21 | 36 | 20 | 30 | 20 | 20 | 0,0 | 0 | 0 | 0 | 0 |
| 30708C5G38I0CAA | 0 | 0 | Sport | EF | 37 | 28,23 | 16,57 | 10 | 21 | 36 | 20 | 30 | 20 | 20 | 0,0 | 0 | 0 | 0 | 0 |
| 30708C5F38I2HAA | 0 | 0 | Sport | EF | 37 | 28,23 | 16,57 | 10 | 21 | 36 | 20 | 30 | 20 | 20 | 0,0 | 0 | 0 | 0 | 0 |
| 30708C5G38I2HAA | 0 | 0 | Sport | EF | 37 | 28,23 | 16,57 | 10 | 21 | 36 | 20 | 30 | 20 | 20 | 0,0 | 0 | 0 | 0 | 0 |
| 30708P5F52C1IAA | 0 | 0 | SSport | EF | 8 | 12,63 | 5,00 | 10 | 10 | 26 | 10 | 20 | 10 | 10 | 0,0 | 0 | 0 | 0 | 0 |
| 30708P5G52C1IAA | 0 | 0 | SSport | EF | 8 | 12,63 | 5,00 | 10 | 10 | 26 | 10 | 20 | 10 | 10 | 0,0 | 0 | 0 | 0 | 0 |
| 30708P5F52I0CAA | 0 | 0 | SSport | EF | 8 | 12,63 | 5,00 | 10 | 10 | 26 | 10 | 20 | 10 | 10 | 0,0 | 0 | 0 | 0 | 0 |
| 30708P5G52I0CAA | 0 | 0 | SSport | EF | 8 | 12,63 | 5,00 | 10 | 10 | 26 | 10 | 20 | 10 | 10 | 0,0 | 0 | 0 | 0 | 0 |
| 30708P5F52I0HAA | 0 | 0 | SSport | EF | 8 | 12,63 | 5,00 | 10 | 10 | 26 | 10 | 20 | 10 | 10 | 0,0 | 0 | 0 | 0 | 0 |
| 30708P5G52I0HAA | 0 | 0 | SSport | EF | 8 | 12,63 | 5,00 | 10 | 10 | 26 | 10 | 20 | 10 | 10 | 0,0 | 0 | 0 | 0 | 0 |
| 30708X5F42C1IAA | 0 | 0 | SSport | EF | 8 | 12,63 | 5,00 | 10 | 10 | 26 | 10 | 20 | 10 | 10 | 0,2 | 1 | 2 | 1 | 1 |
| 30708X5G42C1IAA | 0 | 0 | SSport | EF | 8 | 12,63 | 5,00 | 10 | 10 | 26 | 10 | 20 | 10 | 10 | 0,2 | 1 | 2 | 1 | 1 |

| | | | | | | | | | | | | | | | | | | | |
|-----------------|-----|----|--------|----|----|-------|-------|----|----|----|----|----|----|----|------|----|-----|---|---|
| 30708X5F42I0CAA | 0 | 0 | SSport | EF | 8 | 12,63 | 5,00 | 10 | 10 | 26 | 10 | 20 | 10 | 10 | 2,0 | 3 | 6 | 1 | 1 |
| 30708X5G42I0CAA | 10 | 0 | SSport | EF | 8 | 12,63 | 5,00 | 10 | 10 | 26 | 10 | 20 | 10 | 10 | 2,0 | 3 | 6 | 1 | 1 |
| 30708X5F42I0HAA | 2 | 0 | SSport | EF | 8 | 12,63 | 5,00 | 10 | 10 | 26 | 10 | 20 | 10 | 10 | 0,6 | 1 | 2 | 1 | 1 |
| 30708X5G42I0HAA | 2 | 0 | SSport | EF | 8 | 12,63 | 5,00 | 10 | 10 | 26 | 10 | 20 | 10 | 10 | 0,8 | 1 | 2 | 1 | 1 |
| 30708P5F58I1CAB | 0 | 0 | SSport | EF | 8 | 12,63 | 5,00 | 10 | 10 | 26 | 10 | 20 | 10 | 10 | 0,0 | 0 | 0 | 0 | 0 |
| 30708P5G58I1CAB | 0 | 0 | SSport | EF | 8 | 12,63 | 5,00 | 10 | 10 | 26 | 10 | 20 | 10 | 10 | 0,0 | 0 | 0 | 0 | 0 |
| 30708P5F58I3HAB | 0 | 0 | SSport | EF | 8 | 12,63 | 5,00 | 10 | 10 | 26 | 10 | 20 | 10 | 10 | 0,0 | 0 | 0 | 0 | 0 |
| 30708P5G58I3HAB | 0 | 0 | SSport | EF | 8 | 12,63 | 5,00 | 10 | 10 | 26 | 10 | 20 | 10 | 10 | 0,0 | 0 | 0 | 0 | 0 |
| 30708P5F58C2IAB | 0 | 0 | SSport | EF | 8 | 12,63 | 5,00 | 10 | 10 | 26 | 10 | 20 | 10 | 10 | 0,0 | 0 | 0 | 0 | 0 |
| 30708P5G58C2IAB | 0 | 0 | SSport | EF | 8 | 12,63 | 5,00 | 10 | 10 | 26 | 10 | 20 | 10 | 10 | 0,0 | 0 | 0 | 0 | 0 |
| 30708J2F10I0IAA | 0 | 0 | Basis | EF | 20 | 12,04 | 14,29 | 4 | 27 | 22 | 24 | 20 | 20 | 20 | 4,8 | 6 | 12 | 1 | 1 |
| 30708J2G10I0IAA | 4 | 0 | Basis | EF | 20 | 12,04 | 14,29 | 4 | 27 | 22 | 24 | 20 | 20 | 20 | 4,8 | 6 | 12 | 1 | 1 |
| 30708M2F10I0IAA | 64 | 2 | Basis | EF | 20 | 12,04 | 14,29 | 4 | 27 | 22 | 24 | 20 | 20 | 20 | 35,2 | 41 | 82 | 5 | 5 |
| 30708M2G10I0IAA | 64 | 0 | Basis | EF | 20 | 12,04 | 14,29 | 4 | 27 | 22 | 24 | 20 | 20 | 20 | 32,0 | 37 | 74 | 4 | 4 |
| 30708M2F10T0TAA | 8 | 7 | Basis | EF | 20 | 12,04 | 14,29 | 4 | 27 | 22 | 24 | 20 | 20 | 20 | 16,0 | 19 | 38 | 2 | 2 |
| 30708M2G10T0TAA | 8 | 8 | Basis | EF | 20 | 12,04 | 14,29 | 4 | 27 | 22 | 24 | 20 | 20 | 20 | 16,0 | 19 | 38 | 2 | 2 |
| 30708M2F10C0CAA | 4 | 8 | Basis | EF | 20 | 12,04 | 14,29 | 4 | 27 | 22 | 24 | 20 | 20 | 20 | 12,8 | 15 | 30 | 2 | 2 |
| 30708M2G10C0CAA | 4 | 8 | Basis | EF | 20 | 12,04 | 14,29 | 4 | 27 | 22 | 24 | 20 | 20 | 20 | 12,8 | 15 | 30 | 2 | 2 |
| 30708L7F10I0IAA | 224 | 31 | Basis | EF | 20 | 12,04 | 14,29 | 4 | 27 | 22 | 24 | 20 | 20 | 20 | 70,4 | 81 | 162 | 9 | 9 |
| 30708L7G10I0IAA | 224 | 30 | Basis | EF | 20 | 12,04 | 14,29 | 4 | 27 | 22 | 24 | 20 | 20 | 20 | 70,4 | 81 | 162 | 9 | 9 |
| 30708L7F10C0CAA | 40 | 5 | Basis | EF | 20 | 12,04 | 14,29 | 4 | 27 | 22 | 24 | 20 | 20 | 20 | 12,0 | 14 | 28 | 2 | 2 |
| 30708L7G10C0CAA | 40 | 5 | Basis | EF | 20 | 12,04 | 14,29 | 4 | 27 | 22 | 24 | 20 | 20 | 20 | 12,0 | 14 | 28 | 2 | 2 |
| 30708L7F10T0TAA | 28 | 3 | Basis | EF | 20 | 12,04 | 14,29 | 4 | 27 | 22 | 24 | 20 | 20 | 20 | 11,2 | 13 | 26 | 2 | 2 |
| 30708L7G10T0TAA | 28 | 3 | Basis | EF | 20 | 12,04 | 14,29 | 4 | 27 | 22 | 24 | 20 | 20 | 20 | 11,2 | 13 | 26 | 2 | 2 |
| 30708C2F30I0IAA | 64 | 43 | Sport | EF | 37 | 28,23 | 16,57 | 4 | 21 | 36 | 20 | 36 | 20 | 20 | 28,8 | 34 | 68 | 4 | 4 |
| 30708C2G30I0IAA | 64 | 44 | Sport | EF | 37 | 28,23 | 16,57 | 4 | 21 | 36 | 20 | 36 | 20 | 20 | 28,8 | 34 | 68 | 4 | 4 |
| 30708C2F30T0TAA | 4 | 26 | Sport | EF | 37 | 28,23 | 16,57 | 4 | 21 | 36 | 20 | 36 | 20 | 20 | 20,0 | 23 | 46 | 3 | 3 |
| 30708C2G30T0TAA | 4 | 26 | Sport | EF | 37 | 28,23 | 16,57 | 4 | 21 | 36 | 20 | 36 | 20 | 20 | 20,0 | 23 | 46 | 3 | 3 |
| 30708C2F30C0CAA | 4 | 11 | Sport | EF | 37 | 28,23 | 16,57 | 4 | 21 | 36 | 20 | 36 | 20 | 20 | 10,4 | 12 | 24 | 2 | 2 |
| 30708C2G30C0CAA | 4 | 10 | Sport | EF | 37 | 28,23 | 16,57 | 4 | 21 | 36 | 20 | 36 | 20 | 20 | 10,4 | 12 | 24 | 2 | 2 |
| 30708E2F30I0IAA | 32 | 5 | Sport | EF | 37 | 28,23 | 16,57 | 4 | 21 | 36 | 20 | 36 | 20 | 20 | 19,2 | 23 | 46 | 3 | 3 |
| 30708E2G30I0IAA | 32 | 5 | Sport | EF | 37 | 28,23 | 16,57 | 4 | 21 | 36 | 20 | 36 | 20 | 20 | 19,2 | 23 | 46 | 3 | 3 |
| 30708E2F30C0CAA | 4 | 4 | Sport | EF | 37 | 28,23 | 16,57 | 4 | 21 | 36 | 20 | 36 | 20 | 20 | 10,4 | 12 | 24 | 2 | 2 |
| 30708E2G30C0CAA | 4 | 4 | Sport | EF | 37 | 28,23 | 16,57 | 4 | 21 | 36 | 20 | 36 | 20 | 20 | 10,4 | 12 | 24 | 2 | 2 |
| 30708K2F32I0HAA | 0 | 7 | Sport | EF | 37 | 28,23 | 16,57 | 4 | 21 | 36 | 20 | 36 | 20 | 20 | 4,8 | 6 | 12 | 1 | 1 |
| 30708K2G32I0HAA | 0 | 7 | Sport | EF | 37 | 28,23 | 16,57 | 4 | 21 | 36 | 20 | 36 | 20 | 20 | 4,8 | 6 | 12 | 1 | 1 |

| | | | | | | | | | | | | | | | | | | | |
|-----------------|-----|-----|-------|----|----|-------|-------|---|----|----|----|----|----|----|-------|-----|-----|----|----|
| 30708B2F30I0IAA | 32 | 1 | Sport | EF | 37 | 28,23 | 16,57 | 4 | 21 | 36 | 20 | 36 | 20 | 20 | 22,4 | 26 | 52 | 3 | 3 |
| 30708B2G30I0IAA | 32 | 1 | Sport | EF | 37 | 28,23 | 16,57 | 4 | 21 | 36 | 20 | 36 | 20 | 20 | 22,4 | 26 | 52 | 3 | 3 |
| 30708B2F30T0TAA | 4 | 2 | Sport | EF | 37 | 28,23 | 16,57 | 4 | 21 | 36 | 20 | 36 | 20 | 20 | 5,6 | 7 | 14 | 1 | 1 |
| 30708B2G30T0TAA | 4 | 2 | Sport | EF | 37 | 28,23 | 16,57 | 4 | 21 | 36 | 20 | 36 | 20 | 20 | 5,6 | 7 | 14 | 1 | 1 |
| 30708B2F30C0CAA | 4 | 0 | Sport | EF | 37 | 28,23 | 16,57 | 4 | 21 | 36 | 20 | 36 | 20 | 20 | 5,6 | 7 | 14 | 1 | 1 |
| 30708B2G30C0CAA | 4 | 0 | Sport | EF | 37 | 28,23 | 16,57 | 4 | 21 | 36 | 20 | 36 | 20 | 20 | 5,6 | 7 | 14 | 1 | 1 |
| 30708N2F32I0CAA | 400 | 415 | Sport | EF | 37 | 28,23 | 16,57 | 4 | 21 | 36 | 20 | 36 | 20 | 20 | 179,2 | 207 | 414 | 21 | 21 |
| 30708N2G32I0CAA | 400 | 415 | Sport | EF | 37 | 28,23 | 16,57 | 4 | 21 | 36 | 20 | 36 | 20 | 20 | 179,2 | 207 | 414 | 21 | 21 |
| 30708O2F32I0CAA | 48 | 33 | Sport | EF | 37 | 28,23 | 16,57 | 4 | 21 | 36 | 20 | 36 | 20 | 20 | 25,6 | 30 | 60 | 3 | 3 |
| 30708O2G32I0CAA | 48 | 33 | Sport | EF | 37 | 28,23 | 16,57 | 4 | 21 | 36 | 20 | 36 | 20 | 20 | 25,6 | 30 | 60 | 3 | 3 |
| 30708O2F32C1IAA | 0 | 9 | Sport | EF | 37 | 28,23 | 16,57 | 4 | 21 | 36 | 20 | 36 | 20 | 20 | 8,8 | 11 | 22 | 2 | 2 |
| 30708O2G32C1IAA | 0 | 9 | Sport | EF | 37 | 28,23 | 16,57 | 4 | 21 | 36 | 20 | 36 | 20 | 20 | 8,8 | 11 | 22 | 2 | 2 |
| 30708I2F32C1IAA | 4 | 0 | Sport | EF | 37 | 28,23 | 16,57 | 4 | 21 | 36 | 20 | 36 | 20 | 20 | 1,6 | 2 | 4 | 1 | 1 |
| 30708I2G32C1IAA | 4 | 0 | Sport | EF | 37 | 28,23 | 16,57 | 4 | 21 | 36 | 20 | 36 | 20 | 20 | 1,6 | 2 | 4 | 1 | 1 |
| 30708I2F32I0CAA | 48 | 26 | Sport | EF | 37 | 28,23 | 16,57 | 4 | 21 | 36 | 20 | 36 | 20 | 20 | 12,8 | 15 | 30 | 2 | 2 |
| 30708I2G32I0CAA | 48 | 24 | Sport | EF | 37 | 28,23 | 16,57 | 4 | 21 | 36 | 20 | 36 | 20 | 20 | 12,8 | 15 | 30 | 2 | 2 |
| 30708I2F35I1HAA | 8 | 0 | Sport | EF | 37 | 28,23 | 16,57 | 4 | 21 | 36 | 20 | 36 | 20 | 20 | 2,4 | 3 | 6 | 1 | 1 |
| 30708I2G35I1HAA | 8 | 0 | Sport | EF | 37 | 28,23 | 16,57 | 4 | 21 | 36 | 20 | 36 | 20 | 20 | 2,4 | 3 | 6 | 1 | 1 |
| 30708I2F38I2HAB | 20 | 10 | Sport | EF | 37 | 28,23 | 16,57 | 4 | 21 | 36 | 20 | 36 | 20 | 20 | 11,2 | 13 | 26 | 2 | 2 |
| 30708I2G38I2HAB | 20 | 10 | Sport | EF | 37 | 28,23 | 16,57 | 4 | 21 | 36 | 20 | 36 | 20 | 20 | 11,2 | 13 | 26 | 2 | 2 |
| 30708I2F38I0CAB | 20 | 7 | Sport | EF | 37 | 28,23 | 16,57 | 4 | 21 | 36 | 20 | 36 | 20 | 20 | 12,0 | 14 | 28 | 2 | 2 |
| 30708I2G38I0CAB | 20 | 7 | Sport | EF | 37 | 28,23 | 16,57 | 4 | 21 | 36 | 20 | 36 | 20 | 20 | 12,0 | 14 | 28 | 2 | 2 |
| 30708Y7F30T0TAA | 0 | 1 | Sport | EF | 37 | 28,23 | 16,57 | 4 | 21 | 36 | 20 | 36 | 20 | 20 | 3,2 | 4 | 8 | 1 | 1 |
| 30708Y7G30T0TAA | 0 | 1 | Sport | EF | 37 | 28,23 | 16,57 | 4 | 21 | 36 | 20 | 36 | 20 | 20 | 3,2 | 4 | 8 | 1 | 1 |
| 30708Y7F30I0IAA | 32 | 5 | Sport | EF | 37 | 28,23 | 16,57 | 4 | 21 | 36 | 20 | 36 | 20 | 20 | 16,0 | 19 | 38 | 2 | 2 |
| 30708Y7G30I0IAA | 32 | 3 | Sport | EF | 37 | 28,23 | 16,57 | 4 | 21 | 36 | 20 | 36 | 20 | 20 | 16,0 | 19 | 38 | 2 | 2 |
| 30708Y7F30C0CAA | 4 | 0 | Sport | EF | 37 | 28,23 | 16,57 | 4 | 21 | 36 | 20 | 36 | 20 | 20 | 2,4 | 3 | 6 | 1 | 1 |
| 30708Y7G30C0CAA | 4 | 0 | Sport | EF | 37 | 28,23 | 16,57 | 4 | 21 | 36 | 20 | 36 | 20 | 20 | 2,4 | 3 | 6 | 1 | 1 |
| 30708Y7F32H1IAA | 12 | 0 | Sport | EF | 37 | 28,23 | 16,57 | 4 | 21 | 36 | 20 | 36 | 20 | 20 | 3,2 | 4 | 8 | 1 | 1 |
| 30708Y7G32H1IAA | 12 | 0 | Sport | EF | 37 | 28,23 | 16,57 | 4 | 21 | 36 | 20 | 36 | 20 | 20 | 3,2 | 4 | 8 | 1 | 1 |
| 30708Y7F32I0CAA | 12 | 0 | Sport | EF | 37 | 28,23 | 16,57 | 4 | 21 | 36 | 20 | 36 | 20 | 20 | 4,0 | 5 | 10 | 1 | 1 |
| 30708Y7F38I0CAA | 4 | 0 | Sport | EF | 37 | 28,23 | 16,57 | 4 | 21 | 36 | 20 | 36 | 20 | 20 | 0,8 | 1 | 2 | 1 | 1 |
| 30708Y7G32I0CAA | 12 | 0 | Sport | EF | 37 | 28,23 | 16,57 | 4 | 21 | 36 | 20 | 36 | 20 | 20 | 4,0 | 5 | 10 | 1 | 1 |
| 30708Y7G38I0CAA | 4 | 0 | Sport | EF | 37 | 28,23 | 16,57 | 4 | 21 | 36 | 20 | 36 | 20 | 20 | 0,8 | 1 | 2 | 1 | 1 |
| 30708Y7F32C0IAA | 0 | 0 | Sport | EF | 37 | 28,23 | 16,57 | 4 | 21 | 36 | 20 | 36 | 20 | 20 | 0,0 | 0 | 0 | 0 | 0 |
| 30708Y7G32C0IAA | 0 | 0 | Sport | EF | 37 | 28,23 | 16,57 | 4 | 21 | 36 | 20 | 36 | 20 | 20 | 0,0 | 0 | 0 | 0 | 0 |

| | | | | | | | | | | | | | | | | | | | |
|-----------------|-----|----|--------|----|----|-------|-------|---|----|----|----|----|----|----|------|----|-----|---|---|
| 30708Y7F38I2HAA | 0 | 0 | Sport | EF | 37 | 28,23 | 16,57 | 4 | 21 | 36 | 20 | 36 | 20 | 20 | 0,8 | 1 | 2 | 1 | 1 |
| 30708Y7G38I2HAA | 0 | 0 | Sport | EF | 37 | 28,23 | 16,57 | 4 | 21 | 36 | 20 | 36 | 20 | 20 | 0,8 | 1 | 2 | 1 | 1 |
| 30708B7F30T0TAA | 0 | 0 | Sport | EF | 37 | 28,23 | 16,57 | 4 | 21 | 36 | 20 | 36 | 20 | 20 | 2,4 | 3 | 6 | 1 | 1 |
| 30708B7G30T0TAA | 0 | 0 | Sport | EF | 37 | 28,23 | 16,57 | 4 | 21 | 36 | 20 | 36 | 20 | 20 | 2,4 | 3 | 6 | 1 | 1 |
| 30708B7F30I0IAA | 0 | 0 | Sport | EF | 37 | 28,23 | 16,57 | 4 | 21 | 36 | 20 | 36 | 20 | 20 | 2,4 | 3 | 6 | 1 | 1 |
| 30708B7G30I0IAA | 0 | 0 | Sport | EF | 37 | 28,23 | 16,57 | 4 | 21 | 36 | 20 | 36 | 20 | 20 | 2,4 | 3 | 6 | 1 | 1 |
| 30708B7F30C0CAA | 0 | 0 | Sport | EF | 37 | 28,23 | 16,57 | 4 | 21 | 36 | 20 | 36 | 20 | 20 | 0,8 | 1 | 2 | 1 | 1 |
| 30708B7G30C0CAA | 0 | 0 | Sport | EF | 37 | 28,23 | 16,57 | 4 | 21 | 36 | 20 | 36 | 20 | 20 | 0,8 | 1 | 2 | 1 | 1 |
| 30708J7F10I0IAA | 0 | 0 | Sport | EF | 37 | 28,23 | 16,57 | 4 | 21 | 36 | 20 | 36 | 20 | 20 | 3,2 | 4 | 8 | 1 | 1 |
| 30708J7G10I0IAA | 0 | 0 | Sport | EF | 37 | 28,23 | 16,57 | 4 | 21 | 36 | 20 | 36 | 20 | 20 | 3,2 | 4 | 8 | 1 | 1 |
| 30708E7F30I0IAA | 16 | 0 | Sport | EF | 37 | 28,23 | 16,57 | 4 | 21 | 36 | 20 | 36 | 20 | 20 | 3,2 | 4 | 8 | 1 | 1 |
| 30708E7G30I0IAA | 16 | 0 | Sport | EF | 37 | 28,23 | 16,57 | 4 | 21 | 36 | 20 | 36 | 20 | 20 | 3,2 | 4 | 8 | 1 | 1 |
| 30708E7F30C0CAA | 4 | 0 | Sport | EF | 37 | 28,23 | 16,57 | 4 | 21 | 36 | 20 | 36 | 20 | 20 | 0,8 | 1 | 2 | 1 | 1 |
| 30708E7G30C0CAA | 4 | 0 | Sport | EF | 37 | 28,23 | 16,57 | 4 | 21 | 36 | 20 | 36 | 20 | 20 | 0,8 | 1 | 2 | 1 | 1 |
| 30708K7F32I0HAA | 8 | 0 | Sport | EF | 37 | 28,23 | 16,57 | 4 | 21 | 36 | 20 | 36 | 20 | 20 | 3,2 | 4 | 8 | 1 | 1 |
| 30708K7G32I0HAA | 8 | 0 | Sport | EF | 37 | 28,23 | 16,57 | 4 | 21 | 36 | 20 | 36 | 20 | 20 | 3,2 | 4 | 8 | 1 | 1 |
| 30708N7F32I0CAA | 160 | 51 | Sport | EF | 37 | 28,23 | 16,57 | 4 | 21 | 36 | 20 | 36 | 20 | 20 | 51,2 | 59 | 118 | 6 | 6 |
| 30708N7G32I0CAA | 160 | 51 | Sport | EF | 37 | 28,23 | 16,57 | 4 | 21 | 36 | 20 | 36 | 20 | 20 | 51,2 | 59 | 118 | 6 | 6 |
| 30708O7F32C1IAA | 0 | 0 | Sport | EF | 37 | 28,23 | 16,57 | 4 | 21 | 36 | 20 | 36 | 20 | 20 | 0,8 | 1 | 2 | 1 | 1 |
| 30708O7G32C1IAA | 0 | 0 | Sport | EF | 37 | 28,23 | 16,57 | 4 | 21 | 36 | 20 | 36 | 20 | 20 | 0,8 | 1 | 2 | 1 | 1 |
| 30708O7F32I0CAA | 16 | 9 | Sport | EF | 37 | 28,23 | 16,57 | 4 | 21 | 36 | 20 | 36 | 20 | 20 | 12,8 | 15 | 30 | 2 | 2 |
| 30708O7G32I0CAA | 16 | 9 | Sport | EF | 37 | 28,23 | 16,57 | 4 | 21 | 36 | 20 | 36 | 20 | 20 | 12,8 | 15 | 30 | 2 | 2 |
| 30708I7F32C1IAA | 4 | 0 | Sport | EF | 37 | 28,23 | 16,57 | 4 | 21 | 36 | 20 | 36 | 20 | 20 | 0,8 | 1 | 2 | 1 | 1 |
| 30708I7G32C1IAA | 4 | 0 | Sport | EF | 37 | 28,23 | 16,57 | 4 | 21 | 36 | 20 | 36 | 20 | 20 | 0,8 | 1 | 2 | 1 | 1 |
| 30708I7F32I0CAA | 32 | 2 | Sport | EF | 37 | 28,23 | 16,57 | 4 | 21 | 36 | 20 | 36 | 20 | 20 | 9,6 | 12 | 24 | 2 | 2 |
| 30708I7G32I0CAA | 32 | 2 | Sport | EF | 37 | 28,23 | 16,57 | 4 | 21 | 36 | 20 | 36 | 20 | 20 | 9,6 | 12 | 24 | 2 | 2 |
| 30708I7F35I1HAA | 0 | 0 | Sport | EF | 37 | 28,23 | 16,57 | 4 | 21 | 36 | 20 | 36 | 20 | 20 | 0,8 | 1 | 2 | 1 | 1 |
| 30708I7G35I1HAA | 0 | 0 | Sport | EF | 37 | 28,23 | 16,57 | 4 | 21 | 36 | 20 | 36 | 20 | 20 | 0,8 | 1 | 2 | 1 | 1 |
| 30708I7F38I0CAB | 8 | 7 | Sport | EF | 37 | 28,23 | 16,57 | 4 | 21 | 36 | 20 | 36 | 20 | 20 | 5,6 | 7 | 14 | 1 | 1 |
| 30708I7G38I0CAB | 8 | 7 | Sport | EF | 37 | 28,23 | 16,57 | 4 | 21 | 36 | 20 | 36 | 20 | 20 | 5,6 | 7 | 14 | 1 | 1 |
| 30708I7F38I2HAB | 4 | 12 | Sport | EF | 37 | 28,23 | 16,57 | 4 | 21 | 36 | 20 | 36 | 20 | 20 | 5,6 | 7 | 14 | 1 | 1 |
| 30708I7G38I2HAB | 4 | 12 | Sport | EF | 37 | 28,23 | 16,57 | 4 | 21 | 36 | 20 | 36 | 20 | 20 | 5,6 | 7 | 14 | 1 | 1 |
| 30708P2F52C1IAA | 0 | 0 | SSport | EF | 8 | 12,63 | 5,00 | 4 | 10 | 26 | 8 | 24 | 8 | 8 | 1,6 | 2 | 4 | 1 | 1 |
| 30708P2G52C1IAA | 0 | 0 | SSport | EF | 8 | 12,63 | 5,00 | 4 | 10 | 26 | 8 | 24 | 8 | 8 | 1,6 | 2 | 4 | 1 | 1 |
| 30708P2F52I0CAA | 32 | 12 | SSport | EF | 8 | 12,63 | 5,00 | 4 | 10 | 26 | 8 | 24 | 8 | 8 | 16,0 | 19 | 38 | 5 | 5 |
| 30708P2G52I0CAA | 32 | 10 | SSport | EF | 8 | 12,63 | 5,00 | 4 | 10 | 26 | 8 | 24 | 8 | 8 | 16,0 | 19 | 38 | 5 | 5 |

| | | | | | | | | | | | | | | | | | | | |
|-----------------|----|----|--------|----|----|-------|-------|----|----|----|----|----|----|----|------|----|----|----|----|
| 30708P2F52I0HAA | 8 | 0 | SSport | EF | 8 | 12,63 | 5,00 | 4 | 10 | 26 | 8 | 24 | 8 | 8 | 4,0 | 5 | 10 | 2 | 2 |
| 30708P2G52I0HAA | 8 | 0 | SSport | EF | 8 | 12,63 | 5,00 | 4 | 10 | 26 | 8 | 24 | 8 | 8 | 3,2 | 4 | 8 | 1 | 1 |
| 30708P2F58I1CAB | 72 | 23 | SSport | EF | 8 | 12,63 | 5,00 | 4 | 10 | 26 | 8 | 24 | 8 | 8 | 35,2 | 41 | 82 | 11 | 11 |
| 30708P2G58I1CAB | 76 | 24 | SSport | EF | 8 | 12,63 | 5,00 | 4 | 10 | 26 | 8 | 24 | 8 | 8 | 32,0 | 37 | 74 | 10 | 10 |
| 30708P2F58I3HAB | 84 | 21 | SSport | EF | 8 | 12,63 | 5,00 | 4 | 10 | 26 | 8 | 24 | 8 | 8 | 38,4 | 45 | 90 | 12 | 12 |
| 30708P2G58I3HAB | 84 | 23 | SSport | EF | 8 | 12,63 | 5,00 | 4 | 10 | 26 | 8 | 24 | 8 | 8 | 41,6 | 48 | 96 | 12 | 12 |
| 30708P2F58C2IAB | 4 | 0 | SSport | EF | 8 | 12,63 | 5,00 | 4 | 10 | 26 | 8 | 24 | 8 | 8 | 1,6 | 2 | 4 | 1 | 1 |
| 30708P2G58C2IAB | 4 | 0 | SSport | EF | 8 | 12,63 | 5,00 | 4 | 10 | 26 | 8 | 24 | 8 | 8 | 0,8 | 1 | 2 | 1 | 1 |
| 30708P7F52C1IAA | 4 | 0 | SSport | EF | 8 | 12,63 | 5,00 | 4 | 10 | 26 | 8 | 24 | 8 | 8 | 0,8 | 1 | 2 | 1 | 1 |
| 30708P7G52C1IAA | 4 | 0 | SSport | EF | 8 | 12,63 | 5,00 | 4 | 10 | 26 | 8 | 24 | 8 | 8 | 0,8 | 1 | 2 | 1 | 1 |
| 30708P7F52I0CAA | 32 | 0 | SSport | EF | 8 | 12,63 | 5,00 | 4 | 10 | 26 | 8 | 24 | 8 | 8 | 9,6 | 12 | 24 | 3 | 3 |
| 30708P7G52I0CAA | 32 | 1 | SSport | EF | 8 | 12,63 | 5,00 | 4 | 10 | 26 | 8 | 24 | 8 | 8 | 9,6 | 12 | 24 | 3 | 3 |
| 30708P7F52I0HAA | 4 | 0 | SSport | EF | 8 | 12,63 | 5,00 | 4 | 10 | 26 | 8 | 24 | 8 | 8 | 1,6 | 2 | 4 | 1 | 1 |
| 30708P7G52I0HAA | 4 | 0 | SSport | EF | 8 | 12,63 | 5,00 | 4 | 10 | 26 | 8 | 24 | 8 | 8 | 1,6 | 2 | 4 | 1 | 1 |
| 30708P7F58I1CAB | 48 | 20 | SSport | EF | 8 | 12,63 | 5,00 | 4 | 10 | 26 | 8 | 24 | 8 | 8 | 16,0 | 19 | 38 | 5 | 5 |
| 30708P7G58I1CAB | 52 | 18 | SSport | EF | 8 | 12,63 | 5,00 | 4 | 10 | 26 | 8 | 24 | 8 | 8 | 16,0 | 19 | 38 | 5 | 5 |
| 30708P7F58I3HAB | 80 | 23 | SSport | EF | 8 | 12,63 | 5,00 | 4 | 10 | 26 | 8 | 24 | 8 | 8 | 22,4 | 26 | 52 | 7 | 7 |
| 30708P7G58I3HAB | 80 | 21 | SSport | EF | 8 | 12,63 | 5,00 | 4 | 10 | 26 | 8 | 24 | 8 | 8 | 22,4 | 26 | 52 | 7 | 7 |
| 30708P7F58C2IAB | 4 | 0 | SSport | EF | 8 | 12,63 | 5,00 | 4 | 10 | 26 | 8 | 24 | 8 | 8 | 0,8 | 1 | 2 | 1 | 1 |
| 30708P7G58C2IAB | 4 | 0 | SSport | EF | 8 | 12,63 | 5,00 | 4 | 10 | 26 | 8 | 24 | 8 | 8 | 0,8 | 1 | 2 | 1 | 1 |
| 30708J5Q00I0IAA | 0 | 0 | Basis | ET | 24 | 13,29 | 11,59 | 10 | 29 | 33 | 20 | 30 | 20 | 20 | 0,0 | 0 | 0 | 0 | 0 |
| 30708J5Q05I0IAA | 0 | 0 | Basis | ET | 24 | 13,29 | 11,59 | 10 | 29 | 33 | 20 | 30 | 20 | 20 | 0,0 | 0 | 0 | 0 | 0 |
| 30708J5R00I0IAA | 0 | 0 | Basis | ET | 24 | 13,29 | 11,59 | 10 | 29 | 33 | 20 | 30 | 20 | 20 | 0,0 | 0 | 0 | 0 | 0 |
| 30708J5H00I0IAC | 0 | 0 | Basis | ET | 24 | 13,29 | 11,59 | 10 | 29 | 33 | 20 | 30 | 20 | 20 | 0,0 | 0 | 0 | 0 | 0 |
| 30708J5H02I0IAC | 0 | 0 | Basis | ET | 24 | 13,29 | 11,59 | 10 | 29 | 33 | 20 | 30 | 20 | 20 | 0,0 | 0 | 0 | 0 | 0 |
| 30708M5Q00T0AA | 0 | 0 | Basis | ET | 24 | 13,29 | 11,59 | 10 | 29 | 33 | 20 | 30 | 20 | 20 | 0,0 | 0 | 0 | 0 | 0 |
| 30708M5Q05T0AA | 0 | 0 | Basis | ET | 24 | 13,29 | 11,59 | 10 | 29 | 33 | 20 | 30 | 20 | 20 | 0,0 | 0 | 0 | 0 | 0 |
| 30708M5R00T0AA | 0 | 0 | Basis | ET | 24 | 13,29 | 11,59 | 10 | 29 | 33 | 20 | 30 | 20 | 20 | 0,0 | 0 | 0 | 0 | 0 |
| 30708M5H00T0TAC | 0 | 0 | Basis | ET | 24 | 13,29 | 11,59 | 10 | 29 | 33 | 20 | 30 | 20 | 20 | 0,0 | 0 | 0 | 0 | 0 |
| 30708M5H02T0TAC | 0 | 0 | Basis | ET | 24 | 13,29 | 11,59 | 10 | 29 | 33 | 20 | 30 | 20 | 20 | 0,0 | 0 | 0 | 0 | 0 |
| 30708M5Q00I0IAA | 0 | 0 | Basis | ET | 24 | 13,29 | 11,59 | 10 | 29 | 33 | 20 | 30 | 20 | 20 | 0,0 | 0 | 0 | 0 | 0 |
| 30708M5Q05I0IAA | 0 | 0 | Basis | ET | 24 | 13,29 | 11,59 | 10 | 29 | 33 | 20 | 30 | 20 | 20 | 0,0 | 0 | 0 | 0 | 0 |
| 30708M5H00I0IAC | 0 | 0 | Basis | ET | 24 | 13,29 | 11,59 | 10 | 29 | 33 | 20 | 30 | 20 | 20 | 0,0 | 0 | 0 | 0 | 0 |
| 30708M5H02I0IAC | 0 | 0 | Basis | ET | 24 | 13,29 | 11,59 | 10 | 29 | 33 | 20 | 30 | 20 | 20 | 0,0 | 0 | 0 | 0 | 0 |
| 30708M5Q00C0CAA | 0 | 0 | Basis | ET | 24 | 13,29 | 11,59 | 10 | 29 | 33 | 20 | 30 | 20 | 20 | 0,0 | 0 | 0 | 0 | 0 |

| | | | | | | | | | | | | | | | | | | | |
|-----------------|----|---|-------|----|----|-------|-------|----|----|----|----|----|----|----|-----|----|----|---|---|
| 30708M5Q05C0CAA | 0 | 0 | Basis | ET | 24 | 13,29 | 11,59 | 10 | 29 | 33 | 20 | 30 | 20 | 20 | 0,0 | 0 | 0 | 0 | 0 |
| 30708M5R00C0CAA | 0 | 0 | Basis | ET | 24 | 13,29 | 11,59 | 10 | 29 | 33 | 20 | 30 | 20 | 20 | 0,0 | 0 | 0 | 0 | 0 |
| 30708M5H00C0CAC | 0 | 0 | Basis | ET | 24 | 13,29 | 11,59 | 10 | 29 | 33 | 20 | 30 | 20 | 20 | 0,0 | 0 | 0 | 0 | 0 |
| 30708M5H02C0CAC | 0 | 0 | Basis | ET | 24 | 13,29 | 11,59 | 10 | 29 | 33 | 20 | 30 | 20 | 20 | 0,0 | 0 | 0 | 0 | 0 |
| 30708Q5Q02I0IAA | 0 | 0 | Basis | ET | 24 | 13,29 | 11,59 | 10 | 29 | 33 | 20 | 30 | 20 | 20 | 2,0 | 3 | 6 | 1 | 1 |
| 30708Q5R02I0IAA | 0 | 0 | Basis | ET | 24 | 13,29 | 11,59 | 10 | 29 | 33 | 20 | 30 | 20 | 20 | 2,0 | 3 | 6 | 1 | 1 |
| 30708W5Q02T0TAA | 0 | 0 | Basis | ET | 24 | 13,29 | 11,59 | 10 | 29 | 33 | 20 | 30 | 20 | 20 | 2,0 | 3 | 6 | 1 | 1 |
| 30708W5R02T0TAA | 0 | 0 | Basis | ET | 24 | 13,29 | 11,59 | 10 | 29 | 33 | 20 | 30 | 20 | 20 | 2,0 | 3 | 6 | 1 | 1 |
| 30708W5Q02I0IAA | 24 | 0 | Basis | ET | 24 | 13,29 | 11,59 | 24 | 29 | 33 | 24 | 24 | 24 | 24 | 9,6 | 12 | 24 | 1 | 1 |
| 30708W5R02I0IAA | 0 | 0 | Basis | ET | 24 | 13,29 | 11,59 | 24 | 29 | 33 | 24 | 24 | 24 | 24 | 9,6 | 12 | 24 | 1 | 1 |
| 30708W5Q02C0CAA | 10 | 0 | Basis | ET | 24 | 13,29 | 11,59 | 10 | 29 | 33 | 20 | 30 | 20 | 20 | 4,0 | 5 | 10 | 1 | 1 |
| 30708W5R02C0CAA | 10 | 0 | Basis | ET | 24 | 13,29 | 11,59 | 10 | 29 | 33 | 20 | 30 | 20 | 20 | 6,0 | 7 | 14 | 1 | 1 |
| 30708A5Q20I0FAA | 0 | 0 | Sport | ET | 24 | 16,30 | 10,76 | 10 | 24 | 36 | 20 | 30 | 20 | 20 | 0,0 | 0 | 0 | 0 | 0 |
| 30708A5Q25I0FAA | 0 | 0 | Sport | ET | 24 | 16,30 | 10,76 | 10 | 24 | 36 | 20 | 30 | 20 | 20 | 0,0 | 0 | 0 | 0 | 0 |
| 30708A5R20I0FAA | 0 | 0 | Sport | ET | 24 | 16,30 | 10,76 | 10 | 24 | 36 | 20 | 30 | 20 | 20 | 0,0 | 0 | 0 | 0 | 0 |
| 30708A5H00I0FAC | 0 | 0 | Sport | ET | 24 | 16,30 | 10,76 | 10 | 24 | 36 | 20 | 30 | 20 | 20 | 0,0 | 0 | 0 | 0 | 0 |
| 30708A5H02I0FAC | 0 | 0 | Sport | ET | 24 | 16,30 | 10,76 | 10 | 24 | 36 | 20 | 30 | 20 | 20 | 0,0 | 0 | 0 | 0 | 0 |
| 30708B5Q20T0TAA | 0 | 0 | Sport | ET | 24 | 16,30 | 10,76 | 10 | 24 | 36 | 20 | 30 | 20 | 20 | 0,0 | 0 | 0 | 0 | 0 |
| 30708B5Q25T0TAA | 0 | 0 | Sport | ET | 24 | 16,30 | 10,76 | 10 | 24 | 36 | 20 | 30 | 20 | 20 | 0,0 | 0 | 0 | 0 | 0 |
| 30708B5R20T0TAA | 0 | 0 | Sport | ET | 24 | 16,30 | 10,76 | 10 | 24 | 36 | 20 | 30 | 20 | 20 | 0,0 | 0 | 0 | 0 | 0 |
| 30708B5H00T0TAC | 0 | 0 | Sport | ET | 24 | 16,30 | 10,76 | 10 | 24 | 36 | 20 | 30 | 20 | 20 | 0,0 | 0 | 0 | 0 | 0 |
| 30708B5H02T0TAC | 0 | 0 | Sport | ET | 24 | 16,30 | 10,76 | 10 | 24 | 36 | 20 | 30 | 20 | 20 | 0,0 | 0 | 0 | 0 | 0 |
| 30708B5Q20I0IAA | 0 | 0 | Sport | ET | 24 | 16,30 | 10,76 | 10 | 24 | 36 | 20 | 30 | 20 | 20 | 0,0 | 0 | 0 | 0 | 0 |
| 30708B5Q25I0IAA | 0 | 0 | Sport | ET | 24 | 16,30 | 10,76 | 10 | 24 | 36 | 20 | 30 | 20 | 20 | 0,0 | 0 | 0 | 0 | 0 |
| 30708B5R20I0IAA | 0 | 0 | Sport | ET | 24 | 16,30 | 10,76 | 10 | 24 | 36 | 20 | 30 | 20 | 20 | 0,0 | 0 | 0 | 0 | 0 |
| 30708B5H00I0IAC | 0 | 0 | Sport | ET | 24 | 16,30 | 10,76 | 10 | 24 | 36 | 20 | 30 | 20 | 20 | 0,0 | 0 | 0 | 0 | 0 |
| 30708B5H02I0IAC | 0 | 0 | Sport | ET | 24 | 16,30 | 10,76 | 10 | 24 | 36 | 20 | 30 | 20 | 20 | 0,0 | 0 | 0 | 0 | 0 |
| 30708B5Q20C0CAA | 0 | 0 | Sport | ET | 24 | 16,30 | 10,76 | 10 | 24 | 36 | 20 | 30 | 20 | 20 | 0,0 | 0 | 0 | 0 | 0 |
| 30708B5Q25C0CAA | 0 | 0 | Sport | ET | 24 | 16,30 | 10,76 | 10 | 24 | 36 | 20 | 30 | 20 | 20 | 0,0 | 0 | 0 | 0 | 0 |
| 30708B5R20C0CAA | 0 | 0 | Sport | ET | 24 | 16,30 | 10,76 | 10 | 24 | 36 | 20 | 30 | 20 | 20 | 0,0 | 0 | 0 | 0 | 0 |
| 30708B5H00C0CAC | 0 | 0 | Sport | ET | 24 | 16,30 | 10,76 | 10 | 24 | 36 | 20 | 30 | 20 | 20 | 0,0 | 0 | 0 | 0 | 0 |
| 30708B5H02C0CAC | 0 | 0 | Sport | ET | 24 | 16,30 | 10,76 | 10 | 24 | 36 | 20 | 30 | 20 | 20 | 0,0 | 0 | 0 | 0 | 0 |
| 30708C5Q20T0TAA | 0 | 0 | Sport | ET | 24 | 16,30 | 10,76 | 10 | 24 | 36 | 20 | 30 | 20 | 20 | 0,0 | 0 | 0 | 0 | 0 |
| 30708C5Q25T0TAA | 0 | 0 | Sport | ET | 24 | 16,30 | 10,76 | 10 | 24 | 36 | 20 | 30 | 20 | 20 | 0,0 | 0 | 0 | 0 | 0 |
| 30708C5R20T0TAA | 0 | 0 | Sport | ET | 24 | 16,30 | 10,76 | 10 | 24 | 36 | 20 | 30 | 20 | 20 | 0,0 | 0 | 0 | 0 | 0 |
| 30708C5H00T0TAC | 0 | 0 | Sport | ET | 24 | 16,30 | 10,76 | 10 | 24 | 36 | 20 | 30 | 20 | 20 | 0,0 | 0 | 0 | 0 | 0 |

| | | | | | | | | | | | | | | | | | | | |
|-----------------|----|---|-------|----|----|-------|-------|----|----|----|----|----|----|----|-----|----|----|---|---|
| 30708I5H01I1HAC | 0 | 0 | Sport | ET | 24 | 16,30 | 10,76 | 10 | 24 | 36 | 20 | 30 | 20 | 20 | 0,0 | 0 | 0 | 0 | 0 |
| 30708I5H03I1HAC | 0 | 0 | Sport | ET | 24 | 16,30 | 10,76 | 10 | 24 | 36 | 20 | 30 | 20 | 20 | 0,0 | 0 | 0 | 0 | 0 |
| 30708I5Q21I4TAA | 0 | 0 | Sport | ET | 24 | 16,30 | 10,76 | 10 | 24 | 36 | 20 | 30 | 20 | 20 | 0,0 | 0 | 0 | 0 | 0 |
| 30708I5R21I4TAA | 0 | 0 | Sport | ET | 24 | 16,30 | 10,76 | 10 | 24 | 36 | 20 | 30 | 20 | 20 | 0,0 | 0 | 0 | 0 | 0 |
| 30708I5H01I4TAC | 0 | 0 | Sport | ET | 24 | 16,30 | 10,76 | 10 | 24 | 36 | 20 | 30 | 20 | 20 | 0,0 | 0 | 0 | 0 | 0 |
| 30708I5H03I4TAC | 0 | 0 | Sport | ET | 24 | 16,30 | 10,76 | 10 | 24 | 36 | 20 | 30 | 20 | 20 | 0,0 | 0 | 0 | 0 | 0 |
| 30708D5Q22I0FAA | 0 | 0 | Sport | ET | 24 | 16,30 | 10,76 | 10 | 24 | 36 | 20 | 30 | 20 | 20 | 0,0 | 0 | 0 | 0 | 0 |
| 30708D5R22I0FAA | 0 | 0 | Sport | ET | 24 | 16,30 | 10,76 | 10 | 24 | 36 | 20 | 30 | 20 | 20 | 0,0 | 0 | 0 | 0 | 0 |
| 30708F5Q22T0TAA | 5 | 0 | Sport | ET | 24 | 16,30 | 10,76 | 10 | 24 | 36 | 20 | 30 | 20 | 20 | 1,0 | 2 | 4 | 1 | 1 |
| 30708F5R22T0TAA | 5 | 0 | Sport | ET | 24 | 16,30 | 10,76 | 10 | 24 | 36 | 20 | 30 | 20 | 20 | 1,0 | 2 | 4 | 1 | 1 |
| 30708F5Q22I0IAA | 20 | 0 | Sport | ET | 24 | 16,30 | 10,76 | 10 | 24 | 36 | 20 | 30 | 20 | 20 | 6,0 | 7 | 14 | 1 | 1 |
| 30708F5R22I0IAA | 20 | 0 | Sport | ET | 24 | 16,30 | 10,76 | 10 | 24 | 36 | 20 | 30 | 20 | 20 | 6,0 | 7 | 14 | 1 | 1 |
| 30708F5Q22C0CAA | 4 | 0 | Sport | ET | 24 | 16,30 | 10,76 | 10 | 24 | 36 | 20 | 30 | 20 | 20 | 1,2 | 2 | 4 | 1 | 1 |
| 30708F5R22C0CAA | 3 | 0 | Sport | ET | 24 | 16,30 | 10,76 | 10 | 24 | 36 | 20 | 30 | 20 | 20 | 1,2 | 2 | 4 | 1 | 1 |
| 30708G5Q22T0TAC | 0 | 0 | Sport | ET | 24 | 16,30 | 10,76 | 10 | 24 | 36 | 20 | 30 | 20 | 20 | 0,2 | 1 | 2 | 1 | 1 |
| 30708G5R22T0TAC | 0 | 0 | Sport | ET | 24 | 16,30 | 10,76 | 10 | 24 | 36 | 20 | 30 | 20 | 20 | 0,2 | 1 | 2 | 1 | 1 |
| 30708G5Q22I0IAC | 0 | 0 | Sport | ET | 24 | 16,30 | 10,76 | 10 | 24 | 36 | 20 | 30 | 20 | 20 | 2,0 | 3 | 6 | 1 | 1 |
| 30708G5R22I0IAC | 0 | 0 | Sport | ET | 24 | 16,30 | 10,76 | 10 | 24 | 36 | 20 | 30 | 20 | 20 | 2,0 | 3 | 6 | 1 | 1 |
| 30708G5Q22C0CAC | 0 | 0 | Sport | ET | 24 | 16,30 | 10,76 | 10 | 24 | 36 | 20 | 30 | 20 | 20 | 0,2 | 1 | 2 | 1 | 1 |
| 30708G5R22C0CAC | 0 | 0 | Sport | ET | 24 | 16,30 | 10,76 | 10 | 24 | 36 | 20 | 30 | 20 | 20 | 0,4 | 1 | 2 | 1 | 1 |
| 30708R5Q22C1IAA | 1 | 0 | Sport | ET | 24 | 16,30 | 10,76 | 10 | 24 | 36 | 20 | 30 | 20 | 20 | 1,0 | 2 | 4 | 1 | 1 |
| 30708R5R22C1IAA | 1 | 0 | Sport | ET | 24 | 16,30 | 10,76 | 10 | 24 | 36 | 20 | 30 | 20 | 20 | 1,0 | 2 | 4 | 1 | 1 |
| 30708R5Q22I0CAA | 10 | 0 | Sport | ET | 24 | 16,30 | 10,76 | 10 | 24 | 36 | 20 | 30 | 20 | 20 | 4,0 | 5 | 10 | 1 | 1 |
| 30708R5R22I0CAA | 10 | 0 | Sport | ET | 24 | 16,30 | 10,76 | 10 | 24 | 36 | 20 | 30 | 20 | 20 | 4,0 | 5 | 10 | 1 | 1 |
| 30708R5Q23I1HAA | 0 | 0 | Sport | ET | 24 | 16,30 | 10,76 | 10 | 24 | 36 | 20 | 30 | 20 | 20 | 0,2 | 1 | 2 | 1 | 1 |
| 30708R5R23I1HAA | 0 | 0 | Sport | ET | 24 | 16,30 | 10,76 | 10 | 24 | 36 | 20 | 30 | 20 | 20 | 0,2 | 1 | 2 | 1 | 1 |
| 30708R5Q23I4TAA | 0 | 0 | Sport | ET | 24 | 16,30 | 10,76 | 10 | 24 | 36 | 20 | 30 | 20 | 20 | 0,0 | 0 | 0 | 0 | 0 |
| 30708R5R23I4TAA | 0 | 0 | Sport | ET | 24 | 16,30 | 10,76 | 10 | 24 | 36 | 20 | 30 | 20 | 20 | 0,0 | 0 | 0 | 0 | 0 |
| 30708S5Q22I0IAA | 10 | 0 | Sport | ET | 24 | 16,30 | 10,76 | 10 | 24 | 36 | 20 | 30 | 20 | 20 | 4,0 | 5 | 10 | 1 | 1 |
| 30708S5R22I0IAA | 10 | 0 | Sport | ET | 24 | 16,30 | 10,76 | 10 | 24 | 36 | 20 | 30 | 20 | 20 | 4,0 | 5 | 10 | 1 | 1 |
| 30708S5Q22C0CAA | 0 | 0 | Sport | ET | 24 | 16,30 | 10,76 | 10 | 24 | 36 | 20 | 30 | 20 | 20 | 0,8 | 1 | 2 | 1 | 1 |
| 30708S5R22C0CAA | 0 | 0 | Sport | ET | 24 | 16,30 | 10,76 | 10 | 24 | 36 | 20 | 30 | 20 | 20 | 0,8 | 1 | 2 | 1 | 1 |
| 30708T5Q22C1IAA | 3 | 0 | Sport | ET | 24 | 16,30 | 10,76 | 10 | 24 | 36 | 20 | 30 | 20 | 20 | 1,4 | 2 | 4 | 1 | 1 |
| 30708T5R22C1IAA | 3 | 0 | Sport | ET | 24 | 16,30 | 10,76 | 10 | 24 | 36 | 20 | 30 | 20 | 20 | 1,4 | 2 | 4 | 1 | 1 |
| 30708T5Q22I0CAA | 20 | 0 | Sport | ET | 24 | 16,30 | 10,76 | 10 | 24 | 36 | 20 | 30 | 20 | 20 | 8,0 | 10 | 20 | 1 | 1 |
| 30708T5R22I0CAA | 10 | 0 | Sport | ET | 24 | 16,30 | 10,76 | 10 | 24 | 36 | 20 | 30 | 20 | 20 | 8,0 | 10 | 20 | 1 | 1 |

| | | | | | | | | | | | | | | | | | | | |
|-----------------|----|---|--------|----|----|-------|-------|----|----|----|----|----|----|----|------|----|----|---|---|
| 30708U5Q22I0CAA | 30 | 0 | Sport | ET | 24 | 16,30 | 10,76 | 10 | 24 | 36 | 20 | 30 | 20 | 20 | 12,0 | 14 | 28 | 2 | 2 |
| 30708U5R22I0CAA | 30 | 0 | Sport | ET | 24 | 16,30 | 10,76 | 10 | 24 | 36 | 20 | 30 | 20 | 20 | 12,0 | 14 | 28 | 2 | 2 |
| 30708V5Q22I0HAA | 2 | 0 | Sport | ET | 24 | 16,30 | 10,76 | 10 | 24 | 36 | 20 | 30 | 20 | 20 | 0,4 | 1 | 2 | 1 | 1 |
| 30708V5R22I0HAA | 0 | 0 | Sport | ET | 24 | 16,30 | 10,76 | 10 | 24 | 36 | 20 | 30 | 20 | 20 | 0,2 | 1 | 2 | 1 | 1 |
| 30708I5Q20I2HAA | 0 | 0 | Sport | ET | 24 | 16,30 | 10,76 | 10 | 24 | 36 | 20 | 30 | 20 | 20 | 0,0 | 0 | 0 | 0 | 0 |
| 30708I5Q25I2HAA | 0 | 0 | Sport | ET | 24 | 16,30 | 10,76 | 10 | 24 | 36 | 20 | 30 | 20 | 20 | 0,0 | 0 | 0 | 0 | 0 |
| 30708I5R20I2HAA | 0 | 0 | Sport | ET | 24 | 16,30 | 10,76 | 10 | 24 | 36 | 20 | 30 | 20 | 20 | 0,0 | 0 | 0 | 0 | 0 |
| 30708I5H00I2HAC | 0 | 0 | Sport | ET | 24 | 16,30 | 10,76 | 10 | 24 | 36 | 20 | 30 | 20 | 20 | 0,0 | 0 | 0 | 0 | 0 |
| 30708I5H02I2HAC | 0 | 0 | Sport | ET | 24 | 16,30 | 10,76 | 10 | 24 | 36 | 20 | 30 | 20 | 20 | 0,0 | 0 | 0 | 0 | 0 |
| 30708P5Q40C1IAA | 0 | 0 | SSport | ET | 24 | 23,26 | 6,52 | 10 | 17 | 59 | 10 | 50 | 10 | 10 | 0,0 | 0 | 0 | 0 | 0 |
| 30708P5Q45C1IAA | 0 | 0 | SSport | ET | 24 | 23,26 | 6,52 | 10 | 17 | 59 | 10 | 50 | 10 | 10 | 0,0 | 0 | 0 | 0 | 0 |
| 30708P5R40C1IAA | 0 | 0 | SSport | ET | 24 | 23,26 | 6,52 | 10 | 17 | 59 | 10 | 50 | 10 | 10 | 0,0 | 0 | 0 | 0 | 0 |
| 30708P5H00C1IAC | 0 | 0 | SSport | ET | 24 | 23,26 | 6,52 | 10 | 17 | 59 | 10 | 50 | 10 | 10 | 0,0 | 0 | 0 | 0 | 0 |
| 30708P5H02C1IAC | 0 | 0 | SSport | ET | 24 | 23,26 | 6,52 | 10 | 17 | 59 | 10 | 50 | 10 | 10 | 0,0 | 0 | 0 | 0 | 0 |
| 30708P5Q40I0CAA | 0 | 0 | SSport | ET | 24 | 23,26 | 6,52 | 10 | 17 | 59 | 10 | 50 | 10 | 10 | 0,0 | 0 | 0 | 0 | 0 |
| 30708P5Q45I0CAA | 0 | 0 | SSport | ET | 24 | 23,26 | 6,52 | 10 | 17 | 59 | 10 | 50 | 10 | 10 | 0,0 | 0 | 0 | 0 | 0 |
| 30708P5R40I0CAA | 0 | 0 | SSport | ET | 24 | 23,26 | 6,52 | 10 | 17 | 59 | 10 | 50 | 10 | 10 | 0,0 | 0 | 0 | 0 | 0 |
| 30708P5H02I0CAC | 0 | 0 | SSport | ET | 24 | 23,26 | 6,52 | 10 | 17 | 59 | 10 | 50 | 10 | 10 | 0,0 | 0 | 0 | 0 | 0 |
| 30708P5H00I0CAC | 0 | 0 | SSport | ET | 24 | 23,26 | 6,52 | 10 | 17 | 59 | 10 | 50 | 10 | 10 | 0,0 | 0 | 0 | 0 | 0 |
| 30708P5Q40I0HAA | 0 | 0 | SSport | ET | 24 | 23,26 | 6,52 | 10 | 17 | 59 | 10 | 50 | 10 | 10 | 0,0 | 0 | 0 | 0 | 0 |
| 30708P5Q45I0HAA | 0 | 0 | SSport | ET | 24 | 23,26 | 6,52 | 10 | 17 | 59 | 10 | 50 | 10 | 10 | 0,0 | 0 | 0 | 0 | 0 |
| 30708P5R40I0HAA | 0 | 0 | SSport | ET | 24 | 23,26 | 6,52 | 10 | 17 | 59 | 10 | 50 | 10 | 10 | 0,0 | 0 | 0 | 0 | 0 |
| 30708P5H00I0HAC | 0 | 0 | SSport | ET | 24 | 23,26 | 6,52 | 10 | 17 | 59 | 10 | 50 | 10 | 10 | 0,0 | 0 | 0 | 0 | 0 |
| 30708P5H02I0HAC | 0 | 0 | SSport | ET | 24 | 23,26 | 6,52 | 10 | 17 | 59 | 10 | 50 | 10 | 10 | 0,0 | 0 | 0 | 0 | 0 |
| 30708X5Q42C1IAA | 0 | 0 | SSport | ET | 24 | 23,26 | 6,52 | 10 | 17 | 59 | 10 | 50 | 10 | 10 | 0,2 | 1 | 2 | 1 | 1 |
| 30708X5R42C1IAA | 0 | 0 | SSport | ET | 24 | 23,26 | 6,52 | 10 | 17 | 59 | 10 | 50 | 10 | 10 | 0,2 | 1 | 2 | 1 | 1 |
| 30708X5Q42I0CAA | 10 | 0 | SSport | ET | 24 | 23,26 | 6,52 | 10 | 17 | 59 | 10 | 50 | 10 | 10 | 2,0 | 3 | 6 | 1 | 1 |
| 30708X5R42I0CAA | 0 | 0 | SSport | ET | 24 | 23,26 | 6,52 | 10 | 17 | 59 | 10 | 50 | 10 | 10 | 2,0 | 3 | 6 | 1 | 1 |
| 30708X5Q42I0HAA | 2 | 0 | SSport | ET | 24 | 23,26 | 6,52 | 10 | 17 | 59 | 10 | 50 | 10 | 10 | 0,8 | 1 | 2 | 1 | 1 |
| 30708X5R42I0HAA | 1 | 0 | SSport | ET | 24 | 23,26 | 6,52 | 10 | 17 | 59 | 10 | 50 | 10 | 10 | 0,8 | 1 | 2 | 1 | 1 |
| 30708P5Q44I1CAA | 0 | 0 | SSport | ET | 24 | 23,26 | 6,52 | 10 | 17 | 59 | 10 | 50 | 10 | 10 | 0,0 | 0 | 0 | 0 | 0 |
| 30708P5Q47I1CAA | 0 | 0 | SSport | ET | 24 | 23,26 | 6,52 | 10 | 17 | 59 | 10 | 50 | 10 | 10 | 0,0 | 0 | 0 | 0 | 0 |
| 30708P5R44I1CAA | 0 | 0 | SSport | ET | 24 | 23,26 | 6,52 | 10 | 17 | 59 | 10 | 50 | 10 | 10 | 0,0 | 0 | 0 | 0 | 0 |
| 30708P5H01I1CAC | 0 | 0 | SSport | ET | 24 | 23,26 | 6,52 | 10 | 17 | 59 | 10 | 50 | 10 | 10 | 0,0 | 0 | 0 | 0 | 0 |
| 30708P5H03I1CAC | 0 | 0 | SSport | ET | 24 | 23,26 | 6,52 | 10 | 17 | 59 | 10 | 50 | 10 | 10 | 0,0 | 0 | 0 | 0 | 0 |
| 30708P5Q44I3HAA | 0 | 0 | SSport | ET | 24 | 23,26 | 6,52 | 10 | 17 | 59 | 10 | 50 | 10 | 10 | 0,0 | 0 | 0 | 0 | 0 |

| | | | | | | | | | | | | | | | | | | | |
|-----------------|-----|----|--------|----|----|-------|-------|----|----|----|----|----|----|----|------|----|-----|---|---|
| 30708P5Q47I3HAA | 0 | 0 | SSport | ET | 24 | 23,26 | 6,52 | 10 | 17 | 59 | 10 | 50 | 10 | 10 | 0,0 | 0 | 0 | 0 | 0 |
| 30708P5R44I3HAA | 0 | 0 | SSport | ET | 24 | 23,26 | 6,52 | 10 | 17 | 59 | 10 | 50 | 10 | 10 | 0,0 | 0 | 0 | 0 | 0 |
| 30708P5H01I3HAC | 0 | 0 | SSport | ET | 24 | 23,26 | 6,52 | 10 | 17 | 59 | 10 | 50 | 10 | 10 | 0,0 | 0 | 0 | 0 | 0 |
| 30708P5H03I3HAC | 0 | 0 | SSport | ET | 24 | 23,26 | 6,52 | 10 | 17 | 59 | 10 | 50 | 10 | 10 | 0,0 | 0 | 0 | 0 | 0 |
| 30708P5Q44C2IAA | 0 | 0 | SSport | ET | 24 | 23,26 | 6,52 | 10 | 17 | 59 | 10 | 50 | 10 | 10 | 0,0 | 0 | 0 | 0 | 0 |
| 30708P5Q47C2IAA | 0 | 0 | SSport | ET | 24 | 23,26 | 6,52 | 10 | 17 | 59 | 10 | 50 | 10 | 10 | 0,0 | 0 | 0 | 0 | 0 |
| 30708P5R44C2IAA | 0 | 0 | SSport | ET | 24 | 23,26 | 6,52 | 10 | 17 | 59 | 10 | 50 | 10 | 10 | 0,0 | 0 | 0 | 0 | 0 |
| 30708P5H01C2IAC | 0 | 0 | SSport | ET | 24 | 23,26 | 6,52 | 10 | 17 | 59 | 10 | 50 | 10 | 10 | 0,0 | 0 | 0 | 0 | 0 |
| 30708P5H03C2IAC | 0 | 0 | SSport | ET | 24 | 23,26 | 6,52 | 10 | 17 | 59 | 10 | 50 | 10 | 10 | 0,0 | 0 | 0 | 0 | 0 |
| 30708J2Q00I0IAA | 0 | 0 | Basis | ET | 24 | 13,29 | 11,59 | 12 | 29 | 33 | 24 | 24 | 24 | 24 | 4,6 | 6 | 12 | 1 | 1 |
| 30708J2R00I0IAA | 0 | 0 | Basis | ET | 24 | 13,29 | 11,59 | 12 | 29 | 33 | 24 | 24 | 24 | 24 | 4,6 | 6 | 12 | 1 | 1 |
| 30708J2H00I0IAC | 0 | 0 | Basis | ET | 24 | 13,29 | 11,59 | 3 | 29 | 33 | 27 | 33 | 27 | 27 | 0,0 | 0 | 0 | 0 | 0 |
| 30708J2H02I0IAC | 0 | 0 | Basis | ET | 24 | 13,29 | 11,59 | 3 | 29 | 33 | 27 | 33 | 27 | 27 | 0,0 | 0 | 0 | 0 | 0 |
| 30708M2Q00I0IAA | 60 | 10 | Basis | ET | 24 | 13,29 | 11,59 | 12 | 29 | 33 | 24 | 24 | 24 | 24 | 33,6 | 39 | 78 | 4 | 4 |
| 30708M2Q05I0IAA | 0 | 0 | Basis | ET | 24 | 13,29 | 11,59 | 12 | 29 | 33 | 24 | 24 | 24 | 24 | 0,0 | 0 | 0 | 0 | 0 |
| 30708M2R00I0IAA | 60 | 12 | Basis | ET | 24 | 13,29 | 11,59 | 12 | 29 | 33 | 24 | 24 | 24 | 24 | 33,6 | 39 | 78 | 4 | 4 |
| 30708M2H00I0IAC | 0 | 0 | Basis | ET | 24 | 13,29 | 11,59 | 3 | 29 | 33 | 27 | 33 | 27 | 27 | 0,8 | 1 | 2 | 1 | 1 |
| 30708M2H02I0IAC | 0 | 0 | Basis | ET | 24 | 13,29 | 11,59 | 3 | 29 | 33 | 27 | 33 | 27 | 27 | 0,8 | 1 | 2 | 1 | 1 |
| 30708M2Q00T0TAA | 0 | 5 | Basis | ET | 24 | 13,29 | 11,59 | 12 | 29 | 33 | 24 | 24 | 24 | 24 | 14,4 | 17 | 34 | 2 | 2 |
| 30708M2Q05T0TAA | 0 | 0 | Basis | ET | 24 | 13,29 | 11,59 | 12 | 29 | 33 | 24 | 24 | 24 | 24 | 0,0 | 0 | 0 | 0 | 0 |
| 30708M2R00T0TAA | 0 | 4 | Basis | ET | 24 | 13,29 | 11,59 | 12 | 29 | 33 | 24 | 24 | 24 | 24 | 14,4 | 17 | 34 | 2 | 2 |
| 30708M2H00T0TAC | 0 | 0 | Basis | ET | 24 | 13,29 | 11,59 | 3 | 29 | 33 | 27 | 33 | 27 | 27 | 0,0 | 0 | 0 | 0 | 0 |
| 30708M2H02T0TAC | 0 | 0 | Basis | ET | 24 | 13,29 | 11,59 | 3 | 29 | 33 | 27 | 33 | 27 | 27 | 0,0 | 0 | 0 | 0 | 0 |
| 30708M2Q00C0CAA | 12 | 6 | Basis | ET | 24 | 13,29 | 11,59 | 12 | 29 | 33 | 24 | 24 | 24 | 24 | 12,0 | 14 | 28 | 2 | 2 |
| 30708M2Q05C0CAA | 0 | 0 | Basis | ET | 24 | 13,29 | 11,59 | 12 | 29 | 33 | 24 | 24 | 24 | 24 | 0,0 | 0 | 0 | 0 | 0 |
| 30708M2R00C0CAA | 0 | 0 | Basis | ET | 24 | 13,29 | 11,59 | 12 | 29 | 33 | 24 | 24 | 24 | 24 | 12,0 | 14 | 28 | 2 | 2 |
| 30708M2H00C0CAC | 0 | 0 | Basis | ET | 24 | 13,29 | 11,59 | 3 | 29 | 33 | 27 | 33 | 27 | 27 | 0,2 | 1 | 2 | 1 | 1 |
| 30708M2H02C0CAC | 0 | 0 | Basis | ET | 24 | 13,29 | 11,59 | 3 | 29 | 33 | 27 | 33 | 27 | 27 | 0,2 | 1 | 2 | 1 | 1 |
| 30708L7Q00I0IAA | 48 | 11 | Basis | ET | 24 | 13,29 | 11,59 | 12 | 29 | 33 | 24 | 24 | 24 | 24 | 16,8 | 20 | 40 | 2 | 2 |
| 30708L7Q05I0IAA | 180 | 26 | Basis | ET | 24 | 13,29 | 11,59 | 12 | 29 | 33 | 24 | 24 | 24 | 24 | 57,6 | 67 | 134 | 6 | 6 |
| 30708L7R00I0IAA | 228 | 38 | Basis | ET | 24 | 13,29 | 11,59 | 12 | 29 | 33 | 24 | 24 | 24 | 24 | 69,6 | 81 | 162 | 7 | 7 |
| 30708L7H00I0IAC | 0 | 0 | Basis | ET | 24 | 13,29 | 11,59 | 3 | 29 | 33 | 27 | 33 | 27 | 27 | 0,2 | 1 | 2 | 1 | 1 |
| 30708L7H02I0IAC | 0 | 0 | Basis | ET | 24 | 13,29 | 11,59 | 3 | 29 | 33 | 27 | 33 | 27 | 27 | 0,2 | 1 | 2 | 1 | 1 |
| 30708L7Q00C0CAA | 0 | 0 | Basis | ET | 24 | 13,29 | 11,59 | 12 | 29 | 33 | 24 | 24 | 24 | 24 | 4,8 | 6 | 12 | 1 | 1 |
| 30708L7Q05C0CAA | 36 | 3 | Basis | ET | 24 | 13,29 | 11,59 | 12 | 29 | 33 | 24 | 24 | 24 | 24 | 9,6 | 12 | 24 | 1 | 1 |
| 30708L7R00C0CAA | 36 | 2 | Basis | ET | 24 | 13,29 | 11,59 | 12 | 29 | 33 | 24 | 24 | 24 | 24 | 12,0 | 14 | 28 | 2 | 2 |

| | | | | | | | | | | | | | | | | | | | |
|-----------------|----|----|-------|----|----|-------|-------|----|----|----|----|----|----|----|------|----|----|---|---|
| 30708L7H00C0CAC | 0 | 0 | Basis | ET | 24 | 13,29 | 11,59 | 3 | 29 | 33 | 27 | 33 | 27 | 27 | 0,2 | 1 | 2 | 1 | 1 |
| 30708L7H02C0CAC | 0 | 0 | Basis | ET | 24 | 13,29 | 11,59 | 3 | 29 | 33 | 27 | 33 | 27 | 27 | 0,2 | 1 | 2 | 1 | 1 |
| 30708L7Q00T0TAA | 0 | 0 | Basis | ET | 24 | 13,29 | 11,59 | 12 | 29 | 33 | 24 | 24 | 24 | 24 | 4,8 | 6 | 12 | 1 | 1 |
| 30708L7Q05T0TAA | 24 | 0 | Basis | ET | 24 | 13,29 | 11,59 | 12 | 29 | 33 | 24 | 24 | 24 | 24 | 9,6 | 12 | 24 | 1 | 1 |
| 30708L7R00T0TAA | 24 | 0 | Basis | ET | 24 | 13,29 | 11,59 | 12 | 29 | 33 | 24 | 24 | 24 | 24 | 12,0 | 14 | 28 | 2 | 2 |
| 30708L7H00T0TAC | 0 | 0 | Basis | ET | 24 | 13,29 | 11,59 | 3 | 29 | 33 | 27 | 33 | 27 | 27 | 0,2 | 1 | 2 | 1 | 1 |
| 30708L7H02T0TAC | 0 | 0 | Basis | ET | 24 | 13,29 | 11,59 | 3 | 29 | 33 | 27 | 33 | 27 | 27 | 0,2 | 1 | 2 | 1 | 1 |
| 30708C2Q20I0IAA | 48 | 54 | Sport | ET | 24 | 16,30 | 10,76 | 12 | 24 | 36 | 24 | 36 | 24 | 24 | 28,8 | 34 | 68 | 3 | 3 |
| 30708C2Q25I0IAA | 0 | 0 | Sport | ET | 24 | 16,30 | 10,76 | 12 | 24 | 36 | 24 | 36 | 24 | 24 | 0,0 | 0 | 0 | 0 | 0 |
| 30708C2R20I0IAA | 48 | 44 | Sport | ET | 24 | 16,30 | 10,76 | 12 | 24 | 36 | 24 | 36 | 24 | 24 | 28,8 | 34 | 68 | 3 | 3 |
| 30708C2H00I0IAC | 1 | 0 | Sport | ET | 24 | 16,30 | 10,76 | 3 | 24 | 36 | 24 | 36 | 24 | 24 | 0,8 | 1 | 2 | 1 | 1 |
| 30708C2H02I0IAC | 1 | 0 | Sport | ET | 24 | 16,30 | 10,76 | 3 | 24 | 36 | 24 | 36 | 24 | 24 | 0,8 | 1 | 2 | 1 | 1 |
| 30708C2Q20T0TAA | 0 | 20 | Sport | ET | 24 | 16,30 | 10,76 | 12 | 24 | 36 | 24 | 36 | 24 | 24 | 16,8 | 20 | 40 | 2 | 2 |
| 30708C2Q25T0TAA | 0 | 0 | Sport | ET | 24 | 16,30 | 10,76 | 12 | 24 | 36 | 24 | 36 | 24 | 24 | 0,0 | 0 | 0 | 0 | 0 |
| 30708C2R20T0TAA | 0 | 26 | Sport | ET | 24 | 16,30 | 10,76 | 12 | 24 | 36 | 24 | 36 | 24 | 24 | 19,2 | 23 | 46 | 2 | 2 |
| 30708C2H00T0TAC | 0 | 0 | Sport | ET | 24 | 16,30 | 10,76 | 3 | 24 | 36 | 24 | 36 | 24 | 24 | 2,8 | 4 | 8 | 1 | 1 |
| 30708C2H02T0TAC | 0 | 0 | Sport | ET | 24 | 16,30 | 10,76 | 3 | 24 | 36 | 24 | 36 | 24 | 24 | 2,8 | 4 | 8 | 1 | 1 |
| 30708C2Q20C0CAA | 0 | 2 | Sport | ET | 24 | 16,30 | 10,76 | 12 | 24 | 36 | 24 | 36 | 24 | 24 | 9,6 | 12 | 24 | 1 | 1 |
| 30708C2Q25C0CAA | 0 | 0 | Sport | ET | 24 | 16,30 | 10,76 | 12 | 24 | 36 | 24 | 36 | 24 | 24 | 0,0 | 0 | 0 | 0 | 0 |
| 30708C2R20C0CAA | 0 | 9 | Sport | ET | 24 | 16,30 | 10,76 | 12 | 24 | 36 | 24 | 36 | 24 | 24 | 9,6 | 12 | 24 | 1 | 1 |
| 30708C2H00C0CAC | 0 | 0 | Sport | ET | 24 | 16,30 | 10,76 | 3 | 24 | 36 | 24 | 36 | 24 | 24 | 0,6 | 1 | 2 | 1 | 1 |
| 30708C2H02C0CAC | 0 | 0 | Sport | ET | 24 | 16,30 | 10,76 | 3 | 24 | 36 | 24 | 36 | 24 | 24 | 0,6 | 1 | 2 | 1 | 1 |
| 30708E2Q20I0IAA | 24 | 6 | Sport | ET | 24 | 16,30 | 10,76 | 12 | 24 | 36 | 24 | 36 | 24 | 24 | 14,4 | 17 | 34 | 2 | 2 |
| 30708E2R20I0IAA | 24 | 6 | Sport | ET | 24 | 16,30 | 10,76 | 12 | 24 | 36 | 24 | 36 | 24 | 24 | 14,4 | 17 | 34 | 2 | 2 |
| 30708E2H00I0IAC | 12 | 0 | Sport | ET | 24 | 16,30 | 10,76 | 12 | 24 | 36 | 24 | 36 | 24 | 24 | 4,8 | 6 | 12 | 1 | 1 |
| 30708E2H02I0IAC | 12 | 0 | Sport | ET | 24 | 16,30 | 10,76 | 12 | 24 | 36 | 24 | 36 | 24 | 24 | 4,8 | 6 | 12 | 1 | 1 |
| 30708E2Q20C0CAA | 12 | 5 | Sport | ET | 24 | 16,30 | 10,76 | 12 | 24 | 36 | 24 | 36 | 24 | 24 | 7,2 | 9 | 18 | 1 | 1 |
| 30708E2R20C0CAA | 12 | 5 | Sport | ET | 24 | 16,30 | 10,76 | 12 | 24 | 36 | 24 | 36 | 24 | 24 | 7,2 | 9 | 18 | 1 | 1 |
| 30708E2H00C0CAC | 0 | 0 | Sport | ET | 24 | 16,30 | 10,76 | 3 | 24 | 36 | 24 | 36 | 24 | 24 | 3,4 | 4 | 8 | 1 | 1 |
| 30708E2H02C0CAC | 0 | 0 | Sport | ET | 24 | 16,30 | 10,76 | 3 | 24 | 36 | 24 | 36 | 24 | 24 | 3,4 | 4 | 8 | 1 | 1 |
| 30708K2Q20I0HAA | 0 | 0 | Sport | ET | 24 | 16,30 | 10,76 | 12 | 24 | 36 | 24 | 36 | 24 | 24 | 3,6 | 5 | 10 | 1 | 1 |
| 30708K2R20I0HAA | 0 | 0 | Sport | ET | 24 | 16,30 | 10,76 | 12 | 24 | 36 | 24 | 36 | 24 | 24 | 3,6 | 5 | 10 | 1 | 1 |
| 30708K2H00I0HAC | 0 | 0 | Sport | ET | 24 | 16,30 | 10,76 | 12 | 24 | 36 | 24 | 36 | 24 | 24 | 2,2 | 3 | 6 | 1 | 1 |
| 30708K2H02I0HAC | 0 | 0 | Sport | ET | 24 | 16,30 | 10,76 | 12 | 24 | 36 | 24 | 36 | 24 | 24 | 2,2 | 3 | 6 | 1 | 1 |
| 30708B2Q20I0IAA | 24 | 10 | Sport | ET | 24 | 16,30 | 10,76 | 12 | 24 | 36 | 24 | 36 | 24 | 24 | 16,8 | 20 | 40 | 2 | 2 |
| 30708B2R20I0IAA | 24 | 10 | Sport | ET | 24 | 16,30 | 10,76 | 12 | 24 | 36 | 24 | 36 | 24 | 24 | 16,8 | 20 | 40 | 2 | 2 |

| | | | | | | | | | | | | | | | | | | | |
|-----------------|-----|-----|-------|----|----|-------|-------|----|----|----|----|----|----|----|-------|-----|-----|----|----|
| 30708B2H00I0IAC | 4 | 0 | Sport | ET | 24 | 16,30 | 10,76 | 3 | 24 | 36 | 24 | 36 | 24 | 24 | 8,0 | 10 | 20 | 1 | 1 |
| 30708B2H02I0IAC | 4 | 0 | Sport | ET | 24 | 16,30 | 10,76 | 3 | 24 | 36 | 24 | 36 | 24 | 24 | 8,0 | 10 | 20 | 1 | 1 |
| 30708B2Q20T0TAA | 0 | 2 | Sport | ET | 24 | 16,30 | 10,76 | 12 | 24 | 36 | 24 | 36 | 24 | 24 | 5,0 | 6 | 12 | 1 | 1 |
| 30708B2R20T0TAA | 0 | 2 | Sport | ET | 24 | 16,30 | 10,76 | 12 | 24 | 36 | 24 | 36 | 24 | 24 | 5,0 | 6 | 12 | 1 | 1 |
| 30708B2H00T0TAC | 1 | 0 | Sport | ET | 24 | 16,30 | 10,76 | 3 | 24 | 36 | 24 | 36 | 24 | 24 | 2,2 | 3 | 6 | 1 | 1 |
| 30708B2H02T0TAC | 1 | 0 | Sport | ET | 24 | 16,30 | 10,76 | 3 | 24 | 36 | 24 | 36 | 24 | 24 | 2,2 | 3 | 6 | 1 | 1 |
| 30708B2Q20C0CAA | 0 | 0 | Sport | ET | 24 | 16,30 | 10,76 | 12 | 24 | 36 | 24 | 36 | 24 | 24 | 6,8 | 8 | 16 | 1 | 1 |
| 30708B2R20C0CAA | 0 | 0 | Sport | ET | 24 | 16,30 | 10,76 | 12 | 24 | 36 | 24 | 36 | 24 | 24 | 6,8 | 8 | 16 | 1 | 1 |
| 30708B2H00C0CAC | 1 | 0 | Sport | ET | 24 | 16,30 | 10,76 | 3 | 24 | 36 | 24 | 36 | 24 | 24 | 1,4 | 2 | 4 | 1 | 1 |
| 30708B2H02C0CAC | 1 | 0 | Sport | ET | 24 | 16,30 | 10,76 | 3 | 24 | 36 | 24 | 36 | 24 | 24 | 1,4 | 2 | 4 | 1 | 1 |
| 30708N2Q20I0CAA | 384 | 385 | Sport | ET | 24 | 16,30 | 10,76 | 12 | 24 | 36 | 24 | 36 | 24 | 24 | 163,2 | 188 | 376 | 16 | 16 |
| 30708N2R20I0CAA | 384 | 386 | Sport | ET | 24 | 16,30 | 10,76 | 12 | 24 | 36 | 24 | 36 | 24 | 24 | 163,2 | 188 | 376 | 16 | 16 |
| 30708N2H00I0CAC | 0 | 24 | Sport | ET | 24 | 16,30 | 10,76 | 12 | 24 | 36 | 24 | 36 | 24 | 24 | 14,4 | 17 | 34 | 2 | 2 |
| 30708N2H02I0CAC | 0 | 24 | Sport | ET | 24 | 16,30 | 10,76 | 12 | 24 | 36 | 24 | 36 | 24 | 24 | 14,4 | 17 | 34 | 2 | 2 |
| 30708O2Q20I0CAA | 24 | 13 | Sport | ET | 24 | 16,30 | 10,76 | 12 | 24 | 36 | 24 | 36 | 24 | 24 | 19,2 | 23 | 46 | 2 | 2 |
| 30708O2R20I0CAA | 24 | 13 | Sport | ET | 24 | 16,30 | 10,76 | 12 | 24 | 36 | 24 | 36 | 24 | 24 | 19,2 | 23 | 46 | 2 | 2 |
| 30708O2H00I0CAC | 24 | 3 | Sport | ET | 24 | 16,30 | 10,76 | 12 | 24 | 36 | 24 | 36 | 24 | 24 | 9,6 | 12 | 24 | 1 | 1 |
| 30708O2H02I0CAC | 12 | 1 | Sport | ET | 24 | 16,30 | 10,76 | 12 | 24 | 36 | 24 | 36 | 24 | 24 | 9,6 | 12 | 24 | 1 | 1 |
| 30708O2Q20C1IAA | 0 | 0 | Sport | ET | 24 | 16,30 | 10,76 | 12 | 24 | 36 | 24 | 36 | 24 | 24 | 7,2 | 9 | 18 | 1 | 1 |
| 30708O2R20C1IAA | 0 | 0 | Sport | ET | 24 | 16,30 | 10,76 | 12 | 24 | 36 | 24 | 36 | 24 | 24 | 7,2 | 9 | 18 | 1 | 1 |
| 30708O2H00C1IAC | 1 | 0 | Sport | ET | 24 | 16,30 | 10,76 | 3 | 24 | 36 | 24 | 36 | 24 | 24 | 2,4 | 3 | 6 | 1 | 1 |
| 30708O2H02C1IAC | 1 | 0 | Sport | ET | 24 | 16,30 | 10,76 | 3 | 24 | 36 | 24 | 36 | 24 | 24 | 2,4 | 3 | 6 | 1 | 1 |
| 30708I2Q20C1IAA | 0 | 0 | Sport | ET | 24 | 16,30 | 10,76 | 12 | 24 | 36 | 24 | 36 | 24 | 24 | 1,4 | 2 | 4 | 1 | 1 |
| 30708I2R20C1IAA | 0 | 0 | Sport | ET | 24 | 16,30 | 10,76 | 12 | 24 | 36 | 24 | 36 | 24 | 24 | 1,4 | 2 | 4 | 1 | 1 |
| 30708I2H00C1IAC | 2 | 0 | Sport | ET | 24 | 16,30 | 10,76 | 3 | 24 | 36 | 24 | 36 | 24 | 24 | 0,4 | 1 | 2 | 1 | 1 |
| 30708I2H02C1IAC | 2 | 0 | Sport | ET | 24 | 16,30 | 10,76 | 3 | 24 | 36 | 24 | 36 | 24 | 24 | 0,4 | 1 | 2 | 1 | 1 |
| 30708I2Q20I0CAA | 48 | 28 | Sport | ET | 24 | 16,30 | 10,76 | 12 | 24 | 36 | 24 | 36 | 24 | 24 | 14,4 | 17 | 34 | 2 | 2 |
| 30708I2R20I0CAA | 48 | 29 | Sport | ET | 24 | 16,30 | 10,76 | 12 | 24 | 36 | 24 | 36 | 24 | 24 | 14,4 | 17 | 34 | 2 | 2 |
| 30708I2H00I0CAC | 24 | 0 | Sport | ET | 24 | 16,30 | 10,76 | 12 | 24 | 36 | 24 | 36 | 24 | 24 | 7,2 | 9 | 18 | 1 | 1 |
| 30708I2H02I0CAC | 24 | 0 | Sport | ET | 24 | 16,30 | 10,76 | 12 | 24 | 36 | 24 | 36 | 24 | 24 | 4,8 | 6 | 12 | 1 | 1 |
| 30708I2Q21I1HAA | 0 | 0 | Sport | ET | 24 | 16,30 | 10,76 | 12 | 24 | 36 | 24 | 36 | 24 | 24 | 1,6 | 2 | 4 | 1 | 1 |
| 30708I2R21I1HAA | 0 | 0 | Sport | ET | 24 | 16,30 | 10,76 | 12 | 24 | 36 | 24 | 36 | 24 | 24 | 1,6 | 2 | 4 | 1 | 1 |
| 30708I2H01I1HAC | 5 | 0 | Sport | ET | 24 | 16,30 | 10,76 | 3 | 24 | 36 | 24 | 36 | 24 | 24 | 1,4 | 2 | 4 | 1 | 1 |
| 30708I2H03I1HAC | 5 | 0 | Sport | ET | 24 | 16,30 | 10,76 | 3 | 24 | 36 | 24 | 36 | 24 | 24 | 1,4 | 2 | 4 | 1 | 1 |
| 30708I2Q20I2HAA | 12 | 0 | Sport | ET | 24 | 16,30 | 10,76 | 12 | 24 | 36 | 24 | 36 | 24 | 24 | 7,2 | 9 | 18 | 1 | 1 |
| 30708I2R20I2HAA | 12 | 0 | Sport | ET | 24 | 16,30 | 10,76 | 12 | 24 | 36 | 24 | 36 | 24 | 24 | 7,2 | 9 | 18 | 1 | 1 |

| | | | | | | | | | | | | | | | | | | | |
|-----------------|----|---|-------|----|----|-------|-------|----|----|----|----|----|----|----|------|----|----|---|---|
| 30708I2H00I2HAC | 0 | 0 | Sport | ET | 24 | 16,30 | 10,76 | 12 | 24 | 36 | 24 | 36 | 24 | 24 | 4,8 | 6 | 12 | 1 | 1 |
| 30708I2H02I2HAC | 0 | 0 | Sport | ET | 24 | 16,30 | 10,76 | 12 | 24 | 36 | 24 | 36 | 24 | 24 | 4,8 | 6 | 12 | 1 | 1 |
| 30708Y7Q20T0TAA | 0 | 0 | Sport | ET | 24 | 16,30 | 10,76 | 12 | 24 | 36 | 24 | 36 | 24 | 24 | 2,4 | 3 | 6 | 1 | 1 |
| 30708Y7Q25T0TAA | 0 | 0 | Sport | ET | 24 | 16,30 | 10,76 | 12 | 24 | 36 | 24 | 36 | 24 | 24 | 1,2 | 2 | 4 | 1 | 1 |
| 30708Y7R20T0TAA | 0 | 0 | Sport | ET | 24 | 16,30 | 10,76 | 12 | 24 | 36 | 24 | 36 | 24 | 24 | 4,8 | 6 | 12 | 1 | 1 |
| 30708Y7H00T0TAC | 0 | 0 | Sport | ET | 24 | 16,30 | 10,76 | 3 | 24 | 36 | 24 | 36 | 24 | 24 | 0,2 | 1 | 2 | 1 | 1 |
| 30708Y7H02T0TAC | 0 | 0 | Sport | ET | 24 | 16,30 | 10,76 | 3 | 24 | 36 | 24 | 36 | 24 | 24 | 0,2 | 1 | 2 | 1 | 1 |
| 30708Y7Q20I0IAA | 36 | 2 | Sport | ET | 24 | 16,30 | 10,76 | 12 | 24 | 36 | 24 | 36 | 24 | 24 | 16,8 | 20 | 40 | 2 | 2 |
| 30708Y7Q25I0IAA | 12 | 0 | Sport | ET | 24 | 16,30 | 10,76 | 12 | 24 | 36 | 24 | 36 | 24 | 24 | 7,2 | 9 | 18 | 1 | 1 |
| 30708Y7R20I0IAA | 36 | 0 | Sport | ET | 24 | 16,30 | 10,76 | 12 | 24 | 36 | 24 | 36 | 24 | 24 | 16,8 | 20 | 40 | 2 | 2 |
| 30708Y7H00I0IAC | 1 | 0 | Sport | ET | 24 | 16,30 | 10,76 | 3 | 24 | 36 | 24 | 36 | 24 | 24 | 0,6 | 1 | 2 | 1 | 1 |
| 30708Y7H02I0IAC | 1 | 0 | Sport | ET | 24 | 16,30 | 10,76 | 3 | 24 | 36 | 24 | 36 | 24 | 24 | 0,6 | 1 | 2 | 1 | 1 |
| 30708Y7Q20C0CAA | 0 | 0 | Sport | ET | 24 | 16,30 | 10,76 | 12 | 24 | 36 | 24 | 36 | 24 | 24 | 1,8 | 3 | 6 | 1 | 1 |
| 30708Y7Q25C0CAA | 0 | 0 | Sport | ET | 24 | 16,30 | 10,76 | 12 | 24 | 36 | 24 | 36 | 24 | 24 | 1,2 | 2 | 4 | 1 | 1 |
| 30708Y7R20C0CAA | 0 | 0 | Sport | ET | 24 | 16,30 | 10,76 | 12 | 24 | 36 | 24 | 36 | 24 | 24 | 1,8 | 3 | 6 | 1 | 1 |
| 30708Y7H00C0CAC | 0 | 0 | Sport | ET | 24 | 16,30 | 10,76 | 3 | 24 | 36 | 24 | 36 | 24 | 24 | 0,0 | 0 | 0 | 0 | 0 |
| 30708Y7H02C0CAC | 0 | 0 | Sport | ET | 24 | 16,30 | 10,76 | 3 | 24 | 36 | 24 | 36 | 24 | 24 | 0,0 | 0 | 0 | 0 | 0 |
| 30708Y7Q20H1IAA | 0 | 0 | Sport | ET | 24 | 16,30 | 10,76 | 12 | 24 | 36 | 24 | 36 | 24 | 24 | 0,0 | 0 | 0 | 0 | 0 |
| 30708Y7Q25H1IAA | 7 | 0 | Sport | ET | 24 | 16,30 | 10,76 | 12 | 24 | 36 | 24 | 36 | 24 | 24 | 2,4 | 3 | 6 | 1 | 1 |
| 30708Y7R20H1IAA | 12 | 0 | Sport | ET | 24 | 16,30 | 10,76 | 12 | 24 | 36 | 24 | 36 | 24 | 24 | 4,8 | 6 | 12 | 1 | 1 |
| 30708Y7H00H1IAC | 0 | 0 | Sport | ET | 24 | 16,30 | 10,76 | 3 | 24 | 36 | 24 | 36 | 24 | 24 | 0,0 | 0 | 0 | 0 | 0 |
| 30708Y7H02H1IAC | 0 | 0 | Sport | ET | 24 | 16,30 | 10,76 | 3 | 24 | 36 | 24 | 36 | 24 | 24 | 0,0 | 0 | 0 | 0 | 0 |
| 30708Y7Q20I0CAA | 0 | 0 | Sport | ET | 24 | 16,30 | 10,76 | 12 | 24 | 36 | 24 | 36 | 24 | 24 | 0,0 | 0 | 0 | 0 | 0 |
| 30708Y7Q25I0CAA | 12 | 0 | Sport | ET | 24 | 16,30 | 10,76 | 12 | 24 | 36 | 24 | 36 | 24 | 24 | 4,8 | 6 | 12 | 1 | 1 |
| 30708Y7R20I0CAA | 12 | 0 | Sport | ET | 24 | 16,30 | 10,76 | 12 | 24 | 36 | 24 | 36 | 24 | 24 | 4,8 | 6 | 12 | 1 | 1 |
| 30708Y7H00I0CAC | 0 | 0 | Sport | ET | 24 | 16,30 | 10,76 | 3 | 24 | 36 | 24 | 36 | 24 | 24 | 0,0 | 0 | 0 | 0 | 0 |
| 30708Y7H02I0CAC | 0 | 0 | Sport | ET | 24 | 16,30 | 10,76 | 3 | 24 | 36 | 24 | 36 | 24 | 24 | 0,0 | 0 | 0 | 0 | 0 |
| 30708Y7Q20C0IAA | 0 | 0 | Sport | ET | 24 | 16,30 | 10,76 | 12 | 24 | 36 | 24 | 36 | 24 | 24 | 0,0 | 0 | 0 | 0 | 0 |
| 30708Y7Q25C0IAA | 0 | 0 | Sport | ET | 24 | 16,30 | 10,76 | 12 | 24 | 36 | 24 | 36 | 24 | 24 | 0,2 | 1 | 2 | 1 | 1 |
| 30708Y7R20C0IAA | 0 | 0 | Sport | ET | 24 | 16,30 | 10,76 | 12 | 24 | 36 | 24 | 36 | 24 | 24 | 0,0 | 0 | 0 | 0 | 0 |
| 30708Y7H00C0IAC | 0 | 0 | Sport | ET | 24 | 16,30 | 10,76 | 3 | 24 | 36 | 24 | 36 | 24 | 24 | 0,0 | 0 | 0 | 0 | 0 |
| 30708Y7H02C0IAC | 0 | 0 | Sport | ET | 24 | 16,30 | 10,76 | 3 | 24 | 36 | 24 | 36 | 24 | 24 | 0,0 | 0 | 0 | 0 | 0 |
| 30708Y7Q20I2HAA | 0 | 0 | Sport | ET | 24 | 16,30 | 10,76 | 12 | 24 | 36 | 24 | 36 | 24 | 24 | 0,0 | 0 | 0 | 0 | 0 |
| 30708Y7Q25I2HAA | 1 | 0 | Sport | ET | 24 | 16,30 | 10,76 | 12 | 24 | 36 | 24 | 36 | 24 | 24 | 0,6 | 1 | 2 | 1 | 1 |
| 30708Y7R20I2HAA | 0 | 0 | Sport | ET | 24 | 16,30 | 10,76 | 12 | 24 | 36 | 24 | 36 | 24 | 24 | 0,0 | 0 | 0 | 0 | 0 |
| 30708B7Q20T0TAA | 0 | 0 | Sport | ET | 24 | 16,30 | 10,76 | 12 | 24 | 36 | 24 | 36 | 24 | 24 | 1,8 | 3 | 6 | 1 | 1 |

| | | | | | | | | | | | | | | | | | | | |
|-----------------|-----|----|-------|----|----|-------|-------|----|----|----|----|----|----|----|------|----|-----|---|---|
| 30708B7R20T0TAA | 0 | 0 | Sport | ET | 24 | 16,30 | 10,76 | 12 | 24 | 36 | 24 | 36 | 24 | 24 | 1,8 | 3 | 6 | 1 | 1 |
| 30708B7H00T0TAC | 0 | 0 | Sport | ET | 24 | 16,30 | 10,76 | 3 | 24 | 36 | 24 | 36 | 24 | 24 | 0,2 | 1 | 2 | 1 | 1 |
| 30708B7H02T0TAC | 0 | 0 | Sport | ET | 24 | 16,30 | 10,76 | 3 | 24 | 36 | 24 | 36 | 24 | 24 | 0,2 | 1 | 2 | 1 | 1 |
| 30708B7Q20I0IAA | 0 | 0 | Sport | ET | 24 | 16,30 | 10,76 | 12 | 24 | 36 | 24 | 36 | 24 | 24 | 1,8 | 3 | 6 | 1 | 1 |
| 30708B7R20I0IAA | 0 | 0 | Sport | ET | 24 | 16,30 | 10,76 | 12 | 24 | 36 | 24 | 36 | 24 | 24 | 1,8 | 3 | 6 | 1 | 1 |
| 30708B7H00I0IAC | 0 | 0 | Sport | ET | 24 | 16,30 | 10,76 | 3 | 24 | 36 | 24 | 36 | 24 | 24 | 1,6 | 2 | 4 | 1 | 1 |
| 30708B7H02I0IAC | 0 | 0 | Sport | ET | 24 | 16,30 | 10,76 | 3 | 24 | 36 | 24 | 36 | 24 | 24 | 1,6 | 2 | 4 | 1 | 1 |
| 30708B7Q20C0CAA | 0 | 0 | Sport | ET | 24 | 16,30 | 10,76 | 12 | 24 | 36 | 24 | 36 | 24 | 24 | 0,6 | 1 | 2 | 1 | 1 |
| 30708B7R20C0CAA | 0 | 0 | Sport | ET | 24 | 16,30 | 10,76 | 12 | 24 | 36 | 24 | 36 | 24 | 24 | 0,6 | 1 | 2 | 1 | 1 |
| 30708B7H00C0CAC | 0 | 0 | Sport | ET | 24 | 16,30 | 10,76 | 3 | 24 | 36 | 24 | 36 | 24 | 24 | 0,2 | 1 | 2 | 1 | 1 |
| 30708B7H02C0CAC | 0 | 0 | Sport | ET | 24 | 16,30 | 10,76 | 3 | 24 | 36 | 24 | 36 | 24 | 24 | 0,2 | 1 | 2 | 1 | 1 |
| 30708J7Q00I0IAA | 0 | 0 | Sport | ET | 24 | 16,30 | 10,76 | 12 | 24 | 36 | 24 | 36 | 24 | 24 | 3,0 | 4 | 8 | 1 | 1 |
| 30708J7R00I0IAA | 0 | 0 | Sport | ET | 24 | 16,30 | 10,76 | 12 | 24 | 36 | 24 | 36 | 24 | 24 | 3,0 | 4 | 8 | 1 | 1 |
| 30708J7H00I0IAC | 0 | 0 | Sport | ET | 24 | 16,30 | 10,76 | 3 | 24 | 36 | 24 | 36 | 24 | 24 | 0,0 | 0 | 0 | 0 | 0 |
| 30708J7H02I0IAC | 0 | 0 | Sport | ET | 24 | 16,30 | 10,76 | 3 | 24 | 36 | 24 | 36 | 24 | 24 | 0,0 | 0 | 0 | 0 | 0 |
| 30708E7Q20I0IAA | 0 | 0 | Sport | ET | 24 | 16,30 | 10,76 | 12 | 24 | 36 | 24 | 36 | 24 | 24 | 4,8 | 6 | 12 | 1 | 1 |
| 30708E7R20I0IAA | 0 | 0 | Sport | ET | 24 | 16,30 | 10,76 | 12 | 24 | 36 | 24 | 36 | 24 | 24 | 4,8 | 6 | 12 | 1 | 1 |
| 30708E7H00I0IAC | 3 | 0 | Sport | ET | 24 | 16,30 | 10,76 | 12 | 24 | 36 | 24 | 36 | 24 | 24 | 0,6 | 1 | 2 | 1 | 1 |
| 30708E7H02I0IAC | 3 | 0 | Sport | ET | 24 | 16,30 | 10,76 | 12 | 24 | 36 | 24 | 36 | 24 | 24 | 0,6 | 1 | 2 | 1 | 1 |
| 30708E7Q20C0CAA | 1 | 0 | Sport | ET | 24 | 16,30 | 10,76 | 12 | 24 | 36 | 24 | 36 | 24 | 24 | 0,4 | 1 | 2 | 1 | 1 |
| 30708E7R20C0CAA | 1 | 0 | Sport | ET | 24 | 16,30 | 10,76 | 12 | 24 | 36 | 24 | 36 | 24 | 24 | 0,4 | 1 | 2 | 1 | 1 |
| 30708E7H00C0CAC | 0 | 0 | Sport | ET | 24 | 16,30 | 10,76 | 3 | 24 | 36 | 24 | 36 | 24 | 24 | 0,0 | 0 | 0 | 0 | 0 |
| 30708E7H02C0CAC | 0 | 0 | Sport | ET | 24 | 16,30 | 10,76 | 3 | 24 | 36 | 24 | 36 | 24 | 24 | 0,0 | 0 | 0 | 0 | 0 |
| 30708K7Q20I0HAA | 0 | 0 | Sport | ET | 24 | 16,30 | 10,76 | 12 | 24 | 36 | 24 | 36 | 24 | 24 | 1,6 | 2 | 4 | 1 | 1 |
| 30708K7R20I0HAA | 0 | 0 | Sport | ET | 24 | 16,30 | 10,76 | 12 | 24 | 36 | 24 | 36 | 24 | 24 | 1,6 | 2 | 4 | 1 | 1 |
| 30708K7H00I0HAC | 12 | 0 | Sport | ET | 24 | 16,30 | 10,76 | 12 | 24 | 36 | 24 | 36 | 24 | 24 | 2,4 | 3 | 6 | 1 | 1 |
| 30708K7H02I0HAC | 12 | 0 | Sport | ET | 24 | 16,30 | 10,76 | 12 | 24 | 36 | 24 | 36 | 24 | 24 | 2,4 | 3 | 6 | 1 | 1 |
| 30708N7Q20I0CAA | 168 | 29 | Sport | ET | 24 | 16,30 | 10,76 | 12 | 24 | 36 | 24 | 36 | 24 | 24 | 48,0 | 56 | 112 | 5 | 5 |
| 30708N7R20I0CAA | 168 | 29 | Sport | ET | 24 | 16,30 | 10,76 | 12 | 24 | 36 | 24 | 36 | 24 | 24 | 48,0 | 56 | 112 | 5 | 5 |
| 30708N7H00I0CAC | 12 | 0 | Sport | ET | 24 | 16,30 | 10,76 | 12 | 24 | 36 | 24 | 36 | 24 | 24 | 4,8 | 6 | 12 | 1 | 1 |
| 30708N7H02I0CAC | 12 | 0 | Sport | ET | 24 | 16,30 | 10,76 | 12 | 24 | 36 | 24 | 36 | 24 | 24 | 2,4 | 3 | 6 | 1 | 1 |
| 30708O7Q20C1IAA | 0 | 0 | Sport | ET | 24 | 16,30 | 10,76 | 12 | 24 | 36 | 24 | 36 | 24 | 24 | 0,4 | 1 | 2 | 1 | 1 |
| 30708O7R20C1IAA | 0 | 0 | Sport | ET | 24 | 16,30 | 10,76 | 12 | 24 | 36 | 24 | 36 | 24 | 24 | 0,4 | 1 | 2 | 1 | 1 |
| 30708O7H00C1IAC | 0 | 0 | Sport | ET | 24 | 16,30 | 10,76 | 12 | 24 | 36 | 24 | 36 | 24 | 24 | 0,2 | 1 | 2 | 1 | 1 |
| 30708O7H02C1IAC | 0 | 0 | Sport | ET | 24 | 16,30 | 10,76 | 12 | 24 | 36 | 24 | 36 | 24 | 24 | 0,2 | 1 | 2 | 1 | 1 |
| 30708O7Q20I0CAA | 24 | 0 | Sport | ET | 24 | 16,30 | 10,76 | 12 | 24 | 36 | 24 | 36 | 24 | 24 | 9,6 | 12 | 24 | 1 | 1 |

| | | | | | | | | | | | | | | | | | | | |
|-----------------|----|----|--------|----|----|-------|-------|----|----|----|----|----|----|----|------|----|----|---|---|
| 30708O7R20I0CAA | 24 | 0 | Sport | ET | 24 | 16,30 | 10,76 | 12 | 24 | 36 | 24 | 36 | 24 | 24 | 9,6 | 12 | 24 | 1 | 1 |
| 30708O7H00I0CAC | 0 | 0 | Sport | ET | 24 | 16,30 | 10,76 | 12 | 24 | 36 | 24 | 36 | 24 | 24 | 2,0 | 3 | 6 | 1 | 1 |
| 30708O7H02I0CAC | 0 | 0 | Sport | ET | 24 | 16,30 | 10,76 | 12 | 24 | 36 | 24 | 36 | 24 | 24 | 2,0 | 3 | 6 | 1 | 1 |
| 30708I7Q20C1IAA | 0 | 0 | Sport | ET | 24 | 16,30 | 10,76 | 12 | 24 | 36 | 24 | 36 | 24 | 24 | 0,6 | 1 | 2 | 1 | 1 |
| 30708I7R20C1IAA | 0 | 0 | Sport | ET | 24 | 16,30 | 10,76 | 12 | 24 | 36 | 24 | 36 | 24 | 24 | 0,6 | 1 | 2 | 1 | 1 |
| 30708I7H00C1IAC | 0 | 0 | Sport | ET | 24 | 16,30 | 10,76 | 3 | 24 | 36 | 24 | 36 | 24 | 24 | 0,0 | 0 | 0 | 0 | 0 |
| 30708I7H02C1IAC | 0 | 0 | Sport | ET | 24 | 16,30 | 10,76 | 3 | 24 | 36 | 24 | 36 | 24 | 24 | 0,0 | 0 | 0 | 0 | 0 |
| 30708I7Q20I0CAA | 24 | 0 | Sport | ET | 24 | 16,30 | 10,76 | 12 | 24 | 36 | 24 | 36 | 24 | 24 | 7,2 | 9 | 18 | 1 | 1 |
| 30708I7R20I0CAA | 24 | 2 | Sport | ET | 24 | 16,30 | 10,76 | 12 | 24 | 36 | 24 | 36 | 24 | 24 | 7,2 | 9 | 18 | 1 | 1 |
| 30708I7H00I0CAC | 23 | 8 | Sport | ET | 24 | 16,30 | 10,76 | 12 | 24 | 36 | 24 | 36 | 24 | 24 | 4,6 | 6 | 12 | 1 | 1 |
| 30708I7H02I0CAC | 23 | 8 | Sport | ET | 24 | 16,30 | 10,76 | 12 | 24 | 36 | 24 | 36 | 24 | 24 | 4,6 | 6 | 12 | 1 | 1 |
| 30708I7Q21I1HAA | 1 | 0 | Sport | ET | 24 | 16,30 | 10,76 | 12 | 24 | 36 | 24 | 36 | 24 | 24 | 0,6 | 1 | 2 | 1 | 1 |
| 30708I7R21I1HAA | 1 | 0 | Sport | ET | 24 | 16,30 | 10,76 | 12 | 24 | 36 | 24 | 36 | 24 | 24 | 0,6 | 1 | 2 | 1 | 1 |
| 30708I7H01I1HAC | 1 | 0 | Sport | ET | 24 | 16,30 | 10,76 | 12 | 24 | 36 | 24 | 36 | 24 | 24 | 0,4 | 1 | 2 | 1 | 1 |
| 30708I7H03I1HAC | 1 | 0 | Sport | ET | 24 | 16,30 | 10,76 | 12 | 24 | 36 | 24 | 36 | 24 | 24 | 0,4 | 1 | 2 | 1 | 1 |
| 30708I7Q20I2HAA | 0 | 0 | Sport | ET | 24 | 16,30 | 10,76 | 12 | 24 | 36 | 24 | 36 | 24 | 24 | 1,6 | 2 | 4 | 1 | 1 |
| 30708I7R20I2HAA | 0 | 0 | Sport | ET | 24 | 16,30 | 10,76 | 12 | 24 | 36 | 24 | 36 | 24 | 24 | 1,6 | 2 | 4 | 1 | 1 |
| 30708I7H00I2HAC | 2 | 0 | Sport | ET | 24 | 16,30 | 10,76 | 12 | 24 | 36 | 24 | 36 | 24 | 24 | 4,8 | 6 | 12 | 1 | 1 |
| 30708I7H02I2HAC | 2 | 0 | Sport | ET | 24 | 16,30 | 10,76 | 12 | 24 | 36 | 24 | 36 | 24 | 24 | 4,8 | 6 | 12 | 1 | 1 |
| 30708P2Q40C1IAA | 1 | 0 | SSport | ET | 24 | 23,26 | 6,52 | 3 | 17 | 59 | 15 | 57 | 15 | 15 | 1,0 | 2 | 4 | 1 | 1 |
| 30708P2R40C1IAA | 0 | 0 | SSport | ET | 24 | 23,26 | 6,52 | 3 | 17 | 59 | 15 | 57 | 15 | 15 | 1,0 | 2 | 4 | 1 | 1 |
| 30708P2H00C1IAC | 0 | 0 | SSport | ET | 24 | 23,26 | 6,52 | 3 | 17 | 59 | 15 | 57 | 15 | 15 | 0,4 | 1 | 2 | 1 | 1 |
| 30708P2H02C1IAC | 0 | 0 | SSport | ET | 24 | 23,26 | 6,52 | 3 | 17 | 59 | 15 | 57 | 15 | 15 | 0,4 | 1 | 2 | 1 | 1 |
| 30708P2Q40I0CAA | 24 | 7 | SSport | ET | 24 | 23,26 | 6,52 | 12 | 17 | 59 | 12 | 48 | 12 | 12 | 9,6 | 12 | 24 | 2 | 2 |
| 30708P2R40I0CAA | 0 | 7 | SSport | ET | 24 | 23,26 | 6,52 | 12 | 17 | 59 | 12 | 48 | 12 | 12 | 9,6 | 12 | 24 | 2 | 2 |
| 30708P2H00I0CAC | 12 | 5 | SSport | ET | 24 | 23,26 | 6,52 | 12 | 17 | 59 | 12 | 48 | 12 | 12 | 5,0 | 6 | 12 | 1 | 1 |
| 30708P2H02I0CAC | 12 | 5 | SSport | ET | 24 | 23,26 | 6,52 | 12 | 17 | 59 | 12 | 48 | 12 | 12 | 5,0 | 6 | 12 | 1 | 1 |
| 30708P2Q40I0HAA | 0 | 0 | SSport | ET | 24 | 23,26 | 6,52 | 12 | 17 | 59 | 12 | 48 | 12 | 12 | 1,8 | 3 | 6 | 1 | 1 |
| 30708P2R40I0HAA | 12 | 0 | SSport | ET | 24 | 23,26 | 6,52 | 12 | 17 | 59 | 12 | 48 | 12 | 12 | 2,4 | 3 | 6 | 1 | 1 |
| 30708P2H00I0HAC | 0 | 0 | SSport | ET | 24 | 23,26 | 6,52 | 12 | 17 | 59 | 12 | 48 | 12 | 12 | 1,6 | 2 | 4 | 1 | 1 |
| 30708P2H02I0HAC | 0 | 0 | SSport | ET | 24 | 23,26 | 6,52 | 12 | 17 | 59 | 12 | 48 | 12 | 12 | 1,6 | 2 | 4 | 1 | 1 |
| 30708P2Q44I1CAA | 36 | 8 | SSport | ET | 24 | 23,26 | 6,52 | 12 | 17 | 59 | 12 | 48 | 12 | 12 | 24,0 | 28 | 56 | 5 | 5 |
| 30708P2R44I1CAA | 36 | 8 | SSport | ET | 24 | 23,26 | 6,52 | 12 | 17 | 59 | 12 | 48 | 12 | 12 | 24,0 | 28 | 56 | 5 | 5 |
| 30708P2H01I1CAC | 36 | 4 | SSport | ET | 24 | 23,26 | 6,52 | 12 | 17 | 59 | 12 | 48 | 12 | 12 | 12,0 | 14 | 28 | 3 | 3 |
| 30708P2H03I1CAC | 36 | 4 | SSport | ET | 24 | 23,26 | 6,52 | 12 | 17 | 59 | 12 | 48 | 12 | 12 | 12,0 | 14 | 28 | 3 | 3 |
| 30708P2Q44I3HAA | 48 | 14 | SSport | ET | 24 | 23,26 | 6,52 | 12 | 17 | 59 | 12 | 48 | 12 | 12 | 24,0 | 28 | 56 | 5 | 5 |

| | | | | | | | | | | | | | | | | | | | |
|-----------------|----|----|--------|----|----|-------|------|----|----|----|----|----|----|----|------|----|----|---|---|
| 30708P2R44I3HAA | 48 | 14 | SSport | ET | 24 | 23,26 | 6,52 | 12 | 17 | 59 | 12 | 48 | 12 | 12 | 24,0 | 28 | 56 | 5 | 5 |
| 30708P2H01I3HAC | 24 | 8 | SSport | ET | 24 | 23,26 | 6,52 | 12 | 17 | 59 | 12 | 48 | 12 | 12 | 14,4 | 17 | 34 | 3 | 3 |
| 30708P2H03I3HAC | 36 | 6 | SSport | ET | 24 | 23,26 | 6,52 | 12 | 17 | 59 | 12 | 48 | 12 | 12 | 16,8 | 20 | 40 | 4 | 4 |
| 30708P2Q44C2IAA | 0 | 0 | SSport | ET | 24 | 23,26 | 6,52 | 12 | 17 | 59 | 12 | 48 | 12 | 12 | 0,6 | 1 | 2 | 1 | 1 |
| 30708P2R44C2IAA | 0 | 0 | SSport | ET | 24 | 23,26 | 6,52 | 12 | 17 | 59 | 12 | 48 | 12 | 12 | 0,6 | 1 | 2 | 1 | 1 |
| 30708P2H01C2IAC | 0 | 0 | SSport | ET | 24 | 23,26 | 6,52 | 12 | 17 | 59 | 12 | 48 | 12 | 12 | 0,4 | 1 | 2 | 1 | 1 |
| 30708P2H03C2IAC | 0 | 0 | SSport | ET | 24 | 23,26 | 6,52 | 12 | 17 | 59 | 12 | 48 | 12 | 12 | 0,4 | 1 | 2 | 1 | 1 |
| 30708P7Q40C1IAA | 1 | 0 | SSport | ET | 24 | 23,26 | 6,52 | 3 | 17 | 59 | 15 | 57 | 15 | 15 | 0,2 | 1 | 2 | 1 | 1 |
| 30708P7Q45C1IAA | 5 | 0 | SSport | ET | 24 | 23,26 | 6,52 | 3 | 17 | 59 | 15 | 57 | 15 | 15 | 1,0 | 2 | 4 | 1 | 1 |
| 30708P7R40C1IAA | 2 | 0 | SSport | ET | 24 | 23,26 | 6,52 | 3 | 17 | 59 | 15 | 57 | 15 | 15 | 0,8 | 1 | 2 | 1 | 1 |
| 30708P7H00C1IAC | 0 | 0 | SSport | ET | 24 | 23,26 | 6,52 | 3 | 17 | 59 | 15 | 57 | 15 | 15 | 0,2 | 1 | 2 | 1 | 1 |
| 30708P7H02C1IAC | 0 | 0 | SSport | ET | 24 | 23,26 | 6,52 | 3 | 17 | 59 | 15 | 57 | 15 | 15 | 0,2 | 1 | 2 | 1 | 1 |
| 30708P7Q40I0CAA | 24 | 2 | SSport | ET | 24 | 23,26 | 6,52 | 12 | 17 | 59 | 12 | 48 | 12 | 12 | 4,8 | 6 | 12 | 1 | 1 |
| 30708P7Q45I0CAA | 12 | 0 | SSport | ET | 24 | 23,26 | 6,52 | 12 | 17 | 59 | 12 | 48 | 12 | 12 | 4,8 | 6 | 12 | 1 | 1 |
| 30708P7R40I0CAA | 24 | 0 | SSport | ET | 24 | 23,26 | 6,52 | 12 | 17 | 59 | 12 | 48 | 12 | 12 | 7,2 | 9 | 18 | 2 | 2 |
| 30708P7H00I0CAC | 3 | 0 | SSport | ET | 24 | 23,26 | 6,52 | 3 | 17 | 59 | 15 | 57 | 15 | 15 | 0,6 | 1 | 2 | 1 | 1 |
| 30708P7H02I0CAC | 3 | 0 | SSport | ET | 24 | 23,26 | 6,52 | 3 | 17 | 59 | 15 | 57 | 15 | 15 | 0,6 | 1 | 2 | 1 | 1 |
| 30708P7Q40I0HAA | 0 | 0 | SSport | ET | 24 | 23,26 | 6,52 | 12 | 17 | 59 | 12 | 48 | 12 | 12 | 1,6 | 2 | 4 | 1 | 1 |
| 30708P7Q45I0HAA | 0 | 0 | SSport | ET | 24 | 23,26 | 6,52 | 12 | 17 | 59 | 12 | 48 | 12 | 12 | 0,6 | 1 | 2 | 1 | 1 |
| 30708P7R40I0HAA | 0 | 0 | SSport | ET | 24 | 23,26 | 6,52 | 12 | 17 | 59 | 12 | 48 | 12 | 12 | 1,6 | 2 | 4 | 1 | 1 |
| 30708P7H00I0HAC | 0 | 0 | SSport | ET | 24 | 23,26 | 6,52 | 12 | 17 | 59 | 12 | 48 | 12 | 12 | 0,2 | 1 | 2 | 1 | 1 |
| 30708P7H02I0HAC | 0 | 0 | SSport | ET | 24 | 23,26 | 6,52 | 12 | 17 | 59 | 12 | 48 | 12 | 12 | 0,2 | 1 | 2 | 1 | 1 |
| 30708P7Q44I1CAA | 24 | 0 | SSport | ET | 24 | 23,26 | 6,52 | 12 | 17 | 59 | 12 | 48 | 12 | 12 | 4,8 | 6 | 12 | 1 | 1 |
| 30708P7Q47I1CAA | 24 | 0 | SSport | ET | 24 | 23,26 | 6,52 | 12 | 17 | 59 | 12 | 48 | 12 | 12 | 12,0 | 14 | 28 | 3 | 3 |
| 30708P7R44I1CAA | 48 | 9 | SSport | ET | 24 | 23,26 | 6,52 | 12 | 17 | 59 | 12 | 48 | 12 | 12 | 14,4 | 17 | 34 | 3 | 3 |
| 30708P7H01I1CAC | 0 | 0 | SSport | ET | 24 | 23,26 | 6,52 | 12 | 17 | 59 | 12 | 48 | 12 | 12 | 4,8 | 6 | 12 | 1 | 1 |
| 30708P7H03I1CAC | 0 | 0 | SSport | ET | 24 | 23,26 | 6,52 | 12 | 17 | 59 | 12 | 48 | 12 | 12 | 4,8 | 6 | 12 | 1 | 1 |
| 30708P7Q44I3HAA | 24 | 5 | SSport | ET | 24 | 23,26 | 6,52 | 12 | 17 | 59 | 12 | 48 | 12 | 12 | 7,2 | 9 | 18 | 2 | 2 |
| 30708P7Q47I3HAA | 36 | 0 | SSport | ET | 24 | 23,26 | 6,52 | 12 | 17 | 59 | 12 | 48 | 12 | 12 | 19,2 | 23 | 46 | 4 | 4 |
| 30708P7R44I3HAA | 84 | 9 | SSport | ET | 24 | 23,26 | 6,52 | 12 | 17 | 59 | 12 | 48 | 12 | 12 | 16,8 | 20 | 40 | 4 | 4 |
| 30708P7H01I3HAC | 0 | 7 | SSport | ET | 24 | 23,26 | 6,52 | 12 | 17 | 59 | 12 | 48 | 12 | 12 | 4,8 | 6 | 12 | 1 | 1 |
| 30708P7H03I3HAC | 0 | 7 | SSport | ET | 24 | 23,26 | 6,52 | 12 | 17 | 59 | 12 | 48 | 12 | 12 | 4,8 | 6 | 12 | 1 | 1 |
| 30708P7Q44C2IAA | 1 | 0 | SSport | ET | 24 | 23,26 | 6,52 | 12 | 17 | 59 | 12 | 48 | 12 | 12 | 0,4 | 1 | 2 | 1 | 1 |
| 30708P7Q47C2IAA | 0 | 0 | SSport | ET | 24 | 23,26 | 6,52 | 12 | 17 | 59 | 12 | 48 | 12 | 12 | 0,0 | 0 | 0 | 0 | 0 |
| 30708P7R44C2IAA | 0 | 0 | SSport | ET | 24 | 23,26 | 6,52 | 12 | 17 | 59 | 12 | 48 | 12 | 12 | 0,0 | 0 | 0 | 0 | 0 |
| 30708P7H01C2IAC | 0 | 0 | SSport | ET | 24 | 23,26 | 6,52 | 12 | 17 | 59 | 12 | 48 | 12 | 12 | 0,2 | 1 | 2 | 1 | 1 |

| | | | | | | | | | | | | | | | | | | | |
|-----------------|---|---|--------|----|----|-------|------|----|----|----|----|----|----|----|-----|---|---|---|---|
| 30708P7H03C2IAC | 0 | 0 | SSport | ET | 24 | 23,26 | 6,52 | 12 | 17 | 59 | 12 | 48 | 12 | 12 | 0,2 | 1 | 2 | 1 | 1 |
|-----------------|---|---|--------|----|----|-------|------|----|----|----|----|----|----|----|-----|---|---|---|---|

Na Tabela 46 encontra-se a análise ABC para os assentos da frente, na Tabela 47 para os assentos traseiros, na Tabela 48 para os encostos da frente e na Tabela 49 para os encostos traseiros.

Tabela 46 - Análise ABC assentos da frente AB3 Couro

| PN COINDU | Part | Variant | COLOR | TYPE | QTD | QTD % | Ac. QTD % | Ac. Art % | Classe | 74810 | | 279 | | 279 | |
|-----------------|------|-----------|-------------------|--------|------|-------|-----------|-----------|--------|--------------|---------------|--------------|---------------|--------------|---------------|
| | | | | | | | | | | Caixas Couro | Caixas Tecido | Caixas Couro | Caixas Tecido | Caixas Couro | Caixas Tecido |
| 30708N2C20I0CAA | AF | PERNNAPPA | SOUL/FELSGRAU | SPORT | 8814 | 11,8 | 11,8 | 0,5 | A | 15 | 15 | | | | |
| 30708N2B20I0CAA | AF | PERNNAPPA | SOUL/FELSGRAU | SPORT | 8799 | 11,8 | 23,5 | 1,0 | A | 15 | 15 | | | | |
| 30708L7B00I0IAA | AF | TWIN | SOUL | BASIS | 4015 | 5,4 | 28,9 | 1,5 | A | 14 | 14 | | | | |
| 30708L7C00I0IAA | AF | TWIN | SOUL | BASIS | 4015 | 5,4 | 34,3 | 2,0 | A | 14 | 14 | | | | |
| 30708N7C20I0CAA | AF | PERNNAPPA | SOUL/ FELSGRAU | SPORT | 2853 | 3,8 | 38,1 | 2,5 | B | 4 | 4 | | | | |
| 30708N7B20I0CAA | AF | PERNNAPPA | SOUL/ FELSGRAU | SPORT | 2852 | 3,8 | 41,9 | 3,0 | B | 4 | 4 | | | | |
| 30708I2C20I0CAA | AF | FEINNAPPA | SOUL/ FELSGRAU | SPORT | 1711 | 2,3 | 44,2 | 3,5 | B | 3 | 3 | | | | |
| 30708I2B20I0CAA | AF | FEINNAPPA | SOUL/ FELSGRAU | SPORT | 1698 | 2,3 | 46,5 | 4,0 | B | 3 | 3 | | | | |
| 30708P2B40I3HAA | AF | FEINNAPPA | SOUL/CRESCENDOROT | SSPORT | 1453 | 1,9 | 48,4 | 4,5 | B | 6 | 6 | | | | |
| 30708P2C40I3HAA | AF | FEINNAPPA | SOUL/CRESCENDOROT | SSPORT | 1448 | 1,9 | 50,3 | 5,0 | B | 6 | 6 | | | | |
| 30708P2B40I1CAA | AF | FEINNAPPA | SOUL/FELSGRAU | SSPORT | 1380 | 1,8 | 52,2 | 5,5 | B | 5 | 5 | | | | |
| 30708P2C40I1CAA | AF | FEINNAPPA | SOUL/FELSGRAU | SSPORT | 1380 | 1,8 | 54,0 | 6,0 | B | 5 | 5 | | | | |
| 30708P7B40I3HAA | AF | FEINNAPPA | SOUL/CRESCENDOROT | SSPORT | 1321 | 1,8 | 55,8 | 6,5 | B | 3 | 3 | | | | |
| 30708P7C40I3HAA | AF | FEINNAPPA | SOUL/CRESCENDOROT | SSPORT | 1317 | 1,8 | 57,6 | 7,0 | B | 4 | 4 | | | | |
| 30708C2B20I0IAA | AF | TWIN | SOUL | SPORT | 1152 | 1,5 | 59,1 | 7,5 | B | 3 | 3 | | | | |
| 30708C2C20I0IAA | AF | TWIN | SOUL | SPORT | 1149 | 1,5 | 60,6 | 8,0 | B | 3 | 3 | | | | |
| 30708M2B00I0IAA | AF | TWIN | SOUL | BASIS | 1138 | 1,5 | 62,2 | 8,5 | B | 7 | 7 | | | | |
| 30708M2C00I0IAA | AF | TWIN | SOUL | BASIS | 1136 | 1,5 | 63,7 | 9,0 | B | 7 | 7 | | | | |
| 30708I7B20I0CAA | AF | FEINNAPPA | SOUL/ FELSGRAU | SPORT | 1129 | 1,5 | 65,2 | 9,5 | B | 2 | 2 | | | | |
| 30708I7C20I0CAA | AF | FEINNAPPA | SOUL/ FELSGRAU | SPORT | 1129 | 1,5 | 66,7 | 10,0 | B | 2 | 2 | | | | |
| 30708O2B20I0CAA | AF | PERNNAPPA | SOUL/FELSGRAU | SPORT | 1073 | 1,4 | 68,1 | 10,5 | B | 3 | 3 | | | | |
| 30708O2C20I0CAA | AF | PERNNAPPA | SOUL/FELSGRAU | SPORT | 1073 | 1,4 | 69,6 | 11,0 | B | 3 | 3 | | | | |
| 30708P7B40I1CAA | AF | FEINNAPPA | SOUL/ FELSGRAU | SSPORT | 982 | 1,3 | 70,9 | 11,5 | C | 3 | 3 | | | | |
| 30708P7C40I1CAA | AF | FEINNAPPA | SOUL/ FELSGRAU | SSPORT | 981 | 1,3 | 72,2 | 12,0 | C | 3 | 3 | | | | |
| 30708Y7B20I0IAA | AF | TWIN | SOUL/ ANTR | SPORT | 805 | 1,1 | 73,3 | 12,5 | C | 2 | 2 | | | | |
| 30708Y7C20I0IAA | AF | TWIN | SOUL/ ANTR | SPORT | 803 | 1,1 | 74,3 | 13,0 | C | 2 | 2 | | | | |
| 30708E2C20I0IAA | AF | PERNNAPPA | SOUL | SPORT | 709 | 0,9 | 75,3 | 13,5 | C | 2 | 2 | | | | |

| | | | | | | | | | | | |
|-----------------|----|-------------|---------------------|-------|-----|-----|------|------|---|---|---|
| 30708E2B20I0IAA | AF | PERNNAPPA | SOUL | SPORT | 708 | 0,9 | 76,2 | 14,0 | C | 2 | 2 |
| 30708B2B20I0IAA | AF | MILANO | SOUL | SPORT | 706 | 0,9 | 77,2 | 14,5 | C | 2 | 2 |
| 30708B2C20I0IAA | AF | MILANO | SOUL | SPORT | 705 | 0,9 | 78,1 | 15,0 | C | 2 | 2 |
| 30708L7B00C0CAA | AF | TWIN | FELSGRAU | BASIS | 657 | 0,9 | 79,0 | 15,5 | C | 3 | 3 |
| 30708L7C00C0CAA | AF | TWIN | FELSGRAU | BASIS | 657 | 0,9 | 79,9 | 16,0 | C | 3 | 3 |
| 30708L7B00T0AA | AF | TWIN | KASTANIENBRAUN | BASIS | 623 | 0,8 | 80,7 | 16,5 | C | 3 | 3 |
| 30708L7C00T0AA | AF | TWIN | KASTANIENBRAUN | BASIS | 623 | 0,8 | 81,5 | 17,0 | C | 3 | 3 |
| 30708O7B20I0CAA | AF | PERNNAPPA | SOUL/FELSGRAU | SPORT | 473 | 0,6 | 82,2 | 17,5 | C | 2 | 2 |
| 30708O7C20I0CAA | AF | PERNNAPPA | SOUL/FELSGRAU | SPORT | 473 | 0,6 | 82,8 | 18,0 | C | 2 | 2 |
| 30708I2B20I2HAA | AF | FEINNAPPA | SOUL/CRESCENDOROT | SPORT | 454 | 0,6 | 83,4 | 18,5 | C | 1 | 1 |
| 30708I2C20I2HAA | AF | FEINNAPPA | SOUL/CRESCENDOROT | SPORT | 454 | 0,6 | 84,0 | 19,0 | C | 1 | 1 |
| 30708C2B20T0AA | AF | TWIN | KASTANIENBRAUN | SPORT | 438 | 0,6 | 84,6 | 19,5 | C | 2 | 2 |
| 30708C2C20T0AA | AF | TWIN | KASTANIENBRAUN | SPORT | 438 | 0,6 | 85,2 | 20,0 | C | 2 | 2 |
| 30708U5B20I0CAA | AF | PN/SEQUENZ | SOUL/FELSGRAU | SPORT | 390 | 0,5 | 85,7 | 20,5 | C | 2 | 2 |
| 30708U5C20I0CAA | AF | PN/SEQUENZ | SOUL/FELSGRAU | SPORT | 380 | 0,5 | 86,2 | 21,0 | C | 1 | 1 |
| 30708M2B00T0AA | AF | TWIN | KASTANIENBRAUN | BASIS | 340 | 0,5 | 86,7 | 21,5 | C | 4 | 4 |
| 30708M2C00T0AA | AF | TWIN | KASTANIENBRAUN | BASIS | 340 | 0,5 | 87,1 | 22,0 | C | 4 | 4 |
| 30708I7B20I2HAA | AF | FEINNAPPA | SOUL/CRESCENDOROT | SPORT | 276 | 0,4 | 87,5 | 22,5 | C | 1 | 1 |
| 30708I7C20I2HAA | AF | FEINNAPPA | SOUL/CRESCENDOROT | SPORT | 276 | 0,4 | 87,9 | 23,0 | C | 1 | 1 |
| 30708M2B00C0CAA | AF | TWIN | FELSGRAU | BASIS | 264 | 0,4 | 88,2 | 23,5 | C | 3 | 3 |
| 30708M2C00C0CAA | AF | TWIN | FELSGRAU | BASIS | 264 | 0,4 | 88,6 | 24,0 | C | 3 | 3 |
| 30708W5B00I0IAA | AF | TWINLEDER | SOUL | BASIS | 240 | 0,3 | 88,9 | 24,5 | C | 2 | 2 |
| 30708W5C00I0IAA | AF | TWINLEDER | SOUL | BASIS | 240 | 0,3 | 89,2 | 25,0 | C | 2 | 2 |
| 30708C2B20C0CAA | AF | TWIN | FELSGRAU | SPORT | 236 | 0,3 | 89,5 | 25,5 | C | 1 | 1 |
| 30708C2C20C0CAA | AF | TWIN | FELSGRAU | SPORT | 235 | 0,3 | 89,8 | 26,0 | C | 1 | 1 |
| 30708T5B20I0CAA | AF | PN/FREQUENZ | SOUL/FELSGRAU | SPORT | 230 | 0,3 | 90,1 | 26,5 | C | 1 | 1 |
| 30708T5C20I0CAA | AF | PN/FREQUENZ | SOUL/FELSGRAU | SPORT | 230 | 0,3 | 90,4 | 27,0 | C | 1 | 1 |
| 30708E2C20C0CAA | AF | PERNNAPPA | FELSGRAU | SPORT | 228 | 0,3 | 90,8 | 27,5 | C | 1 | 1 |
| 30708E2B20C0CAA | AF | PERNNAPPA | FELSGRAU | SPORT | 227 | 0,3 | 91,1 | 28,0 | C | 1 | 1 |
| 30708Y7C20I0CAA | AF | TWIN | SOUL/FELSGRAU | SPORT | 215 | 0,3 | 91,3 | 28,5 | C | 1 | 1 |
| 30708O2B20C1IAA | AF | PERNNAPPA | ROTORGRAU/ANTHRAZIT | SPORT | 213 | 0,3 | 91,6 | 29,0 | C | 1 | 1 |
| 30708O2C20C1IAA | AF | PERNNAPPA | ROTORGRAU/ANTHRAZIT | SPORT | 213 | 0,3 | 91,9 | 29,5 | C | 1 | 1 |
| 30708Y7B20I0CAA | AF | TWIN | SOUL/FELSGRAU | SPORT | 212 | 0,3 | 92,2 | 30,0 | C | 1 | 1 |
| 30708R5B20I0CAA | AF | FEINNAPPA | SOUL/FELSGRAU | SPORT | 180 | 0,2 | 92,4 | 30,5 | C | 1 | 1 |
| 30708I2B20I1HAA | AF | FEINNAPPA | SOUL/EXPRESSROT | SPORT | 180 | 0,2 | 92,7 | 31,0 | C | 1 | 1 |
| 30708I2C20I1HAA | AF | FEINNAPPA | SOUL/EXPRESSROT | SPORT | 176 | 0,2 | 92,9 | 31,5 | C | 1 | 1 |
| 30708K2B20I0HAA | AF | PERNNAPPA | SOUL/EXPRESSROT | SPORT | 174 | 0,2 | 93,1 | 32,0 | C | 1 | 1 |
| 30708K2C20I0HAA | AF | PERNNAPPA | SOUL/EXPRESSROT | SPORT | 174 | 0,2 | 93,4 | 32,5 | C | 1 | 1 |

| | | | | | | | | | | | |
|-----------------|----|--------------|-----------------------|--------|-----|-----|------|------|---|---|---|
| 30708R5C20I0CAA | AF | FEINNAPPA | SOUL/FELSGRAU | SPORT | 170 | 0,2 | 93,6 | 33,0 | C | 1 | 1 |
| 30708K7B20I0HAA | AF | PERNNAPPA | SOUL/ EXPRESSROT | SPORT | 155 | 0,2 | 93,8 | 33,5 | C | 1 | 1 |
| 30708K7C20I0HAA | AF | PERNNAPPA | SOUL/ EXPRESSROT | SPORT | 155 | 0,2 | 94,0 | 34,0 | C | 1 | 1 |
| 30708F5B20I0IAA | AF | MILANO | SOUL | SPORT | 150 | 0,2 | 94,2 | 34,5 | C | 1 | 1 |
| 30708F5C20I0IAA | AF | MILANO | SOUL | SPORT | 150 | 0,2 | 94,4 | 35,0 | C | 1 | 1 |
| 30708B2B20T0AA | AF | MILANO | KASTANIENBRAUN | SPORT | 146 | 0,2 | 94,6 | 35,5 | C | 1 | 1 |
| 30708B2C20T0AA | AF | MILANO | KASTANIENBRAUN | SPORT | 146 | 0,2 | 94,8 | 36,0 | C | 1 | 1 |
| 30708I7B20I1HAA | AF | FEINNAPPA | SOUL/ EXPRESSROT | SPORT | 144 | 0,2 | 95,0 | 36,5 | C | 1 | 1 |
| 30708I7C20I1HAA | AF | FEINNAPPA | SOUL/ EXPRESSROT | SPORT | 144 | 0,2 | 95,2 | 37,0 | C | 1 | 1 |
| 30708Y7B20H1IAA | AF | TWIN | MAGMAROT | SPORT | 141 | 0,2 | 95,4 | 37,5 | C | 1 | 1 |
| 30708Y7C20H1IAA | AF | TWIN | MAGMAROT | SPORT | 141 | 0,2 | 95,6 | 38,0 | C | 1 | 1 |
| 30708S5B20I0IAA | AF | PN/ALCANTARA | SOUL | SPORT | 140 | 0,2 | 95,8 | 38,5 | C | 1 | 1 |
| 30708J2C00I0IAA | AF | MILANO | SOUL | BASIS | 137 | 0,2 | 95,9 | 39,0 | C | 1 | 1 |
| 30708E7B20I0IAA | AF | PERNNAPPA | SOUL | SPORT | 135 | 0,2 | 96,1 | 39,5 | C | 1 | 1 |
| 30708E7C20I0IAA | AF | PERNNAPPA | SOUL | SPORT | 135 | 0,2 | 96,3 | 40,0 | C | 1 | 1 |
| 30708J2B00I0IAA | AF | MILANO | SOUL | BASIS | 134 | 0,2 | 96,5 | 40,5 | C | 1 | 1 |
| 30708B2B20C0CAA | AF | MILANO | FELSGRAU | SPORT | 131 | 0,2 | 96,7 | 41,0 | C | 1 | 1 |
| 30708B2C20C0CAA | AF | MILANO | FELSGRAU | SPORT | 131 | 0,2 | 96,8 | 41,5 | C | 1 | 1 |
| 30708S5C20I0IAA | AF | PN/ALCANTARA | SOUL | SPORT | 130 | 0,2 | 97,0 | 42,0 | C | 1 | 1 |
| 30708W5B00C0CAA | AF | TWINLEDER | FELSGRAU | BASIS | 120 | 0,2 | 97,2 | 42,5 | C | 1 | 1 |
| 30708Y7B20T0AA | AF | TWIN | KASTANIENBRAUN | SPORT | 117 | 0,2 | 97,3 | 43,0 | C | 1 | 1 |
| 30708Y7C20T0AA | AF | TWIN | KASTANIENBRAUN | SPORT | 117 | 0,2 | 97,5 | 43,5 | C | 1 | 1 |
| 30708W5C00C0CAA | AF | TWINLEDER | FELSGRAU | BASIS | 110 | 0,1 | 97,6 | 44,0 | C | 1 | 1 |
| 30708B7B20I0IAA | AF | MILANO | SOUL | SPORT | 83 | 0,1 | 97,7 | 44,5 | C | 1 | 1 |
| 30708B7C20I0IAA | AF | MILANO | SOUL | SPORT | 83 | 0,1 | 97,9 | 45,0 | C | 1 | 1 |
| 30708W5B00T0AA | AF | TWINLEDER | KASTANIENBRAUN | BASIS | 80 | 0,1 | 98,0 | 45,5 | C | 1 | 1 |
| 30708W5C00T0AA | AF | TWINLEDER | KASTANIENBRAUN | BASIS | 80 | 0,1 | 98,1 | 46,0 | C | 1 | 1 |
| 30708I2B20C1IAA | AF | FEINNAPPA | ROTORGRAU/ANTHRAZIT | SPORT | 77 | 0,1 | 98,2 | 46,5 | C | 1 | 1 |
| 30708I2C20C1IAA | AF | FEINNAPPA | ROTORGRAU/ANTHRAZIT | SPORT | 76 | 0,1 | 98,3 | 47,0 | C | 1 | 1 |
| 30708Y7B20C0CAA | AF | TWIN | FELSGRAU | SPORT | 71 | 0,1 | 98,4 | 47,5 | C | 1 | 1 |
| 30708Y7C20C0CAA | AF | TWIN | FELSGRAU | SPORT | 71 | 0,1 | 98,5 | 48,0 | C | 1 | 1 |
| 30708J7C00I0IAA | AF | MILANO | SOUL | SPORT | 69 | 0,1 | 98,6 | 48,5 | C | 1 | 1 |
| 30708B7B20T0AA | AF | MILANO | KASTANIENBRAUN | SPORT | 68 | 0,1 | 98,6 | 49,0 | C | 1 | 1 |
| 30708B7C20T0AA | AF | MILANO | KASTANIENBRAUN | SPORT | 68 | 0,1 | 98,7 | 49,5 | C | 1 | 1 |
| 30708J7B00I0IAA | AF | MILANO | SOUL | SPORT | 68 | 0,1 | 98,8 | 50,0 | C | 1 | 1 |
| 30708G5B20I0IAA | AF | TWINLEDER | SOUL | SPORT | 50 | 0,1 | 98,9 | 50,5 | C | 1 | 1 |
| 30708G5C20I0IAA | AF | TWINLEDER | SOUL | SPORT | 50 | 0,1 | 99,0 | 51,0 | C | 1 | 1 |
| 30708P2B40C2IAA | AF | FEINNAPPA | MONDSILBER/GRANITGRAU | SSPORT | 50 | 0,1 | 99,0 | 51,5 | C | 1 | 1 |

| | | | | | | | | | | | |
|-----------------|----|--------------|------------------------|--------|----|-----|-------|------|---|---|---|
| 30708P2C40C2IAA | AF | FEINNAPPA | MONDSILBER/GRAUNITGRAU | SSPORT | 50 | 0,1 | 99,1 | 52,0 | C | 1 | 1 |
| 30708T5B20C1IAA | AF | PN/FREQUENZ | ROTORGRAU/ANTHRAZIT | SPORT | 47 | 0,1 | 99,2 | 52,5 | C | 1 | 1 |
| 30708I7B20C1IAA | AF | FEINNAPPA | ROTORGRAU/ANTHRAZIT | SPORT | 47 | 0,1 | 99,2 | 53,0 | C | 1 | 1 |
| 30708I7C20C1IAA | AF | FEINNAPPA | ROTORGRAU/ANTHRAZIT | SPORT | 47 | 0,1 | 99,3 | 53,5 | C | 1 | 1 |
| 30708T5C20C1IAA | AF | PN/FREQUENZ | ROTORGRAU/ANTHRAZIT | SPORT | 41 | 0,1 | 99,3 | 54,0 | C | 1 | 1 |
| 30708Q5B00I0IAA | AF | MILANO | SOUL | BASIS | 40 | 0,1 | 99,4 | 54,5 | C | 1 | 1 |
| 30708Q5C00I0IAA | AF | MILANO | SOUL | BASIS | 40 | 0,1 | 99,4 | 55,0 | C | 1 | 1 |
| 30708F5B20C0CAA | AF | MILANO | FELSGRAU | SPORT | 33 | 0,0 | 99,5 | 55,5 | C | 1 | 1 |
| 30708F5C20C0CAA | AF | MILANO | FELSGRAU | SPORT | 33 | 0,0 | 99,5 | 56,0 | C | 1 | 1 |
| 30708F5B20T0TAA | AF | MILANO | KASTANIENBRAUN | SPORT | 28 | 0,0 | 99,6 | 56,5 | C | 1 | 1 |
| 30708R5C20C1IAA | AF | FEINNAPPA | ROTORGRAU/ANTHRAZIT | SPORT | 28 | 0,0 | 99,6 | 57,0 | C | 1 | 1 |
| 30708R5B20C1IAA | AF | FEINNAPPA | ROTORGRAU/ANTHRAZIT | SPORT | 27 | 0,0 | 99,6 | 57,5 | C | 1 | 1 |
| 30708F5C20T0TAA | AF | MILANO | KASTANIENBRAUN | SPORT | 26 | 0,0 | 99,7 | 58,0 | C | 1 | 1 |
| 30708P7B40C2IAA | AF | FEINNAPPA | MONDSILBER/ GRANITGRAU | SSPORT | 22 | 0,0 | 99,7 | 58,5 | C | 1 | 1 |
| 30708P7C40C2IAA | AF | FEINNAPPA | MONDSILBER/ GRANITGRAU | SSPORT | 22 | 0,0 | 99,7 | 59,0 | C | 1 | 1 |
| 30708R5B20I1HAA | AF | FEINNAPPA | SOUL/EXPRESSROT | SPORT | 21 | 0,0 | 99,8 | 59,5 | C | 1 | 1 |
| 30708B7B20C0CAA | AF | MILANO | FELSGRAU | SPORT | 21 | 0,0 | 99,8 | 60,0 | C | 1 | 1 |
| 30708B7C20C0CAA | AF | MILANO | FELSGRAU | SPORT | 21 | 0,0 | 99,8 | 60,5 | C | 1 | 1 |
| 30708R5C20I1HAA | AF | FEINNAPPA | SOUL/EXPRESSROT | SPORT | 20 | 0,0 | 99,8 | 61,0 | C | 1 | 1 |
| 30708E7B20C0CAA | AF | PERNNAPPA | FELSGRAU | SPORT | 15 | 0,0 | 99,9 | 61,5 | C | 1 | 1 |
| 30708E7C20C0CAA | AF | PERNNAPPA | FELSGRAU | SPORT | 15 | 0,0 | 99,9 | 62,0 | C | 1 | 1 |
| 30708O7B20C1IAA | AF | PERNNAPPA | ROTORGRAU/ANTHRAZIT | SPORT | 15 | 0,0 | 99,9 | 62,5 | C | 1 | 1 |
| 30708O7C20C1IAA | AF | PERNNAPPA | ROTORGRAU/ANTHRAZIT | SPORT | 15 | 0,0 | 99,9 | 63,0 | C | 1 | 1 |
| 30708S5B20C0CAA | AF | PN/ALCANTARA | FELSGRAU | SPORT | 10 | 0,0 | 99,9 | 63,5 | C | 1 | 1 |
| 30708S5C20C0CAA | AF | PN/ALCANTARA | FELSGRAU | SPORT | 10 | 0,0 | 100,0 | 64,0 | C | 1 | 1 |
| 30708Y7B20I2HAA | AF | TWIN | SOUL/ CRESCENDEROT | SPORT | 9 | 0,0 | 100,0 | 64,5 | C | 1 | 1 |
| 30708Y7C20I2HAA | AF | TWIN | SOUL/ CRESCENDEROT | SPORT | 9 | 0,0 | 100,0 | 65,0 | C | 1 | 1 |
| 30708V5C20I0HAA | AF | PN/TROPHY | SOUL/EXPRESSROT | SPORT | 6 | 0,0 | 100,0 | 65,5 | C | 1 | 1 |
| 30708V5B20I0HAA | AF | PN/TROPHY | SOUL/EXPRESSROT | SPORT | 5 | 0,0 | 100,0 | 66,0 | C | 1 | 1 |
| 30708G5B20T0TAA | AF | TWINLEDER | KASTANIENBRAUN | SPORT | 3 | 0,0 | 100,0 | 66,5 | C | 1 | 1 |
| 30708G5C20T0TAA | AF | TWINLEDER | KASTANIENBRAUN | SPORT | 3 | 0,0 | 100,0 | 67,0 | C | 1 | 1 |
| 30708G5C20C0CAA | AF | TWINLEDER | FELSGRAU | SPORT | 1 | 0,0 | 100,0 | 67,5 | C | 1 | 1 |
| 30708J5B00I0IAA | AF | MILANO | SOUL | BASIS | 0 | 0,0 | 100,0 | 68,0 | C | 0 | 0 |
| 30708J5C00I0IAA | AF | MILANO | SOUL | BASIS | 0 | 0,0 | 100,0 | 68,5 | C | 0 | 0 |
| 30708M5B00T0TAA | AF | TWINLEDER | KASTANIENBRAUN | BASIS | 0 | 0,0 | 100,0 | 69,0 | C | 0 | 0 |
| 30708M5C00T0TAA | AF | TWINLEDER | KASTANIENBRAUN | BASIS | 0 | 0,0 | 100,0 | 69,5 | C | 0 | 0 |
| 30708M5B00I0IAA | AF | TWINLEDER | SOUL | BASIS | 0 | 0,0 | 100,0 | 70,0 | C | 0 | 0 |
| 30708M5C00I0IAA | AF | TWINLEDER | SOUL | BASIS | 0 | 0,0 | 100,0 | 70,5 | C | 0 | 0 |

| | | | | | | | | | | | |
|-----------------|----|--------------|---------------------|-------|---|-----|-------|------|---|---|---|
| 30708M5B00C0CAA | AF | TWINLEDER | FELSGRAU | BASIS | 0 | 0,0 | 100,0 | 71,0 | C | 0 | 0 |
| 30708M5C00C0CAA | AF | TWINLEDER | FELSGRAU | BASIS | 0 | 0,0 | 100,0 | 71,5 | C | 0 | 0 |
| 30708A5B20I0FAA | AF | PN/PLENUM | SOUL/ADMIRALBLAU | SPORT | 0 | 0,0 | 100,0 | 72,0 | C | 0 | 0 |
| 30708A5C20I0FAA | AF | PN/PLENUM | SOUL/ADMIRALBLAU | SPORT | 0 | 0,0 | 100,0 | 72,5 | C | 0 | 0 |
| 30708B5B20T0TAA | AF | MILANO | KASTANIENBRAUN | SPORT | 0 | 0,0 | 100,0 | 73,0 | C | 0 | 0 |
| 30708B5C20T0TAA | AF | MILANO | KASTANIENBRAUN | SPORT | 0 | 0,0 | 100,0 | 73,5 | C | 0 | 0 |
| 30708B5B20I0IAA | AF | MILANO | SOUL | SPORT | 0 | 0,0 | 100,0 | 74,0 | C | 0 | 0 |
| 30708B5C20I0IAA | AF | MILANO | SOUL | SPORT | 0 | 0,0 | 100,0 | 74,5 | C | 0 | 0 |
| 30708B5B20C0CAA | AF | MILANO | FELSGRAU | SPORT | 0 | 0,0 | 100,0 | 75,0 | C | 0 | 0 |
| 30708B5C20C0CAA | AF | MILANO | FELSGRAU | SPORT | 0 | 0,0 | 100,0 | 75,5 | C | 0 | 0 |
| 30708C5B20T0TAA | AF | TWINLEDER | KASTANIENBRAUN | SPORT | 0 | 0,0 | 100,0 | 76,0 | C | 0 | 0 |
| 30708C5C20T0TAA | AF | TWINLEDER | KASTANIENBRAUN | SPORT | 0 | 0,0 | 100,0 | 76,5 | C | 0 | 0 |
| 30708C5B20I0IAA | AF | TWINLEDER | SOUL | SPORT | 0 | 0,0 | 100,0 | 77,0 | C | 0 | 0 |
| 30708C5C20I0IAA | AF | TWINLEDER | SOUL | SPORT | 0 | 0,0 | 100,0 | 77,5 | C | 0 | 0 |
| 30708C5B20C0CAA | AF | TWINLEDER | FELSGRAU | SPORT | 0 | 0,0 | 100,0 | 78,0 | C | 0 | 0 |
| 30708C5C20C0CAA | AF | TWINLEDER | FELSGRAU | SPORT | 0 | 0,0 | 100,0 | 78,5 | C | 0 | 0 |
| 30708C5B20H1IAA | AF | TWINLEDER | MAGMAROT/ANTHRASIT | SPORT | 0 | 0,0 | 100,0 | 79,0 | C | 0 | 0 |
| 30708C5C20H1IAA | AF | TWINLEDER | MAGMAROT/ANTHRASIT | SPORT | 0 | 0,0 | 100,0 | 79,5 | C | 0 | 0 |
| 30708C5B20I0CAA | AF | TWINLEDER | SOUL/FELSGRAU | SPORT | 0 | 0,0 | 100,0 | 80,0 | C | 0 | 0 |
| 30708C5C20I0CAA | AF | TWINLEDER | SOUL/FELSGRAU | SPORT | 0 | 0,0 | 100,0 | 80,5 | C | 0 | 0 |
| 30708C5B20C0IAA | AF | TWINLEDER | FELSGRAU/ANTHRASIT | SPORT | 0 | 0,0 | 100,0 | 81,0 | C | 0 | 0 |
| 30708C5C20C0IAA | AF | TWINLEDER | FELSGRAU/ANTHRASIT | SPORT | 0 | 0,0 | 100,0 | 81,5 | C | 0 | 0 |
| 30708C5B20I2HAA | AF | TWINLEDER | SOUL/CRESCENDOROT | SPORT | 0 | 0,0 | 100,0 | 82,0 | C | 0 | 0 |
| 30708C5C20I2HAA | AF | TWINLEDER | SOUL/CRESCENDOROT | SPORT | 0 | 0,0 | 100,0 | 82,5 | C | 0 | 0 |
| 30708E5B20I0IAA | AF | PN/ALCANTARA | SOUL | SPORT | 0 | 0,0 | 100,0 | 83,0 | C | 0 | 0 |
| 30708E5C20I0IAA | AF | PN/ALCANTARA | SOUL | SPORT | 0 | 0,0 | 100,0 | 83,5 | C | 0 | 0 |
| 30708E5B20C0CAA | AF | PN/ALCANTARA | FELSGRAU | SPORT | 0 | 0,0 | 100,0 | 84,0 | C | 0 | 0 |
| 30708E5C20C0CAA | AF | PN/ALCANTARA | FELSGRAU | SPORT | 0 | 0,0 | 100,0 | 84,5 | C | 0 | 0 |
| 30708K5B20I0HAA | AF | PN/TROPHY | SOUL/EXPRESSROT | SPORT | 0 | 0,0 | 100,0 | 85,0 | C | 0 | 0 |
| 30708K5C20I0HAA | AF | PN/TROPHY | SOUL/EXPRESSROT | SPORT | 0 | 0,0 | 100,0 | 85,5 | C | 0 | 0 |
| 30708N5B20I0CAA | AF | PN/SEQUENZ | SOUL/FELSGRAU | SPORT | 0 | 0,0 | 100,0 | 86,0 | C | 0 | 0 |
| 30708N5C20I0CAA | AF | PN/SEQUENZ | SOUL/FELSGRAU | SPORT | 0 | 0,0 | 100,0 | 86,5 | C | 0 | 0 |
| 30708O5B20C1IAA | AF | PN/FREQUENZ | ROTORGRAU/ANTHRASIT | SPORT | 0 | 0,0 | 100,0 | 87,0 | C | 0 | 0 |
| 30708O5C20C1IAA | AF | PN/FREQUENZ | ROTORGRAU/ANTHRASIT | SPORT | 0 | 0,0 | 100,0 | 87,5 | C | 0 | 0 |
| 30708O5B20I0CAA | AF | PN/FREQUENZ | SOUL/FELSGRAU | SPORT | 0 | 0,0 | 100,0 | 88,0 | C | 0 | 0 |
| 30708O5C20I0CAA | AF | PN/FREQUENZ | SOUL/FELSGRAU | SPORT | 0 | 0,0 | 100,0 | 88,5 | C | 0 | 0 |
| 30708I5B20C1IAA | AF | FEINNAPPA | ROTORGRAU/ANTHRASIT | SPORT | 0 | 0,0 | 100,0 | 89,0 | C | 0 | 0 |
| 30708I5C20C1IAA | AF | FEINNAPPA | ROTORGRAU/ANTHRASIT | SPORT | 0 | 0,0 | 100,0 | 89,5 | C | 0 | 0 |

| | | | | | | | | | | | |
|-----------------|----|-----------|----------------------|--------|---|-----|-------|-------|---|---|---|
| 30708I5B20I0CAA | AF | FEINNAPPA | SOUL/FELSGRAU | SPORT | 0 | 0,0 | 100,0 | 90,0 | C | 0 | 0 |
| 30708I5C20I0CAA | AF | FEINNAPPA | SOUL/FELSGRAU | SPORT | 0 | 0,0 | 100,0 | 90,5 | C | 0 | 0 |
| 30708I5B20I1HAA | AF | FEINNAPPA | SOUL/EXPRESSROT | SPORT | 0 | 0,0 | 100,0 | 91,0 | C | 0 | 0 |
| 30708I5C20I1HAA | AF | FEINNAPPA | SOUL/EXPRESSROT | SPORT | 0 | 0,0 | 100,0 | 91,5 | C | 0 | 0 |
| 30708I5B20I4TAA | AF | FEINNAPPA | SOUL/AMARETTO | SPORT | 0 | 0,0 | 100,0 | 92,0 | C | 0 | 0 |
| 30708I5C20I4TAA | AF | FEINNAPPA | SOUL/AMARETTO | SPORT | 0 | 0,0 | 100,0 | 92,5 | C | 0 | 0 |
| 30708D5B20I0FAA | AF | PN/PLENUM | SOUL/ADMIRALBLAU | SPORT | 0 | 0,0 | 100,0 | 93,0 | C | 0 | 0 |
| 30708D5C20I0FAA | AF | PN/PLENUM | SOUL/ADMIRALBLAU | SPORT | 0 | 0,0 | 100,0 | 93,5 | C | 0 | 0 |
| 30708G5B20C0CAA | AF | TWINLEDER | FELSGRAU | SPORT | 0 | 0,0 | 100,0 | 94,0 | C | 0 | 0 |
| 30708R5B20I4TAA | AF | FEINNAPPA | SOUL/AMARETTO | SPORT | 0 | 0,0 | 100,0 | 94,5 | C | 0 | 0 |
| 30708R5C20I4TAA | AF | FEINNAPPA | SOUL/AMARETTO | SPORT | 0 | 0,0 | 100,0 | 95,0 | C | 0 | 0 |
| 30708I5B20I2HAA | AF | FEINNAPPA | SOUL/CRESCENDOROT | SPORT | 0 | 0,0 | 100,0 | 95,5 | C | 0 | 0 |
| 30708I5C20I2HAA | AF | FEINNAPPA | SOUL/CRESCENDOROT | SPORT | 0 | 0,0 | 100,0 | 96,0 | C | 0 | 0 |
| 30708P5B40I1CAA | AF | FEINNAPPA | SOUL/FELSGRAU | SSPORT | 0 | 0,0 | 100,0 | 96,5 | C | 0 | 0 |
| 30708P5C40I1CAA | AF | FEINNAPPA | SOUL/FELSGRAU | SSPORT | 0 | 0,0 | 100,0 | 97,0 | C | 0 | 0 |
| 30708P5B40I3HAA | AF | FEINNAPPA | SOUL/CRESCENDOROT | SSPORT | 0 | 0,0 | 100,0 | 97,5 | C | 0 | 0 |
| 30708P5C40I3HAA | AF | FEINNAPPA | SOUL/CRESCENDOROT | SSPORT | 0 | 0,0 | 100,0 | 98,0 | C | 0 | 0 |
| 30708P5B40C2IAA | AF | FEINNAPPA | MONDSILBER/ACHATGRAU | SSPORT | 0 | 0,0 | 100,0 | 98,5 | C | 0 | 0 |
| 30708P5C40C2IAA | AF | FEINNAPPA | MONDSILBER/ACHATGRAU | SSPORT | 0 | 0,0 | 100,0 | 99,0 | C | 0 | 0 |
| 30708Y7B20C0IAA | AF | TWIN | FELSGRAU/ ANTR | SPORT | 0 | 0,0 | 100,0 | 99,5 | C | 0 | 0 |
| 30708Y7C20C0IAA | AF | TWIN | FELSGRAU/ ANTR | SPORT | 0 | 0,0 | 100,0 | 100,0 | C | 0 | 0 |

Tabela 47 - Análise ABC assentos traseiros AB3 Couro

| | PN COINDU | Part | Variant | COLOR | TYPE | QTD | QTD % | Ac. QTD % | Ac. Art % | Classe | 38532 | 223 | 223 |
|----|-----------------|------|-----------|-------------------|--------|------|-------|-----------|-----------|--------|--------------|-----|-----|
| | | | | | | | | | | | Caixas Couro | | |
| 1 | 30708N2K30I0CAA | AT | PERNNAPPA | SOUL/FELSGRAU | SPORT | 8812 | 22,9 | 22,9 | 0,6 | A | 28 | | 28 |
| 2 | 30708L7K11I0IAA | AT | TWIN | SOUL | BASIS | 3148 | 8,2 | 31,0 | 1,3 | A | 10 | | 10 |
| 3 | 30708N7K30I0CAA | AT | PERNNAPPA | SOUL/ FELSGRAU | SPORT | 2782 | 7,2 | 38,3 | 1,9 | A | 10 | | 10 |
| 4 | 30708I2K30I0CAA | AT | FEINNAPPA | SOUL/FELSGRAU | SPORT | 1690 | 4,4 | 42,6 | 2,5 | B | 5 | | 5 |
| 5 | 30708P2K50I3HAA | AT | FEINNAPPA | SOUL/CRESCENDOROT | SSPORT | 1444 | 3,7 | 46,4 | 3,2 | B | 9 | | 9 |
| 6 | 30708P2K50I1CAA | AT | FEINNAPPA | SOUL/FELSGRAU | SSPORT | 1380 | 3,6 | 50,0 | 3,8 | B | 7 | | 7 |
| 7 | 30708C2K30I0IAA | AT | TWIN | SOUL | SPORT | 1158 | 3,0 | 53,0 | 4,5 | B | 5 | | 5 |
| 8 | 30708M2K10I0IAA | AT | TWIN | SOUL | BASIS | 1143 | 3,0 | 55,9 | 5,1 | B | 6 | | 6 |
| 9 | 30708O2K30I0CAA | AT | PERNNAPPA | SOUL/FELSGRAU | SPORT | 1092 | 2,8 | 58,8 | 5,7 | B | 4 | | 4 |
| 10 | 30708I7K30I0CAA | AT | FEINNAPPA | SOUL/ FELSGRAU | SPORT | 894 | 2,3 | 61,1 | 6,4 | C | 4 | | 4 |
| 11 | 30708B2K30I0IAA | AT | MILANO | SOUL | SPORT | 718 | 1,9 | 63,0 | 7,0 | C | 4 | | 4 |

| | | | | | | | | | | | | |
|----|-----------------|----|--------------|---------------------|--------|-----|-----|------|------|---|---|---|
| 12 | 30708L7K10I0IAA | AT | TWIN | SOUL | BASIS | 705 | 1,8 | 64,8 | 7,6 | C | 3 | 3 |
| 13 | 30708E2K30I0IAA | AT | PERNNAPPA | SOUL | SPORT | 686 | 1,8 | 66,6 | 8,3 | C | 3 | 3 |
| 14 | 30708P7K50I3HAA | AT | FEINNAPPA | SOUL/CRESCENDOROT | SSPORT | 632 | 1,6 | 68,2 | 8,9 | C | 3 | 3 |
| 15 | 30708P7K51I3HAA | AT | FEINNAPPA | SOUL/CRESCENDOROT | SSPORT | 617 | 1,6 | 69,8 | 9,6 | C | 5 | 5 |
| 16 | 30708L7K11C0CAA | AT | TWIN | FELSGRAU | BASIS | 607 | 1,6 | 71,4 | 10,2 | C | 2 | 2 |
| 17 | 30708Y7K30I0IAA | AT | TWIN | SOUL/ ANTR | SPORT | 591 | 1,5 | 72,9 | 10,8 | C | 3 | 3 |
| 18 | 30708P7K50I1CAA | AT | FEINNAPPA | SOUL/ FELSGRAU | SSPORT | 535 | 1,4 | 74,3 | 11,5 | C | 3 | 3 |
| 19 | 30708L7K11T0TAA | AT | TWIN | KASTANIENBRAUN | BASIS | 518 | 1,3 | 75,7 | 12,1 | C | 2 | 2 |
| 20 | 30708O7K30I0CAA | AT | PERNNAPPA | SOUL/ FELSGRAU | SPORT | 459 | 1,2 | 76,8 | 12,7 | C | 2 | 2 |
| 21 | 30708I2K30I2HAA | AT | FEINNAPPA | SOUL/CRESCENDOROT | SPORT | 452 | 1,2 | 78,0 | 13,4 | C | 2 | 2 |
| 22 | 30708C2K30T0TAA | AT | TWIN | KASTANIENBRAUN | SPORT | 431 | 1,1 | 79,1 | 14,0 | C | 4 | 4 |
| 23 | 30708P7K51I1CAA | AT | FEINNAPPA | SOUL/ FELSGRAU | SSPORT | 408 | 1,1 | 80,2 | 14,6 | C | 3 | 3 |
| 24 | 30708U5L20I0CAA | AT | PN/SEQUENZ | SOUL/FELSGRAU | SPORT | 380 | 1,0 | 81,2 | 15,3 | C | 4 | 4 |
| 25 | 30708U5M20I0CAA | AT | PN/SEQUENZ | SOUL/FELSGRAU | SPORT | 380 | 1,0 | 82,2 | 15,9 | C | 4 | 4 |
| 26 | 30708M2K10T0TAA | AT | TWIN | KASTANIENBRAUN | BASIS | 331 | 0,9 | 83,0 | 16,6 | C | 3 | 3 |
| 27 | 30708W5M00I0IAA | AT | TWINLEDER | SOUL | BASIS | 288 | 0,7 | 83,8 | 17,2 | C | 2 | 2 |
| 28 | 30708I7K30I2HAA | AT | FEINNAPPA | SOUL/CRESCENDOROT | SPORT | 276 | 0,7 | 84,5 | 17,8 | C | 1 | 1 |
| 29 | 30708W5L00I0IAA | AT | TWINLEDER | SOUL | BASIS | 264 | 0,7 | 85,2 | 18,5 | C | 2 | 2 |
| 30 | 30708M2K10C0CAA | AT | TWIN | FELSGRAU | BASIS | 254 | 0,7 | 85,8 | 19,1 | C | 3 | 3 |
| 31 | 30708C2K30C0CAA | AT | TWIN | FELSGRAU | SPORT | 231 | 0,6 | 86,4 | 19,7 | C | 2 | 2 |
| 32 | 30708T5L20I0CAA | AT | PN/FREQUENZ | SOUL/FELSGRAU | SPORT | 230 | 0,6 | 87,0 | 20,4 | C | 2 | 2 |
| 33 | 30708T5M20I0CAA | AT | PN/FREQUENZ | SOUL/FELSGRAU | SPORT | 230 | 0,6 | 87,6 | 21,0 | C | 2 | 2 |
| 34 | 30708E2K30C0CAA | AT | PERNNAPPA | FELSGRAU | SPORT | 228 | 0,6 | 88,2 | 21,7 | C | 2 | 2 |
| 35 | 30708O2K30C1IAA | AT | PERNNAPPA | ROTORGRAU/ANTHRAZIT | SPORT | 204 | 0,5 | 88,8 | 22,3 | C | 2 | 2 |
| 36 | 30708Y7K31I0CAA | AT | TWIN | SOUL/ FELSGRAU | SPORT | 203 | 0,5 | 89,3 | 22,9 | C | 1 | 1 |
| 37 | 30708R5L20I0CAA | AT | FEINNAPPA | SOUL/FELSGRAU | SPORT | 200 | 0,5 | 89,8 | 23,6 | C | 2 | 2 |
| 38 | 30708R5M20I0CAA | AT | FEINNAPPA | SOUL/FELSGRAU | SPORT | 200 | 0,5 | 90,3 | 24,2 | C | 2 | 2 |
| 39 | 30708Y7K31I0IAA | AT | TWIN | SOUL/ ANTR | SPORT | 198 | 0,5 | 90,8 | 24,8 | C | 1 | 1 |
| 40 | 30708K2K30I0HAA | AT | PERNNAPPA | SOUL/EXPRESSROT | SPORT | 168 | 0,4 | 91,3 | 25,5 | C | 1 | 1 |
| 41 | 30708P7K52I0CAA | AT | FEINNAPPA | SOUL/ FELSGRAU | SSPORT | 168 | 0,4 | 91,7 | 26,1 | C | 2 | 2 |
| 42 | 30708F5L20I0IAA | AT | MILANO | SOUL | SPORT | 160 | 0,4 | 92,1 | 26,8 | C | 1 | 1 |
| 43 | 30708I2K30I1HAA | AT | FEINNAPPA | SOUL/EXPRESSROT | SPORT | 160 | 0,4 | 92,5 | 27,4 | C | 1 | 1 |
| 44 | 30708F5M20I0IAA | AT | MILANO | SOUL | SPORT | 150 | 0,4 | 92,9 | 28,0 | C | 2 | 2 |
| 45 | 30708K7K30I0HAA | AT | PERNNAPPA | SOUL/ EXPRESSROT | SPORT | 146 | 0,4 | 93,3 | 28,7 | C | 1 | 1 |
| 46 | 30708S5L20I0IAA | AT | PN/ALCANTARA | SOUL | SPORT | 140 | 0,4 | 93,7 | 29,3 | C | 1 | 1 |
| 47 | 30708S5M20I0IAA | AT | PN/ALCANTARA | SOUL | SPORT | 140 | 0,4 | 94,0 | 29,9 | C | 1 | 1 |
| 48 | 30708B2K30T0TAA | AT | MILANO | KASTANIENBRAUN | SPORT | 136 | 0,4 | 94,4 | 30,6 | C | 2 | 2 |
| 49 | 30708B2K30C0CAA | AT | MILANO | FELSGRAU | SPORT | 134 | 0,3 | 94,7 | 31,2 | C | 1 | 1 |

| | | | | | | | | | | | | |
|----|-----------------|----|--------------|------------------------|--------|-----|-----|------|------|---|---|---|
| 50 | 30708J2K10I0IAA | AT | MILANO | SOUL | BASIS | 131 | 0,3 | 95,1 | 31,8 | C | 1 | 1 |
| 51 | 30708Y7K31H1IAA | AT | TWIN | MAGMAROT | SPORT | 128 | 0,3 | 95,4 | 32,5 | C | 1 | 1 |
| 52 | 30708W5L00C0CAA | AT | TWINLEDER | FELSGRAU | BASIS | 120 | 0,3 | 95,7 | 33,1 | C | 2 | 2 |
| 53 | 30708W5M00C0CAA | AT | TWINLEDER | FELSGRAU | BASIS | 120 | 0,3 | 96,0 | 33,8 | C | 1 | 1 |
| 54 | 30708E7K30I0IAA | AT | PERNNAPPA | SOUL | SPORT | 114 | 0,3 | 96,3 | 34,4 | C | 1 | 1 |
| 55 | 30708I7K30I1HAA | AT | FEINNAPPA | SOUL/ EXPRESSROT | SPORT | 107 | 0,3 | 96,6 | 35,0 | C | 1 | 1 |
| 56 | 30708W5L00T0TAA | AT | TWINLEDER | KASTANIENBRAUN | BASIS | 90 | 0,2 | 96,8 | 35,7 | C | 1 | 1 |
| 57 | 30708Y7K30T0TAA | AT | TWIN | KASTANIENBRAUN | SPORT | 89 | 0,2 | 97,1 | 36,3 | C | 1 | 1 |
| 58 | 30708W5M00T0TAA | AT | TWINLEDER | KASTANIENBRAUN | BASIS | 80 | 0,2 | 97,3 | 36,9 | C | 1 | 1 |
| 59 | 30708B7K30I0IAA | AT | MILANO | SOUL | SPORT | 80 | 0,2 | 97,5 | 37,6 | C | 1 | 1 |
| 60 | 30708L7K10T0TAA | AT | TWIN | KASTANIENBRAUN | BASIS | 72 | 0,2 | 97,7 | 38,2 | C | 1 | 1 |
| 61 | 30708I2K30C1IAA | AT | FEINNAPPA | ROTORGRAU/ANTHRAZIT | SPORT | 70 | 0,2 | 97,8 | 38,9 | C | 1 | 1 |
| 62 | 30708B7K30T0TAA | AT | MILANO | KASTANIENBRAUN | SPORT | 63 | 0,2 | 98,0 | 39,5 | C | 1 | 1 |
| 63 | 30708J7K10I0IAA | AT | MILANO | SOUL | SPORT | 62 | 0,2 | 98,2 | 40,1 | C | 1 | 1 |
| 64 | 30708G5L20I0IAA | AT | TWINLEDER | SOUL | SPORT | 50 | 0,1 | 98,3 | 40,8 | C | 1 | 1 |
| 65 | 30708T5L20C1IAA | AT | PN/FREQUENZ | ROTORGRAU/ANTHRAZIT | SPORT | 47 | 0,1 | 98,4 | 41,4 | C | 1 | 1 |
| 66 | 30708T5M20C1IAA | AT | PN/FREQUENZ | ROTORGRAU/ANTHRAZIT | SPORT | 47 | 0,1 | 98,5 | 42,0 | C | 1 | 1 |
| 67 | 30708P2K50C2IAA | AT | FEINNAPPA | MONDSILBER/GRANITGRAU | SSPORT | 42 | 0,1 | 98,7 | 42,7 | C | 1 | 1 |
| 68 | 30708Q5L00I0IAA | AT | MILANO | SOUL | BASIS | 40 | 0,1 | 98,8 | 43,3 | C | 1 | 1 |
| 69 | 30708Q5M00I0IAA | AT | MILANO | SOUL | BASIS | 40 | 0,1 | 98,9 | 43,9 | C | 1 | 1 |
| 70 | 30708G5M20I0IAA | AT | TWINLEDER | SOUL | SPORT | 40 | 0,1 | 99,0 | 44,6 | C | 1 | 1 |
| 71 | 30708Y7K30C0CAA | AT | TWIN | FELSGRAU | SPORT | 36 | 0,1 | 99,1 | 45,2 | C | 1 | 1 |
| 72 | 30708F5L20C0CAA | AT | MILANO | FELSGRAU | SPORT | 33 | 0,1 | 99,1 | 45,9 | C | 1 | 1 |
| 73 | 30708F5M20C0CAA | AT | MILANO | FELSGRAU | SPORT | 33 | 0,1 | 99,2 | 46,5 | C | 1 | 1 |
| 74 | 30708R5L20C1IAA | AT | FEINNAPPA | ROTORGRAU/ANTHRAZIT | SPORT | 32 | 0,1 | 99,3 | 47,1 | C | 1 | 1 |
| 75 | 30708R5M20C1IAA | AT | FEINNAPPA | ROTORGRAU/ANTHRAZIT | SPORT | 31 | 0,1 | 99,4 | 47,8 | C | 1 | 1 |
| 76 | 30708F5M20T0TAA | AT | MILANO | KASTANIENBRAUN | SPORT | 28 | 0,1 | 99,5 | 48,4 | C | 1 | 1 |
| 77 | 30708P7K52C1IAA | AT | FEINNAPPA | ROTORGRAU/ANTHRAZIT | SSPORT | 27 | 0,1 | 99,5 | 49,0 | C | 1 | 1 |
| 78 | 30708F5L20T0TAA | AT | MILANO | KASTANIENBRAUN | SPORT | 26 | 0,1 | 99,6 | 49,7 | C | 1 | 1 |
| 79 | 30708O7K30C1IAA | AT | PERNNAPPA | ROTORGRAU/ANTHRAZIT | SPORT | 16 | 0,0 | 99,6 | 50,3 | C | 1 | 1 |
| 80 | 30708I7K30C1IAA | AT | FEINNAPPA | ROTORGRAU/ANTHRAZIT | SPORT | 13 | 0,0 | 99,7 | 51,0 | C | 1 | 1 |
| 81 | 30708L7K10C0CAA | AT | TWIN | FELSGRAU | BASIS | 12 | 0,0 | 99,7 | 51,6 | C | 1 | 1 |
| 82 | 30708B7K30C0CAA | AT | MILANO | FELSGRAU | SPORT | 12 | 0,0 | 99,7 | 52,2 | C | 1 | 1 |
| 83 | 30708P7K50C2IAA | AT | FEINNAPPA | MONDSILBER/ GRANITGRAU | SSPORT | 12 | 0,0 | 99,8 | 52,9 | C | 1 | 1 |
| 84 | 30708Y7K31I2HAA | AT | TWIN | SOUL/ CRESCENDEROT | SPORT | 11 | 0,0 | 99,8 | 53,5 | C | 1 | 1 |
| 85 | 30708E7K30C0CAA | AT | PERNNAPPA | FELSGRAU | SPORT | 11 | 0,0 | 99,8 | 54,1 | C | 1 | 1 |
| 86 | 30708S5L20C0CAA | AT | PN/ALCANTARA | FELSGRAU | SPORT | 9 | 0,0 | 99,9 | 54,8 | C | 1 | 1 |
| 87 | 30708S5M20C0CAA | AT | PN/ALCANTARA | FELSGRAU | SPORT | 9 | 0,0 | 99,9 | 55,4 | C | 1 | 1 |

| | | | | | | | | | | | | |
|-----|-----------------|----|--------------|---------------------|--------|---|-----|-------|------|---|---|---|
| 88 | 30708Y7K31C0CAA | AT | TWIN | FELSGRAU | SPORT | 9 | 0,0 | 99,9 | 56,1 | C | 1 | 1 |
| 89 | 30708P7K52I0HAA | AT | FEINNAPPA | SOUL/ EXPRESSROT | SSPORT | 9 | 0,0 | 99,9 | 56,7 | C | 1 | 1 |
| 90 | 30708Y7K31T0TAA | AT | TWIN | KASTANIENBRAUN | SPORT | 8 | 0,0 | 99,9 | 57,3 | C | 1 | 1 |
| 91 | 30708V5L20I0HAA | AT | PN/TROPHY | SOUL/EXPRESSROT | SPORT | 5 | 0,0 | 100,0 | 58,0 | C | 1 | 1 |
| 92 | 30708V5M20I0HAA | AT | PN/TROPHY | SOUL/EXPRESSROT | SPORT | 5 | 0,0 | 100,0 | 58,6 | C | 1 | 1 |
| 93 | 30708G5L20T0TAA | AT | TWINLEDER | KASTANIENBRAUN | SPORT | 3 | 0,0 | 100,0 | 59,2 | C | 1 | 1 |
| 94 | 30708G5M20T0TAA | AT | TWINLEDER | KASTANIENBRAUN | SPORT | 3 | 0,0 | 100,0 | 59,9 | C | 1 | 1 |
| 95 | 30708G5L20C0CAA | AT | TWINLEDER | FELSGRAU | SPORT | 3 | 0,0 | 100,0 | 60,5 | C | 1 | 1 |
| 96 | 30708G5M20C0CAA | AT | TWINLEDER | FELSGRAU | SPORT | 3 | 0,0 | 100,0 | 61,1 | C | 1 | 1 |
| 97 | 30708J5K10I0IAA | AT | MILANO | SOUL | BASIS | 0 | 0,0 | 100,0 | 61,8 | C | 0 | 0 |
| 98 | 30708M5K10T0TAA | AT | TWINLEDER | KASTANIENBRAUN | BASIS | 0 | 0,0 | 100,0 | 62,4 | C | 0 | 0 |
| 99 | 30708M5K11T0TAA | AT | TWINLEDER | KASTANIENBRAUN | BASIS | 0 | 0,0 | 100,0 | 63,1 | C | 0 | 0 |
| 100 | 30708M5K10I0IAA | AT | TWINLEDER | SOUL | BASIS | 0 | 0,0 | 100,0 | 63,7 | C | 0 | 0 |
| 101 | 30708M5K11I0IAA | AT | TWINLEDER | SOUL | BASIS | 0 | 0,0 | 100,0 | 64,3 | C | 0 | 0 |
| 102 | 30708M5K10C0CAA | AT | TWINLEDER | FELSGRAU | BASIS | 0 | 0,0 | 100,0 | 65,0 | C | 0 | 0 |
| 103 | 30708M5K11C0CAA | AT | TWINLEDER | FELSGRAU | BASIS | 0 | 0,0 | 100,0 | 65,6 | C | 0 | 0 |
| 104 | 30708A5K30I0FAA | AT | PN/PLENUM | SOUL/ADMIRALBLAU | SPORT | 0 | 0,0 | 100,0 | 66,2 | C | 0 | 0 |
| 105 | 30708B5K30T0TAA | AT | MILANO | KASTANIENBRAUN | SPORT | 0 | 0,0 | 100,0 | 66,9 | C | 0 | 0 |
| 106 | 30708B5K30I0IAA | AT | MILANO | SOUL | SPORT | 0 | 0,0 | 100,0 | 67,5 | C | 0 | 0 |
| 107 | 30708B5K30C0CAA | AT | MILANO | FELSGRAU | SPORT | 0 | 0,0 | 100,0 | 68,2 | C | 0 | 0 |
| 108 | 30708C5K30T0TAA | AT | TWINLEDER | KASTANIENBRAUN | SPORT | 0 | 0,0 | 100,0 | 68,8 | C | 0 | 0 |
| 109 | 30708C5K31T0TAA | AT | TWINLEDER | KASTANIENBRAUN | SPORT | 0 | 0,0 | 100,0 | 69,4 | C | 0 | 0 |
| 110 | 30708C5K30I0IAA | AT | TWINLEDER | SOUL | SPORT | 0 | 0,0 | 100,0 | 70,1 | C | 0 | 0 |
| 111 | 30708C5K31I0IAA | AT | TWINLEDER | SOUL | SPORT | 0 | 0,0 | 100,0 | 70,7 | C | 0 | 0 |
| 112 | 30708C5K30C0CAA | AT | TWINLEDER | FELSGRAU | SPORT | 0 | 0,0 | 100,0 | 71,3 | C | 0 | 0 |
| 113 | 30708C5K31C0CAA | AT | TWINLEDER | FELSGRAU | SPORT | 0 | 0,0 | 100,0 | 72,0 | C | 0 | 0 |
| 114 | 30708C5K30H1IAA | AT | TWINLEDER | MAGMAROT/ANTHRASIT | SPORT | 0 | 0,0 | 100,0 | 72,6 | C | 0 | 0 |
| 115 | 30708C5K31H1IAA | AT | TWINLEDER | MAGMAROT/ANTHRASIT | SPORT | 0 | 0,0 | 100,0 | 73,2 | C | 0 | 0 |
| 116 | 30708C5K30I0CAA | AT | TWINLEDER | SOUL/FELSGRAU | SPORT | 0 | 0,0 | 100,0 | 73,9 | C | 0 | 0 |
| 117 | 30708C5K31I0CAA | AT | TWINLEDER | SOUL/FELSGRAU | SPORT | 0 | 0,0 | 100,0 | 74,5 | C | 0 | 0 |
| 118 | 30708C5K30C0IAA | AT | TWINLEDER | FELSGRAU/ANTHRASIT | SPORT | 0 | 0,0 | 100,0 | 75,2 | C | 0 | 0 |
| 119 | 30708C5K31C0IAA | AT | TWINLEDER | FELSGRAU/ANTHRASIT | SPORT | 0 | 0,0 | 100,0 | 75,8 | C | 0 | 0 |
| 120 | 30708C5K31I2HAA | AT | TWINLEDER | SOUL/CRESCENDOROT | SPORT | 0 | 0,0 | 100,0 | 76,4 | C | 0 | 0 |
| 121 | 30708E5K30I0IAA | AT | PN/ALCANTARA | SOUL | SPORT | 0 | 0,0 | 100,0 | 77,1 | C | 0 | 0 |
| 122 | 30708E5K30C0CAA | AT | PN/ALCANTARA | FELSGRAU | SPORT | 0 | 0,0 | 100,0 | 77,7 | C | 0 | 0 |
| 123 | 30708K5K30I0HAA | AT | PN/TROPHY | SOUL/EXPRESSROT | SPORT | 0 | 0,0 | 100,0 | 78,3 | C | 0 | 0 |
| 124 | 30708N5K30I0CAA | AT | PN/SEQUENZ | SOUL/FELSGRAU | SPORT | 0 | 0,0 | 100,0 | 79,0 | C | 0 | 0 |
| 125 | 30708O5K30C1IAA | AT | PN/FREQUENZ | ROTORGRAU/ANTHRASIT | SPORT | 0 | 0,0 | 100,0 | 79,6 | C | 0 | 0 |

| | | | | | | | | | | | | |
|-----|-----------------|----|-------------|------------------------|--------|---|-----|-------|-------|---|---|---|
| 126 | 30708O5K30I0CAA | AT | PN/FREQUENZ | SOUL/FELSGRAU | SPORT | 0 | 0,0 | 100,0 | 80,3 | C | 0 | 0 |
| 127 | 30708I5K30C1IAA | AT | FEINNAPPA | ROTORGRAU/ANTHRAZIT | SPORT | 0 | 0,0 | 100,0 | 80,9 | C | 0 | 0 |
| 128 | 30708I5K31C1IAA | AT | FEINNAPPA | ROTORGRAU/ANTHRAZIT | SPORT | 0 | 0,0 | 100,0 | 81,5 | C | 0 | 0 |
| 129 | 30708I5K30I0CAA | AT | FEINNAPPA | SOUL/FELSGRAU | SPORT | 0 | 0,0 | 100,0 | 82,2 | C | 0 | 0 |
| 130 | 30708P5K52I0CAA | AT | FEINNAPPA | SOUL/FELSGRAU | SPORT | 0 | 0,0 | 100,0 | 82,8 | C | 0 | 0 |
| 131 | 30708I5K30I1HAA | AT | FEINNAPPA | SOUL/EXPRESSROT | SPORT | 0 | 0,0 | 100,0 | 83,4 | C | 0 | 0 |
| 132 | 30708I5K31I1HAA | AT | FEINNAPPA | SOUL/EXPRESSROT | SPORT | 0 | 0,0 | 100,0 | 84,1 | C | 0 | 0 |
| 133 | 30708I5K30I4TAA | AT | FEINNAPPA | SOUL/AMARETTO | SPORT | 0 | 0,0 | 100,0 | 84,7 | C | 0 | 0 |
| 134 | 30708I5K31I4TAA | AT | FEINNAPPA | SOUL/AMARETTO | SPORT | 0 | 0,0 | 100,0 | 85,4 | C | 0 | 0 |
| 135 | 30708D5L20I0FAA | AT | PN/PLENUM | SOUL/ADMIRALBLAU | SPORT | 0 | 0,0 | 100,0 | 86,0 | C | 0 | 0 |
| 136 | 30708D5M20I0FAA | AT | PN/PLENUM | SOUL/ADMIRALBLAU | SPORT | 0 | 0,0 | 100,0 | 86,6 | C | 0 | 0 |
| 137 | 30708R5L20I1HAA | AT | FEINNAPPA | SOUL/EXPRESSROT | SPORT | 0 | 0,0 | 100,0 | 87,3 | C | 0 | 0 |
| 138 | 30708R5M20I1HAA | AT | FEINNAPPA | SOUL/EXPRESSROT | SPORT | 0 | 0,0 | 100,0 | 87,9 | C | 0 | 0 |
| 139 | 30708R5L20I4TAA | AT | FEINNAPPA | SOUL/AMARETTO | SPORT | 0 | 0,0 | 100,0 | 88,5 | C | 0 | 0 |
| 140 | 30708R5M20I4TAA | AT | FEINNAPPA | SOUL/AMARETTO | SPORT | 0 | 0,0 | 100,0 | 89,2 | C | 0 | 0 |
| 141 | 30708I5K30I2HAA | AT | FEINNAPPA | SOUL/CRESCENDOROT | SPORT | 0 | 0,0 | 100,0 | 89,8 | C | 0 | 0 |
| 142 | 30708P5K52C1IAA | AT | FEINNAPPA | ROTORGRAU/ANTHRAZIT | SSPORT | 0 | 0,0 | 100,0 | 90,4 | C | 0 | 0 |
| 143 | 30708P5K52I0HAA | AT | FEINNAPPA | SOUL/EXPRESSROT | SSPORT | 0 | 0,0 | 100,0 | 91,1 | C | 0 | 0 |
| 144 | 30708P5K50I1CAA | AT | FEINNAPPA | SOUL/FELSGRAU | SSPORT | 0 | 0,0 | 100,0 | 91,7 | C | 0 | 0 |
| 145 | 30708P5K51I1CAA | AT | FEINNAPPA | SOUL/FELSGRAU | SSPORT | 0 | 0,0 | 100,0 | 92,4 | C | 0 | 0 |
| 146 | 30708P5K50I3HAA | AT | FEINNAPPA | SOUL/CRESCENDOROT | SSPORT | 0 | 0,0 | 100,0 | 93,0 | C | 0 | 0 |
| 147 | 30708P5K51I3HAA | AT | FEINNAPPA | SOUL/CRESCENDOROT | SSPORT | 0 | 0,0 | 100,0 | 93,6 | C | 0 | 0 |
| 148 | 30708P5K50C2IAA | AT | FEINNAPPA | MONDSILBER/ACHATGRAU | SSPORT | 0 | 0,0 | 100,0 | 94,3 | C | 0 | 0 |
| 149 | 30708P5K51C2IAA | AT | FEINNAPPA | MONDSILBER/ACHATGRAU | SSPORT | 0 | 0,0 | 100,0 | 94,9 | C | 0 | 0 |
| 150 | 30708M2K11I0IAA | AT | TWIN | SOUL | BASIS | 0 | 0,0 | 100,0 | 95,5 | C | 0 | 0 |
| 151 | 30708M2K11T0TAA | AT | TWIN | KASTANIENBRAUN | BASIS | 0 | 0,0 | 100,0 | 96,2 | C | 0 | 0 |
| 152 | 30708M2K11C0CAA | AT | TWIN | FELSGRAU | BASIS | 0 | 0,0 | 100,0 | 96,8 | C | 0 | 0 |
| 153 | 30708C2K31I0IAA | AT | TWIN | SOUL | SPORT | 0 | 0,0 | 100,0 | 97,5 | C | 0 | 0 |
| 154 | 30708C2K31T0TAA | AT | TWIN | KASTANIENBRAUN | SPORT | 0 | 0,0 | 100,0 | 98,1 | C | 0 | 0 |
| 155 | 30708C2K31C0CAA | AT | TWIN | FELSGRAU | SPORT | 0 | 0,0 | 100,0 | 98,7 | C | 0 | 0 |
| 156 | 30708Y7K31C0IAA | AT | TWIN | FELSGRAU/ ANTR | SPORT | 0 | 0,0 | 100,0 | 99,4 | C | 0 | 0 |
| 157 | 30708P7K51C2IAA | AT | FEINNAPPA | MONDSILBER/ GRANITGRAU | SSPORT | 0 | 0,0 | 100,0 | 100,0 | C | 0 | 0 |

Tabela 48 - Análise ABC encostos da frente AB3 Couro

| | | | | | 74664 | | | | | 414 | 414 | |
|----|-----------------|------|-----------|-------------------|--------|------|-------|-----------|-----------|--------|--------------|---------------|
| | PN COINDU | Part | Variant | COLOR | TYPE | QTD | QTD % | Ac. QTD % | Ac. Art % | Classe | Caixas Couro | Caixas Tecido |
| 1 | 30708N2F32I0CAA | EF | PERNNAPPA | SOUL/FELSGRAU | SPORT | 8799 | 11,8 | 11,8 | 0,3 | A | 21 | 21 |
| 2 | 30708N2G32I0CAA | EF | PERNNAPPA | SOUL/FELSGRAU | SPORT | 8799 | 11,8 | 23,6 | 0,6 | A | 21 | 21 |
| 3 | 30708L7F10I0IAA | EF | TWIN | SOUL | BASIS | 4015 | 5,4 | 28,9 | 0,9 | A | 9 | 9 |
| 4 | 30708L7G10I0IAA | EF | TWIN | SOUL | BASIS | 4014 | 5,4 | 34,3 | 1,2 | A | 9 | 9 |
| 5 | 30708N7F32I0CAA | EF | PERNNAPPA | SOUL/ FELSGRAU | SPORT | 2851 | 3,8 | 38,1 | 1,5 | B | 6 | 6 |
| 6 | 30708N7G32I0CAA | EF | PERNNAPPA | SOUL/ FELSGRAU | SPORT | 2851 | 3,8 | 42,0 | 1,8 | B | 6 | 6 |
| 7 | 30708P2G58I3HAB | EF | FEINNAPPA | SOUL/CRESCENDOROT | SSPORT | 1451 | 1,9 | 43,9 | 2,1 | B | 12 | 12 |
| 8 | 30708P2F58I3HAB | EF | FEINNAPPA | SOUL/CRESCENDOROT | SSPORT | 1449 | 1,9 | 45,8 | 2,4 | B | 12 | 12 |
| 9 | 30708P2G58I1CAB | EF | FEINNAPPA | SOUL/FELSGRAU | SSPORT | 1380 | 1,8 | 47,7 | 2,7 | B | 10 | 10 |
| 10 | 30708P2F58I1CAB | EF | FEINNAPPA | SOUL/FELSGRAU | SSPORT | 1375 | 1,8 | 49,5 | 3,0 | B | 11 | 11 |
| 11 | 30708P7F58I3HAB | EF | FEINNAPPA | SOUL/CRESCENDOROT | SSPORT | 1319 | 1,8 | 51,3 | 3,3 | B | 7 | 7 |
| 12 | 30708P7G58I3HAB | EF | FEINNAPPA | SOUL/CRESCENDOROT | SSPORT | 1317 | 1,8 | 53,1 | 3,6 | B | 7 | 7 |
| 13 | 30708C2F30I0IAA | EF | TWIN | SOUL | SPORT | 1179 | 1,6 | 54,6 | 3,9 | B | 4 | 4 |
| 14 | 30708C2G30I0IAA | EF | TWIN | SOUL | SPORT | 1164 | 1,6 | 56,2 | 4,2 | B | 4 | 4 |
| 15 | 30708M2G10I0IAA | EF | TWIN | SOUL | BASIS | 1151 | 1,5 | 57,7 | 4,5 | B | 4 | 4 |
| 16 | 30708M2F10I0IAA | EF | TWIN | SOUL | BASIS | 1138 | 1,5 | 59,3 | 4,8 | B | 5 | 5 |
| 17 | 30708O2F32I0CAA | EF | PERNNAPPA | SOUL/FELSGRAU | SPORT | 1073 | 1,4 | 60,7 | 5,1 | B | 3 | 3 |
| 18 | 30708O2G32I0CAA | EF | PERNNAPPA | SOUL/FELSGRAU | SPORT | 1073 | 1,4 | 62,1 | 5,4 | B | 3 | 3 |
| 19 | 30708P7G58I1CAB | EF | FEINNAPPA | SOUL/ FELSGRAU | SSPORT | 982 | 1,3 | 63,5 | 5,7 | C | 5 | 5 |
| 20 | 30708P7F58I1CAB | EF | FEINNAPPA | SOUL/ FELSGRAU | SSPORT | 980 | 1,3 | 64,8 | 6,0 | C | 5 | 5 |
| 21 | 30708Y7F30I0IAA | EF | TWIN | SOUL/ ANTR | SPORT | 805 | 1,1 | 65,8 | 6,3 | C | 2 | 2 |
| 22 | 30708Y7G30I0IAA | EF | TWIN | SOUL/ ANTR | SPORT | 803 | 1,1 | 66,9 | 6,5 | C | 2 | 2 |
| 23 | 30708E2F30I0IAA | EF | PERNNAPPA | SOUL | SPORT | 709 | 0,9 | 67,9 | 6,8 | C | 3 | 3 |
| 24 | 30708E2G30I0IAA | EF | PERNNAPPA | SOUL | SPORT | 709 | 0,9 | 68,8 | 7,1 | C | 3 | 3 |
| 25 | 30708B2F30I0IAA | EF | MILANO | SOUL | SPORT | 705 | 0,9 | 69,8 | 7,4 | C | 3 | 3 |
| 26 | 30708B2G30I0IAA | EF | MILANO | SOUL | SPORT | 705 | 0,9 | 70,7 | 7,7 | C | 3 | 3 |
| 27 | 30708L7F10C0CAA | EF | TWIN | FELSGRAU | BASIS | 657 | 0,9 | 71,6 | 8,0 | C | 2 | 2 |
| 28 | 30708L7G10C0CAA | EF | TWIN | FELSGRAU | BASIS | 657 | 0,9 | 72,5 | 8,3 | C | 2 | 2 |
| 29 | 30708L7F10T0TAA | EF | TWIN | KASTANIENBRAUN | BASIS | 623 | 0,8 | 73,3 | 8,6 | C | 2 | 2 |
| 30 | 30708L7G10T0TAA | EF | TWIN | KASTANIENBRAUN | BASIS | 623 | 0,8 | 74,1 | 8,9 | C | 2 | 2 |
| 31 | 30708I2G32I0CAA | EF | FEINNAPPA | SOUL/FELSGRAU | SPORT | 600 | 0,8 | 74,9 | 9,2 | C | 2 | 2 |
| 32 | 30708I2F32I0CAA | EF | FEINNAPPA | SOUL/FELSGRAU | SPORT | 586 | 0,8 | 75,7 | 9,5 | C | 2 | 2 |

| | | | | | | | | | | | | |
|----|-----------------|----|------------|---------------------|--------|-----|-----|------|------|---|---|---|
| 33 | 30708P2F52I0CAA | EF | FEINNAPPA | SOUL/FELSGRAU | SSPORT | 556 | 0,7 | 76,5 | 9,8 | C | 5 | 5 |
| 34 | 30708P2G52I0CAA | EF | FEINNAPPA | SOUL/FELSGRAU | SSPORT | 554 | 0,7 | 77,2 | 10,1 | C | 5 | 5 |
| 35 | 30708I2F38I0CAB | EF | FEINNAPPA | SOUL/FELSGRAU | SPORT | 539 | 0,7 | 77,9 | 10,4 | C | 2 | 2 |
| 36 | 30708I2G38I0CAB | EF | FEINNAPPA | SOUL/FELSGRAU | SPORT | 539 | 0,7 | 78,7 | 10,7 | C | 2 | 2 |
| 37 | 30708P7G52I0CAA | EF | FEINNAPPA | SOUL/ FELSGRAU | SSPORT | 481 | 0,6 | 79,3 | 11,0 | C | 3 | 3 |
| 38 | 30708P7F52I0CAA | EF | FEINNAPPA | SOUL/ FELSGRAU | SSPORT | 480 | 0,6 | 79,9 | 11,3 | C | 3 | 3 |
| 39 | 30708O7F32I0CAA | EF | PERNNAPPA | SOUL/ FELSGRAU | SPORT | 473 | 0,6 | 80,6 | 11,6 | C | 2 | 2 |
| 40 | 30708O7G32I0CAA | EF | PERNNAPPA | SOUL/ FELSGRAU | SPORT | 473 | 0,6 | 81,2 | 11,9 | C | 2 | 2 |
| 41 | 30708I2F38I2HAB | EF | FEINNAPPA | SOUL/CRESCENDOROT | SPORT | 454 | 0,6 | 81,8 | 12,2 | C | 2 | 2 |
| 42 | 30708I2G38I2HAB | EF | FEINNAPPA | SOUL/CRESCENDOROT | SPORT | 454 | 0,6 | 82,4 | 12,5 | C | 2 | 2 |
| 43 | 30708C2F30T0TAA | EF | TWIN | KASTANIENBRAUN | SPORT | 438 | 0,6 | 83,0 | 12,8 | C | 3 | 3 |
| 44 | 30708C2G30T0TAA | EF | TWIN | KASTANIENBRAUN | SPORT | 438 | 0,6 | 83,6 | 13,1 | C | 3 | 3 |
| 45 | 30708I7F32I0CAA | EF | FEINNAPPA | SOUL/ FELSGRAU | SPORT | 354 | 0,5 | 84,1 | 13,4 | C | 2 | 2 |
| 46 | 30708I7G32I0CAA | EF | FEINNAPPA | SOUL/ FELSGRAU | SPORT | 354 | 0,5 | 84,6 | 13,7 | C | 2 | 2 |
| 47 | 30708M2G10T0TAA | EF | TWIN | KASTANIENBRAUN | BASIS | 340 | 0,5 | 85,0 | 14,0 | C | 2 | 2 |
| 48 | 30708M2F10T0TAA | EF | TWIN | KASTANIENBRAUN | BASIS | 339 | 0,5 | 85,5 | 14,3 | C | 2 | 2 |
| 49 | 30708I7F38I0CAB | EF | FEINNAPPA | SOUL/ FELSGRAU | SPORT | 299 | 0,4 | 85,9 | 14,6 | C | 1 | 1 |
| 50 | 30708I7G38I0CAB | EF | FEINNAPPA | SOUL/ FELSGRAU | SPORT | 299 | 0,4 | 86,3 | 14,9 | C | 1 | 1 |
| 51 | 30708I7F38I2HAB | EF | FEINNAPPA | SOUL/CRESCENDOROT | SPORT | 276 | 0,4 | 86,6 | 15,2 | C | 1 | 1 |
| 52 | 30708I7G38I2HAB | EF | FEINNAPPA | SOUL/CRESCENDOROT | SPORT | 276 | 0,4 | 87,0 | 15,5 | C | 1 | 1 |
| 53 | 30708U5F22I0CAA | EF | PN/SEQUENZ | SOUL/FELSGRAU | SPORT | 270 | 0,4 | 87,4 | 15,8 | C | 2 | 2 |
| 54 | 30708M2F10C0CAA | EF | TWIN | FELSGRAU | BASIS | 264 | 0,4 | 87,7 | 16,1 | C | 2 | 2 |
| 55 | 30708M2G10C0CAA | EF | TWIN | FELSGRAU | BASIS | 264 | 0,4 | 88,1 | 16,4 | C | 2 | 2 |
| 56 | 30708U5G22I0CAA | EF | PN/SEQUENZ | SOUL/FELSGRAU | SPORT | 260 | 0,3 | 88,4 | 16,7 | C | 1 | 1 |
| 57 | 30708W5F60I0IAA | EF | TWINLEDER | SOUL | BASIS | 250 | 0,3 | 88,8 | 17,0 | C | 2 | 2 |
| 58 | 30708W5G60I0IAA | EF | TWINLEDER | SOUL | BASIS | 250 | 0,3 | 89,1 | 17,3 | C | 2 | 2 |
| 59 | 30708C2F30C0CAA | EF | TWIN | FELSGRAU | SPORT | 235 | 0,3 | 89,4 | 17,6 | C | 2 | 2 |
| 60 | 30708C2G30C0CAA | EF | TWIN | FELSGRAU | SPORT | 234 | 0,3 | 89,7 | 17,9 | C | 2 | 2 |
| 61 | 30708E2F30C0CAA | EF | PERNNAPPA | FELSGRAU | SPORT | 228 | 0,3 | 90,0 | 18,2 | C | 2 | 2 |
| 62 | 30708E2G30C0CAA | EF | PERNNAPPA | FELSGRAU | SPORT | 228 | 0,3 | 90,3 | 18,5 | C | 2 | 2 |
| 63 | 30708O2F32C1IAA | EF | PERNNAPPA | ROTORGRAU/ANTHRAZIT | SPORT | 213 | 0,3 | 90,6 | 18,8 | C | 2 | 2 |
| 64 | 30708O2G32C1IAA | EF | PERNNAPPA | ROTORGRAU/ANTHRAZIT | SPORT | 213 | 0,3 | 90,9 | 19,0 | C | 2 | 2 |
| 65 | 30708Y7F32I0CAA | EF | TWIN | SOUL/ FELSGRAU | SPORT | 192 | 0,3 | 91,2 | 19,3 | C | 1 | 1 |
| 66 | 30708Y7G32I0CAA | EF | TWIN | SOUL/ FELSGRAU | SPORT | 189 | 0,3 | 91,4 | 19,6 | C | 1 | 1 |
| 67 | 30708K2F32I0HAA | EF | PERNNAPPA | SOUL/EXPRESSROT | SPORT | 174 | 0,2 | 91,6 | 19,9 | C | 1 | 1 |
| 68 | 30708K2G32I0HAA | EF | PERNNAPPA | SOUL/EXPRESSROT | SPORT | 174 | 0,2 | 91,9 | 20,2 | C | 1 | 1 |
| 69 | 30708K7F32I0HAA | EF | PERNNAPPA | SOUL/ EXPRESSROT | SPORT | 155 | 0,2 | 92,1 | 20,5 | C | 1 | 1 |
| 70 | 30708K7G32I0HAA | EF | PERNNAPPA | SOUL/ EXPRESSROT | SPORT | 155 | 0,2 | 92,3 | 20,8 | C | 1 | 1 |

| | | | | | | | | | | | | |
|-----|-----------------|----|--------------|------------------|--------|-----|-----|------|------|---|---|---|
| 71 | 30708B2F30T0TAA | EF | MILANO | KASTANIENBRAUN | SPORT | 146 | 0,2 | 92,5 | 21,1 | C | 1 | 1 |
| 72 | 30708B2G30T0TAA | EF | MILANO | KASTANIENBRAUN | SPORT | 146 | 0,2 | 92,7 | 21,4 | C | 1 | 1 |
| 73 | 30708J2G10I0IAA | EF | MILANO | SOUL | BASIS | 137 | 0,2 | 92,9 | 21,7 | C | 1 | 1 |
| 74 | 30708E7F30I0IAA | EF | PERNNAPPA | SOUL | SPORT | 135 | 0,2 | 93,0 | 22,0 | C | 1 | 1 |
| 75 | 30708E7G30I0IAA | EF | PERNNAPPA | SOUL | SPORT | 135 | 0,2 | 93,2 | 22,3 | C | 1 | 1 |
| 76 | 30708J2F10I0IAA | EF | MILANO | SOUL | BASIS | 134 | 0,2 | 93,4 | 22,6 | C | 1 | 1 |
| 77 | 30708Y7F32H1IAA | EF | TWIN | MAGMAROT | SPORT | 133 | 0,2 | 93,6 | 22,9 | C | 1 | 1 |
| 78 | 30708Y7G32H1IAA | EF | TWIN | MAGMAROT | SPORT | 133 | 0,2 | 93,8 | 23,2 | C | 1 | 1 |
| 79 | 30708B2F30C0CAA | EF | MILANO | FELSGRAU | SPORT | 131 | 0,2 | 93,9 | 23,5 | C | 1 | 1 |
| 80 | 30708B2G30C0CAA | EF | MILANO | FELSGRAU | SPORT | 131 | 0,2 | 94,1 | 23,8 | C | 1 | 1 |
| 81 | 30708W5G60C0CAA | EF | TWINLEDER | FELSGRAU | BASIS | 120 | 0,2 | 94,3 | 24,1 | C | 1 | 1 |
| 82 | 30708Y7F30T0TAA | EF | TWIN | KASTANIENBRAUN | SPORT | 117 | 0,2 | 94,4 | 24,4 | C | 1 | 1 |
| 83 | 30708Y7G30T0TAA | EF | TWIN | KASTANIENBRAUN | SPORT | 117 | 0,2 | 94,6 | 24,7 | C | 1 | 1 |
| 84 | 30708P7F52I0HAA | EF | FEINNAPPA | SOUL/ EXPRESSROT | SSPORT | 115 | 0,2 | 94,7 | 25,0 | C | 1 | 1 |
| 85 | 30708P7G52I0HAA | EF | FEINNAPPA | SOUL/ EXPRESSROT | SSPORT | 115 | 0,2 | 94,9 | 25,3 | C | 1 | 1 |
| 86 | 30708P2F52I0HAA | EF | FEINNAPPA | SOUL/EXPRESSROT | SSPORT | 111 | 0,1 | 95,0 | 25,6 | C | 2 | 2 |
| 87 | 30708T5F24I0CAA | EF | PN/FREQUENZ | SOUL/FELSGRAU | SPORT | 110 | 0,1 | 95,2 | 25,9 | C | 1 | 1 |
| 88 | 30708P2G52I0HAA | EF | FEINNAPPA | SOUL/EXPRESSROT | SSPORT | 109 | 0,1 | 95,3 | 26,2 | C | 1 | 1 |
| 89 | 30708W5F60C0CAA | EF | TWINLEDER | FELSGRAU | BASIS | 100 | 0,1 | 95,5 | 26,5 | C | 1 | 1 |
| 90 | 30708T5G24I0CAA | EF | PN/FREQUENZ | SOUL/FELSGRAU | SPORT | 100 | 0,1 | 95,6 | 26,8 | C | 1 | 1 |
| 91 | 30708F5F20I0IAA | EF | MILANO | SOUL | SPORT | 90 | 0,1 | 95,7 | 27,1 | C | 1 | 1 |
| 92 | 30708S5G20I0IAA | EF | PN/ALCANTARA | SOUL | SPORT | 90 | 0,1 | 95,8 | 27,4 | C | 1 | 1 |
| 93 | 30708U5F24I0CAA | EF | PN/SEQUENZ | SOUL/FELSGRAU | SPORT | 90 | 0,1 | 96,0 | 27,7 | C | 1 | 1 |
| 94 | 30708U5G24I0CAA | EF | PN/SEQUENZ | SOUL/FELSGRAU | SPORT | 90 | 0,1 | 96,1 | 28,0 | C | 1 | 1 |
| 95 | 30708B7F30I0IAA | EF | MILANO | SOUL | SPORT | 83 | 0,1 | 96,2 | 28,3 | C | 1 | 1 |
| 96 | 30708B7G30I0IAA | EF | MILANO | SOUL | SPORT | 83 | 0,1 | 96,3 | 28,6 | C | 1 | 1 |
| 97 | 30708W5G60T0TAA | EF | TWINLEDER | KASTANIENBRAUN | BASIS | 80 | 0,1 | 96,4 | 28,9 | C | 1 | 1 |
| 98 | 30708F5G20I0IAA | EF | MILANO | SOUL | SPORT | 80 | 0,1 | 96,5 | 29,2 | C | 1 | 1 |
| 99 | 30708R5F22I0CAA | EF | FEINNAPPA | SOUL/FELSGRAU | SPORT | 80 | 0,1 | 96,6 | 29,5 | C | 1 | 1 |
| 100 | 30708S5F20I0IAA | EF | PN/ALCANTARA | SOUL | SPORT | 80 | 0,1 | 96,7 | 29,8 | C | 1 | 1 |
| 101 | 30708R5G22I0CAA | EF | FEINNAPPA | SOUL/FELSGRAU | SPORT | 78 | 0,1 | 96,8 | 30,1 | C | 1 | 1 |
| 102 | 30708Y7F30C0CAA | EF | TWIN | FELSGRAU | SPORT | 71 | 0,1 | 96,9 | 30,4 | C | 1 | 1 |
| 103 | 30708W5F60T0TAA | EF | TWINLEDER | KASTANIENBRAUN | BASIS | 70 | 0,1 | 97,0 | 30,7 | C | 1 | 1 |
| 104 | 30708T5F22I0CAA | EF | PN/FREQUENZ | SOUL/FELSGRAU | SPORT | 70 | 0,1 | 97,1 | 31,0 | C | 1 | 1 |
| 105 | 30708T5G22I0CAA | EF | PN/FREQUENZ | SOUL/FELSGRAU | SPORT | 70 | 0,1 | 97,2 | 31,3 | C | 1 | 1 |
| 106 | 30708Y7G30C0CAA | EF | TWIN | FELSGRAU | SPORT | 70 | 0,1 | 97,3 | 31,5 | C | 1 | 1 |
| 107 | 30708B7F30T0TAA | EF | MILANO | KASTANIENBRAUN | SPORT | 68 | 0,1 | 97,4 | 31,8 | C | 1 | 1 |
| 108 | 30708B7G30T0TAA | EF | MILANO | KASTANIENBRAUN | SPORT | 68 | 0,1 | 97,5 | 32,1 | C | 1 | 1 |

| | | | | | | | | | | | | |
|-----|-----------------|----|--------------|------------------------|--------|----|-----|------|------|---|---|---|
| 109 | 30708J7F10I0IAA | EF | MILANO | SOUL | SPORT | 68 | 0,1 | 97,6 | 32,4 | C | 1 | 1 |
| 110 | 30708J7G10I0IAA | EF | MILANO | SOUL | SPORT | 68 | 0,1 | 97,7 | 32,7 | C | 1 | 1 |
| 111 | 30708I2F35I1HAA | EF | FEINNAPPA | SOUL/EXPRESSROT | SPORT | 64 | 0,1 | 97,8 | 33,0 | C | 1 | 1 |
| 112 | 30708I2G35I1HAA | EF | FEINNAPPA | SOUL/EXPRESSROT | SPORT | 64 | 0,1 | 97,8 | 33,3 | C | 1 | 1 |
| 113 | 30708F5F23I0IAA | EF | MILANO | SOUL | SPORT | 60 | 0,1 | 97,9 | 33,6 | C | 1 | 1 |
| 114 | 30708F5G23I0IAA | EF | MILANO | SOUL | SPORT | 60 | 0,1 | 98,0 | 33,9 | C | 1 | 1 |
| 115 | 30708G5G60I0IAA | EF | TWINLEDER | SOUL | SPORT | 50 | 0,1 | 98,1 | 34,2 | C | 1 | 1 |
| 116 | 30708X5G42I0CAA | EF | FEINNAPPA | SOUL/FELSGRAU | SSPORT | 50 | 0,1 | 98,1 | 34,5 | C | 1 | 1 |
| 117 | 30708P2F58C2IAB | EF | FEINNAPPA | MONDSILBER/GRANITGRAU | SSPORT | 50 | 0,1 | 98,2 | 34,8 | C | 1 | 1 |
| 118 | 30708P2G58C2IAB | EF | FEINNAPPA | MONDSILBER/GRANITGRAU | SSPORT | 47 | 0,1 | 98,3 | 35,1 | C | 1 | 1 |
| 119 | 30708I2F32C1IAA | EF | FEINNAPPA | ROTORGRAU/ANTHRASIT | SPORT | 45 | 0,1 | 98,3 | 35,4 | C | 1 | 1 |
| 120 | 30708I2G32C1IAA | EF | FEINNAPPA | ROTORGRAU/ANTHRASIT | SPORT | 45 | 0,1 | 98,4 | 35,7 | C | 1 | 1 |
| 121 | 30708Q5F00I0IAA | EF | MILANO | SOUL | BASIS | 40 | 0,1 | 98,4 | 36,0 | C | 1 | 1 |
| 122 | 30708Q5G00I0IAA | EF | MILANO | SOUL | BASIS | 40 | 0,1 | 98,5 | 36,3 | C | 1 | 1 |
| 123 | 30708G5F60I0IAA | EF | TWINLEDER | SOUL | SPORT | 40 | 0,1 | 98,6 | 36,6 | C | 1 | 1 |
| 124 | 30708S5F23I0IAA | EF | PN/ALCANTARA | SOUL | SPORT | 40 | 0,1 | 98,6 | 36,9 | C | 1 | 1 |
| 125 | 30708X5F42I0CAA | EF | FEINNAPPA | SOUL/FELSGRAU | SSPORT | 40 | 0,1 | 98,7 | 37,2 | C | 1 | 1 |
| 126 | 30708R5F24I0CAA | EF | FEINNAPPA | SOUL/FELSGRAU | SPORT | 37 | 0,0 | 98,7 | 37,5 | C | 1 | 1 |
| 127 | 30708P7F52C1IAA | EF | FEINNAPPA | ROTORGRAU/ANTHRASIT | SSPORT | 33 | 0,0 | 98,8 | 37,8 | C | 1 | 1 |
| 128 | 30708P7G52C1IAA | EF | FEINNAPPA | ROTORGRAU/ANTHRASIT | SSPORT | 33 | 0,0 | 98,8 | 38,1 | C | 1 | 1 |
| 129 | 30708R5G24I0CAA | EF | FEINNAPPA | SOUL/FELSGRAU | SPORT | 32 | 0,0 | 98,8 | 38,4 | C | 1 | 1 |
| 130 | 30708T5G64I0CAA | EF | PN/FREQUENZ | SOUL/FELSGRAU | SPORT | 32 | 0,0 | 98,9 | 38,7 | C | 1 | 1 |
| 131 | 30708S5G23I0IAA | EF | PN/ALCANTARA | SOUL | SPORT | 30 | 0,0 | 98,9 | 39,0 | C | 1 | 1 |
| 132 | 30708P2F52C1IAA | EF | FEINNAPPA | ROTORGRAU/ANTHRASIT | SSPORT | 29 | 0,0 | 99,0 | 39,3 | C | 1 | 1 |
| 133 | 30708P2G52C1IAA | EF | FEINNAPPA | ROTORGRAU/ANTHRASIT | SSPORT | 29 | 0,0 | 99,0 | 39,6 | C | 1 | 1 |
| 134 | 30708I7F35I1HAA | EF | FEINNAPPA | SOUL/ EXPRESSROT | SPORT | 28 | 0,0 | 99,0 | 39,9 | C | 1 | 1 |
| 135 | 30708I7G35I1HAA | EF | FEINNAPPA | SOUL/ EXPRESSROT | SPORT | 28 | 0,0 | 99,1 | 40,2 | C | 1 | 1 |
| 136 | 30708F5F20C0CAA | EF | MILANO | FELSGRAU | SPORT | 23 | 0,0 | 99,1 | 40,5 | C | 1 | 1 |
| 137 | 30708F5G20C0CAA | EF | MILANO | FELSGRAU | SPORT | 23 | 0,0 | 99,1 | 40,8 | C | 1 | 1 |
| 138 | 30708T5F22C1IAA | EF | PN/FREQUENZ | ROTORGRAU/ANTHRASIT | SPORT | 23 | 0,0 | 99,2 | 41,1 | C | 1 | 1 |
| 139 | 30708T5G22C1IAA | EF | PN/FREQUENZ | ROTORGRAU/ANTHRASIT | SPORT | 23 | 0,0 | 99,2 | 41,4 | C | 1 | 1 |
| 140 | 30708P7F58C2IAB | EF | FEINNAPPA | MONDSILBER/ GRANITGRAU | SSPORT | 22 | 0,0 | 99,2 | 41,7 | C | 1 | 1 |
| 141 | 30708P7G58C2IAB | EF | FEINNAPPA | MONDSILBER/ GRANITGRAU | SSPORT | 22 | 0,0 | 99,3 | 42,0 | C | 1 | 1 |
| 142 | 30708R5F22C1IAA | EF | FEINNAPPA | ROTORGRAU/ANTHRASIT | SPORT | 21 | 0,0 | 99,3 | 42,3 | C | 1 | 1 |
| 143 | 30708B7F30C0CAA | EF | MILANO | FELSGRAU | SPORT | 21 | 0,0 | 99,3 | 42,6 | C | 1 | 1 |
| 144 | 30708B7G30C0CAA | EF | MILANO | FELSGRAU | SPORT | 21 | 0,0 | 99,3 | 42,9 | C | 1 | 1 |
| 145 | 30708T5F64I0CAA | EF | PN/FREQUENZ | SOUL/FELSGRAU | SPORT | 20 | 0,0 | 99,4 | 43,2 | C | 1 | 1 |
| 146 | 30708R5G22C1IAA | EF | FEINNAPPA | ROTORGRAU/ANTHRASIT | SPORT | 19 | 0,0 | 99,4 | 43,5 | C | 1 | 1 |

| | | | | | | | | | | | | |
|-----|-----------------|----|--------------|---------------------|--------|----|-----|------|------|---|---|---|
| 147 | 30708F5F20T0TAA | EF | MILANO | KASTANIENBRAUN | SPORT | 18 | 0,0 | 99,4 | 43,8 | C | 1 | 1 |
| 148 | 30708X5G42I0HAA | EF | FEINNAPPA | SOUL/EXPRESSROT | SSPORT | 18 | 0,0 | 99,4 | 44,0 | C | 1 | 1 |
| 149 | 30708Y7G38I0CAA | EF | TWIN | SOUL/FELSGRAU | SPORT | 18 | 0,0 | 99,5 | 44,3 | C | 1 | 1 |
| 150 | 30708T5F24C1IAA | EF | PN/FREQUENZ | ROTORGRAU/ANTHRAZIT | SPORT | 17 | 0,0 | 99,5 | 44,6 | C | 1 | 1 |
| 151 | 30708I7F32C1IAA | EF | FEINNAPPA | ROTORGRAU/ANTHRAZIT | SPORT | 17 | 0,0 | 99,5 | 44,9 | C | 1 | 1 |
| 152 | 30708I7G32C1IAA | EF | FEINNAPPA | ROTORGRAU/ANTHRAZIT | SPORT | 17 | 0,0 | 99,5 | 45,2 | C | 1 | 1 |
| 153 | 30708T5G24C1IAA | EF | PN/FREQUENZ | ROTORGRAU/ANTHRAZIT | SPORT | 16 | 0,0 | 99,6 | 45,5 | C | 1 | 1 |
| 154 | 30708F5G20T0TAA | EF | MILANO | KASTANIENBRAUN | SPORT | 15 | 0,0 | 99,6 | 45,8 | C | 1 | 1 |
| 155 | 30708T5F62I0CAA | EF | PN/FREQUENZ | SOUL/FELSGRAU | SPORT | 15 | 0,0 | 99,6 | 46,1 | C | 1 | 1 |
| 156 | 30708T5G62I0CAA | EF | PN/FREQUENZ | SOUL/FELSGRAU | SPORT | 15 | 0,0 | 99,6 | 46,4 | C | 1 | 1 |
| 157 | 30708X5F42I0HAA | EF | FEINNAPPA | SOUL/EXPRESSROT | SSPORT | 15 | 0,0 | 99,6 | 46,7 | C | 1 | 1 |
| 158 | 30708Y7F38I0CAA | EF | TWIN | SOUL/FELSGRAU | SPORT | 15 | 0,0 | 99,7 | 47,0 | C | 1 | 1 |
| 159 | 30708E7F30C0CAA | EF | PERNNAPPA | FELSGRAU | SPORT | 15 | 0,0 | 99,7 | 47,3 | C | 1 | 1 |
| 160 | 30708E7G30C0CAA | EF | PERNNAPPA | FELSGRAU | SPORT | 15 | 0,0 | 99,7 | 47,6 | C | 1 | 1 |
| 161 | 30708O7F32C1IAA | EF | PERNNAPPA | ROTORGRAU/ANTHRAZIT | SPORT | 15 | 0,0 | 99,7 | 47,9 | C | 1 | 1 |
| 162 | 30708O7G32C1IAA | EF | PERNNAPPA | ROTORGRAU/ANTHRAZIT | SPORT | 15 | 0,0 | 99,7 | 48,2 | C | 1 | 1 |
| 163 | 30708R5G64I0CAA | EF | FEINNAPPA | SOUL/FELSGRAU | SPORT | 14 | 0,0 | 99,8 | 48,5 | C | 1 | 1 |
| 164 | 30708U5G62I0CAA | EF | PN/SEQUENZ | SOUL/FELSGRAU | SPORT | 11 | 0,0 | 99,8 | 48,8 | C | 1 | 1 |
| 165 | 30708F5G60I0IAA | EF | MILANO | SOUL | SPORT | 10 | 0,0 | 99,8 | 49,1 | C | 1 | 1 |
| 166 | 30708Y7F38I2HAA | EF | TWIN | SOUL/CRESCENDEROT | SPORT | 9 | 0,0 | 99,8 | 49,4 | C | 1 | 1 |
| 167 | 30708Y7G38I2HAA | EF | TWIN | SOUL/CRESCENDEROT | SPORT | 9 | 0,0 | 99,8 | 49,7 | C | 1 | 1 |
| 168 | 30708R5F64I0CAA | EF | FEINNAPPA | SOUL/FELSGRAU | SPORT | 8 | 0,0 | 99,8 | 50,0 | C | 1 | 1 |
| 169 | 30708F5F23C0CAA | EF | MILANO | FELSGRAU | SPORT | 7 | 0,0 | 99,8 | 50,3 | C | 1 | 1 |
| 170 | 30708U5F62I0CAA | EF | PN/SEQUENZ | SOUL/FELSGRAU | SPORT | 7 | 0,0 | 99,8 | 50,6 | C | 1 | 1 |
| 171 | 30708R5G24C1IAA | EF | FEINNAPPA | ROTORGRAU/ANTHRAZIT | SPORT | 6 | 0,0 | 99,8 | 50,9 | C | 1 | 1 |
| 172 | 30708S5F60I0IAA | EF | PN/ALCANTARA | SOUL | SPORT | 6 | 0,0 | 99,9 | 51,2 | C | 1 | 1 |
| 173 | 30708S5G60I0IAA | EF | PN/ALCANTARA | SOUL | SPORT | 6 | 0,0 | 99,9 | 51,5 | C | 1 | 1 |
| 174 | 30708F5F23T0TAA | EF | MILANO | KASTANIENBRAUN | SPORT | 5 | 0,0 | 99,9 | 51,8 | C | 1 | 1 |
| 175 | 30708S5F20C0CAA | EF | PN/ALCANTARA | FELSGRAU | SPORT | 5 | 0,0 | 99,9 | 52,1 | C | 1 | 1 |
| 176 | 30708T5G64C1IAA | EF | PN/FREQUENZ | ROTORGRAU/ANTHRAZIT | SPORT | 5 | 0,0 | 99,9 | 52,4 | C | 1 | 1 |
| 177 | 30708F5G23T0TAA | EF | MILANO | KASTANIENBRAUN | SPORT | 4 | 0,0 | 99,9 | 52,7 | C | 1 | 1 |
| 178 | 30708F5G63I0IAA | EF | MILANO | SOUL | SPORT | 4 | 0,0 | 99,9 | 53,0 | C | 1 | 1 |
| 179 | 30708F5G23C0CAA | EF | MILANO | FELSGRAU | SPORT | 4 | 0,0 | 99,9 | 53,3 | C | 1 | 1 |
| 180 | 30708S5G20C0CAA | EF | PN/ALCANTARA | FELSGRAU | SPORT | 4 | 0,0 | 99,9 | 53,6 | C | 1 | 1 |
| 181 | 30708X5G42C1IAA | EF | FEINNAPPA | ROTORGRAU/ANTHRAZIT | SSPORT | 4 | 0,0 | 99,9 | 53,9 | C | 1 | 1 |
| 182 | 30708G5F60T0TAA | EF | TWINLEDER | KASTANIENBRAUN | SPORT | 3 | 0,0 | 99,9 | 54,2 | C | 1 | 1 |
| 183 | 30708G5G60T0TAA | EF | TWINLEDER | KASTANIENBRAUN | SPORT | 3 | 0,0 | 99,9 | 54,5 | C | 1 | 1 |
| 184 | 30708G5G60C0CAA | EF | TWINLEDER | FELSGRAU | SPORT | 3 | 0,0 | 99,9 | 54,8 | C | 1 | 1 |

| | | | | | | | | | | | | |
|-----|-----------------|----|--------------|---------------------|--------|---|-----|-------|------|---|---|---|
| 185 | 30708R5F24C1IAA | EF | FEINNAPPA | ROTORGRAU/ANTHRAZIT | SPORT | 3 | 0,0 | 99,9 | 55,1 | C | 1 | 1 |
| 186 | 30708R5G62I0CAA | EF | FEINNAPPA | SOUL/FELSGRAU | SPORT | 3 | 0,0 | 99,9 | 55,4 | C | 1 | 1 |
| 187 | 30708S5F63I0IAA | EF | PN/ALCANTARA | SOUL | SPORT | 3 | 0,0 | 99,9 | 55,7 | C | 1 | 1 |
| 188 | 30708S5F23C0CAA | EF | PN/ALCANTARA | FELSGRAU | SPORT | 3 | 0,0 | 99,9 | 56,0 | C | 1 | 1 |
| 189 | 30708T5G62C1IAA | EF | PN/FREQUENZ | ROTORGRAU/ANTHRAZIT | SPORT | 3 | 0,0 | 99,9 | 56,3 | C | 1 | 1 |
| 190 | 30708Q5F03I0IAA | EF | MILANO | SOUL | BASIS | 2 | 0,0 | 99,9 | 56,5 | C | 1 | 1 |
| 191 | 30708Q5G03I0IAA | EF | MILANO | SOUL | BASIS | 2 | 0,0 | 99,9 | 56,8 | C | 1 | 1 |
| 192 | 30708F5F63T0TAA | EF | MILANO | KASTANIENBRAUN | SPORT | 2 | 0,0 | 99,9 | 57,1 | C | 1 | 1 |
| 193 | 30708F5G63T0TAA | EF | MILANO | KASTANIENBRAUN | SPORT | 2 | 0,0 | 100,0 | 57,4 | C | 1 | 1 |
| 194 | 30708F5F63I0IAA | EF | MILANO | SOUL | SPORT | 2 | 0,0 | 100,0 | 57,7 | C | 1 | 1 |
| 195 | 30708F5G63C0CAA | EF | MILANO | FELSGRAU | SPORT | 2 | 0,0 | 100,0 | 58,0 | C | 1 | 1 |
| 196 | 30708S5G23C0CAA | EF | PN/ALCANTARA | FELSGRAU | SPORT | 2 | 0,0 | 100,0 | 58,3 | C | 1 | 1 |
| 197 | 30708T5F62C1IAA | EF | PN/FREQUENZ | ROTORGRAU/ANTHRAZIT | SPORT | 2 | 0,0 | 100,0 | 58,6 | C | 1 | 1 |
| 198 | 30708T5F64C1IAA | EF | PN/FREQUENZ | ROTORGRAU/ANTHRAZIT | SPORT | 2 | 0,0 | 100,0 | 58,9 | C | 1 | 1 |
| 199 | 30708U5F64I0CAA | EF | PN/SEQUENZ | SOUL/FELSGRAU | SPORT | 2 | 0,0 | 100,0 | 59,2 | C | 1 | 1 |
| 200 | 30708U5G64I0CAA | EF | PN/SEQUENZ | SOUL/FELSGRAU | SPORT | 2 | 0,0 | 100,0 | 59,5 | C | 1 | 1 |
| 201 | 30708V5F22I0HAA | EF | PN/TROPHY | SOUL/EXPRESSROT | SPORT | 2 | 0,0 | 100,0 | 59,8 | C | 1 | 1 |
| 202 | 30708V5F24I0HAA | EF | PN/TROPHY | SOUL/EXPRESSROT | SPORT | 2 | 0,0 | 100,0 | 60,1 | C | 1 | 1 |
| 203 | 30708V5G24I0HAA | EF | PN/TROPHY | SOUL/EXPRESSROT | SPORT | 2 | 0,0 | 100,0 | 60,4 | C | 1 | 1 |
| 204 | 30708V5F64I0HAA | EF | PN/TROPHY | SOUL/EXPRESSROT | SPORT | 2 | 0,0 | 100,0 | 60,7 | C | 1 | 1 |
| 205 | 30708V5G64I0HAA | EF | PN/TROPHY | SOUL/EXPRESSROT | SPORT | 2 | 0,0 | 100,0 | 61,0 | C | 1 | 1 |
| 206 | 30708X5F42C1IAA | EF | FEINNAPPA | ROTORGRAU/ANTHRAZIT | SSPORT | 2 | 0,0 | 100,0 | 61,3 | C | 1 | 1 |
| 207 | 30708F5F60T0TAA | EF | MILANO | KASTANIENBRAUN | SPORT | 1 | 0,0 | 100,0 | 61,6 | C | 1 | 1 |
| 208 | 30708F5F60C0CAA | EF | MILANO | FELSGRAU | SPORT | 1 | 0,0 | 100,0 | 61,9 | C | 1 | 1 |
| 209 | 30708F5F63C0CAA | EF | MILANO | FELSGRAU | SPORT | 1 | 0,0 | 100,0 | 62,2 | C | 1 | 1 |
| 210 | 30708F5G60C0CAA | EF | MILANO | FELSGRAU | SPORT | 1 | 0,0 | 100,0 | 62,5 | C | 1 | 1 |
| 211 | 30708R5G64C1IAA | EF | FEINNAPPA | ROTORGRAU/ANTHRAZIT | SPORT | 1 | 0,0 | 100,0 | 62,8 | C | 1 | 1 |
| 212 | 30708R5F62I0CAA | EF | FEINNAPPA | SOUL/FELSGRAU | SPORT | 1 | 0,0 | 100,0 | 63,1 | C | 1 | 1 |
| 213 | 30708R5F67I1HAA | EF | FEINNAPPA | SOUL/EXPRESSROT | SPORT | 1 | 0,0 | 100,0 | 63,4 | C | 1 | 1 |
| 214 | 30708R5G65I1HAA | EF | FEINNAPPA | SOUL/EXPRESSROT | SPORT | 1 | 0,0 | 100,0 | 63,7 | C | 1 | 1 |
| 215 | 30708R5G67I1HAA | EF | FEINNAPPA | SOUL/EXPRESSROT | SPORT | 1 | 0,0 | 100,0 | 64,0 | C | 1 | 1 |
| 216 | 30708S5G63I0IAA | EF | PN/ALCANTARA | SOUL | SPORT | 1 | 0,0 | 100,0 | 64,3 | C | 1 | 1 |
| 217 | 30708J5F10I0IAA | EF | MILANO | SOUL | BASIS | 0 | 0,0 | 100,0 | 64,6 | C | 0 | 0 |
| 218 | 30708J5G10I0IAA | EF | MILANO | SOUL | BASIS | 0 | 0,0 | 100,0 | 64,9 | C | 0 | 0 |
| 219 | 30708M5F10T0TAA | EF | TWINLEDER | KASTANIENBRAUN | BASIS | 0 | 0,0 | 100,0 | 65,2 | C | 0 | 0 |
| 220 | 30708M5G10T0TAA | EF | TWINLEDER | KASTANIENBRAUN | BASIS | 0 | 0,0 | 100,0 | 65,5 | C | 0 | 0 |
| 221 | 30708M5F10I0IAA | EF | TWINLEDER | SOUL | BASIS | 0 | 0,0 | 100,0 | 65,8 | C | 0 | 0 |
| 222 | 30708M5G10I0IAA | EF | TWINLEDER | SOUL | BASIS | 0 | 0,0 | 100,0 | 66,1 | C | 0 | 0 |

| | | | | | | | | | | | | |
|-----|-----------------|----|--------------|--------------------|-------|---|-----|-------|------|---|---|---|
| 223 | 30708M5F10C0CAA | EF | TWINLEDER | FELSGRAU | BASIS | 0 | 0,0 | 100,0 | 66,4 | C | 0 | 0 |
| 224 | 30708M5G10C0CAA | EF | TWINLEDER | FELSGRAU | BASIS | 0 | 0,0 | 100,0 | 66,7 | C | 0 | 0 |
| 225 | 30708Q5F60I0IAA | EF | MILANO | SOUL | BASIS | 0 | 0,0 | 100,0 | 67,0 | C | 0 | 0 |
| 226 | 30708Q5G60I0IAA | EF | MILANO | SOUL | BASIS | 0 | 0,0 | 100,0 | 67,3 | C | 0 | 0 |
| 227 | 30708W5F00T0TAA | EF | TWINLEDER | KASTANIENBRAUN | BASIS | 0 | 0,0 | 100,0 | 67,6 | C | 0 | 0 |
| 228 | 30708W5G00T0TAA | EF | TWINLEDER | KASTANIENBRAUN | BASIS | 0 | 0,0 | 100,0 | 67,9 | C | 0 | 0 |
| 229 | 30708W5F00I0IAA | EF | TWINLEDER | SOUL | BASIS | 0 | 0,0 | 100,0 | 68,2 | C | 0 | 0 |
| 230 | 30708W5G00I0IAA | EF | TWINLEDER | SOUL | BASIS | 0 | 0,0 | 100,0 | 68,5 | C | 0 | 0 |
| 231 | 30708W5F00C0CAA | EF | TWINLEDER | FELSGRAU | BASIS | 0 | 0,0 | 100,0 | 68,8 | C | 0 | 0 |
| 232 | 30708W5G00C0CAA | EF | TWINLEDER | FELSGRAU | BASIS | 0 | 0,0 | 100,0 | 69,0 | C | 0 | 0 |
| 233 | 30708A5F30I0FAA | EF | PN/PLENUM | SOUL/ADMIRALBLAU | SPORT | 0 | 0,0 | 100,0 | 69,3 | C | 0 | 0 |
| 234 | 30708A5G30I0FAA | EF | PN/PLENUM | SOUL/ADMIRALBLAU | SPORT | 0 | 0,0 | 100,0 | 69,6 | C | 0 | 0 |
| 235 | 30708B5F30T0TAA | EF | MILANO | KASTANIENBRAUN | SPORT | 0 | 0,0 | 100,0 | 69,9 | C | 0 | 0 |
| 236 | 30708B5G30T0TAA | EF | MILANO | KASTANIENBRAUN | SPORT | 0 | 0,0 | 100,0 | 70,2 | C | 0 | 0 |
| 237 | 30708B5F30I0IAA | EF | MILANO | SOUL | SPORT | 0 | 0,0 | 100,0 | 70,5 | C | 0 | 0 |
| 238 | 30708B5G30I0IAA | EF | MILANO | SOUL | SPORT | 0 | 0,0 | 100,0 | 70,8 | C | 0 | 0 |
| 239 | 30708B5F30C0CAA | EF | MILANO | FELSGRAU | SPORT | 0 | 0,0 | 100,0 | 71,1 | C | 0 | 0 |
| 240 | 30708B5G30C0CAA | EF | MILANO | FELSGRAU | SPORT | 0 | 0,0 | 100,0 | 71,4 | C | 0 | 0 |
| 241 | 30708C5F30T0TAA | EF | TWINLEDER | KASTANIENBRAUN | SPORT | 0 | 0,0 | 100,0 | 71,7 | C | 0 | 0 |
| 242 | 30708C5G30T0TAA | EF | TWINLEDER | KASTANIENBRAUN | SPORT | 0 | 0,0 | 100,0 | 72,0 | C | 0 | 0 |
| 243 | 30708C5F30I0IAA | EF | TWINLEDER | SOUL | SPORT | 0 | 0,0 | 100,0 | 72,3 | C | 0 | 0 |
| 244 | 30708C5G30I0IAA | EF | TWINLEDER | SOUL | SPORT | 0 | 0,0 | 100,0 | 72,6 | C | 0 | 0 |
| 245 | 30708C5F30C0CAA | EF | TWINLEDER | FELSGRAU | SPORT | 0 | 0,0 | 100,0 | 72,9 | C | 0 | 0 |
| 246 | 30708C5G30C0CAA | EF | TWINLEDER | FELSGRAU | SPORT | 0 | 0,0 | 100,0 | 73,2 | C | 0 | 0 |
| 247 | 30708C5F32H1IAA | EF | TWINLEDER | MAGMAROT/ANTHRASIT | SPORT | 0 | 0,0 | 100,0 | 73,5 | C | 0 | 0 |
| 248 | 30708C5G32H1IAA | EF | TWINLEDER | MAGMAROT/ANTHRASIT | SPORT | 0 | 0,0 | 100,0 | 73,8 | C | 0 | 0 |
| 249 | 30708C5F32I0CAA | EF | TWINLEDER | SOUL/FELSGRAU | SPORT | 0 | 0,0 | 100,0 | 74,1 | C | 0 | 0 |
| 250 | 30708C5G32I0CAA | EF | TWINLEDER | SOUL/FELSGRAU | SPORT | 0 | 0,0 | 100,0 | 74,4 | C | 0 | 0 |
| 251 | 30708C5F32C0IAA | EF | TWINLEDER | FELSGRAU/ANTHRASIT | SPORT | 0 | 0,0 | 100,0 | 74,7 | C | 0 | 0 |
| 252 | 30708C5G32C0IAA | EF | TWINLEDER | FELSGRAU/ANTHRASIT | SPORT | 0 | 0,0 | 100,0 | 75,0 | C | 0 | 0 |
| 253 | 30708C5F32I2HAA | EF | TWINLEDER | SOUL/CRESCENDOROT | SPORT | 0 | 0,0 | 100,0 | 75,3 | C | 0 | 0 |
| 254 | 30708C5G32I2HAA | EF | TWINLEDER | SOUL/CRESCENDOROT | SPORT | 0 | 0,0 | 100,0 | 75,6 | C | 0 | 0 |
| 255 | 30708E5F30I0IAA | EF | PN/ALCANTARA | SOUL | SPORT | 0 | 0,0 | 100,0 | 75,9 | C | 0 | 0 |
| 256 | 30708E5G30I0IAA | EF | PN/ALCANTARA | SOUL | SPORT | 0 | 0,0 | 100,0 | 76,2 | C | 0 | 0 |
| 257 | 30708E5F30C0CAA | EF | PN/ALCANTARA | FELSGRAU | SPORT | 0 | 0,0 | 100,0 | 76,5 | C | 0 | 0 |
| 258 | 30708E5G30C0CAA | EF | PN/ALCANTARA | FELSGRAU | SPORT | 0 | 0,0 | 100,0 | 76,8 | C | 0 | 0 |
| 259 | 30708K5F32I0HAA | EF | PN/TROPHY | SOUL/EXPRESSROT | SPORT | 0 | 0,0 | 100,0 | 77,1 | C | 0 | 0 |
| 260 | 30708K5G32I0HAA | EF | PN/TROPHY | SOUL/EXPRESSROT | SPORT | 0 | 0,0 | 100,0 | 77,4 | C | 0 | 0 |

| | | | | | | | | | | | | |
|-----|-----------------|----|-------------|---------------------|-------|---|-----|-------|------|---|---|---|
| 261 | 30708N5F32I0CAA | EF | PN/SEQUENZ | SOUL/FELSGRAU | SPORT | 0 | 0,0 | 100,0 | 77,7 | C | 0 | 0 |
| 262 | 30708N5G32I0CAA | EF | PN/SEQUENZ | SOUL/FELSGRAU | SPORT | 0 | 0,0 | 100,0 | 78,0 | C | 0 | 0 |
| 263 | 30708O5F32C1IAA | EF | PN/FREQUENZ | ROTORGRAU/ANTHRAZIT | SPORT | 0 | 0,0 | 100,0 | 78,3 | C | 0 | 0 |
| 264 | 30708O5G32C1IAA | EF | PN/FREQUENZ | ROTORGRAU/ANTHRAZIT | SPORT | 0 | 0,0 | 100,0 | 78,6 | C | 0 | 0 |
| 265 | 30708O5F32I0CAA | EF | PN/FREQUENZ | SOUL/FELSGRAU | SPORT | 0 | 0,0 | 100,0 | 78,9 | C | 0 | 0 |
| 266 | 30708O5G32I0CAA | EF | PN/FREQUENZ | SOUL/FELSGRAU | SPORT | 0 | 0,0 | 100,0 | 79,2 | C | 0 | 0 |
| 267 | 30708I5F32C1IAA | EF | FEINNAPPA | ROTORGRAU/ANTHRAZIT | SPORT | 0 | 0,0 | 100,0 | 79,5 | C | 0 | 0 |
| 268 | 30708I5G32C1IAA | EF | FEINNAPPA | ROTORGRAU/ANTHRAZIT | SPORT | 0 | 0,0 | 100,0 | 79,8 | C | 0 | 0 |
| 269 | 30708I5F32I0CAA | EF | FEINNAPPA | SOUL/FELSGRAU | SPORT | 0 | 0,0 | 100,0 | 80,1 | C | 0 | 0 |
| 270 | 30708I5G32I0CAA | EF | FEINNAPPA | SOUL/FELSGRAU | SPORT | 0 | 0,0 | 100,0 | 80,4 | C | 0 | 0 |
| 271 | 30708I5F35I1HAA | EF | FEINNAPPA | SOUL/EXPRESSROT | SPORT | 0 | 0,0 | 100,0 | 80,7 | C | 0 | 0 |
| 272 | 30708I5G35I1HAA | EF | FEINNAPPA | SOUL/EXPRESSROT | SPORT | 0 | 0,0 | 100,0 | 81,0 | C | 0 | 0 |
| 273 | 30708I5F31I4TAA | EF | FEINNAPPA | SOUL/AMARETTO | SPORT | 0 | 0,0 | 100,0 | 81,3 | C | 0 | 0 |
| 274 | 30708I5G31I4TAA | EF | FEINNAPPA | SOUL/AMARETTO | SPORT | 0 | 0,0 | 100,0 | 81,5 | C | 0 | 0 |
| 275 | 30708D5F20I0FAA | EF | PN/PLENUM | SOUL/ADMIRALBLAU | SPORT | 0 | 0,0 | 100,0 | 81,8 | C | 0 | 0 |
| 276 | 30708D5F23I0FAA | EF | PN/PLENUM | SOUL/ADMIRALBLAU | SPORT | 0 | 0,0 | 100,0 | 82,1 | C | 0 | 0 |
| 277 | 30708D5G20I0FAA | EF | PN/PLENUM | SOUL/ADMIRALBLAU | SPORT | 0 | 0,0 | 100,0 | 82,4 | C | 0 | 0 |
| 278 | 30708D5G23I0FAA | EF | PN/PLENUM | SOUL/ADMIRALBLAU | SPORT | 0 | 0,0 | 100,0 | 82,7 | C | 0 | 0 |
| 279 | 30708D5F60I0FAA | EF | PN/PLENUM | SOUL/ADMIRALBLAU | SPORT | 0 | 0,0 | 100,0 | 83,0 | C | 0 | 0 |
| 280 | 30708D5F63I0FAA | EF | PN/PLENUM | SOUL/ADMIRALBLAU | SPORT | 0 | 0,0 | 100,0 | 83,3 | C | 0 | 0 |
| 281 | 30708D5G60I0FAA | EF | PN/PLENUM | SOUL/ADMIRALBLAU | SPORT | 0 | 0,0 | 100,0 | 83,6 | C | 0 | 0 |
| 282 | 30708D5G63I0FAA | EF | PN/PLENUM | SOUL/ADMIRALBLAU | SPORT | 0 | 0,0 | 100,0 | 83,9 | C | 0 | 0 |
| 283 | 30708F5G60T0TAA | EF | MILANO | KASTANIENBRAUN | SPORT | 0 | 0,0 | 100,0 | 84,2 | C | 0 | 0 |
| 284 | 30708F5F60I0IAA | EF | MILANO | SOUL | SPORT | 0 | 0,0 | 100,0 | 84,5 | C | 0 | 0 |
| 285 | 30708G5F20T0TAA | EF | TWINLEDER | KASTANIENBRAUN | SPORT | 0 | 0,0 | 100,0 | 84,8 | C | 0 | 0 |
| 286 | 30708G5G20T0TAA | EF | TWINLEDER | KASTANIENBRAUN | SPORT | 0 | 0,0 | 100,0 | 85,1 | C | 0 | 0 |
| 287 | 30708G5F20I0IAA | EF | TWINLEDER | SOUL | SPORT | 0 | 0,0 | 100,0 | 85,4 | C | 0 | 0 |
| 288 | 30708G5G20I0IAA | EF | TWINLEDER | SOUL | SPORT | 0 | 0,0 | 100,0 | 85,7 | C | 0 | 0 |
| 289 | 30708G5F20C0CAA | EF | TWINLEDER | FELSGRAU | SPORT | 0 | 0,0 | 100,0 | 86,0 | C | 0 | 0 |
| 290 | 30708G5G20C0CAA | EF | TWINLEDER | FELSGRAU | SPORT | 0 | 0,0 | 100,0 | 86,3 | C | 0 | 0 |
| 291 | 30708G5F60C0CAA | EF | TWINLEDER | FELSGRAU | SPORT | 0 | 0,0 | 100,0 | 86,6 | C | 0 | 0 |
| 292 | 30708R5F62C1IAA | EF | FEINNAPPA | ROTORGRAU/ANTHRAZIT | SPORT | 0 | 0,0 | 100,0 | 86,9 | C | 0 | 0 |
| 293 | 30708R5F64C1IAA | EF | FEINNAPPA | ROTORGRAU/ANTHRAZIT | SPORT | 0 | 0,0 | 100,0 | 87,2 | C | 0 | 0 |
| 294 | 30708R5G62C1IAA | EF | FEINNAPPA | ROTORGRAU/ANTHRAZIT | SPORT | 0 | 0,0 | 100,0 | 87,5 | C | 0 | 0 |
| 295 | 30708R5F25I1HAA | EF | FEINNAPPA | SOUL/EXPRESSROT | SPORT | 0 | 0,0 | 100,0 | 87,8 | C | 0 | 0 |
| 296 | 30708R5F27I1HAA | EF | FEINNAPPA | SOUL/EXPRESSROT | SPORT | 0 | 0,0 | 100,0 | 88,1 | C | 0 | 0 |
| 297 | 30708R5G25I1HAA | EF | FEINNAPPA | SOUL/EXPRESSROT | SPORT | 0 | 0,0 | 100,0 | 88,4 | C | 0 | 0 |
| 298 | 30708R5G27I1HAA | EF | FEINNAPPA | SOUL/EXPRESSROT | SPORT | 0 | 0,0 | 100,0 | 88,7 | C | 0 | 0 |

| | | | | | | | | | | | | |
|-----|-----------------|----|--------------|---------------------|--------|---|-----|-------|-------|---|---|---|
| 299 | 30708R5F65I1HAA | EF | FEINNAPPA | SOUL/EXPRESSROT | SPORT | 0 | 0,0 | 100,0 | 89,0 | C | 0 | 0 |
| 300 | 30708R5F21I4TAA | EF | FEINNAPPA | SOUL/AMARETTO | SPORT | 0 | 0,0 | 100,0 | 89,3 | C | 0 | 0 |
| 301 | 30708R5F26I4TAA | EF | FEINNAPPA | SOUL/AMARETTO | SPORT | 0 | 0,0 | 100,0 | 89,6 | C | 0 | 0 |
| 302 | 30708R5G21I4TAA | EF | FEINNAPPA | SOUL/AMARETTO | SPORT | 0 | 0,0 | 100,0 | 89,9 | C | 0 | 0 |
| 303 | 30708R5G26I4TAA | EF | FEINNAPPA | SOUL/AMARETTO | SPORT | 0 | 0,0 | 100,0 | 90,2 | C | 0 | 0 |
| 304 | 30708R5F61I4TAA | EF | FEINNAPPA | SOUL/AMARETTO | SPORT | 0 | 0,0 | 100,0 | 90,5 | C | 0 | 0 |
| 305 | 30708R5F66I4TAA | EF | FEINNAPPA | SOUL/AMARETTO | SPORT | 0 | 0,0 | 100,0 | 90,8 | C | 0 | 0 |
| 306 | 30708R5G61I4TAA | EF | FEINNAPPA | SOUL/AMARETTO | SPORT | 0 | 0,0 | 100,0 | 91,1 | C | 0 | 0 |
| 307 | 30708R5G66I4TAA | EF | FEINNAPPA | SOUL/AMARETTO | SPORT | 0 | 0,0 | 100,0 | 91,4 | C | 0 | 0 |
| 308 | 30708S5F60C0CAA | EF | PN/ALCANTARA | FELSGRAU | SPORT | 0 | 0,0 | 100,0 | 91,7 | C | 0 | 0 |
| 309 | 30708S5F63C0CAA | EF | PN/ALCANTARA | FELSGRAU | SPORT | 0 | 0,0 | 100,0 | 92,0 | C | 0 | 0 |
| 310 | 30708S5G60C0CAA | EF | PN/ALCANTARA | FELSGRAU | SPORT | 0 | 0,0 | 100,0 | 92,3 | C | 0 | 0 |
| 311 | 30708S5G63C0CAA | EF | PN/ALCANTARA | FELSGRAU | SPORT | 0 | 0,0 | 100,0 | 92,6 | C | 0 | 0 |
| 312 | 30708V5G22I0HAA | EF | PN/TROPHY | SOUL/EXPRESSROT | SPORT | 0 | 0,0 | 100,0 | 92,9 | C | 0 | 0 |
| 313 | 30708V5F62I0HAA | EF | PN/TROPHY | SOUL/EXPRESSROT | SPORT | 0 | 0,0 | 100,0 | 93,2 | C | 0 | 0 |
| 314 | 30708V5G62I0HAA | EF | PN/TROPHY | SOUL/EXPRESSROT | SPORT | 0 | 0,0 | 100,0 | 93,5 | C | 0 | 0 |
| 315 | 30708I5F38I2HAB | EF | FEINNAPPA | SOUL/CRESCENDOROT | SPORT | 0 | 0,0 | 100,0 | 93,8 | C | 0 | 0 |
| 316 | 30708I5G38I2HAB | EF | FEINNAPPA | SOUL/CRESCENDOROT | SPORT | 0 | 0,0 | 100,0 | 94,0 | C | 0 | 0 |
| 317 | 30708I5F38I0CAB | EF | FEINNAPPA | SOUL/FELSGRAU | SPORT | 0 | 0,0 | 100,0 | 94,3 | C | 0 | 0 |
| 318 | 30708I5G38I0CAB | EF | FEINNAPPA | SOUL/FELSGRAU | SPORT | 0 | 0,0 | 100,0 | 94,6 | C | 0 | 0 |
| 319 | 30708C5F38I0CAA | EF | TWINLEDER | SOUL/FELSGRAU | SPORT | 0 | 0,0 | 100,0 | 94,9 | C | 0 | 0 |
| 320 | 30708C5G38I0CAA | EF | TWINLEDER | SOUL/FELSGRAU | SPORT | 0 | 0,0 | 100,0 | 95,2 | C | 0 | 0 |
| 321 | 30708C5F38I2HAA | EF | TWINLEDER | SOUL/CRESCENDOROT | SPORT | 0 | 0,0 | 100,0 | 95,5 | C | 0 | 0 |
| 322 | 30708C5G38I2HAA | EF | TWINLEDER | SOUL/CRESCENDOROT | SPORT | 0 | 0,0 | 100,0 | 95,8 | C | 0 | 0 |
| 323 | 30708P5F52C1IAA | EF | FEINNAPPA | ROTORGRAU/ANTHRASIT | SSPORT | 0 | 0,0 | 100,0 | 96,1 | C | 0 | 0 |
| 324 | 30708P5G52C1IAA | EF | FEINNAPPA | ROTORGRAU/ANTHRASIT | SSPORT | 0 | 0,0 | 100,0 | 96,4 | C | 0 | 0 |
| 325 | 30708P5F52I0CAA | EF | FEINNAPPA | SOUL/FELSGRAU | SSPORT | 0 | 0,0 | 100,0 | 96,7 | C | 0 | 0 |
| 326 | 30708P5G52I0CAA | EF | FEINNAPPA | SOUL/FELSGRAU | SSPORT | 0 | 0,0 | 100,0 | 97,0 | C | 0 | 0 |
| 327 | 30708P5F52I0HAA | EF | FEINNAPPA | SOUL/EXPRESSROT | SSPORT | 0 | 0,0 | 100,0 | 97,3 | C | 0 | 0 |
| 328 | 30708P5G52I0HAA | EF | FEINNAPPA | SOUL/EXPRESSROT | SSPORT | 0 | 0,0 | 100,0 | 97,6 | C | 0 | 0 |
| 329 | 30708P5F58I1CAB | EF | FEINNAPPA | SOUL/FELSGRAU | SSPORT | 0 | 0,0 | 100,0 | 97,9 | C | 0 | 0 |
| 330 | 30708P5G58I1CAB | EF | FEINNAPPA | SOUL/FELSGRAU | SSPORT | 0 | 0,0 | 100,0 | 98,2 | C | 0 | 0 |
| 331 | 30708P5F58I3HAB | EF | FEINNAPPA | SOUL/CRESCENDOROT | SSPORT | 0 | 0,0 | 100,0 | 98,5 | C | 0 | 0 |
| 332 | 30708P5G58I3HAB | EF | FEINNAPPA | SOUL/CRESCENDOROT | SSPORT | 0 | 0,0 | 100,0 | 98,8 | C | 0 | 0 |
| 333 | 30708P5F58C2IAB | EF | FEINNAPPA | MONDSILBER/CHATGRAU | SSPORT | 0 | 0,0 | 100,0 | 99,1 | C | 0 | 0 |
| 334 | 30708P5G58C2IAB | EF | FEINNAPPA | MONDSILBER/CHATGRAU | SSPORT | 0 | 0,0 | 100,0 | 99,4 | C | 0 | 0 |
| 335 | 30708Y7F32C0IAA | EF | TWIN | FELSGRAU/ ANTR | SPORT | 0 | 0,0 | 100,0 | 99,7 | C | 0 | 0 |
| 336 | 30708Y7G32C0IAA | EF | TWIN | FELSGRAU/ ANTR | SPORT | 0 | 0,0 | 100,0 | 100,0 | C | 0 | 0 |

Tabela 49 - Análise ABC encostos traseiros AB3 Couro

| | | | | | | 74044 | | | | 377 | 377 | |
|----|-----------------|------|-----------|-------------------|--------|-------|-------|-----------|-----------|--------|--------------|---------------|
| | PN COINDU | Part | Variant | COLOR | TYPE | QTD | QTD % | Ac. QTD % | Ac. Art % | Classe | Caixas Couro | Caixas Tecido |
| 1 | 30708N2R20I0CAA | ET | PERNNAPPA | SOUL/FELSGRAU | SPORT | 8138 | 11,0 | 11,0 | 0,2 | A | 16 | 16 |
| 2 | 30708N2Q20I0CAA | ET | PERNNAPPA | SOUL/FELSGRAU | SPORT | 8137 | 11,0 | 22,0 | 0,4 | A | 16 | 16 |
| 3 | 30708L7R00I0IAA | ET | TWIN | SOUL | BASIS | 4022 | 5,4 | 27,4 | 0,7 | A | 7 | 7 |
| 4 | 30708L7Q05I0IAA | ET | TWIN | SOUL | BASIS | 3062 | 4,1 | 31,5 | 0,9 | A | 6 | 6 |
| 5 | 30708N7Q20I0CAA | ET | PERNNAPPA | SOUL/ FELSGRAU | SPORT | 2717 | 3,7 | 35,2 | 1,1 | B | 5 | 5 |
| 6 | 30708N7R20I0CAA | ET | PERNNAPPA | SOUL/ FELSGRAU | SPORT | 2717 | 3,7 | 38,9 | 1,3 | B | 5 | 5 |
| 7 | 30708C2Q20I0IAA | ET | TWIN | SOUL | SPORT | 1134 | 1,5 | 40,4 | 1,6 | B | 3 | 3 |
| 8 | 30708M2R00I0IAA | ET | TWIN | SOUL | BASIS | 1128 | 1,5 | 41,9 | 1,8 | B | 4 | 4 |
| 9 | 30708M2Q00I0IAA | ET | TWIN | SOUL | BASIS | 1126 | 1,5 | 43,5 | 2,0 | B | 4 | 4 |
| 10 | 30708C2R20I0IAA | ET | TWIN | SOUL | SPORT | 1124 | 1,5 | 45,0 | 2,2 | B | 3 | 3 |
| 11 | 30708P7R44I3HAA | ET | FEINNAPPA | SOUL/CRESCENDOROT | SSPORT | 1004 | 1,4 | 46,3 | 2,4 | B | 4 | 4 |
| 12 | 30708L7Q00I0IAA | ET | TWIN | SOUL | BASIS | 959 | 1,3 | 47,6 | 2,7 | C | 2 | 2 |
| 13 | 30708P2Q44I3HAA | ET | FEINNAPPA | SOUL/CRESCENDOROT | SSPORT | 854 | 1,2 | 48,8 | 2,9 | C | 5 | 5 |
| 14 | 30708P2R44I3HAA | ET | FEINNAPPA | SOUL/CRESCENDOROT | SSPORT | 854 | 1,2 | 49,9 | 3,1 | C | 5 | 5 |
| 15 | 30708I2R20I0CAA | ET | FEINNAPPA | SOUL/FELSGRAU | SPORT | 821 | 1,1 | 51,0 | 3,3 | C | 2 | 2 |
| 16 | 30708I2Q20I0CAA | ET | FEINNAPPA | SOUL/FELSGRAU | SPORT | 820 | 1,1 | 52,2 | 3,6 | C | 2 | 2 |
| 17 | 30708Y7R20I0IAA | ET | TWIN | SOUL/ ANTR | SPORT | 790 | 1,1 | 53,2 | 3,8 | C | 2 | 2 |
| 18 | 30708P2Q44I1CAA | ET | FEINNAPPA | SOUL/FELSGRAU | SSPORT | 776 | 1,0 | 54,3 | 4,0 | C | 5 | 5 |
| 19 | 30708P2R44I1CAA | ET | FEINNAPPA | SOUL/FELSGRAU | SSPORT | 776 | 1,0 | 55,3 | 4,2 | C | 5 | 5 |
| 20 | 30708P7R44I1CAA | ET | FEINNAPPA | SOUL/ FELSGRAU | SSPORT | 717 | 1,0 | 56,3 | 4,5 | C | 3 | 3 |
| 21 | 30708O2Q20I0CAA | ET | PERNNAPPA | SOUL/FELSGRAU | SPORT | 709 | 1,0 | 57,2 | 4,7 | C | 2 | 2 |
| 22 | 30708O2R20I0CAA | ET | PERNNAPPA | SOUL/FELSGRAU | SPORT | 709 | 1,0 | 58,2 | 4,9 | C | 2 | 2 |
| 23 | 30708L7R00C0CAA | ET | TWIN | FELSGRAU | BASIS | 650 | 0,9 | 59,1 | 5,1 | C | 2 | 2 |
| 24 | 30708N2H00I0CAC | ET | PERNNAPPA | SOUL/FELSGRAU | SPORT | 648 | 0,9 | 60,0 | 5,3 | C | 2 | 2 |
| 25 | 30708N2H02I0CAC | ET | PERNNAPPA | SOUL/FELSGRAU | SPORT | 648 | 0,9 | 60,8 | 5,6 | C | 2 | 2 |
| 26 | 30708P7Q47I3HAA | ET | FEINNAPPA | SOUL/CRESCENDOROT | SSPORT | 629 | 0,8 | 61,7 | 5,8 | C | 4 | 4 |
| 27 | 30708L7R00T0TAA | ET | TWIN | KASTANIENBRAUN | BASIS | 618 | 0,8 | 62,5 | 6,0 | C | 2 | 2 |
| 28 | 30708P2H03I3HAC | ET | FEINNAPPA | SOUL/CRESCENDOROT | SSPORT | 606 | 0,8 | 63,3 | 6,2 | C | 4 | 4 |
| 29 | 30708P2H01I1CAC | ET | FEINNAPPA | SOUL/FELSGRAU | SSPORT | 592 | 0,8 | 64,1 | 6,5 | C | 3 | 3 |
| 30 | 30708P2H03I1CAC | ET | FEINNAPPA | SOUL/FELSGRAU | SSPORT | 592 | 0,8 | 64,9 | 6,7 | C | 3 | 3 |
| 31 | 30708Y7Q20I0IAA | ET | TWIN | SOUL/ ANTR | SPORT | 590 | 0,8 | 65,7 | 6,9 | C | 2 | 2 |

| | | | | | | | | | | | | |
|----|-----------------|----|------------|-------------------|--------|-----|-----|------|------|---|---|---|
| 32 | 30708P2H01I3HAC | ET | FEINNAPPA | SOUL/CRESCENDOROT | SSPORT | 584 | 0,8 | 66,5 | 7,1 | C | 3 | 3 |
| 33 | 30708E2Q20I0IAA | ET | PERNNAPPA | SOUL | SPORT | 582 | 0,8 | 67,3 | 7,3 | C | 2 | 2 |
| 34 | 30708E2R20I0IAA | ET | PERNNAPPA | SOUL | SPORT | 582 | 0,8 | 68,1 | 7,6 | C | 2 | 2 |
| 35 | 30708B2Q20I0IAA | ET | MILANO | SOUL | SPORT | 502 | 0,7 | 68,8 | 7,8 | C | 2 | 2 |
| 36 | 30708B2R20I0IAA | ET | MILANO | SOUL | SPORT | 502 | 0,7 | 69,4 | 8,0 | C | 2 | 2 |
| 37 | 30708L7Q05C0CAA | ET | TWIN | FELSGRAU | BASIS | 459 | 0,6 | 70,1 | 8,2 | C | 1 | 1 |
| 38 | 30708I7R20I0CAA | ET | FEINNAPPA | SOUL/ FELSGRAU | SPORT | 458 | 0,6 | 70,7 | 8,5 | C | 1 | 1 |
| 39 | 30708I7Q20I0CAA | ET | FEINNAPPA | SOUL/ FELSGRAU | SPORT | 456 | 0,6 | 71,3 | 8,7 | C | 1 | 1 |
| 40 | 30708L7Q05T0TAA | ET | TWIN | KASTANIENBRAUN | BASIS | 444 | 0,6 | 71,9 | 8,9 | C | 1 | 1 |
| 41 | 30708P7R40I0CAA | ET | FEINNAPPA | SOUL/ FELSGRAU | SSPORT | 437 | 0,6 | 72,5 | 9,1 | C | 2 | 2 |
| 42 | 30708C2Q20T0TAA | ET | TWIN | KASTANIENBRAUN | SPORT | 404 | 0,5 | 73,0 | 9,4 | C | 2 | 2 |
| 43 | 30708P2Q40I0CAA | ET | FEINNAPPA | SOUL/FELSGRAU | SSPORT | 403 | 0,5 | 73,6 | 9,6 | C | 2 | 2 |
| 44 | 30708C2R20T0TAA | ET | TWIN | KASTANIENBRAUN | SPORT | 398 | 0,5 | 74,1 | 9,8 | C | 2 | 2 |
| 45 | 30708O7Q20I0CAA | ET | PERNNAPPA | SOUL/ FELSGRAU | SPORT | 396 | 0,5 | 74,7 | 10,0 | C | 1 | 1 |
| 46 | 30708O7R20I0CAA | ET | PERNNAPPA | SOUL/ FELSGRAU | SPORT | 396 | 0,5 | 75,2 | 10,2 | C | 1 | 1 |
| 47 | 30708P7Q47I1CAA | ET | FEINNAPPA | SOUL/ FELSGRAU | SSPORT | 392 | 0,5 | 75,7 | 10,5 | C | 3 | 3 |
| 48 | 30708U5Q22I0CAA | ET | PN/SEQUENZ | SOUL/FELSGRAU | SPORT | 390 | 0,5 | 76,2 | 10,7 | C | 2 | 2 |
| 49 | 30708U5R22I0CAA | ET | PN/SEQUENZ | SOUL/FELSGRAU | SPORT | 380 | 0,5 | 76,8 | 10,9 | C | 2 | 2 |
| 50 | 30708P2R40I0CAA | ET | FEINNAPPA | SOUL/FELSGRAU | SSPORT | 379 | 0,5 | 77,3 | 11,1 | C | 2 | 2 |
| 51 | 30708O2H00I0CAC | ET | PERNNAPPA | SOUL/FELSGRAU | SPORT | 339 | 0,5 | 77,7 | 11,4 | C | 1 | 1 |
| 52 | 30708O2H02I0CAC | ET | PERNNAPPA | SOUL/FELSGRAU | SPORT | 337 | 0,5 | 78,2 | 11,6 | C | 1 | 1 |
| 53 | 30708M2Q00T0TAA | ET | TWIN | KASTANIENBRAUN | BASIS | 329 | 0,4 | 78,6 | 11,8 | C | 2 | 2 |
| 54 | 30708P7Q44I3HAA | ET | FEINNAPPA | SOUL/CRESCENDOROT | SSPORT | 329 | 0,4 | 79,1 | 12,0 | C | 2 | 2 |
| 55 | 30708M2R00T0TAA | ET | TWIN | KASTANIENBRAUN | BASIS | 328 | 0,4 | 79,5 | 12,2 | C | 2 | 2 |
| 56 | 30708I2H02I0CAC | ET | FEINNAPPA | SOUL/FELSGRAU | SPORT | 309 | 0,4 | 79,9 | 12,5 | C | 1 | 1 |
| 57 | 30708I2H00I0CAC | ET | FEINNAPPA | SOUL/FELSGRAU | SPORT | 308 | 0,4 | 80,3 | 12,7 | C | 1 | 1 |
| 58 | 30708P7H01I3HAC | ET | FEINNAPPA | SOUL/CRESCENDOROT | SSPORT | 307 | 0,4 | 80,8 | 12,9 | C | 1 | 1 |
| 59 | 30708P7H03I3HAC | ET | FEINNAPPA | SOUL/CRESCENDOROT | SSPORT | 307 | 0,4 | 81,2 | 13,1 | C | 1 | 1 |
| 60 | 30708P7Q44I1CAA | ET | FEINNAPPA | SOUL/ FELSGRAU | SSPORT | 293 | 0,4 | 81,6 | 13,4 | C | 1 | 1 |
| 61 | 30708P7Q40I0CAA | ET | FEINNAPPA | SOUL/ FELSGRAU | SSPORT | 266 | 0,4 | 81,9 | 13,6 | C | 1 | 1 |
| 62 | 30708W5Q02I0IAA | ET | TWINLEDER | SOUL | BASIS | 264 | 0,4 | 82,3 | 13,8 | C | 1 | 1 |
| 63 | 30708I2Q20I2HAA | ET | FEINNAPPA | SOUL/CRESCENDOROT | SPORT | 260 | 0,4 | 82,6 | 14,0 | C | 1 | 1 |
| 64 | 30708I2R20I2HAA | ET | FEINNAPPA | SOUL/CRESCENDOROT | SPORT | 260 | 0,4 | 83,0 | 14,3 | C | 1 | 1 |
| 65 | 30708P7H01I1CAC | ET | FEINNAPPA | SOUL/ FELSGRAU | SSPORT | 259 | 0,3 | 83,3 | 14,5 | C | 1 | 1 |
| 66 | 30708P7H03I1CAC | ET | FEINNAPPA | SOUL/ FELSGRAU | SSPORT | 259 | 0,3 | 83,7 | 14,7 | C | 1 | 1 |
| 67 | 30708M2Q00C0CAA | ET | TWIN | FELSGRAU | BASIS | 258 | 0,3 | 84,0 | 14,9 | C | 2 | 2 |
| 68 | 30708M2R00C0CAA | ET | TWIN | FELSGRAU | BASIS | 242 | 0,3 | 84,4 | 15,1 | C | 2 | 2 |
| 69 | 30708W5R02I0IAA | ET | TWINLEDER | SOUL | BASIS | 240 | 0,3 | 84,7 | 15,4 | C | 1 | 1 |

| | | | | | | | | | | | | |
|-----|-----------------|----|--------------|---------------------|--------|-----|-----|------|------|---|---|---|
| 70 | 30708T5Q22I0CAA | ET | PN/FREQUENZ | SOUL/FELSGRAU | SPORT | 230 | 0,3 | 85,0 | 15,6 | C | 1 | 1 |
| 71 | 30708T5R22I0CAA | ET | PN/FREQUENZ | SOUL/FELSGRAU | SPORT | 220 | 0,3 | 85,3 | 15,8 | C | 1 | 1 |
| 72 | 30708C2Q20C0CAA | ET | TWIN | FELSGRAU | SPORT | 218 | 0,3 | 85,6 | 16,0 | C | 1 | 1 |
| 73 | 30708C2R20C0CAA | ET | TWIN | FELSGRAU | SPORT | 213 | 0,3 | 85,9 | 16,3 | C | 1 | 1 |
| 74 | 30708I7H00I0CAC | ET | FEINNAPPA | SOUL/ FELSGRAU | SPORT | 210 | 0,3 | 86,2 | 16,5 | C | 1 | 1 |
| 75 | 30708I7H02I0CAC | ET | FEINNAPPA | SOUL/ FELSGRAU | SPORT | 210 | 0,3 | 86,4 | 16,7 | C | 1 | 1 |
| 76 | 30708B2H00I0IAC | ET | MILANO | SOUL | SPORT | 204 | 0,3 | 86,7 | 16,9 | C | 1 | 1 |
| 77 | 30708B2H02I0IAC | ET | MILANO | SOUL | SPORT | 204 | 0,3 | 87,0 | 17,1 | C | 1 | 1 |
| 78 | 30708Y7Q25I0IAA | ET | TWIN | SOUL/ ANTR | SPORT | 202 | 0,3 | 87,3 | 17,4 | C | 1 | 1 |
| 79 | 30708Y7R20I0CAA | ET | TWIN | SOUL/ FELSGRAU | SPORT | 199 | 0,3 | 87,5 | 17,6 | C | 1 | 1 |
| 80 | 30708Y7Q25I0CAA | ET | TWIN | SOUL/ FELSGRAU | SPORT | 197 | 0,3 | 87,8 | 17,8 | C | 1 | 1 |
| 81 | 30708E2Q20C0CAA | ET | PERNNAPPA | FELSGRAU | SPORT | 185 | 0,2 | 88,1 | 18,0 | C | 1 | 1 |
| 82 | 30708E2R20C0CAA | ET | PERNNAPPA | FELSGRAU | SPORT | 185 | 0,2 | 88,3 | 18,3 | C | 1 | 1 |
| 83 | 30708P7Q45I0CAA | ET | FEINNAPPA | SOUL/ FELSGRAU | SSPORT | 184 | 0,2 | 88,6 | 18,5 | C | 1 | 1 |
| 84 | 30708L7Q00C0CAA | ET | TWIN | FELSGRAU | BASIS | 180 | 0,2 | 88,8 | 18,7 | C | 1 | 1 |
| 85 | 30708I2H00I2HAC | ET | FEINNAPPA | SOUL/CRESCENDOROT | SPORT | 173 | 0,2 | 89,0 | 18,9 | C | 1 | 1 |
| 86 | 30708I2H02I2HAC | ET | FEINNAPPA | SOUL/CRESCENDOROT | SPORT | 173 | 0,2 | 89,3 | 19,2 | C | 1 | 1 |
| 87 | 30708I7H00I2HAC | ET | FEINNAPPA | SOUL/CRESCENDOROT | SPORT | 170 | 0,2 | 89,5 | 19,4 | C | 1 | 1 |
| 88 | 30708I7H02I2HAC | ET | FEINNAPPA | SOUL/CRESCENDOROT | SPORT | 170 | 0,2 | 89,7 | 19,6 | C | 1 | 1 |
| 89 | 30708O2Q20C1IAA | ET | PERNNAPPA | ROTORGRAU/ANTHRAZIT | SPORT | 166 | 0,2 | 89,9 | 19,8 | C | 1 | 1 |
| 90 | 30708O2R20C1IAA | ET | PERNNAPPA | ROTORGRAU/ANTHRAZIT | SPORT | 166 | 0,2 | 90,2 | 20,0 | C | 1 | 1 |
| 91 | 30708L7Q00T0AA | ET | TWIN | KASTANIENBRAUN | BASIS | 162 | 0,2 | 90,4 | 20,3 | C | 1 | 1 |
| 92 | 30708F5R22I0IAA | ET | MILANO | SOUL | SPORT | 160 | 0,2 | 90,6 | 20,5 | C | 1 | 1 |
| 93 | 30708N7H02I0CAC | ET | PERNNAPPA | SOUL/ FELSGRAU | SPORT | 156 | 0,2 | 90,8 | 20,7 | C | 1 | 1 |
| 94 | 30708N7H00I0CAC | ET | PERNNAPPA | SOUL/ FELSGRAU | SPORT | 155 | 0,2 | 91,0 | 20,9 | C | 1 | 1 |
| 95 | 30708F5Q22I0IAA | ET | MILANO | SOUL | SPORT | 150 | 0,2 | 91,2 | 21,2 | C | 1 | 1 |
| 96 | 30708P2H00I0CAC | ET | FEINNAPPA | SOUL/FELSGRAU | SSPORT | 148 | 0,2 | 91,4 | 21,4 | C | 1 | 1 |
| 97 | 30708P2H02I0CAC | ET | FEINNAPPA | SOUL/FELSGRAU | SSPORT | 148 | 0,2 | 91,6 | 21,6 | C | 1 | 1 |
| 98 | 30708R5R22I0CAA | ET | FEINNAPPA | SOUL/FELSGRAU | SPORT | 140 | 0,2 | 91,8 | 21,8 | C | 1 | 1 |
| 99 | 30708S5Q22I0IAA | ET | PN/ALCANTARA | SOUL | SPORT | 140 | 0,2 | 92,0 | 22,0 | C | 1 | 1 |
| 100 | 30708S5R22I0IAA | ET | PN/ALCANTARA | SOUL | SPORT | 140 | 0,2 | 92,2 | 22,3 | C | 1 | 1 |
| 101 | 30708Y7R20H1IAA | ET | TWIN | MAGMAROT | SPORT | 139 | 0,2 | 92,4 | 22,5 | C | 1 | 1 |
| 102 | 30708R5Q22I0CAA | ET | FEINNAPPA | SOUL/FELSGRAU | SPORT | 130 | 0,2 | 92,6 | 22,7 | C | 1 | 1 |
| 103 | 30708J2Q00I0IAA | ET | MILANO | SOUL | BASIS | 124 | 0,2 | 92,7 | 22,9 | C | 1 | 1 |
| 104 | 30708J2R00I0IAA | ET | MILANO | SOUL | BASIS | 124 | 0,2 | 92,9 | 23,2 | C | 1 | 1 |
| 105 | 30708Y7Q25H1IAA | ET | TWIN | MAGMAROT | SPORT | 123 | 0,2 | 93,1 | 23,4 | C | 1 | 1 |
| 106 | 30708W5Q02C0CAA | ET | TWINLEDER | FELSGRAU | BASIS | 120 | 0,2 | 93,2 | 23,6 | C | 1 | 1 |
| 107 | 30708W5R02C0CAA | ET | TWINLEDER | FELSGRAU | BASIS | 120 | 0,2 | 93,4 | 23,8 | C | 1 | 1 |

| | | | | | | | | | | | | |
|-----|-----------------|----|-------------|---------------------|--------|-----|-----|------|------|---|---|---|
| 108 | 30708E2H02I0IAC | ET | PERNNAPPA | SOUL | SPORT | 116 | 0,2 | 93,5 | 24,1 | C | 1 | 1 |
| 109 | 30708E2H00I0IAC | ET | PERNNAPPA | SOUL | SPORT | 115 | 0,2 | 93,7 | 24,3 | C | 1 | 1 |
| 110 | 30708B2Q20T0TAA | ET | MILANO | KASTANIENBRAUN | SPORT | 112 | 0,2 | 93,8 | 24,5 | C | 1 | 1 |
| 111 | 30708B2R20T0TAA | ET | MILANO | KASTANIENBRAUN | SPORT | 112 | 0,2 | 94,0 | 24,7 | C | 1 | 1 |
| 112 | 30708Y7R20T0TAA | ET | TWIN | KASTANIENBRAUN | SPORT | 112 | 0,2 | 94,1 | 24,9 | C | 1 | 1 |
| 113 | 30708E7Q20I0IAA | ET | PERNNAPPA | SOUL | SPORT | 112 | 0,2 | 94,3 | 25,2 | C | 1 | 1 |
| 114 | 30708E7R20I0IAA | ET | PERNNAPPA | SOUL | SPORT | 112 | 0,2 | 94,4 | 25,4 | C | 1 | 1 |
| 115 | 30708B2Q20C0CAA | ET | MILANO | FELSGRAU | SPORT | 106 | 0,1 | 94,6 | 25,6 | C | 1 | 1 |
| 116 | 30708B2R20C0CAA | ET | MILANO | FELSGRAU | SPORT | 106 | 0,1 | 94,7 | 25,8 | C | 1 | 1 |
| 117 | 30708I7Q20I2HAA | ET | FEINNAPPA | SOUL/CRESCENDOROT | SPORT | 95 | 0,1 | 94,9 | 26,1 | C | 1 | 1 |
| 118 | 30708I7R20I2HAA | ET | FEINNAPPA | SOUL/CRESCENDOROT | SPORT | 95 | 0,1 | 95,0 | 26,3 | C | 1 | 1 |
| 119 | 30708P7R40I0HAA | ET | FEINNAPPA | SOUL/ EXPRESSROT | SSPORT | 95 | 0,1 | 95,1 | 26,5 | C | 1 | 1 |
| 120 | 30708Y7Q20T0TAA | ET | TWIN | KASTANIENBRAUN | SPORT | 92 | 0,1 | 95,2 | 26,7 | C | 1 | 1 |
| 121 | 30708P2R40I0HAA | ET | FEINNAPPA | SOUL/EXPRESSROT | SSPORT | 92 | 0,1 | 95,4 | 26,9 | C | 1 | 1 |
| 122 | 30708K2Q20I0HAA | ET | PERNNAPPA | SOUL/EXPRESSROT | SPORT | 90 | 0,1 | 95,5 | 27,2 | C | 1 | 1 |
| 123 | 30708K2R20I0HAA | ET | PERNNAPPA | SOUL/EXPRESSROT | SPORT | 90 | 0,1 | 95,6 | 27,4 | C | 1 | 1 |
| 124 | 30708P7Q40I0HAA | ET | FEINNAPPA | SOUL/ EXPRESSROT | SSPORT | 84 | 0,1 | 95,7 | 27,6 | C | 1 | 1 |
| 125 | 30708W5Q02T0TAA | ET | TWINLEDER | KASTANIENBRAUN | BASIS | 80 | 0,1 | 95,8 | 27,8 | C | 1 | 1 |
| 126 | 30708W5R02T0TAA | ET | TWINLEDER | KASTANIENBRAUN | BASIS | 80 | 0,1 | 95,9 | 28,1 | C | 1 | 1 |
| 127 | 30708O7H02I0CAC | ET | PERNNAPPA | SOUL/ FELSGRAU | SPORT | 80 | 0,1 | 96,0 | 28,3 | C | 1 | 1 |
| 128 | 30708O7H00I0CAC | ET | PERNNAPPA | SOUL/ FELSGRAU | SPORT | 79 | 0,1 | 96,2 | 28,5 | C | 1 | 1 |
| 129 | 30708P2Q40I0HAA | ET | FEINNAPPA | SOUL/EXPRESSROT | SSPORT | 79 | 0,1 | 96,3 | 28,7 | C | 1 | 1 |
| 130 | 30708K7Q20I0HAA | ET | PERNNAPPA | SOUL/ EXPRESSROT | SPORT | 78 | 0,1 | 96,4 | 29,0 | C | 1 | 1 |
| 131 | 30708K7R20I0HAA | ET | PERNNAPPA | SOUL/ EXPRESSROT | SPORT | 78 | 0,1 | 96,5 | 29,2 | C | 1 | 1 |
| 132 | 30708K7H00I0HAC | ET | PERNNAPPA | SOUL/ EXPRESSROT | SPORT | 77 | 0,1 | 96,6 | 29,4 | C | 1 | 1 |
| 133 | 30708K7H02I0HAC | ET | PERNNAPPA | SOUL/ EXPRESSROT | SPORT | 77 | 0,1 | 96,7 | 29,6 | C | 1 | 1 |
| 134 | 30708K2H00I0HAC | ET | PERNNAPPA | SOUL/EXPRESSROT | SPORT | 75 | 0,1 | 96,8 | 29,8 | C | 1 | 1 |
| 135 | 30708K2H02I0HAC | ET | PERNNAPPA | SOUL/EXPRESSROT | SPORT | 74 | 0,1 | 96,9 | 30,1 | C | 1 | 1 |
| 136 | 30708B7Q20I0IAA | ET | MILANO | SOUL | SPORT | 65 | 0,1 | 97,0 | 30,3 | C | 1 | 1 |
| 137 | 30708B7R20I0IAA | ET | MILANO | SOUL | SPORT | 65 | 0,1 | 97,1 | 30,5 | C | 1 | 1 |
| 138 | 30708J7Q00I0IAA | ET | MILANO | SOUL | SPORT | 62 | 0,1 | 97,1 | 30,7 | C | 1 | 1 |
| 139 | 30708J7R00I0IAA | ET | MILANO | SOUL | SPORT | 61 | 0,1 | 97,2 | 31,0 | C | 1 | 1 |
| 140 | 30708Y7R20C0CAA | ET | TWIN | FELSGRAU | SPORT | 59 | 0,1 | 97,3 | 31,2 | C | 1 | 1 |
| 141 | 30708B7Q20T0TAA | ET | MILANO | KASTANIENBRAUN | SPORT | 55 | 0,1 | 97,4 | 31,4 | C | 1 | 1 |
| 142 | 30708B7R20T0TAA | ET | MILANO | KASTANIENBRAUN | SPORT | 55 | 0,1 | 97,5 | 31,6 | C | 1 | 1 |
| 143 | 30708X5Q42I0CAA | ET | FEINNAPPA | SOUL/FELSGRAU | SSPORT | 50 | 0,1 | 97,5 | 31,8 | C | 1 | 1 |
| 144 | 30708T5Q22C1IAA | ET | PN/FREQUENZ | ROTORGRAU/ANTHRASIT | SPORT | 47 | 0,1 | 97,6 | 32,1 | C | 1 | 1 |
| 145 | 30708T5R22C1IAA | ET | PN/FREQUENZ | ROTORGRAU/ANTHRASIT | SPORT | 47 | 0,1 | 97,6 | 32,3 | C | 1 | 1 |

| | | | | | | | | | | | | |
|-----|-----------------|----|-----------|-----------------------|--------|----|-----|------|------|---|---|---|
| 146 | 30708E2H00C0CAC | ET | PERNNAPPA | FELSGRAU | SPORT | 41 | 0,1 | 97,7 | 32,5 | C | 1 | 1 |
| 147 | 30708E2H02C0CAC | ET | PERNNAPPA | FELSGRAU | SPORT | 41 | 0,1 | 97,8 | 32,7 | C | 1 | 1 |
| 148 | 30708Q5Q02I0IAA | ET | MILANO | SOUL | BASIS | 40 | 0,1 | 97,8 | 33,0 | C | 1 | 1 |
| 149 | 30708Q5R02I0IAA | ET | MILANO | SOUL | BASIS | 40 | 0,1 | 97,9 | 33,2 | C | 1 | 1 |
| 150 | 30708G5Q22I0IAC | ET | TWINLEDER | SOUL | SPORT | 40 | 0,1 | 97,9 | 33,4 | C | 1 | 1 |
| 151 | 30708G5R22I0IAC | ET | TWINLEDER | SOUL | SPORT | 40 | 0,1 | 98,0 | 33,6 | C | 1 | 1 |
| 152 | 30708O2H00C1IAC | ET | PERNNAPPA | ROTORGRAU/ANTHRAZIT | SPORT | 39 | 0,1 | 98,0 | 33,9 | C | 1 | 1 |
| 153 | 30708O2H02C1IAC | ET | PERNNAPPA | ROTORGRAU/ANTHRAZIT | SPORT | 39 | 0,1 | 98,1 | 34,1 | C | 1 | 1 |
| 154 | 30708Y7Q20C0CAA | ET | TWIN | FELSGRAU | SPORT | 39 | 0,1 | 98,1 | 34,3 | C | 1 | 1 |
| 155 | 30708F5Q22C0CAA | ET | MILANO | FELSGRAU | SPORT | 33 | 0,0 | 98,2 | 34,5 | C | 1 | 1 |
| 156 | 30708F5R22C0CAA | ET | MILANO | FELSGRAU | SPORT | 32 | 0,0 | 98,2 | 34,7 | C | 1 | 1 |
| 157 | 30708P7R40C1IAA | ET | FEINNAPPA | ROTORGRAU/ANTHRAZIT | SSPORT | 32 | 0,0 | 98,3 | 35,0 | C | 1 | 1 |
| 158 | 30708X5R42I0CAA | ET | FEINNAPPA | SOUL/FELSGRAU | SSPORT | 30 | 0,0 | 98,3 | 35,2 | C | 1 | 1 |
| 159 | 30708I2Q20C1IAA | ET | FEINNAPPA | ROTORGRAU/ANTHRAZIT | SPORT | 30 | 0,0 | 98,3 | 35,4 | C | 1 | 1 |
| 160 | 30708I2R20C1IAA | ET | FEINNAPPA | ROTORGRAU/ANTHRAZIT | SPORT | 30 | 0,0 | 98,4 | 35,6 | C | 1 | 1 |
| 161 | 30708I2H01I1HAC | ET | FEINNAPPA | SOUL/EXPRESSROT | SPORT | 30 | 0,0 | 98,4 | 35,9 | C | 1 | 1 |
| 162 | 30708I2H03I1HAC | ET | FEINNAPPA | SOUL/EXPRESSROT | SPORT | 30 | 0,0 | 98,5 | 36,1 | C | 1 | 1 |
| 163 | 30708B2H00T0TAC | ET | MILANO | KASTANIENBRAUN | SPORT | 29 | 0,0 | 98,5 | 36,3 | C | 1 | 1 |
| 164 | 30708B2H02T0TAC | ET | MILANO | KASTANIENBRAUN | SPORT | 29 | 0,0 | 98,5 | 36,5 | C | 1 | 1 |
| 165 | 30708F5Q22T0TAA | ET | MILANO | KASTANIENBRAUN | SPORT | 28 | 0,0 | 98,6 | 36,7 | C | 1 | 1 |
| 166 | 30708F5R22T0TAA | ET | MILANO | KASTANIENBRAUN | SPORT | 28 | 0,0 | 98,6 | 37,0 | C | 1 | 1 |
| 167 | 30708P7Q45C1IAA | ET | FEINNAPPA | ROTORGRAU/ANTHRAZIT | SSPORT | 28 | 0,0 | 98,7 | 37,2 | C | 1 | 1 |
| 168 | 30708R5Q22C1IAA | ET | FEINNAPPA | ROTORGRAU/ANTHRAZIT | SPORT | 27 | 0,0 | 98,7 | 37,4 | C | 1 | 1 |
| 169 | 30708R5R22C1IAA | ET | FEINNAPPA | ROTORGRAU/ANTHRAZIT | SPORT | 27 | 0,0 | 98,7 | 37,6 | C | 1 | 1 |
| 170 | 30708C2H00I0IAC | ET | TWIN | SOUL | SPORT | 26 | 0,0 | 98,8 | 37,9 | C | 1 | 1 |
| 171 | 30708C2H02I0IAC | ET | TWIN | SOUL | SPORT | 26 | 0,0 | 98,8 | 38,1 | C | 1 | 1 |
| 172 | 30708Y7H00I0IAC | ET | TWIN | SOUL/ ANTR | SPORT | 26 | 0,0 | 98,8 | 38,3 | C | 1 | 1 |
| 173 | 30708Y7H02I0IAC | ET | TWIN | SOUL/ ANTR | SPORT | 26 | 0,0 | 98,9 | 38,5 | C | 1 | 1 |
| 174 | 30708I2Q21I1HAA | ET | FEINNAPPA | SOUL/EXPRESSROT | SPORT | 25 | 0,0 | 98,9 | 38,8 | C | 1 | 1 |
| 175 | 30708I2R21I1HAA | ET | FEINNAPPA | SOUL/EXPRESSROT | SPORT | 25 | 0,0 | 98,9 | 39,0 | C | 1 | 1 |
| 176 | 30708P2Q44C2IAA | ET | FEINNAPPA | MONDSILBER/GRANITGRAU | SSPORT | 23 | 0,0 | 99,0 | 39,2 | C | 1 | 1 |
| 177 | 30708P2R44C2IAA | ET | FEINNAPPA | MONDSILBER/GRANITGRAU | SSPORT | 23 | 0,0 | 99,0 | 39,4 | C | 1 | 1 |
| 178 | 30708B2H00C0CAC | ET | MILANO | FELSGRAU | SPORT | 21 | 0,0 | 99,0 | 39,6 | C | 1 | 1 |
| 179 | 30708B2H02C0CAC | ET | MILANO | FELSGRAU | SPORT | 21 | 0,0 | 99,1 | 39,9 | C | 1 | 1 |
| 180 | 30708Y7Q25C0CAA | ET | TWIN | FELSGRAU | SPORT | 21 | 0,0 | 99,1 | 40,1 | C | 1 | 1 |
| 181 | 30708P2Q40C1IAA | ET | FEINNAPPA | ROTORGRAU/ANTHRAZIT | SSPORT | 21 | 0,0 | 99,1 | 40,3 | C | 1 | 1 |
| 182 | 30708P2R40C1IAA | ET | FEINNAPPA | ROTORGRAU/ANTHRAZIT | SSPORT | 21 | 0,0 | 99,1 | 40,5 | C | 1 | 1 |
| 183 | 30708Y7Q25T0TAA | ET | TWIN | KASTANIENBRAUN | SPORT | 20 | 0,0 | 99,2 | 40,8 | C | 1 | 1 |

| | | | | | | | | | | | | |
|-----|-----------------|----|--------------|------------------------|--------|----|-----|------|------|---|---|---|
| 184 | 30708B7H00I0IAC | ET | MILANO | SOUL | SPORT | 20 | 0,0 | 99,2 | 41,0 | C | 1 | 1 |
| 185 | 30708B7H02I0IAC | ET | MILANO | SOUL | SPORT | 20 | 0,0 | 99,2 | 41,2 | C | 1 | 1 |
| 186 | 30708I7Q21I1HAA | ET | FEINNAPPA | SOUL/ EXPRESSROT | SPORT | 20 | 0,0 | 99,3 | 41,4 | C | 1 | 1 |
| 187 | 30708I7R21I1HAA | ET | FEINNAPPA | SOUL/ EXPRESSROT | SPORT | 20 | 0,0 | 99,3 | 41,6 | C | 1 | 1 |
| 188 | 30708M2H00I0IAC | ET | TWIN | SOUL | BASIS | 19 | 0,0 | 99,3 | 41,9 | C | 1 | 1 |
| 189 | 30708M2H02I0IAC | ET | TWIN | SOUL | BASIS | 18 | 0,0 | 99,3 | 42,1 | C | 1 | 1 |
| 190 | 30708C2H00T0TAC | ET | TWIN | KASTANIENBRAUN | SPORT | 18 | 0,0 | 99,4 | 42,3 | C | 1 | 1 |
| 191 | 30708C2H02T0TAC | ET | TWIN | KASTANIENBRAUN | SPORT | 18 | 0,0 | 99,4 | 42,5 | C | 1 | 1 |
| 192 | 30708X5Q42I0HAA | ET | FEINNAPPA | SOUL/EXPRESSROT | SSPORT | 17 | 0,0 | 99,4 | 42,8 | C | 1 | 1 |
| 193 | 30708X5R42I0HAA | ET | FEINNAPPA | SOUL/EXPRESSROT | SSPORT | 17 | 0,0 | 99,4 | 43,0 | C | 1 | 1 |
| 194 | 30708B7Q20C0CAA | ET | MILANO | FELSGRAU | SPORT | 17 | 0,0 | 99,4 | 43,2 | C | 1 | 1 |
| 195 | 30708E7H00I0IAC | ET | PERNNAPPA | SOUL | SPORT | 17 | 0,0 | 99,5 | 43,4 | C | 1 | 1 |
| 196 | 30708E7H02I0IAC | ET | PERNNAPPA | SOUL | SPORT | 17 | 0,0 | 99,5 | 43,7 | C | 1 | 1 |
| 197 | 30708P7H00I0CAC | ET | FEINNAPPA | SOUL/ FELSGRAU | SSPORT | 17 | 0,0 | 99,5 | 43,9 | C | 1 | 1 |
| 198 | 30708P7H02I0CAC | ET | FEINNAPPA | SOUL/ FELSGRAU | SSPORT | 17 | 0,0 | 99,5 | 44,1 | C | 1 | 1 |
| 199 | 30708B7R20C0CAA | ET | MILANO | FELSGRAU | SPORT | 16 | 0,0 | 99,6 | 44,3 | C | 1 | 1 |
| 200 | 30708P2H00I0HAC | ET | FEINNAPPA | SOUL/EXPRESSROT | SSPORT | 16 | 0,0 | 99,6 | 44,5 | C | 1 | 1 |
| 201 | 30708P2H02I0HAC | ET | FEINNAPPA | SOUL/EXPRESSROT | SSPORT | 16 | 0,0 | 99,6 | 44,8 | C | 1 | 1 |
| 202 | 30708P2H01C2IAC | ET | FEINNAPPA | MONDSILBER/GRANITGRAU | SSPORT | 14 | 0,0 | 99,6 | 45,0 | C | 1 | 1 |
| 203 | 30708P2H03C2IAC | ET | FEINNAPPA | MONDSILBER/GRANITGRAU | SSPORT | 14 | 0,0 | 99,6 | 45,2 | C | 1 | 1 |
| 204 | 30708E7Q20C0CAA | ET | PERNNAPPA | FELSGRAU | SPORT | 12 | 0,0 | 99,7 | 45,4 | C | 1 | 1 |
| 205 | 30708E7R20C0CAA | ET | PERNNAPPA | FELSGRAU | SPORT | 12 | 0,0 | 99,7 | 45,7 | C | 1 | 1 |
| 206 | 30708O7Q20C1IAA | ET | PERNNAPPA | ROTORGRAU/ANTHRAZIT | SPORT | 11 | 0,0 | 99,7 | 45,9 | C | 1 | 1 |
| 207 | 30708O7R20C1IAA | ET | PERNNAPPA | ROTORGRAU/ANTHRAZIT | SPORT | 11 | 0,0 | 99,7 | 46,1 | C | 1 | 1 |
| 208 | 30708P7Q45I0HAA | ET | FEINNAPPA | SOUL/ EXPRESSROT | SSPORT | 11 | 0,0 | 99,7 | 46,3 | C | 1 | 1 |
| 209 | 30708S5R22C0CAA | ET | PN/ALCANTARA | FELSGRAU | SPORT | 10 | 0,0 | 99,7 | 46,5 | C | 1 | 1 |
| 210 | 30708Y7Q25I2HAA | ET | TWIN | SOUL/ CRESCENDEROT | SPORT | 10 | 0,0 | 99,7 | 46,8 | C | 1 | 1 |
| 211 | 30708I7Q20C1IAA | ET | FEINNAPPA | ROTORGRAU/ANTHRAZIT | SPORT | 10 | 0,0 | 99,8 | 47,0 | C | 1 | 1 |
| 212 | 30708I7R20C1IAA | ET | FEINNAPPA | ROTORGRAU/ANTHRAZIT | SPORT | 10 | 0,0 | 99,8 | 47,2 | C | 1 | 1 |
| 213 | 30708S5Q22C0CAA | ET | PN/ALCANTARA | FELSGRAU | SPORT | 9 | 0,0 | 99,8 | 47,4 | C | 1 | 1 |
| 214 | 30708I7H01I1HAC | ET | FEINNAPPA | SOUL/ EXPRESSROT | SPORT | 9 | 0,0 | 99,8 | 47,7 | C | 1 | 1 |
| 215 | 30708I7H03I1HAC | ET | FEINNAPPA | SOUL/ EXPRESSROT | SPORT | 9 | 0,0 | 99,8 | 47,9 | C | 1 | 1 |
| 216 | 30708P7Q44C2IAA | ET | FEINNAPPA | MONDSILBER/ GRANITGRAU | SSPORT | 9 | 0,0 | 99,8 | 48,1 | C | 1 | 1 |
| 217 | 30708L7H00I0IAC | ET | TWIN | SOUL | BASIS | 8 | 0,0 | 99,8 | 48,3 | C | 1 | 1 |
| 218 | 30708L7H02I0IAC | ET | TWIN | SOUL | BASIS | 8 | 0,0 | 99,8 | 48,6 | C | 1 | 1 |
| 219 | 30708P7H01C2IAC | ET | FEINNAPPA | MONDSILBER/ GRANITGRAU | SSPORT | 7 | 0,0 | 99,9 | 48,8 | C | 1 | 1 |
| 220 | 30708P7H03C2IAC | ET | FEINNAPPA | MONDSILBER/ GRANITGRAU | SSPORT | 7 | 0,0 | 99,9 | 49,0 | C | 1 | 1 |
| 221 | 30708V5Q22I0HAA | ET | PN/TROPHY | SOUL/EXPRESSROT | SPORT | 6 | 0,0 | 99,9 | 49,2 | C | 1 | 1 |

| | | | | | | | | | | | | |
|-----|-----------------|----|-----------|---------------------|--------|---|-----|-------|------|---|---|---|
| 222 | 30708P2H00C1IAC | ET | FEINNAPPA | ROTORGRAU/ANTHRAZIT | SSPORT | 6 | 0,0 | 99,9 | 49,4 | C | 1 | 1 |
| 223 | 30708P2H02C1IAC | ET | FEINNAPPA | ROTORGRAU/ANTHRAZIT | SSPORT | 6 | 0,0 | 99,9 | 49,7 | C | 1 | 1 |
| 224 | 30708B7H00T0TAC | ET | MILANO | KASTANIENBRAUN | SPORT | 5 | 0,0 | 99,9 | 49,9 | C | 1 | 1 |
| 225 | 30708B7H02T0TAC | ET | MILANO | KASTANIENBRAUN | SPORT | 5 | 0,0 | 99,9 | 50,1 | C | 1 | 1 |
| 226 | 30708P7Q40C1IAA | ET | FEINNAPPA | ROTORGRAU/ANTHRAZIT | SSPORT | 5 | 0,0 | 99,9 | 50,3 | C | 1 | 1 |
| 227 | 30708G5R22C0CAC | ET | TWINLEDER | FELSGRAU | SPORT | 4 | 0,0 | 99,9 | 50,6 | C | 1 | 1 |
| 228 | 30708V5R22I0HAA | ET | PN/TROPHY | SOUL/EXPRESSROT | SPORT | 4 | 0,0 | 99,9 | 50,8 | C | 1 | 1 |
| 229 | 30708I2H00C1IAC | ET | FEINNAPPA | ROTORGRAU/ANTHRAZIT | SPORT | 4 | 0,0 | 99,9 | 51,0 | C | 1 | 1 |
| 230 | 30708I2H02C1IAC | ET | FEINNAPPA | ROTORGRAU/ANTHRAZIT | SPORT | 4 | 0,0 | 99,9 | 51,2 | C | 1 | 1 |
| 231 | 30708P7H00I0HAC | ET | FEINNAPPA | SOUL/ EXPRESSROT | SSPORT | 4 | 0,0 | 99,9 | 51,4 | C | 1 | 1 |
| 232 | 30708P7H02I0HAC | ET | FEINNAPPA | SOUL/ EXPRESSROT | SSPORT | 4 | 0,0 | 99,9 | 51,7 | C | 1 | 1 |
| 233 | 30708G5Q22T0TAC | ET | TWINLEDER | KASTANIENBRAUN | SPORT | 3 | 0,0 | 99,9 | 51,9 | C | 1 | 1 |
| 234 | 30708G5R22T0TAC | ET | TWINLEDER | KASTANIENBRAUN | SPORT | 3 | 0,0 | 99,9 | 52,1 | C | 1 | 1 |
| 235 | 30708G5Q22C0CAC | ET | TWINLEDER | FELSGRAU | SPORT | 3 | 0,0 | 99,9 | 52,3 | C | 1 | 1 |
| 236 | 30708R5Q23I1HAA | ET | FEINNAPPA | SOUL/EXPRESSROT | SPORT | 3 | 0,0 | 100,0 | 52,6 | C | 1 | 1 |
| 237 | 30708C2H00C0CAC | ET | TWIN | FELSGRAU | SPORT | 3 | 0,0 | 100,0 | 52,8 | C | 1 | 1 |
| 238 | 30708C2H02C0CAC | ET | TWIN | FELSGRAU | SPORT | 3 | 0,0 | 100,0 | 53,0 | C | 1 | 1 |
| 239 | 30708Y7H00T0TAC | ET | TWIN | KASTANIENBRAUN | SPORT | 3 | 0,0 | 100,0 | 53,2 | C | 1 | 1 |
| 240 | 30708Y7H02T0TAC | ET | TWIN | KASTANIENBRAUN | SPORT | 3 | 0,0 | 100,0 | 53,5 | C | 1 | 1 |
| 241 | 30708R5R23I1HAA | ET | FEINNAPPA | SOUL/EXPRESSROT | SPORT | 2 | 0,0 | 100,0 | 53,7 | C | 1 | 1 |
| 242 | 30708X5Q42C1IAA | ET | FEINNAPPA | ROTORGRAU/ANTHRAZIT | SSPORT | 2 | 0,0 | 100,0 | 53,9 | C | 1 | 1 |
| 243 | 30708X5R42C1IAA | ET | FEINNAPPA | ROTORGRAU/ANTHRAZIT | SSPORT | 2 | 0,0 | 100,0 | 54,1 | C | 1 | 1 |
| 244 | 30708O7H00C1IAC | ET | PERNNAPPA | ROTORGRAU/ANTHRAZIT | SPORT | 2 | 0,0 | 100,0 | 54,3 | C | 1 | 1 |
| 245 | 30708O7H02C1IAC | ET | PERNNAPPA | ROTORGRAU/ANTHRAZIT | SPORT | 2 | 0,0 | 100,0 | 54,6 | C | 1 | 1 |
| 246 | 30708P7H00C1IAC | ET | FEINNAPPA | ROTORGRAU/ANTHRAZIT | SSPORT | 2 | 0,0 | 100,0 | 54,8 | C | 1 | 1 |
| 247 | 30708P7H02C1IAC | ET | FEINNAPPA | ROTORGRAU/ANTHRAZIT | SSPORT | 2 | 0,0 | 100,0 | 55,0 | C | 1 | 1 |
| 248 | 30708M2H00C0CAC | ET | TWIN | FELSGRAU | BASIS | 1 | 0,0 | 100,0 | 55,2 | C | 1 | 1 |
| 249 | 30708M2H02C0CAC | ET | TWIN | FELSGRAU | BASIS | 1 | 0,0 | 100,0 | 55,5 | C | 1 | 1 |
| 250 | 30708L7H00C0CAC | ET | TWIN | FELSGRAU | BASIS | 1 | 0,0 | 100,0 | 55,7 | C | 1 | 1 |
| 251 | 30708L7H02C0CAC | ET | TWIN | FELSGRAU | BASIS | 1 | 0,0 | 100,0 | 55,9 | C | 1 | 1 |
| 252 | 30708L7H00T0TAC | ET | TWIN | KASTANIENBRAUN | BASIS | 1 | 0,0 | 100,0 | 56,1 | C | 1 | 1 |
| 253 | 30708L7H02T0TAC | ET | TWIN | KASTANIENBRAUN | BASIS | 1 | 0,0 | 100,0 | 56,3 | C | 1 | 1 |
| 254 | 30708Y7Q25C0IAA | ET | TWIN | FELSGRAU/ ANTR | SPORT | 1 | 0,0 | 100,0 | 56,6 | C | 1 | 1 |
| 255 | 30708B7H00C0CAC | ET | MILANO | FELSGRAU | SPORT | 1 | 0,0 | 100,0 | 56,8 | C | 1 | 1 |
| 256 | 30708B7H02C0CAC | ET | MILANO | FELSGRAU | SPORT | 1 | 0,0 | 100,0 | 57,0 | C | 1 | 1 |
| 257 | 30708J5Q00I0IAA | ET | MILANO | SOUL | BASIS | 0 | 0,0 | 100,0 | 57,2 | C | 0 | 0 |
| 258 | 30708J5Q05I0IAA | ET | MILANO | SOUL | BASIS | 0 | 0,0 | 100,0 | 57,5 | C | 0 | 0 |
| 259 | 30708J5R00I0IAA | ET | MILANO | SOUL | BASIS | 0 | 0,0 | 100,0 | 57,7 | C | 0 | 0 |

| | | | | | | | | | | | | |
|-----|-----------------|----|-----------|------------------|-------|---|-----|-------|------|---|---|---|
| 260 | 30708J5H00I0IAC | ET | MILANO | SOUL | BASIS | 0 | 0,0 | 100,0 | 57,9 | C | 0 | 0 |
| 261 | 30708J5H02I0IAC | ET | MILANO | SOUL | BASIS | 0 | 0,0 | 100,0 | 58,1 | C | 0 | 0 |
| 262 | 30708M5Q00T0TAA | ET | TWINLEDER | KASTANIENBRAUN | BASIS | 0 | 0,0 | 100,0 | 58,4 | C | 0 | 0 |
| 263 | 30708M5Q05T0TAA | ET | TWINLEDER | KASTANIENBRAUN | BASIS | 0 | 0,0 | 100,0 | 58,6 | C | 0 | 0 |
| 264 | 30708M5R00T0TAA | ET | TWINLEDER | KASTANIENBRAUN | BASIS | 0 | 0,0 | 100,0 | 58,8 | C | 0 | 0 |
| 265 | 30708M5H00T0TAC | ET | TWINLEDER | KASTANIENBRAUN | BASIS | 0 | 0,0 | 100,0 | 59,0 | C | 0 | 0 |
| 266 | 30708M5H02T0TAC | ET | TWINLEDER | KASTANIENBRAUN | BASIS | 0 | 0,0 | 100,0 | 59,2 | C | 0 | 0 |
| 267 | 30708M5Q00I0IAA | ET | TWINLEDER | SOUL | BASIS | 0 | 0,0 | 100,0 | 59,5 | C | 0 | 0 |
| 268 | 30708M5Q05I0IAA | ET | TWINLEDER | SOUL | BASIS | 0 | 0,0 | 100,0 | 59,7 | C | 0 | 0 |
| 269 | 30708M5R00I0IAA | ET | TWINLEDER | SOUL | BASIS | 0 | 0,0 | 100,0 | 59,9 | C | 0 | 0 |
| 270 | 30708M5H00I0IAC | ET | TWINLEDER | SOUL | BASIS | 0 | 0,0 | 100,0 | 60,1 | C | 0 | 0 |
| 271 | 30708M5H02I0IAC | ET | TWINLEDER | SOUL | BASIS | 0 | 0,0 | 100,0 | 60,4 | C | 0 | 0 |
| 272 | 30708M5Q00C0CAA | ET | TWINLEDER | FELSGRAU | BASIS | 0 | 0,0 | 100,0 | 60,6 | C | 0 | 0 |
| 273 | 30708M5Q05C0CAA | ET | TWINLEDER | FELSGRAU | BASIS | 0 | 0,0 | 100,0 | 60,8 | C | 0 | 0 |
| 274 | 30708M5R00C0CAA | ET | TWINLEDER | FELSGRAU | BASIS | 0 | 0,0 | 100,0 | 61,0 | C | 0 | 0 |
| 275 | 30708M5H00C0CAC | ET | TWINLEDER | FELSGRAU | BASIS | 0 | 0,0 | 100,0 | 61,2 | C | 0 | 0 |
| 276 | 30708M5H02C0CAC | ET | TWINLEDER | FELSGRAU | BASIS | 0 | 0,0 | 100,0 | 61,5 | C | 0 | 0 |
| 277 | 30708A5Q20I0FAA | ET | PN/PLENUM | SOUL/ADMIRALBLAU | SPORT | 0 | 0,0 | 100,0 | 61,7 | C | 0 | 0 |
| 278 | 30708A5Q25I0FAA | ET | PN/PLENUM | SOUL/ADMIRALBLAU | SPORT | 0 | 0,0 | 100,0 | 61,9 | C | 0 | 0 |
| 279 | 30708A5R20I0FAA | ET | PN/PLENUM | SOUL/ADMIRALBLAU | SPORT | 0 | 0,0 | 100,0 | 62,1 | C | 0 | 0 |
| 280 | 30708A5H00I0FAC | ET | PN/PLENUM | SOUL/ADMIRALBLAU | SPORT | 0 | 0,0 | 100,0 | 62,4 | C | 0 | 0 |
| 281 | 30708A5H02I0FAC | ET | PN/PLENUM | SOUL/ADMIRALBLAU | SPORT | 0 | 0,0 | 100,0 | 62,6 | C | 0 | 0 |
| 282 | 30708B5Q20T0TAA | ET | MILANO | KASTANIENBRAUN | SPORT | 0 | 0,0 | 100,0 | 62,8 | C | 0 | 0 |
| 283 | 30708B5Q25T0TAA | ET | MILANO | KASTANIENBRAUN | SPORT | 0 | 0,0 | 100,0 | 63,0 | C | 0 | 0 |
| 284 | 30708B5R20T0TAA | ET | MILANO | KASTANIENBRAUN | SPORT | 0 | 0,0 | 100,0 | 63,3 | C | 0 | 0 |
| 285 | 30708B5H00T0TAC | ET | MILANO | KASTANIENBRAUN | SPORT | 0 | 0,0 | 100,0 | 63,5 | C | 0 | 0 |
| 286 | 30708B5H02T0TAC | ET | MILANO | KASTANIENBRAUN | SPORT | 0 | 0,0 | 100,0 | 63,7 | C | 0 | 0 |
| 287 | 30708B5Q20I0IAA | ET | MILANO | SOUL | SPORT | 0 | 0,0 | 100,0 | 63,9 | C | 0 | 0 |
| 288 | 30708B5Q25I0IAA | ET | MILANO | SOUL | SPORT | 0 | 0,0 | 100,0 | 64,1 | C | 0 | 0 |
| 289 | 30708B5R20I0IAA | ET | MILANO | SOUL | SPORT | 0 | 0,0 | 100,0 | 64,4 | C | 0 | 0 |
| 290 | 30708B5H00I0IAC | ET | MILANO | SOUL | SPORT | 0 | 0,0 | 100,0 | 64,6 | C | 0 | 0 |
| 291 | 30708B5H02I0IAC | ET | MILANO | SOUL | SPORT | 0 | 0,0 | 100,0 | 64,8 | C | 0 | 0 |
| 292 | 30708B5Q20C0CAA | ET | MILANO | FELSGRAU | SPORT | 0 | 0,0 | 100,0 | 65,0 | C | 0 | 0 |
| 293 | 30708B5Q25C0CAA | ET | MILANO | FELSGRAU | SPORT | 0 | 0,0 | 100,0 | 65,3 | C | 0 | 0 |
| 294 | 30708B5R20C0CAA | ET | MILANO | FELSGRAU | SPORT | 0 | 0,0 | 100,0 | 65,5 | C | 0 | 0 |
| 295 | 30708B5H00C0CAC | ET | MILANO | FELSGRAU | SPORT | 0 | 0,0 | 100,0 | 65,7 | C | 0 | 0 |
| 296 | 30708B5H02C0CAC | ET | MILANO | FELSGRAU | SPORT | 0 | 0,0 | 100,0 | 65,9 | C | 0 | 0 |
| 297 | 30708C5Q20T0TAA | ET | TWINLEDER | KASTANIENBRAUN | SPORT | 0 | 0,0 | 100,0 | 66,1 | C | 0 | 0 |

| | | | | | | | | | | | | |
|-----|-----------------|----|--------------|--------------------|-------|---|-----|-------|------|---|---|---|
| 298 | 30708C5Q25T0TAA | ET | TWINLEDER | KASTANIENBRAUN | SPORT | 0 | 0,0 | 100,0 | 66,4 | C | 0 | 0 |
| 299 | 30708C5R20T0TAA | ET | TWINLEDER | KASTANIENBRAUN | SPORT | 0 | 0,0 | 100,0 | 66,6 | C | 0 | 0 |
| 300 | 30708C5H00T0TAC | ET | TWINLEDER | KASTANIENBRAUN | SPORT | 0 | 0,0 | 100,0 | 66,8 | C | 0 | 0 |
| 301 | 30708C5H02T0TAC | ET | TWINLEDER | KASTANIENBRAUN | SPORT | 0 | 0,0 | 100,0 | 67,0 | C | 0 | 0 |
| 302 | 30708C5Q20I0IAA | ET | TWINLEDER | SOUL | SPORT | 0 | 0,0 | 100,0 | 67,3 | C | 0 | 0 |
| 303 | 30708C5Q25I0IAA | ET | TWINLEDER | SOUL | SPORT | 0 | 0,0 | 100,0 | 67,5 | C | 0 | 0 |
| 304 | 30708C5R20I0IAA | ET | TWINLEDER | SOUL | SPORT | 0 | 0,0 | 100,0 | 67,7 | C | 0 | 0 |
| 305 | 30708C5H00I0IAC | ET | TWINLEDER | SOUL | SPORT | 0 | 0,0 | 100,0 | 67,9 | C | 0 | 0 |
| 306 | 30708C5H02I0IAC | ET | TWINLEDER | SOUL | SPORT | 0 | 0,0 | 100,0 | 68,2 | C | 0 | 0 |
| 307 | 30708C5Q20C0CAA | ET | TWINLEDER | FELSGRAU | SPORT | 0 | 0,0 | 100,0 | 68,4 | C | 0 | 0 |
| 308 | 30708C5Q25C0CAA | ET | TWINLEDER | FELSGRAU | SPORT | 0 | 0,0 | 100,0 | 68,6 | C | 0 | 0 |
| 309 | 30708C5R20C0CAA | ET | TWINLEDER | FELSGRAU | SPORT | 0 | 0,0 | 100,0 | 68,8 | C | 0 | 0 |
| 310 | 30708C5H00C0CAC | ET | TWINLEDER | FELSGRAU | SPORT | 0 | 0,0 | 100,0 | 69,0 | C | 0 | 0 |
| 311 | 30708C5H02C0CAC | ET | TWINLEDER | FELSGRAU | SPORT | 0 | 0,0 | 100,0 | 69,3 | C | 0 | 0 |
| 312 | 30708C5Q20H1IAA | ET | TWINLEDER | MAGMAROT/ANTHRAZIT | SPORT | 0 | 0,0 | 100,0 | 69,5 | C | 0 | 0 |
| 313 | 30708C5Q25H1IAA | ET | TWINLEDER | MAGMAROT/ANTHRAZIT | SPORT | 0 | 0,0 | 100,0 | 69,7 | C | 0 | 0 |
| 314 | 30708C5R20H1IAA | ET | TWINLEDER | MAGMAROT/ANTHRAZIT | SPORT | 0 | 0,0 | 100,0 | 69,9 | C | 0 | 0 |
| 315 | 30708C5H00H1IAC | ET | TWINLEDER | MAGMAROT/ANTHRAZIT | SPORT | 0 | 0,0 | 100,0 | 70,2 | C | 0 | 0 |
| 316 | 30708C5H02H1IAC | ET | TWINLEDER | MAGMAROT/ANTHRAZIT | SPORT | 0 | 0,0 | 100,0 | 70,4 | C | 0 | 0 |
| 317 | 30708C5Q20I0CAA | ET | TWINLEDER | SOUL/FELSGRAU | SPORT | 0 | 0,0 | 100,0 | 70,6 | C | 0 | 0 |
| 318 | 30708C5Q25I0CAA | ET | TWINLEDER | SOUL/FELSGRAU | SPORT | 0 | 0,0 | 100,0 | 70,8 | C | 0 | 0 |
| 319 | 30708C5R20I0CAA | ET | TWINLEDER | SOUL/FELSGRAU | SPORT | 0 | 0,0 | 100,0 | 71,0 | C | 0 | 0 |
| 320 | 30708C5H00I0CAC | ET | TWINLEDER | SOUL/FELSGRAU | SPORT | 0 | 0,0 | 100,0 | 71,3 | C | 0 | 0 |
| 321 | 30708C5H02I0CAC | ET | TWINLEDER | SOUL/FELSGRAU | SPORT | 0 | 0,0 | 100,0 | 71,5 | C | 0 | 0 |
| 322 | 30708C5Q20C0IAA | ET | TWINLEDER | FELSGRAU/ANTHRAZIT | SPORT | 0 | 0,0 | 100,0 | 71,7 | C | 0 | 0 |
| 323 | 30708C5Q25C0IAA | ET | TWINLEDER | FELSGRAU/ANTHRAZIT | SPORT | 0 | 0,0 | 100,0 | 71,9 | C | 0 | 0 |
| 324 | 30708C5R20C0IAA | ET | TWINLEDER | FELSGRAU/ANTHRAZIT | SPORT | 0 | 0,0 | 100,0 | 72,2 | C | 0 | 0 |
| 325 | 30708C5H00C0IAC | ET | TWINLEDER | FELSGRAU/ANTHRAZIT | SPORT | 0 | 0,0 | 100,0 | 72,4 | C | 0 | 0 |
| 326 | 30708C5H02C0IAC | ET | TWINLEDER | FELSGRAU/ANTHRAZIT | SPORT | 0 | 0,0 | 100,0 | 72,6 | C | 0 | 0 |
| 327 | 30708C5Q20I2HAA | ET | TWINLEDER | SOUL/CRESCENDOROT | SPORT | 0 | 0,0 | 100,0 | 72,8 | C | 0 | 0 |
| 328 | 30708C5Q25I2HAA | ET | TWINLEDER | SOUL/CRESCENDOROT | SPORT | 0 | 0,0 | 100,0 | 73,1 | C | 0 | 0 |
| 329 | 30708C5R20I2HAA | ET | TWINLEDER | SOUL/CRESCENDOROT | SPORT | 0 | 0,0 | 100,0 | 73,3 | C | 0 | 0 |
| 330 | 30708E5Q20I0IAA | ET | PN/ALCANTARA | SOUL | SPORT | 0 | 0,0 | 100,0 | 73,5 | C | 0 | 0 |
| 331 | 30708E5Q25I0IAA | ET | PN/ALCANTARA | SOUL | SPORT | 0 | 0,0 | 100,0 | 73,7 | C | 0 | 0 |
| 332 | 30708E5R20I0IAA | ET | PN/ALCANTARA | SOUL | SPORT | 0 | 0,0 | 100,0 | 73,9 | C | 0 | 0 |
| 333 | 30708E5H00I0IAC | ET | PN/ALCANTARA | SOUL | SPORT | 0 | 0,0 | 100,0 | 74,2 | C | 0 | 0 |
| 334 | 30708E5H02I0IAC | ET | PN/ALCANTARA | SOUL | SPORT | 0 | 0,0 | 100,0 | 74,4 | C | 0 | 0 |
| 335 | 30708E5Q20C0CAA | ET | PN/ALCANTARA | FELSGRAU | SPORT | 0 | 0,0 | 100,0 | 74,6 | C | 0 | 0 |

| | | | | | | | | | | | | |
|-----|-----------------|----|--------------|---------------------|-------|---|-----|-------|------|---|---|---|
| 336 | 30708E5Q25C0CAA | ET | PN/ALCANTARA | FELSGRAU | SPORT | 0 | 0,0 | 100,0 | 74,8 | C | 0 | 0 |
| 337 | 30708E5R20C0CAA | ET | PN/ALCANTARA | FELSGRAU | SPORT | 0 | 0,0 | 100,0 | 75,1 | C | 0 | 0 |
| 338 | 30708E5H00C0CAC | ET | PN/ALCANTARA | FELSGRAU | SPORT | 0 | 0,0 | 100,0 | 75,3 | C | 0 | 0 |
| 339 | 30708E5H02C0CAC | ET | PN/ALCANTARA | FELSGRAU | SPORT | 0 | 0,0 | 100,0 | 75,5 | C | 0 | 0 |
| 340 | 30708K5Q20I0HAA | ET | PN/TROPHY | SOUL/EXPRESSROT | SPORT | 0 | 0,0 | 100,0 | 75,7 | C | 0 | 0 |
| 341 | 30708K5Q25I0HAA | ET | PN/TROPHY | SOUL/EXPRESSROT | SPORT | 0 | 0,0 | 100,0 | 75,9 | C | 0 | 0 |
| 342 | 30708K5R20I0HAA | ET | PN/TROPHY | SOUL/EXPRESSROT | SPORT | 0 | 0,0 | 100,0 | 76,2 | C | 0 | 0 |
| 343 | 30708K5H00I0HAC | ET | PN/TROPHY | SOUL/EXPRESSROT | SPORT | 0 | 0,0 | 100,0 | 76,4 | C | 0 | 0 |
| 344 | 30708K5H02I0HAC | ET | PN/TROPHY | SOUL/EXPRESSROT | SPORT | 0 | 0,0 | 100,0 | 76,6 | C | 0 | 0 |
| 345 | 30708N5Q20I0CAA | ET | PN/SEQUENZ | SOUL/FELSGRAU | SPORT | 0 | 0,0 | 100,0 | 76,8 | C | 0 | 0 |
| 346 | 30708N5Q25I0CAA | ET | PN/SEQUENZ | SOUL/FELSGRAU | SPORT | 0 | 0,0 | 100,0 | 77,1 | C | 0 | 0 |
| 347 | 30708N5R20I0CAA | ET | PN/SEQUENZ | SOUL/FELSGRAU | SPORT | 0 | 0,0 | 100,0 | 77,3 | C | 0 | 0 |
| 348 | 30708N5H02I0CAC | ET | PN/SEQUENZ | SOUL/FELSGRAU | SPORT | 0 | 0,0 | 100,0 | 77,5 | C | 0 | 0 |
| 349 | 30708N5H00I0CAC | ET | PN/SEQUENZ | SOUL/FELSGRAU | SPORT | 0 | 0,0 | 100,0 | 77,7 | C | 0 | 0 |
| 350 | 30708O5Q20C1IAA | ET | PN/FREQUENZ | ROTORGRAU/ANTHRAZIT | SPORT | 0 | 0,0 | 100,0 | 78,0 | C | 0 | 0 |
| 351 | 30708O5Q25C1IAA | ET | PN/FREQUENZ | ROTORGRAU/ANTHRAZIT | SPORT | 0 | 0,0 | 100,0 | 78,2 | C | 0 | 0 |
| 352 | 30708O5R20C1IAA | ET | PN/FREQUENZ | ROTORGRAU/ANTHRAZIT | SPORT | 0 | 0,0 | 100,0 | 78,4 | C | 0 | 0 |
| 353 | 30708O5H00C1IAC | ET | PN/FREQUENZ | ROTORGRAU/ANTHRAZIT | SPORT | 0 | 0,0 | 100,0 | 78,6 | C | 0 | 0 |
| 354 | 30708O5H02C1IAC | ET | PN/FREQUENZ | ROTORGRAU/ANTHRAZIT | SPORT | 0 | 0,0 | 100,0 | 78,8 | C | 0 | 0 |
| 355 | 30708O5Q20I0CAA | ET | PN/FREQUENZ | SOUL/FELSGRAU | SPORT | 0 | 0,0 | 100,0 | 79,1 | C | 0 | 0 |
| 356 | 30708O5Q25I0CAA | ET | PN/FREQUENZ | SOUL/FELSGRAU | SPORT | 0 | 0,0 | 100,0 | 79,3 | C | 0 | 0 |
| 357 | 30708O5R20I0CAA | ET | PN/FREQUENZ | SOUL/FELSGRAU | SPORT | 0 | 0,0 | 100,0 | 79,5 | C | 0 | 0 |
| 358 | 30708O5H00I0CAC | ET | PN/FREQUENZ | SOUL/FELSGRAU | SPORT | 0 | 0,0 | 100,0 | 79,7 | C | 0 | 0 |
| 359 | 30708O5H02I0CAC | ET | PN/FREQUENZ | SOUL/FELSGRAU | SPORT | 0 | 0,0 | 100,0 | 80,0 | C | 0 | 0 |
| 360 | 30708I5Q20C1IAA | ET | FEINNAPPA | ROTORGRAU/ANTHRAZIT | SPORT | 0 | 0,0 | 100,0 | 80,2 | C | 0 | 0 |
| 361 | 30708I5Q25C1IAA | ET | FEINNAPPA | ROTORGRAU/ANTHRAZIT | SPORT | 0 | 0,0 | 100,0 | 80,4 | C | 0 | 0 |
| 362 | 30708I5R20C1IAA | ET | FEINNAPPA | ROTORGRAU/ANTHRAZIT | SPORT | 0 | 0,0 | 100,0 | 80,6 | C | 0 | 0 |
| 363 | 30708I5H00C1IAC | ET | FEINNAPPA | ROTORGRAU/ANTHRAZIT | SPORT | 0 | 0,0 | 100,0 | 80,8 | C | 0 | 0 |
| 364 | 30708I5H02C1IAC | ET | FEINNAPPA | ROTORGRAU/ANTHRAZIT | SPORT | 0 | 0,0 | 100,0 | 81,1 | C | 0 | 0 |
| 365 | 30708I5Q20I0CAA | ET | FEINNAPPA | SOUL/FELSGRAU | SPORT | 0 | 0,0 | 100,0 | 81,3 | C | 0 | 0 |
| 366 | 30708I5Q25I0CAA | ET | FEINNAPPA | SOUL/FELSGRAU | SPORT | 0 | 0,0 | 100,0 | 81,5 | C | 0 | 0 |
| 367 | 30708I5R20I0CAA | ET | FEINNAPPA | SOUL/FELSGRAU | SPORT | 0 | 0,0 | 100,0 | 81,7 | C | 0 | 0 |
| 368 | 30708I5H00I0CAC | ET | FEINNAPPA | SOUL/FELSGRAU | SPORT | 0 | 0,0 | 100,0 | 82,0 | C | 0 | 0 |
| 369 | 30708I5H02I0CAC | ET | FEINNAPPA | SOUL/FELSGRAU | SPORT | 0 | 0,0 | 100,0 | 82,2 | C | 0 | 0 |
| 370 | 30708I5Q21I1HAA | ET | FEINNAPPA | SOUL/EXPRESSROT | SPORT | 0 | 0,0 | 100,0 | 82,4 | C | 0 | 0 |
| 371 | 30708I5Q26I1HAA | ET | FEINNAPPA | SOUL/EXPRESSROT | SPORT | 0 | 0,0 | 100,0 | 82,6 | C | 0 | 0 |
| 372 | 30708I5R21I1HAA | ET | FEINNAPPA | SOUL/EXPRESSROT | SPORT | 0 | 0,0 | 100,0 | 82,9 | C | 0 | 0 |
| 373 | 30708I5H01I1HAC | ET | FEINNAPPA | SOUL/EXPRESSROT | SPORT | 0 | 0,0 | 100,0 | 83,1 | C | 0 | 0 |

| | | | | | | | | | | | | |
|-----|-----------------|----|-----------|---------------------|--------|---|-----|-------|------|---|---|---|
| 374 | 30708I5H03I1HAC | ET | FEINNAPPA | SOUL/EXPRESSROT | SPORT | 0 | 0,0 | 100,0 | 83,3 | C | 0 | 0 |
| 375 | 30708I5Q21I4TAA | ET | FEINNAPPA | SOUL/AMARETTO | SPORT | 0 | 0,0 | 100,0 | 83,5 | C | 0 | 0 |
| 376 | 30708I5R21I4TAA | ET | FEINNAPPA | SOUL/AMARETTO | SPORT | 0 | 0,0 | 100,0 | 83,7 | C | 0 | 0 |
| 377 | 30708I5H01I4TAC | ET | FEINNAPPA | SOUL/AMARETTO | SPORT | 0 | 0,0 | 100,0 | 84,0 | C | 0 | 0 |
| 378 | 30708I5H03I4TAC | ET | FEINNAPPA | SOUL/AMARETTO | SPORT | 0 | 0,0 | 100,0 | 84,2 | C | 0 | 0 |
| 379 | 30708D5Q22I0FAA | ET | PN/PLENUM | SOUL/ADMIRALBLAU | SPORT | 0 | 0,0 | 100,0 | 84,4 | C | 0 | 0 |
| 380 | 30708D5R22I0FAA | ET | PN/PLENUM | SOUL/ADMIRALBLAU | SPORT | 0 | 0,0 | 100,0 | 84,6 | C | 0 | 0 |
| 381 | 30708R5Q23I4TAA | ET | FEINNAPPA | SOUL/AMARETTO | SPORT | 0 | 0,0 | 100,0 | 84,9 | C | 0 | 0 |
| 382 | 30708R5R23I4TAA | ET | FEINNAPPA | SOUL/AMARETTO | SPORT | 0 | 0,0 | 100,0 | 85,1 | C | 0 | 0 |
| 383 | 30708I5Q20I2HAA | ET | FEINNAPPA | SOUL/CRESCENDOROT | SPORT | 0 | 0,0 | 100,0 | 85,3 | C | 0 | 0 |
| 384 | 30708I5Q25I2HAA | ET | FEINNAPPA | SOUL/CRESCENDOROT | SPORT | 0 | 0,0 | 100,0 | 85,5 | C | 0 | 0 |
| 385 | 30708I5R20I2HAA | ET | FEINNAPPA | SOUL/CRESCENDOROT | SPORT | 0 | 0,0 | 100,0 | 85,7 | C | 0 | 0 |
| 386 | 30708I5H00I2HAC | ET | FEINNAPPA | SOUL/CRESCENDOROT | SPORT | 0 | 0,0 | 100,0 | 86,0 | C | 0 | 0 |
| 387 | 30708I5H02I2HAC | ET | FEINNAPPA | SOUL/CRESCENDOROT | SPORT | 0 | 0,0 | 100,0 | 86,2 | C | 0 | 0 |
| 388 | 30708P5Q40C1IAA | ET | FEINNAPPA | ROTORGRAU/ANTHRASIT | SSPORT | 0 | 0,0 | 100,0 | 86,4 | C | 0 | 0 |
| 389 | 30708P5Q45C1AA | ET | FEINNAPPA | ROTORGRAU/ANTHRASIT | SSPORT | 0 | 0,0 | 100,0 | 86,6 | C | 0 | 0 |
| 390 | 30708P5R40C1IAA | ET | FEINNAPPA | ROTORGRAU/ANTHRASIT | SSPORT | 0 | 0,0 | 100,0 | 86,9 | C | 0 | 0 |
| 391 | 30708P5H00C1IAC | ET | FEINNAPPA | ROTORGRAU/ANTHRASIT | SSPORT | 0 | 0,0 | 100,0 | 87,1 | C | 0 | 0 |
| 392 | 30708P5H02C1IAC | ET | FEINNAPPA | ROTORGRAU/ANTHRASIT | SSPORT | 0 | 0,0 | 100,0 | 87,3 | C | 0 | 0 |
| 393 | 30708P5Q40I0CAA | ET | FEINNAPPA | SOUL/FELSGRAU | SSPORT | 0 | 0,0 | 100,0 | 87,5 | C | 0 | 0 |
| 394 | 30708P5Q45I0CAA | ET | FEINNAPPA | SOUL/FELSGRAU | SSPORT | 0 | 0,0 | 100,0 | 87,8 | C | 0 | 0 |
| 395 | 30708P5R40I0CAA | ET | FEINNAPPA | SOUL/FELSGRAU | SSPORT | 0 | 0,0 | 100,0 | 88,0 | C | 0 | 0 |
| 396 | 30708P5H02I0CAC | ET | FEINNAPPA | SOUL/FELSGRAU | SSPORT | 0 | 0,0 | 100,0 | 88,2 | C | 0 | 0 |
| 397 | 30708P5H00I0CAC | ET | FEINNAPPA | SOUL/FELSGRAU | SSPORT | 0 | 0,0 | 100,0 | 88,4 | C | 0 | 0 |
| 398 | 30708P5Q40I0HAA | ET | FEINNAPPA | SOUL/EXPRESSROT | SSPORT | 0 | 0,0 | 100,0 | 88,6 | C | 0 | 0 |
| 399 | 30708P5Q45I0HAA | ET | FEINNAPPA | SOUL/EXPRESSROT | SSPORT | 0 | 0,0 | 100,0 | 88,9 | C | 0 | 0 |
| 400 | 30708P5R40I0HAA | ET | FEINNAPPA | SOUL/EXPRESSROT | SSPORT | 0 | 0,0 | 100,0 | 89,1 | C | 0 | 0 |
| 401 | 30708P5H00I0HAC | ET | FEINNAPPA | SOUL/EXPRESSROT | SSPORT | 0 | 0,0 | 100,0 | 89,3 | C | 0 | 0 |
| 402 | 30708P5H02I0HAC | ET | FEINNAPPA | SOUL/EXPRESSROT | SSPORT | 0 | 0,0 | 100,0 | 89,5 | C | 0 | 0 |
| 403 | 30708P5Q44I1CAA | ET | FEINNAPPA | SOUL/FELSGRAU | SSPORT | 0 | 0,0 | 100,0 | 89,8 | C | 0 | 0 |
| 404 | 30708P5Q47I1CAA | ET | FEINNAPPA | SOUL/FELSGRAU | SSPORT | 0 | 0,0 | 100,0 | 90,0 | C | 0 | 0 |
| 405 | 30708P5R44I1CAA | ET | FEINNAPPA | SOUL/FELSGRAU | SSPORT | 0 | 0,0 | 100,0 | 90,2 | C | 0 | 0 |
| 406 | 30708P5H01I1CAC | ET | FEINNAPPA | SOUL/FELSGRAU | SSPORT | 0 | 0,0 | 100,0 | 90,4 | C | 0 | 0 |
| 407 | 30708P5H03I1CAC | ET | FEINNAPPA | SOUL/FELSGRAU | SSPORT | 0 | 0,0 | 100,0 | 90,6 | C | 0 | 0 |
| 408 | 30708P5Q44I3HAA | ET | FEINNAPPA | SOUL/CRESCENDOROT | SSPORT | 0 | 0,0 | 100,0 | 90,9 | C | 0 | 0 |
| 409 | 30708P5Q47I3HAA | ET | FEINNAPPA | SOUL/CRESCENDOROT | SSPORT | 0 | 0,0 | 100,0 | 91,1 | C | 0 | 0 |
| 410 | 30708P5R44I3HAA | ET | FEINNAPPA | SOUL/CRESCENDOROT | SSPORT | 0 | 0,0 | 100,0 | 91,3 | C | 0 | 0 |
| 411 | 30708P5H01I3HAC | ET | FEINNAPPA | SOUL/CRESCENDOROT | SSPORT | 0 | 0,0 | 100,0 | 91,5 | C | 0 | 0 |

| | | | | | | | | | | | | |
|-----|-----------------|----|-----------|------------------------|--------|---|-----|-------|-------|---|---|---|
| 412 | 30708P5H03I3HAC | ET | FEINNAPPA | SOUL/CRESCENDOROT | SSPORT | 0 | 0,0 | 100,0 | 91,8 | C | 0 | 0 |
| 413 | 30708P5Q44C2IAA | ET | FEINNAPPA | MONDSILBER/ACHATGRAU | SSPORT | 0 | 0,0 | 100,0 | 92,0 | C | 0 | 0 |
| 414 | 30708P5Q47C2IAA | ET | FEINNAPPA | MONDSILBER/ACHATGRAU | SSPORT | 0 | 0,0 | 100,0 | 92,2 | C | 0 | 0 |
| 415 | 30708P5R44C2IAA | ET | FEINNAPPA | MONDSILBER/ACHATGRAU | SSPORT | 0 | 0,0 | 100,0 | 92,4 | C | 0 | 0 |
| 416 | 30708P5H01C2IAC | ET | FEINNAPPA | MONDSILBER/ACHATGRAU | SSPORT | 0 | 0,0 | 100,0 | 92,7 | C | 0 | 0 |
| 417 | 30708P5H03C2IAC | ET | FEINNAPPA | MONDSILBER/ACHATGRAU | SSPORT | 0 | 0,0 | 100,0 | 92,9 | C | 0 | 0 |
| 418 | 30708J2H00I0IAC | ET | MILANO | SOUL | BASIS | 0 | 0,0 | 100,0 | 93,1 | C | 0 | 0 |
| 419 | 30708J2H02I0IAC | ET | MILANO | SOUL | BASIS | 0 | 0,0 | 100,0 | 93,3 | C | 0 | 0 |
| 420 | 30708M2Q05I0IAA | ET | TWIN | SOUL | BASIS | 0 | 0,0 | 100,0 | 93,5 | C | 0 | 0 |
| 421 | 30708M2Q05T0TAA | ET | TWIN | KASTANIENBRAUN | BASIS | 0 | 0,0 | 100,0 | 93,8 | C | 0 | 0 |
| 422 | 30708M2H00T0TAC | ET | TWIN | KASTANIENBRAUN | BASIS | 0 | 0,0 | 100,0 | 94,0 | C | 0 | 0 |
| 423 | 30708M2H02T0TAC | ET | TWIN | KASTANIENBRAUN | BASIS | 0 | 0,0 | 100,0 | 94,2 | C | 0 | 0 |
| 424 | 30708M2Q05C0CAA | ET | TWIN | FELSGRAU | BASIS | 0 | 0,0 | 100,0 | 94,4 | C | 0 | 0 |
| 425 | 30708C2Q25I0IAA | ET | TWIN | SOUL | SPORT | 0 | 0,0 | 100,0 | 94,7 | C | 0 | 0 |
| 426 | 30708C2Q25T0TAA | ET | TWIN | KASTANIENBRAUN | SPORT | 0 | 0,0 | 100,0 | 94,9 | C | 0 | 0 |
| 427 | 30708C2Q25C0CAA | ET | TWIN | FELSGRAU | SPORT | 0 | 0,0 | 100,0 | 95,1 | C | 0 | 0 |
| 428 | 30708Y7H00C0CAC | ET | TWIN | FELSGRAU | SPORT | 0 | 0,0 | 100,0 | 95,3 | C | 0 | 0 |
| 429 | 30708Y7H02C0CAC | ET | TWIN | FELSGRAU | SPORT | 0 | 0,0 | 100,0 | 95,5 | C | 0 | 0 |
| 430 | 30708Y7Q20H1IAA | ET | TWIN | MAGMAROT | SPORT | 0 | 0,0 | 100,0 | 95,8 | C | 0 | 0 |
| 431 | 30708Y7H00H1IAC | ET | TWIN | MAGMAROT | SPORT | 0 | 0,0 | 100,0 | 96,0 | C | 0 | 0 |
| 432 | 30708Y7H02H1IAC | ET | TWIN | MAGMAROT | SPORT | 0 | 0,0 | 100,0 | 96,2 | C | 0 | 0 |
| 433 | 30708Y7Q20I0CAA | ET | TWIN | SOUL/ FELSGRAU | SPORT | 0 | 0,0 | 100,0 | 96,4 | C | 0 | 0 |
| 434 | 30708Y7H00I0CAC | ET | TWIN | SOUL/ FELSGRAU | SPORT | 0 | 0,0 | 100,0 | 96,7 | C | 0 | 0 |
| 435 | 30708Y7H02I0CAC | ET | TWIN | SOUL/ FELSGRAU | SPORT | 0 | 0,0 | 100,0 | 96,9 | C | 0 | 0 |
| 436 | 30708Y7Q20C0IAA | ET | TWIN | FELSGRAU/ ANTR | SPORT | 0 | 0,0 | 100,0 | 97,1 | C | 0 | 0 |
| 437 | 30708Y7R20C0IAA | ET | TWIN | FELSGRAU/ ANTR | SPORT | 0 | 0,0 | 100,0 | 97,3 | C | 0 | 0 |
| 438 | 30708Y7H00C0IAC | ET | TWIN | FELSGRAU/ ANTR | SPORT | 0 | 0,0 | 100,0 | 97,6 | C | 0 | 0 |
| 439 | 30708Y7H02C0IAC | ET | TWIN | FELSGRAU/ ANTR | SPORT | 0 | 0,0 | 100,0 | 97,8 | C | 0 | 0 |
| 440 | 30708Y7Q20I2HAA | ET | TWIN | SOUL/ CRESCENDEROT | SPORT | 0 | 0,0 | 100,0 | 98,0 | C | 0 | 0 |
| 441 | 30708Y7R20I2HAA | ET | TWIN | SOUL/ CRESCENDEROT | SPORT | 0 | 0,0 | 100,0 | 98,2 | C | 0 | 0 |
| 442 | 30708J7H00I0IAC | ET | MILANO | SOUL | SPORT | 0 | 0,0 | 100,0 | 98,4 | C | 0 | 0 |
| 443 | 30708J7H02I0IAC | ET | MILANO | SOUL | SPORT | 0 | 0,0 | 100,0 | 98,7 | C | 0 | 0 |
| 444 | 30708E7H00C0CAC | ET | PERNNAPPA | FELSGRAU | SPORT | 0 | 0,0 | 100,0 | 98,9 | C | 0 | 0 |
| 445 | 30708E7H02C0CAC | ET | PERNNAPPA | FELSGRAU | SPORT | 0 | 0,0 | 100,0 | 99,1 | C | 0 | 0 |
| 446 | 30708I7H00C1IAC | ET | FEINNAPPA | ROTORGRAU/ANTHRASIT | SPORT | 0 | 0,0 | 100,0 | 99,3 | C | 0 | 0 |
| 447 | 30708I7H02C1IAC | ET | FEINNAPPA | ROTORGRAU/ANTHRASIT | SPORT | 0 | 0,0 | 100,0 | 99,6 | C | 0 | 0 |
| 448 | 30708P7Q47C2IAA | ET | FEINNAPPA | MONDSILBER/ GRANITGRAU | SSPORT | 0 | 0,0 | 100,0 | 99,8 | C | 0 | 0 |
| 449 | 30708P7R44C2IAA | ET | FEINNAPPA | MONDSILBER/ GRANITGRAU | SSPORT | 0 | 0,0 | 100,0 | 100,0 | C | 0 | 0 |

Para o projeto Mini F57 a análise ABC ficou decidido fazer o supermercado ao tipo de variante e não ao tipo de peça, o estudo das caixas necessárias para a criação do supermercado do Mini F57 está apresentado na Tabela 50.

Tabela 50 - Estudo das caixas necessárias Mini F57

| | | EDI FORECAST | | Peso Máximo | | | | | | | | | | | | Número Total de Caixas | | | |
|-----------------|---------|-----------------|------|-------------|------|-----------|-------------|---------------|---------------|-----------------|-----------|-------------|-------------------|---------------------|-------------------|------------------------|---------------|--------------------------|---------------------------|
| | | 16 | 39 | 16 | | | | | | | | | | | | 255 | 474 | | |
| PN COINDU | Módulos | 897 | 3606 | Variante | Tipo | QTD teste | Caixa Couro | Caixa Tecidos | QTD Max Couro | QTD Max Tecidos | MMC Couro | MMC Tecidos | QTD Efetiva Couro | QTD Efetiva Tecidos | EDI Diário Máximo | Variação Cliente (15%) | Stock (2dias) | Caixas Couro Necessárias | Caixas Tecido Necessárias |
| 33102B0A0010IAB | 10 | 0 | 114 | CROSS PUNCH | AF | 30 | 13,1 | 9,8 | 37 | 49 | 30 | 40 | 30 | 30 | 80 | 92 | 184 | 7 | 7 |
| 33102B0A0210IAA | 80 | 0 | 112 | CROSS PUNCH | STV | 80 | 9,0 | 8,6 | 142 | 148 | 80 | 80 | 80 | 80 | 80 | 92 | 184 | 3 | 3 |
| 33102B0F0010IAA | 10 | 0 | 58 | CROSS PUNCH | EF | 30 | 16,2 | 28,2 | 30 | 17 | 30 | 10 | 10 | 10 | 41 | 47 | 94 | 10 | 10 |
| 33102B0G0010IAA | 10 | 0 | 56 | CROSS PUNCH | EF | 30 | 16,2 | 28,2 | 30 | 17 | 30 | 10 | 10 | 10 | 41 | 47 | 94 | 10 | 10 |
| 33102B0K0710IAA | 10 | 0 | 58 | CROSS PUNCH | AT | 30 | 27,4 | 17,5 | 18 | 27 | 10 | 20 | 10 | 10 | 40 | 46 | 92 | 10 | 10 |
| 33102B0Q0210IAA | 10 | 0 | 56 | CROSS PUNCH | ET | 30 | 12,5 | 10,6 | 38 | 45 | 30 | 40 | 30 | 30 | 40 | 46 | 92 | 4 | 4 |
| 33102B0R0310IAA | 10 | 0 | 58 | CROSS PUNCH | ET | 30 | 12,5 | 10,6 | 38 | 45 | 30 | 40 | 30 | 30 | 40 | 46 | 92 | 4 | 4 |
| 33102D0A0010IAB | 10 | 0 | 0 | DINAMIC | AF | 20 | 7,5 | 9,7 | 42 | 33 | 40 | 30 | 30 | 30 | 48 | 56 | 112 | 4 | 4 |
| 33102D0A0210IAA | 80 | 0 | 48 | DINAMIC | STV | 80 | - | 9,7 | 0 | 132 | 0 | 80 | 0 | 80 | 48 | 56 | 112 | 0 | 2 |
| 33102D0F0010IAA | 10 | 0 | 0 | DINAMIC | EF | 18 | 7,5 | 20,9 | 38 | 14 | 30 | 10 | 10 | 10 | 24 | 28 | 56 | 6 | 6 |
| 33102D0G0010IAA | 10 | 0 | 0 | DINAMIC | EF | 18 | 7,5 | 20,9 | 38 | 14 | 30 | 10 | 10 | 10 | 24 | 28 | 56 | 6 | 6 |
| 33102D0K0010IAA | 10 | 0 | 0 | DINAMIC | AT | 30 | 12,3 | 28,9 | 39 | 17 | 30 | 10 | 10 | 10 | 24 | 28 | 56 | 6 | 6 |
| 33102D0Q0010IAA | 10 | 0 | 0 | DINAMIC | ET | 30 | 8,3 | 11,3 | 58 | 42 | 50 | 40 | 40 | 40 | 24 | 28 | 56 | 2 | 2 |
| 33102D0R0010IAA | 10 | 0 | 0 | DINAMIC | ET | 30 | 8,3 | 11,3 | 58 | 42 | 50 | 40 | 40 | 40 | 22 | 26 | 52 | 2 | 2 |
| 33102E0A0010IAB | 10 | 0 | 80 | YOURS | AF | 30 | 19,8 | 7,2 | 24 | 67 | 20 | 60 | 20 | 20 | 62 | 72 | 144 | 8 | 8 |
| 33102E0A0210IAA | 80 | 0 | 80 | YOURS | STV | 80 | 11,6 | 5,3 | 110 | 240 | 80 | 240 | 80 | 80 | 64 | 74 | 148 | 2 | 2 |
| 33102E0F0010IAA | 10 | 0 | 40 | YOURS | EF | 13 | 14,5 | 10,0 | 14 | 21 | 10 | 20 | 10 | 10 | 30 | 35 | 70 | 7 | 7 |
| 33102E0G0010IAA | 10 | 0 | 40 | YOURS | EF | 13 | 14,5 | 10,0 | 14 | 21 | 10 | 20 | 10 | 10 | 30 | 35 | 70 | 7 | 7 |
| 33102E0K0310IAA | 10 | 0 | 38 | YOURS | AT | 20 | 22,5 | 9,4 | 14 | 34 | 10 | 30 | 10 | 10 | 30 | 35 | 70 | 7 | 7 |
| 33102E0Q0210IAA | 10 | 0 | 40 | YOURS | ET | 25 | 13,7 | 7,9 | 29 | 51 | 20 | 50 | 20 | 20 | 30 | 35 | 70 | 4 | 4 |
| 33102E0R0310IAA | 10 | 0 | 40 | YOURS | ET | 25 | 13,7 | 7,9 | 29 | 51 | 20 | 50 | 20 | 20 | 32 | 37 | 74 | 4 | 4 |
| 33102FOA00TOTAB | 10 | 0 | 118 | CHESTER | AF | 30 | 15,5 | 8,5 | 31 | 56 | 20 | 50 | 20 | 20 | 74 | 86 | 172 | 9 | 9 |

| | | | | | | | | | | | | | | | | | | | |
|------------------|----|----|-----|---------------|-----|-----|------|------|-----|-----|----|-----|----|-----|-----|-----|-----|---|----|
| 33102FOA02TOTAA | 80 | 0 | 128 | CHESTER | STV | 80 | 9,8 | 7,1 | 131 | 182 | 80 | 160 | 80 | 80 | 92 | 184 | 3 | 3 | |
| 33102FOFOOTOTAA | 10 | 0 | 59 | CHESTER | EF | 24 | 11,0 | 24,7 | 35 | 16 | 30 | 10 | 10 | 10 | 37 | 43 | 86 | 9 | 9 |
| 33102FG00TOTAA | 10 | 0 | 59 | CHESTER | EF | 24 | 11,0 | 24,7 | 35 | 16 | 30 | 10 | 10 | 10 | 37 | 43 | 86 | 9 | 9 |
| 33102FOKO1TOTAA | 10 | 0 | 58 | CHESTER | AT | 10 | 11,2 | 7,6 | 14 | 21 | 10 | 20 | 10 | 10 | 36 | 42 | 84 | 9 | 9 |
| 33102FOQ00TOTAA | 10 | 0 | 56 | CHESTER | ET | 30 | 15,9 | 7,5 | 30 | 64 | 20 | 60 | 20 | 20 | 36 | 42 | 84 | 5 | 5 |
| 33102FOR01TOTAA | 10 | 0 | 58 | CHESTER | ET | 30 | 15,9 | 7,5 | 30 | 64 | 20 | 60 | 20 | 20 | 38 | 44 | 88 | 5 | 5 |
| 33102F0K01COCAA | 10 | 0 | 50 | CHESTER | AT | 10 | 11,2 | 7,6 | 14 | 21 | 10 | 20 | 10 | 10 | 20 | 23 | 46 | 5 | 5 |
| 33102FOA02COCAAA | 80 | 0 | 96 | CHESTER | STV | 80 | 9,8 | 7,1 | 131 | 182 | 80 | 160 | 80 | 80 | 48 | 56 | 112 | 2 | 2 |
| 33102F0F00COCAAA | 10 | 0 | 50 | CHESTER | EF | 24 | 11,0 | 24,7 | 35 | 16 | 30 | 10 | 10 | 10 | 20 | 24 | 48 | 5 | 5 |
| 33102FG000COCAAA | 10 | 0 | 50 | CHESTER | EF | 24 | 11,0 | 24,7 | 35 | 16 | 30 | 10 | 10 | 10 | 20 | 24 | 48 | 5 | 5 |
| 33102F0Q00COCAAA | 10 | 0 | 48 | CHESTER | ET | 30 | 15,9 | 7,5 | 30 | 64 | 20 | 60 | 20 | 20 | 20 | 23 | 46 | 3 | 3 |
| 33102FOR01COCAA | 10 | 0 | 50 | CHESTER | ET | 30 | 15,9 | 7,5 | 30 | 64 | 20 | 60 | 20 | 20 | 20 | 23 | 46 | 3 | 3 |
| 33102FOA00COCAB | 10 | 0 | 102 | CHESTER | AF | 30 | 15,5 | 8,5 | 31 | 56 | 20 | 50 | 20 | 20 | 42 | 49 | 98 | 5 | 5 |
| 33102L0A00I0IAB | 10 | 0 | 0 | DIAMOND | AF | 20 | 8,0 | 7,9 | 40 | 41 | 40 | 40 | 40 | 40 | 52 | 60 | 120 | 3 | 3 |
| 33102G0A02I0IAA | 80 | 0 | 0 | DOUBLE STRIPE | STV | 100 | - | 8,9 | 0 | 181 | 0 | 160 | 0 | 160 | 40 | 46 | 92 | 0 | 1 |
| 33102L0F00I0IAA | 10 | 0 | 0 | DIAMOND | EF | 30 | 8,9 | 24,1 | 54 | 20 | 50 | 20 | 20 | 20 | 28 | 33 | 66 | 4 | 4 |
| 33102LOG00I0IAA | 10 | 0 | 0 | DIAMOND | EF | 30 | 8,9 | 24,1 | 54 | 20 | 50 | 20 | 20 | 20 | 26 | 30 | 60 | 3 | 3 |
| 33102LOK00I0IAA | 10 | 0 | 0 | DIAMOND | AT | 10 | 14,0 | 7,6 | 11 | 21 | 10 | 20 | 10 | 10 | 28 | 33 | 66 | 7 | 7 |
| 33102L0Q00I0IAA | 10 | 0 | 0 | DIAMOND | ET | 10 | 5,2 | 6,4 | 31 | 25 | 30 | 20 | 20 | 20 | 28 | 33 | 66 | 4 | 4 |
| 33102L0R00I0IAA | 10 | 0 | 0 | DIAMOND | ET | 10 | 5,2 | 6,4 | 31 | 25 | 30 | 20 | 20 | 20 | 28 | 33 | 66 | 4 | 4 |
| 33102A0A00I0IAA | 10 | 30 | 42 | FIREWORKS | AF | 30 | - | 10,3 | 0 | 30 | 0 | 30 | 0 | 30 | 78 | 90 | 180 | 0 | 6 |
| 33102A0F00I0IAA | 10 | 28 | 22 | FIREWORKS | EF | 14 | - | 12,4 | 0 | 18 | 0 | 10 | 0 | 10 | 39 | 46 | 92 | 0 | 10 |
| 33102A0G00I0IAA | 10 | 28 | 22 | FIREWORKS | EF | 14 | - | 12,4 | 0 | 18 | 0 | 10 | 0 | 10 | 39 | 46 | 92 | 0 | 10 |
| 33102A0K05I0IAA | 10 | 20 | 24 | FIREWORKS | AT | 40 | - | 22,8 | 0 | 28 | 0 | 20 | 0 | 20 | 40 | 46 | 92 | 0 | 5 |
| 33102A0Q03I0IAA | 10 | 20 | 20 | FIREWORKS | ET | 40 | - | 17,5 | 0 | 37 | 0 | 30 | 0 | 30 | 40 | 46 | 92 | 0 | 4 |
| 33102A0R04I0IAA | 10 | 20 | 20 | FIREWORKS | ET | 40 | - | 17,5 | 0 | 37 | 0 | 30 | 0 | 30 | 40 | 46 | 92 | 0 | 4 |
| 33102G0A00I0IAA | 10 | 30 | 0 | DOUBLE STRIPE | AF | 10 | - | 16 | 0 | 10 | 0 | 10 | 0 | 10 | 6 | 7 | 14 | 0 | 2 |
| 33102G0F00I0IAA | 10 | 0 | 0 | DOUBLE STRIPE | EF | 10 | - | 16 | 0 | 10 | 0 | 10 | 0 | 10 | 2 | 3 | 6 | 0 | 1 |
| 33102G0G00I0IAA | 10 | 10 | 0 | DOUBLE STRIPE | EF | 10 | - | 16 | 0 | 10 | 0 | 10 | 0 | 10 | 4 | 5 | 10 | 0 | 1 |
| 33102G0K00I0IAA | 10 | 0 | 4 | DOUBLE STRIPE | AT | 40 | - | 28,9 | 0 | 22 | 0 | 20 | 0 | 20 | 12 | 14 | 28 | 0 | 2 |
| 33102G0Q00I0IAA | 10 | 0 | 4 | DOUBLE STRIPE | ET | 20 | - | 9,1 | 0 | 35 | 0 | 30 | 0 | 30 | 12 | 14 | 28 | 0 | 1 |
| 33102G0R00I0IAA | 10 | 0 | 4 | DOUBLE STRIPE | ET | 20 | - | 9,1 | 0 | 35 | 0 | 30 | 0 | 30 | 12 | 14 | 28 | 0 | 1 |
| 33102H0A00I0IAA | 10 | 30 | 56 | LEATHERETTE | AF | 20 | - | 13,5 | 0 | 24 | 0 | 20 | 0 | 20 | 46 | 53 | 106 | 0 | 6 |
| 33102H0F02I0IAA | 10 | 16 | 27 | LEATHERETTE | EF | 24 | - | 32,3 | 0 | 12 | 0 | 10 | 0 | 10 | 24 | 28 | 56 | 0 | 6 |
| 33102H0G02I0IAA | 10 | 16 | 29 | LEATHERETTE | EF | 24 | - | 32,3 | 0 | 12 | 0 | 10 | 0 | 10 | 24 | 28 | 56 | 0 | 6 |
| 33102H0A01I0IAA | 10 | 56 | 146 | LEATHERETTE | AF | 42 | - | 23,7 | 0 | 28 | 0 | 20 | 0 | 20 | 109 | 126 | 252 | 0 | 13 |

| | | | | | | | | | | | | | | | | | | | |
|-----------------|----|-----|-----|----------------|-----|-----|------|------|-----|-----|----|-----|----|-----|-----|-----|-----|---|----|
| 33102H0A02I0IAA | 80 | 0 | 144 | LEATHERETTE | STV | 160 | - | 19,1 | 0 | 134 | 0 | 80 | 0 | 80 | 112 | 129 | 258 | 0 | 4 |
| 33102H0F01I0IAA | 10 | 30 | 72 | LEATHERETTE | EF | 18 | - | 25,9 | 0 | 11 | 0 | 10 | 0 | 10 | 55 | 64 | 128 | 0 | 13 |
| 33102H0G01I0IAA | 10 | 30 | 72 | LEATHERETTE | EF | 18 | - | 25,9 | 0 | 11 | 0 | 10 | 0 | 10 | 54 | 63 | 126 | 0 | 13 |
| 33102H0K03I0IAA | 10 | 40 | 100 | LEATHERETTE | AT | 30 | - | 35,6 | 0 | 13 | 0 | 10 | 0 | 10 | 78 | 90 | 180 | 0 | 18 |
| 33102H0Q03I0IAA | 10 | 40 | 100 | LEATHERETTE | ET | 30 | - | 18,3 | 0 | 26 | 0 | 20 | 0 | 20 | 78 | 90 | 180 | 0 | 9 |
| 33102H0R04I0IAA | 10 | 40 | 100 | LEATHERETTE | ET | 30 | - | 18,3 | 0 | 26 | 0 | 20 | 0 | 20 | 78 | 90 | 180 | 0 | 9 |
| 33102K0A00I0IAA | 10 | 0 | 12 | CLOTH DINAMIC | AF | 30 | - | 11,2 | 0 | 30 | 0 | 30 | 0 | 30 | 18 | 21 | 42 | 0 | 2 |
| 33102K0A02I0IAA | 80 | 0 | 20 | CLOTH DINAMIC | STV | 300 | - | 15,1 | 0 | 319 | 0 | 240 | 0 | 240 | 20 | 23 | 46 | 0 | 1 |
| 33102K0F00I0IAA | 10 | 0 | 4 | CLOTH DINAMIC | EF | 10 | - | 10,4 | 0 | 15 | 0 | 10 | 0 | 10 | 10 | 12 | 24 | 0 | 3 |
| 33102K0G00I0IAA | 10 | 0 | 6 | CLOTH DINAMIC | EF | 10 | - | 10,4 | 0 | 15 | 0 | 10 | 0 | 10 | 10 | 12 | 24 | 0 | 3 |
| 33102I0A00I0IAA | 10 | 23 | 53 | BLACK PEARL | AF | 14 | - | 10,9 | 0 | 21 | 0 | 20 | 0 | 20 | 44 | 51 | 102 | 0 | 6 |
| 33102I0A02I0IAA | 80 | 193 | 48 | BLACK PEARL | STV | 80 | - | 12,0 | 0 | 106 | 0 | 80 | 0 | 80 | 39 | 45 | 90 | 0 | 2 |
| 33102I0F00I0IAA | 10 | 62 | 28 | BLACK PEARL | EF | 18 | - | 30,3 | 0 | 10 | 0 | 10 | 0 | 10 | 18 | 21 | 42 | 0 | 5 |
| 33102I0G00I0IAA | 10 | 63 | 26 | BLACK PEARL | EF | 18 | - | 30,3 | 0 | 10 | 0 | 10 | 0 | 10 | 19 | 23 | 46 | 0 | 5 |
| 33102I0K00I0IAA | 10 | 27 | 26 | BLACK PEARL | AT | 20 | - | 25,2 | 0 | 13 | 0 | 10 | 0 | 10 | 22 | 25 | 50 | 0 | 5 |
| 33102I0Q00I0IAA | 10 | 22 | 26 | BLACK PEARL | ET | 10 | - | 8,2 | 0 | 20 | 0 | 20 | 0 | 20 | 19 | 22 | 44 | 0 | 3 |
| 33102I0R00I0IAA | 10 | 23 | 26 | BLACK PEARL | ET | 10 | - | 8,2 | 0 | 20 | 0 | 20 | 0 | 20 | 19 | 22 | 44 | 0 | 3 |
| 33102I0K00I1CAB | 10 | 0 | 46 | BLACK PEARL | AT | 20 | - | 25,2 | 0 | 13 | 0 | 10 | 0 | 10 | 26 | 30 | 60 | 0 | 6 |
| 33102I0A00I1CAB | 10 | 0 | 95 | BLACK PEARL | AF | 14 | - | 10,9 | 0 | 21 | 0 | 20 | 0 | 20 | 50 | 58 | 116 | 0 | 6 |
| 33102I0A02I1CAB | 80 | 0 | 96 | BLACK PEARL | STV | 80 | - | 12,0 | 0 | 106 | 0 | 80 | 0 | 80 | 48 | 56 | 112 | 0 | 2 |
| 33102I0F00I1CAB | 10 | 0 | 47 | BLACK PEARL | EFD | 18 | - | 30,3 | 0 | 10 | 0 | 10 | 0 | 10 | 26 | 31 | 62 | 0 | 7 |
| 33102I0G00I1CAB | 10 | 0 | 47 | BLACK PEARL | EFE | 18 | - | 30,3 | 0 | 10 | 0 | 10 | 0 | 10 | 26 | 31 | 62 | 0 | 7 |
| 33102I0Q00I1CAB | 10 | 0 | 46 | BLACK PEARL | ETD | 10 | - | 8,2 | 0 | 20 | 0 | 20 | 0 | 20 | 26 | 30 | 60 | 0 | 3 |
| 33102I0R00I1CAB | 10 | 0 | 46 | BLACK PEARL | ETE | 10 | - | 8,2 | 0 | 20 | 0 | 20 | 0 | 20 | 26 | 30 | 60 | 0 | 3 |
| 33102COA00COCAB | 10 | 0 | 0 | LOUNGE PIPPING | AF | 10 | 8,0 | 6,0 | 20 | 27 | 20 | 20 | 20 | 20 | 62 | 72 | 144 | 8 | 8 |
| 33102COA02COCAA | 80 | 0 | 0 | LOUNGE PIPPING | STV | 80 | 9,3 | 7,3 | 137 | 174 | 80 | 160 | 80 | 80 | 64 | 74 | 148 | 2 | 2 |
| 33102COF00COCAA | 10 | 0 | 0 | LOUNGE PIPPING | EF | 18 | 14,6 | 16,5 | 20 | 17 | 20 | 10 | 10 | 10 | 31 | 36 | 72 | 8 | 8 |
| 33102COG00COCAA | 10 | 0 | 0 | LOUNGE PIPPING | EF | 18 | 14,6 | 16,5 | 20 | 17 | 20 | 10 | 10 | 10 | 30 | 35 | 70 | 7 | 7 |
| 33102COK03COCAA | 10 | 0 | 0 | LOUNGE PIPPING | AT | 10 | 11,5 | 7,9 | 14 | 20 | 10 | 20 | 10 | 10 | 30 | 35 | 70 | 7 | 7 |
| 33102COQ02COCAA | 10 | 0 | 0 | LOUNGE PIPPING | ET | 10 | 7,8 | 5,7 | 20 | 28 | 20 | 20 | 20 | 20 | 32 | 37 | 74 | 4 | 4 |
| 33102COR03COCAA | 10 | 0 | 0 | LOUNGE PIPPING | ET | 10 | 7,8 | 5,7 | 20 | 28 | 20 | 20 | 20 | 20 | 32 | 37 | 74 | 4 | 4 |

Através da tabela anterior é assim possível chegar à Tabela 51 de forma a determinar quais as variantes e o número de caixas necessárias para o supermercado do projeto Mini F57.

Tabela 51 - Análise ABC variantes Mini F57

| | | 118041 | | | | 255 | 474 | |
|----|-------------------|--------|-------|-----------|-----------|--------|--------------|---------------|
| | Variante | QTD | QTD % | Ac. QTD % | Ac. Art % | Classe | Caixas Couro | Caixas Tecido |
| 1 | CHESTER | 23958 | 20,3 | 20,3 | 9,1 | A | 77 | 77 |
| 2 | LEATHERETTE | 21552 | 18,3 | 38,6 | 18,2 | A | 0 | 97 |
| 3 | CROSS PUNCH | 16462 | 13,9 | 52,5 | 27,3 | A | 48 | 48 |
| 4 | BLACK PEARL | 15159 | 12,8 | 65,3 | 36,4 | B | 0 | 63 |
| 5 | YOURS | 13031 | 11,0 | 76,4 | 45,5 | B | 39 | 39 |
| 6 | FIREWORKS | 9109 | 7,7 | 84,1 | 54,5 | B | 0 | 39 |
| 7 | LOUNGE PIPPING | 5716 | 4,8 | 88,9 | 63,6 | C | 40 | 40 |
| 8 | DINAMIC | 4738 | 4,0 | 93,0 | 72,7 | C | 26 | 28 |
| 9 | DIAMOND | 3920 | 3,3 | 96,3 | 81,8 | C | 25 | 25 |
| 10 | DOUBLE STRIPE | 2648 | 2,2 | 98,5 | 90,9 | C | 0 | 9 |
| 11 | CLOTH DINAMIC | 1748 | 1,5 | 100,0 | 100,0 | C | 0 | 9 |

APÊNDICE III – PROJETO DAS NOVAS ESTRUTURAS DA SECÇÃO DE CORTE

Para o projeto ergonómica das novas estruturas do setor, foi utilizada a seguinte fórmula (Pheasant, 1986):

$$P_{(p)} = m + s * z_{(p)} + \text{fator de ajuste do calçado}$$

Uma vez que os distribuidores que se encontram no setor de corte de Joane I são todos homens, o cálculo das novas estruturas a dimensionar foi realizado de forma a satisfazer 95% da população masculina.

1. Altura máxima das racks:

- Não pode ser superior à altura do ombro relativamente ao solo;
- Percentil: 95
- Correção do calçado: 25mm
- $P_{(5)} = 1277 + 72 * 1,64 + 25 = 1420 \text{ mm}$

A altura máxima do *picking* nas novas racks fica assim definida para 1420mm.

2. Altura mínima das racks:

- Não pode ser inferior à altura do joelho relativamente ao solo;
- Percentil: 5
- Correção do calçado: 25mm
- $P_{(95)} = 459 + 40 * 1,64 + 25 = 550 \text{ mm}$

A altura mínima do *picking* nas novas racks fica assim definida para 550mm.

3. Carrinho de transporte de caixas

- Não pode ser inferior à altura do cotovelo relativamente ao solo;
- Percentil: 5
- Correção do calçado: 25mm
- $P_{(95)} = 966 + 51 * 1,64 + 25 = 1075 \text{ mm}$

A altura mínima da pega do carrinho fica definida para 1075mm.

APÊNDICE IV – ALTERNATIVAS DE LAYOUTS PARA O SETOR DE CORTE JOANE I

Neste anexo são apresentadas outras alternativas de layout para o setor de corte de Joane I, sendo estas opções de layout menos adequadas às apresentadas na secção 5.45.2 e 5.3. Na Figura 79 está apresentada outra alternativa de um possível layout para o setor de corte, sendo esta alternativa menos adequadas às apresentadas na secção 5.2.

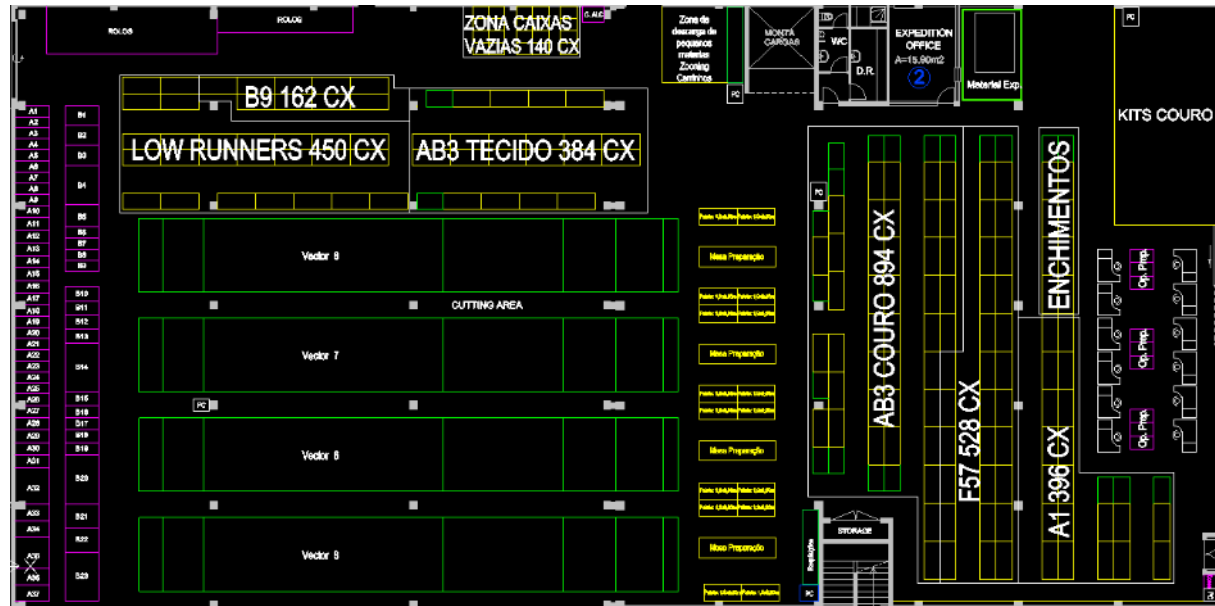


Figura 79 - Terceira proposta layout secção corte Joane I

Na Figura 80 e Figura 81 estão apresentadas alternativas de possíveis layouts para o setor de corte, sendo estas alternativas piores no que diz respeito às distâncias a percorrer no setor do que a apresentada na secção 5.3.

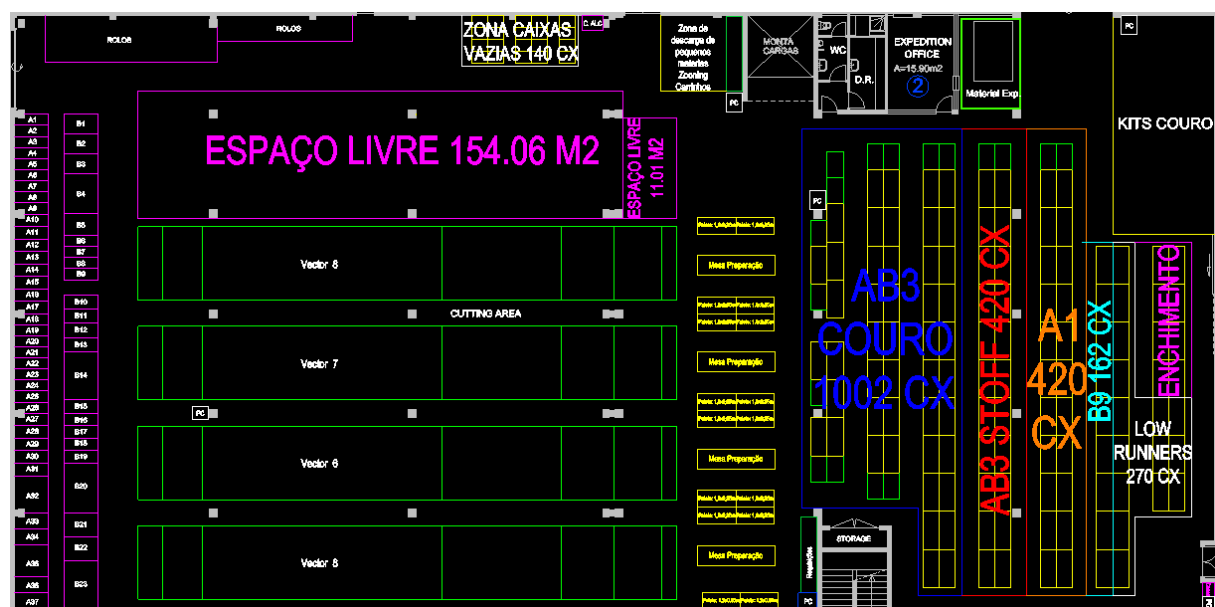


Figura 80 - Segunda proposta layout futuro secção corte Joane I

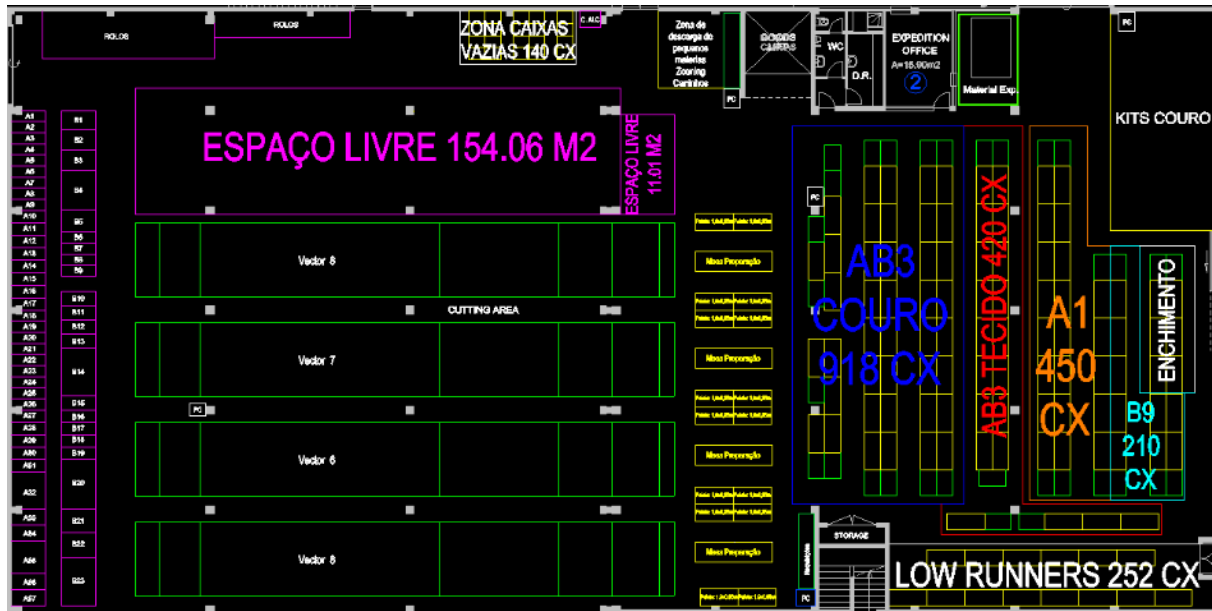


Figura 81 - Terceira proposta layout futuro secção corte Joane I

APÊNDICE V – LAYOUTS NO CPS PARA O SETOR DA PRODUÇÃO JOANE I

Neste anexo são apresentadas as outras alternativas de layout para o setor de produção de Joane I no novo conceito CPS, sendo estas opções de layout menos adequadas às apresentadas na secção 5.4, estas opções encontram-se representadas na Figura 82, Figura 83 e Figura 84.



Figura 82 - Alternativa 4 layout conceito CPS



Figura 83 - Alternativa 5 layout conceito CPS



Figura 84 - Alternativa 6 layout conceito CPS